

大学数学实验

姜启源 邢文训 谢金星 杨顶辉 编著

清华大学公共基础平台课教材

清华大学出版社
北京

内 容 简 介

数学实验课的宗旨是:在教师指导下以学生在计算机上动手、动脑、动脑为主,通过用数学软件做实验,学习解决实际问题常用的数学方法,并在此基础上分析、解决经过简化的实际问题,提高学数学与用数学的兴趣、意识和能力。本书通过 14 个实验介绍数值计算、优化方法和数理统计的基本原理、有效算法及软件实现,并提供若干简化的实际问题,让读者利用学到的数学方法及适合的数学软件在计算机上完成数学建模的全过程。本书适用于学过微积分和线性代数的读者进一步提高利用数学工具和计算机技术分析、解决实际问题的能力。

本书可作为高等院校理工、经管类专业数学实验、数学建模课程的教材或参考书,大学生数学建模竞赛的辅导教材,也可供专业人员学习参考。

版权所有,侵权必究。侵权举报电话:010-62782989 13501256678 13801310933

图书在版编目(CIP)数据

大学数学实验/姜启源等编. —北京:清华大学出版社,2005.2(2008 重印)
ISBN 978-7-302-10140-6

I. 大… II. 姜… III. 高等数学—实验—高等学校—教材 IV. O13-73

中国版本图书馆 CIP 数据核字(2004)第 133449 号

责任编辑:刘 颖 王海燕

责任印制:李红英

出版发行:清华大学出版社

<http://www.tup.com.cn>

c-service@tup.tsinghua.edu.cn

社 总 机:010-62770175

投稿咨询:010-62772015

地 址:北京清华大学学研大厦 A 座

邮 编:100084

邮购热线:010-62786544

客户服务:010-62776969

印 刷 者:北京昌平环球印刷厂

装 订 者:北京市密云县京文制本装订厂

发 行 者:全国新华书店

开 本:185×230 印 张:28.25 字 数:584 千字

版 次:2005 年 2 月第 1 版 印 次:2008 年 3 月第 5 次印刷

印 数:12001~15000

定 价:33.00 元

本书如存在文字不清、漏印、缺页、倒页、脱页等印装质量问题,请与清华大学出版社出版部联系调换。联系电话:010-62770177 转 3103 产品编号:007435-01/O

电子计算机的出现和飞速发展是 20 世纪科学家和工程师对人类做出的最伟大的贡献之一。今天,不论你走进大型工厂的控制间、建筑公司的设计室,还是政府机关的办公楼、学校的多媒体教室,计算机都会立刻进入你的眼帘。刷卡购物、刷卡乘车、刷卡入住、刷卡注册……人们的日常生活越来越离不开计算机。今天我们难以想像在不久的未来计算机给人类生活带来多么巨大的变化。

数学作为一门研究现实世界数量关系和空间形式的科学,在它产生和发展过程中,一直是和人们的实际需要密切相关的,历史上许多科学技术的重大发明都离不开数学,电子计算机的出现也应归功于数学家的奠基性工作。反过来,科学技术和生产活动的进步,又促进了数学的发展。特别是电子计算机技术的飞速进步为古老的数学提供了威力巨大的工具,彻底改变了长期以来仅靠一张纸、一支笔做数学题的传统,使数学的应用在广度和深度上都达到了前所未有的程度,促成了从数学科学到数学技术的转化,并使数学技术成为当今高科技的一个重要组成部分和显著标志。同时也把数学从数学家的书斋里和课本中解放出来,成为各行各业认识自然、改造社会的有力武器。

教育必须跟踪、反映并预见社会发展的需要,大学的数学教育更应如此。我们看到,先是出现了一些计算机语言和编写程序的课程,让学生熟悉和学会使用计算机,继而引入各种形式的数学建模课程,架起数学知识和应用之间的桥梁,弥补了学生学完传统数学课程仍不会用的缺陷,对数学教学改革起了显著的促进作用。但是上面两类课程尚未很好地融合,计算机程序一类课程很少涉及数学的应用,数学建模课程又往往是纸上谈兵,学生少有机会自己动手,用计算机这个强有力的工具去分析、解决哪怕是简化的实际问题。目前正蓬勃开展的全国大学生数学建模竞赛,可以说是二者相结合的一个范例,而那毕竟只是少数学生参加的课外科技活动。

作为探索计算机技术和数学软件引入教学后数学教育改革的一项尝试,1996 年在教育部立项的面向 21 世纪非数学专业数学教学体系和内容改革的总体构想中,把“数学实验”列为数学基础课之一,清华大学数学系参加了这项教改的一个课题组,并于 1998 年进行了数学实验课的试点。在此基础上姜启源等编写了《数学实验》一书(萧树铁教授主编

的面向 21 世纪课程教材《大学数学》丛书中的一本,高等教育出版社 1999 年出版)。

近几年国内不少高等院校相继开设了数学实验课,也出版了好几本教材,从中可以看出,大家对于这门课程基本宗旨的认识大体上是一致的,即以学生在计算机上动手、动脑、动脑为主,在教师的指导下,通过用数学软件做实验,学习实际问题常用的数学方法,分析、解决经过简化的实际问题,提高学数学、用数学的兴趣、意识和能力。当然,在课程的模式和实验的内容上,各校根据各自的具体情况有所不同,这是十分正常的现象,应当鼓励不同形式的课程模式、内容和方法的大胆探索。

在清华大学新制定的非数学类专业数学教学体系中,数学实验是 4 门主干课程的最后一门(前 3 门是微积分、代数与几何、随机数学方法),起着承上(上述 3 门数学课)、启下(后续课、研究生课程及数学的应用)的作用。我们将它设计为一门重组课程,集数值计算、优化方法、数理统计、数学建模以及数学软件于一体,以“了解数学基本原理、知道主要数值算法、会用数学软件实现、培养数学建模能力”为基本要求,使之既是上述 3 门数学课程的巩固和提高,又在基本数学知识和数学的应用之间架起一座桥梁。

目前不少院校正在开展“本硕贯通”的教育改革,本科阶段的数学实验课只介绍相关数学知识的基本原理、方法、软件实现及其应用,为研究生阶段要求掌握更深入的理论和方法的数学课程(如数值分析、数学规划、高等数理统计等)提供了许多实际背景,也留下了一些需要进一步解决的问题,从而刺激了学生再学习的愿望。

按照上述的基本思路,从 2000 年起清华大学在全校范围内大规模地开设数学实验课,每学期 3~4 个大班(每班约 200 人),得到同学们的肯定和好评,我们也在教学中不断明确和修正这门课程的指导思想和目的要求,逐步改进和完善课程的具体内容和教学方法,这本教材就是在 4 年来教学实践的基础上由主要授课教师集体编写的。

基于上面的认识与实践,这本教材的编写遵循了以下原则:

1. 在上述 3 门数学主干课程的基础上,介绍一些最常用的解决实际问题的数学方法,包括数值计算、优化方法和数理统计的基本原理及主要算法,一般不讲证明,基本上不做笔头练习。

2. 选择合适的数学软件平台(以 MATLAB 为主,辅之以 LINDO 和 LINGO),能够方便地满足以上内容的软件实现。

3. 数学建模的思想和方法贯穿全书,从建模初步练习开始,以建模综合练习结束,每个实验尽量从实际问题的建模引入,并落实于模型的求解。

4. 精心安排学生的实验,学生自己动手在计算机上做练习的时间和条件必须保证,建议讲课与实验的学时比例至少为 1:2,并且对实验报告的内容和格式提出明确的要求。

按照这些原则本书共包含 14 个实验:数值计算 5 个实验、优化方法 3 个实验、数理统计 3 个实验、数学建模 2 个实验,另外还有人工神经网络 1 个实验。这些实验基本上相互

独立,教师可根据具体情况选用。一个实验的内容可在3~4学时内讲完。每个实验都备有充分的、供学生动手做的练习,部分练习题附有提示或参考答案。MATLAB的基本用法编入附录。

针对数学实验课需要知识面广、实例多、计算方法与软件实现相互交叉等特点,课堂讲授宜采用多媒体教学,可以做到实例生动、信息量大、便于接受。我们研制了与本书配套的多媒体课件,交由清华大学出版社出版。

本书实验1,2,12,14由姜启源编写,实验3,10,11,13由邢文训编写,实验6,7,8,9及附录由谢金星编写,实验4,5由杨顶辉编写,张立平统编了部分实验练习的参考答案,黄红选、张立平参加了审阅,全书由姜启源统稿。在清华大学讲授过数学实验课的还有李建国、李津等,他们都对这本教材的编写做出了贡献,在此表示衷心的感谢。

编者

2004.6

目 录

大学数学实验

实验 1 数学建模初步	1
1.1 什么是数学建模	1
1.2 数学建模实例与数学实验方法	2
1.3 数学建模的基本方法和步骤以及重要意义	15
1.4 实验练习	19
实验 2 差分方程和数值微分	22
2.1 一阶线性常系数差分方程	23
2.2 高阶线性常系数差分方程	25
2.3 线性常系数差分方程组	29
2.4 非线性差分方程	34
2.5 数值微分	39
2.6 实验练习	41
实验 3 插值与数值积分	44
3.1 实例及其数学模型	44
3.2 3 种插值方法	46
3.3 数值积分	56
3.4 实验练习	64
实验 4 常微分方程数值解	68
4.1 实例及其数学模型	68
4.2 欧拉方法和龙格-库塔方法	70
4.3 龙格-库塔方法的 MATLAB 实现	74
4.4 算法的收敛性、稳定性及刚性方程	81

精度控制

4.5 实验练习	84
----------------	----

实验 5 线性代数方程组的数值解法	88
-------------------------	----

5.1 实例及其数学模型	88
--------------------	----

5.2 求解线性代数方程组的直接法	91
-------------------------	----

5.3 求解线性代数方程组的迭代法	97
-------------------------	----

5.4 超定线性代数方程组的最小二乘解	101
---------------------------	-----

5.5 线性方程组数值解法的 MATLAB 实现	104
--------------------------------	-----

5.6 实验练习	109
----------------	-----

实验 6 非线性方程求解	113
--------------------	-----

6.1 实例及其数学模型	114
--------------------	-----

6.2 非线性方程和方程组的基本解法	116
--------------------------	-----

6.3 MATLAB 解非线性方程和方程组	122
-----------------------------	-----

6.4 分岔与混沌现象	129
-------------------	-----

6.5 实验练习	134
----------------	-----

实验 7 无约束优化	137
------------------	-----

7.1 实例及其数学模型	138
--------------------	-----

7.2 无约束优化的基本方法	141
----------------------	-----

7.3 MATLAB 优化工具箱	145
------------------------	-----

7.4 实验练习	162
----------------	-----

实验 8 约束优化	168
-----------------	-----

8.1 实例及其数学模型	168
--------------------	-----

8.2 线性规划的基本原理和解法	172
------------------------	-----

8.3 带约束非线性规划的基本原理和解法	178
----------------------------	-----

8.4 实例的求解	186
-----------------	-----

8.5 实验练习	193
----------------	-----

实验 9 整数规划	200
-----------------	-----

9.1 实例及其数学模型	200
--------------------	-----

9.2 整数规划的基本原理和解法	205
------------------------	-----

9.3 用 LINDO 和 LINGO 解整数规划	214
---------------------------------	-----

9.4 实例的求解	220
9.5 实验练习	226
实验 10 数据的统计与分析	232
10.1 实例及其分析	233
10.2 数据的整理和描述	234
10.3 随机变量的概率分布及数字特征	240
10.4 用随机模拟计算数值积分	250
10.5 实例的建模和求解	254
10.6 实验练习	257
实验 11 统计推断	260
11.1 实例及其分析	261
11.2 参数估计	263
11.3 假设检验	268
11.4 实例的求解	278
11.5 实验练习	284
实验 12 回归分析	288
12.1 实例及其数学模型	289
12.2 一元线性回归分析	293
12.3 多元线性回归分析	302
12.4 非线性回归分析	318
12.5 实验练习	321
实验 13 人工神经网络	330
13.1 谵妄的诊断	331
13.2 单层前向人工神经网络	335
13.3 多层前向神经网络	345
13.4 MATLAB 的图形交互界面	354
13.5 神经网络在谵妄诊断中的应用	355
13.6 实验练习	357

实验 14 数学建模与数学实验	359
14.1 投篮的出手速度和角度	359
14.2 降落伞的选择	366
14.3 航空公司的预订票策略	371
14.4 实验练习	375
部分实验练习的参考答案	381
附录 MATLAB 使用入门	392
1 矩阵及其运算	393
2 语句和函数以及其他数据类型	399
3 命令和窗口环境	408
4 图形功能	412
5 程序设计	419
6 符号工具箱使用简介	431

数学建模指的是建立、求解、分析和验证一个实际问题的数学模型的全过程,这个实验在简要说明什么是数学模型之后,通过几个实例介绍建立数学模型的过程,以及数学实验方法在建模中的应用,然后归纳数学建模的基本方法和步骤,并简单阐述学习数学建模的重要意义.

1.1 什么是数学建模

人们在认识、研究现实世界里的某个客观对象时,常常不是直接面对那个对象的原型,而是设计、构造它的各式各样的模型:玩具、照片及展览厅里的三峡大坝模型、神舟飞船模型是直观且形象的实物模型;水箱中的舰艇模型用来模拟波浪冲击下舰艇的航行性能,风洞中的飞机模型用来试验飞机在气流中的动力学特性,它们是工程师们进行舰艇、飞机设计时用的物理模型;汽车司机对方向盘的操纵,钳工师傅对工件的手工操作,依赖于他们头脑中的思维模型;人们常用的地图,电工、电子设计中用的电路图,化学中的分子结构图,是经过某种抽象并按照一定形式组合起来的符号模型.这些模型都是人们为了一定目的,对客观事物的某一部分进行简缩、抽象、提炼出来的原型的替代物,它虽不是原型的复制品,却集中反映了原型中人们需要的那一部分特征,因而有利于人们对客观对象的认识.

数学模型(mathematical model)当然比上面这些模型更加抽象,它是当人们要认识客观对象在数量方面的特征、定量地分析对象的内在规律、用数学的语言和符号去近似地刻画要研究的那一部分现象时,所得到的一个数学表述.建立数学模型的过程简称为数学建模(mathematical modeling).

数学建模似乎是个新名词,其实作为用数学方法解决实际问题的第一步,它与数学本身有着同样悠久的历史.两千多年前创立的欧几里得几何,17世纪发现的牛顿万有引力定律,都是科学发展史上数学建模的成功范例.在我们日常生活中数学建模的应用也不少见,贷款买房时比较各种不同的还款方案,校园和居民小区里为限制车速而设计路障,为

肥胖者安排合理、有效的减肥方案,都可以建立简单的数学模型加以解决.

为了具体地说明数学建模过程中的要点,举一个中学课程中学过的“航行问题”:

甲乙两地相距 750km,船从甲地到乙地顺水航行需 30h,从乙地到甲地逆水航行需 50h,问船的速度是多少.

读者大概是这样做的:用 x , y 分别表示船速和水速,列出方程

$$\begin{cases} (x+y) \times 30 = 750, \\ (x-y) \times 50 = 750. \end{cases}$$

求解得到 $x=20$, $y=5$, 于是回答船速为 20km/h.

这是一个代数应用题,稍微仔细分析一下解这道题的过程,里面已经包含了建立数学模型的基本内容,即

- 根据问题背景和建模目的做出必要的简化假设——航行中船速和水速均为常数;
- 用字母和符号表示有关的量—— x , y 分别表示船速和水速;
- 利用相应的物理(或其他)规律——匀速运动的距离等于速度乘以时间,列出数学式子——二元一次方程;
- 求解方程,得到数学上的解答—— $x=20$, $y=5$;
- 用这个结果回答原问题——船速为 20km/h;
- 对于实际问题,以上结果必须用实际信息来检验.

一般地说,为了定量地解决一个实际问题,从中抽象、归结出来的数学表述就是数学模型. 详细一点,数学模型可以描述为,对于现实世界的一个研究对象,为了一个特定目的,做出必要的简化假设,根据对象的内在规律,运用适当的数学工具,得到的一个数学表述. 而数学建模包括模型的建立、求解、分析和检验的全过程. 从实际问题到数学模型,又从数学模型的求解结果回到现实对象,数学建模的全过程可以表示为图 1.1.

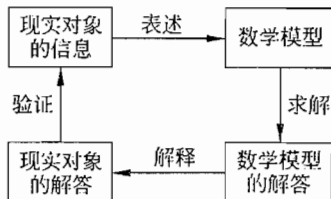


图 1.1 数学建模的全过程

图 1.1 揭示了现实对象和数学模型的关系. 一方面, 数学模型是将现象加以归纳、抽象的产物, 它源于现实, 又高于现实. 另一方面, 只有当数学建模的结果经受住现实对象的检验时, 才可以用来指导实际, 完成实践——理论——实践这一循环.

1.2 数学建模实例与数学实验方法

本节介绍几个数学建模的实例, 并说明数学实验方法在建模过程中的应用.

1.2.1 汽车刹车距离

问题 汽车司机在行驶过程中发现前方出现突发事件,会紧急刹车,人们把从司机决定刹车到车完全停止这段时间内汽车行驶的距离,称为刹车距离.常识告诉我们,车速越快,刹车距离越长.那么,刹车距离与车速之间是线性关系,还是更复杂的关系.为了得到二者之间的数量规律,首先做了一组实验:用固定牌子的汽车,由同一司机驾驶,在不变的道路、气候等条件下,对不同的车速测量其刹车距离,得到的数据如表 1.1.试从物理上的分析入手,参照这组数据,建立刹车距离与车速之间的数学模型.

表 1.1 车速和刹车距离的一组数据

车速/km/h	20	40	60	80	100	120	140
刹车距离/m	6.5	17.8	33.6	57.1	83.4	118.0	153.5

问题分析 为了更直观起见,用 MATLAB 对表 1.1 的数据作图(图 1.2),可以看到,刹车距离与车速之间并非线性关系,我们需要对刹车距离从机理上作较仔细的研究.

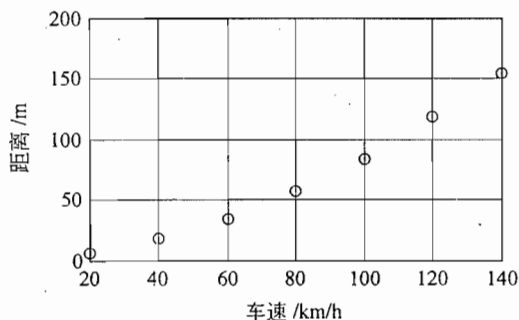


图 1.2 表 1.1 的数据(实际刹车距离)

刹车距离由反应距离和制动距离两部分组成,前者指从司机决定刹车到制动器开始起作用这段时间内汽车行驶的距离,后者指从制动器开始起作用到汽车完全停止所行驶的距离.

反应距离由反应时间和车速决定,反应时间取决于司机个人状况(灵巧、机警、视野等)和制动系统的灵敏性(从司机脚踏刹车板到制动器真正起作用的时间),对于固定牌子的汽车和同一类型的司机,反应时间可以视为常数,并且在这段时间内车速尚未改变.

制动距离与制动器作用力、车重、车速以及道路、气候等因素有关,制动器是一个能量耗散装置,制动力做的功被汽车动能的改变所抵消.设计制动器的一个合理原则是,最大制动力大体上与车的质量成正比,使汽车大致做匀减速运动,司机和乘客少受剧烈的冲击.而道路、气候等因素对一般规则来说只能看作是固定的.

模型假设 基于上述分析,做以下假设:

(1) 刹车距离 d 等于反应距离 d_1 与制动距离 d_2 之和.

(2) 反应距离 d_1 与车速 v 成正比,比例系数为反应时间.

(3) 刹车时使用最大制动力 F , F 做的功等于汽车动能的改变,且 F 与车的质量 m 成正比.

模型建立 由假设(2),有

$$d_1 = k_1 v, \quad (1)$$

k_1 为反应时间. 由假设(3),在 F 作用下行驶距离 d_2 做的功 Fd_2 使车速从 v 变成 0,动能的变化为 $mv^2/2$,从而有 $Fd_2 = mv^2/2$. 又 F 与 m 成正比,按照牛顿第二定律可知,刹车时的减速度 a 为常数,于是

$$d_2 = k_2 v^2, \quad (2)$$

k_2 为比例系数,实际上 $k_2 = \frac{1}{2a}$. 由假设(1),刹车距离为

$$d = k_1 v + k_2 v^2. \quad (3)$$

即刹车距离 d 与车速 v 之间是二次函数关系.

参数估计 虽然(3)式中的参数 k_1, k_2 有一定的物理意义,但是它们难以从机理上确定,常用的办法是根据表 1.1 的数据来拟合(3)式中的参数,称为数据拟合,其算法及软件实现将在实验 5 中介绍. 把表 1.1 中车速的单位先化成 m/s,得到的估计结果为 $k_1 = 0.6522, k_2 = 0.0853$. 将它们代入(3)式计算

出的刹车距离列在表 1.2 的第 3 行,可与第 2 行的实际刹车距离比较. 计算刹车距离曲线如图 1.3 所示.

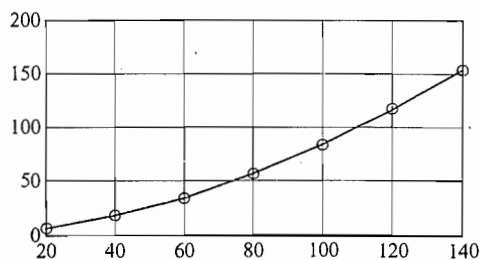


图 1.3 计算刹车距离曲线

表 1.2 计算刹车距离与实际刹车距离的比较

车速/km/h	20	40	60	80	100	120	140
实际刹车距离/m	6.5	17.8	33.6	57.1	83.4	118.0	153.5
计算刹车距离/m	6.26	17.78	34.56	56.61	83.92	116.49	154.33

从 k_1, k_2 的估计结果可知,反应时间为 $k_1 \approx 0.65\text{s}$,刹车时的减速度 $a = \frac{1}{2k_2} \approx 6\text{m/s}^2$. 这些数值是根据表 1.1 的数据算出的,并不具有一般性.

1.2.2 市场经济中的蛛网模型

问题 在自由贸易的集市上常会出现这样的现象：一个时期以来某种消费品(如鸡蛋)的上市量远大于需求,由于销售不畅致使价格下跌,生产者发现养鸡赔钱,于是转而经营其他农副业.过一段时间鸡蛋上市量就会大减,供不应求将导致价格上涨,生产者看到有利可图又重操旧业,这样下一个时期又会重现供过于求、价格下跌的局面.

商品数量和价格的这种振荡现象在自由竞争的市场经济中常常是不可避免的.进一步的观察可以发现,振荡有两种完全不同的形式,一种是振幅逐渐减小,市场经济趋向平稳,另一种是振幅越来越大,如果没有外界如政府的干预,将导致经济崩溃.试建立一个简化的数学模型描述这种现象,研究经济趋向平稳的条件,并讨论当经济趋向不稳定时政府可能采取的干预方式.

蛛网模型 商品在市场上的数量和价格出现反复的振荡,是由消费者的需求关系和生产者的供应关系决定的.记商品第 k 时段的上市数量为 x_k ,价格为 y_k .这里我们把时间离散化为时段,1 个时段相当于 1 个生产周期,对于肉、禽等指牲畜饲养周期,蔬菜、水果等指种植周期.

按照经济规律,价格 y_k 依赖于数量 x_k ,由消费者的需求关系决定,记作 $y_k = f(x_k)$,称需求函数.因为上市数量越多,价格越低,所以 f 是减函数.下一时段商品数量 x_{k+1} 依赖于上一时段的价格 y_k ,由生产者的供应关系决定,记作 $x_{k+1} = h(y_k)$,称供应函数.因为价格越高,生产量(即下一时段上市量)越大,所以 h 是增函数.设 h 的反函数为 g ,即 $y_k = g(x_{k+1})$, g 也是增函数.

在商品数量和价格变化不大的范围内,可以将 f 和 g 简化为线性函数,在图 1.4(a)和图 1.4(b)中用两条直线表示,它们相交于 $P_0(x_0, y_0)$ 点. P_0 点称为平衡点,意思是一旦某一时段 k 商品的上市量 $x_k = x_0$,则由 $y_k = f(x_k)$ 和 $x_{k+1} = h(y_k)$ 可知, $y_k = y_0$, $x_{k+1} = x_0$, $y_{k+1} = y_0$, \dots , 即以后的上市量和价格将永远保持在 $P_0(x_0, y_0)$ 点.但实际上由于种种干扰使得数量和价格不可能保持不变,不妨设 x_1 偏离 x_0 ,如图 1.4. 我们分析 x_k, y_k 的变化.

商品数量 x_1 给定后,价格 y_1 由直线 f 上的 P_1 点决定.数量 x_2 又由 y_1 和直线 g 上的 P_2 点决定, y_2 由 x_2 和 f 上的 P_3 点决定,这样在图 1.4(a)上得到一系列的点 P_1, P_2, P_3, \dots , 这些点按图上箭头方向趋向 P_0 点,称 P_0 为稳定平衡点,意味着商品的数量和价格的振荡将趋向稳定.

但是如果直线 f 和 g 由图 1.4(b)给出,类似的分析可以发现, P_1, P_2, P_3, \dots 沿着箭头的方向,将越来越远离 P_0 点,称 P_0 为不稳定平衡点,意味着商品的数量和价格将出现越来越大的振荡.图 1.4(a)和 1.4(b)中的折线 $P_1 P_2 P_3 \dots$ 形似蛛网,在经济学中称为蛛网模型.

为什么会有这样截然相反的现象呢? 分析一下图 1.4(a)和图 1.4(b)的不同之处就可发现, 图 1.4(a)的 f 比 g 平, 而图 1.4(b)的 f 比 g 陡. 用 K_f 和 K_g 分别表示 f 和 g 的斜率(取绝对值), 可以看出, 当 $K_f < K_g$ 时 P_0 稳定; 当 $K_f > K_g$ 时 P_0 不稳定.

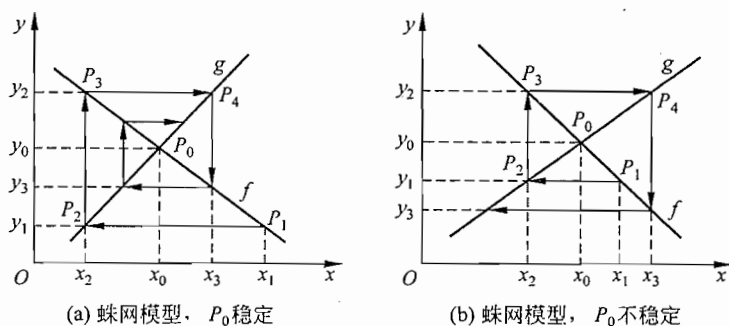


图 1.4

方程模型 为了定量地分析上述现象, 将需求函数 f 表示为

$$y_k - y_0 = -\alpha(x_k - x_0), \quad \alpha > 0, \quad k = 1, 2, \dots \quad (4)$$

供应函数 h 表示为

$$x_{k+1} - x_0 = \beta(y_k - y_0), \quad \beta > 0, \quad k = 1, 2, \dots \quad (5)$$

从(4)式, (5)式中消去 y_k 可得

$$x_{k+1} - x_0 = -\alpha\beta(x_k - x_0), \quad k = 1, 2, \dots \quad (6)$$

知道了 $x_0, y_0, x_1, \alpha, \beta$, 可以用(4)式, (5)式或(6)式计算 x_k, y_k .

为了讨论时间充分长以后(即 $k \rightarrow \infty$ 时) x_k 的变化趋势, 由(6)式可递推地解出

$$x_{k+1} - x_0 = (-\alpha\beta)^k(x_1 - x_0), \quad k = 1, 2, \dots \quad (7)$$

显然, 当方程(6)的系数(取绝对值)小于 1, 即

$$\alpha\beta < 1 \quad \text{或} \quad \alpha < 1/\beta \quad (8)$$

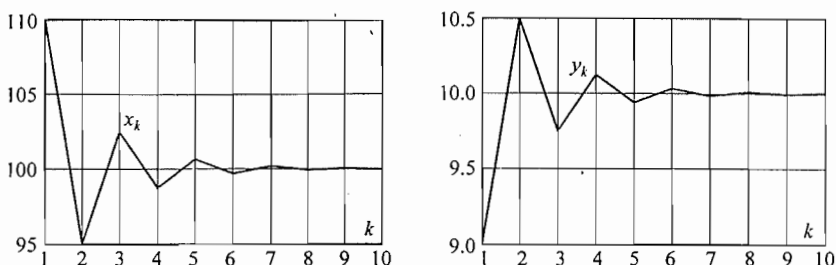
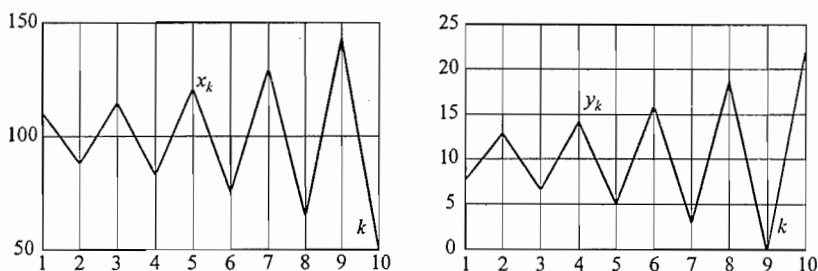
时 $x_k \rightarrow x_0, P_0$ 点稳定; 而当

$$\alpha\beta > 1 \quad \text{或} \quad \alpha > 1/\beta \quad (9)$$

时 $x_k \rightarrow \infty, P_0$ 点不稳定.

注意到(4)式, (5)式的系数 α, β 有 $K_f = \alpha, K_g = 1/\beta$ (因为 $K_h = \beta$), 所以条件(8), (9)与蛛网模型中的分析是完全一致的.

看一个例子. 设某种商品在市场上处于平衡状态时的数量为 $x_0 = 100$ (单位), $y_0 = 10$ (元/单位), 开始时段商品数量为 $x_1 = 110$. 若上市量减少 1 个单位价格上涨 0.1 元, 而价格上涨 1 元下一时段供应量增加 5 个单位, 即 $\alpha = 0.1, \beta = 5$, 则按照方程(4)及方程(5)计算得到的 $x_k, y_k (k = 1, 2, \dots, 10)$ 如图 1.5 所示, 可以看出 x_k, y_k 分别趋向 x_0, y_0 . 当 α 升高至 0.24 时 (β 不变), 得到的结果如图 1.6 所示, x_k, y_k 越来越大.

图 1.5 $\alpha=0.1, \beta=5$ 时蛛网模型 x_k, y_k 的变化图 1.6 $\alpha=0.24, \beta=5$ 时蛛网模型 x_k, y_k 的变化

(4)式, (5)式或(6)式表示了 x_k, y_k 和 x_{k+1}, y_{k+1} 之间的关系, 称为差分方程, 实验 2 将专门讨论用差分方程描述的离散动态过程.

结果解释 考察 α, β 的含义, 可以对市场经济是否会趋于平稳做出合理的解释. 由(4)式可知, α 表示商品上市量减少 1 个单位时价格的上涨幅度; 由(5)式可知, β 表示价格上涨 1 个单位时(下一时段)供应量的增加. 所以 α 反映消费者需求的敏感程度, 如果是生活必需品, 消费者处于持币待购状态, 商品数量稍缺, 人们立即蜂拥抢购, α 就会较大; 反之, 若消费者购物心理稳定, 则 α 较小. β 的数值反映生产经营者对价格的敏感程度, 如果他们目光短浅, 热衷于追逐一时的高利润, 价格稍有上涨就大量增加生产, β 就会较大; 反之, 若他们素质较高, 有长远的计划, 则 β 较小. 定量分析的结果(8)式表明, 当 α, β 的乘积小于 1 时, P_0 是稳定平衡点, 商品数量和价格的振荡会趋向平稳.

政府的干预 基于上述分析可以看出, 当经济趋向不稳定时政府有两种干预办法.

一种办法是使 α 尽量小, 不妨考察其极端情况 $\alpha=0$, 即需求直线 f 变为水平, 这时不管供应函数如何, 即不管 β 多大, (8)式恒成立, 经济总是稳定的. 实际上这种办法相当于政府控制价格, 无论商品上市量有多少, 命令价格 y_0 不得改变(图 1.7(a)).

另一种办法是使 β 尽量小, 极端情况是 $\beta=0$, 即供应直线 g 变为竖直, 于是不管需求函数如何, 即不管 α 多大, (8)式恒成立, 经济稳定. 实际上这相当于政府控制商品的上市数量, 当供应量少于需求时, 从外地收购, 投入市场; 而当供过于求时, 收购过剩部分, 维持

上市量 x_0 不变(图 1.7(b)). 当然这种办法需要政府具有相当的经济实力.

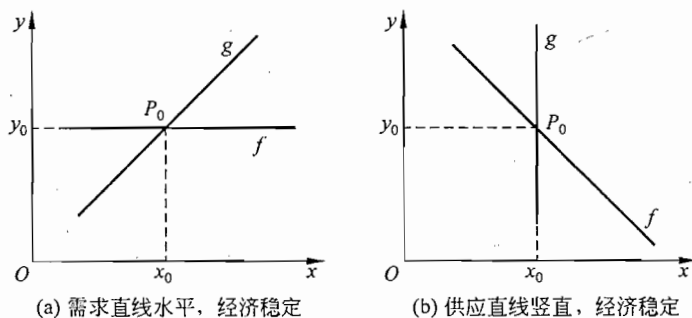


图 1.7

1.2.3 汽车厂生产计划

问题 某汽车厂生产小、中、大 3 种类型的汽车, 已知生产各种类型每辆汽车需要的钢材、劳动时间以及获得的利润如表 1.3, 目前汽车厂每月钢材的供应量为 600t, 每月总的劳动时间为 60000h, 试为该厂制订月生产计划, 使得利润最大. 进一步研究以下问题: 由于各种条件限制, 如果生产某一类型汽车, 则至少要生产 80 辆, 那么最优的生产计划应作何改变?

表 1.3 各种类型每辆汽车需要的钢材、劳动时间及获得的利润

	小型	中型	大型
钢材/t	1.5	3	5
劳动时间/h	280	250	400
利润/万元	2	3	4

基本模型 所谓月生产计划指的是 3 种类型的汽车每月各生产多少辆, 使利润最大. 记每月生产小、中、大型汽车的数量分别为 x_1, x_2, x_3 (非负整数), 汽车厂的月利润为 z . 合理地假设“每辆汽车获得的利润及对钢材、劳动时间的需求量均不随生产数量变化”, 则在钢材供应量和总劳动时间的约束下, 以利润最大为目标的数学模型如下

$$\max \quad z = 2x_1 + 3x_2 + 4x_3 \quad (10)$$

$$\text{s. t.} \quad 1.5x_1 + 3x_2 + 5x_3 \leq 600, \quad (11)$$

$$280x_1 + 250x_2 + 400x_3 \leq 60000, \quad (12)$$

$$x_1, x_2, x_3 \text{ 为非负整数.} \quad (13)$$

其中 x_1, x_2, x_3 为决策变量, 式(10)为目标函数, (11)~(13)式为约束条件, 它们是这个

优化模型的三要素。

因为在目标函数(10)和约束条件(11),(12)中对于决策变量都是线性的,约束条件(13)要求决策变量为整数,所以这个模型称为整数线性规划。

模型求解 虽然整数线性规划有多种解法,但是当决策变量和约束条件比较多时,手工计算是很困难的,可以利用现成的数学软件求解.这个具体问题的解决办法大体上有以下两种:

第一种办法是将约束条件(13)放松为“非负实数”,模型化为简单的线性规划.很多软件如 MATLAB, LINDO 都可以方便地求解线性规划,其解法及软件实现将在实验 8 中介绍.这里只给出结果为 $x_1=64.52$, $x_2=167.74$, $x_3=0$, $z=632.26$.

为了得到 x_1, x_2, x_3 的整数解,可以在上面这个实数解的附近试探:如取 $x_1=65$, $x_2=167$; $x_1=64, x_2=168$; 等.注意:必须在满足约束条件(11),(12)的前提下,对各种试探通过计算并比较目标函数值 z 的大小,得到模型(10)~(13)的解.这个问题的结果是 $x_1=64$, $x_2=168$, $x_3=0$, $z=632$.

第二种办法是用可以直接求解整数线性规划的软件,如 LINDO,其解法及软件实现将在实验 9 中介绍,会得到与上面相同的结果。

虽然看起来第二种办法更方便,但是由于求解整数线性规划的复杂程度比线性规划大得多,因而用普通软件能求解的整数线性规划的规模常常受到限制。

进一步研究的问题 对于提出的“如果生产某一类型汽车,则至少要生产 80 辆”的限制,上面得到的最优解显然不满足这个条件.这种类型的要求是实际生产中经常提出的.这个问题的模型应将上面的(13)式改为

$$x_1, x_2, x_3 = 0 \quad \text{或} \quad \geq 80. \quad (14)$$

一般的解法不能直接考虑这样的约束,(14)式也无法输入数学软件。

解决这类问题的办法大体上有以下三种:

第一种办法 分解为多个线性规划子模型.(14)式可分解为 8 种情况:

$$x_1 = 0, \quad x_2 = 0, \quad x_3 \geq 80; \quad (14.1)$$

$$x_1 = 0, \quad x_2 \geq 80, \quad x_3 = 0; \quad (14.2)$$

$$x_1 = 0, \quad x_2 \geq 80, \quad x_3 \geq 80; \quad (14.3)$$

$$x_1 \geq 80, \quad x_2 = 0, \quad x_3 = 0; \quad (14.4)$$

$$x_1 \geq 80, \quad x_2 \geq 80, \quad x_3 = 0; \quad (14.5)$$

$$x_1 \geq 80, \quad x_2 = 0, \quad x_3 \geq 80; \quad (14.6)$$

$$x_1 \geq 80, \quad x_2 \geq 80, \quad x_3 \geq 80; \quad (14.7)$$

$$x_1, x_2, x_3 = 0. \quad (14.8)$$

(14.8)式显然不可能是问题的解.可以检查,(14.3)式和(14.7)式不满足约束条件(11),也不可能是问题的解.对其他 5 个线性规划子模型逐一求解,比较目标函数值,可知最优

解在(14.5)式情形得到: $x_1=80, x_2=150.4, x_3=0, z=611.2$. 再像前面一样考虑整数约束可得最后结果为 $x_1=80, x_2=150, x_3=0, z=610$.

第二种办法 引入 3 个 0-1 变量. 设 y_1 只取 0, 1 两个值, 则(14)式的 $x_1=0$ 或 ≥ 80 等价于

$$x_1 \leq My_1, \quad x_1 \geq 80y_1, \quad y_1 \in \{0, 1\}, \quad (15.1)$$

其中 M 为相当大的正数, 这里可取 1000 (因为 x_1 不可能超过 1000). 类似地有

$$x_2 \leq My_2, \quad x_2 \geq 80y_2, \quad y_2 \in \{0, 1\}; \quad (15.2)$$

$$x_3 \leq My_3, \quad x_3 \geq 80y_3, \quad y_3 \in \{0, 1\}; \quad (15.3)$$

于是(10)~(12)式, (15.1)~(15.3)式构成一个既有一般的整数变量, 又有 0-1 变量的整数规划模型, 也可以用 LINDO 直接求解, 结果与第一种办法相同.

第三种办法 化为非线性规划. 条件(14)又可表示为

$$x_1(x_1 - 80) \geq 0, \quad x_1 \geq 0; \quad (16.1)$$

$$x_2(x_2 - 80) \geq 0, \quad x_2 \geq 0; \quad (16.2)$$

$$x_3(x_3 - 80) \geq 0, \quad x_3 \geq 0. \quad (16.3)$$

式子左端是决策变量的非线性函数, (10)~(13)式、(16.1)~(16.3)式构成的模型称为非线性规划. 非线性规划也可以用数学软件求解, 如 LINGO 能解整数非线性规划, MATLAB 只能解(实数)非线性规划, 其解法及软件实现将在实验 7 中介绍, 但是结果常依赖于初值的选择, 无法保证得到的是全局最优解. 通常尽量不用非线性规划模型.

1.2.4 人口预报

人类社会进入 20 世纪以来, 在科学技术和生产力飞速发展的同时, 世界人口也以空前的规模增长, 统计数据如表 1.4:

表 1.4 世界人口

年	1625	1830	1930	1960	1974	1987	1999
人口/亿	5	10	20	30	40	50	60

可以看出, 人口每增加 10 亿的时间, 由一百年缩短为十二三年. 我们赖以生存的地球, 已经携带着它的 60 亿子民踏入 21 世纪.

长期以来, 人类的繁殖一直在自发地进行着. 只是由于人口数量的迅速膨胀和环境质量的急剧恶化, 人们才猛然醒悟, 开始研究人类和自然的关系、人口数量的变化规律, 以及如何进行人口控制等问题.

我国是世界第一人口大国, 地球上每 5 个人中就有 1 个中国人. 在 20 世纪的一段时

间内我国人口的增长速度过快,见表 1.5^①:

表 1.5 中国人口

年	1908	1933	1953	1964	1982	1990	2000
人口/亿	3.0	4.7	6.0	7.2	10.3	11.3	12.95

有效地控制我国人口的增长,不仅是使我国全面进入小康社会,到 21 世纪中叶建成富强民主文明的社会主义国家的需要,而且对于全人类社会的美好理想来说,也是我们义不容辞的责任.

认识人口数量的变化规律,做出较准确的人口预报,是有效控制人口增长的前提.长期以来人们在这方面做了不少工作,建立了各种形式的人口模型,下面介绍其中最基本的两种.

1. 指数增长模型

记今年人口为 x_0 , k 年后人口为 x_k , 年增长率为 r , 人们常用的计算公式是

$$x_k = x_0(1+r)^k. \quad (17)$$

显然, (17) 式成立的基本条件是 r 保持不变.

二百多年前英国人口学家马尔萨斯(Malthus, 1766—1834)调查了英国一百多年的人口统计资料,得出了人口增长率不变的假设,并据此建立了下面的模型.

模型建立 记时刻 t 的人口为 $x(t)$, 当考察一个国家或一个较大地区的人口时, $x(t)$ 是一个很大的整数. 为了利用微积分这一数学工具, 将 $x(t)$ 视为连续、可微函数. 记初始时刻($t=0$)的人口为 x_0 . 假设人口增长率为常数 r , 即单位时间内 $x(t)$ 的增量等于 r 乘以 $x(t)$. 考虑 t 到 $t+\Delta t$ 时间内人口的增量, 显然有

$$x(t+\Delta t) - x(t) = rx(t)\Delta t.$$

令 $\Delta t \rightarrow 0$, 得到 $x(t)$ 满足微分方程

$$\begin{cases} \frac{dx}{dt} = rx, \\ x(0) = x_0, \end{cases} \quad (18)$$

由这个方程很容易解出

$$x(t) = x_0 e^{rt}. \quad (19)$$

$r > 0$ 时, (19) 式表示人口将按指数规律随时间无限增长, 称为指数增长模型.

思考 说明我们常用的预报公式(17)就是指数增长模型(19)的离散近似形式.

参数估计 用模型(19)作人口预报必须知道参数 r 和 x_0 , 确定参数的一个办法是利用实际数据作拟合. 为了利用实验 5 中介绍的算法及软件, 需将(19)式取对数, 得

^① 1953—2000 年的数据来自第一次至第五次全国人口普查资料.

$$y = rt + a, \quad y = \ln x, \quad a = \ln x_0. \quad (20)$$

以美国人口实际数据为例(见表 1.6 第 1,2 列),对(20)式作数据拟合,如用 1790 年至 1900 年的数据,得到 $r = 0.2743/10$ 年, $x_0 = 4.1884$;如用全部数据(1790 年至 2000 年)得到 $r = 0.2022/(10 \text{ 年})$, $x_0 = 6.0450$. 也可以在式(20)中令 $x_0 = 3.9$ (1790 年实际人口),只计算 r .

用得到的 r 和 x_0 代入(19)式,将计算结果与实际数据作比较. 表 1.6 中计算人口 x_1 是用 1790 年至 1900 年数据拟合的结果, x_2 是用全部数据拟合的结果,图 1.8 是它们的图形表示(十号是实际数据,曲线是计算结果).

表 1.6 指数增长模型和阻滞增长模型对美国人口数据拟合的结果

年	实际人口/百万	计算人口 x_1 /百万 (指数增长模型)	计算人口 x_2 /百万 (指数增长模型)	计算人口 x /百万 (阻滞增长模型)
1790	3.9	4.2	6.0	3.9
1800	5.3	5.5	7.4	5.0
1810	7.2	7.2	9.1	6.5
1820	9.6	9.5	11.1	8.3
1830	12.9	12.5	13.6	10.7
1840	17.1	16.5	16.6	13.7
1850	23.2	21.7	20.3	17.5
1860	31.4	28.6	24.9	22.3
1870	38.6	37.6	30.5	28.3
1880	50.2	49.5	37.3	35.8
1890	62.9	65.1	45.7	45.0
1900	76.0	85.6	55.9	56.2
1910	92.0		68.4	69.7
1920	106.5		83.7	85.5
1930	123.2		102.5	103.9
1940	131.7		125.5	124.5
1950	150.7		153.6	147.2
1960	179.3		188.0	171.3
1970	204.0		230.1	196.2
1980	226.5		281.7	221.2
1990	251.4		344.8	245.3
2000	281.4		422.1	

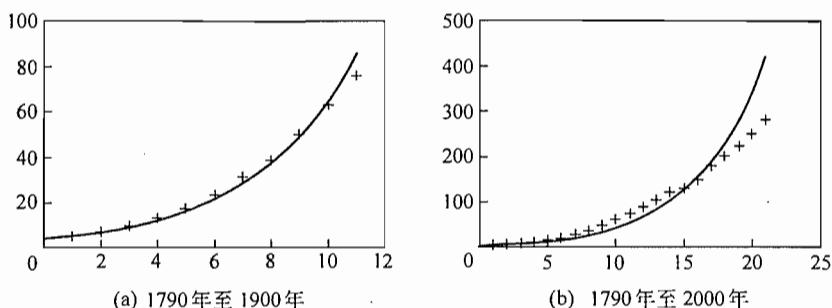


图 1.8 用指数增长模型拟合美国人口数据

结果分析 可以看出,指数增长模型基本上能够描述 19 世纪以前美国人口的增长,但是进入 20 世纪后,美国人口增长明显变慢,这个模型就不合适了.

历史上,指数增长模型与 19 世纪以前欧洲一些地区人口统计数据可以很好地吻合,迁往加拿大的欧洲移民后代人口也大致符合这个模型.另外,用它作短期人口预测可以得到较好的结果.显然,这是因为在这些情况下,模型的基本假设——人口增长率是常数,大致成立.

但是长期来看,任何地区的人口都不可能无限增长,即指数模型不能描述,也不能预测较长时期的人口演变过程.这是因为,人口增长率事实上是在不断地变化着.排除灾难、战争等特殊时期,一般说来,当人口较少时,增长较快,即增长率较大;人口增加到一定数量以后,增长就会慢下来,即增长率变小.

为了使人口预报特别是长期预报更好地符合实际情况,必须修改指数增长模型关于人口增长率是常数这个基本假设.

2. 阻滞增长模型(Logistic 模型)

模型建立 分析人口增长到一定数量后增长率下降的主要原因,人们注意到,自然资源、环境条件等因素对人口的增长起着阻滞作用,并且随着人口的增加,阻滞作用越来越大.

阻滞作用体现在对人口增长率 r 的影响上,使得 r 随着人口数量 x 的增加而下降.若将 r 表示为 x 的函数 $r(x)$,则它应是减函数.于是方程(18)改为

$$\begin{cases} \frac{dx}{dt} = r(x)x, \\ x(0) = x_0. \end{cases} \quad (21)$$

对 $r(x)$ 的一个最简单的假定是,设 $r(x)$ 为 x 的线性函数,即

$$r(x) = r - sx, \quad r, s > 0, \quad (22)$$

这里 r 称固有增长率,表示人口很少时(理论上是 $x = 0$)的增长率.为了确定系数 s 的意

义,引入自然资源和环境条件所能容纳的最大人口数量 x_m ,称人口容量.当 $x = x_m$ 时人口不再增长,即增长率 $r(x_m) = 0$,代入(22)式得 $s = r/x_m$,于是 $r(x) = r(1 - x/x_m)$,将它代入方程(21)得

$$\begin{cases} \frac{dx}{dt} = rx \left(1 - \frac{x}{x_m}\right), \\ x(0) = x_0. \end{cases} \quad (23)$$

方程(23)右端的因子 rx 体现人口自身的增长趋势,因子 $(1 - x/x_m)$ 则体现了资源和环境对人口增长的阻滞作用,这个模型称为阻滞增长模型.

如果以 x 为横轴, dx/dt 为纵轴作出方程(23)的图形(图 1.9(a)),可以看出,人口增长速度 dx/dt 随着 x 的增加而变化的情况.请读者由此分析 $x(t)$ 的变化过程,大致画出 $x(t)$ 的图形.

方程(23)可以用分离变量法求解得到

$$x(t) = \frac{x_m}{1 + \left(\frac{x_m}{x_0} - 1\right)e^{-rt}}. \quad (24)$$

读者可以用计算机画出(24)式的图形,它是一条 S 形曲线(图 1.9(b)), x 增加得先快后慢, $t \rightarrow \infty$ 时 $x \rightarrow x_m$,拐点在 $x = x_m/2$. (上面你大致画出的图形与这个图形一样吗?)

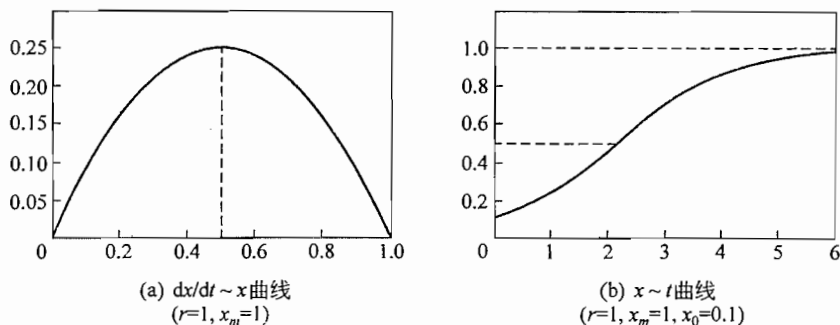


图 1.9 Logistic 模型曲线

参数估计 为了利用实验 5 中介绍的算法及软件,估计这个模型的参数 r 和 x_m ,我们不用(24)式,而将方程(23)表示为

$$\frac{dx/dt}{x} = r - sx, \quad s = \frac{r}{x_m}. \quad (25)$$

(25)式左端可以从表 1.6 的实际人口数据用数值微分(见实验 2)算出,右端对参数 r, s 是线性的. 利用 1860 年至 1990 年的数据(去掉个别异常数据)计算得到 $r = 0.2557/(10$

年), $x_m = 392.0886$. 用上面得到的参数 r 和 x_m 代入(24)式, 计算结果见表 1.6 最后一列和图 1.10.

可以看出, 用这个模型拟合时虽然中间一段(19 世纪中叶到 20 世纪中叶)不大好, 但是最后一段(20 世纪中叶以后)吻合得不错.

模型检验 在估计阻滞增长模型的参数时没有用 2000 年的实际数据, 是为了用它作模型检验. 我们用模型计算 2000 年的人口, 与已知的实际数据(281.4 百万)比较, 来检验模型是否合适.

为简单起见, 可利用 $x(1990)$ 和方程(23)做如下计算:

$$x(2000) = x(1990) + \Delta x = x(1990) + r x(1990)[1 - x(1990)/x_m]$$

得到 $x(2000) = 274.5$ (百万), 与实际数据的误差约 2.5%, 可以认为该模型是相当满意的.

人口预报 应将 2000 年的实际数据加进去重新估计参数, 可得 $r = 0.2490/(10 \text{ 年})$, $x_m = 433.9886$. 然后再用模型检验中的计算方法预报美国 2010 年的人口, 得到 $x(2010) = 306.0$ (百万). 这个预报结果的准确性如何, 让我们拭目以待.

由方程(23)表示的阻滞增长模型, 是荷兰生物数学家 Verhulst 于 19 世纪中叶提出的. 它不仅能够大体上描述人口及许多物种数量(如森林中的树木、鱼塘中的鱼群等)的变化规律, 而且在社会经济领域也有广泛的应用, 例如耐用消费品的售量就可以用它来描述. 人们常称这个模型为 **Logistic 模型**.

通过上面 4 个例题可以看到实际问题建立数学模型的过程, 同时也体现出数学实验在建模过程中的应用: 例 1.2.3 模型的求解要依靠计算机和数学软件, 例 1.2.1 和例 1.2.4 中用软件作的参数估计则直接是建模的一部分.

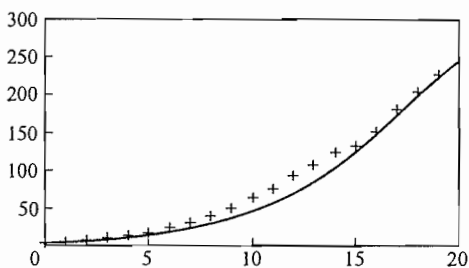


图 1.10 阻滞增长模型拟合美国人口数据
(1790 年为起点)

1.3 数学建模的基本方法和步骤以及重要意义

数学建模面临的实际问题多种多样, 建模的目的不同, 分析的方法不同, 采用的数学工具不同, 所得模型的类型也不同. 我们不能指望归纳出若干条准则, 适用于一切实际问题的数学建模. 下面所谓基本方法不是针对具体问题而是从方法论的意义上讲的.

1.3.1 数学建模的基本方法

一般说来, 数学建模方法大体上可分为机理分析和测试分析两种. 机理分析是根据对

客观事物特性的认识,找出反映内部机理的数量规律,建立的模型常有明确的物理意义或其他实际意义. 1.2 节的几个实例主要用的是机理分析. 测试分析将研究对象看作一个“黑箱”系统(意思是它的内部机理看不清楚),通过对系统输入、输出数据的测量和统计分析,按照一定的准则找出与数据拟合得最好的模型.

面对一个实际问题用哪一种方法建模,主要取决于人们对研究对象的了解程度和建模目的. 如果掌握了一些内部机理的知识,模型也要求具有反映内在特征的物理意义,建模就应以机理分析为主. 而如果对象的内部规律基本上不清楚,模型也不需要反映内部特性(例如仅用于对输出作预报),那么就可以用测试分析. 对于许多实际问题也常常将两种方法结合起来,用机理分析建立模型的结构,用测试分析确定模型的参数,1.2.1 节中的汽车刹车距离就是这种情况.

机理分析当然要针对具体问题来做,不可能有统一的方法,因而主要是通过实例研究(case studies)来学习. 测试分析有一套完整的数学方法,以后的实验中我们将学习的最小二乘法、回归分析等是其中的一小部分. 以动态系统为主的测试分析称为系统辨识(system identification),是一支专门学科. 本书以后所说的数学建模主要指机理分析.

1.3.2 数学建模的一般步骤

建模要经过哪些步骤并没有一定的模式,通常与问题性质、建模目的等有关. 下面介绍的是机理分析方法建模的一般过程,如图 1.11 所示.

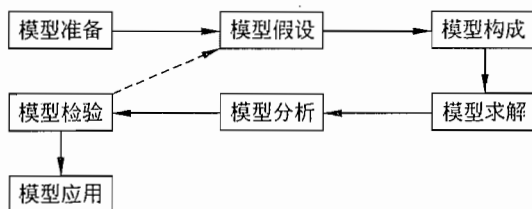


图 1.11 数学建模步骤示意图

模型准备 了解问题的实际背景,明确建模目的,搜集必要的信息如现象、数据等,尽量弄清对象的主要特征,形成一个比较清晰的“问题”,由此初步确定用哪一类模型. 情况明才能方法对. 在模型准备阶段要深入调查研究,虚心向实际工作者请教,尽量掌握第一手资料.

模型假设 根据对象的特征和建模目的,抓住问题的本质,忽略次要因素,做出必要的、合理的简化假设. 对于建模的成败这是非常重要和困难的一步. 假设做得不合理或太简单,会导致错误的或无用的模型;假设做得过分详细,试图把复杂对象的众多因素都考虑进去,会很难或无法继续下一步的工作. 常常需要在合理与简化之间做出恰当的折衷. 通常,作假设的依据,一是出于对问题内在规律的认识,二是来自对现象、数据的分析,以

及二者的综合.想像力、洞察力、判断力和经验,在模型假设中起着重要作用.

模型构成 根据所作的假设,用数学的语言、符号描述对象的内在规律,建立包含常量、变量等的数学模型,如优化模型、微分方程模型、差分方程模型、图的模型等.这里除了需要一些相关学科的专门知识外,还常常需要较为广阔的应用数学方面的知识.要善于发挥想像力,注意使用类比法,分析对象与熟悉的其他对象的共性,借用已有的模型.建模时还应遵循的一个原则是,尽量采用简单的数学工具,因为所建模型总是希望更多的人了解和使用;而不是只供少数专家欣赏.

模型求解 可以采用解方程、画图形、优化方法、数值计算、统计分析等各种数学方法,特别是数学软件和计算机技术.

模型分析 对求解结果进行数学上的分析,如结果的误差分析,模型对数据的灵敏性分析、对假设的强健性分析等.

模型检验 把求解和分析结果翻译回到实际问题,与实际的现象、数据比较,检验模型的合理性和适用性.如果结果与实际不符,问题常常出在模型假设上,应该修改、补充假设,重新建模,如图 1.11 中的虚线所示.这一步对于模型是否真的有用非常关键,要以严肃认真的态度对待.有些模型要经过几次反复,不断完善,直到检验结果获得某种程度上的满意.

模型应用 应用的方式与问题性质、建模目的及最终的结果有关,一般不属于本书讨论的范围.

应当指出,并不是所有问题的建模都要经过这些步骤,有时各步骤之间的界限也不那么分明,建模时不要拘泥于形式上的按部就班,本书的实例就采取了灵活的表述形式.

有人认为,目前数学建模与其说是一门技术,不如说是一门艺术.与一种技术大致上有章可循不同,艺术在某种意义下无法归纳出若干条普遍适用的准则.一名出色的艺术家需要大量的观摩和前辈的指教,更需要亲身的实践.类似地,掌握建模这门艺术,培养想像力和洞察力,一要学习、分析、评价、改进别人做过的模型;二要亲自动手,认真做几个实际题目.作为数学实验课程的教材,我们在每个实验中都给出若干经过简化的实际问题,用作建模练习.希望阅读更多建模示例的读者,可以参考众多的数学模型书籍,如参考文献[1~8].

1.3.3 数学建模的重要意义

进入 20 世纪以来,随着数学以空前的广度和深度向一切领域的渗透,和电子计算机的出现与飞速发展,数学建模越来越受到人们的重视,可以从以下几方面来看数学建模在现实世界中的重要意义.

(1) 在一般工程技术领域,数学建模仍然大有用武之地.

在以声、光、热、力、电这些物理学科为基础的诸如机械、电机、土木、水利等工程技术

领域中,数学建模的普遍性和重要性不言而喻。虽然这里的基本模型是已有的,但是由于新技术、新工艺的不断涌现,提出了许多需要用数学方法解决的新问题;高速、大型计算机的飞速发展,使得过去即便有了数学模型也无法求解的课题(如大型水坝的应力计算等)迎刃而解;建立在数学模型和计算机模拟基础上的CAD技术,以其快速、经济、方便等优势,大量地替代了传统工程设计中的现场实验、物理模拟等手段。

(2) 在高新技术领域,数学建模几乎是必不可少的工具。

无论是发展通信、航天、微电子、自动化等高新技术本身,还是将高新技术用于传统工业去创造新工艺、开发新产品,计算机技术支持下的建模和模拟都是经常使用的有效手段。数学建模、数值计算和计算机图形学等相结合形成的计算机软件,已经被固化于产品中,在许多高新技术领域起着核心作用,被认为是高新技术的特征之一。在这个意义上,数学不再仅仅作为一门科学,是许多技术的基础,而且直接走向了技术的前台。国际上一些学者提出了“高技术本质上是一种数学技术”的观点。

(3) 数学迅速进入一些新领域,为数学建模开拓了许多新的处女地。

随着数学向诸如经济、人口、生态、地质等所谓非物理领域的渗透,一些交叉学科如计量经济学、人口控制论、数学生态学、数学地质学等应运而生。这里一般地说不存在作为支配关系的物理定律,当用数学方法研究这些领域中的定量关系时,数学建模就成为首要的、关键的步骤和这些学科发展与应用的基础。在这些领域里建立不同类型、不同方法、不同深浅程度模型的余地相当大,为数学建模提供了广阔的新天地。马克思说过:“一门科学只有成功地运用数学时,才算达到了完善的地步”。展望21世纪,数学必将大踏步地进入所有学科,数学建模将迎来蓬勃发展的新时期。

今天,在国民经济和社会活动的以下诸多方面,数学建模都有着非常具体的应用。

分析与设计 例如描述药物浓度在人体内的变化规律以分析药物的疗效;建立跨音速流和激波的数学模型,用数值模拟设计新的飞机翼型。

预报与决策 生产过程中产品质量指标的预报,气象预报,人口预报,经济增长预报等,都要有预报模型;使经济效益最大的价格策略,使费用最少的设备维修方案,是决策模型的例子。

控制与优化 电力、化工生产过程的最优控制,零件设计中的参数优化,要以数学模型为前提。建立大系统控制与优化的数学模型,是迫切需要和十分棘手的课题。

规划与管理 生产计划、资源配置、运输网络规划、水库优化调度,以及排队策略、物资管理等,都可以用运筹学模型解决。

数学建模与计算机技术的关系密不可分。一方面,像新型飞机设计、石油勘探数据处理中数学模型的求解当然离不开巨型计算机,而个人计算机的普及更使数学建模逐步进入人们的日常活动。比如当一位公司经理根据客户提出的产品数量、质量、交货期等要求,用笔记本电脑与客户进行价格谈判时,您不会怀疑他的电脑中贮存了由公司的各种资源、

产品工艺流程及客户需求等数据研制的数学模型——快速报价系统和生产计划系统. 另一方面, 以数字化为特征的信息正以爆炸之势涌入计算机, 去伪存真、归纳整理、分析现象、显示结果……计算机需要人们给它以思维的能力, 这些当然要求助于数学模型. 所以把计算机技术与数学建模在知识经济中的作用比喻为如虎添翼, 是恰如其分的.

美国科学院一份报告总结了将数学科学转化为生产力过程中的成功和失败, 得出了“数学是一种关键的、普遍的、可以应用的技术”的结论, 认为数学“由研究到工业领域的技术转化, 对加强经济竞争力具有重要意义”, 而“计算和建模重新成为中心课题, 它们是数学科学技术转化的主要途径”.

1.4 实验练习

实验目的 通过解决简化的实际问题学习初步的数学建模方法, 培养建模意识.

实验内容

1. 怎样解决下面的实际问题? 包括需要哪些数据资料, 要做些什么观察、试验以及建立什么样的数学模型等:

(1) 估计一个人体内血液的总量.

(2) 为保险公司制定人寿保险金计划(不同年龄的人应缴纳的金额和公司赔偿的金额).

(3) 估计一批日光灯管的寿命.

(4) 确定火箭发射至最高点所需的时间.

(5) 决定十字路口黄灯亮的时间长度.

(6) 为汽车租赁公司制订车辆维修、更新和出租计划.

(7) 一高层办公楼有 4 部电梯, 早晨上班时间非常拥挤, 试制订合理的运行计划.

2. 在超市购物时你注意到大包装商品比小包装商品便宜这种现象了吗? 比如洁银牙膏 50g 装的每支 1.50 元, 120g 装的每支 3.00 元, 二者单位重量的价格比是 1.2 : 1. 试构造模型解释这个现象.

(1) 分析商品价格 c 与商品重量 w 的关系. 价格由生产成本、包装成本和其他成本决定, 这些成本中有的与重量 w 成正比, 有的与表面积成正比, 还有与 w 无关的因素.

(2) 给出单位重量价格 c 与 w 的关系, 画出它的简图, 说明 w 越大 c 越小, 但是随着 w 的增加 c 减小的程度变小. 解释实际意义是什么.

3. 利用表 1.6 给出的 1790—2000 年的美国实际人口资料建立下列模型:

(1) 分段的指数增长模型. 将时间分为若干段, 分别确定增长率 r .

(2) 阻滞增长模型. 换一种方法确定固有增长率 r 和最大容量 x_m .

4. 说明 Logistic 模型(24)可表为 $x(t) = \frac{x_m}{1 + e^{-r(t-t_0)}}$, 其中 t_0 是人口增长出现拐点的时刻, 并给出 t_0 与 r, x_m, x_0 的关系.

5. 假定人口的增长服从这样的规律: 时刻 t 的人口为 $x(t)$, t 到 $t + \Delta t$ 时间内人口的增量与 $x_m - x(t)$ 成正比(其中 x_m 为最大容量). 试建立模型并求解. 作出解的图形并与指数增长模型、阻滞增长模型的结果进行比较.

6. 一垂钓俱乐部鼓励垂钓者将钓上的鱼放生, 打算按照放生的鱼的重量给予奖励. 俱乐部只准备了一把软尺用于测量, 请你设计按照测量的长度估计鱼的重量的方法. 假定鱼池中只有一种鱼(鲈鱼), 并且得到 8 条鱼的数据如表 1.7(胸围指鱼身的最大周长):

表 1.7

身长/cm	36.8	31.8	43.8	36.8	32.1	45.1	35.9	32.1
重量/g	765	482	1162	737	482	1389	652	454
胸围/cm	24.8	21.3	27.9	24.8	21.6	31.8	22.9	21.6

用机理分析建立模型, 并试用数据确定参数.

7. 要在雨中从一处走到另一处, 雨的方向和大小都不变, 试建立一个模型讨论是否走得越快, 淋雨量越小. 设人体为长方柱, 表面积之比为: 前: 侧: 顶 = 1: a : b . 人沿 x 方向以速度 v 前进, 而雨速在 x, y, z 方向的分量为 u_x, u_y, u_z . 写出淋雨量的表达式, 画出淋雨量随 v 变化的曲线, 从而确定在什么情况下走得越快, 淋雨量越小, 在什么情况下不是这样.

8. 甲、乙两公司通过广告来竞争销售商品的数量, 广告费分别是 x 和 y . 设甲、乙公司商品的售量在两公司总售量中占的份额, 是它们的广告费在总广告费中所占份额的函数 $f\left(\frac{x}{x+y}\right)$ 和 $f\left(\frac{y}{x+y}\right)$. 又设公司的收入与售量成正比, 从收入中扣除广告费后即为公司利润. 试构造模型的图形, 并讨论甲公司怎样确定广告费才能使利润最大.

(1) 令 $t = \frac{x}{x+y}$, 则 $f(t) + f(1-t) = 1$. 画出 $f(t)$ 的示意图.

(2) 写出甲公司利润的表达式 $p(x)$. 对于一定的 y , 使 $p(x)$ 最大的 x 的最优值应满足什么关系. 用图解法确定这个最优值.

参 考 文 献

- 1 姜启源, 谢金星, 叶俊. 数学模型. 第三版. 北京: 高等教育出版社, 2003
- 2 徐全智, 杨晋浩. 数学建模. 北京: 高等教育出版社, 2003
- 3 雷功炎. 数学模型讲义. 北京: 北京大学出版社, 1999

- 4 杨启帆,方道元. 数学建模. 杭州: 浙江大学出版社,1999
- 5 任善强,雷鸣. 数学模型. 第二版. 重庆: 重庆大学出版社,1998
- 6 谭永基,俞文鲋. 数学模型. 上海: 复旦大学出版社,1997
- 7 刘来福. 数学模型与数学建模. 北京: 北京师范大学出版社,1997
- 8 叶其孝,姜启源等译. 数学建模. 北京: 机械工业出版社,2004

实验 2

差分方程和数值微分

差分方程是在离散时段上描述现实世界中变化过程的数学模型,试看两个简单的例子.

例 1 某种货币 1 年期存款的年利率是 r , 现存入 M 元, 问 n 年后的本金与利息之和 (下称本息) 是多少?

按照规定, 存款 1 年到期后若不取出, 则银行自动将本息一起作为本金转存 1 年. 记第 k 年的本息为 x_k , 则第 $k+1$ 年的本息应为

$$x_{k+1} = (1+r)x_k, \quad k = 0, 1, 2, \dots \quad (1)$$

以 $k=0$ 时 $x_0=M$ 代入, 并将 (1) 式递推 n 次可得 n 年后本息为 $x_n=(1+r)^n M$.

例 2 污水处理厂每天可将处理池的污水 (中含污物) 浓度降低一个固定比例 q , 问多长时间才能使污水浓度降低一半?

记第 k 天的污水浓度为 c_k , 则第 $k+1$ 天的污水浓度为

$$c_{k+1} = (1-q)c_k, \quad k = 0, 1, 2, \dots \quad (2)$$

从 $k=0$ 开始递推 n 次得 $c_n=(1-q)^n c_0$, 以 $c_n=c_0/2$ 代入可解出 $n=-\frac{\lg 2}{\lg(1-q)}$, n 天后污水浓度降低一半.

上面的例子研究的是本息和污水浓度两个动态过程, 并且是在离散的时间点上对其进行观测和描述, 称为离散动态过程 (或离散动态系统), 虽然它们实际的变化可以是连续的 (如污水浓度). 用以表述离散动态过程规律的数学模型 (1), (2) 式, 称为差分方程, 实际上就是变量 x_k (和 c_k) 对 k 的递推公式.

差分是微分的近似, 当函数以离散数据形式表示时, 函数的数值微分就要借助差分来计算.

这个实验的主要部分是差分方程, 2.1 节至 2.4 节用线性差分方程、方程组和非线性方程建立几个实际的离散动态过程的数学模型, 用 MATLAB 计算数值解, 并适当地进行理论分析, 2.5 节简要介绍数值微分, 2.6 节布置实验练习.

2.1 一阶线性常系数差分方程

上面的(1)式,(2)式就是最简单的一阶线性常系数差分方程,让我们再看一个实例.

2.1.1 濒危物种的自然演变和人工孵化

问题 Florida 沙丘鹤属于濒危物种,据报道,生态学家估计它在较好的自然环境下,年平均增长率仅为 1.94%,而在中等及较差的自然环境下,年平均增长率则分别为 -3.24%和 -3.82%,即它将逐年减少.如果在某自然保护区内开始有 100 只鹤,建立描述其数量变化规律的模型,并作数值计算.

人工孵化是挽救这个濒危物种的措施之一,如果每年人工孵化 5 只鹤放入该保护区,那么在中等自然环境下沙丘鹤的数量将如何变化?

模型及其求解 记第 k 年沙丘鹤的数量为 x_k ,自然环境下的年平均增长率为 r ,且 $a=1+r$,则第 $k+1$ 年鹤的数量为

$$x_{k+1} = ax_k, \quad a = 1+r, \quad k = 0, 1, 2, \dots \quad (3)$$

在较好、中等和较差的自然环境下,以 $r=0.0194, -0.0324$ 和 -0.0382 以及 $x_0=100$ 代入,用 MATLAB 计算并作图,程序如下:

```
function x=exf11(x0,n,r)      % 建立名为 exf11 的函数 M 文件, x0,n,r 可调节
a=1+r;
x=x0;                        % 赋初值
for k=1:n
    x(k+1)=a*x(k);           % 按照(3)式迭代计算
end

k=(0:20)';
y1=exf11(100,20,0.0194);     % 给定 x0,n,r,调用 exf11 计算
y2=exf11(100,20,-0.0324);
y3=exf11(100,20,-0.0382);
round([k,y1',y2',y3']),      % 对结果四舍五入取整
plot(k,y1,k,y2,'-',k,y3,'--'), % 将 3 条线画在一个图上
gtext('r=0.0194'), gtext('r=-0.0324'), gtext('r=-0.0382'),      % 在图上做标记
```

得到的结果如表 2.1 (第 1~4 列) 和图 2.1 所示.

在人工孵化条件下,设每年孵化的数量为 b ,则(3)式将变为

$$x_{k+1} = ax_k + b, \quad a = 1+r, \quad k = 0, 1, 2, \dots \quad (4)$$

表 2.1 (3)式和(4)式的计算结果

k	x_k ($r=0.0194$)	x_k ($r=-0.0324$)	x_k ($r=-0.0382$)	$x_k(b=5)$ ($r=-0.0324$)
0	100	100	100	100
1	102	97	96	102
2	104	94	93	103
3	106	91	89	105
4	108	88	86	107
\vdots	\vdots	\vdots	\vdots	\vdots
15	133	61	56	121
16	136	59	54	122
17	139	57	52	123
18	141	55	50	124
19	144	53	48	125
20	147	52	46	126

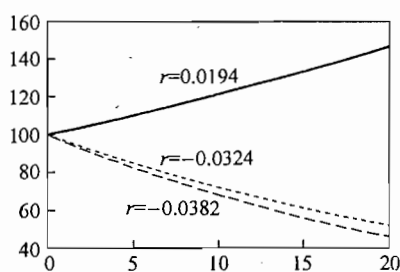


图 2.1 按(3)式计算的曲线

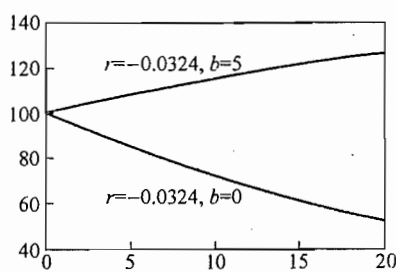


图 2.2 按(4)式计算的曲线

在中等自然环境下($r=-0.0324$)以 $b=5$ 代入,用 MATLAB 计算得到的结果如表 2.1 最后一列和图 2.2 所示.

结果分析 讨论时间充分长以后沙丘鹤数量的变化趋势,即 $k \rightarrow \infty$ 时 x_k 的极限状态.

在自然环境下(3)式的解的形式为

$$x_k = a^k x_0, \quad a = 1 + r, \quad k = 0, 1, 2, \dots \quad (5)$$

显然当 $a > 1$ (即 $r > 0$) 时 $x_k \rightarrow \infty$, 而 $a < 1$ (即 $r < 0$) 时 $x_k \rightarrow 0$, 表明在中等及较差的自然环境下沙丘鹤将濒于灭绝.

在人工孵化条件下由(4)式可得

$$x_k = a^k x_0 + b(1 + a + \cdots + a^{k-1}) = a^k x_0 + b \frac{1-a^k}{1-a}, \quad k = 0, 1, 2, \cdots \quad (6)$$

当 $a < 1$ (即 $r < 0$) 时 $x_k \rightarrow x = b/(1-a)$. 对于充分大的 k 用(4)式计算 x_k 的结果如图 2.3, 且得 $x_{200} = 154.25$. 可与上述结果 $x = b/(1-a) = b/(-r) = 5/0.0324 = 154.32$ 对比.

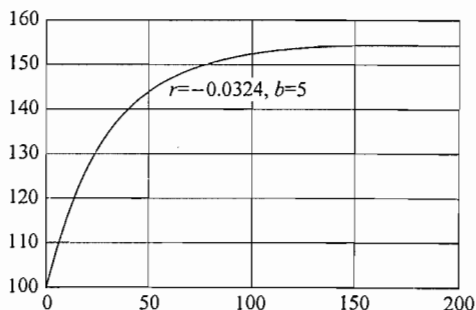


图 2.3 按(4)式计算的曲线(k 充分大)

2.1.2 一阶线性常系数差分方程的解、平衡点及其稳定性

上面例子中的(3)式,(4)式都是一阶线性常系数差分方程,其一般形式如(4)式, a , b 是已知常数,差分方程(4)中令 $x_k = x_{k+1} = x$ 得到的代数方程

$$x = ax + b \quad (7)$$

的根 $x = b/(1-a)$ 称为差分方程的平衡点. 差分方程(4)的解可表为

$$x_k = ca^k + b/(1-a), \quad k = 0, 1, 2, \cdots \quad (8)$$

c 由初始值 x_0 确定.

如果 $k \rightarrow \infty$ 时 $x_k \rightarrow x$, 称平衡点 x 是稳定的, 否则平衡点 x 是不稳定的. 显然, 由(8)式可知, 差分方程(4)的平衡点稳定的充要条件是 $|a| < 1$.

2.2 高阶线性常系数差分方程

如果第 $k+1$ 时段变量 x_{k+1} 不仅取决于第 k 时段变量 x_k , 而且与以前时段变量有关, 就要用高阶差分方程来描述.

2.2.1 一年生植物的繁殖

问题 一年生植物春季发芽, 夏天开花, 秋季产种, 没有腐烂、风干、被人为掠去的那些种子可以活过冬天, 其中的一部分能在第二年春季发芽, 然后开花、产种, 其中的另一部

分虽未能发芽,但如又能活过一个冬天,则其中一部分可在第三年春季发芽,然后开花、产种,如此继续.一年生植物只能活 1 年,而近似地认为,种子最多可以活过两个冬天.试建立数学模型研究这种植物数量的变化规律,及它能够一直繁殖下去的条件.

模型及其求解 记一棵植物秋季产种的平均数为 c ,种子能够活过一个冬天的比例为 b ,一岁的种子能在春季发芽的比例为 a_1 ,未能发芽但又能活过一个冬天的比例仍为 b ,两岁的种子能在春季发芽的比例为 a_2 . 设 c, a_1, a_2 固定,而 b 可在一定范围内变化.

记第 k 年的植物数量为 x_k ,按照种子最多可以活过两个冬天的假定, x_k 与 x_{k-1} 和 x_{k-2} 有关,由 x_{k-1} 决定的部分显然是 $a_1 b c x_{k-1}$,而由 x_{k-2} 决定的部分则是 $a_2 \times b(1-a_1) \times b c x_{k-2}$,若今年($k=0$)种下(并成活)的植物数量为 x_0 ,可以得到

$$x_1 = a_1 b c x_0, \quad x_k = a_1 b c x_{k-1} + a_2 b(1-a_1) b c x_{k-2}, \quad k = 2, 3, \dots \quad (9)$$

记 $p = -a_1 b c$, $q = -a_2 b(1-a_1) b c$, 则

$$x_1 + p x_0 = 0, \quad x_k + p x_{k-1} + q x_{k-2} = 0, \quad k = 2, 3, \dots \quad (10)$$

设 $c=10$, $a_1=0.5$, $a_2=0.25$, $b=0.18 \sim 0.20$, 且 $x_0=100$, 用 MATLAB 计算并绘图,程序如下:

```
function x=exf12(x0,n,b) % 建立名为 exf12 的函数 M 文件, x0, n, b 可调节
c=10;a1=0.5;a2=0.25;
p=-a1*b*c;
q=-a2*(1-a1)*c*b^2;
x(1)=x0; % 赋初值
x(2)=-p*x(1); % 按照(10)迭代计算
for k=3:n
    x(k)=-p*x(k-1)-q*x(k-2); % 按照(10)迭代计算
end

k=(0:20)';
y1=exf12(100,21,0.18); % 给定 x0, n, b, 调用 exf12 计算
y2=exf12(100,21,0.19);
y3=exf12(100,21,0.20);
round([k,y1',y2',y3']),
plot(k,y1,k,y2,'-',k,y3,'-'),
gtext('b=0.18'),gtext('b=0.19'),gtext('b=0.20')
```

得到的结果如表 2.2 和图 2.4 所示.

结果分析 可以看到,对于不同的 b , x_k 的变化规律有较大差别. 为了研究这种差别的机理,需要得到方程(10)的解的表达式. 注意到一阶差分方程(3)的解为(5)式,对于二阶差分方程可以寻求形如 $x_k = \lambda^k$ 的解,将其代入(10)式得

$$\lambda^2 + p\lambda + q = 0. \quad (11)$$

表 2.2 (10)式的计算结果

k	$x_k(b=0.18)$	$x_k(b=0.19)$	$x_k(b=0.20)$
0	100	100	100
1	90	95	100
2	85	95	105
3	80	94	110
4	76	94	115
\vdots	\vdots	\vdots	\vdots
15	40	89	192
16	37	89	202
17	35	88	211
18	33	88	221
19	31	88	232
20	30	87	243

代数方程(11)称为差分方程(10)的特征方程,方程(11)的根

$$\lambda_{1,2} = \frac{-p \pm \sqrt{p^2 - 4q}}{2} \quad (12)$$

称为差分方程(10)的特征根,方程(10)的解可表为

$$x_k = c_1 \lambda_1^k + c_2 \lambda_2^k, \quad k = 0, 1, 2, \dots \quad (13)$$

其中常数 c_1, c_2 由初始条件 x_0, x_1 确定.

对于本例,用 $p = -a_1 bc$, $q = -a_2 b(1 - a_1)bc$, $c = 10$, $a_1 = 0.5$, $a_2 = 0.25$ 代入(12)式得

$$\lambda_{1,2} = \frac{a_1 bc \pm \sqrt{(a_1 bc)^2 + 4a_2(1 - a_1)b^2 c}}{2} = \frac{5 \pm \sqrt{30}}{2} b, \quad (14)$$

当 $b=0.18, 0.19, 0.20$ 时, (λ_1, λ_2) 分别为 $(0.9430, -0.0430)$, $(0.9953, -0.0453)$, $(1.0477, -0.0477)$. 对于 $b=0.18$, 用 $x_0=100, x_1=90$ 代入(13)式, 可解出 $c_1=95.64$, $c_2=4.36$, 于是

$$x_k = 95.64(0.943)^k + 4.36(-0.043)^k, \quad k = 0, 1, 2, \dots \quad (15)$$

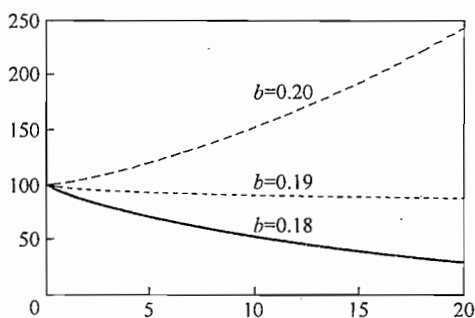


图 2.4 表 2.2 的图示

对于 $b=0.20$, 用 $x_0=x_1=100$ 代入(13)式, 可解出 $c_1=95.65, c_2=4.35$, 于是

$$x_k = 95.65(1.0477)^k + 4.35(-0.0477)^k, \quad k = 0, 1, 2, \dots \quad (16)$$

用(15)式, (16)式计算的结果应该与表 2.2 一样.

可以看出, 当 $|\lambda_{1,2}| < 1$ 时 $x_k \rightarrow 0 (k \rightarrow \infty)$, 当 $|\lambda_{1,2}| > 1$ 时 $x_k \rightarrow \infty (k \rightarrow \infty)$. 由(14)式容易得到, $x_k \rightarrow \infty$ (即植物能够一直繁殖下去)的条件为 $b > 0.191$.

2.2.2 蛛网模型的推广

问题 1.2.2 节市场经济中的蛛网模型中, 商品价格 y_k 依赖于商品数量 x_k , 方程由实验 1 中(4)式给出, 商品数量 x_{k+1} 依赖于价格 y_k , 方程由实验 1 中(5)式给出. 如果生产经营者的管理水平和素质更高一些, 在决定产量 x_{k+2} 时不仅根据价格 y_{k+1} , 而且考虑更前时段的价格 y_k . 在 1.2.2 节的基础上建立新的模型, 并讨论经济趋向稳定的条件有什么变化.

模型及其求解 1.2.2 节市场经济中的蛛网模型的(4)式, (5)式分别为

$$y_k - y_0 = -\alpha(x_k - x_0), \quad \alpha > 0, \quad k = 1, 2, \dots \quad (17)$$

$$x_{k+1} - x_0 = \beta(y_k - y_0), \quad \beta > 0, \quad k = 1, 2, \dots \quad (18)$$

如果 x_{k+2} 由 y_{k+1} 和 y_k 共同决定, 为简单起见, 设 x_{k+2} 取决于它们的平均值, 将(18)式改为

$$x_{k+2} - x_0 = \beta \left(\frac{y_{k+1} + y_k}{2} - y_0 \right), \quad \beta > 0, \quad k = 1, 2, \dots \quad (19)$$

在需求函数 y_k 不变的情况下, 由(19)式和(17)式消去 y_{k+1} 和 y_k 可以得到

$$2x_{k+2} + \alpha\beta x_{k+1} + \alpha\beta x_k = 2(1 + \alpha\beta)x_0, \quad k = 1, 2, \dots \quad (20)$$

知道了 $x_0, y_0, x_1, x_2, \alpha, \beta$, 可以用(17)式, (19)式或(20)式计算 x_k, y_k .

二阶差分方程(20)的特征方程为

$$2\lambda^2 + \alpha\beta\lambda + \alpha\beta = 0. \quad (21)$$

容易算出特征根为

$$\lambda_{1,2} = \frac{-\alpha\beta \pm \sqrt{(\alpha\beta)^2 - 8\alpha\beta}}{4}. \quad (22)$$

在差分方程(20)中令 $x_{k+2}=x_{k+1}=x_k=x$, 可知平衡点仍为 $x=x_0$, 方程(20)的解可表为

$$x_k = c_1\lambda_1^k + c_2\lambda_2^k + x_0, \quad k = 1, 2, \dots \quad (23)$$

c_1, c_2 由初始值 x_1, x_2 确定.

由(23)式可知, $x_k \rightarrow x_0 (k \rightarrow \infty)$ (经济趋向稳定)的条件是 $|\lambda_{1,2}| < 1$, 而从(22)式可以算出(这里 $\lambda_{1,2}$ 是复数, $|\lambda_{1,2}|$ 指模)

$$|\lambda_{1,2}| = \sqrt{\alpha\beta/2}. \quad (24)$$

所以经济趋向稳定的条件是

$$\alpha\beta < 2. \quad (25)$$

与 1.2.2 节中的稳定条件 $\alpha\beta < 1$ 相比, 参数 α, β 的范围放大了 (α, β 的含义未变), 可以想到, 这是因为生产者的管理水平和素质提高, 对经济稳定起着有利影响的必然结果.

2.2.3 高阶线性常系数差分方程的解、平衡点及其稳定性

前面对二阶线性常系数差分方程的分析和结果可以推广到高阶线性常系数差分方程

$$a_0 x_{k+n} + a_1 x_{k+n-1} + \cdots + a_{n-1} x_{k+1} + a_n x_k = b, \quad k = 1, 2, \cdots \quad (26)$$

其特征方程为

$$a_0 \lambda^n + a_1 \lambda^{n-1} + \cdots + a_{n-1} \lambda + a_n = 0. \quad (27)$$

记特征根为 $\lambda_1, \lambda_2, \cdots, \lambda_n$, 差分方程 (26) 的解为

$$x_k = c_1 \lambda_1^k + c_2 \lambda_2^k + \cdots + c_n \lambda_n^k + x, \quad k = 1, 2, \cdots \quad (28)$$

其中 x 是 (26) 式中令 $x_{k+n} = \cdots = x_k = x$ 得到的平衡点, c_1, \cdots, c_n 由初始值 x_1, \cdots, x_n 确定. 当所有特征根的模小于 1 时, 平衡点是稳定的.

2.3 线性常系数差分方程组

当我们研究的对象是若干变量构成的一个向量的离散动态过程时, 用差分方程组描述比较方便.

2.3.1 汽车租赁公司的运营

问题 一家汽车租赁公司在 3 个相邻的城市运营, 为方便顾客起见公司承诺, 在一个城市租赁的汽车可以在任意一个城市归还. 根据经验估计和市场调查, 一个租赁期内在 A 市租赁的汽车在 A, B, C 市归还的比例分别为 0.6, 0.3, 0.1; 在 B 市租赁的汽车在 A, B, C 市归还的比例分别为 0.2, 0.7, 0.1; 在 C 市租赁的汽车在 A, B, C 市归还的比例分别为 0.1, 0.3, 0.6. 若公司开业时将 600 辆汽车平均分配到 3 个城市, 建立运营过程中汽车数量在 3 个城市间转移的模型, 并讨论时间充分长以后的变化趋势.

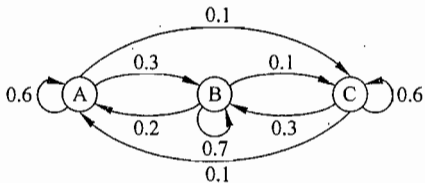


图 2.5 3 个城市间汽车数量比例的转移

模型及其求解 记第 k 个租赁期末公司在 A, B, C 市的汽车数量分别为 $x_1(k)$, $x_2(k)$, $x_3(k)$, 3 个城市间汽车数量比例的转移可直观地用图 2.5 给出. 按照这个转移关系容易写出第 $k+1$ 个租赁期末公司在 A, B, C 市的汽车数量为 ($k=0, 1, 2, \cdots$)

$$\begin{cases} x_1(k+1) = 0.6x_1(k) + 0.2x_2(k) + 0.1x_3(k), \\ x_2(k+1) = 0.3x_1(k) + 0.7x_2(k) + 0.3x_3(k), \\ x_3(k+1) = 0.1x_1(k) + 0.1x_2(k) + 0.6x_3(k). \end{cases} \quad (29)$$

记向量 $x(k) = [x_1(k), x_2(k), x_3(k)]^T$, 矩阵

$$A = \begin{bmatrix} 0.6 & 0.2 & 0.1 \\ 0.3 & 0.7 & 0.3 \\ 0.1 & 0.1 & 0.6 \end{bmatrix}, \quad (30)$$

则(29)式可表为

$$x(k+1) = Ax(k), \quad k = 0, 1, 2, \dots \quad (31)$$

给定初始值 $x(0)$, 可以用(31)式计算各个租赁期 3 个城市汽车数量的变化. 如开始时 600 辆汽车平均分配到 3 个城市, 用 MATLAB 计算 $x(k)$ 的程序如下:

```
A=[0.6,0.2,0.1;0.3,0.7,0.3;0.1,0.1,0.6];
x(:,1)=[200,200,200]';           % 赋初值
n=10;
for k=1:n
    x(:,k+1)=A*x(:,k);           % 按照(31)式迭代计算
end
round(x),
k=0:10;
plot(k,x),grid,
gtext('x1(k)'),gtext('x2(k)'),gtext('x3(k)'),
```

得到的结果见表 2.3 和图 2.6(a).

表 2.3 (31)式的计算结果(开始时 600 辆汽车平均分配到 3 个城市)

k	0	1	2	3	4	5	6	7	8	9	10
$x_1(k)$	200	180	176	176	178	179	179	180	180	180	180
$x_2(k)$	200	260	284	294	297	299	300	300	300	300	300
$x_3(k)$	200	160	140	130	125	123	121	121	120	120	120

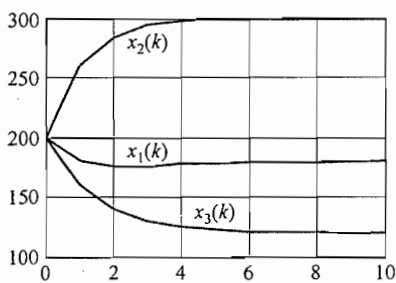
可以看到, 时间充分长以后 3 个城市汽车数量趋于 180, 300, 120.

这个结果与初始条件有关吗? 如果开始时 600 辆汽车全分配给 A 市, 可得结果如表 2.4 和图 2.6(b).

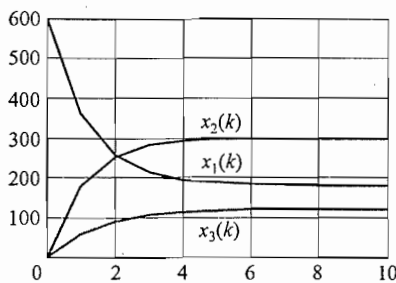
由上面的计算可以猜想, 时间充分长以后 3 个城市的汽车数量趋向稳定, 并且稳定值与 600 辆汽车的初始分配无关.

表 2.4 (31)式的计算结果(开始时 600 辆汽车全分配给 A 市)

k	0	1	2	3	4	5	6	7	8	9	10
$x_1(k)$	600	360	258	214	195	187	183	181	181	180	180
$x_2(k)$	0	180	252	281	292	297	299	300	300	300	300
$x_3(k)$	0	60	90	105	113	116	118	119	120	120	120



(a) 表 2.3 的图示



(b) 表 2.4 的图示

图 2.6 (31)式的计算结果

结果分析 为了证实上面的猜想,记稳定值为 x ,由(31)式 x 应满足

$$Ax = x \quad (32)$$

这表明矩阵 A 的一个特征根 $\lambda=1$,且 x 是对应的特征向量.

事实上,从矩阵 A 各列之和均为 1 立即可知, A 有特征根 $\lambda=1$ (为什么?),且特征向量 x 可由(32)式直接算出(当然应该利用 x 的各分量之和等于初始值 600).

2.3.2 按年龄分组的种群增长

问题 野生或饲养的动物因繁殖而增加,因自然死亡和人为屠杀而减少,不同年龄动物的繁殖率、死亡率有较大差别,因此在研究某一种群数量的变化时,需要考虑按年龄分组的种群增长.

将种群按年龄等间隔地分成若干个年龄组,时间也离散化为时段.给定各年龄组种群的繁殖率和死亡率(在稳定环境下不妨假定它们与时段无关),建立按年龄分组的种群增长模型,预测未来各年龄组的种群数量,并讨论时间充分长以后的变化趋势.

模型及其求解 设种群按年龄等间隔地分成 n 个年龄组,记 $i=1,2,\dots,n$,时段记作 $k=0,1,2,\dots$,且年龄组区间与时段长度相等(若 5 岁为一个年龄组,则 5 年为一个时段).以雌性个体为研究对象比较方便,以下种群数量均指其中的雌性.

记第 i 年龄组在时段 k 的数量为 $x_i(k)$;第 i 年龄组的繁殖率为 b_i ,表示每个(雌性)个体在一个时段内繁殖的数量;第 i 年龄组的死亡率为 d_i ,表示一个时段内死亡数与总数

之比, $s_i = 1 - d_i$, 称为存活率.

为建立 $x_i(k)$ 的变化规律我们注意到, 第 1 年龄组在时段 $k+1$ 的数量为各年龄组在时段 k 繁殖的数量之和, 即

$$x_1(k+1) = \sum_{i=1}^n b_i x_i(k), \quad k = 0, 1, \dots \quad (33)$$

而第 $i+1$ 年龄组在时段 $k+1$ 的数量是第 i 年龄组在时段 k 存活下来的数量, 即

$$x_{i+1}(k+1) = s_i x_i(k), \quad i = 1, 2, \dots, n-1, \quad k = 0, 1, \dots \quad (34)$$

记种群各年龄组在时段 k 的数量(向量)为

$$\mathbf{x}(k) = [x_1(k), x_2(k), \dots, x_n(k)]^T, \quad (35)$$

将 b_i 和 s_i 排成如下的矩阵(称 Leslie 矩阵)

$$\mathbf{L} = \begin{bmatrix} b_1 & b_2 & \cdots & b_{n-1} & b_n \\ s_1 & 0 & \cdots & 0 & 0 \\ 0 & s_2 & \cdots & 0 & 0 \\ \vdots & \vdots & & \vdots & \vdots \\ 0 & 0 & \cdots & s_{n-1} & 0 \end{bmatrix}, \quad (36)$$

则(33)式, (34)式可表为

$$\mathbf{x}(k+1) = \mathbf{L}\mathbf{x}(k), \quad k = 0, 1, \dots \quad (37)$$

给定种群各年龄组的初始数量 $\mathbf{x}(0)$, 可以预测种群各年龄组在任意时段 k 的数量为

$$\mathbf{x}(k) = \mathbf{L}^k \mathbf{x}(0), \quad k = 0, 1, \dots \quad (38)$$

将 $\mathbf{x}(k)$ 归一化后的向量记做 $\tilde{\mathbf{x}}(k)$, 称种群按年龄组的分布向量.

设一种群分成 5 个年龄组, 繁殖率 $b_1=0, b_2=0.2, b_3=1.8, b_4=0.8, b_5=0.2$, 存活率 $s_1=0.5, s_2=0.8, s_3=0.8, s_4=0.1$, 各年龄组现有数量均为 100 只, 由(36)式, (37)式用 MATLAB 计算 $\mathbf{x}(k), \tilde{\mathbf{x}}(k)$ 的程序如下:

```
b=[0,0.2,1.8,0.8,0.2];
s=diag([0.5,0.8,0.8,0.1]); % 对角阵, 对角元素为 0.5,0.8,0.8,0.1
L=[b;s,zeros(4,1)]; % 按照(36)式构造矩阵 L
x(:,1)=100*ones(5,1); % 赋初值
n=30;
for k=1:n
    x(:,k+1)=L*x(:,k); % 按照(37)式迭代计算
end
round(x),
y=diag([1./sum(x)]); % 为向量 x 归一化做的计算
z=x*y, % z 是向量 x 的归一化
k=0:30;
```

```
subplot(1,2,1), plot(k,x),grid,
subplot(1,2,2), plot(k,z),grid
```

% 在一个图形窗内画两张图

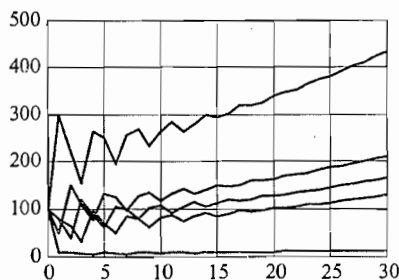
得到的结果见表 2.5, 表 2.6 和图 2.7.

表 2.5 $x(k)$ 的计算结果

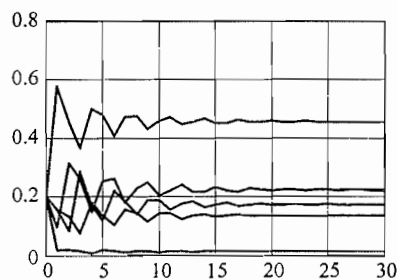
k	0	1	2	3	4	...	26	27	28	29	30
$x_1(k)$	100	300	220	155	265	...	393	403	412	423	434
$x_2(k)$	100	50	150	110	77	...	190	196	201	206	211
$x_3(k)$	100	80	40	120	88	...	149	152	157	161	165
$x_4(k)$	100	80	64	32	96	...	117	120	122	126	129
$x_5(k)$	100	10	8	6	3	...	11	12	12	12	13

表 2.6 $\bar{x}(k)$ 的计算结果

k	0	1	2	3	...	27	28	29	30
$\bar{x}_1(k)$	0.2000	0.5769	0.4564	0.3658	...	0.4564	0.4553	0.4559	0.4562
$\bar{x}_2(k)$	0.2000	0.0962	0.3112	0.2599	...	0.2224	0.2229	0.2218	0.2222
$\bar{x}_3(k)$	0.2000	0.1538	0.0830	0.2836	...	0.1726	0.1737	0.1737	0.1730
$\bar{x}_4(k)$	0.2000	0.1538	0.1328	0.0756	...	0.1355	0.1349	0.1354	0.1355
$\bar{x}_5(k)$	0.2000	0.0192	0.0166	0.0151	...	0.0132	0.0132	0.0131	0.0132



(a) $x(k)$ 的图形
(自上而下为 $x_1(k)$ 至 $x_5(k)$)



(b) $\bar{x}(k)$ 的图形
(自上而下为 $\bar{x}_1(k)$ 至 $\bar{x}_5(k)$)

图 2.7 (37) 式的计算结果

结果分析 从表 2.6 和图 2.7(b) 可以看出, 时间充分长以后种群按年龄组的分布向量 $\bar{x}(k)$ 趋向稳定, 这种状况与 Leslie 矩阵的如下性质有关 (设矩阵 L 第一行有两个顺序的 b_i 大于零):

矩阵 L 有正单特征根 λ_1 , 对应特征向量为

$$\mathbf{x}^* = \left[1, \frac{s_1}{\lambda_1}, \frac{s_1 s_2}{\lambda_1^2}, \dots, \frac{s_1 s_2 \cdots s_{n-1}}{\lambda_1^{n-1}} \right]^T. \quad (39)$$

对于 L 的其他特征根 λ_i 有 $|\lambda_i| < \lambda_1$ ($i=2, 3, \dots, n$), 且由 (38) 式确定的 $\mathbf{x}(k)$ 满足

$$\lim_{k \rightarrow \infty} \frac{\mathbf{x}(k)}{\lambda_1^k} = c \mathbf{x}^*, \quad (40)$$

其中 c 是与 $b_i, s_i, \mathbf{x}(0)$ 有关的常数 (请读者在矩阵 L 可对角化的条件下证明 (40) 式).

由上述性质可以对时间充分长以后的 $\mathbf{x}(k), \tilde{\mathbf{x}}(k)$ 做出如下分析 (以下 λ_1 记作 λ):

(1) 记归一化的特征向量 \mathbf{x}^* 为 $\tilde{\mathbf{x}}$, 则

$$\tilde{\mathbf{x}}(k) \approx \tilde{\mathbf{x}} \quad (41)$$

与 $\mathbf{x}(0)$ 无关, 即按年龄组的分布向量 $\tilde{\mathbf{x}}(k)$ 趋向稳定分布 $\tilde{\mathbf{x}}$.

(2) 因为 $\mathbf{x}(k) \approx c \lambda^k \mathbf{x}^*$, 所以

$$\mathbf{x}(k+1) \approx \lambda \mathbf{x}(k), \quad (42)$$

即各年龄组的数量按照同一比例 λ 增减, λ 称固有增长率. 可将 (42) 式与基本方程 (37) 相对比.

(3) 由 L 的特征方程

$$\lambda^n - (b_1 \lambda^{n-1} + s_1 b_2 \lambda^{n-2} + \cdots + s_1 s_2 \cdots s_{n-1} b_n) = 0 \quad (43)$$

可知, 当

$$b_1 + s_1 b_2 + s_1 s_2 b_3 + \cdots + s_1 s_2 \cdots s_{n-1} b_n = 1 \quad (44)$$

时固有增长率 $\lambda=1$, 各年龄组的数量不变, 且由 (39) 式知特征向量

$$\mathbf{x}^* = [1, s_1, s_1 s_2, \dots, s_1 s_2 \cdots s_{n-1}]^T. \quad (45)$$

再注意到 $\mathbf{x}(k) \approx c \lambda^k \mathbf{x}^*$, (45) 式给出

$$x_{i+1}(k) \approx s_i x_i(k), \quad (46)$$

即存活率 s_i 等于同一时段相邻年龄组的数量之比. 可将 (46) 式与基本方程 (34) 对比.

用本例的数据对上面的稳态分析作验证.

(1) 用 MATLAB 可得到矩阵 L 的全部特征根, 其中最大的为 $\lambda_1=1.0254$, 由 (39) 式容易计算特征向量 \mathbf{x}^* , 归一化得 $\tilde{\mathbf{x}}=[0.4559, 0.2223, 0.1734, 0.1353, 0.0132]^T$, 与表 2.6 $\tilde{\mathbf{x}}(k)$ 的计算结果相近, 即 (41) 式.

(2) 在表 2.5 $\mathbf{x}(k)$ 的计算结果中, 对于大的 k 和 $i=1, 2, \dots, 5, x_i(k+1)/x_i(k)$ 的值在 $\lambda=1.0254$ 附近 ($x_5(k)$ 的值较小, 取整后计算误差较大), 即 (42) 式.

(3) 因 $\lambda=1.0254$ 比 1 略大, 可以由表 2.5 或表 2.6 对于大的 k 近似验证 (46) 式.

2.4 非线性差分方程

上面几节讨论的都是线性差分方程, 可以描述一些比较简单的变化过程, 考虑稍微复杂些的问题就会出现非线性差分方程.

2.4.1 离散形式的阻滞增长模型(离散形式的 Logistic 模型)

问题 1.2.4 节介绍的两个人口模型是指数增长模型和阻滞增长模型,在那里人口 $x(t)$ 是连续函数,得到的是微分方程,见实验 1 中(18)式和(23)式.实际上资源制约下任意种群数量的变化都服从这样的规律.建立对应于这两个连续模型的离散模型,在不同的增长率下讨论种群数量的变化趋势.

模型及其求解 以种群繁殖的周期划分时段,记时段 k (或第 k 代)的种群数量为 x_k ,增长率是 r ,于是指数增长模型的离散形式可表为

$$x_{k+1} - x_k = rx_k, \quad k = 0, 1, 2, \dots \quad (47)$$

这是一阶线性常系数差分方程,它的解已经讨论过,这里不再研究.

当增长受到资源制约时,设种群最大容量为 N ,阻滞增长模型的离散形式可表为

$$x_{k+1} - x_k = r \left(1 - \frac{x_k}{N} \right) x_k, \quad k = 0, 1, 2, \dots \quad (48)$$

方程(48)是非线性差分方程, r 是固有增长率.对于不同的 r ,按照方程(48)研究 k 充分大以后种群增长的趋势.

不妨设 $N=1$,取 $r=0.3, 1.8, 2.5$,初值 $x_0=0.1$,按照方程(48)用 MATLAB 计算 x_k 的程序如下:

```
r=[0.3,1.8,2.5];
x=0.1;                                % 赋初值
n=40;
for j=1:3
    R=r(j);                            % 取 r 值
    for i=1:n
        x(i+1)=x(i)+R*x(i)*(1-x(i)); % 按照(48)式迭代计算
    end
    xx(:,j)=x';
end
k=(0:40)';
[k,xx]                                % 输出结果
subplot(1,3,1),plot(k,xx(:,1)),      % 在一个图形窗内画 3 张图
subplot(1,3,2),plot(k,xx(:,2)),
subplot(1,3,3),plot(k,xx(:,3)),
```

得到的结果如表 2.7 和图 2.8.

表 2.7 模型(48)的计算结果

k	$x_k(r=0.3)$	$x_k(r=1.8)$	$x_k(r=2.5)$	k	$x_k(r=0.3)$	$x_k(r=1.8)$	$x_k(r=2.5)$
0	0.1000	0.1000	0.1000	31	0.9997	1.0001	1.1577
1	0.1270	0.2620	0.3250	32	0.9998	0.9999	0.7012
2	0.1603	0.6100	0.8734	33	0.9998	1.0000	1.2250
3	0.2006	1.0382	1.1498	34	0.9999	1.0000	0.5359
4	0.2487	0.9668	0.7192	35	0.9999	1.0000	1.1577
5	0.3048	1.0246	1.2241	36	0.9999	1.0000	0.7012
\vdots	\vdots	\vdots	\vdots	37	1.0000	1.0000	1.2250
17	0.9529	1.0017	1.2250	38	1.0000	1.0000	0.5359
18	0.9664	0.9986	0.5359	39	1.0000	1.0000	1.1577
19	0.9761	1.0011	1.1577	40	1.0000	1.0000	0.7012
20	0.9831	0.9991	0.7012				
\vdots	\vdots	\vdots	\vdots				

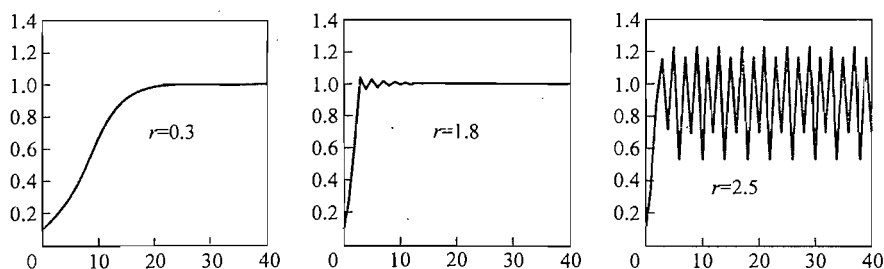


图 2.8 表 2.7 的图示

上述结果表明, $r=0.3$ 时 x_k 单调地趋向 $N=1$; $r=1.8$ 时 x_k 振荡地趋向 $N=1$; 而 $r=2.5$ 时 x_k 不收敛.

结果分析 在数值实验的基础上对这个模型作一些简要的理论分析:

(1) 将非线性差分方程(48)写作

$$x_{k+1} = x_k + r \left(1 - \frac{x_k}{N} \right) x_k, \quad k = 0, 1, 2, \dots \quad (49)$$

在(49)式中令 $x_k = x_{k+1} = x$ 得到代数方程

$$x = x + rx \left(1 - \frac{x}{N} \right). \quad (50)$$

方程(50)的根是差分方程的平衡点. 容易看出方程(49)有两个平衡点: $x=N$, $x=0$.

与线性差分方程一样, 若 $x_k \rightarrow x(k \rightarrow \infty)$, 平衡点 x 是稳定的, 否则, x 不稳定.

(2) 非线性差分方程平衡点稳定的条件

一般地考察非线性差分方程

$$y_{k+1} = f(y_k), \quad k = 0, 1, 2, \dots \quad (51)$$

代数方程 $y=f(y)$ 的根是非线性差分方程(51)的平衡点, 记作 y^* . 为研究 y^* 的稳定性, 将函数 f 在 y^* 点作 Taylor 展开, 保留线性项, 得到方程(51)的近似线性方程

$$y_{k+1} = f'(y^*)(y_k - y^*) + y^*, \quad k = 0, 1, 2, \dots \quad (52)$$

显然 y^* 也是方程(52)的平衡点.

可以证明, 当 $|f'(y^*)| \neq 1$ 时方程(51)与方程(52)平衡点的稳定性相同. 而方程(52)是一阶线性常数系数差分方程, 根据其平衡点稳定的条件可得, 当

$$|f'(y^*)| < 1 \quad (53)$$

时方程(51)的平衡点 y^* 是稳定的; 当

$$|f'(y^*)| > 1 \quad (54)$$

时方程(51)的平衡点 y^* 不稳定.

(3) 利用变量和参数代换

$$y_k = \frac{r}{(r+1)N} x_k, \quad b = r+1, \quad (55)$$

可将方程(49)化简为

$$y_{k+1} = by_k(1 - y_k), \quad k = 0, 1, 2, \dots \quad (56)$$

方程(49)的平衡点 $x=N$, $x=0$ 分别对应于(56)式的两个平衡点: $y=1-1/b$, $y=0$. 记

$$f(y) = by(1 - y), \quad (57)$$

则

$$f'(y) = b(1 - 2y). \quad (58)$$

以平衡点 $y=1-1/b$, $y=0$ 分别代入(58)式计算, 可得 $f'(0)=b>1$, 由判据(54)式知 $y=0$ 不稳定, 以后不再讨论它; 而

$$f'(1-1/b) = 2-b. \quad (59)$$

由判据(53)式和代换(55)式可知, 平衡点 $y=y^*=1-1/b$ 稳定的条件是

$$1 < b < 3 \quad \text{即} \quad r < 2. \quad (60)$$

回顾前面的计算结果, $r=0.3$ 和 $r=1.8$ 时 $x_k \rightarrow N$ (即 $y_k \rightarrow y^*$) 是符合这个结论的.

若 $b>3$ (即 $r>2$), 由判据(54)式知平衡点 y^* 不稳定, 因此, 前面的计算中 $r=2.5$ 时 x_k 不收敛. 从表 2.7 和图 2.8 还可看出, 虽然这时 x_k 不收敛, 但是似乎它的变化仍有某种规律, 我们将在实验 6 继续研究.

还可以看到, 对于 $r=0.3$ 和 $r=1.8$, $x_k \rightarrow N$ 的形态是不同的, 实际上, 差分方程(56)的递推过程可以用图 2.9 直观地演示:

以 y 为横坐标画出曲线 $z=f(y)$ 和直线 $z=y$, 二者交点的横坐标为平衡点 y^* . 对于任意初值 y_0 , 由方程(56)计算 y_1, y_2, \dots 的过程表示为图 2.9 上带箭头的折线. $b < 2$ (即 $r < 1$) 时 $y^* < 1/2$, $y_k \rightarrow y^*$ 的过程是单调的, 如图 2.9(a); $2 < b < 3$ (即 $1 < r < 2$) 时 $y^* > 1/2$, $y_k \rightarrow y^*$ 的过程会出现实验 1 中图 1.4(a)蛛网模型那样的衰减振荡, 如图 2.9(b); 若 $b > 3$ (即 $r > 2$), 图 2.9(c) 出现了实验 1 中图 1.4(b)蛛网模型那样的发散振荡.

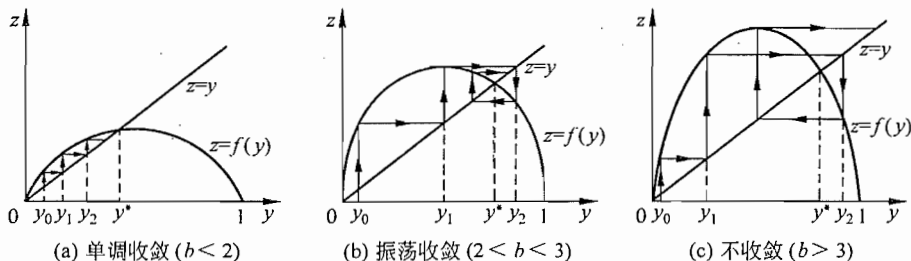


图 2.9 方程(56)的递推过程

2.4.2 寄主-寄生模型

问题 寄主-寄生现象是自然界中常有的, 如黄蜂的幼虫寄生在象鼻虫(寄主)体内. 一方面, 寄主通常靠自然资源为生, 不妨假定它的数量变化用离散形式的阻滞增长模型(48)描述, 而寄生物的存在会减少其增长. 显然, 寄生物数量越多, 寄主的增长率减少得越多, 最简单的假设是, 寄主的减少率与寄生物数量成正比. 另一方面, 寄生物完全靠寄主为生, 可以自然地假定它的相邻两代数量之比与寄主数量成正比. 建立一个寄主-寄生模型研究二者数量变化的规律, 讨论时间充分长以后的趋势.

模型及其求解 记第 k 代寄主的种群数量为 x_k , 最大容量为 N , 固有增长率为 r , 寄生物的种群数量为 y_k ($k=0, 1, 2, \dots$). 按照上面对寄主-寄生模型的假定, 可以写出如下的非线性差分方程组:

$$\begin{cases} x_{k+1} - x_k = r \left(1 - \frac{x_k}{N}\right) x_k - a x_k y_k, \\ y_{k+1} = b x_k y_k, \end{cases} \quad (61)$$

其中 a, b (>0) 是比例系数, a 反映寄生物由寄主那里攫取营养, 从而阻滞寄主增长的能力, b 反映寄主供养寄生物, 从而使寄生物增长(或减少)的能力.

设定一组参数: 寄主 x_k 的最大容量 $N=100$, 固有增长率 $r=1.5$, 寄生物在最好的条件下每代的数量可以翻一番, 即 $x_k=N$ 时 $y_{k+1}=2y_k$, 于是 $bN=2$, $b=2/N=0.02$, a 略大于 b , 设 $a=0.025$. 下面令初始值 $x_0=50, y_0=10$, 用 MATLAB 对模型(61)做计算, 程序如下, 结果只给出图形(图 2.10).

```
function z=exf13(x0,y0,n,r,N,a,b)
```

% 建立名为 exf13 的函数 M 文件, 各参数可调节

```

x=x0;y=y0; % 赋初值
for k=1:n
    x(k+1)=x(k)+r*x(k)*(1-x(k)/N)-a*x(k)*y(k); % 按照(61)式迭代计算
    y(k+1)=b*x(k)*y(k);
end
z=[x',y'];

z=exf13(50,10,100,1.5,100,0.025,0.02); % 给定参数值,调用 exf13 计算
k=0:100;
plot(k,z(:,1),k,z(:,2)),grid % 作  $x_k, y_k$  的图形

```

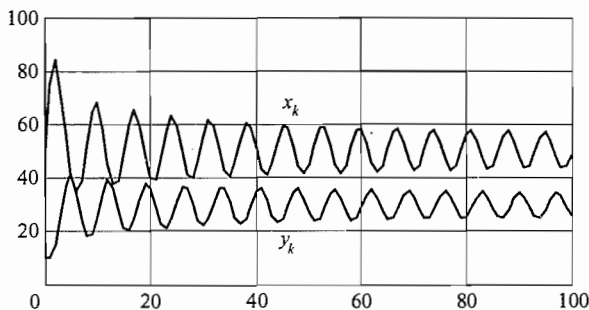


图 2.10 给定参数下模型(61)的结果

从图 2.10 可以看出, k 充分大以后 x_k, y_k 呈略有衰减的振荡趋势, x_k, y_k 分别在 50 和 30 附近振荡 (k 取 1000, 2000, ..., 这个趋势看得更清楚).

在差分方程组(61)中令 $x_k = x_{k+1} = x, y_k = y_{k+1} = y$, 得到 3 个平衡点: $(x, y) = (0, 0), (N, 0), \left(\frac{1}{b}, \frac{r}{a}\left(1 - \frac{1}{bN}\right)\right)$. 显然, 只有第 3 个才是寄主-寄生物共存的平衡点, 将所给参数代入可知这个平衡点正是 $(x, y) = (50, 30)$.

2.5 数值微分

数值微分是用离散方法近似地计算函数 $y=f(x)$ 在某点 $x=a$ 的导数值. 当然, 通常仅当函数以离散数值形式给出时才有这种必要. 根据导数定义可以用差商近似微商(导数), 有

$$f'(a) \approx \frac{f(a+h) - f(a)}{h}, \quad (62)$$

$$f'(a) \approx \frac{f(a) - f(a-h)}{h}, \quad (63)$$

其中 $h(>0)$ 为小的增量, (62) 式和 (63) 式分别称为前差公式和后差公式. 如果将二者平均, 得

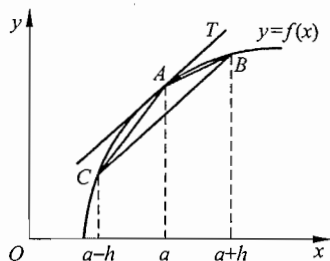
$$f'(a) \approx \frac{f(a+h) - f(a-h)}{2h}, \quad (64)$$

称中点公式, 这是最常用的.

(62) 式~(64) 式的几何意义可由图 2.11 看出, $f'(a)$ 是切线 AT 的斜率, 而前差、后差公式和中点公式的右端分别是割线 AB , AC 和 BC 的斜率, 显然 BC 的斜率更接近 AT 的斜率, 即 (64) 式的精度更高.

为了估计这些近似公式的精度, 将 $f(a+h)$ 和 $f(a-h)$ 在点 a 作泰勒 (Taylor) 展开

$$f(a \pm h) = f(a) \pm hf'(a) + \frac{h^2}{2}f''(a) \pm O(h^3).$$



(65) 图 2.11 前差、后差公式和中点公式的几何意义

将上式代入 (62) 式~(64) 式可知, (62) 式和 (63) 式的误差为 $O(h)$, 而 (64) 式的误差为 $O(h^2)$.

当函数 $y=f(x)$ 在等间距为 h 的分点 $x_0 < x_1 < \dots < x_n$ 上用离散数值表示为 y_0, y_1, \dots, y_n 时, 函数在分点 x_1, \dots, x_{n-1} 的导数值可由中点公式 (64) 计算:

$$f'(x_k) \approx \frac{y_{k+1} - y_{k-1}}{2h}, \quad k = 1, 2, \dots, n-1. \quad (66)$$

对于端点 x_0, x_n , 与 (66) 式相适应的计算公式为

$$f'(x_0) = \frac{-3y_0 + 4y_1 - y_2}{2h}, \quad f'(x_n) = \frac{y_{n-2} - 4y_{n-1} + 3y_n}{2h}. \quad (67)$$

(66) 式, (67) 式统称三点公式, 其误差为 $O(h^2)$.

前差公式 (间距 $h=1$) 可由 MATLAB 中的命令 `diff(x)` 来实现, 输入 x 是 n 维数组, 输出为 $n-1$ 维数组 $[x_2 - x_1, x_3 - x_2, \dots, x_n - x_{n-1}]$.

例 人口增长率

已知 20 世纪美国人口统计数据如表 2.8, 计算表中这些年份的人口年增长率.

表 2.8 1900—2000 年美国人口统计数据

年份	1900	1910	1920	1930	1940	1950	1960	1970	1980	1990	2000
人口/百万	76.0	92.0	106.5	123.2	131.7	150.7	179.3	204.0	226.5	251.4	281.4

若记时刻 t 的人口为 $x(t)$, 则人口 (相对) 增长率为 $r(t) = \frac{dx/dt}{x(t)}$, 表示每年人口增长

的比例. 对于表 2.8 给出的人口数据, 记 1900 年为 $k=0$, 1910, 1920, \dots , 2000 年依次为 $k=1, 2, \dots, 10$, k 年人口记为 x_k , 年增长率为 r_k , 用数值微分的三点公式计算 (将 10 年增长率变为年增长率, 故 $h=10$), 有

$$r_k = \frac{x_{k+1} - x_{k-1}}{20x_k}, \quad k = 1, 2, \dots, 9,$$

$$r_0 = \frac{-3x_0 + 4x_1 - x_2}{20x_0}, \quad r_{10} = \frac{x_8 - 4x_9 + 3x_{10}}{20x_{10}}.$$

编程计算得到的结果如表 2.9.

表 2.9 美国人口的年增长率

年份	1900	1910	1920	1930	1940	1950	1960	1970	1980	1990	2000
$r/\%$	2.20	1.66	1.46	1.02	1.04	1.58	1.49	1.16	1.05	1.04	1.16

可以看出, 20 世纪美国人口增长率总的来说在下降, 但是有起伏, 30 年代和第二次世界大战时期人口增长率显著下降, 战后又迅速上升, 20 世纪后期稳定在 1% 多一点.

2.6 实验练习

实验目的

1. 练习用差分方程建立离散动态过程的数学模型, 并用 MATLAB 计算其数值解;
2. 了解差分方程平衡点及其稳定性的基本知识;
3. 练习数值微分的计算.

实验内容

1. 某人从银行贷款购房, 若他今年初贷款 10 万元, 月利率 0.5%, 每月还 1000 元, 建立差分方程计算他每年末欠银行多少钱, 多少时间才能还清? 如果要 10 年还清, 每月需还多少?

2. 一老人 60 岁时将养老金 10 万元存入基金会, 月利率 0.4%, 他每月取 1000 元作为生活费, 建立差分方程计算他每岁末尚有多少钱? 多少岁时将基金用完? 如果想用到 80 岁, 问 60 岁时应存入多少钱?

3. 某湖泊每天有 10^4 m^3 的河水流入, 河水中污物浓度为 0.02 g/m^3 , 经渠道排水后湖泊容积保持 $200 \times 10^4 \text{ m}^3$ 不变, 现测定湖泊中污物浓度为 0.2 g/m^3 , 建立差分方程计算湖泊中 1 年内逐月 (每月按 30 天计) 下降的污物浓度, 问要多长时间才能达到环保要求的浓度 0.04 g/m^3 ? 为了把这个时间缩短为 1 年, 应将河水中污物浓度降低到多少?

4. 某日凌晨一住所发生一件凶杀案, 警方于 6 时到达现场后测得尸温 26°C , 室温 17°C , 2 小时后尸温下降了 3°C , 试根据冷却定律建立差分方程, 估计凶杀案发生的时间

(可设正常体温为 37°C).

5. 据报道,某种山猫在较好、中等及较差的自然环境下,年平均增长率分别为 1.68% , 0.55% 和 -4.50% ,假定开始时有 100 只山猫,按以下情况讨论山猫数量逐年变化过程及趋势:

- (1) 3 种自然环境下 25 年的变化过程(作图);
- (2) 如果每年捕获 3 只,会发生什么情况? 山猫会灭绝吗? 如果每年只捕获 1 只呢?
- (3) 在较差的自然环境下,如果想使山猫数量稳定在 60 只左右,每年要人工繁殖多少只?

6. 表 2.10 是美国加州和其他各州 1955 年至 1960 年人口出生、死亡和迁移(只考虑加州和其他各州之间的净迁移)的情况(单位:千人),根据这些数据建立差分方程模型,计算并预测直至 2010 年的人口状况.

- (1) 以加州和其他各州的人口数量为对象.
- (2) 以加州和其他各州在美国总人口中的比例为对象,观察趋势.

表 2.10 美国加州和其他各州人口状况

	1955 年人口 /千人	1955—1960 年 出生人数/千人	1955—1960 年 死亡人数/千人	1955—1960 年 迁移人数/千人	1960 年人口 /千人
加州	12988	1708	614	1124	15206
其他各州	152082	19499	7417	-1124	163040
总数	165070	21207	8031	0	178246

7. 与蛛网模型稍有差别,设第 $k+1$ 与 k 时段商品上市数量之差是第 k 时段价格的线性增函数,系数为 a ;第 $k+1$ 与 k 时段商品价格之差是第 k 时段数量的线性减函数,系数为 b . 又已知当商品数量为 500、价格为 200 时,处于平衡状态. 建立差分方程模型描述商品数量和价格的变化规律,对以下情况作图讨论其变化趋势.

- (1) 设 $a=0.2$, $b=0.1$,开始时商品数量和价格分别在 500 和 100 附近.
- (2) 利用特征根讨论变化趋势.

8. 在某种环境下猫头鹰的主要食物来源是田鼠,设田鼠的年平均增长率为 r_1 ,猫头鹰的存在引起的田鼠增长率的减少与猫头鹰的数量成正比,比例系数为 a_1 ;猫头鹰的年平均减少率为 r_2 ;田鼠的存在引起的猫头鹰减少率的增加与田鼠的数量成正比,比例系数为 a_2 . 建立差分方程模型描述田鼠和猫头鹰共处时的数量变化规律,对以下情况作图给出 50 年的变化过程.

- (1) 设 $r_1=0.2$, $r_2=0.3$, $a_1=0.001$, $a_2=0.002$,开始时有 100 只田鼠和 50 只猫头鹰.

(2) r_1, r_2, a_1, a_2 同上, 开始时有 100 只田鼠和 200 只猫头鹰.

(3) 适当改变参数 a_1, a_2 (初始值同上).

(4) 求差分方程的平衡点, 它们稳定吗?

9. 研究将鹿群放入草场后草和鹿两种群的相互作用. 草的生长遵从 Logistic 规律, 年固有增长率 0.8, 最大密度为 3000 (密度单位), 在草最茂盛时每只鹿每年可吃掉 1.6 (密度单位) 的草. 若没有草, 鹿群的年死亡率高达 0.9, 而草的存在可使鹿的死亡得以补偿, 在草最茂盛时补偿率为 1.5. 作出一些简化假设, 用差分方程模型描述草和鹿两种群数量的变化过程, 就以下情况进行讨论.

(1) 比较将 100 只鹿放入密度为 1000 和密度为 3000 的草场两种情况.

(2) 适当改变参数, 观察变化趋势.

10. 某居民小区有一个直径 10m 的圆柱形水塔, 每天午夜 24 时向水塔供水, 此后每隔 2h 记录水位, 如表 2.11, 计算小区在这些时刻每小时的用水量.

表 2.11 水位记录

时刻/h	2	4	6	8	10	12	14	16	18	20	22	24
水位/cm	305	298	290	265	246	225	207	189	165	148	130	114

参考文献

- 1 姜启源, 谢金星, 叶俊. 数学模型. 第三版. 北京: 高等教育出版社, 2003
- 2 叶其孝, 姜启源等译. 数学建模. 北京: 机械工业出版社, 2004
- 3 阮炯. 差分方程和常微分方程. 上海: 复旦大学出版社, 2002
- 4 赵静, 但琦. 数学建模与数学实验. 第二版. 北京: 高等教育出版社, 2003

实验 3

插值与数值积分

插值是和拉格朗日(Lagrange)、牛顿(Newton)、高斯(Gauss)等著名数学家的名字连在一起的,它最初来源于天体计算的需要,比如,人们得到了若干观测值,即某个星球在若干已知时刻的位置,需要计算星球在另一些时刻的位置.所谓插值,通俗地说就是,在若干已知的函数值之间插入计算一些未知的函数值.插值在诸如机械加工等工程技术和数据处理等科学研究中有着许多直接的应用,插值还是数值积分、微分方程数值解等数值计算的基础.

积分是我们在高等数学中学过的一个最基本的运算,也是一些非常重要的数学工具如微分方程、概率论等的基础,在实际问题中也有着许多直接的应用.尽管我们学了不少积分运算的方法,做了大量习题,可是仍有许多函数“积不出来”,即使是非常简单的题目,如求不定积分 $\int e^{-x^2} dx$, $\int (\sin x/x) dx$, 因为它们的原函数无法由基本初等函数经过有限次四则及复合运算构成,计算这种类型的定积分就只能用数值方法.至于由离散数据或图形表示的函数的定积分,理所当然地属于数值积分的范畴.

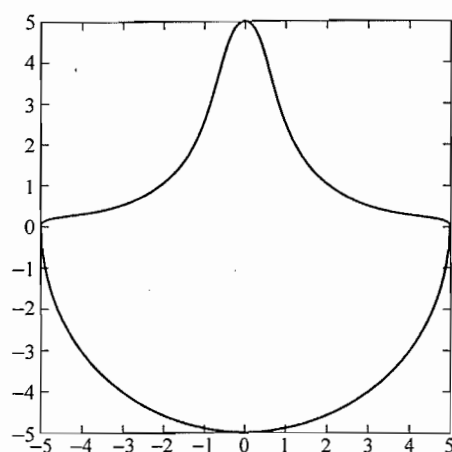
以下 3.1 节提出几个经过简化的实际问题及其数学模型,3.2 节介绍 3 种插值方法——拉格朗日多项式插值、分段线性插值和三次样条插值,3.3 节介绍数值积分的梯形公式、辛普森(Simpson)公式、高斯(Gauss)公式,3.4 节布置实验练习.

3.1 实例及其数学模型

3.1.1 数控机床加工零件

问题 待加工零件的外形根据工艺要求由一组数据 (x, y) 给出(在平面情况下),用数控机床加工时刀具必须沿这些数据点前进,并且由于刀具每次只能沿 x 方向或 y 方向走非常小的一步,所以需要将已知数据加密,得到加工所要求的步长很小的 (x, y) 坐标.

图 3.1 是待加工零件的轮廓线,表 3.1 给出了轮廓线上 x 每间隔 0.2(长度单位)的加工坐标 x, y (顺时针方向为序,由轮廓线的左右对称性,表中只给出右半部的数据).假

图 3.1 零件的轮廓线(x 间隔 0.2)

设需要得到 x 或 y 坐标每改变 0.05 时的坐标, 试完成加工所需的加密数据, 画出曲线.

表 3.1 x 间隔 0.2 的加工坐标 x, y (图 3.1 右半部的数据)

0.0, 5.00	0.2, 4.71	0.4, 4.31	0.6, 3.68	0.8, 3.05	1.0, 2.50	1.2, 2.05
1.4, 1.69	1.6, 1.40	1.8, 1.18	2.0, 1.00	2.2, 0.86	2.4, 0.74	2.6, 0.64
2.8, 0.57	3.0, 0.50	3.2, 0.44	3.4, 0.40	3.6, 0.36	3.8, 0.32	4.0, 0.29
4.2, 0.26	4.4, 0.24	4.6, 0.20	4.8, 0.15	5.0, 0.00	4.8, -1.40	4.6, -1.96
4.4, -2.37	4.2, -2.71	4.0, -3.00	3.8, -3.25	3.6, -3.47	3.4, -3.67	3.2, -3.84
3.0, -4.00	2.8, -4.14	2.6, -4.27	2.4, -4.39	2.2, -4.49	2.0, -4.58	1.8, -4.66
1.6, -4.74	1.4, -4.80	1.2, -4.85	1.0, -4.90	0.8, -4.94	0.6, -4.96	0.4, -4.98
0.2, -4.99	0.0, -5.00					

模型 若直接利用表 3.1 的数据加密, 为得到经过这些点的曲线, 需将零件轮廓线的右半部分为 $y \geq 0$ 和 $y < 0$ 两部分, 分别计算两个(单值)函数在加密点(即插值点)的值, 还要设法保证连接点处的光滑性. 另一种办法是将图 3.1 逆时针方向转 90° , 轮廓线上下对称, 于是只需对上半部计算一个函数在插值点的值即可. 我们在 3.2 节继续讨论这个问题.

3.1.2 卫星轨道长度

问题 人造地球卫星轨道可视为平面上的椭圆. 我国第一颗人造地球卫星近地点距

地球表面 439km,远地点距地球表面 2384km,已知地球半径为 6371km,求该卫星的轨道长度.

模型 卫星轨道的示意图如图 3.2, a, b 分别是椭圆轨道的长半轴和短半轴,地球位于椭圆的一个焦点处,焦距为 c ,地球半径为 r ,近地点和远地点与地球表面的距离分别是 s_1 和 s_2 . 由图 3.2 可知, $2a = s_1 + s_2 + 2r, c = a - s_1 - r$, 由椭圆性质 $b = \sqrt{a^2 - c^2}$, 将 s_1, s_2, r 的数据代入以上各式得 $a = 7782.5\text{km}, b = 7721.5\text{km}$.

椭圆的参数方程为 $x = acost, y = bsint (0 \leq t \leq 2\pi)$, 根据计算参数方程弧长的公式,椭圆长度可表为如下积分:

$$L = 4 \int_0^{\pi/2} (a^2 \sin^2 t + b^2 \cos^2 t)^{1/2} dt. \quad (1)$$

它称为椭圆积分,无法用解析方法计算,我们将在 3.3 节继续讨论这个问题.

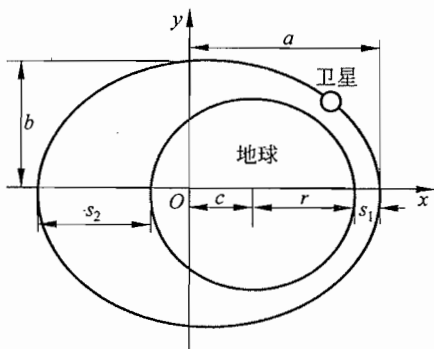


图 3.2 卫星轨道的示意图

3.2 3 种插值方法

插值问题的提法是,已知 $n+1$ 个节点 $(x_j, y_j) (j=0, 1, \dots, n)$, 其中 x_j 互不相同,不妨设 $a = x_0 < x_1 < \dots < x_n = b$, 求任一插值点 $x^* (\neq x_j)$ 处的插值 y^* . 节点 (x_j, y_j) 可以看成是由某个函数 $y = g(x)$ 产生的, g 的解析表达式可能十分复杂,或不存在解析形式,只是由节点给出的离散数据.

求解的基本思路是,构造一个相对简单的函数 $y = f(x)$, 称为插值函数,使 f 通过全部节点,即 $f(x_j) = y_j (j=0, 1, \dots, n)$, 再用 $f(x)$ 计算插值,即 $y^* = f(x^*)$.

本节介绍 3 种基本的、常用的插值: 拉格朗日多项式插值、分段线性插值和三次样条插值.

3.2.1 拉格朗日多项式插值

1. 拉格朗日插值多项式

从理论和计算角度看,多项式是最简单的函数. 设插值函数是 n 次多项式, 记作

$$L_n(x) = a_n x^n + a_{n-1} x^{n-1} + \dots + a_1 x + a_0. \quad (2)$$

对于节点 (x_j, y_j) 应有

$$L_n(x_j) = y_j, \quad j = 0, 1, \dots, n. \quad (3)$$

为了确定插值多项式 $L_n(x)$ 中的系数 a_n, a_{n-1}, \dots, a_0 , 将(2)式代入(3)式, 有

$$\begin{cases} a_n x_0^n + a_{n-1} x_0^{n-1} + \cdots + a_1 x_0 + a_0 = y_0, \\ \cdots \\ a_n x_n^n + a_{n-1} x_n^{n-1} + \cdots + a_1 x_n + a_0 = y_n. \end{cases} \quad (4)$$

记

$$X = \begin{bmatrix} x_0^n & x_0^{n-1} & \cdots & 1 \\ \vdots & \vdots & & \vdots \\ x_n^n & x_n^{n-1} & \cdots & 1 \end{bmatrix}, \quad a = (a_n, a_{n-1}, \cdots, a_0)^T, \quad y = (y_0, y_1, \cdots, y_n)^T.$$

方程组(4)简写作

$$Xa = y, \quad (5)$$

其中 X 的行列式 $\det(X)$ 是范德蒙德(Vandermonde)行列式, 利用行列式性质可得

$$\det(X) = \prod_{0 \leq j < k \leq n} (x_k - x_j).$$

因 x_j 互不相同, 故 $\det(X) \neq 0$, 于是方程组(5)中 a 有惟一解, 即通过 $n+1$ 个节点(x 坐标互不相同)的 n 次多项式曲线可以惟一地确定.

实际上比较方便的做法不是解方程组(5)求 a , 而是先构造一组基函数:

$$l_i(x) = \frac{(x-x_0) \cdots (x-x_{i-1})(x-x_{i+1}) \cdots (x-x_n)}{(x_i-x_0) \cdots (x_i-x_{i-1})(x_i-x_{i+1}) \cdots (x_i-x_n)}, \quad i = 0, 1, \cdots, n. \quad (6)$$

容易看出, n 次多项式 $l_i(x)$ 满足

$$l_i(x_j) = \begin{cases} 1, & i = j, \\ 0, & i \neq j, \end{cases} \quad i, j = 0, 1, \cdots, n.$$

令

$$L_n(x) = \sum_{i=0}^n y_i l_i(x), \quad (7)$$

显然 $L_n(x)$ 是满足(3)式的 n 次多项式. 由方程组(5)解的惟一性, (6)式、(7)式就是我们要求的插值函数, 称为拉格朗日插值多项式. 用 $L_n(x)$ 计算插值称拉格朗日多项式插值.

思考

(1) 对于 $n+1$ 个节点, 若用次数大于或小于 n 的多项式作插值, 结果如何?

(2) 由 $n+1$ 个节点得到的 $L_n(x)$ 的次数会不会小于 n ? 试就 $n=2$ 的情况加以说明.

(3) 若 $g(x)$ 为 m 次多项式, $m \leq n$, 问 $L_n(x)$ 与 $g(x)$ 关系如何?

2. 误差估计

对于任意的插值点 $x \in [a, b]$, 插值的误差定义为插值多项式 $L_n(x)$ 与产生节点 (x_j, y_j) 的 $g(x)$ 之差, 记作 $R_n(x)$. 虽然我们可能不知道 $g(x)$ 的解析表达式, 但是如果 $g(x)$ 充分光滑, 不妨设具有 $n+1$ 阶导数, 则可以证明(略):

$$R_n(x) = g(x) - L_n(x) = \frac{g^{(n+1)}(\xi)}{(n+1)!} \prod_{j=0}^n (x - x_j), \quad \xi \in (a, b). \quad (8)$$

若 $g(x)$ 满足

$$|g^{(n+1)}(\xi)| \leq M_{n+1}, \quad (9)$$

则

$$|R_n(x)| \leq \frac{M_{n+1}}{(n+1)!} \prod_{j=0}^n |x - x_j|. \quad (10)$$

实际上, 因为 M_{n+1} 常难以确定, 所以(10)式并不能给出精确的误差估计, 但是可以粗略地看出, 插值点 x 越接近节点 x_j , $|R_n(x)|$ 越小; g 平缓使高阶导数越小, $|R_n(x)|$ 越小; n 增加, 可能使 $|R_n(x)|$ 减少.

例1 用函数 $y = g(x) = \sin(\pi x/2)$ 在 $[0, 1]$ 区间上等距地产生 $n+1$ 个节点, 当 $n = 1, 2, \dots$ 时考察拉格朗日插值多项式 $L_n(x)$ 的误差.

由(6)式, (7)式容易得到, $n=1$ 时插值函数为直线 $L_1(x) = x$, $n=2$ 时插值函数为二次曲线 $L_2(x) = -(2\sqrt{2}-2)x^2 + (2\sqrt{2}-1)x$.

估计 $|R_n(x)|$: 对于 $g(x) = \sin(\pi x/2)$, 取 $M_{n+1} = (\pi/2)^{n+1}$. 记节点间隔为 $h = \frac{1}{n}$, 当 $x \in (x_j, x_{j+1})$ 时, $|x - x_j| \leq h$, $|x - x_{j+1}| \leq h$, 即使对于最坏的情况如 $x \in (x_0, x_1)$, 也有

$\prod_{j=0}^n |x - x_j| < \frac{h^2}{4} \cdot 2h \cdot 3h \cdot \dots \cdot nh$. 于是(10)式给出

$$|R_n(x)| < \frac{1}{(n+1)!} \left(\frac{\pi}{2}\right)^{n+1} \frac{h^2}{4} \cdot 2h \cdot 3h \cdot \dots \cdot nh = \frac{(\pi/2)^{n+1}}{4(n+1)n^{n+1}}.$$

可以算出

n	1	2	3	4
$ R_n(x) $	0.3	0.04	4.7×10^{-3}	4.7×10^{-4}

3. 插值多项式的振荡

用拉格朗日插值多项式 $L_n(x)$ 近似 $g(x)$ ($a \leq x \leq b$), 随着节点个数的增加, $L_n(x)$ 的次数 n 变大, 多数情况下误差 $|R_n(x)|$ 会变小. 但是 n 增加时, 由于 $L_n(x)$ 的起伏增加, 有时会出现很大的振荡. 龙格(Runge)给出了一个有名的例子:

$$g(x) = \frac{1}{1+x^2}, \quad -5 \leq x \leq 5. \quad (11)$$

将 $[-5, 5]$ 区间 n 等分 ($n = 2, 4, 6, \dots$), 用 $g(x)$ 产生 $n+1$ 个节点, 求出拉格朗日插值多项式 $L_n(x)$, 会得到如图 3.3 的结果. 可以看出, 随着 n 的增大, 对于较小的 $|x|$, $L_n(x)$ 与 $g(x)$ 的误差越来越小; 而对于较大的 $|x|$, $L_n(x)$ 振荡越来越大, 与 $g(x)$ 的误差自然也越

来越大. 这种振荡称为龙格现象.

事实上可以证明, 仅当 $|x| \leq 3.63$ 时, 才有 $\lim_{n \rightarrow \infty} L_n(x) = g(x)$, 在此区间外, $L_n(x)$ 是发散的.

高次插值多项式的这些缺陷, 促使人们转而寻求简单的低次多项式插值.

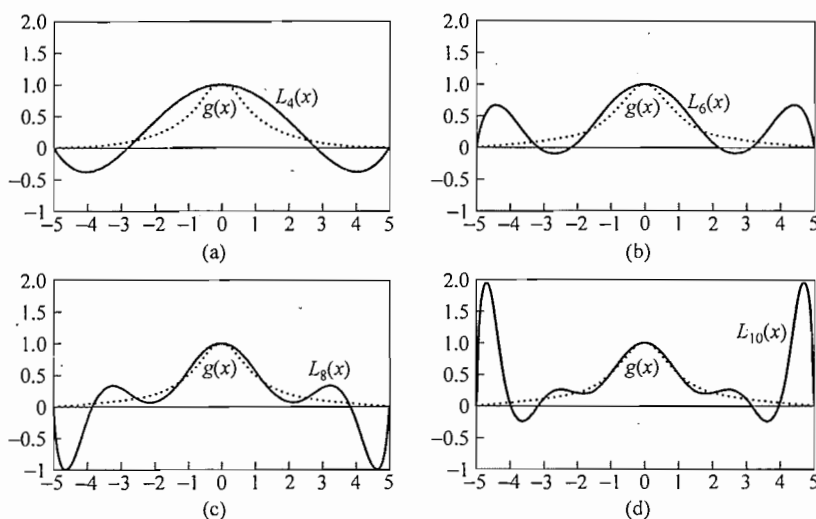


图 3.3 $g(x) = 1/(1+x^2)$ (虚线) 的拉格朗日插值曲线 $L_n(x)$

3.2.2 分段线性插值

简单地说, 将每两个相邻的节点用直线连起来, 如此形成的一条折线就是分段线性插值函数, 如图 3.4, 记作 $I_n(x)$, 它满足 $I_n(x_j) = y_j$, 且 $I_n(x)$ 在每个小区间 $[x_j, x_{j+1}]$ 上是线性函数 ($j=0, 1, \dots, n$).

$I_n(x)$ 可以表示为

$$I_n(x) = \sum_{j=0}^n y_j l_j(x), \quad (12)$$

$$l_j(x) = \begin{cases} \frac{x - x_{j-1}}{x_j - x_{j-1}}, & x_{j-1} \leq x \leq x_j, \quad j=0 \text{ 舍去}, \\ \frac{x - x_{j+1}}{x_j - x_{j+1}}, & x_j \leq x \leq x_{j+1}, \quad j=n \text{ 舍去}, \\ 0, & \text{其他}. \end{cases} \quad (13)$$

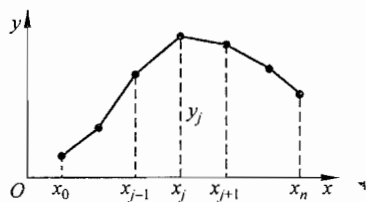


图 3.4 分段线性插值示意图

$I_n(x)$ 有良好的收敛性, 即对于 $x \in [a, b]$ 有 $\lim_{n \rightarrow \infty} I_n(x) = g(x)$.

用 $I_n(x)$ 计算 x 点的插值时, 只用到 x 左右的两个节点, 计算量与节点个数 n 无关. 但是 n 越大, 分段越多, 插值误差越小. 实际上用函数表作插值计算时, 分段线性插值就足够了, 如数学物理中用的特殊函数表, 数理统计中用的概率分布表等.

3.2.3 三次样条插值

1. 样条函数的由来

分段线性插值虽然简单, n 足够大时精度也相当高, 但是折线在节点处显然不光滑, 即 $I_n(x)$ 在节点处导数不存在. 这影响了它在需要光滑插值曲线的 (如机械加工等) 领域中的应用.

所谓样条 (spline), 来源于船舶、飞机等设计中描绘光滑外形曲线用的绘图工具. 一根有弹性的细长木条用压铁固定在节点上, 其他地方让它自然弯曲, 如此画出的曲线称为样条曲线. 因为这种曲线的曲率是处处连续的, 所以要求样条函数的二阶导数连续. 人们普遍使用的样条函数是分段三次多项式.

2. 三次样条函数

三次样条函数记作 $S(x) (a \leq x \leq b)$. 要求它满足以下条件:

(1) 在每个小区间 $[x_{i-1}, x_i] (i=1, \dots, n)$ 上是三次多项式;

(2) 在 $a \leq x \leq b$ 上二阶导数连续;

(3) $S(x_i) = y_i, (i=0, 1, \dots, n)$. (14)

由条件(1), 不妨将 $S(x)$ 记为

$$S(x) = \{S_i(x), x \in [x_{i-1}, x_i], i=1, \dots, n\}, \quad S_i(x) = a_i x^3 + b_i x^2 + c_i x + d_i, \quad (15)$$

其中 a_i, b_i, c_i, d_i 为待定系数, 共 $4n$ 个. 由条件(2),

$$\begin{cases} S_i(x_i) = S_{i+1}(x_i), \\ S'_i(x_i) = S'_{i+1}(x_i), \\ S''_i(x_i) = S''_{i+1}(x_i), \end{cases} \quad i = 1, 2, \dots, n-1. \quad (16)$$

容易看出, (14)式, (16)式共含有 $4n-2$ 个方程, 为确定 $S(x)$ 的 $4n$ 个待定参数, 尚需再给出两个条件. 在实际应用中通常有以下三种类型的端点条件作为附加条件.

第一类 给定两端点的一阶导数 $S'(x_0), S'(x_n)$;

第二类 给定两端点的二阶导数 $S''(x_0), S''(x_n)$, 最常用的是所谓自然边界条件:

$$S''(x_0) = S''(x_n) = 0. \quad (17)$$

第三类 对于周期函数, 即两端点已经满足 $S(x_0) = S(x_n)$ 时, 令它们的一阶导数和二阶导数分别相等, 即 $S'(x_0) = S'(x_n), S''(x_0) = S''(x_n)$, 称为周期条件.

可以证明, $4n$ 元线性方程组 (14), (16), (17) 有惟一解, 即 $S(x)$ 被惟一确定. 在实际计算时需要设计简便的解法.

像分段线性函数 $I_n(x)$ 一样, 三次样条函数 $S(x)$ 也有良好的收敛性, 即在相当一般的条件下, $\lim_{n \rightarrow \infty} S(x) = g(x)$.

3.2.4 用 MATLAB 做插值计算

拉格朗日插值 需先按照(6)式、(7)式编写一个函数 M 文件, 名为 `lagr.m`

设 n 个节点以数组 x_0, y_0 输入(注意: 程序中用 n 个节点, 而不是前面所说的 $n+1$ 个节点), m 个插值点以数组 x 输入. 输出数组 y 为 m 个插值.

```
function y=lagr(x0,y0,x)
n=length(x0); m=length(x);
for i=1:m
    z=x(i);
    s=0;
    for k=1:n
        p=1;
        for j=1:n
            if j~=k
                p=p*(z-x0(j))/(x0(k)-x0(j));
            end
        end
        s=p*y0(k)+s;
    end
    y(i)=s;
end
```

做拉格朗日插值计算时只需在输入 x_0, y_0, x 后运行命令 `y=lagr(x0,y0,x)` 即可.

分段线性插值 MATLAB 中有现成的命令

```
y=interp1(x0,y0,x)
```

其中 x_0, y_0 为节点数组(同长度), x 为插值点数组, y 为插值数组.

三次样条插值 MATLAB 中有现成的命令

```
y=interp1(x0,y0,x,'spline')
```

或

```
y=spline(x0,y0,x)
```

其中 x_0, y_0 为节点数组(同长度), x 为插值点数组, y 为插值数组, 端点为自然边界条件.

`spline` 命令还可处理上述第一类端点条件, 只需将原来的输入数组 y_0 改为 $yy_0 =$

$[a \ y0 \ b]$, 其中 a, b 分别为 $S'(x_0), S'(x_n)$.

对出现龙格现象的例子 $g(x) = 1/(1+x^2)$, 将 $[-5, 5]$ 区间 $n(=10)$ 等分, 用 $g(x)$ 产生 $n+1(=11)$ 个节点, 用 MATLAB 做以上三种方法的插值计算, 进行比较. 编程如下:

```
x0 = -5 : 5;
y0 = 1./(1+x0.^2);           % 产生节点(x0,y0)
x = -5 : 0.1 : 5;            % 产生插值点 x, 间隔 0.1
y = 1./(1+x.^2);             % 计算 g(x) 用于比较
y1 = lagr(x0,y0,x);          % 计算拉格朗日插值
y2 = interp1(x0,y0,x);       % 计算分段线性插值
y3 = spline(x0,y0,x);        % 计算三次样条插值
for k = 1 : 11                % 输出 x ≥ 0 且间隔 0.5 的插值
    xx(k) = x(46+5*k);
    yy(k) = y(46+5*k);
    yy1(k) = y1(46+5*k);
    yy2(k) = y2(46+5*k);
    yy3(k) = y3(46+5*k);
end
[xx; yy; yy1; yy2; yy3]'
z = 0 * x;                    % 产生横轴(作图)
plot(x,z,x,y,'k--',x,y2,'r') % 分段线性插值作图
pause
plot(x,z,x,y,'k--',x,y3,'r') % 三次样条插值作图
```

输出的计算结果如表 3.2, 其中 $y = g(x)$, y_1, y_2, y_3 依次是拉格朗日、分段线性、三次样条插值, 与精确值 y 相比较, 显然它们在节点处相等, 而在插值点处三次样条插值的结果最好.

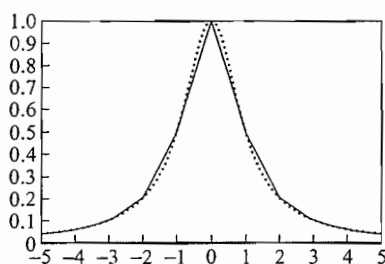
表 3.2 $g(x) = 1/(1+x^2)$ 3 种插值方法的计算结果

x	y	y_1	y_2	y_3
0.0000	1.0000	1.0000	1.0000	1.0000
0.5000	0.8000	0.8434	0.7500	0.8205
1.0000	0.5000	0.5000	0.5000	0.5000
1.5000	0.3077	0.2353	0.3500	0.2973
2.0000	0.2000	0.2000	0.2000	0.2000
2.5000	0.1379	0.2538	0.1500	0.1401
3.0000	0.1000	0.1000	0.1000	0.1000
3.5000	0.0755	-0.2262	0.0794	0.0745

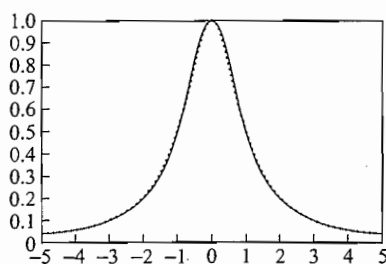
续表

x	y	y_1	y_2	y_3
4.0000	0.0588	0.0588	0.0588	0.0588
4.5000	0.0471	1.5787	0.0486	0.0484
5.0000	0.0385	0.0385	0.0385	0.0385

分段线性插值的图形如图 3.5(a)(虚线为 $g(x)$), 三次样条插值图形如图 3.5(b)(插值曲线与 $g(x)$ 几乎重合).



(a) 分段线性插值



(b) 三次样条插值

图 3.5 $g(x)=1/(1+x^2)$ (虚线)的插值曲线

3.2.5 插值方法小结与补充

拉格朗日插值是高次多项式插值($n+1$ 个节点上用不超过 n 次的多项式), 插值曲线光滑, 误差估计有表达式, 但有振荡现象, 收敛性不能保证. 这种插值主要用于理论分析, 实际意义不大.

分段线性插值简单实用, 收敛性有保证, 但不光滑. 三次样条插值的整体光滑性已大有提高, 应用广泛, 但误差估计较困难.

除以上三种插值外还有下面一些插值方法.

牛顿均差插值 用拉格朗日插值, 当节点增加时, 原有的基函数均不能再用, 需重新计算. 牛顿均差插值利用差分计算多项式系数, 当节点增加时, 前面得到的数据可以利用, 于是计算量减少. 当然, 由(5)式解的惟一性, 它与拉格朗日插值的结果是完全等价的.

埃尔米特(Hermite)插值 当实际问题不仅给出节点的函数值, 而且给出节点的导数值时, 埃尔米特插值多项式可以满足节点处函数、导数均与给定值相等的要求. 由于给定值增加了一倍, 插值多项式的待定系数也要增加一倍, 于是当节点数为 $n+1$ 时, 可惟一确定一个次数不超过 $2n+1$ 的插值多项式.

分段三次插值和分段三次埃尔米特插值 分段三次插值比分段线性插值更光滑些,

在 MATLAB 中可直接用

```
y=interp1(x0,y0,x,'cubic')
```

计算,其中输入 x_0, y_0, x 和输出 y 的含义与分段线性插值相同.

分段三次埃尔米特插值是导数连续的分段三次多项式,其导数在节点处与给定值相等.

不等距插值 为了计算方便,节点通常是等距分布的,称等距插值.实际上可以作不等距插值,在函数变化剧烈处,让节点密一些,函数变化平缓处,节点疏一些,这时构造插值函数的原理与等距插值是一样的.

二维插值 以上都是一维插值,插值函数是一元函数(曲线).如果在某区域测量了若干个点的高程(节点),为了画出较精确的等高线图,要先插入更多的点(插值点),计算这些点的高程(插值),就是二维插值,插值函数是二元函数(曲面).MATLAB 中有计算二维插值的程序:

```
z=interp2(x0,y0,z0,x,y)
```

读者可查阅 MATLAB 帮助系统了解其用法.

此外, MATLAB 还配备了专门的样条工具箱(spline toolbox).

3.2.6 数控机床加工零件(续)

按照 3.1.1 模型中提出的第二种方法求解.

将图 3.1 逆时针方向转 90° , 旋转后零件轮廓线的右半部将变成上半部, 即图 3.6(a) 变成图 3.6(b), 为此只需令 $v=x$, $u=-y$, 则数据原来的 (x, y) 坐标变为 (u, v) 坐标.

在新坐标下用分段线性插值和三次样条插值方法计算(可试验用拉格朗日插值, 会发现振荡现象严重), 编程如下:

```
x=[0:0.2:5, 4.8:-0.2:0];
y=[5.00 4.71 4.31 ...
    -4.98 -4.99 -5];
v0=x; u0=-y;
u=-5:0.05:5;
v1=interp1(u0,v0,u);
v2=spline(u0,v0,u);
[v1' v2' -u']
subplot(1,3,1),plot(x,y),axis([0 5 -5 5])
subplot(1,3,2),plot(v1,-u),axis([0 5 -5 5])
subplot(1,3,3),plot(v2,-u),axis([0 5 -5 5])
```

% 按照表 1 输入原始数据(y 从简)
 % 逆时针方向转 90° , 节点 (x, y) 变为 (u, v)
 % 按 0.05 的间隔在 u 方向产生插值点
 % 在 v 方向计算分段线性插值
 % 在 v 方向计算三次样条插值
 % 在 (x, y) 坐标系输出结果
 % 原轮廓线
 % 分段线性插值的结果
 % 三次样条插值的结果

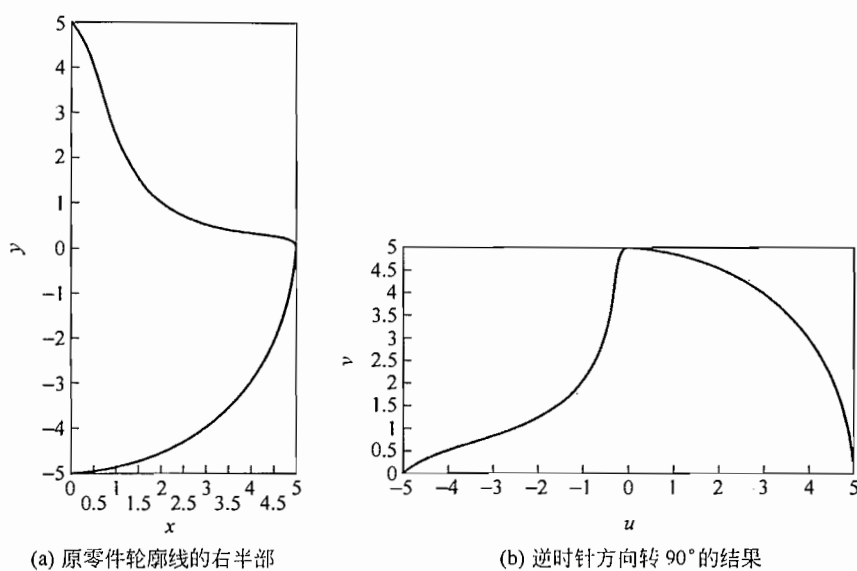


图 3.6 3.1.1 节的零件轮廓线

得到的插值计算结果如表 3.3, 图形如图 3.7.

表 3.3 插值计算结果(右半部, x_1 为分段线性插值, x_2 为三次样条插值)

x_1	x_2	y	x_1	x_2	y
0	0	5.0000	4.9929	5.0070	-0.0500
0.0345	0.0381	4.9500	4.9857	5.0125	-0.1000
0.0690	0.0747	4.9000	4.9786	5.0165	-0.1500
0.1034	0.1097	4.8500	4.9714	5.0193	-0.2000
0.1379	0.1433	4.8000	⋮	⋮	⋮
⋮	⋮	⋮	1.4000	1.4000	-4.8000
4.6000	4.6000	0.2000	1.2000	1.2000	-4.8500
4.8000	4.8000	0.1500	1.0000	1.0000	-4.9000
4.8667	4.9312	0.1000	0.7000	0.6991	-4.9500
4.9333	4.9852	0.0500	0	0	-5.0000
5.0000	5.0000	0			

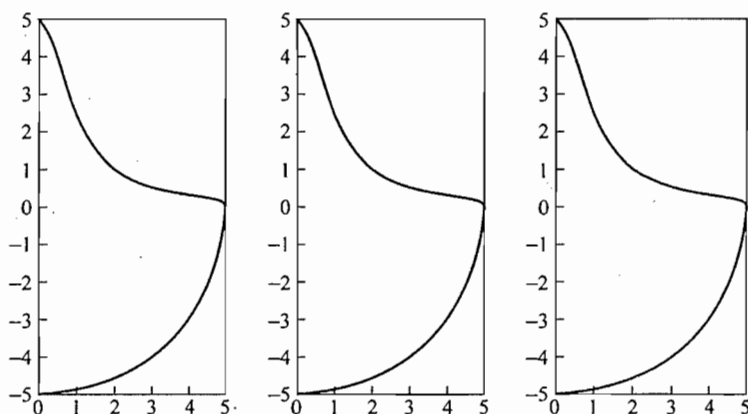


图 3.7 插值计算结果的图形

(从左到右依次为原轮廓线、分段线性插值、三次样条插值)

3.3 数值积分

用数值方法近似地求一个函数 $f(x)$ 在区间 (a, b) 上定积分 $I = \int_a^b f(x) dx$ 的基本思路, 可以归结到定积分的定义

$$I = \int_a^b f(x) dx = \lim_{n \rightarrow \infty} I_n, \quad I_n = \sum_{k=1}^n f(\xi_k) \frac{b-a}{n}. \quad (18)$$

n 充分大时 I_n 就是 I 的数值积分. 这里 ξ_k 是第 k 小区间中 x 的取值, 显然, ξ_k 取值不同, 数值积分 I_n 的结果就不同 (当然, 定积分 I 是一样的). 这种做法相当于用相对简单的阶梯函数 $f(\xi_k) (k=1, \dots, n)$ 代替 $f(x)$ 做积分. 实际上各种不同的数值积分方法就在于, 研究用什么样的简单函数代替 $f(x)$, 使得既能保证一定的精度, 计算量又小.

3.3.1 梯形公式和辛普森公式

1. 公式的导出

不妨设在 (a, b) 上 $f(x) \geq 0$, 定积分 I 表示曲线 $f(x)$ 下的面积, 如何近似计算这块面积呢? (图 3.8)

将 (a, b) 区间 n 等分, $h = (b-a)/n$ 称为积分步长. 记 $a = x_0 < x_1 < \dots < x_k < \dots < x_n = b$, $f_k = f(x_k)$, 在小区间上用矩形面积近似 $f(x)$ 下面曲边梯形的面积, 可取左端点函数值为小矩形的高 (图 3.8 中 $y=f(x)$ 曲线下的虚线), 或取右端点函数值为小矩形的高 (图 3.8 中 $y=f(x)$ 曲线上的虚线), 于是在整个区间 (a, b) 内构成台阶形. 容易看出, 这两个台阶形面积分别为

$$L_n = h \sum_{k=0}^{n-1} f_k, \quad R_n = h \sum_{k=1}^n f_k, \quad h = (b-a)/n. \quad (19)$$

图 3.8 中两个台阶形分别小于和大于所求面积。(19)式是计算定积分的矩形公式。

若将二者平均,则每个小区间上的小矩形变为小梯形(图 3.8 中粗实线),整个区间上的结果为

$$T_n = h \sum_{k=1}^{n-1} f_k + \frac{h}{2}(f_0 + f_n), \quad h = (b-a)/n.$$

(20)

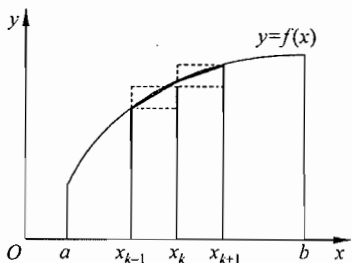


图 3.8 定积分的近似计算

将 x_k 视为节点, (20) 式相当于用分段线性插值函数作为 $f(x)$ 的近似, 称为(复合)梯形求积公式。

为提高精度可以用分段二次插值函数代替 $f(x)$ 。由于每段要用到相邻两个小区间端点的 3 个函数值, 所以小区间的数目必须是偶数, 记 $n=2m, k=0, 1, \dots, m-1$ 。在第 k 段的两个小区间上用 3 个节点 $(x_{2k}, f_{2k}), (x_{2k+1}, f_{2k+1}), (x_{2k+2}, f_{2k+2})$ 作二次插值函数 $S_k(x)$, 然后积分可得

$$\int_{x_{2k}}^{x_{2k+2}} S_k(x) dx = \frac{h}{3}(f_{2k} + 4f_{2k+1} + f_{2k+2}).$$

求 m 段之和就得到整个区间上的近似积分

$$S_n = \frac{h}{3}(f_0 + f_{2m} + 4 \sum_{k=0}^{m-1} f_{2k+1} + 2 \sum_{k=1}^{m-1} f_{2k}), \quad h = (b-a)/2m, \quad (21)$$

它称为(复合)辛普森求积公式(抛物线公式)。

我们看到, 不论 f_k 是一个复杂函数 $f(x)$ 在某些离散点的值, 还是本来就是一些离散数据(也可看作函数), 都可以用简单的线性或二次函数代替原来的函数作积分, 得到梯形公式和辛普森公式。这类方法称为 Newton-Cotes 方法。

2. 误差估计和收敛性

梯形公式在小区间 $[x_k, x_{k+1}]$ 上是用线性插值函数 $T(x)$ 代替 $f(x)$, 由(8)式容易得到

$$f(x) = T(x) + \frac{f''(\xi_k)}{2}(x-x_k)(x-x_{k+1}), \quad \xi_k \in (x_k, x_{k+1}). \quad (22)$$

因为 $(x-x_k)(x-x_{k+1})$ 在 $[x_k, x_{k+1}]$ 上不变号, 所以由(22)式和积分中值定理, 有

$$\begin{aligned} \int_{x_k}^{x_{k+1}} [f(x) - T(x)] dx &= \frac{f''(\eta_k)}{2} \int_{x_k}^{x_{k+1}} (x-x_k)(x-x_{k+1}) dx \\ &= -\frac{h^3}{12} f''(\eta_k), \quad \eta_k \in (x_k, x_{k+1}). \end{aligned} \quad (23)$$

梯形求积公式(20)的误差可用

$$\begin{aligned}
 I - T_n &= \sum_{k=0}^{n-1} \int_{x_k}^{x_{k+1}} [f(x) - T_n(x)] dx = -\frac{h^2}{12} \sum_{k=0}^{n-1} h f''(\eta_k) \\
 &\approx -\frac{h^2}{12} \int_a^b f''(x) dx = -\frac{h^2}{12} [f'(b) - f'(a)].
 \end{aligned} \quad (24)$$

给出。

由此还可看出,若记 $M_2 = \max |f''(x)|, x \in (a, b)$ (M_2 常可以粗略地估出), 注意到 $h = (b-a)/n$, 就有

$$|I - T_n| \leq \frac{h^2}{12} M_2 (b-a). \quad (25)$$

(25)式表明,梯形公式(20)的误差至少是 h^2 阶的. 于是若 $f \in C^2(a, b)$, 由(24)式、(25)式

可得 $\lim_{n \rightarrow \infty} \frac{I - T_n}{h^2} = c$ (非零常数), 称梯形公式(20)是 2 阶收敛的.

类似地, 可以求出辛普森求积公式(21)的误差 $|I - S_n| = \left| \int_a^b f(x) dx - S_n \right|$ 为

$$|I - S_n| \leq \frac{h^4}{180} M_4 (b-a), \quad (26)$$

其中 $M_4 = \max |f^{(4)}(x)|, x \in (a, b)$. 即(21)式的误差至少为 h^4 阶. 若 $f \in C^4(a, b)$, 称辛普森公式(21)是 4 阶收敛的.

3. 步长的自动选取

我们看到近似求积公式的误差随着 n 的增加(即步长 h 的减小)而减小, 但是对于给定的 $f(x)$ 和设定的误差 ϵ , 在选定了求积公式后如何确定 n 呢? 实际的运算过程是用二分法每次将 n 增加一倍, 直到误差满足要求为止. 以梯形公式为例说明这一过程.

由(24)式知, 当 n 增加一倍即 h 缩小一半时, $I - T_{2n} \approx \frac{1}{4}(I - T_n)$, 由此不难得到

$$I - T_{2n} \approx \frac{1}{3}(T_{2n} - T_n). \quad (27)$$

所以只要 $|T_{2n} - T_n| \leq \epsilon$, 计算出的 T_{2n} 即可满足 $|I - T_{2n}| < \epsilon$ 的误差要求.

这种选取步长的另一个好处是, 每次节点加密一倍时, 原节点的函数值 f_k 不需要重新计算, 只需求出新节点的函数值即可(为什么?).

我们看到, 用线性插值函数近似求积得到的梯形公式, 与用二次插值函数近似求积得到的辛普森公式相比, 后者收敛性的阶数提高了. 是否要用更高阶的插值多项式来近似被积函数? 3.2 节的龙格现象说明, 这样做不一定好. 下面从另一个角度考虑提高计算精度的问题.

3.3.2 高斯求积公式

n 代表分点

上面 Newton-Cotes 方法的几种求积公式(19)~(21)可以写成如下的统一形式

$$I_n = \sum_{k=1}^n A_k f(x_k). \quad (28)$$

其共同点是將积分区间等分,將分点作为节点,用分段插值多项式代替 $f(x)$ 作积分,因而节点数 n 给定后节点 $x_k (k=1, \dots, n)$ 是固定的,不同的公式只在于系数 A_k 选择的差别. 可以设想,如果 x_k 和 A_k 都可以选择,自由度更大,计算精度可能更高. 高斯公式就是由此出发的,不过在推导之前先要明确衡量精度的指标.

1. 代数精度

用幂函数作为被积函数 f , 以近似积分与精确值是否相等作为精度的度量指标, 有如下定义

设 $f(x) = x^k$, 用(28)式计算 $I = \int_a^b f(x) dx$, 若对于 $k = 0, 1, \dots, m$ 都有 $I_n = I$, 而当 $k = m+1$ 时 $I_n \neq I$, 则称 I_n 的代数精度为 m .

梯形公式(20)的代数精度 $m = 1$, 因为 $k = 1$ 时 $\int_a^b x dx = \frac{b^2 - a^2}{2}$, $T_1 = \frac{b-a}{2}(b+a)$, 二者相等, 而 $k = 2$ 时, $\int_a^b x^2 dx = \frac{1}{3}(b^3 - a^3)$, $T_1 = \frac{b-a}{2}(b^2 + a^2)$, 二者不等.

请读者作类似的计算证明, 辛普森公式(21)的代数精度 $m = 3$.

2. 高斯公式

先看 $n=2$ 的情况. 因为只有 2 个节点, 所以按照固定节点的办法只能用梯形公式, 代数精度为 1. 而用下面的方法在区间内适当地选择节点, 将会得到代数精度为 3 的公式.

区间 (a, b) 经过适当的变量代换可以化为 $(-1, 1)$, 因而只需计算 $I = \int_{-1}^1 f(x) dx$. 要构造形如

$$G_2 = A_1 f(x_1) + A_2 f(x_2) \quad (29)$$

的求积公式, 确定 4 个参数 x_1, x_2, A_1, A_2 使 G_2 的代数精度尽量高.

可以由 4 个条件确定参数. 按照代数精度的定义, 我们要求对于 $f(x) = 1, x, x^2, x^3$,

$$\int_{-1}^1 f(x) dx = A_1 f(x_1) + A_2 f(x_2)$$

都成立, 将上述 $f(x)$ 代入计算可得

$$\begin{cases} A_1 + A_2 = 2, \\ A_1 x_1 + A_2 x_2 = 0, \\ A_1 x_1^2 + A_2 x_2^2 = 2/3, \\ A_1 x_1^3 + A_2 x_2^3 = 0. \end{cases} \quad (30)$$

解出 $x_1 = -1/\sqrt{3}, x_2 = 1/\sqrt{3}, A_1 = A_2 = 1$, 代入(29)式即得 $n=2$ 的高斯公式

$$G_2 = f(-1/\sqrt{3}) + f(1/\sqrt{3}). \quad (31)$$

G_2 的代数精度为 3.

当节点数 n 增加时, 精度可以提高. n 个节点的高斯公式 $G_n = \sum_{k=1}^n A_k f(x_k)$ 有 $2n$ 个可选的参数 $x_1, \dots, x_n, A_1, \dots, A_n$, 其代数精度可达 $2n-1$, 但是要解形如方程组(30)的、更复杂的非线性方程组, 所以实际上 n 不能太大.

实际上常用的办法是将积分区间分小, 在小区间上用 n 不太大的 G_n . 而在节点加密一倍时能够利用原节点的函数值, 需要把区间的端点作为固定节点, 于是有高斯公式的改进形式, 如 Gauss-Lobatto 求积公式为

$$G_n = A_1 f(a) + \sum_{k=2}^{n-1} A_k f(x_k) + A_n f(b), \quad (32)$$

其中 a, b 为小区间的端点, $x_2, \dots, x_{n-1}, A_1, \dots, A_n$ 为 $2n-2$ 个参数, 适当地确定它们可使(32)式的代数精度达到 $2n-3$.

3.3.3 自适应求积方法

不论是前面的 Newton-Cotes 方法, 还是 Gauss-Lobatto 方法, 在将积分区间分小的过程中都是采取等分的办法, 这对积分区间上变化基本一致的函数是合适的, 但是若被积函数变化快慢相差较大, 计算效率就很低了. 所谓自适应(adaptive)求积的直观想法是将函数变化较快的区间分得细一些, 函数变化较慢的区间分得粗一些, 其示意图如图 3.9.

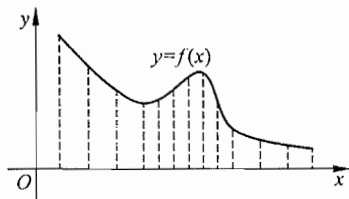


图 3.9 自适应求积的示意图

实际的做法是首先如在步长的自动选取中介绍的那样, 对于给定的求积公式, 类似于(27)式找出 n 等分区间和 m 等分区间(设 $n > m$)两次计算结果(记作 Q_n 和 Q_m)的误差 $|Q_n - Q_m|$ 与 $|I - Q_n|$ 的关系(I 是积分的精确值), 区间的细分只对那些 $|Q_n - Q_m|$ 不满足误差要求的子区间进行.

3.3.4 用 MATLAB 做数值积分

数值积分可用下面几种命令实现:

- `trapz(x)` 用梯形公式(20)计算($h=1$),输入数组 x 为 $f_k(k=0,1,\dots,n)$
- `trapz(x,y)` 用梯形公式计算,输入 x,y 为同长度的数组,输出 y 对 x 的积分(步长可不相等)
- `quad('fun',a,b,tol)` 用自适应辛普森公式计算,输入被积函数 `fun` 可以自定义,如 $\exp(-x.^2)$ (或直接用库函数如 `sin`),也可以是 `fun.m` 命名的函数 M 文件(可用 `@fun`),积分区间 (a,b) ,绝对误差 `tol`(缺省时为 10^{-6}),输出积分值
- `quadl('fun',a,b,tol)` 用自适应 Gauss-Lobatto 公式计算,其余同上

例 2 用几种公式计算 $\int_0^{\pi/4} \frac{1}{1-\sin x} dx$,与精确值 $\sqrt{2}$ 比较,并观察计算误差与步长的

关系.

(1) 辛普森公式

`z1=quad('1./(1-sin(x))',0,pi/4)` % 运算符号必须以数组形式出现

结果为 `z1 = 1.41421359288212`

(2) Gauss-Lobatto 公式

`z2=quadl('1./(1-sin(x))',0,pi/4)`

结果为 `z2 = 1.41421367595081`

精确值 $z = \sqrt{2} = 1.41421356237310$

误差: $z1 - z = 3.05 \times 10^{-8}$, $z2 - z = 1.14 \times 10^{-7}$,均小于 10^{-6} .

以上都可先建立以 `s.m` 命名的函数 M 文件:

```
function y=s(x)
y= 1./(1-sin(x));
```

再用

`z1=quad(@s,0,pi/4)` 或 `z2=quadl(@s,0,pi/4)` 计算.

(3) 梯形公式

将 $[0, \pi/4]$ 100 等分,编程如下:

```
x=0:pi/400:pi/4;
y=1./(1-sin(x));
z3=trapz(y)*pi/400
```

结果为 `z3 = 1.41425079175829`

误差: $z3 - z = 3.72 \times 10^{-5}$.

可以看到,当已知被积函数的解析表达式时,quad 和 quadl 使用方便,步长自动选取达到预设误差,但它们不能像 trapz 那样,对用数值给出的 x, y 数组做积分.

为了观察计算误差与步长的关系,用梯形公式和辛普森公式做如下计算.

(4) 数值积分误差与步长的关系

给定步长时用辛普森公式应按照(21)式计算,编程如下:

```
n=10;
h=pi/4/n;                % 给定步长
x=0:h:pi/4;
y=1./(1-sin(x));
z3=trapz(y)*h;            % 用梯形公式计算
w3=z3-sqrt(2);           % 误差
k=length(y);
y1=[y(2:2:k-1)];s1=sum(y1);
y2=[y(3:2:k-1)];s2=sum(y2);
z4=(y(1)+y(k)+4*s1+2*s2)*h/3; % 用辛普森公式计算
w4=z4-sqrt(2);           % 误差
[n,z3,w3,z4,w4]'
```

得到 $n=10, 20, 40, 80$ 时梯形公式和辛普森公式计算的结果,分别用 T_n 和 S_n 表示,如表 3.4,其中 I 是精确值.由表可以看出随着 n 的增加误差 $T_n - I$ 和 $S_n - I$ 的变化,并且 $T_n - I$ 与 $T_{n/2} - T_n$ 的关系验证了(25)式的结果.

表 3.4 梯形公式和辛普森公式的误差与步长的关系

n	10	20	40	80
T_n	1.4179284188	1.4151438045	1.4144462191	1.4142717326
$T_{n/2} - T_n$		0.0027846143	0.0006975854	0.0001744865
$T_n - I$	0.0037148564	0.0009302421	0.0002326567	0.0000581702
S_n	1.4142453192	1.4142155998	1.4142136906	1.4142135704
$S_{n/2} - S_n$		0.0000297194	0.0000019092	0.0000001202
$S_n - I$	0.0000317568	0.0000020374	0.0000001282	0.0000000080

3.3.5 卫星轨道长度(续)

按照 3.1.2 节模型(1)式计算,其中 $a=7782.5, b=7721.5$,编程如下:

建立以 weixing.m 命名的函数 M 文件:

```
function y=weixing(t)
```

```

a=7782.5; b=7721.5;
y=sqrt(a^2 * sin(t).^2 + b^2 * cos(t).^2);

t=0 : pi/10 : pi/2;
y1=weixing(t);
I1=4 * trapz(t,y1)
I2=4 * quad('weixing',0,pi/2,1e-6)

```

得到

```

I1 = 4.870744099902405e+004
I2 = 4.870744099903280e+004

```

可以看出,梯形公式(仅将区间 5 等分)给出了很好的结果,轨道长度为 4.87×10^4 km.

3.3.6 广义积分的数值计算

形如 $\int_a^\infty f(x)dx$ 或 $\int_a^b f(x)dx$ (f 在某点 $c \in [a, b]$ 无界) 的积分是广义积分, 在它们收敛的前提下讨论其数值计算方法.

1. 无穷区间的截断

对无穷区间的积分 $\int_a^\infty f(x)dx$, 可以将 f 的“尾巴”截去, 化为有限区间的积分, 其关键是要事先估计出截断部分的数值, 使之满足精度要求.

例 3 计算 $I = \int_0^\infty e^{-x^2} dx$, 使误差在 10^{-6} 以内.

为估计截断部分 $\int_N^\infty e^{-x^2} dx$ 的值, 利用 $x^2 \geq Nx$ ($x \geq N$) 时

$$\int_N^\infty e^{-x^2} dx \leq \int_N^\infty e^{-Nx} dx = \frac{1}{N} e^{-N^2} \approx 10^{-8}, \quad N = 4.$$

于是只需用数值方法计算 $\int_0^4 e^{-x^2} dx$ 就可以了. 用辛普森公式做如下计算

```
z=quad('exp(-x.^2)',0,4,1e-7)
```

即得 $z = 0.88622691889778$, 而精确值 $I = \int_0^\infty e^{-x^2} dx = \frac{\sqrt{\pi}}{2} \approx 0.88622692545276$, 所以取 0.8862269 保证误差在 10^{-7} 以内.

2. 无界函数的处理

对于 $\int_a^b f(x)dx$ (f 在某点 $c \in [a, b]$ 无界) 形式的积分, 要“挖”去 c 点附近一邻域内的积分, 其关键也是要估计出这一部分的积分值.

例4 计算 $I = \int_0^1 \frac{|\ln x|}{1+x} dx$, 使误差在 10^{-4} 以内.

被积函数在 $x=0$ 处无界, 去掉一小区间 $[0, r]$, 但是需要作如下估计:

$$I_r = \int_0^r \frac{|\ln x|}{1+x} dx < \int_0^r |\ln x| dx = r(|\ln r| + 1).$$

取 $r = 10^{-7}$, $I_r \approx 10^{-7}(2.3 \times 7 + 1) \leq 10^{-5}$. 下面用数值方法计算 $\int_r^1 \frac{|\ln x|}{1+x} dx$.

$$z = \text{quad}(' - \log(x) ./ (1+x)', 1e-7, 1)$$

得 $z = 0.82247094537944$, 而精确值是 $I = \int_0^1 \frac{|\ln x|}{1+x} dx = \frac{\pi^2}{12} \approx 0.82246703342411$, 所以

取 0.8225 可满足误差要求.

3.3.7 二维数值积分

计算定积分的梯形公式和辛普森公式原则上都可以推广到重积分, MATLAB 有矩形域上利用 quad 计算二重积分的命令:

$$\text{dblquad}('fun', x_{\min}, x_{\max}, y_{\min}, y_{\max})$$

其中 fun 是被积函数, 用法与 quad 相同(函数 M 文件可用 @fun), 其余依次是积分区间 x 的下、上限和 y 的下、上限.

例5 计算 $I = \int_c^d \int_a^b f(x, y) dx dy$, 其中 $f(x, y) = \ln(x+2y)$, $a = 1.4, b = 2.0, c = 1.0, d = 1.5$.

直接用

$$z = \text{dblquad}(' \log(x+2 * y)', 1.4, 2, 1, 1.5)$$

即得

$$z = 0.42955452753196, \text{ 而积分的精确值为 } I = 0.42955452754828.$$

类似地有三重数值积分的运算命令:

$$\text{triplequad}('fun', x_{\min}, x_{\max}, y_{\min}, y_{\max}, z_{\min}, z_{\max})$$

3.4 实验练习

实验目的

1. 掌握用 MATLAB 计算拉格朗日、分段线性、三次样条三种插值的方法, 改变节点的数目, 对三种插值结果进行初步分析.

2. 掌握用 MATLAB 及梯形公式、辛普森公式计算数值积分.
3. 通过实例学习用插值和数值积分解决实际问题.

实验内容

预备: 编制计算拉格朗日插值的 m 文件. 对于数值给出的函数, 编制用辛普森公式计算定积分的程序, 命名为 simp.m 文件.

1. 选择一些函数, 在 n 个节点上 (n 不要太大, 如 5~11) 用拉格朗日、分段线性、三次样条三种插值方法, 计算 m 个插值点的函数值 (m 要适中, 如 50~100). 通过数值和图形输出, 将三种插值结果与精确值进行比较. 适当增加 n , 再作比较, 由此作初步分析. 下列函数供选择参考:

- (1) $y = \sin x, 0 \leq x \leq 2\pi$;
- (2) $y = (1-x^2)^{1/2}, -1 \leq x \leq 1$;
- (3) $y = \cos^{10} x, -2 \leq x \leq 2$;
- (4) $y = \exp(-x^2), -2 \leq x \leq 2$.

2. 用 $y = x^{1/2}$ 在 $x = 0, 1, 4, 9, 16$ 产生 5 个节点 P_1, \dots, P_5 . 用不同的节点构造插值公式来计算 $x=5$ 处的插值 (如用 $P_1 \dots P_5$; $P_1 \dots P_4$; $P_2 \dots P_4$; ...), 与精确值比较并进行分析.

3. 用梯形公式和辛普森公式计算由表 3.5 数据给出的积分 $\int_{0.3}^{1.5} y(x) dx$.

表 3.5

k	1	2	3	4	5	6	7
x_k	0.3	0.5	0.7	0.9	1.1	1.3	1.5
y_k	0.3985	0.6598	0.9147	1.1611	1.3971	1.6212	1.8325

已知该表数据为函数 $y = x + \sin x / 3$ 所产生, 将计算值与精确值作比较.

4. 选择一些函数用梯形、辛普森和 Gauss-Lobatto 三种方法计算积分. 改变步长 (对梯形), 改变精度要求 (对辛普森和 Gauss-Lobatto), 进行比较、分析. 如下函数供选择参考:

- (1) $y = \frac{1}{x+1}, 0 \leq x \leq 1$;
- (2) $y = e^{3x} \sin 2x, 0 \leq x \leq 2$;
- (3) $y = \sqrt{1+x^2}, 0 \leq x \leq 2$;
- (4) $y = \frac{1}{\sqrt{2\pi}} e^{-\frac{x^2}{2}}, -2 \leq x \leq 2$.

5. 选用三种数值积分方法计算 π .

6. 弹簧在周期性外力作用下(忽略阻力)其位移 $x(t)$ 满足微分方程 $m\ddot{x} + kx = F\cos\omega t$, 在初始条件 $x(0) = \dot{x}(0) = 0$ 下的解为

$$x(t) = \frac{2F}{m(\omega_0^2 - \omega^2)} \sin\left(\frac{\omega_0 - \omega}{2}t\right) \sin\left(\frac{\omega_0 + \omega}{2}t\right), \quad \omega_0 = \sqrt{\frac{k}{m}} \neq \omega.$$

已知 $m=1, k=9, F=1, \omega=2$, 求 $0 \leq t \leq 2$ 内 $x(t)$ 的平均值, 作 $x(t)$ 和这个平均值的图形.

7. 如图 3.10 电路, 电容 C 充电至电压 V 后开关 K 倒向电阻 R , 求放电电流在电阻上作的功. 设 $V=25(\text{V}), R=10(\text{k}\Omega), C=100(\mu\text{F})$. 适当处理时间 $t \rightarrow \infty$ 的问题, 并与精确值比较.

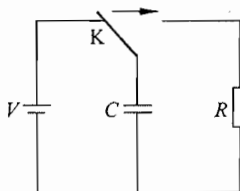


图 3.10 第 8 题电路

8. 求 $\int_1^{+\infty} \frac{e^{-x^2}}{x} dx$ 的数值积分, 使误差在 10^{-4} 以内.

9. 求 $\int_0^{2\pi} \frac{\sin x}{x} dx$ 的数值积分, 使误差在 10^{-2} 以内.

10. 表 3.6 给出的 x, y 数据位于机翼断面的轮廓线上, $Y1$ 和 $Y2$ 分别对应轮廓的上下线. 假设需要得到 x 坐标每改变 0.1 时的 y 坐标. 试完成加工所需数据, 画出曲线, 求加工断面的面积.

表 3.6 机翼断面轮廓线上的数据

x	0	3	5	7	9	11	12	13	14	15
Y1	0	1.8	2.2	2.7	3.0	3.1	2.9	2.5	2.0	1.6
Y2	0	1.2	1.7	2.0	2.1	2.0	1.8	1.2	1.0	1.6

11. 图 3.11 是欧洲一个国家的地图, 为了算出它的国土面积, 首先对地图作如下测量: 以由西向东方向为 x 轴, 由南到北方向为 y 轴, 选择方便的原点, 并将从最西边界点到最东边界点在 x 轴上的区间适当地划分为若干段, 在每个分点的 y 方向测出南边界点和北边界点的 y 坐标 y_1 和 y_2 , 这样就得到了表 3.7 的数据(单位: mm).

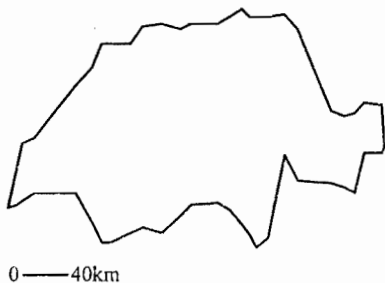


图 3.11 地图

根据地图的比例我们知道 18mm 相当于 40km, 试由测量数据计算该国国土的近似面积, 与它的精确值 41288 km² 比较.

表 3.7 地图边界点数据

x	7.0	10.5	13.0	17.5	34.0	40.5	44.5	48.0	56.0	61.0	68.5	76.5	80.5	91.0
y_1	44	45	47	50	50	38	30	30	34	36	34	41	45	46
y_2	44	59	70	72	93	100	110	110	110	117	118	116	118	118
x	96.0	101.0	104.0	106.5	111.5	118.0	123.5	136.5	142.0	146.0	150.0	157.0	158.0	
y_1	43	37	33	28	32	65	55	54	52	50	66	66	68	
y_2	121	124	121	121	121	122	116	83	81	82	86	85	68	

12. 在桥梁的一端每隔一段时间记录 1min 有几辆车过桥,得到表 3.8 数据:

表 3.8 过桥车辆数据

时间	车辆数/辆	时间	车辆数/辆	时间	车辆数/辆
0:00	2	9:00	12	18:00	22
2:00	2	10:30	5	19:00	10
4:00	0	11:30	10	20:00	9
5:00	2	12:30	12	21:00	11
6:00	5	14:00	7	22:00	8
7:00	8	16:00	9	23:00	9
8:00	25	17:00	28	24:00	3

试估计一天通过桥梁的车流量.

参 考 文 献

- 1 李庆扬,王能超,易大义. 数值分析. 第 4 版. 北京: 清华大学出版社,2001
- 2 关治,陆金甫. 数值分析基础. 北京: 高等教育出版社,1998
- 3 南京地区工科院校数学建模与工业数学讨论班. 数学建模与实验(第 4 章). 南京: 河海大学出版社,1996
- 4 张培强. MATLAB 语言. 合肥: 中国科学技术大学出版社,1995
- 5 Benjamin F Plybon. An Introduction to Applied Numerical Analysis. PWS -KENT Publishing Company, 1992
- 6 Curtis F Gerald, Patrick O Wheatley. Applied Numerical Analysis (Chaps. 3 and 4). Addison-Wesley Publishing Company, 1994
- 7 Melvin J Maron, Robert J Lopez. Numerical Analysis—A Practical Approach (Chap. 5 and 6). Wadsworth Publishing Company, 1991
- 8 Advian Biran, Moshe Breiner. MATLAB for Engineers. Addison-Wesley Publishing Company, 1995

实验 4

常微分方程数值解

人们在研究物体的运动、热量或声波的传播、电路中电压与电流的变化等物理现象,以及人口增长的预测,血药浓度的变化,交通流量的控制等过程中,作为研究对象的函数,要和函数的导数一起,用一个符合其内在规律的方程来描述,这就是微分方程.微分方程是用数学方法分析客观对象变化规律的有力工具,是一类重要的数学模型.

建立微分方程只是解决问题的第一步,通常要求出方程的解来分析实际现象,并加以检验.虽然有时可以利用微积分方法求出某些微分方程的解析解,但是实际上大量的微分方程都不能获得它们的解析表达式;即使有时能获得解析解,其表达式也非常复杂,难以讨论其性质.因此必须通过数值求解的方法算出微分方程在某些离散点处的近似解,进而分析微分方程所反映的客观规律.

以下 4.1 节提出几个简化的实际问题,并建立其微分方程模型;4.2 节讨论两个最常用的数值算法:欧拉(Euler)方法和龙格-库塔(Runge-Kutta)方法;4.3 节介绍如何用 MATLAB 实现算法,并给出 4.1 节模型的求解过程;4.4 节简单介绍单步法的收敛性、稳定性和刚性方程;4.5 节是实验练习.

4.1 实例及其数学模型

4.1.1 海上缉私

问题 海防某部缉私艇上的雷达发现正东方向 c 海里处有一艘走私船正以一定速度向正北方向行驶,缉私艇立即以最大速度前往拦截.用雷达进行跟踪时,可保持缉私艇的速度方向始终指向走私船.建立任意时刻缉私艇的位置和缉私艇航线的数学模型,确定缉私艇追上走私船的位置,求出追上的时间.

模型 建立直角坐标系如图 4.1,设在 $t=0$ 时刻缉私艇发现走私船,此时缉私艇的位置在 $O(0, 0)$,走私船的位置在 $(c, 0)$.走私船以速度 a 平行于 y 轴正向行驶,缉私艇以速度 b 按指向走私船的方向行驶($b>a$).在任意时刻 t 缉私艇位于 $P(x, y)$ 点,而走私船到达 $Q(c, at)$ 点,直线 PQ 与缉私艇航线(图 4.1 中曲线)相切,切线与 x 轴正向夹角

为 α .

缉私艇在 x, y 方向的速度分别为 $\frac{dx}{dt} = b \cos \alpha$, $\frac{dy}{dt} = b \sin \alpha$, 由直角三角形 PQR 写出 $\sin \alpha$ 和 $\cos \alpha$ 的表达式, 得到微分方程

$$\begin{cases} \frac{dx}{dt} = \frac{b(c-x)}{\sqrt{(c-x)^2 + (at-y)^2}}, \\ \frac{dy}{dt} = \frac{b(at-y)}{\sqrt{(c-x)^2 + (at-y)^2}}. \end{cases} \quad (1)$$

初始条件为

$$x(0) = 0, \quad y(0) = 0. \quad (2)$$

这就是缉私艇位置 $(x(t), y(t))$ 的数学模型. 但是由方

程(1)无法得到 $x(t), y(t)$ 的解析解, 需要用数值算法求解. 我们将在 4.3 节继续讨论这个问题.

需要说明的是, 缉私艇并不知道走私船的速度多大, 否则缉私艇可以容易地沿一条直线追上走私船, 不必用雷达跟踪. 若走私船的速度已知, 请读者给出缉私艇航线的方向和追上的时间.

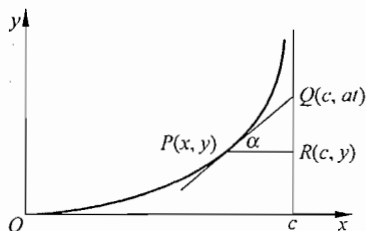


图 4.1 海上缉私

4.1.2 弱肉强食

问题 自然界中在同一环境下的两个种群之间存在着几种不同的生存方式, 比如相互竞争, 即争夺同样的食物资源, 造成一个种群趋于灭绝, 而另一个趋向环境资源容许的最大容量; 或者相互依存, 即彼此提供部分食物资源, 二者和平共处, 趋于一种平衡状态; 再有一种关系可称之为弱肉强食, 即某个种群甲靠丰富的自然资源生存, 而另一种种群乙靠捕食种群甲为生, 种群甲称为食饵 (prey), 种群乙为捕食者 (predator), 二者组成食饵—捕食者系统. 海洋中的食用鱼和软骨鱼 (鲨鱼等)、美洲兔和山猫、落叶松和蚜虫等都是这种生存方式的典型. 这样两个种群的数量是如何演变的呢? 近百年来许多数学家和生态学家对这一系统进行了深入的研究, 建立了一系列数学模型, 本节介绍的是最初的、最简单的一个模型, 它是意大利数学家 Volterra 在 20 世纪 20 年代建立的.

模型 用 $x(t)$ 表示时刻 t 食饵 (如食用鱼) 的密度, 即一定区域内的数量, $y(t)$ 表示捕食者 (如鲨鱼) 的密度. 假设食饵独立生存时的 (相对) 增长率为常数 $r > 0$, 即 $\dot{x}/x = r$, 而捕食者的存在使食饵的增长率减小, 设减小量与捕食者密度成正比, 比例系数为 $a > 0$, 则 $\dot{x}/x = r - ay$.

捕食者离开食饵无法生存, 设它独自存在时死亡率为常数 $d > 0$, 即 $\dot{y}/y = -d$, 而食饵的存在为捕食者提供了食物, 使捕食者的死亡率减小. 设减小量与食饵密度成正比, 比例系数为 $b > 0$, 则 $\dot{y}/y = -(d - bx)$. 实际上, 当 $bx > d$ 时捕食者密度将增长.

给定食饵和捕食者密度的初始值 x_0, y_0 , 由上可知 $x(t), y(t)$ 满足以下方程:

$$\begin{cases} \dot{x} = (r - ay)x = rx - axy, \\ \dot{y} = -(d - bx)y = -dy + bxy, \\ x(0) = x_0, y(0) = y_0. \end{cases} \quad (3)$$

方程组(3)的解 $x(t), y(t)$ 描述了食饵和捕食者密度随时间的演变过程. 我们同样得不到 $x(t), y(t)$ 的解析解, 需要用数值算法求解. 将在 4.3 节继续讨论这个问题.

4.2 欧拉方法和龙格-库塔方法

我们从一阶微分方程的数值算法开始. 设有

$$\begin{cases} y'(x) = f(x, y), \\ y(x_0) = y_0, \end{cases} \quad (4)$$

其中已知函数 $f(x, y)$ 对 y 满足李普希茨(Lipschitz)条件, 即存在常数 L 使

$$|f(x, y_1) - f(x, y_2)| \leq L |y_1 - y_2|,$$

以保证方程(4)的解 $y = y(x)$ 存在且惟一. 在满足李普希茨条件下求解方程(4)称为一阶常微分方程的初值问题.

所谓求方程(4)的数值解, 就是计算(精确)解 $y(x)$ 在一系列离散点 $x_0 < x_1 < x_2 < \cdots < x_n < \cdots$ 的近似值. 通常选取相等的计算步长 h , 于是 $x_n = x_0 + nh (n=1, 2, \cdots)$.

4.2.1 欧拉方法

欧拉方法的基本思想是在小区间 $[x_n, x_{n+1}]$ 上用差商 $\frac{y(x_{n+1}) - y(x_n)}{h}$ 代替方程(4)左端的导数 y' , 而方程右端函数 $f(x, y(x))$ 中的 x 取 $[x_n, x_{n+1}]$ 的某一点, 于是

$$y(x_{n+1}) = y(x_n) + hf(x, y(x)), \quad x \in [x_n, x_{n+1}]. \quad (5)$$

x 取 $[x_n, x_{n+1}]$ 内不同的点, 就得到以下不同的公式.

若 $f(x, y(x))$ 中的 x 取区间 $[x_n, x_{n+1}]$ 的左端点 x_n , 即 $f(x_n, y(x_n))$. 将 $y(x_n)$ 的近似值记作 y_n , 即 $y_n \approx y(x_n), y_{n+1} \approx y(x_{n+1})$, 则得到近似计算公式

$$y_{n+1} = y_n + hf(x_n, y_n), \quad n = 0, 1, 2, \cdots \quad (6)$$

称为向前欧拉公式, 意思是从 x_0, y_0 算出 y_1 , 从 x_1, y_1 算出 y_2 , 依次向前一步步计算.

若 $f(x, y(x))$ 中的 x 取区间 $[x_n, x_{n+1}]$ 的右端点 x_{n+1} , 类似地可得

$$y_{n+1} = y_n + hf(x_{n+1}, y_{n+1}), \quad n = 0, 1, 2, \cdots \quad (7)$$

称为向后欧拉公式, 形式上是从 x_{n+1}, y_{n+1} 向后算出 y_n . 但是初值问题需要从 y_n 和 x_{n+1} 计算 y_{n+1} , 当函数 $f(x, y)$ 对 y 非线性时, (7)式无法直接进行计算, 通常要用迭代法求解. 比如先由向前欧拉公式算出 y_{n+1} 的初值

$$y_{n+1}^{(0)} = y_n + hf(x_n, y_n), \quad (7.1)$$

再按如下迭代公式计算

$$y_{n+1}^{(k+1)} = y_n + hf(x_{n+1}, y_{n+1}^{(k)}), \quad k = 0, 1, 2, \dots \quad (7.2)$$

若迭代过程收敛, 则所要求的值 $y_{n+1} = \lim_{k \rightarrow \infty} y_{n+1}^{(k)}$. 每一步 ($n=0, 1, 2, \dots$) 都要进行迭代.

向前欧拉公式(6)称为显式公式, 向后欧拉公式(7)称为隐式公式. 用后者计算比前者要复杂得多, (7)式实用价值不大.

将(6)式, (7)式平均得到

$$y_{n+1} = y_n + \frac{h}{2}[f(x_n, y_n) + f(x_{n+1}, y_{n+1})], \quad n = 0, 1, 2, \dots \quad (8)$$

称为梯形公式, 这里 $f(x, y(x))$ 取了区间 $[x_n, x_{n+1}]$ 左右端点的函数的平均值.

显然(8)式也是隐式公式, 迭代过程计算量大, 通常采用预测—校正方法加以改进: 先用(6)式预测 y_{n+1} , 再把预测值代入(8)式右端作一次校正, 即

$$\begin{aligned} \bar{y}_{n+1} &= y_n + hf(x_n, y_n), \\ y_{n+1} &= y_n + \frac{h}{2}[f(x_n, y_n) + f(x_{n+1}, \bar{y}_{n+1})], \quad n = 0, 1, 2, \dots \end{aligned} \quad (9)$$

称为改进欧拉公式.

4.2.2 误差和阶

当我们用上面的欧拉公式计算精确解 $y(x_n)$ 的近似值 y_n 时, 一般每计算一步都会有误差, 并且误差还会一步一步地积累. 这里只讨论计算一步出现的误差: 假定 y_n 没有误差, 即 $y_n = y(x_n)$, 估计 y_{n+1} 的误差 $y(x_{n+1}) - y_{n+1}$, 称为局部截断误差.

为估计欧拉公式的局部截断误差, 先将精确解 $y(x_{n+1})$ 在 x_n 处作泰勒展开

$$y(x_{n+1}) = y(x_n) + hy'(x_n) + \frac{h^2}{2}y''(x_n) + O(h^3). \quad (10)$$

对于向前欧拉公式(6), 在 $y_n = y(x_n)$ 的假定下可记作

$$y_{n+1} = y(x_n) + hf(x_n, y(x_n)) = y(x_n) + hy'(x_n). \quad (11)$$

由(10)式与(11)式之差得到

$$T_{n+1} = y(x_{n+1}) - y_{n+1} = \frac{h^2}{2}y''(x_n) + O(h^3) = O(h^2). \quad (12)$$

式中 h 的最低阶项 $\frac{h^2}{2}y''(x_n)$ 称为局部截断误差主项, 它对于 h 是 2 阶的.

对于向后欧拉公式(7), 先规定右端 $y(x_n) = y_n$, $y(x_{n+1}) = y_{n+1}$, 然后讨论左端 y_{n+1} 与 $y(x_{n+1})$ 之差. 注意到(7)式右端 $f(x_{n+1}, y_{n+1}) = y'(x_{n+1})$, 并对 $y'(x_{n+1})$ 作泰勒展开, 得

$$y_{n+1} = y(x_n) + hy'(x_{n+1}) = y(x_n) + h[y'(x_n) + hy''(x_n) + O(h^2)]. \quad (13)$$

由(10)式与(13)式之差得到

$$T_{n+1} = y(x_{n+1}) - y_{n+1} = -\frac{h^2}{2}y''(x_n) + O(h^3) = O(h^2). \quad (14)$$

其局部截断误差主项刚好与向前欧拉公式相差一个负号,对于 h 也是 2 阶的.

由于梯形公式是向前和向后欧拉公式的算术平均,因此其局部截断误差也是(12)式和(14)式的算术平均, h 的 2 阶项正好抵消,将上面的泰勒展开至 h^3 项即可得到

$$T_{n+1} = -\frac{h^3}{12}y'''(x_n) + O(h^4) = O(h^3). \quad (15)$$

局部截断误差对 h 是 3 阶的.

数值计算方法(公式)的精度是由局部截断误差中 h 的阶定义的: 如果一个方法(公式)的局部截断误差为 $O(h^{p+1})$, 则称该方法(公式)具有 p 阶精度. 于是向前、向后欧拉公式的精度为 1 阶, 而梯形公式的精度为 2 阶, 类似地分析可知改进欧拉公式也为 2 阶精度. 精度的阶比局部截断误差的阶低 1.

4.2.3 龙格-库塔方法

一般地, 数值方法具有越高阶的精度, 得到的解就越精确. 向前和向后欧拉公式各用了区间 $[x_n, x_{n+1}]$ 一个端点的导数, 它们都是 1 阶精度, 而梯形公式和改进欧拉公式用了 $[x_n, x_{n+1}]$ 上的两个导数取平均, 得到了 2 阶精度. 这就启发人们用 $[x_n, x_{n+1}]$ 上的若干个点的导数, 对它们作线性组合得到平均斜率, 就可能得到更高阶的精度, 这就是龙格-库塔方法的基本思想.

为了演算简单起见, 我们仍取区间 $[x_n, x_{n+1}]$ 上的两个导数, 介绍推导 2 阶龙格-库塔公式的过程, 目的在于让读者了解龙格-库塔方法的思路.

按照下式在 x_n 和 $x_n + \alpha h$ ($0 < \alpha \leq 1$) 两个点上取导数作线性组合, 代替(6)式中的 $f(x_n, y_n)$,

$$\begin{cases} y_{n+1} = y_n + h(\lambda_1 k_1 + \lambda_2 k_2), \\ k_1 = f(x_n, y_n), \\ k_2 = f(x_n + \alpha h, y_n + \alpha h k_1), \quad 0 < \alpha \leq 1. \end{cases} \quad (16)$$

其中 $\lambda_1, \lambda_2, \alpha$ 为待定参数, 确定它们的准则是使(16)式具有尽量高阶的精度. 注意到 $y_n = y(x_n)$ 的假定, 并对 k_2 作二元泰勒展开, 且利用 $k_1 = y' = f, y'' = f_x + f \cdot f_y$, (16)式可写作

$$\begin{cases} y_{n+1} = y(x_n) + h(\lambda_1 k_1 + \lambda_2 k_2), \\ k_1 = f(x_n, y(x_n)) = y'(x_n), \\ k_2 = f(x_n + \alpha h, y(x_n) + \alpha h k_1) \\ \quad = y'(x_n) + \alpha h f_x(x_n, y(x_n)) + \alpha h k_1 f_y(x_n, y(x_n)) + O(h^2) \\ \quad = y'(x_n) + \alpha h (f_x + \underbrace{f \cdot f_y}) + O(h^2) = y'(x_n) + \alpha h y''(x_n) + O(h^2). \end{cases}$$

于是

$$y_{n+1} = y(x_n) + (\lambda_1 + \lambda_2)hy'(x_n) + \lambda_2 ah^2 y''(x_n) + O(h^3). \quad (17)$$

与(10)式给出的 $y(x_{n+1})$ 相减得到局部截断误差

$$T_{n+1} = y(x_{n+1}) - y_{n+1} = (1 - \lambda_1 - \lambda_2)hy'(x_n) + \left(\frac{1}{2} - \lambda_2\alpha\right)h^2 y''(x_n) + O(h^3). \quad (18)$$

容易看出, 只需选取 $\lambda_1, \lambda_2, \alpha$ 满足

$$\lambda_1 + \lambda_2 = 1, \quad \lambda_2\alpha = \frac{1}{2}, \quad (19)$$

就可使(16)式具有 2 阶的精度.

(19)式有无穷多组解, 所以得到的是一族 2 阶龙格-库塔公式. 请读者验证: 当取 $\lambda_1 = \lambda_2 = 1/2, \alpha = 1$ 时就得到改进欧拉公式(9).

龙格-库塔方法具有如下的一般形式:

$$\begin{cases} y_{n+1} = y_n + h \sum_{i=1}^L \lambda_i k_i \\ k_1 = f(x_n, y_n) \\ k_2 = f(x_n + c_2 h, y_n + c_2 h k_1) \\ k_i = f(x_n + c_i h, y_n + c_i h \sum_{j=1}^{i-1} a_{ij} k_j), \quad i = 3, 4, \dots, L \end{cases} \quad (20)$$

其中 λ_i, c_i 和 a_{ij} 为待定参数, 在满足 $\sum_{i=1}^L \lambda_i = 1, 0 \leq c_i \leq 1, \sum_{j=1}^{i-1} a_{ij} = 1$ 的条件下使(20)式的局部截断误差 T_{n+1} 首项中 h 的幂次尽量高. 若 $T_{n+1} = O(h^{p+1})$, 则称(20)式为 L 级 p 阶龙格-库塔公式.

常用的 4 级 4 阶龙格-库塔公式(即经典的龙格-库塔方法)如下

$$\begin{cases} y_{n+1} = y_n + \frac{h}{6}(k_1 + 2k_2 + 2k_3 + k_4), \\ k_1 = f(x_n, y_n), \\ k_2 = f\left(x_n + \frac{h}{2}, y_n + \frac{hk_1}{2}\right), \\ k_3 = f\left(x_n + \frac{h}{2}, y_n + \frac{hk_2}{2}\right), \\ k_4 = f(x_n + h, y_n + hk_3). \end{cases} \quad (21)$$

它具有 4 阶精度.

4.2.4 常微分方程组和高阶方程初值问题的数值方法

欧拉方法和龙格-库塔方法都可直接推广到求解常微分方程组的初值问题, 如对于

$$\begin{cases} y' = f(x, y, z), \\ z' = g(x, y, z), \\ y(x_0) = y_0, z(x_0) = z_0, \end{cases} \quad (22)$$

向前欧拉公式为

$$\begin{cases} y_{n+1} = y_n + hf(x_n, y_n, z_n), \\ z_{n+1} = z_n + hg(x_n, y_n, z_n), \end{cases} \quad n = 0, 1, 2, \dots \quad (23)$$

龙格-库塔公式有类似的形式.

对于高阶方程,需要先降阶化为一阶常微分方程组,然后再按照上面的方法求解.降阶的办法并不惟一,对于高阶线性方程

$$y^{(n)} + a_1(x)y^{(n-1)} + \dots + a_{n-1}(x)y' + a_n(x)y = f(x), \quad (24)$$

一种简单、常用的方法是令 $y_1 = y$, 将(24)式化为

$$\begin{cases} y_1' = y_2, \\ y_2' = y_3, \\ \vdots \\ y_n' = -a_n(x)y_1 - \dots - a_1(x)y_n + f(x). \end{cases} \quad (25)$$

4.3 龙格-库塔方法的 MATLAB 实现

对于微分方程(组)的初值问题

$$\begin{cases} \dot{x}(t) = f(t, x), \quad x = (x_1, \dots, x_n)^T, \quad f = (f_1, \dots, f_n)^T, \\ x(t_0) = x_0, \quad x_0 = (x_{01}, \dots, x_{0n})^T. \end{cases} \quad (26)$$

龙格-库塔方法可用如下 MATLAB 命令实现其计算:

```
[t, x] = ode23(@f, ts, x0, options)
```

```
[t, x] = ode45(@f, ts, x0, options)
```

其中 ode23 用的是 3 级 2 阶龙格-库塔公式, ode45 用的是以 Runge-Kutta-Fehberg 命名的 5 级 4 阶公式.

命令的输入 f 是待解方程写成的函数 M 文件:

```
function dx = f(t, x)
dx = [f1; f2; ...; fn];
```

若输入 $ts = [t_0, t_1, t_2, \dots, t_f]$, 则输出在指定时刻 $t_0, t_1, t_2, \dots, t_f$ 的函数值; 若输入 $ts = t_0 : k : t_f$, 则输出在 $[t_0, t_f]$ 内以 k 为间隔的等分点处的函数值. x_0 为函数初值 (n 维向量). $options$ 可用于设定误差限 ($options$ 默认时设定相对误差 10^{-3} , 绝对误差 10^{-6}), 命令为:


```
options=odeset('reltol',rt,'abstol',at)
```

其中 rt, at 分别为设定的相对误差和绝对误差.

命令的输出 t 为由输入指定的 ts, x 为相应的函数值 (n 维向量).

注意: 计算步长 h 是根据设定误差限自动调整的, 并不是输入中指定的输出“步长” k .

下面继续讨论 4.1 节提出的两个问题.

4.3.1 海上缉私(续)

对于 4.1.1 节的模型(1), 先设定参数, 用龙格-库塔方法和 MATLAB 软件求其数值解, 再设法研究其解析解.

模型的数值解

1. 设走私船速度 $a = 20n \text{ mile/h}$ ^①, 缉私艇速度 $b = 40n \text{ mile/h}$, 初始距离 $c = 15n \text{ mile}$, 由模型(1), (2)求任意时刻缉私艇的位置及缉私艇航线.

对于给出的 a, b, c 用 MATLAB 求数值解时, 记 $x(1)=x, x(2)=y, x=(x(1), x(2))^T$. 编写如下 M 文件:

```
function dx=jisi(t,x) % 建立名为 jisi 的函数 M 文件
a=20; b=40; c=15;
s=sqrt((c-x(1))^2+(a*t-x(2))^2);
dx=[b*(c-x(1))/s; b*(a*t-x(2))/s]; % 以向量形式表示方程(1)
```

在编写运行程序时需设定时间 t 的起终点及中间的等分点, 终点可参考缉私艇知道走私船速度时沿直线追上的时间(约为 0.4h), 并作试探. 编程如下:

```
ts=0:0.05:0.5; % 终点试探、调整为 0.5, 输出“步长”0.05
x0=[0,0]; % 输入 x,y 的初始值(2)
[t,x]=ode45(@jisi,ts,x0); % 调用 ode45 计算
[t,x] % 输出 t, x(t), y(t)
plot(t,x), grid, % 按照数值输出作 x(t), y(t) 的图形
gtext('x(t)'), gtext('y(t)'), pause
plot(x(:,1),x(:,2)), grid, % 作 y(x) 的图形
gtext('x'), gtext('y')
```

得到的数值结果 $x(t), y(t)$ 为缉私艇的位置, 列入表 4.1. 走私船的位置记作 $x_1(t), y_1(t)$, 显然 $x_1(t) = c = 15, y_1(t) = at = 20t$, 将 $y_1(t)$ 列入表 4.1 最后一列. 可知当 $t =$

① $n \text{ mili}$: 海里, $1n \text{ mile} = 1852m$.

0.5h, x , y 与 x_1 , y_1 几乎一致, 缉私艇追上走私船. $x(t)$, $y(t)$ 及 $y(x)$ 的图形见图 4.2(a) 和图 4.2(b), $y(x)$ 为缉私艇的航线.

表 4.1 $a=20, b=40, c=15$ 时(1),(2)的数值解 $x(t)$, $y(t)$ 和 $y_1(t)$

t	$x(t)$	$y(t)$	$y_1(t)$
0	0	0	0
0.05	1.9984	0.0698	1.0
0.10	3.9854	0.2924	2.0
0.15	5.9445	0.6906	3.0
0.20	7.8515	1.2899	4.0
0.25	9.6705	2.1178	5.0
0.30	11.3496	3.2005	6.0
0.35	12.8170	4.5552	7.0
0.40	13.9806	6.1773	8.0
0.45	14.7451	8.0273	9.0
0.50	15.0046	9.9979	10.0

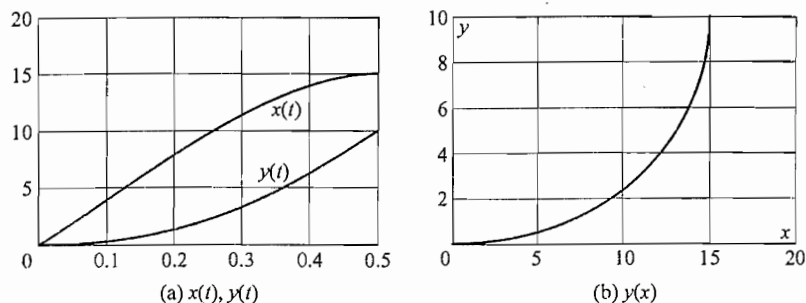


图 4.2 模型(1),(2)的解($a=20, b=40, c=15$)

2. 设 b, c 不变, 而走私船速度 a 变大为 30, 35, ..., 接近 40n mile/h, 观察解的变化.

修改 a 的输入, 并相应地延长 t 的终点. 设 $a=35$, 经试探 t 的终点调整为 1.6 合适. 表 4.2 是计算结果, 其中 $x(t)$, $y(t)$ 有两列数字, 左边的是用“默认”精度(即相对误差 10^{-3} , 绝对误差 10^{-6})计算的, 中间的 $y_1(t) = at = 35t$ 是走私船到达的位置. 可知 $t=1.3$ 时缉私艇的位置 x 已接近 15, 但 y 与 $y_1(t)$ 相差甚远; $t=1.4, 1.5$ 时 x 超过 15, 这是不对的; $t=1.6$ 时 x, y 与 x_1, y_1 也有差距. 这些缺陷是累积误差造成的. 可试探利用 ode45

的控制参数 options 提高精度(上面的“调用 ode45 计算”用以下程序代替),如设

```
opt=odeset('reltol',1e-6,'abstol',1e-9);
[t,x]=ode45(@jisi,ts,x0,opt);
```

得到表 4.2 右边的 $x(t)$, $y(t)$, 与走私船到达的位置 $x_1(t)$, $y_1(t)$ 相对照, 知 $t=1.6$ 时 x , y 与 x_1 , y_1 几乎一致, 可认为缉私艇追上走私船. $x(t)$, $y(t)$ 及 $y(x)$ 的图形见图 4.3(a) 和图 4.3(b), $y(x)$ 为缉私艇的航线, 当 x 接近 15 时航线几乎是正北方向, 形成沿走私船逃向的追赶态势.

表 4.2 $a=35$, $b=40$, $c=15$ 时(1)、(2)的数值解 $x(t)$, $y(t)$ 和 $y_1(t)$

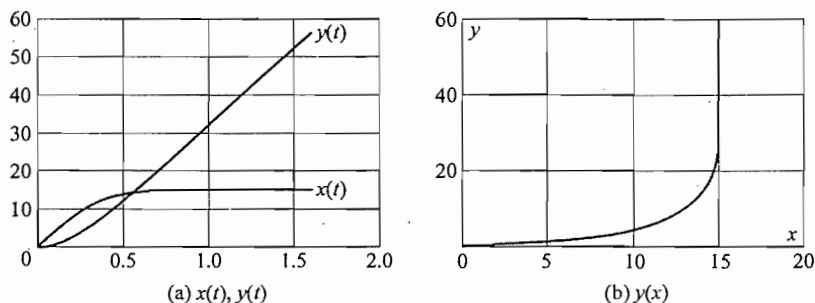
t	$x(t)$	$y(t)$	$y_1(t)$	$x(t)$	$y(t)$
0	0	0	0	0	0
0.1	3.9561	0.5058	3.5	3.956104	0.505813
0.2	7.5928	2.1308	7.0	7.592822	2.130678
0.3	10.5240	4.8283	10.5	10.521921	4.829308
0.4	12.5384	8.2755	14.0	12.539454	8.269840
0.5	13.7551	12.0830	17.5	13.753974	12.075344
\vdots	\vdots	\vdots	\vdots	\vdots	\vdots
1.0	14.9888	32.0163	35.0	14.990167	32.000013
1.1	14.9996	36.0164	38.5	14.997715	36.000005
1.2	14.9986	40.0164	42.0	14.999616	40.000005
1.3	14.9996	44.0165	45.5	14.999963	44.000005
1.4	15.0117	48.0183	49.0	14.999993	48.000005
1.5	15.0023	52.0146	52.5	14.999998	52.000005
1.6	14.9866	55.9486	56.0	15.000020	55.999931

模型的解析解 要想得到缉私艇拦截到走私船的精确时间和位置, 必须对模型(1)作进一步的分析, 设法得到某种形式的解析解.

将方程(1)的两式相除, 消去 dt 得到

$$(c-x) \frac{dy}{dx} + y = at. \quad (27)$$

(27)式对 x 求导得

图 4.3 模型(1)、(2)的解($a=35, b=40, c=15$)

$$(c-x) \frac{d^2 y}{dx^2} = a \frac{dt}{dx}. \quad (28)$$

为消去式中的 dt , 利用曲线弧长的微分 $ds = \sqrt{(dx)^2 + (dy)^2}$, 缉私艇的速度 $\frac{ds}{dt} = b$, 以及微分关系 $\frac{dt}{dx} = \frac{dt}{ds} \frac{ds}{dx}$, 得

$$(c-x) \frac{d^2 y}{dx^2} = \frac{a}{b} \sqrt{1 + \left(\frac{dy}{dx}\right)^2}. \quad (29)$$

这是关于 $y(x)$ 的二阶微分方程, 若令 $p = \frac{dy}{dx}$, 可化为 $p(x)$ 的一阶微分方程

$$(c-x) \frac{dp}{dx} = k \sqrt{1 + p^2}, \quad k = a/b (< 1). \quad (30)$$

依题意其初始条件为

$$p(0) = 0. \quad (31)$$

方程(30)为可分离变量方程, 容易求得在(31)式下的解为

$$\sqrt{1 + p^2} + p = \left(\frac{c-x}{c}\right)^{-k}, \quad (32)$$

或

$$\sqrt{1 + p^2} - p = \left(\frac{c-x}{c}\right)^k. \quad (33)$$

由(32)式, (33)式得

$$p = \frac{1}{2} \left[\left(\frac{c-x}{c}\right)^{-k} - \left(\frac{c-x}{c}\right)^k \right]. \quad (34)$$

对(34)式积分并注意到 $y(0)=0$ 得

$$y = \frac{c}{2} \left[\frac{1}{1+k} \left(\frac{c-x}{c}\right)^{1+k} - \frac{1}{1-k} \left(\frac{c-x}{c}\right)^{1-k} \right] + \frac{kc}{1-k^2}. \quad (35)$$

这就是缉私艇航线的解析表达式.

由(35)式知,当 $x=c$ 时, $y = \frac{kc}{1-k^2} = \frac{abc}{b^2-a^2}$, 这也是走私船的 y 坐标. 因为走私船速度是 a , 所以缉私艇拦截到走私船的时间为

$$t_1 = \frac{bc}{b^2-a^2}. \quad (36)$$

从(36)式容易算出, $a=20, b=40, c=15$ 时, $t_1=0.5$; $a=35, b=40, c=15$ 时, $t_1=1.6$. 由于累积误差的影响, 上面的数值计算结果与这个精确值有一点差距.

4.5 节实验练习中第 6 题给出了一些值得进一步研究的问题.

4.3.2 弱肉强食(续)

类似于 4.3.1 节, 对于 4.1.2 节的模型(3), 也先求其数值解, 再研究其解析解.

模型的数值解 为了考察模型(3)描述的食饵和捕食者密度随时间的演变过程, 选取模型参数 $r=1, d=0.5, a=0.1, b=0.02, x_0=25, y_0=2$, 用 MATLAB 求方程(3)的数值解, 记 $x(1)=x, x(2)=y, x=(x(1), x(2))^T$. 编写如下 M 文件:

```
function xdot=shier(t,x)
r=1;d=0.5;a=0.1;b=0.02;
xdot=diag([r-a*x(2), -d+b*x(1)])*x; % 以向量形式表示方程(3)
```

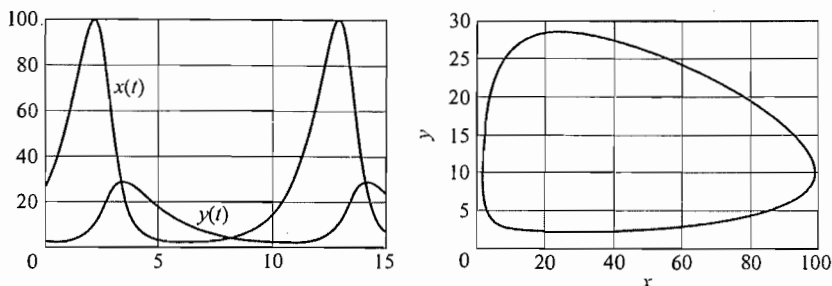
然后运行以下程序:

```
ts=0:0.1:15; % t 的终值经试验后定为 15.
x0=[25,2];
[t,x]=ode45(@shier,ts,x0);
[t,x]
plot(t,x),grid,
gtext('\fontsize{12}x(t)'),gtext('\fontsize{12}y(t)'), % 将标记 x(t),y(t) 的字体放大
pause,plot(x(:,1),x(:,2)),grid,
xlabel('x'),ylabel('y')
```

得到的数值结果从略, $x(t), y(t)$ 及 $y(x)$ 的图形见图 4.4, 曲线 $y(x)$ 称相轨线, 图形称相图.

从图 4.4 可以猜测, $x(t), y(t)$ 是周期函数, $y(x)$ 是封闭曲线, 并且从数值结果可以确定周期约为 10.7, 还可以用数值积分算出 $x(t), y(t)$ 在一个周期的平均值 \bar{x}, \bar{y} , 得到 $\bar{x} \approx 25, \bar{y} \approx 10$, 它们代表食饵和捕食者的平均密度.

模型的解析解 为了证明食饵和捕食者密度 $x(t), y(t)$ 确实是周期函数, 必须从模型(3)出发, 得到相轨线 $y(x)$ 的解析解.

图 4.4 $r=1, d=0.5, a=0.1, b=0.02$ 时 $x(t), y(t)$ 及 $y(x)$ 的图形

由方程(3)消去 dt 后得到 $\frac{dx}{dy} = \frac{x(r-ay)}{y(-d+bx)}$, 是可分离变量方程

$$\frac{-d+bx}{x} dx = \frac{r-ay}{y} dy. \quad (37)$$

两边积分得到 $y(x)$ 的通解

$$(x^d e^{-bx})(y^r e^{-ay}) = c, \quad (38)$$

其中常数 c 由初始条件确定. 可以证明, c 在一定范围内时(38)式表示的曲线是封闭曲线^[3], 这等价于 $x(t), y(t)$ 是周期函数.

食饵和捕食者的平均密度 \bar{x}, \bar{y} 也可以解析地得到. 记 $x(t), y(t)$ 的周期为 T , 为了求 $x(t)$ 在一个周期的平均值, 将模型(3)中的 $\dot{y} = -(d-bx)y$ 改写作

$$x(t) = \frac{1}{b} \left(\frac{\dot{y}}{y} + d \right). \quad (39)$$

两边在周期 T 内积分, 容易算出 $x(t)$ 平均值为

$$\bar{x} = \frac{1}{T} \int_0^T x(t) dt = \frac{1}{T} \left(\frac{\ln y(T) - \ln y(0)}{b} + \frac{dT}{b} \right) = \frac{d}{b}. \quad (40)$$

类似地可得 $y(t)$ 在一个周期的平均值

$$\bar{y} = \frac{r}{a}. \quad (41)$$

当参数 $r=1, d=0.5, a=0.1, b=0.02$ 时可得 $\bar{x}=25, \bar{y}=10$, 与上面的数值结果一致.

注意到在模型(3)中 r 是食饵的增长率, d 是捕食者的死亡率, a 反映捕食者对食饵的捕获能力, b 反映食饵对捕食者的喂养能力, (40)式和(41)式表明, 捕食者密度(平均值)与食饵增长率成正比, 与它的捕获能力成反比; 食饵密度(平均值)与捕食者死亡率成正比, 与它的喂养能力成反比. 这就是自然界中食饵-捕食者系统存在的既相互制约、又相互依存的关系.

4.4 算法的收敛性、稳定性及刚性方程

4.2 节中欧拉方法和龙格-库塔方法的共同点是,计算 y_{n+1} 时只用到 y_n 一步的信息,统称为单步法.而事实上,此时 $y_n, y_{n-1}, \dots, y_1, y_0$ 都已经知道,人们自然会想到,如果充分利用前面若干步的信息计算 y_{n+1} ,则可望提高数值解的精度,这就是所谓多步法.本节只讨论单步法的收敛性和稳定性,并由此引出刚性现象与刚性方程.

4.4.1 单步法的收敛性和整体误差

各种数值方法都是通过离散化的手段,将微分方程化为差分方程来求解的.人们自然希望,当计算步长 $h \rightarrow 0$ 时,差分方程能无限逼近微分方程,数值解 y_n 能无限接近微分方程初值问题的解析解 $y(x_n)$,这就是收敛性问题.

4.2 节中给出的各种(显式)单步法均可写成如下形式

$$\begin{cases} y_{n+1} = y_n + h\varphi(x_n, y_n, h), \\ y_0 = y(x_0), \end{cases} \quad (42)$$

其中 φ 称为增量函数.若对任一固定的 $x_n = x_0 + nh$ 都有 $\lim_{n \rightarrow \infty} y_n = y(x_n)$,则称该方法是收敛的.注意,对于一定的 $x_n, n \rightarrow \infty$ 等价于 $h \rightarrow 0$.

我们知道,局部截断误差是假定上一步没有误差的条件下,只考虑一步计算时近似解和精确解之差.当局部截断误差为 $O(h^{p+1})$ 时,算法具有 p 阶精度.而收敛性是指 $n \rightarrow \infty$ 时误差 $e_n = y(x_n) - y_n \rightarrow 0$.这里误差 e_n 称为整体误差.

关于单步法的收敛性和整体误差有以下结论^[4]:

若一种单步法(42)具有 p 阶精度,增量函数对 y 满足李普希茨条件,即存在 $L > 0$ 使 $|\varphi(x, y, h) - \varphi(x, \bar{y}, h)| \leq L|y - \bar{y}|$,则该法是收敛的,且整体误差

$$e_n = y(x_n) - y_n = O(h^p). \quad (43)$$

由此可知,向前欧拉公式(6)、改进欧拉公式(9)、4阶龙格-库塔公式都是收敛的,它们的整体误差分别为 $O(h), O(h^2), O(h^4)$.

4.4.2 单步法的稳定性

收敛性的讨论是在假设每步计算都是精确的前提下,估计离散化所产生的截断误差,没有考虑计算过程中的舍入误差.而实际计算中舍入误差是不可避免的,有时还会随计算步数的增加而无限地增大,从而使计算结果完全失真.稳定性是讨论这种误差能否被控制的问题.

若一种数值方法计算得到的函数值 y_n 有误差 ϵ_n ,而在以后得到的 $y_{n+k} (k=1, 2, \dots)$ 的误差 ϵ_{n+k} 满足 $|\epsilon_{n+k}| \leq |\epsilon_n|$,则称该方法是稳定的.

对于一阶微分方程(4),若在某一点 (x^*, y^*) 作二元泰勒展开,略去2阶及2阶以上项得

$$y' = f(x^*, y^*) + f_x(x^*, y^*)(x - x^*) + f_y(x^*, y^*)(y - y^*). \quad (44)$$

再经过简单的变量代换,可化成如下的方程进行讨论:

$$y' = -\lambda y, \quad \lambda > 0. \quad (45)$$

它的解析解是 $y = ce^{-\lambda x}$, c 是由初始条件决定的常数, $-\lambda$ 是方程(45)的特征根, $\lambda > 0$ 是为了保证微分方程本身的稳定性.

下面考察用向前和向后欧拉公式求解方程(45)时的稳定性条件.

方程(45)的向前欧拉公式为 $y_{n+1} = y_n - h\lambda y_n = (1 - \lambda h)y_n$. 若 y_n 有误差 ϵ_n ,即计算得到的是 $\tilde{y}_n = y_n + \epsilon_n$,将 \tilde{y}_n 代入公式计算得 $\tilde{y}_{n+1} = (1 - \lambda h)\tilde{y}_n$,于是 y_{n+1} 的误差为 $\epsilon_{n+1} = \tilde{y}_{n+1} - y_{n+1} = (1 - \lambda h)\tilde{y}_n - (1 - \lambda h)y_n = (1 - \lambda h)\epsilon_n$. 显然,为保证误差不增长,只需选取 h 充分小,使 $|1 - \lambda h| \leq 1$,它等价于

$$h \leq 2/\lambda. \quad (46)$$

这就是用向前欧拉公式求解方程(45)时的稳定性条件,称它是条件稳定的.

方程(45)的向后欧拉公式为 $y_{n+1} = y_n - h\lambda y_{n+1}$,容易得到 $\epsilon_{n+1} = \frac{1}{1 + h\lambda}\epsilon_n$,其稳定性条件为 $\left| \frac{1}{1 + h\lambda} \right| \leq 1$,而这对于任意的 h 都是成立的,即向后欧拉公式是无条件稳定的.

可以证明,对于方程(45)的4阶龙格-库塔公式(21)的稳定性条件是

$$h \leq 2.785/\lambda. \quad (47)$$

4.4.3 刚性现象与刚性方程

现象 先看以下的例子.

振动系统或包含电容、电感、电阻的电路系统的数学模型一般可表为

$$\begin{cases} \ddot{x} + k\dot{x} + rx = f(t) \quad (k, r > 0), \\ x(0) = a, \dot{x}(0) = b. \end{cases} \quad (48)$$

在给定的一组参数 $k=2000.5$, $r=1000$, $a=1$, $b=-1999.5$ 和 $f(t)=1$ 下,其解为^①

$$x(t) = e^{-2000t} - e^{-t/2} + 1. \quad (49)$$

右端第1,2项为瞬态解, $t \rightarrow \infty$ 时它们趋于零,第3项为稳态解.瞬态解中 e^{-2000t} 称快瞬态解,时间常数为 $\tau_1 = 1/2000 = 0.0005$,计算到 $t = 10\tau_1 = 0.005$ 时该项已衰减到 4.5×10^{-5} ;另一项 $e^{-t/2}$ 称慢瞬态解,时间常数为 $\tau_2 = 2$,计算到 $t = 10\tau_2 = 20$ 时它才衰减到 4.5×10^{-5} .

① 为方便起见,我们取这个有解析解的情况说明数值解中的问题.

通常人们需要的是稳态解,当用数值方法求解这个问题时,精度要达到 10^{-4} 就至少需要算到 $t=20$,这是由慢瞬态解的特征根决定的($|\lambda|=1/2$). 如何选取步长 h 呢? 从解的稳定性看,完全由快瞬态解的特征根决定($|\lambda|=2000$). 若用向前欧拉公式计算,按照(46)式应有 $h < 2/2000 = 0.001$; 用龙格-库塔公式计算,按照(47)式应有 $h < 2.785/2000 = 0.0014$, 那么算到 $t=20$ 就需要 14286 步. 这样大的计算量是由于快瞬态解和慢瞬态解的衰减速度(即两个特征根)相差悬殊(例中是 4000 倍)造成的,这种现象称为刚性现象,相应的微分方程称为刚性方程.

另外,由数值解法的误差分析可知,误差项包含着方程的解(函数)的高阶导数,快瞬态解 $e^{-\lambda t}$ 的 n 阶导数项含 $\lambda^n e^{-\lambda t}$, 当 λ 很大时这一项比解本身大得多,为了使数值解保持一定的精度就需要很小的计算步长,当由慢瞬态解决定的计算区间较大时,就会给整个的数值求解带来很大的困难.

刚性方程 振动、电路及化学反应中出现刚性现象的线性常系数方程组可表为

$$\dot{x}(t) = Ax + f(t) \quad (50)$$

其中 x, f 是 n 维向量, A 是 $n \times n$ 矩阵. 当 A 的特征根 $\lambda_k (k=1, 2, \dots, n)$ 的实部 $\text{Re}(\lambda_k)$ 均为负数时,方程通解中对应于 $|\text{Re}(\lambda_k)|$ 的值大的项为快瞬态解,值小的项为慢瞬态解,称

$$s = \frac{\max_k |\text{Re}(\lambda_k)|}{\min_k |\text{Re}(\lambda_k)|} \quad (51)$$

为刚性比. $s > 10$ 的方程便可认为是刚性方程,实际问题中可出现 s 达 10^6 的情况.

显然,刚性是问题本身的性质,与解法无关,但正是由于这种性质,用数值方法求解时需要计算到最慢瞬态解衰减成可忽略的小量为止,使得积分区间很长,而为了保证计算的稳定性,当最快瞬态解的 $|\text{Re}(\lambda_k)|$ 很大时,又必须使步长充分小,这就出现了在大区间上用小步长计算的困难情况,传统的数值方法无能为力,需要考虑另外的办法.

对于非线性方程组的刚性,可以用线性化的办法在精确解的邻域内用常系数方程组来近似处理.

MATLAB 求解 当用 MATLAB 软件中通常求解常微分方程的命令 `ode23`, `ode45` 时,由于其步长是按照稳定性的要求和指定的精度加以调整的,所以用它们解刚性方程时步长会自动变小,对于大的区间会导致计算时间很长. MATLAB 中备有另外的方法编制的专门求解刚性方程的命令 `ode23s`, `ode15s` 等,其用法与 `ode23`, `ode45` 相同. 可从下面的例子观察这些专用程序的效果.

$$\begin{cases} \dot{x}_1 = x_1 + 2x_2, \\ \dot{x}_2 = -(10^6 + 1)x_1 - (10^6 + 2)x_2, \\ x_1(0) = 10^6/4, x_2(0) = 10^6/4 - 1/2. \end{cases} \quad (52)$$

特征根 $\lambda_1 = -1, \lambda_2 = -10^6$, 刚性比 $s = 10^6$. 方程(52)的解析解为

$$\begin{cases} x_1(t) = \left(\frac{10^6}{4} + 1\right)e^{-t} - e^{-10^6 t}, \\ x_2(t) = -\left(\frac{10^6}{4} + 1\right)e^{-t} + \frac{(10^6 + 1)}{2}e^{-10^6 t}. \end{cases} \quad (53)$$

在下面的程序里我们先计算解析解(53)(结果输出为 A)用作比较,然后用专门的程序 ode23s 解方程(52)(结果输出为 B),最后用普通的程序 ode23 解方程(52)(结果输出为 C).

作为试探,取计算区间为 $[0, 1]$,可以看到,结果 A,B 立刻计算出来,结果 C 则需要几十秒钟.而为了使解(53)中的快瞬态解衰减到足够小,至少要将计算区间扩大为 $[0, 10]$,你会发现,用 ode23s 仍能很快得到结果(注意这时不要用 ode23,否则会陷入无法忍耐的等待!).

```
function dx=stiff1(t,x)
dx=[x(1)+2*x(2);-(10^6+1)*x(1)-(10^6+2)*x(2)];

t=0:0.1:1;
x1=(10^6/4+1)*exp(-t)-exp(-10^6*t);
x2=-(10^6/4+1)*exp(-t)+(10^6+1)/2*exp(-10^6*t);
A=[t;x1;x2]';
x0=[10^6/4,10^6/4-1/2];
[t,x]=ode23s(@stiff1,t,x0);
B=[t,x]
[t,y]=ode23(@stiff1,t,x0);
C=[t,y]
```

4.5 实验练习

实验目的

1. 掌握用 MATLAB 软件求微分方程初值问题数值解的方法;
2. 通过实例学习用微分方程模型解决简化的实际问题;
3. 了解欧拉方法和龙格-库塔方法的基本思想和计算公式,及稳定性等概念.

实验内容

1. 用欧拉方法和龙格-库塔方法求下列微分方程初值问题的数值解,画出解的图形,对结果进行分析比较.

$$(1) \begin{cases} y' = y + 2x, \\ y(0) = 1, \end{cases} \quad (0 \leq x \leq 1), \text{ 精确解 } y = 3e^x - 2x - 2;$$

$$(2) \begin{cases} y' = x^2 - y^2, \\ y(0) = 0 \text{ 或 } y(0) = 1; \end{cases}$$

$$(3) \begin{cases} x^2 y'' + xy' + (x^2 - n^2)y = 0, \\ y\left(\frac{\pi}{2}\right) = 2, y'\left(\frac{\pi}{2}\right) = -\frac{2}{\pi}, \end{cases} \quad (\text{贝塞尔方程, 令 } n=0.5), \text{ 精确解 } y = \sin x \sqrt{\frac{2\pi}{x}}.$$

2. 小型火箭初始重量为 1400kg, 其中包括 1080kg 燃料. 火箭竖直向上发射时燃料燃烧率为 18kg/s, 由此产生 32000N 的推力, 火箭引擎在燃料用尽时关闭. 设火箭上升时空气阻力正比于速度的平方, 比例系数为 0.4kg/m, 求引擎关闭瞬间火箭的高度、速度、加速度, 及火箭到达最高点时的高度和加速度, 并画出高度、速度、加速度随时间变化的图形.

3. 某容器盛满水后, 底端直径为 d_0 的小孔开启 (见图 4.5). 根据水力学知识, 当水面高度为 h 时, 水从小孔中流出的速度为 $v = 0.6 \sqrt{gh}$ (g 为重力加速度, 0.6 为孔口收缩系数).

(1) 若容器为倒圆锥形 (见图 4.5(a)), 现测得容器高和上底面直径均为 1.2m, 小孔直径为 3cm, 问水从小孔中流完需要多少时间; 2min 时水面高度是多少.

(2) 若容器为倒葫芦形 (图 4.5(b)), 现测得容器高 1.2m, 小孔直径 3cm, 由底端 (记作 $x=0$) 向上每隔 0.1m 测出容器的直径 D (m) 如表 4.3 所示, 问水从小孔中流完需要多少时间; 2min 时水面高度是多少.

表 4.3

x/m	0	0.1	0.2	0.3	0.4	0.5	0.6	0.7	0.8	0.9	1.0	1.1	1.2
D/m	0.03	0.05	0.08	0.14	0.19	0.33	0.45	0.68	0.98	1.10	1.20	1.13	1.00

4. 放射性废物的处理: 有一段时间, 美国原子能委员会 (现为核管理委员会) 处理浓缩放射性废物时, 把它们装入密封性能很好的圆桶中, 然后扔到水深 300ft^① 的大海中. 这种做法是否会造成放射性污染, 自然引起生态学家及社会各界的关注. 原子能委员会一再保证, 圆桶非常坚固, 绝不会破漏, 这种做法是绝对安全的. 然而一些工程师们却对此表示怀疑, 认为圆桶在和海底相撞时有可能发生破裂. 于是双方展开了一场笔墨官司.

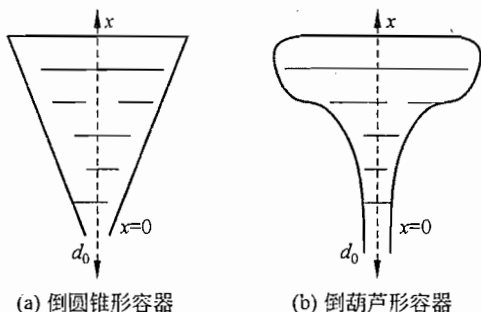


图 4.5 第 3 题图

① ft: 英尺, 1ft=0.3048m

究竟谁的意见正确呢? 原子能委员会使用的是 55gal^① 的圆桶, 装满放射性废物时的圆桶重量为 527.436lbf^②, 在海水中受到的浮力为 470.327lbf. 此外, 下沉时圆桶还要受到海水的阻力, 阻力与下沉速度成正比, 工程师们做了大量实验, 测得其比例系数为 0.08lbf s/ft. 同时, 大量破坏性实验发现当圆桶速度超过 40ft/s 时, 就会因与海底冲撞而发生破裂.

(1) 建立解决上述问题的微分方程模型.

(2) 用数值和解析两种方法求解微分方程, 并回答谁赢了这场官司.

5. 一只小船渡过宽为 d 的河流(图 4.6), 目标是起点 A 正对着的另一岸 B 点. 已知河水流速 v_1 与船在静水中的速度 v_2 之比为 k .

(1) 建立描述小船航线的数学模型, 求其解析解;

(2) 设 $d=100\text{m}$, $v_1=1\text{m/s}$, $v_2=2\text{m/s}$, 用数值解法求渡河所需时间、任意时刻小船的位置及航行曲线, 作图, 并与解析解比较;

(3) 若流速 $v_1=0, 0.5, 1.5, 2(\text{m/s})$, 结果将如何.

6. 4.1.1 节海上缉私问题的进一步研究.

对以下两种情况建立缉私艇位置和航线的数学模型, 自己设定速度等参数, 求数值解:

(1) 若走私船沿着与正东方向成某一角度的直线行驶;

(2) 若走私船仍向正北方向行驶, 一段时间(设尚未被缉私艇追上)后又掉头返回;

(3) 讨论走私船和缉私艇位于任意初始位置, 走私船按任意给定的路线行驶的情况.

7. 适当改变 4.1.2 节弱肉强食中的参数 r, d, a, b, x_0, y_0 , 讨论它们对周期的影响.

8. 两种群相互竞争模型如下:

$$\begin{cases} \dot{x}(t) = r_1 x \left(1 - \frac{x}{n_1} - s_1 \frac{y}{n_2} \right), \\ \dot{y}(t) = r_2 y \left(1 - s_2 \frac{x}{n_1} - \frac{y}{n_2} \right), \end{cases}$$

其中 $x(t), y(t)$ 分别为甲乙两种群的数量, r_1, r_2 为它们的固有增长率, n_1, n_2 为它们的最大容量. s_1 的含义是, 对于供养甲的资源而言, 单位数量乙(相对 n_2) 的消耗为单位数量甲(相对 n_1) 消耗的 s_1 倍, 对 s_2 可作相应的解释.

该模型无解析解, 试用数值解法研究以下问题:

(1) 设 $r_1=r_2=1, n_1=n_2=100, s_1=0.5, s_2=2$, 初值 $x_0=y_0=10$, 计算 $x(t), y(t)$, 画

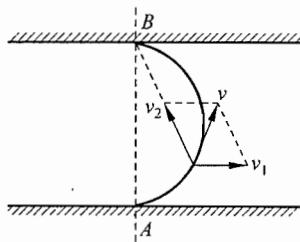


图 4.6 小船过河

① gal: 加仑, 1gal=3.785L(美制).

② lbf: 磅力, 1lbf=0.4536kg.

出它们的图形及相图 (x, y) , 说明时间 t 充分大以后 $x(t), y(t)$ 的变化趋势(人们今天看到的已经是自然界长期演变的结局).

(2) 改变 $r_1, r_2, n_1, n_2, x_0, y_0$, 但 s_1, s_2 不变(或保持 $s_1 < 1, s_2 > 1$), 计算并分析所得结果; 若 $s_1 = 1.5 (> 1), s_2 = 0.7 (< 1)$, 再分析结果. 由此你能得到什么结论, 请用各参数生态学上的含义作出解释.

(3) 试验当 $s_1 = 0.8 (< 1), s_2 = 0.7 (< 1)$ 时会有什么结果; 当 $s_1 = 1.5 (> 1), s_2 = 1.7 (> 1)$ 时又会有什么结果. 能解释这些结果吗?

9. 对下列 3 级龙格-库塔方法:

$$\begin{cases} y_{n+1} = y_n + \frac{h}{2}(k_2 + k_3), \\ k_1 = f(x_n, y_n), \\ k_2 = f(x_n + th, y_n + thk_1), \\ k_3 = f[x_n + (1-t)h, y_n + (1-t)hk_1]. \end{cases}$$

试证明对于任意的参数 t , 此方法均为 2 阶, 给出其局部截断误差主项, 并讨论 $t=1$ 时方法的稳定性.

参 考 文 献

- 1 李庆扬, 王能超, 易大义. 数值分析. 第 4 版. 北京: 清华大学出版社, 2001
- 2 关治, 陆金甫. 数值分析基础. 北京: 高等教育出版社, 1998
- 3 姜启源, 谢金星, 叶俊. 数学模型. 第三版. 北京: 高等教育出版社, 2003
- 4 施妙根, 顾丽珍. 科学和工程计算基础. 北京: 清华大学出版社, 1999
- 5 姜启源, 何青, 高立. 数学实验. 北京: 高等教育出版社, 1999
- 6 周义仓, 赫孝良. 数学建模实验. 西安: 西安交通大学出版社, 1999
- 7 Benjamin F. Plybon. An Introduction to Applied Numerical Analysis. PWS-KENT Publishing Company, 1992
- 8 Faires J D, Burden R L. Numerical Methods. PNS Publishing Company, Boston 1993
- 9 James M L, Smith G M, Wolford L C. Applied numerical Methods for Digital Computation, 5th ed. Harper Collins College Publishers, 1993
- 10 Walter Gander. Solving Problems in Scientific Computing Using Maple and MATLAB, 3rd ed. Springer, 1997

实验 5

线性代数方程组的数值解法

工程技术、自然科学以及社会经济领域中的许多问题常常归结为求解大型的线性代数方程组(以下简称线性方程组),如土木结构、输电网络、经济的投入产出、生物的种群繁殖、实验分析中的数据拟合,以及用差分法或有限元法解偏微分方程等.虽然,解线性方程组是大家早在中学数学课里就已熟悉的内容,线性方程组的理论也在线性代数课里学习过,但是那里的知识远不能满足解决实际问题的需要,大型的线性方程组通常要用数值方法求解.

以下 5.1 节给出几个实例并建立数学模型;5.2 节是求解线性方程组的直接法,包括病态问题的简单讨论;5.3 节介绍求解线性方程组的迭代法;5.4 节通过数据拟合讨论超定线性方程组的最小二乘解;5.5 节介绍线性方程组数值解法的 MATLAB 实现,并完成 5.1 节的三个模型的求解;5.6 节布置实验练习.

5.1 实例及其数学模型

5.1.1 投入产出分析

问题 国民经济各个部门之间存在着相互依存的关系,每个部门在运转中将其他部门的产品或半成品(称为投入)经过加工变为自己的产品(称为产出),如何根据各部门间的投入产出关系,确定各部门的产出水平,以满足社会需求,是投入产出分析中研究的课题.为了具体说明投入产出中的数量关系,考虑下面的例子.

设国民经济由农业、制造业和服务业三个部门构成,已知某年它们之间的投入产出关系、外部需求、初始投入等如表 5.1 所示(数字表示产值).

表中第一行数字表示,农业总产出 100 亿元,其中 15 亿元农产品用于农业生产本身(如提供种子),20 亿元用于制造业(如提供木材、毛皮),30 亿元用于服务业,剩下 35 亿元农产品用来满足外部需求(包括消费、积累、出口等).第一列数字中,15 亿元如前所述,30 亿元是制造业对农业的投入(如提供农具),20 亿元是服务业对农业的投入,35 亿元的初始投入包括工资、税收、进口等,总投入 100 亿元与总产出相等.

表 5.1 国民经济三个部门间的关系

单位: 亿元

产出 投入	农业	制造业	服务业	外部需求	总产出
农业	15	20	30	35	100
制造业	30	10	45	115	200
服务业	20	60	0	70	150
初始投入	35	110	75		
总投入	100	200	150		

假定每个部门的产出与它的投入成正比, 由表 5.1 能够确定这三个部门的投入产出表, 如表 5.2.

表 5.2 三个部门的投入产出表

产出 投入	农业	制造业	服务业
农业	0.15	0.10	0.20
制造业	0.30	0.05	0.30
服务业	0.20	0.30	0

表中第一行、第二列的数字 0.10 表示, 生产 1 个单位产值的制造业产品需投入 0.10 个单位产值的农产品, 这是由表 5.1 中 20 亿元农产品投入制造业, 可以产出 200 亿元制造业总产值而来的 ($20/200=0.1$). 同样, 第三行、第一列的数字 0.20 表示, 生产 1 个单位产值的农产品需要 0.20 个单位的服务业产值, 因为表 5.1 中 20 亿元的服务业产值投入农业, 得到 100 亿元的农业总产值. 表 5.2 的数字称为投入系数或消耗系数, 在技术水平没有明显提高的情况下, 可以假设投入系数是常数.

(1) 如果今年对农业、制造业和服务业的外部需求分别为 50, 150, 100 亿元, 问这 3 个部门的总产出分别应为多少?

(2) 如果三个部门的外部需求分别增加 1 个单位, 问它们的总产出应分别增加多少?

(3) 投入产出分析称为可行的, 是指对于任意给定的、非负的外部需求, 都能得到非负的总产出. 为了可行, 投入系数应满足什么条件?

模型 设有 n 个部门, 记一定时期内第 i 个部门的总产出为 x_i , 其中对第 j 个部门的投入为 x_{ij} , 外部需求为 d_i , 则

$$x_i = \sum_{j=1}^n x_{ij} + d_i, \quad i = 1, 2, \dots, n. \quad (1)$$

表 5.1 的每一行都满足 (1) 式. 投入系数记作 a_{ij} , 由下式定义

$$x_{ij} = a_{ij}x_j, \quad i, j = 1, 2, \dots, n, \quad (2)$$

即 a_{ij} 是第 j 个部门的单位产出所需要的第 i 个部门的投入. 由(1)式, (2)式得

$$x_i = \sum_{j=1}^n a_{ij}x_j + d_i, \quad i = 1, 2, \dots, n. \quad (3)$$

记投入系数矩阵 $A = (a_{ij})_{n \times n}$, 产出向量 $x = (x_1, \dots, x_n)^T$, 需求向量 $d = (d_1, \dots, d_n)^T$, 则(3)式可写作

$$x = Ax + d, \quad (4)$$

或

$$(I - A)x = d, \quad (5)$$

其中 I 是单位矩阵.

当投入系数 A 和外部需求 d 给定后, 求解线性方程组(5)即可得各部门的总产出 x . 在 5.5 节中将继续讨论这个问题.

5.1.2 一年生植物的繁殖(续)

问题 2.2.1 节讨论了一年生植物的繁殖, 若一棵植物秋季产种的平均数为 c , 种子能够活过一个冬天的比例为 b , 1 岁的种子能在春季发芽的比例为 a_1 , 两岁的种子能在春季发芽的比例为 a_2 , 假定种子最多可以活过两个冬天, 建立的是一阶和二阶差分方程. 如果在繁殖过程中我们知道了某一年植物的数量, 并希望若干年后它的数量达到给定的规模, 就需要在原来模型的基础上改进, 求出第二年(及以后诸年)这种植物的数量.

模型 记第 k 年的植物数量为 x_k , 实验 2 中(10)式的第 2 式给出的模型为(到 n 年为止)

$$x_k + px_{k-1} + qx_{k-2} = 0, \quad k = 2, 3, \dots, n, \quad (6)$$

其中 $p = -a_1bc$, $q = -a_2b(1-a_1)bc$. 设已知某年有植物 x_0 , 要求 n 年后数量达到 x_n , 则差分方程(6)可以改写为如下的线性方程组

$$Ax = b, \quad (7)$$

其中

$$A = \begin{bmatrix} p & 1 & & & & \\ q & p & 1 & & & \\ & q & p & 1 & & \\ & & \ddots & \ddots & \ddots & \\ & & & q & p & 1 \\ & & & & q & p \end{bmatrix}, \quad x = \begin{bmatrix} x_1 \\ x_2 \\ x_3 \\ \vdots \\ x_{n-2} \\ x_{n-1} \end{bmatrix}, \quad b = \begin{bmatrix} -qx_0 \\ 0 \\ 0 \\ \vdots \\ 0 \\ -x_n \end{bmatrix}. \quad (8)$$

为得到第二年(及以后诸年)植物的数量 x_1 (及 x_2, \dots, x_{n-1}) 需求解线性方程组(7). 这里 A 是稀疏矩阵(非零元素很少), 处理方法将在 5.5 节中讨论.

5.1.3 汽车刹车距离(续)

问题 1.2.1 节中经过对汽车刹车过程的机理分析,在简化、合理的假设下得到刹车距离与车速之间的二次函数关系,但是函数的系数难以从机理上确定.表 1.1 给出了一组车速与刹车距离的测试数据,由实际数据计算已知函数关系中的系数称为数据拟合,是这个实验的任务之一.

模型 1.2.1 节建立了刹车距离 d 与车速 v 的关系:

$$d = k_1 v + k_2 v^2, \quad (9)$$

其中 k_1, k_2 为待定系数.车速与刹车距离的实际数据记作 $(v_i, d_i) (i=1, 2, \dots, n)$ (见表 1.1, $n=7$),将它们代入(9)式得线性方程组

$$d_i = k_1 v_i + k_2 v_i^2, \quad i = 1, 2, \dots, n. \quad (10)$$

显然,当数据容量 n 大于待定系数个数 2 时,该方程组一般没有普通意义下的解.5.5 节将讨论这种方程组的最小二乘解.

5.2 求解线性代数方程组的直接法

含 n 个未知数、由 n 个方程组成的线性方程组可表示为

$$\begin{cases} a_{11}x_1 + a_{12}x_2 + \dots + a_{1n}x_n = b_1, \\ a_{21}x_1 + a_{22}x_2 + \dots + a_{2n}x_n = b_2, \\ \vdots \\ a_{n1}x_1 + a_{n2}x_2 + \dots + a_{nn}x_n = b_n. \end{cases} \quad (11)$$

若记 $A = (a_{ij})_{n \times n}$, $x = (x_1, \dots, x_n)^T$, $b = (b_1, \dots, b_n)^T$,则线性方程组(11)可表示为矩阵—向量形式

$$Ax = b, \quad (12)$$

A 称为系数矩阵.求解线性方程组的方法一般有两类:直接法和迭代法.

直接法 经过有限次算术运算能求出精确解(不考虑舍入误差)或者判定解不存在的方法.主要包括高斯消元法和 LU 分解.

迭代法 从某个初始近似解出发,通过逐次得到的近似解去逼近准确解的方法.主要包括雅可比(Jacobi)方法和高斯-赛德尔(Gauss-Seidel)方法.

5.2.1 高斯消元法

消元法由消元过程和回代过程组成.用一个数字例子说明这两个过程:

$$\begin{cases} 2x_1 + 2x_2 - 3x_3 = 9, \\ x_1 + 3x_2 - x_3 = 6, \\ 2x_1 + x_2 - 2x_3 = 7. \end{cases} \quad (13)$$

第 1 方程乘 $(-1/2)$ 加入第 2 方程,第 1 方程乘 (-1) 加入第 3 方程,得

$$\begin{cases} 2x_1 + 2x_2 - 3x_3 = 9, \\ 2x_2 + \frac{1}{2}x_3 = \frac{3}{2}, \\ -x_2 + x_3 = -2. \end{cases} \quad (14)$$

第 2 方程乘 $(1/2)$ 加入第 3 方程,得

$$\begin{cases} 2x_1 + 2x_2 - 3x_3 = 9, \\ 2x_2 + \frac{1}{2}x_3 = \frac{3}{2}, \\ \frac{5}{4}x_3 = -\frac{5}{4}, \end{cases} \quad (15)$$

这就是消元过程. 由第 3 方程得到 $x_3 = -1$, 代入第 2 方程得到 $x_2 = 1$, 再代入第 1 方程得到 $x_1 = 2$, 为回代过程.

若将方程组(13)~(15)表为如(12)式那样的矩阵一向量形式, 则上面消元过程的第 1 步相当于(13)式左乘矩阵 $\begin{bmatrix} 1 & 0 & 0 \\ -1/2 & 1 & 0 \\ -1 & 0 & 1 \end{bmatrix}$, 第 2 步相当于(14)式再左乘矩

$$\text{阵} \begin{bmatrix} 1 & 0 & 0 \\ 0 & 1 & 0 \\ 0 & 1/2 & 1 \end{bmatrix}.$$

对于一般的线性方程组(12), 共 $n-1$ 步的消元过程相当于依次左乘如下的一系列矩阵 M_1, M_2, \dots, M_{n-1} :

$$M_k = \begin{bmatrix} 1 & & & & \\ & \ddots & & & \\ & & 1 & & \\ & & -\frac{a_{k+1,k}^{(k)}}{a_{kk}^{(k)}} & 1 & \\ & & \vdots & & \ddots \\ & & -\frac{a_{nk}^{(k)}}{a_{kk}^{(k)}} & & 1 \end{bmatrix}, \quad k = 1, 2, \dots, n-1, \quad (16)$$

M_k 空白处的元素均为 0, $a_{ik}^{(k)}$ ($i=k, k+1, \dots, n$) 是第 k 步消元时第 i 个方程中 x_k 的系数, 而 $a_{kk}^{(k)}$ 称为主元, 消元中要假定主元

$$a_{kk}^{(k)} \neq 0, \quad k = 1, 2, \dots, n. \quad (17)$$

用 M_1, M_2, \dots, M_{n-1} 依次左乘(12)的结果是

$$M_{n-1} \cdots M_2 M_1 A x = M_{n-1} \cdots M_2 M_1 b. \quad (18)$$

记 $M_{n-1} \cdots M_2 M_1 = M$, 因为 M_1, M_2, \dots, M_{n-1} 都是单位下三角矩阵(对角元素为 1, 上三角元素为 0), 所以 M 仍是单位下三角矩阵. 当 $n-1$ 步消元结束后方程组(18)左边的矩阵 MA 变为上三角矩阵(如线性方程组(15)的系数矩阵, 其下三角元素为 0), 记作 U , 即

$$MA = U. \quad (19)$$

(18)式写作

$$Ux = Mb. \quad (20)$$

U 的对角元素为 $a_{kk}^{(k)} \neq 0 (k=1, 2, \dots, n)$.

回代过程利用线性方程组(20)中 U 是可逆的上三角矩阵, 很容易按照 x_n, x_{n-1}, \dots, x_1 的顺序求解.

消元法的前提条件是主元不等于零, 即(17)式, 容易证明它等价于 A 的所有顺序主子式

$$D_k = \begin{vmatrix} a_{11} & \cdots & a_{1k} \\ \vdots & & \vdots \\ a_{k1} & \cdots & a_{kk} \end{vmatrix} \neq 0, \quad k = 1, 2, \dots, n.$$

实际上, 在用消元法解线性方程组的过程中, 即使 $a_{kk}^{(k)} \neq 0 (k=1, 2, \dots, n)$, 但是其绝对值很小时, 用它作除数会导致很大的舍入误差. 所以在进行到第 k 步消元时, 不论 $a_{kk}^{(k)}$ 是否为 0, 都在第 k 列中选择 $|a_{ik}^{(k)}| (i=k, \dots, n)$ 最大的一个作为主元(称为列主元), 将其所在行与第 k 行交换后再按上述方法进行下去, 称为列主元消去法.

5.2.2 LU 分解

(1) 矩阵 LU 分解

因为线性方程组(19)中的单位下三角矩阵 M 可逆, 记 $L=M^{-1}$, L 仍为单位下三角矩阵, 由(20)式得

$$LUx = b. \quad (21)$$

与待解线性方程组(12) $Ax=b$ 相比较可知, 消元过程相当于将系数矩阵 A 分解为 L 与 U 的乘积, 即有如下结论.

如果 n 阶矩阵 A 的顺序主子式不为零, 则 A 可分解为一个单位下三角矩阵 L 和一个上三角矩阵 U 的乘积

$$A = LU, \quad (22)$$

且分解是惟一的, 这种分解叫做矩阵 LU 分解.

线性方程组 $Ax=b$ 的系数矩阵 A 实现 LU 分解后, 就化为求解两个简单的线性方

程组:

$$Ly = b, \quad Ux = y. \quad (23)$$

(2) 经交换阵变换的 LU 分解

如果只知道矩阵 A 可逆而不能保证其顺序主子式不为零,那么在消元过程中可能会遇到某个 $a_{kk}^{(k)} = 0$ 的情况,但这时必至少有一个 $a_{ik}^{(k)} \neq 0 (i = k+1, \dots, n)$ (为什么?),只需像列主元消元法那样,将列主元所在的第 i 行与第 k 行交换后,即可继续施行消元过程,而这种行交换相当于 A 左乘一个单位阵两行交换的初等交换矩阵,于是将 A 化为上三角矩阵 U 的过程相当于 A 左乘一系列的初等交换矩阵和单位下三角矩阵,记这些初等交换矩阵的乘积为 P , P 是单位矩阵经若干次行交换的交换矩阵,类似于(19)式可得到

$$MPA = U. \quad (24)$$

仍记 $L = M^{-1}$, 就得到以下结论:

如果 A 可逆,则存在单位下三角矩阵 L 、上三角矩阵 U 和交换矩阵 P , 使

$$PA = LU. \quad (25)$$

(25)式与(22)式的 LU 分解只差一个交换阵因子.

(3) 对称正定矩阵的 LU 分解

一些实际问题经常归结为求解具有对称正定矩阵的线性方程组,这时系数矩阵的 LU 分解具有更简单的形式:

若 A 对称正定,则存在对角元素为正的下三角矩阵 L 使

$$A = LL^T, \quad (26)$$

称为 Cholesky 分解.

(4) 三对角矩阵的 LU 分解

在三次样条插值和其他一些计算中,会遇到求解系数矩阵 A 具有三对角形式的线性方程组,这时 A 的 LU 分解(假定分解存在)有简单的计算公式.

将 A 的 LU 分解表为

$$A = \begin{bmatrix} b_1 & c_1 & & & \\ a_2 & b_2 & c_2 & & \\ & \ddots & \ddots & \ddots & \\ & & a_{n-1} & b_{n-1} & c_{n-1} \\ & & & a_n & b_n \end{bmatrix} = \begin{bmatrix} 1 & & & & \\ l_2 & 1 & & & \\ & l_3 & \ddots & & \\ & & \ddots & 1 & \\ & & & l_n & 1 \end{bmatrix} \begin{bmatrix} u_1 & c_1 & & & \\ & u_2 & c_2 & & \\ & & \ddots & \ddots & \\ & & & u_{n-1} & c_{n-1} \\ & & & & u_n \end{bmatrix}. \quad (27)$$

L 和 U 的计算公式为

$$\begin{cases} u_1 = b_1, \\ l_i = a_i / u_{i-1}, \quad i = 2, 3, \dots, n, \\ u_i = b_i - l_i c_{i-1}, \quad i = 2, 3, \dots, n. \end{cases} \quad (28)$$

线性方程组 $Ax=f$ 可通过等价的两个三角形线性方程组 $Ly=f$ 和 $Ux=y$ 求解如下:

$$\begin{cases} y_1 = f_1, \\ y_i = f_i - l_i y_{i-1}, \quad i = 2, \dots, n; \end{cases} \quad \begin{cases} x_n = y_n / u_n, \\ x_i = (y_i - c_i x_{i+1}) / u_i, \quad i = n-1, \dots, 1. \end{cases} \quad (29)$$

(27)式~(29)式称为求解三对角形线性方程组的追赶法.

5.2.3 解的误差分析

(1) 病态方程组和病态矩阵

由实际问题导出的线性方程组 $Ax=b$ 中, 系数矩阵 A 和右端向量 b 往往带有误差(扰动), 解的误差分析是讨论 A 或 b 的微小变化对解 x 的影响. 先看一个例子: 线性方程组

$$\begin{bmatrix} 1 & 1 \\ 1 & 1.001 \end{bmatrix} \begin{bmatrix} x_1 \\ x_2 \end{bmatrix} = \begin{bmatrix} 2 \\ 2 \end{bmatrix} \quad (30)$$

的解是 $x=(2, 0)^T$, 若右端项稍有变化

$$\begin{bmatrix} 1 & 1 \\ 1 & 1.001 \end{bmatrix} \begin{bmatrix} x_1 \\ x_2 \end{bmatrix} = \begin{bmatrix} 2 \\ 2.001 \end{bmatrix}, \quad (31)$$

则解变为 $x=(1, 1)^T$, 右端项 b 的微小变化引起解 x 的很大变化, 真乃“差之毫厘, 失之千里”, 可以说 x 对 b 的扰动是敏感的. 分析其原因是, 系数矩阵 A 的两个行向量近于线性相关, 对应于图 5.1 中的两条直线 M_1N_1 和 M_2N_2 近于平行, 当 b 的微小变化引起 M_2N_2 的微小平移(图 5.1 中虚线)时, 两条直线的交点(即线性方程组的解)改变很大.

一般地, 若线性方程组系数矩阵或右端项的微小扰动(或称摄动)引起解的很大变化, 就称为病态线性方程组, 系数矩阵称为病态矩阵. 反之, 称为良态线性方程组和良态矩阵.

从上面的例子可以想到, 近于奇异的矩阵大概是病态的. 为了衡量矩阵的“性态”, 首先要有度量矩阵“大小”的指标, 而这种指标与度量向量大小的指标有密切关系.

(2) 向量范数和矩阵范数

对于 n 维空间向量 $x=(x_1, x_2, \dots, x_n)^T$, 习惯上用的向量模称为向量的 2-范数, 记作

$$\|x\|_2 = \left(\sum_{i=1}^n x_i^2 \right)^{1/2}. \quad (32)$$

一般地定义 p -范数为

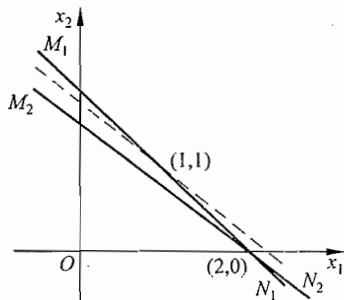


图 5.1 方程组(30)和(31)的图示

$$\|x\|_p = \left(\sum_{i=1}^n |x_i|^p \right)^{1/p}, \quad p \geq 1, \quad (33)$$

其中常用的除 2-范数外,还有 $p=1$ 时的 1-范数

$$\|x\|_1 = \sum_{i=1}^n |x_i|, \quad (34)$$

和 $p \rightarrow \infty$ 时的 ∞ -范数

$$\|x\|_\infty = \max_{1 \leq i \leq n} |x_i|. \quad (35)$$

矩阵 $A = (a_{ij})_{n \times n}$ 的 1-范数(又称列范数)、 ∞ -范数(又称行范数)和 2-范数分别定义为

$$\|A\|_1 = \max_j \sum_{i=1}^n |a_{ij}|, \quad (36)$$

$$\|A\|_\infty = \max_i \sum_{j=1}^n |a_{ij}|, \quad (37)$$

$$\|A\|_2 = \sqrt{\lambda_{\max}(A^T A)}, \quad (38)$$

其中 $\lambda_{\max}(A^T A)$ 表示 $A^T A$ 的最大特征根. 它们与向量范数之间满足

$$\|Ax\|_p \leq \|A\|_p \cdot \|x\|_p, \quad p = 1, 2, \dots, \infty, \quad (39)$$

称为矩阵范数与向量范数的相容性条件.

(3) 矩阵条件数

下面讨论线性方程组 $Ax=b$ 右端 b 的扰动 δb 引起 x 的扰动 δx . 设 A 不变, 于是有 $A(x+\delta x) = b + \delta b$, 即 $A\delta x = \delta b$, 可得

$$\delta x = A^{-1} \delta b. \quad (40)$$

由(39)式(略去下标 p), 有

$$\|\delta x\| \leq \|A^{-1}\| \cdot \|\delta b\|. \quad (41)$$

另一方面, 由 $Ax=b$ 和(39)式有 $\|b\| \leq \|A\| \cdot \|x\|$, 即

$$\|x\| \geq \|b\| / \|A\|. \quad (42)$$

联合(41)式、(42)式就得到

$$\frac{\|\delta x\|}{\|x\|} \leq \|A^{-1}\| \cdot \|A\| \cdot \frac{\|\delta b\|}{\|b\|}. \quad (43)$$

可见, x 对 b 扰动的敏感程度取决于 $\|A^{-1}\| \cdot \|A\|$. 定义

$$\text{cond}(A) = \|A^{-1}\| \cdot \|A\|, \quad (44)$$

称为 A 的条件数, 则

$$\frac{\|\delta x\|}{\|x\|} \leq \text{cond}(A) \cdot \frac{\|\delta b\|}{\|b\|}, \quad (45)$$

即条件数可作为误差的上界.

考虑 A 的扰动 δA 引起 x 的扰动 δx (设 b 不变), 即有 $(A + \delta A)(x + \delta x) = b$, 类似地可推导出, 当 $\|\delta A\|$ 足够小, 使得 $\|A^{-1}\| \cdot \|\delta A\| < 1$ 时, 有

$$\frac{\|\delta x\|}{\|x\|} \leq \frac{\text{cond}(A)}{1 - \text{cond}(A) \cdot \frac{\|\delta A\|}{\|A\|}} \cdot \frac{\|\delta A\|}{\|A\|}. \quad (46)$$

由(45)式, (46)式可知, 解 x 对右端项 b 和系数矩阵 A 扰动的敏感程度取决于 A 的条件数. A 的条件数越大, 解的相对误差就可能越大, 所以条件数反映了线性方程组的性态. 若 A 的条件数相对地大, 即 $\text{cond}(A) \gg 1$, 则线性方程组 $Ax = b$ 是病态的, $\text{cond}(A)$ 越大, 病态越严重, 越难获得比较准确的解. 反之, 若 A 的条件数相对的小, 则方程是良态的.

(4) 希尔伯特(Hilbert)矩阵

n 阶希尔伯特矩阵定义为

$$H = \begin{bmatrix} 1 & 1/2 & \cdots & 1/n \\ 1/2 & 1/3 & \cdots & 1/(n+1) \\ \vdots & \vdots & & \vdots \\ 1/n & 1/(n+1) & \cdots & 1/(2n-1) \end{bmatrix}. \quad (47)$$

当 n 较大时 H 呈严重病态, 常作为研究病态现象的系数矩阵. 如 5 阶希尔伯特矩阵的 1-条件数 $\text{cond}(H)_1 \approx 9.4 \times 10^5$, 2-条件数 $\text{cond}(H)_2 \approx 4.8 \times 10^5$, 对于线性方程组 $Hx = b$, x 的(相对)误差可以达到 b (或 H)的(相对)误差的 10^5 倍以上.

5.3 求解线性代数方程组的迭代法

直接法一般适用于中、小型的线性方程组(如 $n < 10^4$), 而在科学计算和工程技术中常会遇到具有大型稀疏矩阵(指 n 很大且零元素较多)的方程组, 这时从计算和存储两方面来说, 迭代法都是一种更合适的选择.

5.3.1 雅可比迭代和高斯-赛德尔迭代

先看如下的数字例子:

$$\begin{cases} 9x_1 - x_2 - x_3 = 7, \\ -x_1 + 10x_2 - x_3 = 8, \\ -x_1 - x_2 + 15x_3 = 13. \end{cases} \quad (48)$$

线性方程组(48)可等价地写为

$$\begin{cases} x_1 = \frac{1}{9}x_2 + \frac{1}{9}x_3 + \frac{7}{9}, \\ x_2 = \frac{1}{10}x_1 + \frac{1}{10}x_3 + \frac{8}{10}, \\ x_3 = \frac{1}{15}x_1 + \frac{1}{15}x_2 + \frac{13}{15}. \end{cases} \quad (49)$$

利用线性方程组(49)可以进行如下形式的迭代(用上标 (k) 表示迭代步数):

$$\begin{cases} x_1^{(k+1)} = \frac{1}{9}x_2^{(k)} + \frac{1}{9}x_3^{(k)} + \frac{7}{9}, \\ x_2^{(k+1)} = \frac{1}{10}x_1^{(k)} + \frac{1}{10}x_3^{(k)} + \frac{8}{10}, \\ x_3^{(k+1)} = \frac{1}{15}x_1^{(k)} + \frac{1}{15}x_2^{(k)} + \frac{13}{15}. \end{cases} \quad (50)$$

对选定的初始解 $x^{(0)} = (x_1^{(0)}, x_2^{(0)}, x_3^{(0)})^T$, 可由(50)式迭代计算 $x^{(1)}, x^{(2)}, \dots$. 如取 $x^{(0)} = (0, 0, 0)^T$, 计算至 $k=3$ 时可得 $x^{(4)} = (0.9987, 0.9988, 0.9991)^T$, 已经与线性方程组(48)的精确解 $x = (1, 1, 1)^T$ 非常接近. 这就是求解线性方程组的雅可比迭代法.

从(50)式的迭代过程很容易发现, 计算 $x_2^{(k+1)}$ 时 $x_1^{(k+1)}$ 已经知道, 计算 $x_3^{(k+1)}$ 时 $x_1^{(k+1)}$ 和 $x_2^{(k+1)}$ 均已知道. 因此, 如果在计算 $x_2^{(k+1)}$ 和 $x_3^{(k+1)}$ 时, 用最新的值 $x_1^{(k+1)}$ 和 $x_2^{(k+1)}$ 进行迭代, 则可得如下的公式:

$$\begin{cases} x_1^{(k+1)} = \frac{1}{9}x_2^{(k)} + \frac{1}{9}x_3^{(k)} + \frac{7}{9}, \\ x_2^{(k+1)} = \frac{1}{10}x_1^{(k+1)} + \frac{1}{10}x_3^{(k)} + \frac{8}{10}, \\ x_3^{(k+1)} = \frac{1}{15}x_1^{(k+1)} + \frac{1}{15}x_2^{(k+1)} + \frac{13}{15}. \end{cases} \quad (51)$$

称为高斯-赛德尔迭代法.

对方程组(48)用以上两种迭代公式计算的结果如表 5.3 所示, 可以发现高斯-赛德尔迭代法比雅可比迭代法收敛要快.

表 5.3 对方程组(48)雅可比法和高斯-赛德尔法的计算结果

k	x^T (雅可比法)	x^T (高斯-赛德尔法)
0	(0, 0, 0)	(0, 0, 0)
1	(0.7778, 0.8000, 0.8667)	(0.7778, 0.8778, 0.9770)
2	(0.9630, 0.9644, 0.9719)	(0.9839, 0.9961, 0.9987)
3	(0.9929, 0.9935, 0.9952)	(0.9994, 0.9998, 0.9999)
4	(0.9987, 0.9988, 0.9991)	(1.0000, 1.0000, 1.0000)

对于一般的线性方程组 $Ax=b$, 假设 $a_{ii} \neq 0 (i=1, 2, \dots, n)$, 雅可比迭代公式是

$$\begin{cases} x_1^{(k+1)} = \frac{1}{a_{11}}(-a_{12}x_2^{(k)} - a_{13}x_3^{(k)} - \dots - a_{1n}x_n^{(k)} + b_1), \\ x_2^{(k+1)} = \frac{1}{a_{22}}(-a_{21}x_1^{(k)} - a_{23}x_3^{(k)} - \dots - a_{2n}x_n^{(k)} + b_2), \\ \vdots \\ x_n^{(k+1)} = \frac{1}{a_{nn}}(-a_{n1}x_1^{(k)} - a_{n2}x_2^{(k)} - \dots - a_{n,n-1}x_{n-1}^{(k)} + b_n). \end{cases} \quad (52)$$

如果将 A 分解为

$$A = D - L - U, \quad D = \begin{bmatrix} a_{11} & 0 & \cdots & 0 \\ 0 & a_{22} & & \vdots \\ \vdots & & \ddots & 0 \\ 0 & \cdots & 0 & a_{nn} \end{bmatrix}, \quad L = -\begin{bmatrix} 0 & & & \\ a_{21} & 0 & & \\ \vdots & & \ddots & \\ a_{n1} & \cdots & a_{n,n-1} & 0 \end{bmatrix}, \quad U = -\begin{bmatrix} 0 & a_{12} & \cdots & a_{1n} \\ & 0 & & \vdots \\ & & \ddots & a_{n-1,1} \\ & & & 0 \end{bmatrix}, \quad (53)$$

则迭代公式(52)等价于如下的矩阵形式

$$x^{(k+1)} = D^{-1}(L+U)x^{(k)} + D^{-1}b, \quad k = 0, 1, 2, \dots \quad (54)$$

或

$$x^{(k+1)} = B_J x^{(k)} + f_J, \quad B_J = D^{-1}(L+U), \quad f_J = D^{-1}b. \quad (55)$$

(54)式, (55)式为雅可比迭代, B_J 是迭代矩阵.

类似地, $Ax=b$ 的高斯-赛德尔迭代公式是(仍设 $a_{ii} \neq 0 (i=1, 2, \dots, n)$)

$$\begin{cases} x_1^{(k+1)} = \frac{1}{a_{11}}(-a_{12}x_2^{(k)} - a_{13}x_3^{(k)} - \dots - a_{1n}x_n^{(k)} + b_1), \\ x_2^{(k+1)} = \frac{1}{a_{22}}(-a_{21}x_1^{(k+1)} - a_{23}x_3^{(k)} - \dots - a_{2n}x_n^{(k)} + b_2), \\ \vdots \\ x_n^{(k+1)} = \frac{1}{a_{nn}}(-a_{n1}x_1^{(k+1)} - a_{n2}x_2^{(k+1)} - \dots - a_{n,n-1}x_{n-1}^{(k)} + b_n). \end{cases} \quad (56)$$

等价于如下的矩阵形式

$$x^{(k+1)} = D^{-1}(Lx^{(k+1)} + Ux^{(k)}) + D^{-1}b, \quad k = 0, 1, 2, \dots \quad (57)$$

经整理有

$$x^{(k+1)} = B_{G-S}x^{(k)} + f_{G-S}, \quad B_{G-S} = (D-L)^{-1}U, \quad f_{G-S} = (D-L)^{-1}b. \quad (58)$$

(57)式, (58)式为高斯-赛德尔迭代, B_{G-S} 是迭代矩阵.

雅可比迭代公式简单, 特别适合并行计算; 高斯-赛德尔迭代计算出的 $x_i^{(k+1)}$ 可立即存入 $x_i^{(k)}$ 的位置, 只需一个向量存储单元, 是典型的串行计算, 一般情况下收敛会快些.

5.3.2 迭代法的收敛性和收敛速度

用迭代法计算都会遇到是否收敛及收敛速度的问题. 上面用两种迭代法求解线性方程组 $Ax=b$ 时, 先将它表为等价形式

$$x = Bx + f, \quad (59)$$

再得到迭代形式

$$x^{(k+1)} = Bx^{(k)} + f, \quad k = 0, 1, 2, \dots \quad (60)$$

设 x^* 是原线性方程组的解, 即

$$x^* = Bx^* + f. \quad (61)$$

(60)式与(61)式相减后再由 $k=0$ 递推可得:

$$x^{(k)} - x^* = B^k(x^{(0)} - x^*). \quad (62)$$

由此可知, $k \rightarrow \infty$ 时序列 $\{x^{(k)}\}$ 收敛于 x^* 等价于 B^k 趋于 0, 而 B^k 趋于 0 等价于 B 的所有特征根(取模)小于 1. 这时称迭代公式(或迭代法)收敛.

记 n 阶矩阵 B 的特征根为 λ_i , 称

$$\rho(B) = \max_i |\lambda_i| \quad (63)$$

为 B 的谱半径. 由上述分析可得

迭代公式(60)收敛的充要条件是 B 的谱半径 $\rho(B) < 1$.

可以证明, 矩阵的谱半径不超过它的(任一种)范数, 即 $\rho(B) \leq \|B\|$, 所以若 $\|B\| = q < 1$, 则迭代公式(60)收敛, 且有误差估计式

$$\|x^{(k+1)} - x^*\| \leq \frac{q}{1-q} \|x^{(k+1)} - x^{(k)}\|, \quad (64)$$

$$\|x^{(k+1)} - x^*\| \leq \frac{q^{k+1}}{1-q} \|x^{(1)} - x^{(0)}\|. \quad (65)$$

可以看出, q 越小序列 $\{x^{(k)}\}$ 收敛越快. (64)式还表明: 只要 q 不太接近于 1, 当相邻两次迭代结果 $x^{(k+1)}, x^{(k)}$ 相近时, $x^{(k+1)}$ 就与精确解 x^* 很接近. 因此在实际计算中, 可以用 $\|x^{(k+1)} - x^{(k)}\| \leq \epsilon$ 作为迭代终止的条件.

实际上, 上面给出的收敛条件 $\rho(B) < 1, \|B\| = q < 1$ 只有在得到迭代矩阵 B 以后才能检验, 我们更需要直接根据系数矩阵 A 的性质来判别迭代法的收敛性. 两个常用的结果如下:

若 A 是严格对角占优的, 即 $|a_{ii}| > \sum_{j \neq i} |a_{ij}| (i = 1, \dots, n)$, 则雅可比迭代和高斯-赛德尔迭代均收敛.

若 A 对称正定, 则高斯-赛德尔迭代法收敛.

5.3.3 超松弛迭代

超松弛 (successive over relaxation, SOR) 迭代法是对高斯-赛德尔迭代的一种改进.

首先用高斯-赛德尔迭代的(57)式左端的 $x^{(k+1)}$ 作为中间结果 $\tilde{x}^{(k+1)}$, 即

$$\tilde{x}^{(k+1)} = D^{-1}(Lx^{(k+1)} + Ux^{(k)}) + D^{-1}b. \quad (66)$$

再取 $\tilde{x}^{(k+1)}$ 和 $x^{(k)}$ 的加权平均作为最终结果 $x^{(k+1)}$, 即

$$x^{(k+1)} = \omega \tilde{x}^{(k+1)} + (1-\omega)x^{(k)}, \quad (67)$$

其中 ω 为加权因子, $\omega > 1$ 时称为超松弛迭代, $\omega < 1$ 时称为低松弛迭代, $\omega = 1$ 时退化为高斯-赛德尔迭代.

为分析其收敛性, 需将(66)式, (67)式写成如下标准迭代公式:

$$x^{(k+1)} = B_{\omega}x^{(k)} + f_{\omega}, \quad B_{\omega} = (D - \omega L)^{-1}[\omega U + (1 - \omega)D], \quad f_{\omega} = \omega(D - \omega L)^{-1}b. \quad (68)$$

迭代公式(68)收敛的充要条件是谱半径 $\rho(B_{\omega}) < 1$. 这个结果并不好用, 一个特殊情况如下:

若 A 对称正定, 则迭代公式(68)收敛的充要条件是 $0 < \omega < 2$.

SOR 迭代法可以看做是带参数的高斯-赛德尔迭代法, 是解大型稀疏矩阵方程组的有效方法之一.

5.4 超定线性代数方程组的最小二乘解

5.1.3 节中为了由车速与刹车距离的实际数据确定模型的系数, 得到线性方程组(10), 它的方程个数超过了未知数个数, 称为超定线性方程组. 一般说来, 超定线性方程组在普通意义下是无解的, 只能在新设定的准则下定义它的解. 求解超定线性方程组的一个重要实际背景就是像 5.1.3 节那样的数据拟合, 让我们就由此来讨论超定线性方程组的求解.

5.4.1 最小二乘准则

数据拟合问题的提法是, 已知一组数据 $x_i, y_i (i=1, 2, \dots, n)$, 寻求一个函数 $y=f(x)$, 使将 x_i 代入得到的 $f(x_i)$ 在某种准则下与 y_i 最为接近 ($i=1, 2, \dots, n$).

数据拟合在几何上可以看作是找一条曲线 $y=f(x)$, 与平面上已知的 n 个点 (x_i, y_i) 在某种准则下最为接近, 称为曲线拟合, 如图

5.2.

与插值不同的是, 做拟合时函数 $y=f(x)$ 的形式, 或者如 5.1.3 节那样已经在实际问题的建模过程中确定, 或者可以根据数据的变化趋势靠经验给出. 最简单、常用的如线性函数 $y=\beta_0+\beta_1x$, 二次函数 $y=\beta_0+\beta_1x+\beta_2x^2$ 等.

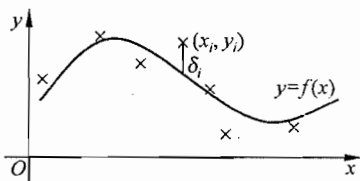


图 5.2 曲线拟合示意图

(\times 是数据点, δ_i 为 (x_i, y_i) 与 $y=f(x)$ 的距离)

一般地,假定拟合函数 $y=f(x)$ 具有如下形式.

$$f(x) = \beta_0 \varphi_0(x) + \beta_1 \varphi_1(x) + \cdots + \beta_m \varphi_m(x), \quad (69)$$

其中 $\varphi_0(x), \varphi_1(x), \cdots, \varphi_m(x)$ 是事先选定的一组函数,称为基函数, $\beta_0, \beta_1, \cdots, \beta_m$ 是待定系数,而且待定系数个数 $m+1$ 小于数据容量 n .

形式地看,如果强令 $f(x_i) = y_i (i=1, 2, \cdots, n)$, 就有

$$\begin{cases} \beta_0 \varphi_0(x_1) + \beta_1 \varphi_1(x_1) + \cdots + \beta_m \varphi_m(x_1) = y_1, \\ \vdots \\ \beta_0 \varphi_0(x_n) + \beta_1 \varphi_1(x_n) + \cdots + \beta_m \varphi_m(x_n) = y_n. \end{cases} \quad (70)$$

记

$$\Phi = \begin{bmatrix} \varphi_0(x_1) & \varphi_1(x_1) & \cdots & \varphi_m(x_1) \\ \vdots & \vdots & & \vdots \\ \varphi_0(x_n) & \varphi_1(x_n) & \cdots & \varphi_m(x_n) \end{bmatrix}_{n \times (m+1)}, \quad \beta = (\beta_0, \beta_1, \cdots, \beta_m)^T, \quad y = (y_1, \cdots, y_n)^T, \quad (71)$$

则方程(70)可写作

$$\Phi \beta = y. \quad (72)$$

因为 $n > m+1$, 所以(70)式或(72)式是超定线性方程组,在一般意义下无解.

数据拟合不要求 $f(x_i) = y_i (i=1, 2, \cdots, n)$, 而是确定一个 $f(x_i)$ 与 y_i 最为接近的准则. 最常用的准则是使 $f(x_i)$ 与 $y_i (i=1, 2, \cdots, n)$ 之差的平方和(即图 5.2 中 δ_i 的平方和)最小,称为最小二乘准则.

5.4.2 最小二乘解

记

$$J(\beta_0, \beta_1, \cdots, \beta_m) = \sum_{i=1}^n [f(x_i) - y_i]^2 = \sum_{i=1}^n \left[\sum_{k=0}^m \beta_k \varphi_k(x_i) - y_i \right]^2. \quad (73)$$

按照最小二乘准则, $\beta_0, \beta_1, \cdots, \beta_m$ 应使 J 达到最小. 利用多元函数极值的必要条件 $\partial J / \partial \beta_k = 0$ ($k=0, 1, \cdots, m$), 得到关于 $\beta_0, \beta_1, \cdots, \beta_m$ 的线性方程组

$$\begin{cases} \sum_{i=1}^n \varphi_0(x_i) \left[\sum_{k=0}^m \beta_k \varphi_k(x_i) - y_i \right] = 0, \\ \sum_{i=1}^n \varphi_1(x_i) \left[\sum_{k=0}^m \beta_k \varphi_k(x_i) - y_i \right] = 0, \\ \vdots \\ \sum_{i=1}^n \varphi_m(x_i) \left[\sum_{k=0}^m \beta_k \varphi_k(x_i) - y_i \right] = 0. \end{cases} \quad (74)$$

在(71)式的记号下方程组(74)可表为

$$\Phi^T \Phi \beta = \Phi^T y, \quad (75)$$

(75)式称为正规方程(或法方程),当 $\varphi_0(x), \varphi_1(x), \dots, \varphi_m(x)$ 线性无关时, Φ 列满秩, $\Phi^T \Phi$ 可逆,方程组(75)有惟一解

$$\beta = (\Phi^T \Phi)^{-1} \Phi^T y. \quad (76)$$

能够进一步证明,由极值必要条件得到的 β 就是(73)式 $J(\beta)$ 的最小解.

正规方程(75)的解(76)式称为超定方程组(72)的最小二乘解.可以看出,由于(69)式中 $f(x)$ 关于待定系数 $\beta_0, \beta_1, \dots, \beta_m$ 线性,在最小二乘准则(73)下得到的(75)式关于 $\beta_0, \beta_1, \dots, \beta_m$ 也一定是线性的,故称线性最小二乘法.

5.4.3 基函数的选取

面对一组数据 $(x_i, y_i) (i=1, 2, \dots, n)$ 用线性最小二乘法做拟合时,首要的,也是关键的一步是恰当地选取 $\varphi_0(x), \varphi_1(x), \dots, \varphi_m(x)$. 如果通过机理分析,能够建立数学模型确定 y 与 x 之间的函数关系,则 $\varphi_0(x), \varphi_1(x), \dots, \varphi_m(x)$ 容易知道;否则可以将数据 $(x_i, y_i) (i=1, 2, \dots, n)$ 作图,直观地判断大概要用什么样的曲线做拟合. 人们常用的曲线有(参见图 5.3)

- 直线 $y = \beta_0 + \beta_1 x$
- 2, 3 次曲线 $y = \beta_0 + \beta_1 x + \dots + \beta_m x^m$ (一般 $m = 2, 3$, 不宜太高)
- 双曲线(一支) $y = \beta_0 + \beta_1 / x$
- 指数曲线 $y = \beta_0 e^{\beta_1 x}$

对于指数曲线,拟合前需作变量代换,化为对待定系数的线性函数.

已知一组数据,用什么样的曲线拟合最好,可以在直观判断的基础上,选几种曲线分别作拟合,然后比较,看哪条曲线的最小二乘指标 $J(\beta)$ 最小.

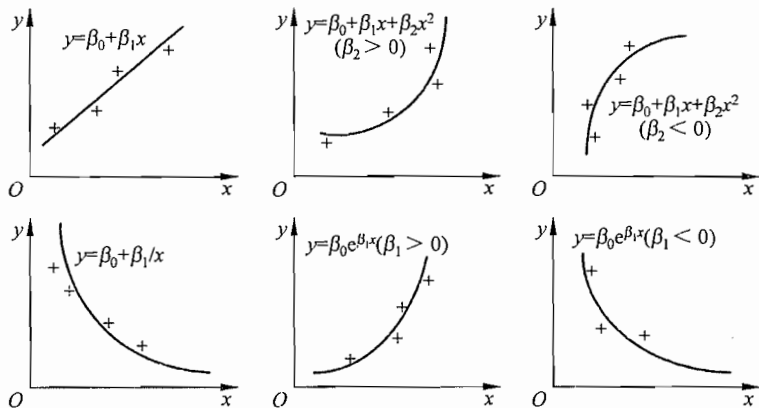


图 5.3 常用的拟合曲线

5.5 线性方程组数值解法的 MATLAB 实现

5.5.1 相关的 MATLAB 命令

(1) 求解方程组 $Ax=b$

输入 A, b 后用左除命令: $x=A \backslash b$. 若 A 为可逆方阵, 输出原方程的解 x ; 若 A 为 $n \times m$ 矩阵 ($n > m$), 且 $A^T A$ 可逆, 输出原方程的最小二乘解 x .

(2) 矩阵 LU 分解

$[x, y] = \text{lu}(A)$ 输出 x 为一交换矩阵与单位下三角矩阵之积, y 为上三角矩阵;

$[x, y, p] = \text{lu}(A)$ 输出 x 为单位下三角矩阵, y 为上三角矩阵, p 为交换矩阵, 使 $pA = xy$;

$u = \text{chol}(A)$ 对正定对称矩阵 A 的 Cholesky 分解, 输出 u 为上三角矩阵, 使 $A = u^T u$.

(3) 矩阵的范数、条件数、秩、特征值

$n = \text{norm}(x, 1)$ 输入 x 为向量或矩阵, 输出为 x 的 1-范数.

$n = \text{norm}(x)$ 输入 x 为向量或矩阵, 输出为 x 的 2-范数.

$n = \text{norm}(x, \text{inf})$ 输入 x 为向量或矩阵, 输出为 x 的 ∞ -范数.

$c = \text{cond}(x, 1)$ 输入 x 为矩阵, 输出 x 的 1-条件数.

$c = \text{cond}(x)$ 输入 x 为矩阵, 输出 x 的 2-条件数.

$c = \text{cond}(x, \text{inf})$ 输入 x 为矩阵, 输出 x 的 ∞ -条件数.

$r = \text{rcond}(x)$ 输入 x 为向量, 输出 x 的条件数倒数的估计值.

$r = \text{rank}(x)$ 输入 x 为向量, 输出 x 的秩.

$e = \text{eig}(x)$ 输入 x 为矩阵, 输出 x 的全部特征值.

$[V, D] = \text{eig}(x)$ 输入 x 为矩阵, 输出 D 是特征值组成的对角矩阵, V 是特征向量为列组成的矩阵, 使 $xV = VD$.

(4) 提取(产生)对角阵

$v = \text{diag}(x)$ 若输入向量 x , 则输出 v 是以 x 为对角元素的对角矩阵;

若输入矩阵 x , 则输出 v 是 x 的对角元素构成的向量.

$v = \text{diag}(\text{diag}(x))$ 输入矩阵 x , 输出 v 是 x 的对角元素构成的对角矩阵, 可用于迭代法中从 A 中提取 D .

(5) 提取(产生)上(下)三角矩阵

$v = \text{triu}(x)$ 输入矩阵 x , 输出 v 是 x 的上三角矩阵.

$v = \text{tril}(x)$ 输入矩阵 x , 输出 v 是 x 的下三角矩阵.

$v = \text{triu}(x, 1)$ 输入矩阵 x , 输出 v 是 x 的上三角矩阵, 但对角元素为 0, 可用于迭代法中从 A 中提取 U .

`v = tril(x, -1)` 输入矩阵 x , 输出 v 是 x 的下三角矩阵, 但对角元素为 0, 可用于迭代法中从 A 中提取 L .

(6) 特殊矩阵

`h = hilb(n)` 输出是 n 阶希尔伯特矩阵(由(47)式定义), n 较大时呈严重病态.

`p = pascal(n)` 输出是 n 阶 Pascal 矩阵, 对称正定, 请读者观察其特点.

(7) 稀疏矩阵

对稀疏矩阵的存储和运算做特殊处理, 是 MATLAB 进行大规模科学计算时的特点和优势之一. 用以下语句输入稀疏矩阵的非零元素(零元素不必输入), 即可进行运算.

`S = sparse(i, j, s, m, n)` 表示在第 i 行、第 j 列输入数值 s , 矩阵共 m 行 n 列, 输出 S 为一稀疏矩阵, 给出 (i, j) 及 s .

`SS = full(S)` 输入稀疏矩阵 S , 输出 SS 为满矩阵(包含零元素).

如

`S = sparse(2, 3, 1, 2, 4), SS = full(S)`

得到

```
S = (2,3)    1
SS = 0    0    0    0
      0    0    1    0
```

i, j, s 也可用数组形式输入, 如

`i = [1, 2]; j = [2, 3]; s = [1, 2]; S = sparse(i, j, s, 3, 4), SS = full(S)`

得到

```
S = (1,2)    1
      (2,3)    2
SS = 0    1    0    0
      0    0    2    0
      0    0    0    0
```

用下面的例子说明稀疏矩阵计算的优点:

设

$$A = \begin{bmatrix} 4 & 1 & & & \\ 1 & 4 & 1 & & \\ & 1 & 4 & \ddots & \\ & & \ddots & \ddots & 1 \\ & & & 1 & 4 \end{bmatrix}_{n \times n}, \quad b = \begin{bmatrix} 1 \\ 2 \\ \vdots \\ n \end{bmatrix}$$

用稀疏矩阵和满矩阵分别求解 $Ax=b$, 对计算时间进行比较.

设 $n=1000, 2000, \dots$, 编制以下程序计算:

```
n=1000,
A1=sparse(1:n,1:n,4,n,n);      % 输入 A 的对角元素
A2=sparse(1:n-1,2:n,1,n,n);    % 输入 A 的(上)次对角元素
A=A1+A2+A2';                  % 输入 A 的对角元素
b=[1:n]';
tic; x=A\b; t1=toc              % 输出用稀疏矩阵求解的时间 t1
AA=full(A);                    % 与满矩阵作比较
tic; xx=AA\b; t2=toc           % 输出用满矩阵求解的时间 t2
y=sum(x)                       % 为检验 x 与 x x 相同分别输出其分量之和
yy=sum(xx)
```

结果 y 与 yy 相同, 而 $t1$ 与 $t2$ 相差巨大.

下面继续讨论 5.1 提出的 3 个实例.

5.5.2 投入产出分析(续)

(1) 如果今年对农业、制造业和服务业的外部需求分别为 50 亿元, 150 亿元, 100 亿元, 求这三个部门的总产出.

编制以下程序解方程组(5):

```
a=[0.15 0.1 0.2; 0.3 0.05 0.3; 0.2 0.3 0]; % 按表 5.2 输入投入系数矩阵 A
d=[50 150 100]'; % 输入外部需求 d
b=eye(3)-a; % I-A
x=b\d % 解线性方程组(5)
```

得到

```
x= 139.2801 267.6056 208.1377
```

即三个部门的总产出分别为 139.2801, 267.6056, 208.1377(亿元).

(2) 如果三个部门的外部需求分别增加 1 个单位, 问它们的总产出应分别增加多少.

从线性方程组(5)可得

$$x = (I - A)^{-1}d. \quad (77)$$

表明总产出 x 对外部需求 d 是线性的, 所以当 d 增加 1 个单位(记作 Δd)时, x 的增量为 $\Delta x = (I - A)^{-1} \Delta d$. 若农业的外部需求增加 1 个单位, $\Delta d = (1, 0, 0)^T$, Δx 为 $(I - A)^{-1}$ 的第 1 列; 制造业和服务业的外部需求增加 1 个单位, Δx 为 $(I - A)^{-1}$ 的第 2, 3 列. 于是接上面程序用矩阵求逆命令计算:

```
dx=inv(b)
```

得到


```
dx = 1.3459  0.2504  0.3443
      0.5634  1.2676  0.4930
      0.4382  0.4304  1.2167
```

可知当农业的需求增加 1 个单位时,农业、制造业和服务业的总产出应分别增加 1.3459, 0.5634, 0.4382 单位. 其余类似. 这些数字称部门关联系数.

(3) 讨论为使投入产出分析是可行的(对任意、非负的外部需求都能得到非负的总产出),投入系数应满足什么条件.

要使对任意的需求 $d \geq 0$, 由(77)式能够得到总产出 $x \geq 0$, 显然只需 $(I-A)^{-1} \geq 0$ (指每个元素非负,下同).

因为 $(I-A)(I+A+A^2+\cdots+A^k) = I-A^{k+1}$, 且 $A \geq 0$, 所以只要 $A^k \rightarrow 0 (k \rightarrow \infty)$, 就有 $(I-A)^{-1} = \sum_{k=0}^{\infty} A^k \geq 0$. 而由矩阵范数的性质可知 $A^k \rightarrow 0$ 与 $\|A^k\| \rightarrow 0$ 等价, 且 $\|A^k\| \leq \|A\|^k$, 故只要 $\|A\|_1 < 1$ (这里取便于应用的 1-范数), 即

$$\sum_{i=1}^n a_{ij} < 1, \quad j = 1, 2, \dots, n, \quad (78)$$

投入产出分析就是可行的.

如果投入系数 A 是根据实际数据算出的(如由表 5.1 得到表 5.2), 由(2)式可知(78)式等价于

$$\sum_{i=1}^n x_{ij} < x_j, \quad j = 1, 2, \dots, n. \quad (79)$$

由表 5.1 可知, 只要初始投入非负, (79)式自然成立, 因而投入产出分析可行.

5.5.3 一年生植物的繁殖(续)

设 $c=10$, $a_1=0.5$, $a_2=0.25$, $b=0.20$, 开始有 100 棵植物, 要求 50 年后有 1000 棵植物, 则方程组(7), (8)中 $p=-a_1bc=-1$, $q=-a_2b(1-a_1)bc=-0.05$, $n=50$, $x_0=100$, $x_{50}=1000$, 用以下两种方法求解方程组(7), (8).

① 用 MATLAB 对稀疏矩阵的特殊处理, 编程如下:

```
p=-1;q=-0.05;x0=100;xn=1000;n=49;
A1=sparse(1:n,1:n,p,n,n);      % 输入 A 的对角元素
A2=sparse(1:n-1,2:n,1,n,n);    % 输入 A 的(上)次对角元素
A3=sparse(2:n,1:n-1,q,n,n);    % 输入 A 的(下)次对角元素
A=A1+A2+A3;
i=[1,n];j=[1,1];s=[-q*x0,-xn];
b=sparse(i,j,s,n,1);            % 输入 b
x=A\b;                           % 用稀疏矩阵求解
x1=x(1),                         % 输出第 2 年植物数量 x1
k=0:n+1;xx=[x0,x',xn];
```

```
plot(k,xx),grid
```

得到

```
x1 = 101.7097
```

x_k 的图形如图 5.4.

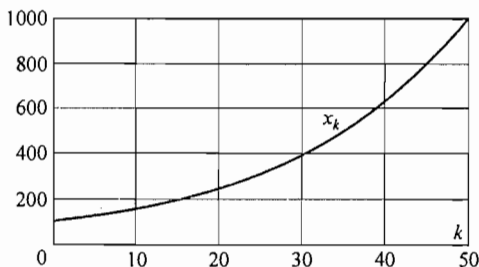


图 5.4 一年生植物繁殖 x_k 的图形

若取第 2 年植物 102 棵,按照(6)式计算, x_{50} 与 1000 稍有出入.

② 用求解三对角形方程组(27)~(29)的追赶法,编程如下:

```
p=-1;q=-0.05;x0=100;xn=1000;n=49;
f=zeros(n,1);f(1)=-q*x0;f(n)=-xn;      % 输入方程右端项
u(1)=p;y(1)=f(1);                        % 输入 l1, u1 初值
for i=2:n                                  % 递推计算方程组(28),(29)的 li, ui, yi
    L(i)=q/u(i-1);
    u(i)=p-L(i);
    y(i)=f(i)-L(i)*y(i-1);
end
x=zeros(1,n);
x(n)=y(n)/u(n);
for i=n-1:-1:1                             % 递推计算(29)式中的 xi
    x(i)=(y(i)-x(i+1))/u(i);
end
x
```

得到的结果相同.

5.5.4 汽车刹车距离(续)

已经通过机理分析建立了刹车距离 d 与车速 v 的模型: $d=k_1v+k_2v^2$, 需要对一组实际数据 $(v_i, d_i) (i=1, 2, \dots, n)$ 在最小二乘准则下做数据拟合, 计算出 k_1, k_2 .

与拟合函数(69)式比较, 取 $\varphi_1=v, \varphi_2=v^2$, 对照(71)式构造

$$\Phi = \begin{bmatrix} v_1 & v_1^2 \\ \vdots & \vdots \\ v_n & v_n^2 \end{bmatrix}_{n \times 2}, \quad \beta = (k_1, k_2)^T, \quad y = (d_1, \dots, d_n)^T.$$

求解超定方程组(72): $\Phi\beta=y$. 对表 1.1 给出的数据 (v_i, d_i) ($i=1, 2, \dots, 7$) 编程如下:

```
v=[20:20:140]/3.6;           % 输入 vi(单位由 km/h 化为 m/s)
v2=v.^2;
x=[v;v2]';                     % 构造 Φ
d=[6.5,17.8,33.6,57.1,83.4,118.0,153.5]'; % 输入 di
a=x\d                            % 左除,输出最小二乘解
dd=x*a                         % 计算刹车距离,与 d 比较
```

得到

```
a = 0.6522  0.0853
```

依次为 k_1, k_2 .

dd(见表 1.2)

如果不管机理分析的结果,只从数据作图的直观出发(参看图 1.2),可以拟合如下模型: $d=k_0+k_1v+k_2v^2$, 即完全二次多项式. MATLAB 有专门用于完全多项式拟合的命令:

```
a = polyfit(x,y,m)
```

其中输入 x, y 是要拟合的数据数组(长度相同), m 为拟合多项式的次数, 输出 a 为拟合多项式 $y=a_1x^m+\dots+a_mx+a_{m+1}$ 的系数 $a=[a_1, \dots, a_m, a_{m+1}]$ (降幂排列).

下面的命令常与 polyfit 连用, 计算上述多项式在 x 处的值 y :

```
y=polyval(a,x)
```

对于本例编程如下:

```
v=[20:20:140]/3.6;
d=[6.5,17.8,33.6,57.1,83.4,118.0,153.5];
b=polyfit(v,d,2)
y=polyval(b,v)
```

得到

```
b = 0.0851  0.6617  -0.1000
```

依次对应 k_2, k_1, k_0 .

y(略)

5.6 实验练习

实验目的

1. 学会用 MATLAB 软件数值求解线性代数方程组, 对迭代法的收敛性和解的稳定

性作初步分析;

2. 通过实例学习用线性代数方程组解决简化的实际问题.

实验内容

1. 通过求解线性方程组 $A_1x = b_1$ 和 $A_2x = b_2$, 理解条件数的意义和方程组的性态对解的影响. 其中 A_1 是 n 阶范德蒙矩阵, 即

$$A_1 = \begin{bmatrix} 1 & x_0 & x_0^2 & \cdots & x_0^{n-1} \\ 1 & x_1 & x_1^2 & \cdots & x_1^{n-1} \\ \vdots & \vdots & \vdots & & \vdots \\ 1 & x_{n-1} & x_{n-1}^2 & \cdots & x_{n-1}^{n-1} \end{bmatrix}, \quad x_k = 1 + 0.1k, \quad k = 0, 1, \dots, n-1$$

A_2 是 n 阶希尔伯特矩阵 (见 (47) 式), b_1, b_2 分别是 A_1, A_2 的行和.

(1) 编程构造 A_1 (A_2 可直接用命令产生) 和 b_1, b_2 ; 你能预先知道方程组 $A_1x = b_1$ 和 $A_2x = b_2$ 的解吗? 令 $n=5$, 用左除命令求解 (用预先知道的解可检验程序).

(2) 令 $n=5, 7, 9, \dots$, 计算 A_1 和 A_2 的条件数. 为观察它们是否病态, 做以下试验: b_1, b_2 不变, A_1 和 A_2 的元素 $A_1(n, n), A_2(n, n)$ 分别加扰动 ϵ 后求解; A_1 和 A_2 不变, b_1, b_2 的分量 $b_1(n), b_2(n)$ 分别加扰动 ϵ 后求解. 分析 A 和 b 的微小扰动对解的影响. ϵ 取 $10^{-10}, 10^{-8}, 10^{-6}$.

(3) 经扰动得到的解记作 \tilde{x} , 计算误差 $\frac{\|x - \tilde{x}\|}{\|x\|}$, 与用条件数估计的误差相比较.

2. 分别用雅可比迭代法和高斯-赛德尔迭代法计算下列方程组, 均取相同的初值 $x^{(0)} = (1, 1, 1)^T$, 观察其计算结果, 并分析其收敛性.

$$(1) \begin{cases} x_1 - 9x_2 - 10x_3 = 1, \\ -9x_1 + x_2 + 5x_3 = 0, \\ 8x_1 + 7x_2 + x_3 = 4; \end{cases} \quad (2) \begin{cases} 5x_1 - x_2 - 3x_3 = -1, \\ -x_1 + 2x_2 + 4x_3 = 0, \\ -3x_1 + 4x_2 + 15x_3 = 4; \end{cases}$$

$$(3) \begin{cases} 10x_1 + 4x_2 + 5x_3 = -1, \\ 4x_1 + 10x_2 + 7x_3 = 0, \\ 5x_1 + 7x_2 + 10x_3 = 4. \end{cases}$$

3. 已知方程组 $Ax = b$, 其中 $A \in \mathbb{R}^{20 \times 20}$, 定义为

$$A = \begin{bmatrix} 3 & -1/2 & -1/4 & & & \\ -1/2 & 3 & -1/2 & -1/4 & & \\ -1/4 & -1/2 & 3 & -1/2 & \ddots & \\ & \ddots & \ddots & \ddots & \ddots & -1/4 \\ & & -1/4 & -1/2 & 3 & -1/2 \\ & & & -1/4 & -1/2 & 3 \end{bmatrix}.$$

试通过迭代法求解此方程组, 认识迭代法收敛的含义以及迭代初值和方程组系数矩阵性

质对收敛速度的影响. 实验要求:

(1) 选取不同的初始向量 $x^{(0)}$ 和不同的方程组右端项向量 b , 给定迭代误差要求, 用雅可比迭代法和高斯-赛德尔迭代法计算, 观测得到的迭代向量序列是否均收敛? 若收敛, 记录迭代次数, 分析计算结果并得出你的结论;

(2) 取定右端向量 b 和初始向量 $x^{(0)}$, 将 A 的主对角线元素成倍增长若干次, 非主对角线元素不变, 每次用雅可比迭代法计算, 要求迭代误差满足 $\|x^{(k+1)} - x^{(k)}\|_{\infty} < 10^{-5}$, 比较收敛速度, 分析现象并得出你的结论.

4. 对于 5.1.2 节假设 $c = 10$, $a_1 = 0.5$, $a_2 = 0.25$, $b = 0.20$, 第一年有 50 棵植物, 且第 50 年后有 600 棵植物. 试分别用追赶法、稀疏系数矩阵和满矩阵求解; 若 b 有 10% 的误差, 估计对结果的影响.

5. 输电网络: 一种大型输电网络可简化为图 5.5 所示电路, 其中 R_1, R_2, \dots, R_n 表示负载电阻, r_1, r_2, \dots, r_n 表示线路内阻, I_1, I_2, \dots, I_n 表示负载上的电流. 设电源电压为 V .

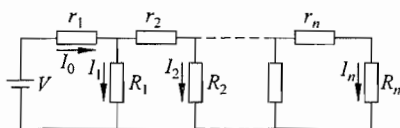


图 5.5

(1) 列出求各负载电流 I_1, I_2, \dots, I_n 的方程;

(2) 设 $R_1 = R_2 = \dots = R_n = R$, $r_1 = r_2 = \dots = r_n = r$, 在 $r = 1$, $R = 6$, $V = 18$, $n = 10$ 的情况下求 I_1, I_2, \dots, I_n 及总电流 I_0 .

6. 有 5 个反应器连接如图 5.6, 各个 Q 表示外部输入、输出及反应器间的流量 (m^3/min), 各个 c 表示外部输入及反应器内某物质的浓度 (mg/m^3). 假定反应器内的浓度是均匀的, 利用质量守恒准则建立模型, 求出各反应器内的浓度 $c_1 \sim c_5$, 并讨论反应器 j 外部输入改变 1 个单位 (mg/min) 所引起的反应器 i 浓度的变化.

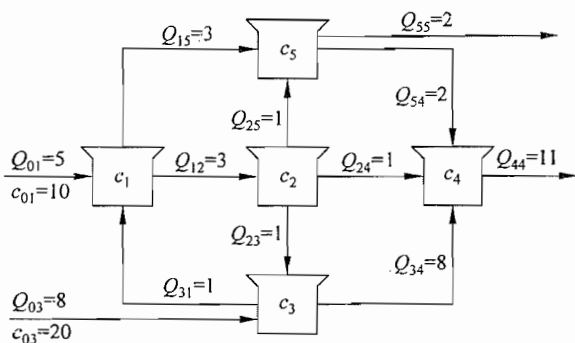


图 5.6

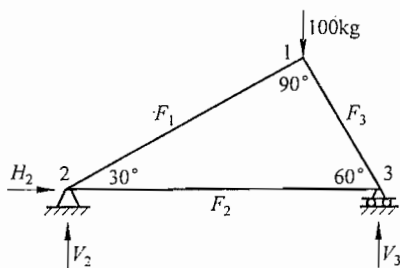


图 5.7

7. 有 3 个结点的钢架结构如图 5.7, 点 1 受到 100kg 的外力作用, 点 2 是固定支点, 点 3 是滑动支点. 利用力的平衡原理建立模型, 求出力 $F_1, F_2, F_3, H_2, V_2, V_3$, 讨论外力

变化 1kg 时对各个力的影响.

8. 种群的繁殖与稳定收获: 种群的数量因繁殖而增加, 因自然死亡而减少, 对于人工饲养的种群(比如家畜)而言, 为了保证稳定的收获, 各个年龄的种群数量应维持不变. 种群因雌性个体的繁殖而改变, 为方便起见以下种群数量均指其中的雌性.

种群年龄记作 $k = 1, 2, \dots, n$, 当年年龄 k 的种群数量记作 x_k , 繁殖率记作 b_k (每个雌性个体 1 年繁殖的数量), 自然存活率记作 s_k ($s_k = 1 - d_k$, d_k 为 1 年的死亡率), 收获量记作 h_k , 则来年年龄 k 的种群数量 \tilde{x}_k 应为 $\tilde{x}_1 = \sum_{k=1}^n b_k x_k$, $\tilde{x}_{k+1} = s_k x_k - h_k$ ($k = 1, 2, \dots, n-1$). 要求各个年龄的种群数量每年维持不变就是要使 $\tilde{x}_k = x_k$ ($k = 1, \dots, n$).

(1) 若 b_k, s_k 已知, 给定收获量 h_k , 建立求各年龄的稳定种群数量 x_k 的模型(用矩阵、向量表示).

(2) 设 $n=5, b_1=b_2=b_5=0, b_3=5, b_4=3, s_1=s_4=0.4, s_2=s_3=0.6$, 如要求 $h_1 \sim h_5$ 为 500, 400, 200, 100, 100, 求 $x_1 \sim x_5$.

(3) 要使 $h_1 \sim h_5$ 均为 500, 如何达到?

9. 通过下面的数字例子观察加权因子 ω 对超松弛迭代收敛速度的影响.

已知方程组

$$\begin{cases} -4x_1 + x_2 + x_3 + x_4 = 1, \\ x_1 - 4x_2 + x_3 + x_4 = 1, \\ x_1 + x_2 - 4x_3 + x_4 = 1, \\ x_1 + x_2 + x_3 - 4x_4 = 1. \end{cases}$$

取 $\omega = 0.75, 1.0, 1.25, 1.5$, 用 SOR 迭代法求解, 比较其迭代结果(并与精确解相比).

参 考 文 献

- 姜启源, 何青, 高立. 数学实验. 北京: 高等教育出版社, 1999
- 湛安琦. 科技工程中的数学模型. 北京: 中国铁道出版社, 1988
- 施妙根, 顾丽珍. 科学和工程计算基础. 北京: 清华大学出版社, 1999
- 李庆扬, 王能超, 易大义. 数值分析. 第 4 版. 北京: 清华大学出版社, 2001
- 关治, 陆金甫. 数值分析基础. 北京: 高等教育出版社, 1998
- Curtis F Gerald, Patrick O Wheatley. Applied Numerical Analysis. Addison-Wesley Publishing Company, 1994
- Melvin J Maron, Robert J Lopez. Numerical Analysis—A Practical Approach. Wadsworth Publishing Company, 1991
- Advian Biran, Moshe Breiner. MATLAB for Engineers. Addison-Wesley Publishing Company, 1995
- Steven C Chapra, Raymond P Canale. Numerical Methods for Engineers. McGraw-Hill Companies Inc. 1998

实验 6

非线性方程求解

实验 5 讨论的线性代数方程组是一类最简单的方程组,在实际问题中,非线性方程和方程组大量存在,研究其有效求解方法是数值计算的基本任务之一.

方程中的未知数也称为变量或变元,只含一个未知数的方程(即一元方程或单变量方程)可以记作

$$f(x) = 0. \quad (1)$$

该方程的解也称为方程的根(或函数 $f(x)$ 的零点). 当 $f(x)$ 为 k 次多项式时, (1) 式称为 k 次代数方程. 对于 3 次、4 次方程, 虽然可以在数学手册或互联网上查到求根公式, 但是太复杂, 一般不会有人用它; 至于 5 次以上的方程就没有现成的求根公式了. 求高次代数方程的根是一个基本的、古老的数学问题, 比如在线性代数中求 k 阶矩阵的特征根时就要解 k 次代数方程. 根据代数基本定理, k 次代数方程一定有 k 个根(包括复根, 且重根应按重数计算根的个数), 但是不一定能很快算出它的根.

一些由实际问题列出的方程, 或由其他数学问题归结得到的方程中还常常包含三角函数、指数函数、对数函数等超越函数, 如 $\sin x$, e^x , $\ln x$ 等, 叫做超越方程, 它与 $k(\geq 2)$ 次代数方程都是非线性方程. 求解超越方程不仅没有一般的公式, 很难求出解析解, 而且若只依据方程本身, 那么连有没有解、有几个解, 也难以判断. 在本书讨论中, 如不特别说明, 指的是求方程的实根(解).

包含 n 个未知数的 m 个方程称为方程组, 可以记作

$$F(x) = 0, \quad (2)$$

其中 $x = (x_1, \dots, x_n)^T$ 是一个向量, $F(x) = (f_1(x), \dots, f_m(x))^T$ 是一个向量值函数. 当 $f_1(x), \dots, f_m(x)$ 中至少有一个非线性函数时, 方程组 (2) 称为非线性方程组. 多数情况下, 方程组中包含的方程的个数等于未知数的个数(即 $m=n$).

求解非线性方程(组)的一般方法是迭代法. 采用非线性迭代法时, 会出现一类非常有趣的现象——分岔和混沌现象.

本实验讨论非线性方程(包括非线性方程组)的求解, 6.1 节给出几个实际问题及其数学模型; 6.2 节讨论非线性方程的求解方法, 并推广到非线性方程组; 6.3 节介绍

MATLAB 解非线性方程和方程组的命令,并给出 6.1 节问题的解;6.4 节介绍非线性迭代引起的分岔与混沌现象;6.5 节布置实验练习.

6.1 实例及其数学模型

6.1.1 路灯照明

问题 在一条 20m 宽的道路两侧,分别安装了一只 2kW 和一只 3kW 的路灯,它们离地面的高度分别为 5m 和 6m. 在漆黑的夜晚,当两只路灯开启时,两只路灯连线的路面上最暗的点和最亮的点在哪里? 如果 3kW 的路灯的高度可以在 3m 到 9m 之间变化,如何使路面上最暗点的亮度最大? 如果两只路灯的高度均可以在 3m 到 9m 之间变化,结果又如何?

模型 建立如图 6.1 所示的坐标系,即路面的宽度为 s ,两只路灯的功率分别是 P_1 和 P_2 ,高度分别是 h_1 和 h_2 . 设两只路灯连线的路面上某点 Q 的坐标为 $(x, 0)$,其中 $0 \leq x \leq s$. 假设两个光源都可以看成是点光源,并记两个光源到点 Q 的距离分别为 r_1 和 r_2 ,从光源到点 Q 的光线与水平面的夹角分别为 α_1 和 α_2 ,两个光源在点 Q 的照度分别为 I_1 和 I_2 ,则

$$I_1 = k \frac{P_1 \sin \alpha_1}{r_1^2}, \quad I_2 = k \frac{P_2 \sin \alpha_2}{r_2^2}, \quad (3)$$

其中 k 是量纲单位决定的比例系数,不妨记 $k=1$,且

$$\begin{aligned} r_1^2 &= h_1^2 + x^2, & r_2^2 &= h_2^2 + (s-x)^2, \\ \sin \alpha_1 &= \frac{h_1}{r_1} = \frac{h_1}{\sqrt{h_1^2 + x^2}}, & \sin \alpha_2 &= \frac{h_2}{r_2} = \frac{h_2}{\sqrt{h_2^2 + (s-x)^2}}. \end{aligned} \quad (4)$$

得到点 Q 的照度为

$$C(x) = \frac{P_1 h_1}{\sqrt{(h_1^2 + x^2)^3}} + \frac{P_2 h_2}{\sqrt{(h_2^2 + (s-x)^2)^3}}. \quad (5)$$

于是,求路面上最暗点和最亮点的问题化为求 $C(x)$ 的最小点和最大点.

先计算 $C(x)$ 的驻点, $C(x)$ 的一阶导数为

$$C'(x) = -3 \frac{P_1 h_1 x}{\sqrt{(h_1^2 + x^2)^5}} + 3 \frac{P_2 h_2 (s-x)}{\sqrt{(h_2^2 + (s-x)^2)^5}}, \quad (6)$$

令 $C'(x)=0$, 即

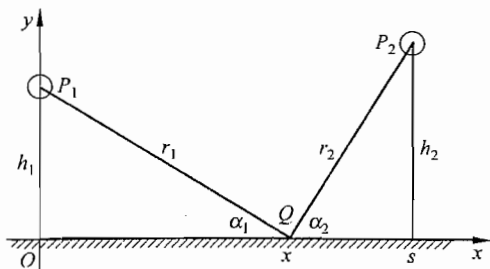


图 6.1 路灯照明

$$\frac{P_1 h_1 x}{\sqrt{(h_1^2 + x^2)^5}} - \frac{P_2 h_2 (s-x)}{\sqrt{(h_2^2 + (s-x)^2)^5}} = 0. \quad (7)$$

该方程的根为 $C(x)$ 的驻点, 将驻点与区间端点 $x=0$ 和 $x=s$ 的函数值比较, 就得到 $C(x)$ 的最小点和最大点, 但是方程(7)的解析解是难以求出的.

将问题中的实际数据 $P_1=2, P_2=3, h_1=5, h_2=6, s=20$ 代入(7)式后, 左端记作 $f(x)$, 可以采用数值方法计算 $f(x)$ 的零点. 我们将在 6.3 节求解这个方程, 找出路面上的最暗点和最亮点, 并讨论路灯高度可以变化时的情形.

6.1.2 均相共沸混合物的组分

问题与模型 在化学上, 确定均相共沸混合物(homogeneous azeotrope)的物质成分(简称为组分)是一项重要而困难的工作. 所谓共沸混合物, 是指由两种或两种以上物质组成的液体混合物, 当在某种压力下被蒸馏或局部汽化时, 在气体状态下和在液体状态下保持相同的组分. 设该混合物由 n 个可能的组分组成, 组分 i 所占的比例为 $x_i (i=1, \dots, n)$, 则

$$\sum_{i=1}^n x_i = 1, \quad x_i \geq 0. \quad (8)$$

均相共沸混合物应该满足稳定条件, 即共沸混合物的每个组分在气体状态下和在液体状态下具有相同的化学势能. 在压强 P 不大的情况下, 这个条件可以表示为:

$$P = \gamma_i P_i, \quad i = 1, \dots, n. \quad (9)$$

(9)式中 P_i 是组分 i 的饱和汽相压强, 与温度 T 有关, 可以根据如下表达式确定:

$$\ln P_i = a_i - \frac{b_i}{T + c_i}, \quad i = 1, \dots, n, \quad (10)$$

其中 a_i, b_i, c_i 为常数. (9)式中 γ_i 是组分 i 的液相活度系数, 可以根据如下表达式确定:

$$\ln \gamma_i = 1 - \ln \left(\sum_{j=1}^n x_j q_{ij} \right) - \sum_{j=1}^n \left[\frac{x_j q_{ji}}{\sum_{k=1}^n x_k q_{jk}} \right], \quad i = 1, \dots, n, \quad (11)$$

其中 q_{ij} 表示组分 i 与组分 j 的交互作用参数, q_{ij} 构成交互作用矩阵 Q , Q 不一定是对称矩阵.

对(9)式两边取对数, 并将(10)式, (11)式代入, 得到

$$\frac{b_i}{T + c_i} + \ln \left(\sum_{j=1}^n x_j q_{ij} \right) + \sum_{j=1}^n \left[\frac{x_j q_{ji}}{\sum_{k=1}^n x_k q_{jk}} \right] - 1 - a_i + \ln P = 0, \quad i = 1, \dots, n. \quad (12)$$

由于只有当组分 i 参与到该共沸混合物中时才需要满足(12)式, 所以将(12)式进一步

写成

$$x_i \left[\frac{b_i}{T + c_i} + \ln \left(\sum_{j=1}^n x_j q_{ij} \right) + \sum_{j=1}^n \left[\frac{x_j q_{ji}}{\sum_{k=1}^n x_k q_{jk}} \right] - 1 - a_i + \ln P \right] = 0, \quad i = 1, \dots, n. \quad (13)$$

给定组成均相共沸混合物的 n 种物质, 参数 a_i , b_i , c_i 和交互作用矩阵 Q 是可以通过实验得到的, 可以作为已知系数. 在一定的压强 P 下, 模型(8)式, (13)式描述了确定均相共沸混合物的组分 x_i 的条件. 在不考虑(8)式中 x_i 的非负限制时, 这是含有 $n+1$ 个方程和 $n+1$ 个未知数(x_i 和 T)的非线性方程组, 需要用数值方法求解, 我们将在 6.4 节继续讨论.

6.2 非线性方程和方程组的基本解法

6.2.1 图形法与二分法

为了避免“大海捞针”, 解方程 $f(x)=0$ 的第一步通常是确定根的近似位置或大致范围. 利用 MATLAB 的函数图形功能就能帮助我们快速判断方程有没有根, 并且确定根的近似位置. 例如:

$$x^6 - 2x^4 - 6x^3 - 13x^2 + 8x + 12 = 0, \quad (14)$$

$$x^2 - 2x - 4\ln x = 0. \quad (15)$$

用 MATLAB 作出方程(14), 方程(15)左端函数 $f(x)$ 的图形(x 的范围需经适当调整确定), 如图 6.2 所示.

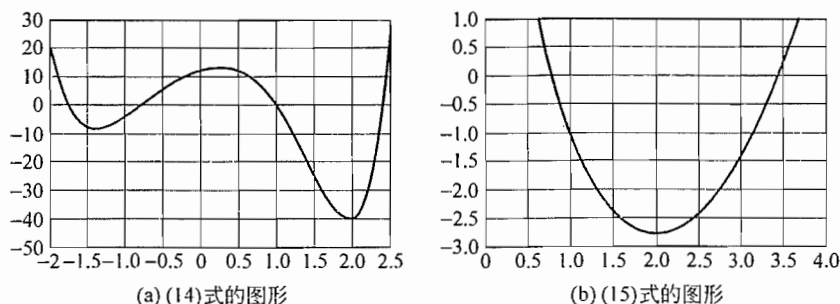


图 6.2

从曲线 $f(x)$ 与 x 轴的交点可以看出, 在图形所表示的 x 的范围内, 方程(14)有 4 个

根分别位于 $x = -1.75, -0.75, 1.00, 2.40$ 附近; 方程(15)有两个根分别位于 $x = 0.75, 3.40$ 附近.

确定一般的非线性方程根的近似位置或大致范围的另一种方法, 是基于连续函数 $f(x)$ 的如下性质.

设 $f(x)$ 是连续函数, 若对于 $a < b$, 有 $f(a) \cdot f(b) < 0$, 则在 (a, b) 内 $f(x)$ 至少有一个零点, 即 $f(x) = 0$ 至少有一个根.

通过试探, 确定区间 (a, b) 后, 可以用简单的二分法将区间缩小, 具体步骤如下:

取 (a, b) 的中点 $x_0 = (a+b)/2$, 若 $f(x_0) = 0$, 则 x_0 即是根. 否则, 如 $f(a) \cdot f(x_0) < 0$, 令 $a_1 = a, b_1 = x_0$; 如 $f(x_0) \cdot f(b) < 0$, 令 $a_1 = x_0, b_1 = b$. 在 (a_1, b_1) 内至少有一个根, 且 $(a, b) \supset (a_1, b_1)$. 再取 (a_1, b_1) 的中点 $x_1 = (a_1 + b_1)/2$, 如此进行下去, 包含根的区间 (a_n, b_n) 的长度每次缩小一半 ($n = 1, 2, \dots$), n 足够大时即可达到满意的精度.

采用二分法时, 区间中点序列 $\{x_n\}$ 理论上将收敛到根的真值, 但收敛速度较慢, 所以通常用作下面介绍的迭代方法的初步近似(初值).

6.2.2 迭代法

我们在线性方程组的数值解法中学习过迭代法, 类似的思路也可以用于解非线性方程: 将原方程 $f(x) = 0$ 改写成等价形式 $x = \varphi(x)$, 选择适当的初值 x_0 , 按照迭代公式

$$x_{k+1} = \varphi(x_k), \quad k = 0, 1, \dots \quad (16)$$

计算, 若迭代序列 $\{x_n\}$ 收敛到 x^* , 则 x^* 满足 $x^* = \varphi(x^*)$, 称为迭代函数 φ 的不动点, 即为原方程 $f(x) = 0$ 的根.

问题的关键在于如何构造迭代函数 φ , 使迭代序列 $\{x_n\}$ 以较快速度收敛. 下面先看一个例子.

例 1 求方程 $f(x) = x^2 + x - 14$ 的一个正根.

解 因为 $f(3) = -2, f(4) = 6$, 所以有一个正根 $x^* \in (3, 4)$. 实际上, 用二次方程求根公式容易计算正根 $x^* = (\sqrt{57} - 1)/2 \approx 3.2749$. 下面我们尝试构造不同的迭代函数 $\varphi(x)$, 再以 $x_0 = 3$ 为初值, 用迭代法求解.

$$x = \varphi_1(x) = 14 - x^2, \text{ 迭代公式: } x_{k+1} = 14 - x_k^2;$$

$$x = \varphi_2(x) = 14/(x+1), \text{ 迭代公式: } x_{k+1} = 14/(x_k+1);$$

$$x = \varphi_3(x) = x - (x^2 + x - 14)/(2x + 1), \text{ 迭代公式: } x_{k+1} = x_k - (x_k^2 + x_k - 14)/(2x_k + 1).$$

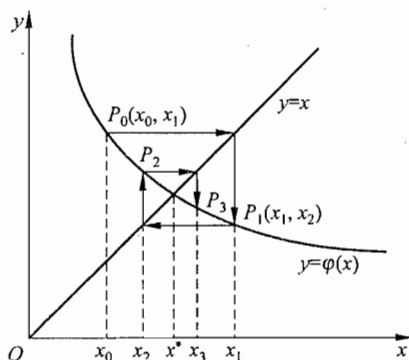
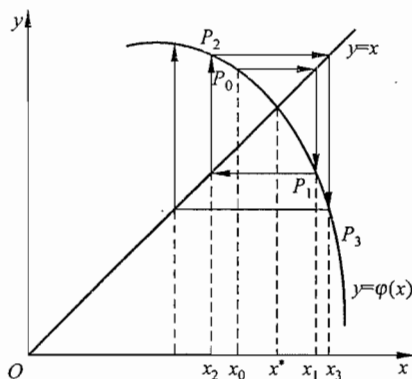
将这 3 个迭代公式前 5 步的计算结果列入表 6.1, 可以看出: φ_1 根本不收敛; φ_2 虽呈现收敛趋势, 但很慢; φ_3 收敛很快.

表 6.1 例 1 的迭代结果

	x_0	x_1	x_2	x_3	x_4	x_5
φ_1	3.0000	5.0000	-11.0000	-107.0000		
φ_2	3.0000	3.5000	3.1111	3.4054	3.1779	3.3510
φ_3	3.0000	3.2857	3.2749	3.2749	3.2749	3.2749

为了研究序列 $\{x_n\}$ 收敛或发散的实质, 下面先通过几何图形观察按照迭代公式 (16) 进行迭代的过程. 在图 6.3 中, 由 x_0 得到曲线 $y=\varphi(x)$ 上的 P_0 点, 其纵坐标为 x_1 , 依箭头方向经直线 $y=x$ 得到曲线 $y=\varphi(x)$ 上的 P_1 点, 其纵坐标为 x_2 , 再依箭头方向进行下去, 得 P_2, P_3, \dots , 可以看出序列 $\{x_n\}$ 是收敛的. 而在图 6.4 中, 按同样的办法产生 P_0, P_1, P_2, \dots , 可知序列 $\{x_n\}$ 不收敛.

图形直观地告诉我们, 之所以有如此截然不同的结果, 是由于在 x^* 附近图 6.3 中的曲线 $y=\varphi(x)$ 较平缓, 而图 6.4 中的 $y=\varphi(x)$ 较陡峭. 通过作图可以发现, 在 x^* 附近, 若曲线 $y=\varphi(x)$ 的斜率 (取绝对值) 小于直线 $y=x$ 的斜率 (为 1), 则序列 $\{x_n\}$ 将收敛; 反之, 当 $y=\varphi(x)$ 的斜率 (取绝对值) 大于 1 时, 序列 $\{x_n\}$ 不收敛.

图 6.3 $\{x_n\}$ 收敛图 6.4 $\{x_n\}$ 不收敛

关于迭代法的收敛性, 理论上有如下的所谓局部收敛性定理.

设 $\varphi(x)$ 在 x^* 的一个邻域内连续、可微, 且 $|\varphi'(x^*)| < 1$, 则对于该邻域内的任意初值 x_0 , 序列 $\{x_n\}$ 收敛于 x^* .

下面介绍收敛速度的概念. 对 \mathbb{R}^n 中的序列 $\{x_k\}$, 记 $e_k = x_k - x^*$, 若

$$\lim_{k \rightarrow \infty} \frac{\|e_{k+1}\|}{\|e_k\|^p} = c > 0, \quad p \text{ 为一个正数}, \quad (17)$$

其中 $\|\cdot\|$ 表示某种范数 (对实数可以认为就是绝对值), 则称序列 $\{x_k\}$ 为 p 阶收敛. 特别

地, 1 阶收敛称线性收敛, 2 阶收敛称平方收敛; 若 $p=1, c=0$ 时 (17) 式成立, 通常称 $\{x_k\}$ 为超线性收敛. 显然, p 越大收敛越快.

利用 $\varphi(x_k)$ 在 x^* 的泰勒展开:

$$\varphi(x_k) = \varphi(x^*) + \varphi'(x^*)(x_k - x^*) + \cdots + \frac{\varphi^{(p)}(x^*)}{p!}(x_k - x^*)^p + \cdots \quad (18)$$

并注意到 $x_{k+1} = \varphi(x_k)$, $x^* = \varphi(x^*)$ 和 $e_k = x_k - x^*$, 由 (18) 式可得

$$e_{k+1} = \varphi'(x^*)e_k + \cdots + \frac{\varphi^{(p)}(x^*)}{p!}e_k^p + \cdots \quad (19)$$

于是根据收敛阶的定义 (17) 式, 若 $\varphi'(x^*) \neq 0$, 则 $\{x_k\}$ 为 1 阶收敛 (线性收敛); 若 $\varphi'(x^*) = \cdots = \varphi^{(p-1)}(x^*) = 0, \varphi^{(p)}(x^*) \neq 0$, 则 $\{x_k\}$ 为 p 阶收敛.

在例 1 中, 对于 $\varphi_2(x) = \frac{14}{x+1}$, 因为 $\varphi'_2(x) = \frac{-14}{(x+1)^2}, \varphi'_2(x^*) \neq 0$, 所以 $\{x_k\}$ 为 1 阶收敛; 对于 $\varphi_3(x) = x - (x^2 + x - 14)/(2x + 1)$, 可以算出 $\varphi'_3(x^*) = 0, \varphi''_3(x^*) \neq 0$, 故 $\{x_k\}$ 为 2 阶收敛.

6.2.3 牛顿法

下面介绍一种具体的构造迭代公式的方法——牛顿法.

对于方程 $f(x)=0$, 将 $f(x)$ 在 x_k 作泰勒展开, 去掉 2 阶及 2 阶以上项 (即线性化) 后得

$$f(x) = f(x_k) + f'(x_k)(x - x_k). \quad (20)$$

设 $f'(x_k) \neq 0$, 令上面的 $f(x)=0$, 用 x_{k+1} 代替右端的 x , 就得到迭代公式

$$x_{k+1} = x_k - \frac{f(x_k)}{f'(x_k)}. \quad (21)$$

即迭代函数为

$$\varphi(x) = x - \frac{f(x)}{f'(x)}. \quad (22)$$

(22) 式的几何意义如图 6.5 所示, 图中 MN 是曲线 $y=f(x)$ 过 $(x_k, f(x_k))$ 点的切线, 它与 x 轴的交点即为 x_{k+1} . 这种方法称为牛顿切线法 (简称牛顿法或切线法), 它是线性化与迭代法的结合.

由于

$$\varphi'(x^*) = \frac{f(x^*)f''(x^*)}{f'(x^*)^2}, \quad \varphi''(x^*) = \frac{f''(x^*)}{f'(x^*)}. \quad (23)$$

若 x^* 是 $f(x)=0$ 的单根, 即 $f(x^*)=0, f'(x^*) \neq 0, f''(x^*) \neq 0$, 则 $\varphi'(x^*)=0, \varphi''(x^*) \neq 0$, 这时牛顿切线法 2 阶收敛.

进一步的研究发现, 当 x^* 是 $f(x)=0$ 的重根时, $\varphi'(x^*) \neq 0$, 牛顿切线法只是 1 阶收

敛,并且重数越高收敛越慢.

例 1 中收敛很快的迭代公式 $x_{k+1} = x_k - \frac{x_k^2 + x_k - 14}{2x_k + 1}$, 正是用的牛顿切线法.

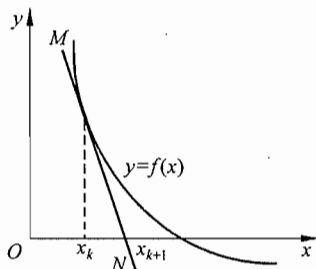


图 6.5 牛顿切线法的几何意义

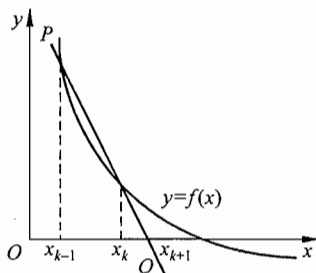


图 6.6 割线法的几何意义

为了避免切线法计算导数的麻烦,可以考虑用差商 $\frac{f(x_k) - f(x_{k-1})}{x_k - x_{k-1}}$ 代替 $f'(x_k)$, 迭代公式变为

$$x_{k+1} = x_k - \frac{f(x_k)(x_k - x_{k-1})}{f(x_k) - f(x_{k-1})}. \quad (24)$$

其几何意义如图 6.6 所示,用割线 PQ 代替了原来的切线,称为割线法(或称弦截法). 它的收敛速度比切线法稍慢(可以证明,对于单根其收敛阶数是 1.618),并且需要两个初值 x_0, x_1 开始迭代.

6.2.4 非线性方程组的牛顿法

求解单变量非线性方程的牛顿法可以推广到多变量方程组的情形. 方程组如(2)式即 $F(x) = 0$, 其中 $x = (x_1, \dots, x_n)^T$, $F(x) = (f_1(x), \dots, f_n(x))^T$. 设 $x^{(k)} = (x_1^{(k)}, \dots, x_n^{(k)})^T$ 是方程组(2)的第 k 步近似解,与单变量非线性方程的牛顿法类似,在 $x^{(k)}$ 作泰勒展开,线性化后用 $x^{(k+1)}$ 代替 x 可得

$$\begin{aligned} f_i(x^{(k+1)}) &= f_i(x^{(k)}) + \frac{\partial f_i(x^{(k)})}{\partial x_1}(x_1^{(k+1)} - x_1^{(k)}) + \dots \\ &\quad + \frac{\partial f_i(x^{(k)})}{\partial x_n}(x_n^{(k+1)} - x_n^{(k)}), \quad i = 1, 2, \dots, n. \end{aligned} \quad (25)$$

记 F 的雅可比矩阵为

$$F'(x) = \begin{bmatrix} \frac{\partial f_1}{\partial x_1} & \frac{\partial f_1}{\partial x_2} & \cdots & \frac{\partial f_1}{\partial x_n} \\ \frac{\partial f_2}{\partial x_1} & \frac{\partial f_2}{\partial x_2} & \cdots & \frac{\partial f_2}{\partial x_n} \\ \vdots & \vdots & & \vdots \\ \frac{\partial f_n}{\partial x_1} & \frac{\partial f_n}{\partial x_2} & \cdots & \frac{\partial f_n}{\partial x_n} \end{bmatrix}, \quad (26)$$

则(25)式可写作

$$F(x^{(k+1)}) = F(x^{(k)}) + F'(x^{(k)})(x^{(k+1)} - x^{(k)}). \quad (27)$$

若 $F'(x^{(k)})$ 可逆, 则由(27)式可得求解线性方程组(25)的牛顿迭代公式

$$x^{(k+1)} = x^{(k)} - [F'(x^{(k)})]^{-1} F(x^{(k)}). \quad (28)$$

实际计算中, 在计算过程的第 k 步, 通常是先计算 $F(x^{(k)})$ 和 $F'(x^{(k)})$, 再解线性方程组

$$F'(x^{(k)}) \Delta x^{(k)} = -F(x^{(k)}), \quad (29)$$

得到 $\Delta x^{(k)}$ 后, 令

$$x^{(k+1)} = x^{(k)} + \Delta x^{(k)} \quad (30)$$

即可.

例 2 用迭代公式(28)求解方程组 $\begin{cases} x_1^2 + x_2^2 = 4, \\ x_1^2 - x_2^2 = 1. \end{cases}$

$$\text{解 } F(x) = \begin{pmatrix} f_1(x) \\ f_2(x) \end{pmatrix} = \begin{pmatrix} x_1^2 + x_2^2 - 4 \\ x_1^2 - x_2^2 - 1 \end{pmatrix}, \quad F'(x) = 2 \begin{bmatrix} x_1 & x_2 \\ x_1 & -x_2 \end{bmatrix}.$$

取初值 $x = (1, 1)^T$, 最大迭代次数 $n = 10$, 相对误差限 $\text{tol} = 10^{-6}$, 编写如下程序:

```
x0=1;y0=1;n=10;tol=1e-6;
x(1)=x0;y(1)=y0;
i=1;u=[1 1];k(1)=1;
while (norm(u)>tol*norm([x(i),y(i)]'))
    A=2*[x(i),y(i);x(i),-y(i)];
    b=[4-x(i)^2-y(i)^2,1-x(i)^2+y(i)^2]';
    u=A\b;
    x(i+1)=x(i)+u(1);
    y(i+1)=y(i)+u(2);
    i=i+1;k(i)=i;
    if(i>n)error('n is full');
end
end
[k',x',y']
```

结果如表 6.2 所示: $x^{(4)} (=x^{(5)})$ 与精确解 $x=(\sqrt{5}/2, \sqrt{3}/2)^T$ 的误差已不超过 tol.

表 6.2 例 2 的迭代结果

i	$x^{(i)}$
1	(1.750000, 1.250000)
2	(1.589286, 1.225000)
3	(1.581160, 1.224745)
4	(1.581139, 1.224745)
5	(1.581139, 1.224745)

有定理表明, 牛顿迭代公式(28)是超线性收敛的(即收敛阶不小于 1), 稍加条件就至少是平方收敛的.

在公式(28)中每一步都要计算雅可比矩阵 $F'(x^{(k)})$, 当函数 $F(x)$ 比较复杂时很不方便, 所以希望能用较简单的矩阵 $A^{(k)}$ 近似 $F'(x^{(k)})$. 为此, 将(28)式变为

$$x^{(k+1)} = x^{(k)} - (A^{(k)})^{-1} F(x^{(k)}). \quad (31)$$

仿照割线法中用差商 $\frac{f(x_k) - f(x_{k-1})}{x_k - x_{k-1}}$ 代替 $f'(x_k)$ 的做法, 使 $A^{(k)}$ 满足

$$A^{(k)}(x^{(k)} - x^{(k-1)}) = F(x^{(k)}) - F(x^{(k-1)}). \quad (32)$$

但是(32)式不足以确定 $A^{(k)}$, 通常再用迭代公式

$$A^{(k)} = A^{(k-1)} + \Delta A^{(k)} \rightarrow \text{加秩 1 阵} \quad (33)$$

计算之. (31)式~(33)式所采用的方法称为拟牛顿法. 至于如何确定(33)式中的 $\Delta A^{(k)}$, 又有不同的构造方法, 有兴趣的读者可参看其他有关书籍.

6.3 MATLAB 解非线性方程和方程组

下面介绍求解非线性方程和方程组的 MATLAB 命令, 虽然它们也可用于解线性方程和方程组.

6.3.1 fzero 的基本用法

fzero 命令用于求单变量方程的根, 所采用的算法主要是二分法、割线法和逆二次插值法等的混合方法. fzero 至少需要两个输入参数: 函数、迭代初值(或有根区间).

如果方程左端的函数形式很简单, 可以不必编写函数 M 文件, 而是直接用 MATLAB 提供的 inline 函数输入方程左端的函数(inline 函数返回一个字符串表示的函数的句柄). 例如, 对于方程 $x^3 - 2x - 5 = 0$, 可用如下命令求解:


```
fzero(inline('x^3-2*x-5'),0) % 初值取 0
```

或

```
fzero(inline('x^3-2*x-5'),[1,3]) % 有根区间取[1,3](函数在区间端点必须异号)
```

均可以得到实根 2.0946.

值得注意的是, `fzero` 实际上求得的不一定是函数的零点, 而只是函数值发生变号的点. 对于连续函数, 这个点就是近似零点; 但对于不连续的函数, 这个点很可能只是一个间断点(且在该点两边, 函数值异号). 例如, 如果输入

```
fzero(@tan,[-1,1])
```

将得到正切函数的零点(0). 但是, 如果输入

```
fzero(@tan,[1,2])
```

将得到近似间断点 1.5708(即 $\pi/2$).

同样道理, 即使函数是连续函数而且有零点, 但如果在该零点附近函数值没有变号, 则 `fzero` 也找不到这个零点(除非输入的初值就是零点). 例如, 如果输入

```
fzero(inline('x^2'),1)
```

得到的输出为“NaN”(非数).

MATLAB 中的命令一般都有多种可选的参数输入方式, 也可以输出多种计算结果, 供用户选用. 例如, `fzero` 命令的最一般的调用方式是:

```
[x,fv,ef,out] = fzero(@f,x0,opt,P1,P2,...)
```

其中 `f` 是函数名, `x0` 是迭代初值(或有根区间), 这是两个必须输入的参数. `opt` 是一个结构变量, 含有用于控制程序运行的控制参数, 实验 7 将详细介绍其意义, 用户不指定或指定为 `[]` 时将采用缺省值. `P1,P2,...` 是传给 `f` 函数的参数(如果需要的话).

在输出列表中, `x` 是变号点的近似值, `fv` 是 `x` 点所对应的函数值, `ef` 是程序停止运行的原因, `out` 是一个结构变量, 其中包含程序运行和停止时的一些相关信息. 例如, 如果输入

```
[x,fv,ef,out]=fzero(inline('x^3-2*x-5'),0)
```

将得到以下输出结果:

```
x = 2.0946
fv = -8.8818e-016
ef = 1 % 正数(1)表示找到异号点, 负数(-1)表示没有找到异号点
out =
```

```

iterations: 39          % 迭代了 39 次 (此显示的意思是 out.iterations=39,下同)
funcCount: 39          % 函数被调用了 39 次
algorithm: 'bisection, interpolation' % 算法是二分法和插值法

```

6.3.2 fsolve 的基本用法

fsolve 命令用于非线性方程组的求解 (当然也可以用于方程求根, 但效果一般不如 fzero 程序), 最一般的调用方式是:

```
[x, fv, ef, out, jac] = fsolve(@F, x0, opt, P1, P2, ...)
```

其中输入列表和输出列表与上面对 fzero 的说明类似, 只是 opt 中可以使用的控制参数更多, out 中能够输出结果 (x 点) 处梯度向量的范数 (实际上是 1-范数, 即分量按绝对值取最大的值), 还可以输出 x 点所对应的雅可比矩阵 jac.

用 fsolve 求解前面的例 2, 即方程组 $\begin{cases} x_1^2 + x_2^2 = 4 \\ x_1^2 - x_2^2 = 1 \end{cases}$ 来说明其用法.

首先建立如下 exam0602fun.m 文件计算函数值:

```

function y=exam0602fun(x,a,b,c,d)
y(1)=x(1)^2+a*x(2)^2-b;          % 当 a=1,b=4 时为第 1 个方程
y(2)=x(1)^2+c*x(2)^2-d;          % 当 c=-1,d=1 时为第 2 个方程

```

输入程序:

```

x0=[2,2];                        % 初始值
[x,fv,ef,out,jac]=fsolve(@exam0602fun,x0,[],1,4,-1,1)

```

输出结果为:

```

x=(1.5811,1.2247);
fv=1.0e-009*(0.7477,-0.7474);
ef= 1          % 1 表示收敛, -1 不收敛, 0 表示达到了迭代或函数调用的最大次数
out=
    iterations : 4
    funcCount : 15
    algorithm : 'trust-region dogleg' % 算法: 置信域方法
    firstorderopt : 3.6622e-009      % 结果(x点)处梯度向量的 1-范数
jac = [3.1623    2.4495
       3.1623   -2.4495]

```

可见, 当我们只是改变 a, b, c, d 的值时, 没有必要修改函数 M 文件 exam0602fun.m.

6.3.3 roots 的基本用法

对于单变量代数方程求根, 即当 $f(x)$ 为一元多项式时, MATLAB 还提供了一个专门的命令“roots”. 两个相关的命令是:

$r = \text{roots}(c)$ 输入多项式的系数 c (按降幂排列), 输出 r 为 $f(x)=0$ 的全部根 (包括复根);
 $c = \text{poly}(r)$ 输入 $f(x)=0$ 的全部根 r , 输出 c 为多项式的系数 (按降幂排列).

最后指出, 在 MATLAB 符号工具箱中, 还有一个用于方程 (组) 求解析解的命令“solve” (当无法得到解析解时, 有时也会尝试数值解), 这个程序这里就不详细介绍了.

下面用 MATLAB 软件解决 6.1 节提出的两个问题.

6.3.4 路灯照明 (续)

1. 求路面上的最暗点和最亮点

首先由 (5) 式和 (6) 式并代入所给的实际数据 $P_1=2, P_2=3, h_1=5, h_2=6, s=20$, 用 MATLAB 画出照度 $C(x)$ 及 $C'(x)$ 在 $[0, 20]$ 内的图形, 如图 6.7, 可以粗略地看出, 大体上 $C(x)$ 有 3 个驻点, 分别在 $x=0$ 附近、 $x=9$ 和 $x=10$ 之间、 $x=20$ 附近. (9, 10) 内的是最小点, 20 附近的是最大点 (最大点是不是端点 $x=20$ 难以确定).

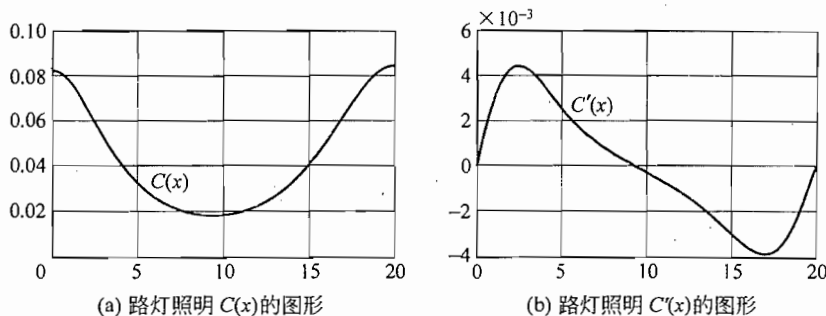


图 6.7

下面我们用数值解法求方程 (7) 的根. 先将数据代入 (7) 式编写函数 M 文件:

```
function y=zhaoming(x)
y=2*5*x/(5^2+x^2)^(5/2)-3*6*(20-x)/(6^2+(20-x)^2)^(5/2);
```

再以 $x=0, 10, 20$ 为初值, 用 fzero 命令解方程 (7), 并计算所得解的照度 $C(x)$. 编写以下程序:

```
x0=[0,10,20];
for k=1:3
```

```

x(k)=fzero(@zhaoming,x0(k));
c(k)=2*5/(5^2+x(k)^2)^(3/2)+3*6/(6^2+(20-x(k))^2)^(3/2);
end
[x;c]

```

运行后得到 3 个驻点及相应的照度,作为比较,也算出区间端点的照度,结果如表 6.3 所示.由此可知, $x=9.3383$ 是 $C(x)$ 的最小值点, $x=19.9767$ 是 $C(x)$ 的最大值点,即路面上离 2kW 路灯 9.3383m 处最暗,19.9767m 处最亮.

表 6.3 路灯照明的计算结果

x	0	0.02848997	9.33829914	19.97669581	20
$C(x)$	0.08197716	0.08198104	0.01824393	0.08447655	0.08447468

2. 讨论如果 3kW 路灯的高度可以在 3m 到 9m 之间变化,如何使路面上最暗点的照度最大.

重新将(5)式记为

$$C(x, h_2) = \frac{P_1 h_1}{\sqrt{(h_1^2 + x^2)^3}} + \frac{P_2 h_2}{\sqrt{(h_2^2 + (s-x)^2)^3}}, \quad (34)$$

则

$$\frac{\partial C}{\partial x} = -3 \frac{P_1 h_1 x}{\sqrt{(h_1^2 + x^2)^5}} + 3 \frac{P_2 h_2 (s-x)}{\sqrt{(h_2^2 + (s-x)^2)^5}}, \quad (35)$$

$$\frac{\partial C}{\partial h_2} = \frac{P_2}{\sqrt{(h_2^2 + (s-x)^2)^3}} - 3 \frac{P_2 h_2^2}{\sqrt{(h_2^2 + (s-x)^2)^5}}. \quad (36)$$

为了求出 $C(x, h_2)$ 的驻点,可以直接令上面两个偏导数为 0,将所给的实际数据代入,求解关于 x 和 h_2 的方程组(请读者试试).

可以将解方程组的问题转化为解一个方程.令(36)式等于零,容易得到

$$h_2 = \frac{1}{\sqrt{2}}(s-x). \quad (37)$$

代入(35)式并令其等于零,得到

$$\frac{9\sqrt{3}P_1 h_1 x}{\sqrt{(h_1^2 + x^2)^5}} - \frac{4P_2}{(s-x)^3} = 0. \quad (38)$$

将实际数据代入,像上面解方程(7)一样,用 fzero 命令解方程(38),得到 x 后再由(37)计算相应的 h_2 (只保留 3m 到 9m 间的值),再从(34)式算出 $C(x, h_2)$.得到的结果是:

$$x = 9.5032, \quad h_2 = 7.4224, \quad C(x, h_2) = 0.018556. \quad (39)$$

即当 $h_2=7.4224$ 时,最暗点 $x=9.5032$ 的照度达到最大,为 0.018556(可与前面 $h_2=6$ 的结果比较).

为了证明结果的正确性,可以计算 $C(x, h_2)$ 在 $x=9.5032, h_2=7.4224$ 的二阶偏导数,得到 $\frac{\partial^2 C}{\partial x^2}=1.0565>0, \frac{\partial^2 C}{\partial h_2^2}=-0.2536<0$, 表明确实使最暗点的照度最大.

3. 讨论如果两只路灯的高度均可以在 3m 到 9m 之间变化的情况.

将照度记作 $C(x, h_1, h_2)$. 与上面类似,由 $\frac{\partial C}{\partial h_1}=0$ 容易得到

$$h_1 = \frac{1}{\sqrt{2}}x. \quad (40)$$

将 h_1 和 h_2 ((37)式)代入(35)式并令 $\frac{\partial C}{\partial x}=0$ 得到

$$\frac{P_1}{x^3} = \frac{P_2}{(s-x)^3}. \quad (41)$$

于是可以直接得到解析解

$$x = \frac{\sqrt[3]{P_1}s}{\sqrt[3]{P_1} + \sqrt[3]{P_2}}. \quad (42)$$

可见,此时最暗点的位置只与路灯的功率和道路宽度有关. 特别地,当两只路灯的功率相同时,最暗点在道路正中. 进而可以求出使最暗点的照度达到最大的路灯高度 h_1 和 h_2 .

将本例中的实际数据 $P_1=2, P_2=3, s=20$ 代入(42)式,得到 $x=9.3253$, 进而可以得到 $h_1=6.5940, h_2=7.5482$.

由(37)式和(40)式可知,最暗点 x 处的光线与路面的夹角满足

$$\tan \alpha_1 = \tan \alpha_2 = \frac{\sqrt{2}}{2}, \quad (43)$$

即 $\alpha_1=\alpha_2=35^\circ 16'$, 这个角度与路灯的功率和道路宽度均无关.

读者可讨论 2 只以上路灯的情形,如篮球场四周安装一定数量的照明灯.

6.3.5 均相共沸混合物的组分(续)

模型(8),(13)是含有 $n+1$ 个未知数的非线性方程组,可以用 MATLAB 优化工具包的 `fsolve` 求解. 注意到(8)式是一个简单的线性等式,可以从中消去 1 个未知数,这通常会使得求解的效果更好. 例如,我们从(8)式解出

$$x_n = 1 - \sum_{i=1}^{n-1} x_i, \quad (44)$$

并将它代入(13)式,得到含有 n 个未知数 $XT=(x_1, x_2, \dots, x_{n-1}, T)$ 的非线性方程组.

具体地,给定 $n=3$ 种物资: 丙酮、乙酸甲脂、甲醇(记它们分别是物质 1, 2, 3), 对应的参数 a_i, b_i, c_i 和交互作用矩阵 Q 如下:

```

a1=16.388,      a2=16.268,      a3=18.607;
b1=2787.50,     b2=2665.54,     b3=3643.31;
c1=229.66,      c2=219.73,      c3=239.73;
Q=[1.0    0.48    0.768
   1.55    1.0    0.544
   0.566  0.65    1.0]

```

在压强 $P=760\text{mmHg}$ 下,为了形成均相共沸混合物,求温度 T 和组分 x_i 分别是多少?

首先编写如下的函数 M 文件:

```

function f=azeofun(XT,n,P,a,b,c,Q)
x(n)=1;
for i=1:n-1
    x(i)=XT(i);
    x(n)=x(n)-x(i);
end
T=XT(n);
p=log(P);
for i=1:n
    d(i)=x * Q(i,1:n)';
    dd(i)=x(i)/d(i);
end
for i=1:n
    f(i)=x(i) * (b(i)/(T+c(i))) + log(x * Q(i,1:n)') + dd * Q(1:n,i) - a(i) - 1 + p);
end

```

然后用所给数据编程,作如下计算:

```

n=3;
P=760;
a=[16.388,16.268,18.607]';
b=[2787.50,2665.54,3643.31]';
c=[229.66,219.73,239.73]';
Q=[1.0    0.48    0.768
   1.55    1.0    0.544
   0.566  0.65    1.0];
XT0=[0.333,0.333,50];
[XT,Y]=fsolve(@azeofun,XT0,[],n,P,a,b,c,Q)

```

得到

$$XT = [0.2740 \quad 0.4636 \quad 54.2560]$$

$$Y = 1.0e-006 * [0.4195 \quad -0.3112 \quad 0.2083]$$

即丙酮、乙酸甲脂、甲醇组成均相共沸混合物时的比例分别为 27.40%, 46.36%, 26.24%, 温度为 54.2560°C. 找到这样的组合后, 通常可以通过化学实验验证结果是否正确.

在上面的计算中, 我们对初值 $XT0$ 的取法是: 3 种物质各占约 1/3, 温度为 50°C. 如果取其他初值, 是否还可以得到其他均相共沸混合物呢? 例如, 在温度仍然为 54°C 附近时, 如果我们希望看看后两种物质(即不含有丙酮)能否组成均相共沸混合物, 可以用初值 $XT0 = [0, 0.5, 54]$ 尝试一下, 结果得到: 乙酸甲脂、甲醇的比例分别为 67.66%, 32.34%, 温度为 54.3579°C 时, 组成均相共沸混合物. 类似地, 可以得到其他的均相共沸混合物, 结果归纳如表 6.4 所示.

表 6.4 均相共沸混合物的组分的计算结果

初 值	解			
$XT0$	x_1	x_2	x_3	T
$[0.333, 0.333, 50]$	0.2740	0.4636	0.2624	54.2560
$[0, 0.5, 54]$	0.0000	0.6766	0.3234	54.3579
$[0.5, 0, 54]$	0.7475	0.0000	0.2525	54.5040
$[0.5, 0.5, 54]$	0.5328	0.4672	0.0000	55.6764

请读者试试: (1) 选择其他的初值, 是否还可以找到其他的解? (2) 如果不作(44)式的代换, 结果有没有什么不同? (3) 改变程序的控制参数(如算法、精度等), 结果有没有什么不同?

6.4 分岔与混沌现象

让我们通过实验 2 中 2.4.1 节离散形式的阻滞增长模型来观察分岔与混沌这种有趣的现象. 原来的非线性差分方程模型为(见实验 2(48)式)

$$x_{k+1} - x_k = r \left(1 - \frac{x_k}{N} \right) x_k, \quad k = 0, 1, 2, \dots \quad (45)$$

其中 x_k 是第 k 代的种群数量, r 是固有增长率, N 是种群最大容量.

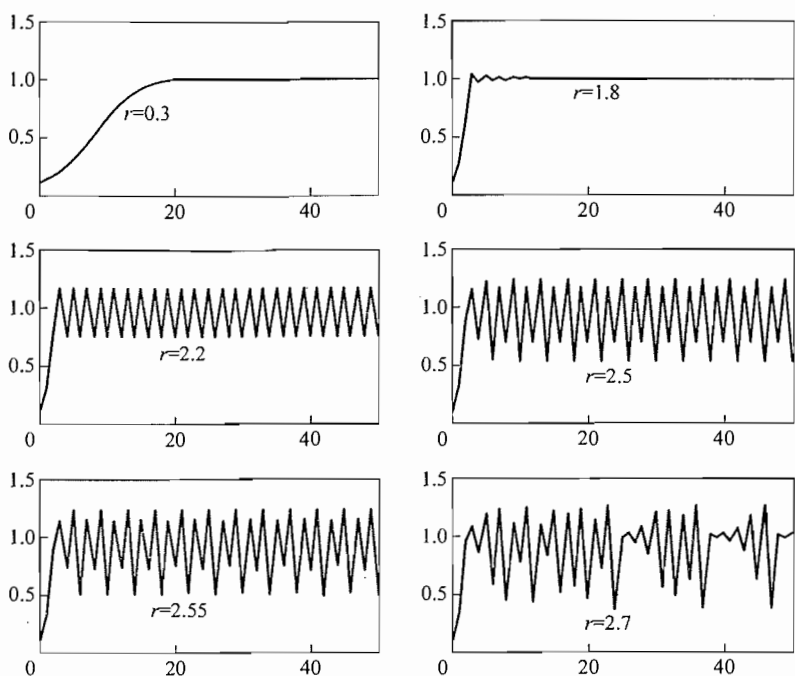
取 $N=1$, $r=0.3, 1.8, 2.2, 2.5, 2.55, 2.7$, 初值 $x_0=0.1$, 按照方程(45)用 MATLAB 计算 x_k 得到的结果如表 6.5 和图 6.8(实验 2 中曾得到 $r=0.3, 1.8, 2.5$ 的结果, 为比较起见, 这里一起给出).

表 6.5 模型(45)不同 r 的计算结果

k	$x_k(r=0.3)$	$x_k(r=1.8)$	$x_k(r=2.2)$	$x_k(r=2.5)$	$x_k(r=2.55)$	$x_k(r=2.7)$
0	0.1000	0.1000	0.1000	0.1000	0.1000	0.1000
1	0.1270	0.2620	0.2980	0.3250	0.3295	0.3430
2	0.1603	0.6100	0.7582	0.8734	0.8929	0.9514
3	0.2006	1.0382	1.1615	1.1498	1.1368	1.0762
4	0.2487	0.9668	0.7488	0.7192	0.7403	0.8548
5	0.3048	1.0246	1.1626	1.2241	1.2306	1.1899
\vdots	\vdots	\vdots	\vdots	\vdots	\vdots	\vdots
21	0.9881	1.0007	1.1628	1.2250	1.2296	1.1370
22	0.9916	0.9994	0.7462	0.5359	0.5096	0.7165
23	0.9941	1.0005	1.1628	1.1577	1.1468	1.2649
24	0.9959	0.9996	0.7462	0.7012	0.7174	0.3601
\vdots	\vdots	\vdots	\vdots	\vdots	\vdots	\vdots
41	1.0000	1.0000	1.1628	1.2250	1.2350	0.9580
42	1.0000	1.0000	0.7462	0.5359	0.4951	1.0667
43	1.0000	1.0000	1.1628	1.1577	1.1325	0.8747
44	1.0000	1.0000	0.7462	0.7012	0.7499	1.1707
45	1.0000	1.0000	1.1628	1.2250	1.2282	0.6312
46	1.0000	1.0000	0.7462	0.5359	0.5136	1.2597
47	1.0000	1.0000	1.1628	1.1577	1.1506	0.3763
48	1.0000	1.0000	0.7462	0.7012	0.7086	1.0100
49	1.0000	1.0000	1.1628	1.2250	1.2351	0.9827
50	1.0000	1.0000	0.7462	0.5359	0.4946	1.0286

上述结果表明, $r=0.3$ 和 1.8 时 x_k 趋向 $N=1$, 可看作种群数量代代收敛; $r=2.2$ 时 x_k 不再趋向 $N=1$, 而是有 2 个收敛的子序列, 分别趋向 0.7462 和 1.1628, 称为周期 2 收敛, 可看作种群数量隔代收敛; $r=2.5$ 时 x_k 有 4 个收敛的子序列, 分别趋向 0.5359, 1.1577, 0.7012 和 1.2250, 称为周期 4 收敛; $r=2.55$ 时 x_k 有 8 个收敛的子序列, 称为周期 8 收敛; $r=2.7$ 时 x_k 没有任何收敛的子序列, 种群数量变化没有任何规律.

让我们接着实验 2 中例 6 所作的分析继续进行下去:

图 6.8 模型(45)不同 r 的计算结果(表 6.5 的图示)

(1) 在变量和参数代换 $y_k = \frac{r}{(r+1)N} x_k, b = r+1$ 下, 方程(45)化简为(见实验 2 中(55)式, (56)式)

$$y_{k+1} = f(y_k) = by_k(1 - y_k), \quad k = 0, 1, 2, \dots \quad (46)$$

由平衡点 $y = y^* = 1 - 1/b$ (相应于 $x^* = N$) 稳定的条件 $|f'(y^*)| < 1$, 得到 $1 < b < 3$, 即 $r < 2$, 所以 $r = 0.3$ 和 $r = 1.8$ 时 $x_k \rightarrow N$ (即 $y_k \rightarrow y$).

(2) 为了解释 $r = 2.2$ 时 x_k 有 2 个收敛子序列的现象(周期 2 收敛), 应该考察 x_{k+2} 与 x_k (即 y_{k+2} 与 y_k) 的关系. 由方程(46)可推得

$$y_{k+2} = f(y_{k+1}) = f(f(y_k)) = f^{(2)}(y_k), \quad k = 0, 1, 2, \dots \quad (47)$$

求方程(47)的平衡点需解代数方程

$$y = f^{(2)}(y) = bby(1-y)[1-by(1-y)]. \quad (48)$$

方程(48)的根除了 $y^* = 1 - 1/b$ 外, 还有两个是

$$y_{1,2}^* = \frac{b+1 \pm \sqrt{b^2 - 2b - 3}}{2b}. \quad (49)$$

它们满足

$$0 < y_1^* < y^* < y_2^* < 1, \quad y_1^* = f(y_2^*), \quad y_2^* = f(y_1^*). \quad (50)$$

平衡点 $y_{1,2}^*$ 稳定的条件是 $|(f^{(2)}(y_{1,2}^*))'| < 1$, 可以算出

$$(f^{(2)}(y_{1,2}^*))' = f'(y_1^*)f'(y_2^*) = b^2(1 - 2y_1^*)(1 - 2y_2^*). \quad (51)$$

以(49)式代入(51)式计算可得, 当

$$b < 1 + \sqrt{6} \approx 3.449 \quad \text{即} \quad r < 2.449 \quad (52)$$

时 $y_{1,2}^*$ 稳定; 否则, $y_{1,2}^*$ 不稳定. 前面看到 $r = 2.2$ 时 x_k 的 2 个收敛子序列 $x_{2k} \rightarrow x_1^* = 0.7462$, $x_{2k+1} \rightarrow x_2^* = 1.1628$, 读者可以验证, $x_{1,2}^*$ 正好对应于按照(49)式计算的 $y_{1,2}^*$.

(3) 当 $b > 3.449$ (即 $r > 2.449$) 时 $y_{1,2}^*$ 不再稳定, 而我们看到 $r = 2.5$ 时 x_k 有 4 个收敛子序列的现象(周期 4 收敛), 循着上面的思路, 应该研究

$$y_{k+4} = f^{(4)}(y_k), \quad k = 0, 1, 2, \dots \quad (53)$$

用类似的方法可以得到, 若

$$3.449 < b < 3.544, \quad \text{即} \quad 2.449 < r < 2.544. \quad (54)$$

方程(53)有 4 个稳定平衡点.

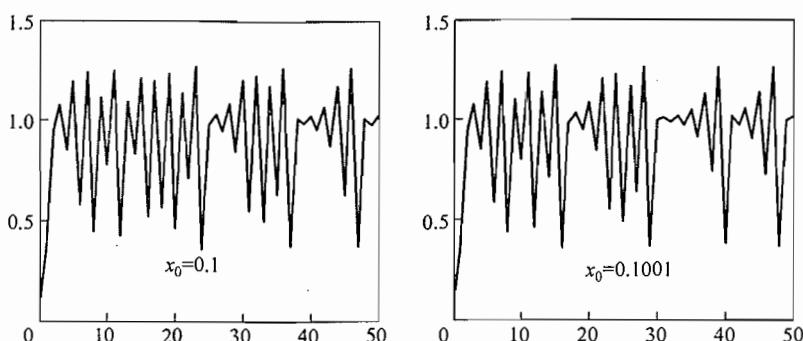
(4) 继续上面的做法, 对于方程(45)或(46)可以讨论序列 x_k 或 y_k 有 2^n 个 ($n=0, 1, 2, \dots$) 收敛子序列的问题(周期 2^n 收敛), 收敛条件完全由 b 的大小决定. 记有 2^n 个收敛子序列的 b 的上限为 b_n , 上面的分析给出: $b_0 = 3, b_1 = 3.449, b_2 = 3.544$. 进一步的研究表明, 当 $n \rightarrow \infty$ 时 $b_n \rightarrow 3.57$, 若 $b > 3.57$ (即 $r > 2.57$), 就不再存在任何 2^n 收敛子序列, 前面 $r = 2.7$ 的计算结果就是这种情况, 序列 x_k 的趋势似乎呈现一片混乱, 这就是所谓混沌(Chaos)现象.

混沌现象的一个典型特征是对初始条件的敏感性. 表 6.6 和图 6.9 给出了 $r = 2.7$, 初值 $x_0 = 0.1$ 和 0.1001 时计算结果的比较, 可以看出, 初值的微小扰动(0.1%的误差)对整个过程的巨大影响, 如 $k=23$ 时两个 x_k 相差一倍以上, 真可谓“差之毫厘, 失之千里”, 著名的“蝴蝶效应”说的就是这个意思.

应该指出的是, 我们的对象——模型(45)——是完全确定的, 没有任何随机因素, 但是混沌现象显示的结果却是无规则的、好似随机的, 这是在一定条件下由非线性迭代过程引起的.

表 6.6 模型(45) $r=2.7$ 不同初值的计算结果

k	$x_k(r=2.7)$	$x_k(r=2.7)$	k	$x_k(r=2.7)$	$x_k(r=2.7)$	k	$x_k(r=2.7)$	$x_k(r=2.7)$
0	0.1000	0.1001	\vdots	\vdots	\vdots	46	1.2597	0.7248
1	0.3430	0.3433	21	1.1370	0.8442	47	0.3763	1.2633
2	0.9514	0.9520	22	0.7165	1.1993	48	1.0100	0.3651
3	1.0762	1.0753	23	1.2649	0.5540	49	0.9827	0.9909
4	0.8548	0.8566	24	0.3601	1.2211	50	1.0286	1.0153
5	1.1899	1.1883	\vdots	\vdots	\vdots			

图 6.9 模型(45) $r=2.7$ 不同初值的计算结果(表 6.6 的图示)

(5) $b > 3.57$ 即 $r > 2.57$ 以后, 虽然不再存在任何周期 2^n 收敛, 但是将出现许多周期 p ($p=3, 5, \dots$) 收敛的窗口, 这表明混沌之中仍有其内部的规律性. 读者不妨取 $b=3.83$ 尝试一下, 看看会出现什么情况.

我们看到, 随着 r 或 b 的增加, 序列 x_k 收敛性出现分岔: 一分二, 二分四, \dots , 直至混沌. 有趣的是, 分岔和混沌现象也并不是完全没有规律, 例如人们发现如下极限

$$\lim_{n \rightarrow \infty} \frac{b_n - b_{n-1}}{b_{n+1} - b_n} = 4.6692 \dots \quad (55)$$

就是一个普遍存在于不同分岔和混沌现象中的常数, 通常称之为 Feigenbaum 常数. 这表明分岔和混沌现象实际上有其内在的规律性.

在本节的最后, 我们用 MATLAB 编程来画出非线性迭代序列随着参数变化的收敛、分岔和混沌现象图. 可以首先编写如下程序:

```
function chaos(iter_fun,x0,r,n) % 该函数没有返回值;iter_fun 是迭代函数(句柄);x0 是迭代初值;
kr=0;
for rr=r(1):r(3):r(2) % 输入中[r(1),r(2)]是参数变化的范围,r(3) 是步长
    kr=kr+1;
    y(kr,1)=feval(iter_fun,x0,rr);
    for i=2:n(2) %输入中 n(2)是迭代序列的长度,但画图时前 n(1)个迭代值被舍弃
        y(kr,i)=feval(iter_fun,y(kr,i-1),rr);
    end
end
plot([r(1):r(3):r(2)],y(:,n(1)+1:n(2)),'k.');
```

对本例,迭代函数为

```
function y=iter01(x,r)
y=r*x*(1-x);
```

输入如下命令：

```
chaos(@iter01,0.5,[2,4,0.01],[100,200])
```

可以得到图 6.10 所示的分岔和混沌图(横坐标表示变化的参数,纵坐标表示迭代序列的极限).

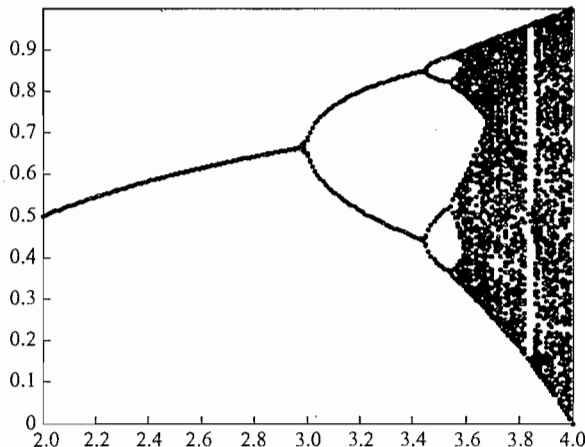


图 6.10 非线性差分方程(45)(或(46))解的收敛、分岔和混沌现象

6.5 实验练习

实验目的

1. 掌握用 MATLAB 软件求解非线性方程和方程组的基本用法,并对结果作初步分析.
2. 练习用非线性方程和方程组建立实际问题的模型并进行求解.

实验内容

1. 分别用 fzero 和 fsolve 程序求方程 $\sin x - x^2/2 = 0$ 的所有根,准确到 10^{-10} ,取不同的初值计算,输出初值、根的近似值和迭代次数,分析不同根的收敛域;自己构造某个迭代公式(如 $x = (2\sin x)^{1/2}$ 等)用迭代法求解,并自己编写牛顿法的程序进行求解和比较.
2. 对 $k=2,3,4,5,6$, 分别求一个 3 阶实方阵 A , 使得 $A^k = [1,2,3;4,5,6;7,8,9]$.
3. (1) 小张夫妇以按揭方式贷款买了 1 套价值 20 万元的房子,首付了 5 万元,每月还款 1000 元,15 年还清. 问贷款利率是多少?
(2) 某人欲贷款 50 万元购房,他咨询了两家银行,第一家银行开出的条件是每月还 4500 元,15 年还清;第二家银行开出的条件是每年还 45000 元,20 年还清. 从利率方面看,

哪家银行较优惠(简单地假设年利率=月利率 $\times 12$)?

4. 水槽由半圆柱体水平放置而成,如图 6.11 所示.圆柱体长 L ,半径 r ,当给定水槽内盛水的体积 V 后,要求计算从水槽边沿到水面的距离 x .今已知 $L=25.4\text{m}$, $r=2\text{m}$,求 V 分别为 $10, 50, 100\text{m}^3$ 的 x .

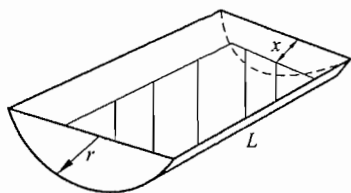


图 6.11 第 4 题图

5. 由汽缸控制关闭的门,关闭状态的示意图如图 6.12(a).门宽 a ,门枢在 H 处,与 H 相距为 b 处有一门销,通过活塞与圆柱形的汽缸相连,活塞半径 r ,汽缸长 l_0 ,汽缸内气体的压强为 p_0 .当用力 F 推门,使门打开一个角度 α 时(示意图如图 6.12(b)),活塞下降的距离为 c ,门销与 H 的水平距离 b 保持不变,于是汽缸内的气体被压缩,对活塞的压强增加.已知在绝热条件下,气体的压强 p 和体积 V 满足 $pV^\gamma=c$,其中 γ 是绝热系数, c 是常数.试利用开门力矩和作用在活塞上的力矩相平衡的关系(对门枢而言),求在一定的力 F 作用下,门打开的角度 α .设 $a=0.8\text{m}$, $b=0.25\text{m}$, $r=0.04\text{m}$, $l_0=0.5\text{m}$, $p_0=10^4\text{N/m}^2$, $\gamma=1.4$, $F=25\text{N}$.

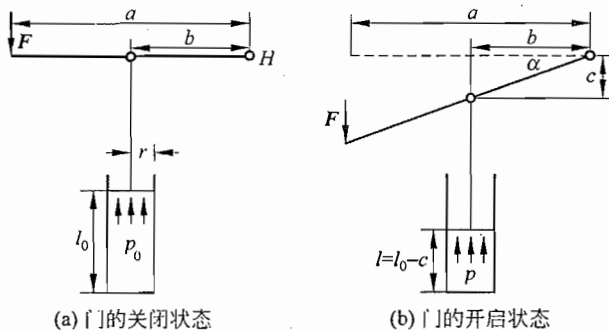


图 6.12

6. 给定 4 种物质对应的参数 a_i, b_i, c_i 和交互作用矩阵 Q 如下:

$$\begin{aligned}
 a_1 &= 18.607, & a_2 &= 15.841, & a_3 &= 20.443, & a_4 &= 19.293; \\
 b_1 &= 2643.31, & b_2 &= 2755.64, & b_3 &= 4628.96, & b_4 &= 4117.07; \\
 c_1 &= 239.73, & c_2 &= 219.16, & c_3 &= 252.64, & c_4 &= 227.44; \\
 Q &= \begin{bmatrix} 1.0 & 0.192 & 2.169 & 1.611 \\ 0.316 & 1.0 & 0.477 & 0.524 \\ 0.377 & 0.360 & 1.0 & 0.296 \\ 0.524 & 0.282 & 2.065 & 1.0 \end{bmatrix}
 \end{aligned}$$

在压强 $p=760\text{mmHg}$ 下,为了形成均相共沸混合物,温度和组分分别是多少?请尽量找出所有可能的解.

7. 用迭代公式 $x_{k+1} = ax_k \exp(-bx_k)$ 计算序列 $\{x_k\}$, 分析其收敛性, 其中 a 分别取 5, 11, 15; $b(>0)$ 任意, 初值 $x_0=1$. 观察是否有混沌现象出现, 并找出前几个分岔点, 观察分岔点的极限趋势是否符合 Feigenbaum 常数揭示的规律.

8. 假设商品在 t 时期的市场价格为 $p(t)$, 需求函数为 $D(p(t))=c-dp(t)$ ($c, d>0$). 而生产方的期望价格为 $q(t)$, 供应函数为 $S(q(t))$. 当供销平衡时 $S(q(t))=D(p(t))$.

若期望价格与市场价格不符, 商品市场不均衡, 生产方 $t+1$ 时期的期望价格将会调整, 方式为 $q(t+1)-q(t) = r[p(t)-q(t)]$ ($0<r<1$), 以 $p(t)=[c-D(p(t))]/d=[c-S(q(t))]/d$ 代入, 得到关于 $q(t)$ 的递推方程. 设 $S(x)=\arctan(\mu x)$, $\mu=4.8, d=0.25, r=0.3$, 以 c 为可变参数, 讨论期望价格 $q(t)$ 的变化规律, 是否有混沌现象出现, 并找出前几个分岔点, 观察分岔点的极限趋势是否符合 Feigenbaum 常数揭示的规律.

参考文献

- 1 姜启源, 何青, 高立. 数学实验. 北京: 高等教育出版社, 1999
- 2 李庆扬, 王能超, 易大义. 数值分析. 第4版. 北京: 清华大学出版社, 2001
- 3 关治, 陆金甫. 数值分析基础. 北京: 高等教育出版社, 1998
- 4 张培强. MATLAB语言. 合肥: 中国科学技术大学出版社, 1995
- 5 Benjamin F Plybon. An Introduction to Applied Numerical Analysis. PWS-KENT Publishing Company, 1992
- 6 Melvin J Maron, Robert J Lopez. Numerical Analysis—A Practical Approach. Wadsworth Publishing Company, 1991
- 7 Advian Biran, Moshe Breiner. MATLAB for Engineers. Addison-Wesley Publishing Company, 1995
- 8 Floudas C A, Pardalos P M, Adjiman C S, et al. Handbook of Test Problems in Local and Global Optimization. Dordrecht: Kluwer Academic Publishers, 1999
- 9 Gander W, Hiebicsek J. Solving Problems in Scientific Computing Using Maple and MATLAB (Third Ed.). Springer, 1997

实验 7

无约束优化

在工程技术、经济管理、科学研究和日常生活等诸多领域中,人们经常遇到的一类决策问题是:在一系列客观或主观限制条件下,寻求使所关注的某个或多个指标达到最大(或最小)的决策.例如,结构设计要在满足强度要求条件下选择材料的尺寸,使其总重量最轻;资源分配要在有限资源约束下制定各用户的分配数量,使资源产生的总效益最大;运输方案要在满足物资需求和装载条件下安排从各供应点到各需求点的运量和路线,使运输总费用最低;生产计划要按照产品工艺流程和顾客需求,制定原料、零件、部件等订购、投产的日程和数量,尽量降低成本使利润最高.

上述这种决策问题通常称为优化问题.人们解决这些优化问题的手段大致有以下几种:

1. 依赖过去的经验判断面临的问题.这似乎切实可行,并且没有太大的风险,但是其处理过程会融入决策者太多的主观因素,常常难以客观地加以描述,从而无法确认结果的最优性.

2. 做大量的试验反复比较.这固然比较真实可靠,但是常要花费太多的资金和人力,而且得到的最优结果基本上离不开开始设计的试验范围.

3. 用数学建模的方法建立数学规划模型求解最优决策.虽然由于建模时要作适当的简化,可能使得结果不一定完全可行或达到实际上的最优,但是它基于客观规律和数据,又不需要多大的费用,具有前两种手段无可比拟的优点.如果在此基础上再辅之以适当的经验和试验,就可以期望得到实际问题的一个比较圆满的回答,是解决这种问题的最有效、最常用的方法之一.在决策科学化、量化的呼声日益高涨的今天,用数学建模方法求解优化问题,无疑是符合时代潮流和形势发展需要的.

数学规划模型一般有三个要素:一是决策变量,通常是该问题要求解的那些未知量,不妨用 n 维向量 $x = (x_1, x_2, \dots, x_n)^T$ 表示;二是目标函数,通常是该问题要优化(最小或最大)的那个目标的数学表达式,它是决策变量 x 的函数,这里抽象地记作 $f(x)$;三是约束条件,由该问题对决策变量的限制条件给出,即 x 允许取值的范围 $x \in \Omega$, Ω 称可行域,常用一组关于 x 的不等式(也可以有等式) $g_i(x) \leq 0 (i = 1, 2, \dots, m)$ 来界定.一般地,这类

模型可表述成如下形式:

$$\text{opt } z = f(x) \quad (1)$$

$$\text{s. t. } g_i(x) \leq 0, \quad i = 1, \dots, m. \quad (2)$$

这里 opt (optimize) 是最优化的意思, 可以是求极小 min (minimize) 或求极大 max (maximize); s. t. (subject to) 是“受约束于”的意思. 满足(2)式的解 x 称为可行解, 同时满足(1)式, (2)式的解 x^* 称为最优解.

你可能已经注意到, 模型(1), (2)大致上是微积分中多元函数的条件极值问题. 当约束条件(2)比较简单(如全为等式)时, 多元微积分中介绍过求解析解的基本原理和方法, 即令目标函数(对等式约束需要加上与其对应的拉格朗日乘子的乘积项)的偏导数为零, 求出驻点后再比较驻点上的函数值. 不幸的是, 大多数实际问题归结出的上述形式的模型很难用这种方法求解, 因为: 第一, 解析方法只能处理目标函数 f 和约束条件 g_i 比较简单, 并且决策变量个数 n 、约束条件个数 m 比较小的情形, 当 f, g_i 稍微复杂时通常至少需要求解比较复杂的非线性方程(组), 很难得到解析解; 第二, 当最优解在可行域的边界上取得时(不少实际问题正是如此), 就不能用原有的求条件极值的方法求解. 所以对于优化问题的这类模型必须寻求有效的数值解法.

优化问题可以从不同的角度进行分类. 由(1)式, (2)式组成的模型称为约束优化, 若只有(1)式就是无约束优化. 一般说来, 实际生活中的优化问题总是有约束的, 但是如果最优解不是在可行域的边界上, 而是在它的内部, 那么就可以用无约束优化来比较简单地处理. 另外, 在理论和算法上, 无约束优化也是约束优化的基础.

当模型(1), (2)中决策变量 x 的所有分量 $x_i (i=1, \dots, n)$ 均为实数, 且 $f, g_i (i=1, 2, \dots, m)$ 都是线性函数时, 称为线性规划. 若 f, g_i 至少有一个非线性函数, 则称为非线性规划. 若 x 至少有一个分量只取整数, 则称为整数规划. 线性规划和非线性规划是连续规划, 而整数规划是离散优化(组合优化), 它们统称为数学规划.

本书包括三个数学规划方面的实验: 无约束优化, 线性规划与非线性规划, 整数规划. 本实验讨论无约束优化问题的求解, 7.1 节给出几个实际问题并建立数学模型, 7.2 节介绍求解无约束优化的基本原理和方法, 7.3 节是 MATLAB 优化工具箱的使用及 7.1 节问题的求解, 7.4 节布置实验练习.

7.1 实例及其数学模型

7.1.1 产销量的最佳安排

问题 某厂生产的某种产品有甲、乙两个型号, 工厂计划人员希望确定两个型号各自的产量, 使总的利润最大. 为简单起见, 下面只在产销平衡的情况下进行讨论, 即假设该工

厂的产品都能售出,并等于市场上的销量.

工厂的利润既取决于销量和(单件)价格,也依赖于产量和(单件)成本.按照市场经济规律,甲的价格会随其销量的增长而降低,同时乙的销量的增长也会使甲的价格有一定的下降;乙的价格遵循同样的规律.而甲、乙的成本都随其各自产量的增长而降低,且各有一渐进值.

模型 记甲、乙两个型号的产(销)量分别为 x_1 和 x_2 , 价格分别为 p_1 和 p_2 , 成本分别为 q_1 和 q_2 . 简单地假设每个型号的价格与两个型号的销量成线性关系, 即 $p_1 = b_1 - a_{11}x_1 - a_{12}x_2$, $p_2 = b_2 - a_{21}x_1 - a_{22}x_2$ ($b_1, a_{11}, a_{12}, b_2, a_{21}, a_{22} > 0$), 并且合理地设 $a_{11} > a_{12}$, $a_{22} > a_{21}$ (为什么?). 简单地假设每个型号的成本与本型号的产量服从负指数关系, 且有渐进值, 即 $q_1 = r_1 e^{-\lambda_1 x_1} + c_1$, $q_2 = r_2 e^{-\lambda_2 x_2} + c_2$ ($r_1, \lambda_1, c_1, r_2, \lambda_2, c_2 > 0$). 于是总利润为

$$\begin{aligned} z(x_1, x_2) &= (p_1 - q_1)x_1 + (p_2 - q_2)x_2 \\ &= (b_1 - a_{11}x_1 - a_{12}x_2 - r_1 e^{-\lambda_1 x_1} - c_1)x_1 \\ &\quad + (b_2 - a_{21}x_1 - a_{22}x_2 - r_2 e^{-\lambda_2 x_2} - c_2)x_2. \end{aligned} \quad (3)$$

问题化为求解 $\max_{x_1, x_2} z(x_1, x_2)$.

这里对两个型号的产量没有任何限制, 模型(3)是一个无约束优化问题. 容易看出, 实际上是大家学过的求二元函数的极值, 可以计算偏导数, 令其等于零来求解. 读者不妨这样做一下, 你会发现要解非线性方程组, 一般只能求数值解, 尤其当变量较多时需要研究更有效的算法.

一般说来, 实际问题中对产量总是有限制条件的, 如产量不能为负数, 又如由于生产能力的限制, 两个型号的产量之和不能超过某个给定值等, 加上这些条件就变成约束优化问题. 但是如果最优解不正好在这些条件的边界上, 那么就仍然可以作为无约束优化问题求解.

7.1.2 飞机的精确定位

问题 飞机在飞行过程中, 能够收到地面上各个监控台发来的关于飞机当前位置的信息, 根据这些信息可以比较精确地确定飞机的位置. 如图 7.1 所示, VOR 是高频多向导航设备的英文缩写, 它能够得到飞机与该设备连线的角度信息; DME 是距离测量装置的英文缩写, 它能够得到飞机与该设备的距离信息. 图中飞机接收到来自 3 个 VOR 给出的角度和 1 个 DME 给出的距离(括号内是测量误差限), 并已知这 4 种设备的 x, y 坐标(假设飞机和这些设备在同一平面上). 如何根据这些信息精确地确定当前飞机的位置?

模型 记 4 种设备 VOR1, VOR2, VOR3, DME 的坐标为 (x_i, y_i) (单位: km), $i=1, 2, 3, 4$; VOR1, VOR2, VOR3 测量得到的角度为 θ_i (按照航空飞行管理的惯例, 该角度是从北开始, 沿顺时针方向的角度, 取值在 $0^\circ \sim 360^\circ$ 之间), 角度的误差限为 σ_i ($i=1, 2, 3$);

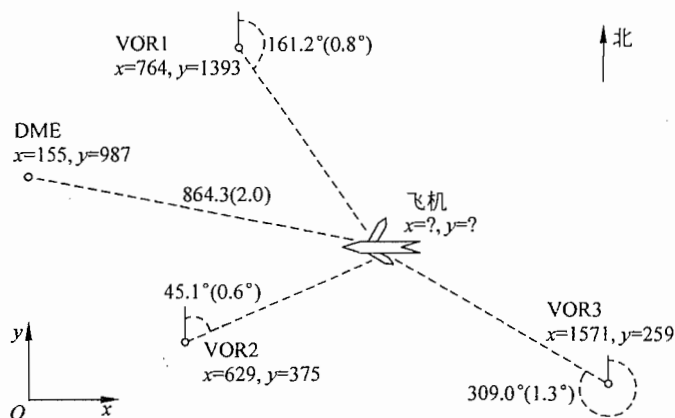


图 7.1 飞机与监控台

DME 测量得到的距离为 d_4 (km), 距离的误差限为 σ_4 . 设飞机当前位置的坐标为 (x, y) , 则问题就是在表 7.1 的已知数据下计算 (x, y) :

表 7.1

	x_i	y_i	原始的 θ_i (或 d_i)	σ_i	转换后的 θ_i / rad
VOR1	746	1393	161.2°	0.8° (0.0140rad)	2.8135
VOR2	629	375	45.1°	0.6° (0.0105rad)	0.7871
VOR3	1571	259	309.0°	1.3° (0.0227rad)	-0.8901
DME	155	987	$d_4 = 864.3$ km	2.0 km	

若点 (x_i, y_i) 和点 (x, y) 的连线与 x 轴的夹角记为 α_i (以 x 轴正向为基准, 逆时针方向夹角为正, 顺时针方向夹角为负), 我们熟悉的关系是 $\alpha_i = \arctan\left(\frac{y - y_i}{x - x_i}\right)$, 其中 \arctan 是取值在区间 $(-\pi/2, \pi/2)$ 上的反正切函数. 但是图中角度 θ_i 的测量方式与此不同, 它是点 (x_i, y_i) 和点 (x, y) 的连线与 y 轴的夹角 (以 y 轴正向为基准, 顺时针方向夹角为正, 而不考虑逆时针方向的夹角), 于是 $\theta_i = \arctan\left(\frac{x - x_i}{y - y_i}\right)$. 但是, 这样表示的 θ_i 仍然只有当 θ_i 位于区间 $[0, \pi/2)$ 时才是成立的. 实际上, 应该注意到 θ_i 除了与点 $(x - x_i, y - y_i)$ 的横纵坐标的比值有关外, 还与这个点在 4 个象限中的哪个象限有关.

为了解决这个问题, 我们借用 MATLAB 库函数中的 4 象限反正切函数 $\arctan2(b, a)$, 它根据点 (a, b) 在 4 个象限的位置, 计算原点与点 (a, b) 的连线和 x 轴正向的夹角 (逆时针方向夹角为正), 取值为区间 $(-\pi, \pi]$, 正好相当于原点与点 (b, a) 的连线和 y 轴正向的夹角 (顺时针方向夹角为正).

根据以上分析,若将原始的 $\theta_i (i=1,2,3)$ 转换成弧度,并使之满足 $-\pi < \theta_i \leq \pi$ (即当弧度大于 π 时,减去 2π ,仍记为 θ_i ,见上表中最后一列),则可以得到

$$\theta_i = \arctan 2(x - x_i, y - y_i), \quad i = 1, 2, 3. \quad (4)$$

对 DME 测量得到的距离,有

$$d_4 = \sqrt{(x - x_4)^2 + (y - y_4)^2}. \quad (5)$$

由(4)式,(5)式共 4 个等式确定飞机的坐标 x, y ,是求解超定(非线性)方程组,如果直接按照 5.4 节的类似方法,在最小二乘准则下使计算值与测量值的误差平方和最小,则需要求解

$$\min J(x, y) = \sum_{i=1}^3 [\arctan 2(x - x_i, y - y_i) - \theta_i]^2 + [d_4 - \sqrt{(x - x_4)^2 + (y - y_4)^2}]^2.$$

但是注意到问题中角度和距离的单位是不一致的,并且 4 种设备测量的精度(误差限)不同,因此这 4 个误差平方和不应该同等对待,而用各自的误差限 σ_i 对它们进行无量纲化地加权处理是合理的,即求解如下的无约束优化问题:

$$\min E(x, y) = \sum_{i=1}^3 \left(\frac{\arctan 2(x - x_i, y - y_i) - \theta_i}{\sigma_i} \right)^2 + \left(\frac{d_4 - \sqrt{(x - x_4)^2 + (y - y_4)^2}}{\sigma_4} \right)^2. \quad (6)$$

由于目标函数是平方和的形式,因此这也是一个非线性最小二乘拟合问题.

7.2 无约束优化的基本方法

本节介绍求解无约束优化模型的基本原理和方法.假设目标为最小化(最大化问题类似),无约束非线性规划问题为

$$\min_x f(x), \quad x = (x_1, \dots, x_n)^T \in \mathbb{R}^n. \quad (7)$$

实际上这是一个多元函数无条件极值问题.应该注意的是,极值问题的解(即极值点)通常都是局部最优解,寻找全局最优解需要对局部最优解进行比较以后得到(如果能够求出所有局部最优解的话).以下所谓最优解均指局部最优解.

将 $f(x)$ 的梯度记作 $\nabla f(x) = (f_{x_1}, \dots, f_{x_n})^T$ (n 维向量),其中 $f_{x_i} = \frac{\partial f}{\partial x_i} (i=1, \dots, n)$; $f(x)$ 的黑塞(Hessian)矩阵记作 $\nabla^2 f = (f_{x_i x_j})$ ($n \times n$ 矩阵,简记为 H 阵,它实际上就是梯度函数的雅可比矩阵),其中 $f_{x_i x_j} = \frac{\partial^2 f}{\partial x_i \partial x_j} (i, j=1, 2, \dots, n)$. 回顾多元函数极值问题最优解的条件,我们知道 $x = x^*$ 是最优解的必要条件为

$$\nabla f(x^*) = 0 \quad (8)$$

充分条件为

$$\nabla f(x^*) = 0, \quad \text{且} \quad \nabla^2 f(x^*) \text{ 正定.} \quad (9)$$

7.2.1 下降法的基本思想

求解优化问题的基本思想是用迭代法搜索最优解. 在迭代的第 k 步, 即对 n 维空间 \mathbb{R}^n 中的一点 x^k , 确定一个搜索方向和一个步长, 使沿此方向、按此步长走一步到达下一点时, 函数值 $f(x)$ 下降. 这种方法称为下降法(或形象地称为下山法), 其基本步骤为:

1. 选初始解 x^0 ;
2. 对于第 k 次迭代解 x^k , 确定搜索方向 $d^k \in \mathbb{R}^n$, 并在此方向确定搜索步长 $\alpha^k \in \mathbb{R}$, 令 $x^{k+1} = x^k + \alpha^k d^k$, 使 $f(x^{k+1}) < f(x^k)$;
3. 若 x^{k+1} 符合给定的迭代终止原则, 停止迭代, 最优解 $x^* = x^{k+1}$; 否则, 转 2.

不同的算法在于 d^k, α^k 的选择不同, 目的是使 f 下降更快. 下面分别讨论确定搜索方向和搜索步长的方法.

7.2.2 搜索方向的选择

暂时不考虑搜索步长, 不妨视为 $\alpha^k = 1$. 搜索方向 d^k 应为 f 的下降方向, 有以下几种选择方法.

1. 最速下降法(梯度法)

将 $f(x^{k+1})$ 在 x^k 点作泰勒展开, 只保留一阶项, 有

$$f(x^{k+1}) = f(x^k + d^k) = f(x^k) + \nabla f^T(x^k) d^k. \quad (10)$$

显然, 只要满足

$$\nabla f^T(x^k) d^k < 0, \quad (11)$$

d^k 就是下降方向. 满足(11)式的下降方向有无穷多个, 其中使 $|\nabla f^T(x^k) d^k|$ 达到最大的是

$$d^k = -\nabla f(x^k), \quad (12)$$

称为最速下降方向. 因为梯度方向是函数增长最快的方向, 所以毫不奇怪, 负梯度方向就是最速下降方向. 对应的方法称最速下降法, 或梯度法, 其迭代公式为(设 $\alpha^k = 1$)

$$x^{k+1} = x^k - \nabla f(x^k). \quad (13)$$

计算表明, 用梯度法在迭代的初始阶段 f 下降较快, 但在接近最优解 x^* 时下降变慢(为什么?).

2. 牛顿法

根据最优解的必要条件, 理论上只需求解方程组 $\nabla f(x) = 0$ 即可, 我们自然想到可以利用实验 6 中介绍的牛顿法. 将 $\nabla f(x)$ 看成那里的 $F(x)$, 则牛顿迭代公式(实验 6 中(28)式)变成

$$x^{(k+1)} = x^{(k)} - [\nabla^2 f(x^{(k)})]^{-1} \nabla f(x^{(k)}), \quad (14)$$

该方法仍然称为牛顿法. 此时搜索步长 $\alpha^k = 1$, 搜索方向为

$$d^k = -(\nabla^2 f(x^k))^{-1} \nabla f(x^k), \quad (15)$$

称为牛顿方向. 当黑塞矩阵 $\nabla^2 f(x^k)$ 正定时, 其逆矩阵仍正定, 所以 (15) 式的 d^k 满足 (11) 式, 即牛顿方向是下降方向.

牛顿方向 d^k 满足

$$\nabla^2 f(x^k) d^k = -\nabla f(x^k), \quad (16)$$

该方程组称为牛顿方程.

牛顿法的优点是在接近最优解时具有 2 阶收敛性 (阶的定义见实验 6), 缺点是当 $\nabla^2 f(x^k)$ 病态时不利于方程 (16) 的求解, 且当 $\nabla^2 f(x^k)$ 不正定时 d^k 可能不是下降方向. 另外, 牛顿法也只具有局部收敛性, 即仅当初始点在最优解 x^* 的某一邻域内时 x^k 才收敛于 x^* .

3. 拟牛顿法

牛顿法中黑塞矩阵 $\nabla^2 f(x^k)$ 不仅计算复杂, 而且会出现病态、不正定等情况. 为克服这些缺点, 同时保持较快收敛的优点, 可以考虑采用实验 6 介绍的拟牛顿法的思想, 即利用第 k 和 $k+1$ 步得到的 $x^k, x^{k+1}, \nabla f(x^k), \nabla f(x^{k+1})$, 构造一个正定矩阵 G^{k+1} 近似代替 $\nabla^2 f(x^{k+1})$, 或直接构造 H^{k+1} 近似代替 $(\nabla^2 f(x^{k+1}))^{-1}$. 为此, 将 (15) 式, (16) 式改为

$$G^{k+1} d^{k+1} = -\nabla f(x^{k+1}), \quad d^{k+1} = -H^{k+1} \nabla f(x^{k+1}), \quad (17)$$

从而得到下降方向 d^{k+1} .

为利用 $x^k, x^{k+1}, \nabla f(x^k), \nabla f(x^{k+1})$ 构造 G^{k+1}, H^{k+1} , 记

$$\Delta x^k = x^{k+1} - x^k, \quad \Delta f^k = \nabla f(x^{k+1}) - \nabla f(x^k). \quad (18)$$

因为 $\nabla^2 f(x^{k+1}) \Delta x^k \approx \Delta f^k$ (为什么?), 要用 G^{k+1} 代替 $\nabla^2 f(x^{k+1})$, 或 H^{k+1} 代替 $(\nabla^2 f(x^{k+1}))^{-1}$, 就必须有

$$G^{k+1} \Delta x^k = \Delta f^k, \quad \Delta x^k = H^{k+1} \Delta f^k, \quad (19)$$

该条件称为拟牛顿条件. 根据这个条件通常采用迭代法计算 G^{k+1}, H^{k+1} , 称拟牛顿法. 几个著名的迭代公式为 BFGS (Broyden-Fletcher-Goldfarb-Shanno) 公式, DFP (Davidon-Fletcher-Powell) 公式, GM (Gill-Murray) 公式, 具体的构造方法可参看其他有关书籍.

7.2.3 搜索步长的确定——线性搜索

搜索方向 d^k 确定后, 求步长 α^k 实际上是一个一维优化问题:

$$\min_{\alpha} f(x^k + \alpha d^k), \quad (20)$$

称一维搜索 (或线性搜索), 显然其精确解应满足

$$(d^k)^T \nabla f(x^k + \alpha d^k) = 0. \quad (21)$$

当 f 复杂和 n 较大时求解 (21) 式的计算量很大. 一维优化的近似方法很多, 如二分法、黄金分割法 (即 0.618 法)、Fibonacci 法, 以及求函数极值的牛顿切线法和割线法. 实际计算中更为有效的是插值方法, 如对 $f(x^k + \alpha d^k)$ 采用二次插值函数.

$$q(\alpha) = a\alpha^2 + b\alpha + c, \quad (22)$$

其中 a, b, c 可由 $\alpha=0$ 的函数值和导数值 $q(0)=f(x^k)$, $q'(0)=\nabla f(x^k)^T d^k$, 以及另一点的函数值 $q(\alpha)=f(x^k+\alpha d^k)$ 确定, 而 α 的最优值取使 $q(\alpha)$ 达到最小的 $\alpha_{\min}=-b/2a$. 如果采用三次插值方法, 就需要增加计算另一点的导数值. 还可以用混合二次、三次插值方法, 有兴趣的读者可参看 MATLAB 的帮助信息或其他书籍.

7.2.4 非线性最小二乘拟合

有一组数据 $(t_i, y_i) (i=1, \dots, n)$, 要拟合一个已知函数 $y=f(x, t)$, $x=(x_1, x_2, \dots, x_m) (m \leq n)$, x 为待定系数. 记误差

$$r_i(x) = f(x, t_i) - y_i, \quad r(x) = (r_1(x), \dots, r_n(x))^T. \quad (23)$$

拟合误差定义为 $r_i(x)$ 的平方和, 于是问题表示为如下的优化模型 (为推导时记号上的方便, 目标用平方和的一半来表示):

$$\min_x R, \quad R = \frac{1}{2} r^T(x) r(x) = \frac{1}{2} \sum_{i=1}^n [f(x, t_i) - y_i]^2. \quad (24)$$

当 f 对 x (的某些分量) 是非线性函数时, 称非线性最小二乘拟合. 实际上这是一个无约束非线性规划, 可以用前面介绍的方法求解, 但由于该问题中目标函数是 $r_i(x)$ 的二次函数这一特殊性, 可以构造一些相对简单的算法.

记 $r(x)$ 的雅可比阵为

$$J(x) = \left(\frac{\partial r_i}{\partial x_j} \right)_{n \times m}, \quad (25)$$

则

$$\nabla R = J^T(x) r(x), \quad \nabla^2 R = J^T(x) J(x) + S, \quad S = \sum_{i=1}^n r_i(x) \nabla^2 r_i(x). \quad (26)$$

如果用牛顿法, 就要计算 $(\nabla^2 R)^{-1}$, 而 S 中二阶导数矩阵 $\nabla^2 r_i(x) = \left(\frac{\partial^2 f(x, t_i)}{\partial x_k \partial x_l} \right)_{m \times m} (k, l=1, 2, \dots, m)$ 的计算量很大.

为了简化计算, 我们注意到: 如果 f 对 x 是线性的, 二阶导数 $\nabla^2 r_i(x)$ 为零. 所以在做非线性最小二乘时, 人们探讨能否忽略或近似 S 的问题.

1. 高斯-牛顿法

如果忽略 S 后用牛顿法, 将 (26) 式代入牛顿方程 (16), 下降方向 d^k 由

$$J^T(x^k) J(x^k) d^k = -J^T(x^k) r(x^k) \quad (27)$$

解出, 称高斯-牛顿法 (GN 法). 这种方法的收敛速度依赖于 f 对 x 的线性程度, 及误差 $r(x)$ 的大小, 适用于 f 对 x 近似于线性及 r 较小的情况. 当 f 对 x 高度非线性或 r 很大时, 高斯-牛顿法可能不收敛.

2. LM 方法

在高斯-牛顿法中 $J^T J$ 总是半正定的,但会出现病态,改进方法是将(27)式修正为

$$(J^T(x^k)J(x^k) + \alpha^k I)d^k = -J^T(x^k)r(x^k), \quad (28)$$

其中 I 是单位阵, $\alpha^k > 0$ 是在每次迭代中修正的参数. 不难看出, 当 α^k 很小时(28)式接近高斯-牛顿法, 而当 α^k 很大时 d^k 接近于负梯度方向, 所以每次迭代的下降方向在牛顿方向与负梯度方向之间. 这个方法以提出者的名字命名为 **Levenberg-Marquardt 法** (LM 法).

此外还可以注意到, 非线性最小二乘拟合也可以用来解非线性超定方程组, 只需要将方程组看成这里的 $r(x)=0$, 以各个 $r_i(x)$ 的平方和(的一半)作为目标函数即可.

7.3 MATLAB 优化工具箱

7.3.1 MATLAB 优化工具箱主要功能

在 MATLAB 中, 为求解优化问题开发了专门的优化工具箱(optimization toolbox), 该工具箱的程序(函数 m 文件)位于目录 toolbox\optim 下. 本书介绍的是 MATLAB 6.5.1 版本中配置的优化工具箱的功能和使用方法, 其主要功能简要归纳在图 7.2 中, 较详细的介绍如表 7.2 所示.

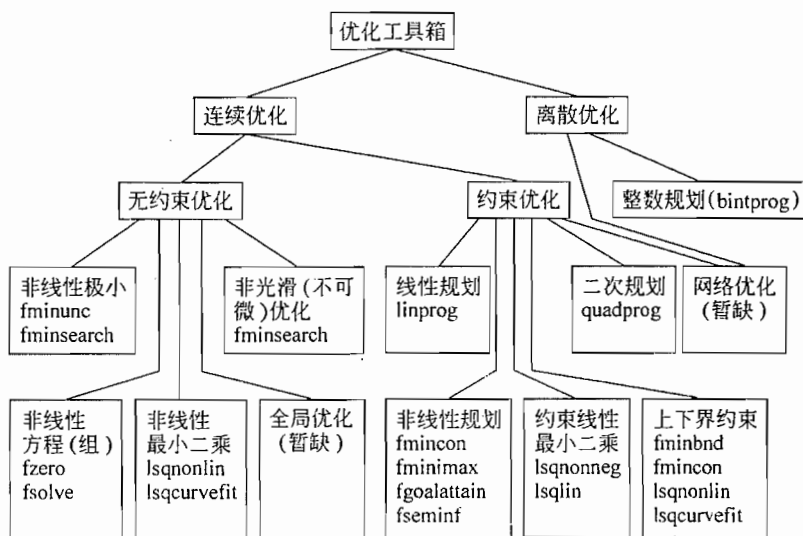


图 7.2 MATLAB 优化工具箱的主要功能示意图

表 7.2 MATLAB 优化工具箱的主要功能与基本用法

问 题	模 型	基本命令的用法	基本的.m 文件
方程求根	$f(x)=0, x \in \mathbb{R}$	$x = \text{fzero}(@f, x_0)$	$\text{function } y = f(x)$
方程组求解	$F(x)=0, x \in \mathbb{R}^n$	$x = \text{fsolve}(@F, x_0)$	$\text{function } y = F(x)$
有界单变量优化	$\min f(x), x \in \mathbb{R},$ $v_1 \leq x \leq v_2$	$x = \text{fminbnd}(@f, v_1, v_2)$	$\text{function } y = f(x)$
无约束极小 (非线性规划)	$\min f(x), x \in \mathbb{R}^n$	$x = \text{fminunc}(@f, x_0)$ $x = \text{fminsearch}(@f, x_0)$	$\text{function } y = f(x)$ $\text{function } y = f(x)$
约束极小 (非线性规划)	$\min f(x), x \in \mathbb{R}^n$ s. t. $C_1(x) \leq 0$ $C_2(x) = 0$ $A_1 x \leq b_1$ $A_2 x = b_2$ $v_1 \leq x \leq v_2$	$x = \text{fmincon}(@f, x_0, A_1,$ $b_1, A_2, b_2, v_1, v_2, @C)$	$\text{function } y = f(x)$ $\text{function } [C_1, C_2] = C(x)$
线性规划	$\min c^T x$ s. t. $A_1 x \leq b_1$ $A_2 x = b_2$ $v_1 \leq x \leq v_2$	$x = \text{linprog}(c, A_1, b_1, A_2,$ $b_2, v_1, v_2, x_0)$	
二次规划	$\min x^T H x / 2 + c^T x$ s. t. $A_1 x \leq b_1$ $A_2 x = b_2$ $v_1 \leq x \leq v_2$	$x = \text{quadprog}(H, c, A_1, b_1,$ $A_2, b_2, v_1, v_2, x_0)$	
极小极大	$\min_x \max_i F(x)$ s. t. $C_1(x) \leq 0$ $C_2(x) = 0$ $A_1 x \leq b_1$ $A_2 x = b_2$ $v_1 \leq x \leq v_2$	$x = \text{fminimax}(@F, x_0, A_1,$ $b_1, A_2, b_2, v_1, v_2, @C)$	$\text{function } y = F(x)$ $\text{function } [C_1, C_2] = C(x)$
非负线性最小二乘	$\min \frac{1}{2} \ Cx - d\ _2^2$ s. t. $x \geq 0$	$x = \text{lsqnonneg}(C, d)$	
约束线性最小二乘	$\min \frac{1}{2} \ Cx - d\ _2^2$ s. t. $A_1 x \leq b_1$ $A_2 x = b_2$ $v_1 \leq x \leq v_2$	$x = \text{lsqlin}(C, d, A_1, b_1, A_2,$ $b_2, v_1, v_2)$	

续表

问 题	模 型	基本命令的用法	基本的.m 文件
非线性最小二乘	$\min \frac{1}{2} \ F(x)\ _2^2$ $\text{s. t. } v_1 \leq x \leq v_2$	<code>x = lsqnonlin(@F, x0, v1, v2)</code>	<code>function r=F(x)</code>
非线性拟合	$\min \frac{1}{2} \ F(x,t)-y\ _2^2$ $\text{s. t. } v_1 \leq x \leq v_2$	<code>x = lsqcurvefit(@F, x0, t, y, v1, v2)</code>	<code>function yy=F(x,t)</code>
多目标(目标)规划	$\min y$ $\text{s. t. } F(x)-w * \gamma \leq g$ $C_1(x) \leq 0$ $C_2(x) = 0$ $A_1 x \leq b_1$ $A_2 x = b_2$ $v_1 \leq x \leq v_2$	<code>x = fgoalattain(@f, x0, g, w, A1, b1, A2, b2, v1, v2, @C)</code>	<code>function y=F(x)</code> <code>function [C1,C2]=C(x)</code>
半无穷规划	(略)	<code>fseminf(具体形式略)</code>	(略)

在表 7.2 中用 f 表示标量值函数,用 F 表示向量值函数,即 $F(x)=(f_i(x))^T$. 可以看出,实验 6 中介绍的 `fzero` 和 `fsolve` 函数实际上也属于优化工具箱的功能. MATLAB 对连续优化问题求解提供了非常丰富的程序,而对离散优化问题的求解,目前提供的功能还不多(即使 MATLAB 7.0 版本也仅能解纯 0-1 规划).

本节主要介绍求解无约束极小(非线性规划,包括非线性最小二乘拟合)的命令的用法,实验 8 将介绍求解约束极小(线性规划、二次规划、一般非线性规划)的命令的用法.

7.3.2 `fminbnd`、`fminunc` 和 `fminsearch` 的基本用法

有界单变量优化严格来说属于约束优化,但由于它的约束非常简单(只有上下界约束),所以 MATLAB 设计了一个单独的求解程序 `fminbnd`,其基本算法是黄金分割法和插值法. `fminunc` 和 `fminsearch` 都可以用来解无约束优化,但 `fminunc` 采用的是拟牛顿法或置信域方法,需要用到函数的导数(梯度、雅可比矩阵或黑塞矩阵),而当函数高度非线性甚至不连续时,数值梯度(即用有限差分法计算导数)将很不准确;`fminsearch` 采用的是单纯形搜索法,不需要用到函数的导数,因此有时称为直接法. 这三个命令最一般的调用方式分别是:

```
[x,fv,ef,out]=fminbnd(@f,x1,x2,opt,P1,P2,...)
[x,fv,ef,out,grad,hess]=fminunc(@f,x0,opt,P1,P2,...)
[x,fv,ef,out]=fminsearch(@f,x0,opt,P1,P2,...)
```

其中输入列表和输出列表与实验 6 中命令 `fzero` 的说明类似,输出 `grad` 是结果(x 点)处的

梯度向量, hess 是 x 点对应的黑塞矩阵. 下面看两个简单的例题.

例1 求解 $\min_{1 \leq x \leq 8} (3\sin x + x)$.

解 输入程序:

```
x1=1;x2=8; % 上下界
f=inline('3 * sin(x) + x');
[x,fv]=fminbnd(f,x1,x2)
```

输出结果:

```
x = 4.3725596, fv = 1.544125.
```

例2 求解 $\min \frac{x^2}{a} + \frac{y^2}{b}, a=b=2$.

解 建立 exam0702fun.m 文件计算函数值:

```
function y=exam0702fun(x,a,b)
y=x(1)^2/a+x(2)^2/b;
```

取初始值 $[1, 1]$, 输入程序:

```
x=fminunc(@exam0702fun,[1,1],[],2,2)
```

输出结果为:

```
x = 1.0e-009 * (1.7116, 1.7116)
```

如果输入程序:

```
x=fminsearch(@exam0702fun,[1,1],[],2,2)
```

则输出结果为:

```
x = 1.0e-004 * (-0.2102, 0.2548)
```

本题的精确结果为 $x_1 = x_2 = 0$. (为什么 fminsearch 的精度低些? 再输出迭代次数看看, 哪一个命令的迭代次数多些?)

7.3.3 lsqnonlin 和 lsqcurvefit 的基本用法

lsqnonlin 和 lsqcurvefit 都可以处理变量有上下界的约束, 因此严格来说属于约束优化. 其实这两个命令采用的算法完全一样, 只是调用方法略有区别, 最一般的调用方式分别是:

```
[x,norm,res,ef,out,lam,jac] = lsqnonlin(@F,x0,v1,v2,opt,P1,P2,...)
```

```
[x,norm,res,ef,out,lam,jac] = lsqcurvefit(@F,x0,t,y,v1,v2,opt,P1,P2,...)
```

其中输入列表和输出列表与前面的说明类似,输出 norm 和 res 分别是误差的平方和和误差向量, jac 是结果(x 点)处的雅可比矩阵, lam 是上下界所对应的拉格朗日乘子(其含义将在实验 8 中介绍).下面通过例子说明这两个命令的具体用法.

例 3 用表 7.3 中一组数据拟合 $c(t)=re^{-kt}$ 中的系数 r,k .

表 7.3

t	0.25	0.5	1	1.5	2	3	4	6	8
c	19.21	18.15	15.36	14.10	12.89	9.32	7.45	5.24	3.01

解 建立 exam0703fun.m 文件计算函数值:

```
function f=exam0703fun(x,t)
f=x(1)*exp(x(2)*t);
```

输入程序:

```
x0=[10,0.5];
t=[.25 .5 1 1.5 2 3 4 6 8];
c=[19.21 18.15 15.36 14.1 12.89 9.32 7.45 5.24 3.01];
[x,norm,res]=lsqcurvefit(@exam0703fun,x0,t,c)
```

输出结果(可以输入不同的初值 x0,观察结果是否有变化):

```
x = 20.2413   -0.2420           % 即 r=20.2413,k=-0.2420
norm = 1.0659           % 误差平方和,即 res*res'
res =                  % 误差向量
    -0.1568   -0.2152   0.5311   -0.0198   -0.4143   0.4744   0.2394   -0.5006
    -0.0889
```

也可以用 lsqnonlin 命令求解如下.

建立 exam0703fun1.m 文件计算函数值:

```
function f=exam0703fun1(x,t,c)
f=x(1)*exp(x(2)*t)-c;
```

输入程序:

```
x0=[10,0.5];
t=[.25 .5 1 1.5 2 3 4 6 8];
c=[19.21 18.15 15.36 14.1 12.89 9.32 7.45 5.24 3.01];
[x,norm,res]=lsqnonlin(@exam0703fun1,x0,[],[],[],t,c)
```

输出结果同前(实际上,两者使用的算法是一样的)。

7.3.4 控制参数的设置

前面例子中已经看到,在每个优化程序中可以有一个控制变量 `opt`(`options` 的简写),虽然我们总是不指定它或指定为`[]`(即采用缺省值)。`opt` 是一个非常复杂的结构变量,含有用于控制程序运行的许多参数,供使用者在计算时控制输入输出形式、选择算法、指定精度要求和迭代次数等。因此,根据具体问题设定这些控制参数能够将优化工具箱用到“专家水平”,具有一定的技巧性。但是完全掌握它有一定难度,这不仅因为控制参数很多(目前多达 30 多个,将来还可能进一步增加;当然也不是每个参数对每个优化程序都起作用),而且因为有些参数要用到较深的优化方面的专业术语、专门算法等知识。

表 7.4 中简要列出了这些控制参数的名称、功能、可能取值及缺省值、适用规模和命令等。

表 7.4 优化工具箱中控制参数(`options`)的功能

序号	参数名称	功能和含义	可能取值和缺省值	规模	适用命令
1	DerivativeCheck	用户定义的分析导数(梯度或雅可比矩阵、黑塞矩阵)与有限差分计算的数值导数进行比较	'on' 'off'(缺省值)	B	fgoalattain, fmincon, fminimax, fminunc, fseminf, fsolve, lsqcurvefit, lsqnonlin
2	Diagnostics	输出被优化或求解的函数的有关诊断信息	'on' 'off'(缺省值)	B	除 fminbnd, fminsearch, fzero, lsqnonneg 以外
3	Display	程序运行的显示级别	'off'(不显示) 'iter'(每步迭代信息) 'final'(最后的信息) 'notify'(迭代不收敛时)	B	全部程序
* 4	GradObj	由用户定义目标函数的梯度函数	'on' 'off'(缺省值)	B	fgoalattain, fmincon, fminimax, fminunc, fseminf
* 5	Jacobian	由用户定义目标函数的雅可比矩阵计算方法	'on' 'off'(缺省值)	B	fsolve, lsqcurvefit, lsqnonlin

续表

序号	参数名称	功能和含义	可能取值和缺省值	规模	适用命令
* 6	LargeScale	如果可能的话, 使用大规模算法	'off'(fsolve 的缺省值) 'on'(其他程序的缺省值)	B	fmincon, fminunc, fsolve, linprog, lsqcurvefit, lsqin, lsqnonlin, quadprog
* 7	MaxFunEvals	函数调用的最大次数	任意正整数	B	fgoalattain, fminbnd, fmincon, fminimax, fminsearch, fminunc, fseminf, fsolve, lsqcurvefit, lsqnonlin
* 8	MaxIter	迭代的最大次数	任意正整数	B	除 fzero 和 lsqnonneg 以外
9	OutputFcn	用户指定一个函数, 在迭代的每一步调用一次这个函数	用户定义的函数名(字符串加单引号或以@引导;下同) [] (缺省值)	B	fgoalattain, fmincon, fminimax, fminunc, fseminf, lsqcurvefit, lsqnonlin
* 10	TolCon	约束函数 g 的精度	任意正数	B	fgoalattain, fmincon, fminimax, fseminf
* 11	TolFun	目标函数 f 的精度	任意正数	B	fgoalattain, fmincon, fminimax, fminsearch, fminunc, fseminf, fsolve, lsqcurvefit, lsqnonlin; 大规模 linprog, lsqin, quadprog
* 12	TolX	解 x 的精度	任意正数	B	除中规模的 linprog, lsqin, quadprog 以外
* 13	Hessian	由用户定义目标函数的黑塞矩阵计算方法	'on' 'off' (缺省值)	L	fmincon, fminunc
14	HessMult	用户定义的黑塞矩阵乘积函数	用户定义的函数名 [] (缺省值)	L	fmincon, fminunc, quadprog
15	HessPattern	用有限差分法计算黑塞矩阵时, 采用稀疏矩阵方式	稀疏矩阵(缺省值为元素全为 1 的稀疏矩阵)	L	fmincon, fminunc
16	JacobMult	用户定义的雅可比矩阵乘积函数	用户定义的函数名 [] (缺省值)	L	fsolve, lsqcurvefit, lsqin, lsqnonlin

续表

序号	参数名称	功能和含义	可能取值和缺省值	规模	适用命令
17	JacobPattern	用有限差分法计算雅可比矩阵时,采用稀疏矩阵方式	稀疏矩阵(缺省值为元素全为 1 的稀疏矩阵)	L	fsolve, lsqcurvefit, lsqnonlin
18	MaxPCGIter	PCG 迭代的最大次数(PCG 是带预处理的共轭梯度法的缩写)	正整数(缺省值为 $\max\{1, \lfloor n/2 \rfloor\}$)	L	fmincon, fminunc, fsolve, lsqcurvefit, lsqlin, lsqnonlin, quadprog
19	PrecondBandWidth	PCG 迭代带宽	正整数 0(缺省值) Inf	L	fmincon, fminunc, fsolve, lsqcurvefit, lsqlin, lsqnonlin, quadprog
20	TolPCG	PCG 迭代的精度	正数(缺省值为 0.1)	L	fmincon, fminunc, fsolve, lsqcurvefit, lsqlin, lsqnonlin, quadprog
21	TypicalX	典型的 x 取值	向量(维数与初始值向量相同,缺省值为元素全为 1 的向量)	L	fmincon, fminunc, fsolve, lsqcurvefit, lsqlin, lsqnonlin, quadprog
22	DiffMaxChange	用有限差分计算梯度时步长的上限	正数(缺省值为 0.1)	M	fgoalattain, fmincon, fminimax, fminunc, fseminf, fsolve, lsqcurvefit, lsqnonlin
23	DiffMinChange	用有限差分计算梯度时步长的下限	正数(缺省值为 $1e-8$)	M	同上
24	GoalsExactAchieve	精确达到的目标个数	正整数 0(缺省值)	M	fgoalattain
25	GradConstr	非线性约束的梯度函数由用户定义	'on' 'off'(缺省值)	M	fgoalattain, fmincon, fminimax
26	HessUpdate	拟牛顿法修改方式	'bfgs'(缺省值) 'dfp' 'gillmurray' 'steepdesc'	M	fminunc
27	LevenbergMarquardt	搜索方向选用 Levenberg-Marquardt 法	'on'(缺省值) 'off'(Gauss-Newton 法)	M	lsqcurvefit, lsqnonlin

续表

序号	参数名称	功能和含义	可能取值和缺省值	规模	适用命令
28	LineSearchType	选择线搜索方法	'cubicpoly' 'quadcubic'(缺省值)	M	fminunc, fsolve, lsqcurvefit, lsqnonlin
29	MaxSQPIter	SQP 迭代的最大次数 (SQP 是顺序二次规划的缩写)	正整数	M	fmincon
30	MeritFunction	多目标优化 (目标优化)	'singleobj' 'multiobj'(缺省值)	M	fgoalattain, fminimax
31	MinAbsMax	$F(x)$ 中达到最坏情形 (按绝对值) 的个数	正整数 0(缺省值)	M	fminimax
32	NonlEqnAlgorithm	搜索方向选用 Levenberg-Marquardt 或 Gauss-Newton 法	'dogleg' (缺省值, 置信域算法) 'lm' (Levenburg-Marquardt) 'gn' (Gauss-Newton)	M	fsolve
33	Simplex	选择单纯形算法	'on' 'off' (缺省值)	M	linprog
34	ActiveCor.strTol	起作用约束的精度	正数		
35	Preconditioner	预处理程序	用户定义的函数名 [] (缺省值)		
36	ShowStatusWindow	显示求解状态窗口信息的级别	'off' 'on' 'iter' 'iterplus' 'final'		

表 7.4 的简单说明:

1. “序号”前带“*”的表示该参数是常用的,读者应尽量掌握。
2. 有些参数没有标出缺省值,说明该参数在不同的优化程序中的缺省值可能不同,需要视具体的优化程序而定。
3. “适用规模”一列中标注的是该参数在哪种算法模式下才适用(表 7.4 是按该列排序的)。在优化工具箱中,每个求解程序都配有大规模算法(L)和中等规模算法(M,也称为标准算法),而标注为 B 则表示该参数在两种算法模式下均适用。粗略地讲,大规模算法主要是针对具有稀疏矩阵结构的问题设计的算法,并通常希望用户提供分析导数(梯度

或雅可比矩阵、黑塞矩阵)。

4. 表 7.4 中最后列出的 3 个参数(序号 34~36)在优化工具箱的在线说明文档中没有提到过,所以我们暂时不清楚它们所适用的算法模式和程序。

5. 在实际使用中,“参数名称”不要求写完全,而且也不区分大小写字母,只要没有歧义即可,如 DerivativeCheck 可以写成 derivative 甚至 DE 等。

控制参数是通过程序 optimset 设定的,有以下几种用法:

```
optimset           % 不带任何输入输出参数时,显示所有的控制参数名及其可能的取值({}内为缺省值)
opt=optimset       % 生成结构变量 opt,其中所有控制参数的取值均为[] (即缺省值)
opt=optimset(optimfun) % 生成结构变量 opt,控制参数取值为命令 optimfun 的缺省值
opt=optimset('p1',v1,'p2',v2,...)
% 生成结构变量 opt,控制参数 p1 取值 v1,p2 取值 v2,...(未指定的参数取值均为[])
new=optimset(old,'p1',v1,'p2',v2,...)
% 生成结构变量 new,控制参数 p1 取值 v1,p2 取值 v2,...(未指定的参数取值同结构变量 old)
opt=optimset(old,new)
% 生成结构变量 opt,采用结构变量 new 中的非空参数值(new 中未指定的参数取值同结构变量 old)
```

要从一个优化参数的结构变量 opt 中读出控制参数,可以使用程序 optimget,有两种用法:

```
v=optimget(opt,'param')           % 从 opt 中读出控制参数 param 的值(赋给变量 v)
v=optimget(opt,'param',default)   % 同上,若 opt 中没有指定参数值,则取值为 default
```

下面的例子说明控制参数中一部分参数的用法。

例 4 求解 $\min \frac{x_1^2}{a} + \frac{x_2^2}{b}$, $a=10, b=1$, 观察中间结果;将解和函数值的精度提高到 10^{-16} , 给出迭代次数及结果的函数值。

解 与例 2 的区别除了 a, b 的数值以外,还需要观察中间结果,程序为

```
a=10;b=1;x0=[1,1];           % 初始值
opt=optimset('fminunc');       % 程序 fminunc 缺省的控制参数
opt=optimset(opt,'Disp','iter'); % 设定输出中间结果
x=fminunc(@exam0702fun,x0,opt,a,b)
```

输出为:

Iteration	Func-count	f(x)	Step-size	Directional derivative
0	3	1.1		
1	9	0.0809191	0.504495	7.81e-009


```

2      16      7.93057e-017      4.95545      4.08e-010
3      17      6.10623e-017      1      -5.52e-016
Optimization terminated successfully:
Search direction less than 2 * options.TolX
x=1.0e-008*      0.7451      -0.7451

```

表明经 3 次迭代得 $x_1 = 0.7451 \times 10^{-8}$, $x_2 = -0.7451 \times 10^{-8}$ (查看 opt 的值知缺省控制精度 opt.TolFun = opt.TolX = 10^{-6} , 程序 fminunc 要求这两个精度同时达到才停止迭代, 而优化工具箱中的其他程序通常只要达到其中一个精度就停止迭代). 中间结果给出了迭代次数、目标函数调用次数、函数值、步长、搜索方向导数值(1-范数).

要将精度提高到 10^{-16} , 只给出迭代次数及结果的函数值, 不看中间结果, 可如下利用控制精度:

```

a=10;b=1;x0=[1,1];          % 初始值
opt=optimset('fminunc');      % 程序 fminunc 缺省的控制参数
opt=optimset(opt,'tolx',1e-16,'tolf',1e-16); % 设定控制精度
[x,f,ef,out]=fminunc(@exam0702fun,x0,opt,a,b)

```

输出结果为:

```

x = 1.0e-010*      -0.8735      -0.1866
f = 1.1112e-021      % 函数值
ef = 1
out =
    iterations : 5          % 迭代次数
    funcCount : 30          % 目标函数调用次数
    stepsize : 0.0951
    firstorderopt : 1.5044e-008
    algorithm : 'medium-scale : Quasi-Newton line search'

```

7.3.5 fminunc 和 lsqnonlin、lsqcurvefit 的算法选择

fminunc 目前为无约束优化的搜索方向提供了 4 种算法, 由 HessUpdate 参数控制:

HessUpdate='bfgs' (拟牛顿法的 BFGS 公式, 缺省值)

HessUpdate='dfp' (拟牛顿法的 DFP 公式)

HessUpdate='gillmurray' (拟牛顿法的 Gill-Murray 公式, MATLAB 中不再使用)

HessUpdate='steepdesc' (最速下降法)

lsqnonlin 和 lsqcurvefit 为非线性最小二乘拟合的下降方向提供了两种算法, 由 LevenbergMarquardt 控制:

LevenbergMarquardt='off' (Gauss-Newton 法(GN))

LevenbergMarquardt='on' (Levenberg-Marquardt 法(LM), 缺省值)

fminunc, lsqnonlin 和 lsqcurvefit 目前为无约束优化的步长一维搜索提供了两种算法, 由 LineSearchType 控制:

LineSearchType='quadcubic'(缺省值), 混合的二次和三次多项式插值;

LineSearchType='cubicpoly', 三次多项式插值.

用下面的例子说明 fminu 的算法选择和比较.

例 5 Rosenbrock 函数

$$f(x_1, x_2) = 100(x_2 - x_1^2)^2 + (1 - x_1)^2$$

的最优解(极小)为 $x^* = (1, 1)$, 极小值为 $f^* = 0$. 试用不同算法(搜索方向和步长搜索)求数值最优解, 初始值选为 $(-1.9, 2)$.

解 为获得直观认识, 先画出 Rosenbrock 函数的三维图形和等高线图(图 7.3):

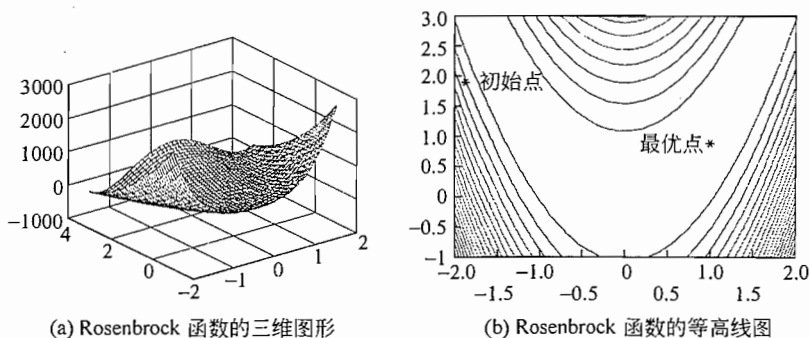


图 7.3

```
[x,y]=meshgrid(-2:0.1:2,-1:0.1:3);           % 产生二维数组集合
z=100*(y-x.^2).^2+(1-x);
mesh(x,y,z)                                     % 画三维网格图
pause;
contour(x,y,z,20)                              % 画等高线图(20条)
```

可以看出, Rosenbrock 函数呈绕过原点的弯曲形状(该函数形象地称为香蕉函数), 从初始点到最优点有一狭长通道, 不利于沿负梯度方向下降, 是检验优化算法性能的有名的函数.

用 4 种搜索方向(BFGS, DFP, GillMurray 和最速下降法)及两种步长搜索(混合二、三次插值和三次插值)计算:

```
function f=exam0705fun(x)                       % 建立 exam0705fun.m 文件
f=100*(x(2)-x(1)^2)^2+(1-x(1))^2;
```

```

% comparing different algorithms : without using gradient vector
format short e
x0 = [-1.9, 2];
'---case1 : bfgs, hybrid 2,3 poly-----'
opt1 = optimset('LargeScale','off', 'MaxFunEvals',1000);
[x1,v1,exit1,out1] = fminunc('exam0705fun',x0,opt1)
pause
'---case2 : dfp, hybrid 2,3 poly-----'
fopt = optimset(opt1,'HessUpdate','dfp');
[x2,v2,exit2,out2] = fminunc('exam0705fun',x0,fopt)
pause
'---case3 : gillmurray, hybrid 2,3 poly-----'
fopt = optimset(opt1,'HessUpdate','gillmurray');
[x3,v3,exit3,out3] = fminunc('exam0705fun',x0,fopt)
pause
'---case4 : steep, hybrid 2,3 poly-----'
fopt = optimset(opt1,'HessUpdate','steepdesc');
[x4,v4,exit4,out4] = fminunc('exam0705fun',x0,fopt)
pause
'---case5 : bfgs, 3rd poly-----'
opt2 = optimset(opt1,'LineSearchType','cubicpoly');
[x5,v5,exit5,out5] = fminunc('exam0705fun',x0,opt2)
pause
'---case6 : dfp, 3rd poly-----'
fopt = optimset(opt2,'HessUpdate','dfp');
[x6,v6,exit6,out6] = fminunc('exam0705fun',x0,fopt)
pause
'---case7 : gillmurray, 3rd poly-----'
fopt = optimset(opt2,'HessUpdate','gillmurray');
[x7,v7,exit7,out7] = fminunc('exam0705fun',x0,fopt)
pause
'---case8 : steep, 3rd poly-----'
fopt = optimset(opt2,'HessUpdate','steepdesc');
[x8,v8,exit8,out8] = fminunc('exam0705fun',x0,fopt)
pause
'+ + + + results of solutions + + + + +'
solutions = [x1;x2;x3;x4;x5;x6;x7;x8];
funvalues = [v1;v2;v3;v4;v5;v6;v7;v8];

```

```
iterations = [out1.funcCount; out2.funcCount; out3.funcCount; out4.funcCount; out5.funcCount; out6.
funcCount; out7.funcCount; out8.funcCount];
[solutions, funvalues, iterations]
```

将各种算法的计算结果列入表 7.5.

表 7.5 Rosenbrock 函数不同算法的计算结果

情况	搜索方向	步长搜索	最优解 x_1	最优解 x_2	最优值	目标函数调用次数
1	bfgs	混合二、三次插值	9.9985e-001	9.9969e-001	2.4362e-008	161
2	dfp		9.9999e-001	9.9999e-001	5.3925e-011	180
3	gillmurray		9.9985e-001	9.9970e-001	2.3209e-008	161
4	Steepestdesc		-8.0373e-001	6.5241e-001	3.2576e+000	1004*
5	bfgs	三次插值	9.9999e-001	9.9998e-001	9.6801e-011	160
6	dfp		9.9987e-001	9.9975e-001	3.7474e-008	235
7	gillmurray		1.0000e+000	1.0000e+000	3.2040e-010	166
8	Steepestdesc		-1.2156e+000	1.4862e+000	4.9162e+000	1003*

* 增加迭代次数也不能改善结果。

在上述结果中以 BFGS 和混合二、三次插值算法的性能(即缺省参数值所给出的)较好,而最速下降法效果并不好(这里根本不收敛)。

MATLAB 中将这个函数作为优化方法的演示例子(demo),大家可以从它的动态演示中清楚地看到各种算法迭代的路径和速度。

本题函数是平方和的形式,因此也可以用最小二乘法程序 lsqnonlin 求解。首先编写如下函数:

```
function f = exam0705lsqfun(x)
f(1) = 10 * (x(2) - x(1)^2);
f(2) = 1 - x(1);
```

然后输入:

```
x0 = [-1.9, 2];
opt1 = optimset('LargeScale','off', 'MaxFunEvals', 1000); % 缺省为 LM 法
[x1, norm1, res1, exit1, out1] = lsqnonlin('exam0705lsqfun', x0, [], [], opt1)
opt2 = optimset(opt1, 'LevenbergMarquardt','off'); % 改为 GN 法
[x2, norm2, res2, exit2, out2] = lsqnonlin('exam0705lsqfun', x0, [], [], opt2)
```

计算结果:最优解均为(1.0000, 1.0000),但 LM 法迭代了 18 次(目标函数调用 118

次),而 GN 法迭代了 11 次(目标函数调用 70 次).注意:由于一次迭代中可能要多次调用目标函数,因此目标函数调用次数与迭代次数不是同一个概念.

7.3.6 梯度计算

从 7.2 节我们知道,无论是最速下降法还是拟牛顿法的 BFGS、DFP 或 Mill-Gurray 公式,都要计算函数的梯度. MATLAB 采用两种方法计算导数:数值方法用函数的差分作为梯度的近似;分析方法给出精确的梯度.上面例子中用的程序都是数值方法,若用分析方法则应计算目标函数的梯度,并将其写入目标函数所在的 M 文件.

以 Rosenbrock 函数为例说明如下.

```
function [f,g]=exam0705grad(x)           % 建立含梯度的 exam0705grad.m 文件
f= 100 * (x(2)-x(1)^2)^2 + (1-x(1))^2;   % 计算函数值
if nargin > 1                             % 当函数用两个输出参数调用时
g(1)= -2 * (1-x(1)) - 400 * x(1) * (x(2)-x(1)^2); % 计算梯度值
g(2)= 200 * (x(2)-x(1)^2);
end
```

与上面例子中一样,只是需要将 GradObj 参数设置为'on'.如对于情况 1 输入:

```
x=[-1.9,2];
opt1=optimset('LargeScale','off','MaxFunEvals',1000,'GradObj','on');
[x1,v1,exit1,out1]=fminunc('exam0705grad',x0,opt1)
```

将用分析方法给出梯度的计算结果列入表 7.6,与数值方法相比较,通常分析方法要好一些.

表 7.6 Rosenbrock 函数用分析方法计算梯度的结果

情况	搜索方向	步长搜索	最优解 x_1	最优解 x_2	最优值	目标函数调用次数
1	bfgs	混合二、三次插值	1.0001e+000	1.0002e+000	8.9856e-009	106
2	dfp		1.0001e+000	1.0003e+000	2.2515e-008	110
3	gillmurray		1.0001e+000	1.0002e+000	8.9856e-009	106
4	Steepestdesc		-2.5150e-001	8.2350e-002	1.6027e+000	1002
5	bfgs	三次插值	1.0000e+000	1.0001e+000	1.2748e-009	54
6	dfp		1.0007e+000	1.0015e+000	6.2856e-007	202
7	gillmurray		9.9999e-001	9.9998e-001	6.4839e-009	56
8	steepestdesc		-1.0590e+000	1.1245e+000	4.2404e+000	402

同样,最小二乘算法中也可以采用分析导数(雅可比矩阵):

```
function [f,g]=exam0705jacob(x)           % 建立含雅可比矩阵的 exam0705jacob.m 文件
f=[10*(x(2)-x(1)^2),1-x(1)];
if nargin > 1                             % 当函数用两个输出参数调用时
    g=[-20*x(1),10;-1,0];
end

x0=[-1.9,2];
opt1=optimset('LargeScale','off','MaxFunEvals',1000,'Jacobian','on');
[x1,norm1,res1,exit1,out1]=lsqnonlin('exam0705jacob',x0,[],[],opt1)
```

得到的结果与用导数数值时类似,迭代次数并没有减少,只是函数调用次数减少了(为什么?).

lsqcurvefit 和 fsolve 中采用分析导数(雅可比矩阵)的方法也与此类似.

7.3.7 几点注意事项

计算过程中接近最优解时,由于梯度计算中截断误差或舍入误差等因素的影响,可能会出现因矩阵病态使收敛太慢等警告信息,一般情况下只要能够继续算下去就可以忽略.如果要改进结果,可以从以下几方面考虑.

1. 改变算法

一般情况下程序中控制参数的缺省值所给出的是比较好的方法,但应注意 MATLAB 提供的算法没有绝对的优劣之分.最速下降法特别不适于从一狭长通道到达最优解的情况;如果函数高度非线性或者严重不连续,可以考虑改用只用函数值、不计算导数的程序 fminsearch.

2. 利用分析方法计算梯度

由于数值方法计算梯度中步长选择、截断误差等的影响,一般说来用分析方法计算的梯度结果较好.

3. 改变初始值

初值的选择对于迭代过程的收敛快慢影响很大.更为重要的是,用任何算法由一个初值得到的只是局部最优解,如果函数存在多个局部最优,那么只有具体问题具体分析,或改变初值,对局部最优进行比较,才有可能得到全局最优解.

4. 其他

精度要求要适中,不要不必要地提高精度;迭代次数上限、函数调用次数上限等也要适中.实际中的大规模问题通常具有稀疏结构,应充分利用这种结构,选择大规模方法并控制优化参数.

7.3.8 产销量的最佳安排(续)

7.1.1 小节中已经建立了模型(3),问题表述为求两种型号甲和乙的产量 x_1, x_2 , 使总利润 $z(x_1, x_2)$ 最大. 为了用 MATLAB 优化工具箱的 `fminunc` 求解这个无约束优化模型, 令 $y(x_1, x_2) = -z(x_1, x_2)$, 将问题转化为求解

$$\min_{x_1, x_2} y(x_1, x_2) = -(b_1 - a_{11}x_1 - a_{12}x_2 - r_1 e^{-\lambda_1 x_1} - c_1)x_1 - (b_2 - a_{21}x_1 - a_{22}x_2 - r_2 e^{-\lambda_2 x_2} - c_2)x_2. \quad (29)$$

为确定计算过程的初始值, 先忽略成本, 并令价格中的较小的系数 a_{12} 和 a_{21} 等于零, 问题简化为求

$$z_1 = (b_1 - a_{11}x_1)x_1 + (b_2 - a_{22}x_2)x_2 \quad (30)$$

的极值, 显然其解为 $x_1 = b_1/2a_{11}$, $x_2 = b_2/2a_{22}$, 我们用它作为原问题的初始值.

设定如下一组数据: $b_1 = 100, a_{11} = 1, a_{12} = 0.1, b_2 = 280, a_{21} = 0.2, a_{22} = 2, r_1 = 30, \lambda_1 = 0.015, c_1 = 20, r_2 = 100, \lambda_2 = 0.02, c_2 = 30$, 编程计算:

```
function y=fun(x)
y1=((100-x(1)-0.1*x(2))-(30*exp(-0.015*x(1))+20))*x(1);
y2=((280-0.2*x(1)-2*x(2))-(100*exp(-0.02*x(2))+30))*x(2);
y=-y1-y2;

x0=[50,70];
[x,y]=fminunc(@fun,x0);
z=-y
```

得到

```
x=23.9025 62.4977 z=6.4135e+003
```

即甲的产量为 23.9025, 乙的产量为 62.4977, 最大利润为 6413.5.

7.3.9 飞机的精确定位(续)

为了求解 7.1.2 小节的无约束最小二乘拟合问题(6), 编写如下函数 M 文件:

```
function f=shili02fun(x,x0,y0,theta,sigma,d4,sigma4)
for i=1:3
f(i)=(atan2(x(1)-x0(i),x(2)-y0(i))-theta(i))/sigma(i);
end
f(4)=(sqrt((x(1)-x0(4))^2+(x(2)-y0(4))^2)-d4)/sigma4;
```

代入所给数据作如下计算:

```

X=[746 629 1571 155];
Y=[1393 375 259 987];
theta=[161.2,45.1,309.0-360]*2*pi/360;          % 角度转换
sigma=[0.8,0.6,1.3]*2*pi/360;
d4=864.3;
sigma4=2;
x0=[900,700];                                     % 初值
[x,norm,res,exit,out]=lsqnonlin(@shili02fun,x0,[],[],X,Y,theta,sigma,d4,sigma4)

```

得到

```

x=[978.3070,723.9838]
norm=0.6685
res=[-0.4361 -0.1225 -0.6807 -0.0007]

```

即飞机的坐标为(978.3070,723.9838),误差的平方和为0.6685.

7.4 实验练习

实验目的

1. 掌握 Matlab 优化工具箱的基本用法,对不同算法进行初步分析、比较.
2. 练习用无约束优化方法建立和求解实际问题的模型(包括非线性最小二乘拟合).

实验内容

1. 取不同的初值计算下列平方和形式的非线性规划,尽可能求出所有局部极小点,进而找出全局极小点,并对不同算法(搜索方向、搜索步长、数值梯度与分析梯度等)的结果进行分析、比较.

$$(1) \min (x_1^2 + x_2 - 11)^2 + (x_1 + x_2^2 - 7)^2.$$

$$(2) \min (x_1^2 + 12x_2 - 1)^2 + (49x_1^2 + 49x_2^2 + 84x_1 + 2324x_2 - 681)^2.$$

$$(3) \min (x_1 + 10x_2)^2 + 5(x_3 - x_4)^2 + (x_2 - 2x_3)^4 + 10(x_1 - x_4)^4.$$

$$(4) \min 100\{[x_3 - 10\theta(x_1, x_2)]^2 + [(x_1^2 + x_2^2)^{1/2} - 1]^2\} + x_3^2, \text{ 其中}$$

$$\theta(x_1, x_2) = \begin{cases} \frac{1}{2\pi} \arctan(x_2/x_1), & x_1 > 0, \\ \frac{1}{2\pi} \arctan(x_2/x_1) + \frac{1}{2}, & x_1 < 0. \end{cases}$$

2. 取不同的初值计算下列非线性规划,尽可能求出所有局部极小点,进而找出全局极小点,并对不同算法(搜索方向、搜索步长、数值梯度与分析梯度等)的结果进行分析、比较.

$$(1) \min z = (x_1 x_2)^2 (1 - x_1)^2 [1 - x_1 - x_2 (1 - x_1)^5]^2.$$

$$(2) \min z = e^{-x_1 - x_2} (2x_1^2 + 3x_2^2).$$

$$(3) \min z = (x_1 - 2)^2 + (x_2 - 1)^2 + \frac{0.04}{-0.25x_1^2 - x_2^2 + 1} + 5(x_1 - 2x_2 + 1)^2.$$

$$(4) \min z = -\frac{1}{(x-a_1)^T(x-a_1)+c_1} - \frac{1}{(x-a_2)^T(x-a_2)+c_2}, x \in \mathbb{R}^2.$$

其中 $(c_1, c_2) = (0.7, 0.73)$, $a_1 = (4, 4)^T$, $a_2 = (2.5, 3.8)^T$.

3. 如图 7.4 所示, 一个简单的电路由 3 个固定电阻 R_1, R_2, R_3 和一个可调电阻 R_a 组成, 其中 $V=80V$, $R_1=8\Omega$, $R_2=12\Omega$, $R_3=10\Omega$. 如何调整可调电阻 R_a , 才能使该电阻消耗的能量尽量大? 讨论当电压 V 在 $45V \sim 105V$ 之间变化时, 该最大能量和对应的电阻如何变化? 如果 R_3 和 R_a 都是可调电阻, 如何调整这两个可调电阻使它们消耗的总能量尽量大?

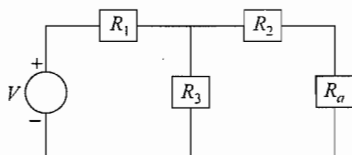


图 7.4 第 3 题图

4. 某海岛上有 12 个主要的居民点, 每个居民点的位置(用平面坐标 x, y 表示, 距离单位: km)和居住的人数 R 如表 7.7 所示. 现在准备在岛上建一个服务中心为居民提供各种服务, 那么服务中心应该建在何处?

表 7.7

居民点	1	2	3	4	5	6	7	8	9	10	11	12
x	0	8.20	0.50	5.70	0.77	2.87	4.43	2.58	0.72	9.76	3.19	5.55
y	0	0.50	4.90	5.00	6.49	8.76	3.26	9.32	9.96	3.16	7.20	7.88
R	600	1000	800	1400	1200	700	600	800	1000	1200	1000	1100

5. 某分子由 25 个原子组成, 并且已经通过实验测量得到了其中某些原子对之间的距离(假设在平面结构上讨论), 如表 7.8 所示. 请你确定每个原子的位置关系.

6. 有一组数据 (t_i, y_i) ($i=1, \dots, 33$), 其中 $t_i=10(i-1)$, y_i 由表 7.9 给出. 现要用这组数据拟合函数

$$f(x, t) = x_1 + x_2 e^{-x_4 t} + x_3 e^{-x_5 t}$$

中的参数 x , 初值可选为 $(0.5, 1.5, -1, 0.01, 0.02)$, 用 GN 和 LM 两种方法求解. 对 y_i 作一扰动, 即 $y_i + e_i$, e_i 为 $(-0.05, 0.05)$ 内的随机数, 观察并分析迭代收敛是否会变慢.

表 7.8

原子对	距离	原子对	距离	原子对	距离	原子对	距离
(4,1)	0.9607	(5,4)	0.4758	(18,8)	0.8363	(15,13)	0.5725
(12,1)	0.4399	(12,4)	1.3402	(13,9)	0.3208	(19,13)	0.7660
(13,1)	0.8143	(24,4)	0.7006	(15,9)	0.1574	(15,14)	0.4394
(17,1)	1.3765	(8,6)	0.4945	(22,9)	1.2736	(16,14)	1.0952
(21,1)	1.2722	(13,6)	1.0559	(11,10)	0.5781	(20,16)	1.0422
(5,2)	0.5294	(19,6)	0.6810	(13,10)	0.9254	(23,16)	1.8255
(16,2)	0.6144	(25,6)	0.3587	(19,10)	0.6401	(18,17)	1.4325
(17,2)	0.3766	(8,7)	0.3351	(20,10)	0.2467	(19,17)	1.0851
(25,2)	0.6893	(14,7)	0.2878	(22,10)	0.4727	(20,19)	0.4995
(5,3)	0.9488	(16,7)	1.1346	(18,11)	1.3840	(23,19)	1.2277
(20,3)	0.8000	(20,7)	0.3870	(25,11)	0.4366	(24,19)	1.1271
(21,3)	1.1090	(21,7)	0.7511	(15,12)	1.0307	(23,21)	0.7060
(24,3)	1.1432	(14,8)	0.4439	(17,12)	1.3904	(23,22)	0.8052

表 7.9

i	y_i	i	y_i	i	y_i
1	0.844	12	0.718	23	0.478
2	0.908	13	0.685	24	0.467
3	0.932	14	0.658	25	0.457
4	0.936	15	0.628	26	0.448
5	0.925	16	0.603	27	0.438
6	0.908	17	0.580	28	0.431
7	0.881	18	0.558	29	0.424
8	0.850	19	0.538	30	0.420
9	0.818	20	0.522	31	0.414
10	0.784	21	0.506	32	0.411
11	0.751	22	0.490	33	0.406

7. 经济学中著名的 Cobb-Douglas 生产函数的一般形式为

$$Q(K, L) = aK^\alpha L^\beta, \quad 0 < \alpha, \beta < 1$$

其中 Q, K, L 分别表示产值、资金、劳动力, 式中 α, β, a 要由经济统计数据确定. 现有《中国统计年鉴(2003)》给出的统计数据如表 7.10, 请用非线性最小二乘拟合求出式中的 α, β, a , 并解释 α, β 的含义.

表 7.10

年份	总产值/万亿元	资金/万亿元	劳动力/亿人
1984	0.7171	0.0910	4.8179
1985	0.8964	0.2543	4.9873
1986	1.0202	0.3121	5.1282
1987	1.1962	0.3792	5.2783
1988	1.4928	0.4754	5.4334
1989	1.6909	0.4410	5.5329
1990	1.8548	0.4517	6.4749
1991	2.1618	0.5595	6.5491
1992	2.6638	0.8080	6.6152
1993	3.4634	1.3072	6.6808
1994	4.6759	1.7042	6.7455
1995	5.8478	2.0019	6.8065
1996	6.7885	2.2914	6.8950
1997	7.4463	2.4941	6.9820
1998	7.8345	2.8406	7.0637
1999	8.2068	2.9854	7.1394
2000	9.9468	3.2918	7.2085
2001	9.7315	3.7314	7.3025
2002	10.4791	4.3500	7.3740

其中总产值取自“国内生产总值”，资金取自“固定资产投资”，劳动力取自“就业人员”。

8. 给药方案设计需要依据药物吸收与排除过程的原理. 药物进入机体后随血液输送到全身,不断地被吸收、分布、代谢,最终排出体外. 药物在血液中的浓度,即单位体积血液中的药物含量,称血药浓度. 在最简单的一室模型中,将整个机体看作一个房室,称中心室,室内的血药浓度是均匀的. 这里我们用一室模型,讨论在口服给药方式下血药浓度的变化规律,及根据实验数据拟合参数的方法.

口服给药方式相当于先有一个将药物从肠胃吸收入血液的过程,这个过程可简化为在药物进入中心室之前有一个吸收室(如图 7.5 所示),记中心室和吸收室的容积分别为 V, V_1 ,而 t 时刻的血药浓度分别为 $c(t), c_1(t)$;中心室的排除速率为 k ,吸收速率为 k_1 (这里 k 和 k_1 分别是中心室和吸收室血药

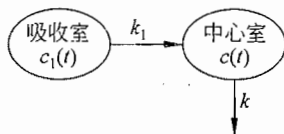


图 7.5 口服给药方式下的一室模型

浓度变化率与浓度本身的比例系数). 设 $t=0$ 时刻口服剂量为 d 的药物, 容易写出吸收室的血药浓度 $c_1(t)$ 的微分方程为

$$\begin{cases} \frac{dc_1}{dt} = -k_1 c_1, \\ c_1(0) = \frac{d}{V_1}. \end{cases}$$

中心室血药浓度 $c(t)$ 的变化率由两部分组成: 与 c 成正比的排除(比例系数 k); 与 c_1 成正比的吸收(比例系数 k_1).

再考虑到中心室和吸收室的容积分别为 V, V_1 , 得到 $c(t)$ 的微分方程为

$$\begin{cases} \frac{dc}{dt} = -kc + \frac{V_1}{V} k_1 c_1, \\ c(0) = 0. \end{cases}$$

由以上两个微分方程不难解出中心室血药浓度

$$c(t) = \frac{d}{V} \frac{k_1}{k_1 - k} (e^{-kt} - e^{-k_1 t}).$$

在制定给药方案时必须知道这种药物的 3 个参数 $k_1, k, b(=d/V)$, 实际中通常通过实验数据确定. 设 $t=0$ 时刻口服一定剂量的药物, 表 7.11 是实验数据 $c(t)$, 请由此确定 k, k_1, b .

表 7.11

t	0.083	0.167	0.25	0.50	0.75	1.0	1.5
$c(t)$	10.9	21.1	27.3	36.4	35.5	38.4	34.8
t	2.25	3.0	4.0	6.0	8.0	10.0	12.0
$c(t)$	24.2	23.6	15.7	8.2	8.3	2.2	1.8

参考文献

- 1 姜启源, 何青, 高立. 数学实验. 北京: 高等教育出版社, 1999
- 2 袁亚湘, 孙文瑜. 最优化理论与方法. 北京: 科学出版社, 1997
- 3 陈宝林. 最优化理论与算法. 北京: 清华大学出版社, 1989
- 4 Bradley S P, Hax A C, Magnanti T L. Applied Mathematical Programming. Addison-Wesley Publishing Company, 1977(中译本: 《应用数学规划》. 北京: 机械工业出版社, 1983)
- 5 Gill P E, Murray W, Wright M H. Practical Optimization. London: Academic Press, 1981
- 6 The MathWorks Inc. Optimization Toolbox User's Guide, <http://www.mathworks.com>
- 7 飞思科技产品研发中心. MATLAB 6.5 辅助优化计算与设计. 北京: 电子工业出版社, 2003
- 8 Floudas C A, Pardalos P M, Adjiman C S, et al. Handbook of Test Problems in Local and Global

- Optimization. Dordrecht: Kluwer Academic Publishers, 1999
- 9 Himmelblau D M. Applied Nonlinear Programming. McGraw-Hill Book Company, 1972 (中译本:《实用非线性规划》. 北京: 科学出版社, 1981)
 - 10 Gander W, Hiebicsek J. Solving Problems in Scientific Computing Using Maple and MATLAB (Third Ed.). Springer, 1997

实验 8

约束优化

实验 7 中我们已经给出了优化问题的数学规划模型的一般形式(其中 min 也可以是 max):

$$\min z = f(x), \quad x = (x_1, x_2, \dots, x_n)^T \in \mathbb{R}^n, \quad (1)$$

$$\text{s. t. } g_i(x) \leq 0, \quad i = 1, \dots, m. \quad (2)$$

并且介绍了无约束优化(即只有(1)式)的基本解法. 然而, 一个约束优化问题的最优解通常在可行域(由(2)式界定)的边界上取得, 不能用无约束优化的方法求解, 必须研究最优解位于可行域边界时的解法. 当变量数目 n 和约束数目 m 较大, 或者函数 $f(x)$ 和 $g_i(x)$ 比较复杂时, 通常使用的是数值解法.

8.1 节给出几个约束优化的实际问题及其数学模型, 8.2 节、8.3 节分别介绍线性规划和非线性规划的基本解法, 包括 MATLAB 优化工具箱的计算程序, 8.4 节是 8.1 节问题的求解, 8.5 节布置实验练习.

8.1 实例及其数学模型

8.1.1 生产销售计划

问题 一奶制品加工厂用牛奶生产 A_1, A_2 两种普通奶制品, 和 B_1, B_2 两种高级奶制品, B_1, B_2 分别是由 A_1, A_2 深加工开发得到的. 已知每 1 桶牛奶可以在甲类设备上用 12h 加工成 3kg A_1 , 或者在乙类设备上用 8h 加工成 4kg A_2 ; 深加工时, 用 2h 并花 1.5 元加工费, 可将 1kg A_1 加工成 0.8kg B_1 , 也可将 1kg A_2 加工成 0.75kg B_2 . 根据市场需求, 生产的 4 种奶制品全部能售出, 且每公斤 A_1, A_2, B_1, B_2 获利分别为 12 元、8 元、22 元、16 元.

现在加工厂每天能得到 50 桶牛奶的供应, 每天正式工人总的劳动时间最多为 480h, 并且乙类设备和深加工设备的加工能力没有限制, 但甲类设备的数量相对较少, 每天至多能加工 100kg A_1 . 试为该厂制订一个生产销售计划, 使每天的净利润最大, 并讨论以下问题:

(1) 若投资 15 元可以增加供应 1 桶牛奶, 应否作这项投资?

(2) 若可以聘用临时工人以增加劳动时间,付给临时工人的工资最多是每小时几元?

(3) 如果 B_1, B_2 的获利经常有 10% 的波动,波动后是否需要制订新的生产销售计划?

模型 这是一个有约束的优化问题,其模型应包含决策变量、目标函数和约束条件.

决策变量用以表述生产销售计划,它并不是惟一的,我们设 A_1, A_2, B_1, B_2 每天的销售量分别为 x_1, x_2, x_3, x_4 (kg). x_3, x_4 也是 B_1, B_2 的产量. 设工厂用 x_5 (kg) A_1 加工 B_1, x_6 (kg) A_2 加工 B_2 (增设决策变量 x_5, x_6 可以使模型表达更清晰).

目标函数是工厂每天的净利润 z , 即 A_1, A_2, B_1, B_2 的获利之和扣除深加工费, 容易写出 $z = 12x_1 + 8x_2 + 22x_3 + 16x_4 - 1.5x_5 - 1.5x_6$ (元).

约束条件

原料供应: A_1 每天的产量为 $x_1 + x_5$ (kg), 用牛奶 $(x_1 + x_5)/3$ (桶), A_2 每天的产量为 $x_2 + x_6$ (kg), 用牛奶 $(x_2 + x_6)/4$ (桶), 二者之和不得超过每天的供应量 50 (桶);

劳动时间: 每天生产 A_1, A_2 的时间分别为 $4(x_1 + x_5)$ 和 $2(x_2 + x_6)$, 加工 B_1, B_2 的时间分别为 $2x_5$ 和 $2x_6$, 二者之和不得超过总的劳动时间 480h;

设备能力: A_1 每天的产量 $x_1 + x_5$ 不得超过甲类设备的加工能力 100 (kg);

加工约束: 1 (kg) A_1 加工成 0.8 (kg) B_1 , 故 $x_3 = 0.8x_5$; 类似地 $x_4 = 0.75x_6$;

非负约束: $x_1, x_2, x_3, x_4, x_5, x_6$ 均为非负.

由此得如下基本模型:

$$\max z = 12x_1 + 8x_2 + 22x_3 + 16x_4 - 1.5x_5 - 1.5x_6 \quad (3)$$

$$\text{s. t. } \frac{x_1 + x_5}{3} + \frac{x_2 + x_6}{4} \leq 50, \quad (4)$$

$$4(x_1 + x_5) + 2(x_2 + x_6) + 2x_5 + 2x_6 \leq 480, \quad (5)$$

$$x_1 + x_5 \leq 100, \quad (6)$$

$$x_3 = 0.8x_5, \quad (7)$$

$$x_4 = 0.75x_6, \quad (8)$$

$$x_1, x_2, x_3, x_4, x_5, x_6 \geq 0. \quad (9)$$

显然, 目标函数和约束函数都是线性的, 这是一个线性规划 (linear programming, LP), 求出的最优解将给出使净利润最大的生产销售计划, 要讨论的问题需考虑参数的变化对最优解和最优值的影响, 一般称为敏感性 (或灵敏度) 分析.

8.1.2 投资组合

问题 某投资公司经理欲将 50 万元基金用于股票投资, 股票的收益是随机的. 经过慎重考虑, 他从所有上市交易的股票中选择了 3 种股票作为候选的投资对象. 从统计数据和分析得到: 股票 A 每股的年期望收益为 5 元, 标准差为 2 元; 股票 B 每股的年期望收益为 8 元, 标准差为 6 元; 股票 C 每股的年期望收益为 10 元, 标准差也为 10 元; 股票 A, B

收益的相关系数为 $5/24$, 股票 A, C 收益的相关系数为 -0.5 , 股票 B, C 收益的相关系数为 -0.25 . 目前股票 A, B, C 的市价分别为每股 20 元、25 元、30 元(关于随机变量的期望、标准差、相关系数等概念可参看实验 10 或概率论的教科书).

(1) 如果该投资人期望今年得到至少 20% 的投资回报, 应如何投资可以使风险最小(这里用收益的方差或标准差衡量风险)?

(2) 投资回报率与风险的关系如何?

模型 用决策变量 x_1, x_2 和 x_3 分别表示投资股票 A, B, C 的数量. 国内股票通常以“一手”(100 股)为最小单位出售, 所以这里设股票数量以 100 股为单位. 相应地, 期望收益以百元为单位.

记股票 A, B, C 每手(百股)的收益分别为 S_1, S_2 和 S_3 (百元), 根据题意, $S_i (i=1, 2, 3)$ 是一个随机变量, 投资的总收益 $S = x_1 S_1 + x_2 S_2 + x_3 S_3$ 也是一个随机变量. 用 E 和 D 分别表示随机变量的数学期望和方差(标准差的平方), r 表示两个随机变量的相关系数, 则

$$ES_1 = 5, ES_2 = 8, ES_3 = 10, DS_1 = 4, DS_2 = 36, DS_3 = 100, \\ r_{12} = 5/24, r_{13} = -0.5, r_{23} = -0.25.$$

用 cov 表示两个随机变量的协方差, 根据概率论的知识有

$$\begin{aligned} \text{cov}(S_1, S_2) &= r_{12} \sqrt{DS_1} \sqrt{DS_2} = \frac{5}{24} \times 2 \times 6 = 2.5, \\ \text{cov}(S_1, S_3) &= r_{13} \sqrt{DS_1} \sqrt{DS_3} = -0.5 \times 2 \times 10 = -10, \\ \text{cov}(S_2, S_3) &= r_{23} \sqrt{DS_2} \sqrt{DS_3} = -0.25 \times 6 \times 10 = -15. \end{aligned}$$

于是, 投资的总期望收益为

$$Z_1 = ES = x_1 ES_1 + x_2 ES_2 + x_3 ES_3 = 5x_1 + 8x_2 + 10x_3. \quad (10)$$

用总收益的标准差(或方差)衡量投资的风险. 投资总收益的方差为

$$\begin{aligned} Z_2 &= D(x_1 S_1 + x_2 S_2 + x_3 S_3) \\ &= D(x_1 S_1) + D(x_2 S_2) + D(x_3 S_3) + 2\text{cov}(x_1 S_1, x_2 S_2) \\ &\quad + 2\text{cov}(x_1 S_1, x_3 S_3) + 2\text{cov}(x_2 S_2, x_3 S_3) \\ &= x_1^2 DS_1 + x_2^2 DS_2 + x_3^2 DS_3 + 2x_1 x_2 \text{cov}(S_1, S_2) \\ &\quad + 2x_1 x_3 \text{cov}(S_1, S_3) + 2x_2 x_3 \text{cov}(S_2, S_3) \\ &= 4x_1^2 + 36x_2^2 + 100x_3^2 + 5x_1 x_2 - 20x_1 x_3 - 30x_2 x_3. \end{aligned} \quad (11)$$

实际上投资者可能面临许多约束条件, 如是否需要将手头的资金全部用来购买股票, 没有购买股票的资金是否可以存入银行或做其他投资(存入银行一般总是获得没有风险的固定回报率, 即利率). 我们这里假设不一定需要将手头的资金全部用来购买股票, 没有购买股票的资金也闲置不用, 而只考虑可用于投资的资金总额的限制, 即

$$20x_1 + 25x_2 + 30x_3 \leq 5000. \quad (12)$$

当然,还有非负约束

$$x_1, x_2, x_3 \geq 0. \quad (13)$$

一般来说,投资人希望投资收益大而风险小,即 Z_1 最大且 Z_2 最小,是一个多目标优化问题,通常需转化为单目标优化问题来求解。

问题(1)要求投资收益率不低于 20%,即 10 万元,所以由(10)式有

$$5x_1 + 8x_2 + 10x_3 \geq 1000. \quad (14)$$

模型化为在约束(12)~(14)下求投资风险(11)式的最小值。由于约束仍然是线性的,而目标函数(11)式是二次函数,这是最简单的约束非线性规划,称为二次规划(quadratic programming, QP)。

对于问题(2),可以通过给两个目标不同的权重,组合后建立单目标优化模型。

我们引入偏好系数 $\beta(0 \leq \beta \leq 1)$ 表示投资者对收益和风险的偏好程度,对目标 Z_2 和 Z_1 加权,将目标函数表示为

$$\begin{aligned} \min Z = \beta Z_2 - Z_1 = & \beta(4x_1^2 + 36x_2^2 + 100x_3^2 + 5x_1x_2 - 20x_1x_3 \\ & - 30x_2x_3) - (5x_1 + 8x_2 + 10x_3). \end{aligned} \quad (15)$$

当 $\beta=0$ 时,表明投资者是完全的冒险型,不考虑风险;当 β 充分大时,表明投资者是保守型的,希望规避风险;一般的 β 值表明了投资者在收益最大化和风险最小化之间的一种折中。取不同的偏好系数 β ,在约束(12)~(14)下求(15)式的最优解,就可以大致看出投资回报率与风险的关系。

8.1.3 供应与选址

问题 某公司有 6 个建筑工地要开工,每个工地的位置(用平面坐标 x, y 表示,距离单位: km)及水泥日用量 $d(t)$ 由表 8.1 给出。目前有两个临时料场位于 A(5, 1), B(2, 7), 日储量各有 20t。假设从料场到工地之间均有直线道路相连,试制定每天的供应计划,即从 A, B 两料场分别向各工地运送多少吨水泥,使总的吨公里数最小。

为了进一步减少吨公里数,打算舍弃两个临时料场,改建两个新的,日储量仍各为 20t,问应建在何处? 节省的吨公里数有多大?

表 8.1 工地的位置(x, y)及水泥日用量 d

工地	1	2	3	4	5	6
x	1.25	8.75	0.5	5.75	3	7.25
y	1.25	0.75	4.75	5	6.5	7.75
d	3	5	4	7	6	11

模型 记工地的位置为 (a_i, b_i) , 水泥日用量为 $d_i (i=1, \dots, 6)$; 料场位置为 (x_j, y_j) , 日储量为 $e_j (j=1, 2, \text{分别表示 } A, B)$; 从料场 j 向工地 i 的运送量为 c_{ij} 。这个优化问题的

目标函数(总吨公里数)可表示为

$$\min f = \sum_{j=1}^2 \sum_{i=1}^6 c_{ij} \sqrt{(x_j - a_i)^2 + (y_j - b_i)^2}. \quad (16)$$

各工地的日用量必须满足,所以

$$\sum_{j=1}^2 c_{ij} = d_i, \quad i = 1, \dots, 6. \quad (17)$$

各料场的运送量不能超过日储量,所以

$$\sum_{i=1}^6 c_{ij} \leq e_j, \quad j = 1, 2. \quad (18)$$

问题归结为在约束(17),(18)及决策变量非负的条件下,使(16)式最小. 当使用临时料场时决策变量只有 c_{ij} , 是线性规划模型; 当为新建料场选址时决策变量为 c_{ij} 和 x_j, y_j , 由于目标函数 f 对 x_j, y_j 是非线性的, 所以是非线性规划(nonlinear programming, NLP).

8.2 线性规划的基本原理和解法

8.2.1 二维线性规划的图解法

我们从只有两个变量时的图解法入手, 看一个例子:

例 1 求解线性规划

$$\begin{aligned} \max z &= 3x_1 + x_2 \\ \text{s. t. } x_1 - x_2 &\geq -2, \\ x_1 - 2x_2 &\leq 2, \\ 3x_1 + 2x_2 &\leq 14, \\ x_1, x_2 &\geq 0. \end{aligned}$$

解 如果将前 3 个约束条件的不等号改成等号, 是平面上的如下 3 条直线:

$$\begin{aligned} L_1: x_1 - x_2 &= -2, \\ L_2: x_1 - 2x_2 &= 2, \\ L_3: 3x_1 + 2x_2 &= 14. \end{aligned}$$

在平面上作图后不难判断(参见图 8.1), 可行域是由 3 条直线 L_1, L_2, L_3 及坐标轴在第一象限围成的 5 边形 $OQ_1Q_2Q_4Q_3$, 其顶点的坐标可以求出, 分别为 $O(0, 0), Q_1(0, 2), Q_2(2, 4), Q_4(4, 1), Q_3(2, 0)$.

当目标函数 $z = 3x_1 + x_2$ 取不同值时, 表示一组平行直线, 如图 8.1 中过 O, Q_1, Q_2, Q_3, Q_4 点的虚线, 其函数值 z 分别为 $z_1 = 0, z_2 = 2, z_3 = 6, z_4 = 10, z_5 = 13$. 由于这组直线向右移动时函数值是增加的(想想为什么), 所以最优解一定在 Q_4 点得到: $x_1 = 4, x_2 = 1$, 最优值为 $z_{\max} = z_5 = 13$.

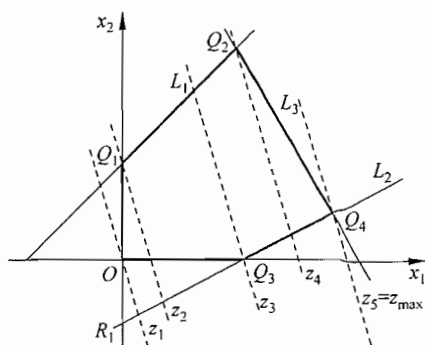


图 8.1 例 1 的图解法

可以看出,由于线性规划的约束条件和目标函数均为线性函数,所以对于二维情形,可行域为直线组成的凸多边形,目标函数的等值线为直线,等值线沿着与其垂直的一个方向(法线方向,即等值线上的点的梯度方向)移动时,函数值是增加的(沿相反方向移动时,函数值减少).这样,最优解一定在凸多边形的某个顶点取得.

从二维例子的几何意义可以看出,线性规划的解还会有下列情形出现:

- 可行域为空集(如第 3 个约束条件改为 $-3x_1 + 2x_2 \geq 14$),无可行解.
- 可行域无界(如将第 3 个约束条件去掉),则可能无最优解(即最优值无界).注意:可行域无界时也可能有最优解,如对于例 1 若目标为 z 取极小,则将第 3 个约束条件去掉后仍有最优解.
- 最优解在凸多边形的一条边上取得(如第 3 个约束条件改为 $3x_1 + x_2 \leq 14$, L_3 将与目标函数的等值线平行),则有无穷多个最优解.

8.2.2 线性规划的单纯形算法

1. 线性规划的标准形

二维的情况可以推广到多维:线性规划的可行域是超平面组成的凸多面体,等值线是超平面,最优解在凸多面体的某个顶点取得.凸多面体的顶点如何得到呢?在前面的例 1 中,对每个不等式约束,我们总是考虑在第一象限画出对应的等式所代表的直线.可以想到,为了便于用线性代数的方法处理,将约束条件中的不等式直接化为等式是有帮助的.实际上,每个线性规划模型都可以表达成如下的等式约束形式:

$$\begin{aligned} \min z &= c^T x \\ \text{s. t. } Ax &= b, \\ x &\geq 0. \end{aligned} \quad (19)$$

其中 $x = (x_1, x_2, \dots, x_n)^T$ 是决策向量, $c = (c_1, c_2, \dots, c_n)^T$ 是费用向量, $A = (a_{ij})_{m \times n}$ ($m \leq n$)

是约束矩阵(行满秩), $b = (b_1, b_2, \dots, b_m)^T$ 是右端项向量(可以要求 b 是非负向量). 这种形式称为线性规划的标准形.

一个不是标准形式的线性规划, 可以通过以下几个等价变换变成标准形:

(1) 如果目标函数是求极大, 则利用 $\max z \Leftrightarrow \min(-z)$ 化为求极小.

(2) 如果约束条件中有形如 $Ax \leq b$ 的不等式, 可以在不等式左边加入松弛变量(slack variables)化为等式; 对于“ $Ax \geq b$ ”形式的不等式, 则可以在不等式左边减去剩余变量(surplus variables)化为等式(相当于不等式两边同时乘以 -1 , 变为“ $-Ax \leq -b$ ”以后再同上处理). 如例 1 可增加一个剩余变量(记为 x_3)和两个松弛变量(记为 x_4, x_5), 将 3 个不等式的约束化为

$$-x_1 + x_2 + x_3 = 2, \quad x_3 \geq 0.$$

$$x_1 - 2x_2 + x_4 = 2, \quad x_4 \geq 0.$$

$$3x_1 + 2x_2 + x_5 = 14, \quad x_5 \geq 0.$$

可见, 松弛变量和剩余变量只是相对的, 没有本质区别.

(3) 如果某个 x_j 没有非负约束, 可令 $x_j = x'_j - x''_j; x'_j, x''_j \geq 0$; 如果原来约束为 $x_j \geq l_j$, 可令 $x'_j = x_j - l_j, x'_j \geq 0$.

约束条件中增加松弛和剩余变量后, 目标函数中只需将这些变量的系数设定为零即可, 在例 1 中为

$$-z = -3x_1 - x_2 + 0 \cdot x_3 + 0 \cdot x_4 + 0 \cdot x_5$$

2. 基解与基可行解

在标准形式下, 可行域(凸多面体)是由等式约束和非负约束确定的. 如果 $m = n$, 则由等式约束 $Ax = b$ 可以直接解出可行点(或者判断无可行解); 一般情况下 $m < n$, 等式约束 $Ax = b$ 没有惟一解, 但当指定 x 中的 $(n-m)$ 个分量的取值后就可以直接解出可行点(或者判断在该指定下无可行解). 考虑到非负约束也可能代表可行域的边界, 直接指定 $(n-m)$ 个分量的值为 0 是方便的, 如果此时 $Ax = b$ 正好有惟一解, 我们把这个解称为基本解(basic solution, 简称基解). 当基解是原问题的可行解时, 称为基本可行解(basic feasible solutions, 简称基可行解). 幸运的是, 可以证明基本可行解正好对应于可行域(凸多面体)的顶点.

例如, 例 1 用标准形表示时, 约束矩阵 A 和右端项向量 b 分别是

$$A = \begin{bmatrix} -1 & 1 & 1 & 0 & 0 \\ 1 & -2 & 0 & 1 & 0 \\ 3 & 2 & 0 & 0 & 1 \end{bmatrix} = [p_1 \quad p_2 \quad p_3 \quad p_4 \quad p_5], \quad b = (2, 2, 14)^T, \quad (20)$$

其中 p_1, \dots, p_5 为 A 的 $n=5$ 个列向量. 线性方程组 $Ax = b$ 的基解可以如下得到: A 的秩 $m=3$, 为了保证指定 $n-m(=2)$ 个分量的取值为 0 后 $Ax = b$ 有惟一解, 任取 $m(=3)$ 个线性无关的列向量组成基(也称基矩阵) A_B , 其余列向量组成非基 A_N , 将 A 的列向量重排次

序后可写作 $A = [A_B \ A_N]$, 相应地重排 x 的分量 $x = \begin{bmatrix} x_B \\ x_N \end{bmatrix}$, 于是 $Ax = A_B x_B + A_N x_N = b$.

分别称 x_B, x_N 为基变量(basic variables)和非基变量(nonbasic variables), 令非基变量 $x_N = 0$, 解得基变量 $x_B = A_B^{-1}b$ (自然, A_B 是可逆矩阵).

对于例 1 如取 $A_B = [p_3 \ p_4 \ p_5] = I$ (单位阵), 则 $x_B = (x_3, x_4, x_5)^T = b = (2, 2, 14)^T$, 而 $x_N = (x_1, x_2)^T = (0, 0)^T$, 于是 $x = (0, 0, 2, 2, 14)^T$ 为 $Ax = b$ 的一个基解, 图 8.1 中它对应 O 点.

类似地, 若取 $A_B = [p_1 \ p_3 \ p_5]$, 则 $x_B = (x_1, x_3, x_5)^T = A_B^{-1}b = (2, 4, 8)^T$, $x = (2, 0, 4, 0, 8)^T$ 也是一个基解, 对应图 8.1 中的 Q_3 点.

若取 $A_B = [p_2 \ p_3 \ p_5]$, 则 $x_B = (x_2, x_3, x_5)^T = A_B^{-1}b = (-1, 3, 16)^T$, $x = (0, -1, 3, 0, 16)^T$ 也是一个基解, 对应图 8.1 中的 R_1 点, 我们看到, R_1 点不在可行域内.

容易知道, 例 1 共有 10 个基解, 其中 5 个分别对应可行域(5 边形)的 5 个顶点, 是基可行解. 一般地, 基解最多有 $\binom{n}{m} = \frac{n!}{m!(n-m)!}$ 个, 但基可行解的个数则要视具体问题而定.

3. 线性规划的单纯形法的基本思路

美国数学家 Dantzig 于 1947 年提出的单纯形法(simplex method)是最早提出的线性规划算法, 20 世纪 80 年代以前几乎是线性规划的惟一算法, 其基本思路是: 用迭代法从一个顶点(基可行解)转换到另一个顶点(称为一次旋转), 每一步转换只将一个非基变量(指一个分量)变为基变量, 称为进基, 同时将一个基变量变为非基变量, 称为出基, 进基和出基的确定最好能使目标函数下降尽可能快.

可以看出, 实现这一思路的算法要解决以下问题: 选取初始基可行解(顶点); 判断当前顶点是否最优; 确定进基和出基变量; 防止迭代过程出现循环; 等等. 单纯形法有多种不同的变形和具体实现方式, 具体步骤可参阅任何一本有关线性规划的书籍, 如参考文献[3~6].

8.2.3 线性规划的其他算法

20 世纪 80 年代人们提出了一类新的算法——内点法(interior point method). 内点算法也是迭代法, 但不再从可行域的一个顶点转换到另一个顶点, 而是直接从可行域的内部逼近最优解. 虽然实际证明单纯形法计算效果很好, 目前仍然经常使用, 但理论上讲内点算法具有单纯形法所不具备的一些优点, 尤其对于特别大规模的问题(如变量规模上万甚至达到十万、百万量级), 使用内点算法可能更为有效. 内点算法理论较为复杂, 有兴趣的读者请参看有关的专门书籍, 如参考文献[7].

此外, 线性规划是二次规划的一个特例(只需令所有二次项系数为零即可), 因此也可

以用二次规划的算法(如有效集方法,详见下节关于二次规划的介绍)解线性规划.

8.2.4 用 MATLAB 优化工具箱解线性规划

1. 基本用法

用 MATLAB 优化工具箱求解线性规划时不要求一定化为标准形,而是要求化为如下形式:

$$\begin{aligned} \min z &= c^T x \\ \text{s. t. } A_1 x &\leq b_1, \\ A_2 x &= b_2, \\ v_1 &\leq x \leq v_2. \end{aligned} \quad (21)$$

也就是说,需要将不等式约束和等式约束分开列出,并将决策变量的上下界约束单独列出. 求解程序为 `linprog`,其最简单和最一般的调用方式分别是:

```
x = linprog(c,A1,b1)
[x,fv,ef,out,lambda] = linprog(c,A1,b1,A2,b2,v1,v2,x0,opt)
```

其中输入参数 `c,A1,b1,A2,b2,v1,v2` 如(21)式所示,`x0` 为初始解;`opt` 为程序的各种控制参数,可以通过实验 7 中介绍的 `optimset` 函数进行设置. 当输入参数列表中的某个中间输入参数缺省时,需用方括号[]占据其位置.

输出 `x` 为最优解,`fv` 为最优值;`ef` 为程序停止的标志,表示程序停止的原因(含义与无约束优化中介绍的相同);`out` 是一个结构变量,包括程序运行的有关信息,含有 3 个域(具体含义见下面的例子);`lambda` 也是一个结构变量,包含以下 4 个域,分别对应于程序停止时相应约束的拉格朗日乘子,即:

```
lambda.ineqlin    % 对应于不等式约束  $A_1 x \leq b_1$  的拉格朗日乘子
lambda.eqlin      % 对应于等式约束  $A_2 x = b_2$  的拉格朗日乘子
lambda.upper      % 对应于上界约束  $x \leq v_2$  的拉格朗日乘子
lambda.lower      % 对应于下界约束  $v_1 \leq x$  的拉格朗日乘子
```

其维数等于约束条件的个数,其非零分量对应于起作用的约束,即等号严格成立时的约束.

例如,对于例 1 可如下编程计算:

```
c = -[3,1];           % 加负号将求极大化求为求极小
A = [-1,1;1,-2;3,2];
b = [2,2,14];
v1 = [0 0];           % 下界
[x,f,exitflag,output,lag] = linprog(c,A,b,[],[],v1)
```

得到最优解 $x = (4, 1)$, $f = -13$ (最大值 $z = -f = 13$), $\text{exitflag} = 1$ (收敛), 此外

```
output =
    iterations : 5                % 迭代次数
    cgiterations : 0              % PCG 迭代次数(只在大规模算法中 useful)
    algorithm : 'large-scale : interior point' % 所使用的算法为内点法
lag =
    ineqlin : [3x1 double]
    eqlin : [0x1 double]
    upper : [2x1 double]
    lower : [2x1 double]
```

要看 lag 的具体值是多少, 如 ineqlin 的取值, 可以在命令窗口下键入 lag. ineqlin 后按回车, 显示:

```
0.0000
0.3750
0.8750
```

即 lag. ineqlin = (0, 0.3750, 0.8750), 第 2, 第 3 分量非零, 表示第 2, 第 3 个约束是起作用的, 即第 2, 第 3 个约束对于最优解是等式约束 (在图 8.1 中我们已经看到, 最优解 $x = (4, 1)$ 是 L_2, L_3 的交点); 第 1 分量为 0 表示第 1 个约束不起作用 (查看 lag. lower 可知下界约束 ($x_1, x_2 \geq 0$) 也不起作用), 它们对于最优解仍为严格不等式约束. 至于非零分量数值的含义将在 8.4 节的例题中介绍.

由于例 1 中 $x_1, x_2 \geq 0$ 不起作用, 在程序里不输入 v1, 只用 $x = \text{linprog}(c, A, b)$ 也可得到同样结果, 但是一般情形下这样做是不行的.

2. 算法选择

linprog 程序有 3 种算法可以选择: 默认时采用大规模算法 (是一种内点算法); 当 opt 中 "LargeScale" 参数设置为 "off" 时, 采用中规模算法, 该模式下默认的算法是二次规划的算法 (一种有效集 (active set) 方法, 详见下节关于二次规划的介绍); 当 opt 中 "LargeScale" 参数设置为 "off", 并且 "Simplex" 参数设置为 "on" 时, 采用单纯形算法. 此外, 只有有效集方法可以由用户提供初始解 x0, 其他两个算法则不需要 (即使提供了也会被忽略).

如对于例 1, 可以如下选择中规模算法:

```
opt1 = optimset('largescale', 'off'); % 有效集方法
[x, f, exitflag, output, lag] = linprog(c, A, b, [], [], [], [], [], opt1)
opt2 = optimset(opt1, 'simplex', 'on'); % 单纯形算法
[x, f, exitflag, output, lag] = linprog(c, A, b, [], [], [], [], [], opt2)
```

运行所得结果与前面类似,只是此时迭代次数更少(只有 2 次).需要提请读者注意的是,不要因此得出“大规模算法比中规模算法需要更多次迭代”的结论,因为这里的例子只是一个 $n=2$ 的“超小”规模的例子.

此外,linprog 程序运行时首先会进行一系列的预处理(例如,把能够直接从约束中解出来的变量取值确定下来;把能够直接判断的矛盾约束报告出来等);运行过程中和结束时可能会给出一些错误或警告信息,如无可行解(infeasible),无有界解(unbounded)等.

例 2 求解

$$\begin{aligned} \min z &= 3x_1 + x_2 - x_3 \\ \text{s. t. } &x_1 + x_2 - 2x_3 \geq 2, \\ &x_1 - 2x_2 + x_3 \geq 2, \\ &3x_1 + 2x_2 - x_3 = 14, \\ &x_1, x_2, x_3 \geq 0. \end{aligned}$$

解 假设我们如下输入:

```
c=[3,1,-1];A1=[1,1,-2;1,-2,1];A2=[3,2,-1];
b1=[2,2];b2=14;v1=[0 0 0];
[x,z,exitflag,output,lag]=linprog(c,A1,b1,A2,b2,v1)
```

运行后,MATLAB 显示“该问题是无界的(unbounded)”, $\text{exitflag}=-1$.

其实,上面的输入是错误的(忘记了 \leq 和 \geq 的区别),正确的输入应该是:

```
[x,z,exitflag,output,lag]=linprog(c,-A1,-b1,A2,b2,v1)
```

得到的结果为 $x=(4,2,2)$, $z=12$.

8.3 带约束非线性规划的基本原理和解法

将优化模型(1),模型(2)更具体地表示为如下形式

$$\begin{aligned} \min z &= f(x), \quad x \in \mathbb{R}^n \\ \text{s. t. } &h_i(x) = 0, \quad i = 1, 2, \dots, m, \\ &g_j(x) \leq 0, \quad j = 1, 2, \dots, l. \end{aligned} \quad (22)$$

其中 f, h_i, g_j 有非线性函数,是带约束的非线性规划(NLP).本节介绍求解 NLP 的基本原理,主要是最优解的条件,对解法只作简要讨论,并介绍算法的 MATLAB 实现.

我们在多元微积分中学过,如果只有等式约束 h_i ,则可以用拉格朗日乘子法构造函数 $L(x, \mu) = f(x) + \sum_{i=1}^m \mu_i h_i(x)$ (μ_i 为参数),化为无约束优化问题,然后利用无约束优化最优解的必要条件来求解(相当于解非线性方程组).为简单起见下面考虑只有不等式约

束 g_j 的情况,即模型为

$$\begin{aligned} \min z &= f(x), \quad x \in \mathbb{R}^n \\ \text{s. t. } g_j(x) &\leq 0, \quad j = 1, 2, \dots, l. \end{aligned} \quad (23)$$

8.3.1 最优解的必要条件

1. 有效约束和非有效约束

记可行域为 $G: g_j(x) \leq 0 (j=1, 2, \dots, l)$. 设 x 为可行解, 使

$$g_j(x) = 0, \quad j \in J_1; \quad g_j(x) < 0, \quad j \notin J_1$$

$g_j (j \in J_1)$ 称为有效约束(或起作用约束, active constraint), $g_j (j \notin J_1)$ 为非有效(inactive)约束, J_1 称为有效集(active set). 模型(22)中的 $h_i(x) (i=1, 2, \dots, m)$ 当然也是有效约束.

2. 可行方向

对于 $x \in G$ 和一方向 d , 若存在实数 λ_0 使 $x + \lambda d \in G (0 < \lambda < \lambda_0)$, 称 d 为 x 的可行方向. 意思是 x 在 d 的方向移动后, 仍为可行解. 下面考察当 x 位于有效约束上时可行方向的条件.

x 在有效约束上, 即 $g_j(x) = 0 (j \in J_1)$, 将 $g_j(x + \lambda d)$ 在 x 作泰勒展开, 得

$$g_j(x + \lambda d) = g_j(x) + \lambda \nabla g_j(x)^T d + O(\lambda^2).$$

只要

$$\nabla g_j(x)^T d < 0, \quad (24)$$

当 λ 足够小时就有 $g_j(x + \lambda d) < 0$, 于是 $x + \lambda d \in G$, d 为 x 的可行方向.

图 8.2 是 $l=3$ 的情况, G 为 $g_j(x) = 0 (j=1, 2, 3)$ 所围区域的内部(包括边界), 若 x_0 在有效约束上, 有 $g_1(x_0) = 0$, $\nabla g_1(x_0)$ 与曲线 $g_1(x) = 0$ 正交, 且指向 G 的外部, 与 $\nabla g_1(x_0)$ 成钝角的方向 d 才是可行方向.

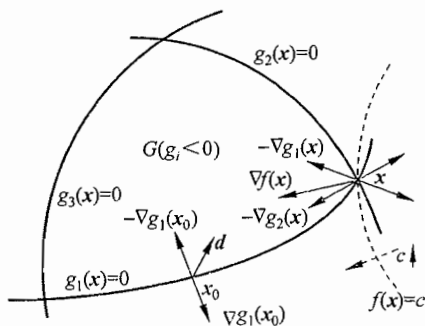


图 8.2 最优解的必要条件

3. 下降方向

对于 $x \in G$ 和一方向 d , 若存在 λ_0 使 $f(x + \lambda d) < f(x) (0 < \lambda < \lambda_0)$, 称 d 为 x 的下降方

向. 类似地展开 $f(x+\lambda d)$, 显然若

$$\nabla f(x)^T d < 0, \quad (25)$$

d 必是下降方向.

4. 最优解的必要条件

若在 $x \in G$, d 既是可行方向又是下降方向, 则 x 继续沿方向 d 移动时, 目标函数 f 将减小, 于是 x 不是最优解. 反之, 若 x 是最优解, 就一定不存在既可下、又下降的方向. 因此, 我们得到结论: 如果最优解 x 在有效约束上, 即 $g_j(x)=0 (j \in J_1)$, 则一定不存在 d 使

$$\begin{aligned} \nabla g_j(x)^T d &< 0, \quad j \in J_1, \\ \nabla f(x)^T d &< 0. \end{aligned} \quad (26)$$

即不存在与 $\nabla f(x)$ 和 $\nabla g_j(x)$ 均成钝角的方向. 这时 $\nabla f(x)$ 与 $-\nabla g_j(x)$ 的关系可以从图 8.2 直观看出.

图 8.2 中若在最优解 x 处 g_1, g_2 为有效约束, g_3 为非有效约束, 目标函数等值线 $f(x)=c$ 及 c 的增加方向如虚线所示, 则 $\nabla f(x)$ 可以表为 $-\nabla g_j(x) (j=1, 2)$ 的非负线性组合.

一般地, 可以证明最优解的如下必要条件: 若 x 是模型 (23) 的局部最优解, $f, g_j (j \in J_1)$ 在 x 可微, $g_j (j \notin J_1)$ 在 x 连续, 且 $\nabla g_j(x) (j \in J_1)$ 线性无关, 则存在 $\lambda_1, \dots, \lambda_l \geq 0$ 使

$$\nabla f(x) + \sum_{j=1}^l \lambda_j \nabla g_j(x) = 0, \quad (27)$$

$$\lambda_j g_j(x) = 0, \quad j = 1, 2, \dots, l. \quad (28)$$

(27) 式, (28) 式称为 Karush-Kuhn-Tucker 条件 (简称 KKT 条件), 满足 KKT 条件的点 x 称为 KKT 点. 简而言之, 最优解一定是 KKT 点.

可以看到, 最优解 x 的必要条件 (27) 式, (28) 式表示: 对于有效约束 $j \in J_1, g_j(x)=0$, $\nabla f(x)$ 可以表为 $-\nabla g_j(x)$ 的非负线性组合, 线性组合系数即为 $\lambda_j (\geq 0)$; 而对于不起作用约束 $j \in J_2, g_j(x) \neq 0$, 令 $\lambda_j = 0$, 于是 λ_j 和 $g_j(x)$ 至少有一个为零, 使 (28) 式成立, 因此 (28) 式称为互补松弛条件.

上面的 KKT 条件可以推广到有等式约束的模型 (22):

若 x 是模型 (22) 的局部最优解, $f, h_i, g_j (j \in J_1)$ 在 x 可微, $g_j (j \notin J_1)$ 在 x 连续, 且 $\nabla h_i(x), \nabla g_j(x) (j \in J_1)$ 线性无关, 则存在 μ_1, \dots, μ_m 和 $\lambda_1, \dots, \lambda_l \geq 0$ 使

$$\nabla f(x) + \sum_{i=1}^m \mu_i \nabla h_i(x) + \sum_{j=1}^l \lambda_j \nabla g_j(x) = 0 \quad (29)$$

$$\lambda_j g_j(x) = 0, \quad j = 1, 2, \dots, l. \quad (30)$$

以上两个必要条件的严格证明可以参看文献 [2~6]. 注意: 对等式约束, 对应的 μ_1, \dots, μ_m 没有非负限制. 类似于微积分中等式约束条件极值的拉格朗日乘子法, 如果我们对模型 (22) 构造拉格朗日函数

$$L(x, \mu, \lambda) = f(x) + \sum_{i=1}^m \mu_i h_i(x) + \sum_{j=1}^l \lambda_j g_j(x), \quad (31)$$

则(29)式表示的正好是函数 L 对 x 的导数(梯度)等于 0. 因此, (μ, λ) 通常称为拉格朗日乘子.

8.3.2 二次规划及有效集方法

1. 二次规划与凸二次规划

对于二次规划, 目标函数是二次函数, 约束为线性, 模型的一般形式为

$$\begin{aligned} \min f(x) &= \frac{1}{2} x^T H x + c^T x \\ \text{s. t. } Ax &\leq b. \end{aligned} \quad (32)$$

其中 c, A, b 与线性规划相同, $H \in \mathbb{R}^{n \times n}$ 为对称矩阵. 特别地, 当 H 正定时目标函数为凸函数, 线性约束下可行域又是凸集, (32) 式称为凸二次规划. 直观地分析一下二维平面上二次函数极值问题的简单特征, 容易理解凸二次规划有如下良好的性质:

- KKT 条件不仅是最优解的必要条件, 而且是充分条件;
- 局部最优解就是全局最优解.

2. 等式约束下二次规划的解法

如果是等式约束下的二次规划, 即

$$\begin{aligned} \min f(x) &= \frac{1}{2} x^T H x + c^T x \\ \text{s. t. } Ax &= b. \end{aligned} \quad (33)$$

则可以用解条件极值问题的拉格朗日乘子法. 此时拉格朗日函数(31)简化为

$$L(x, \lambda) = \frac{1}{2} x^T H x + c^T x + \lambda^T (Ax - b), \quad \lambda \in \mathbb{R}^m.$$

令 $L(x, \lambda)$ 对 x 和 λ 的导数为零, 得方程组

$$\begin{cases} Hx + c + A^T \lambda = 0, \\ Ax - b = 0. \end{cases} \quad (34)$$

可解出 x, λ , 其中 x 即为(32)式的 KKT 点(对凸二次规划就是最优解).

由于二次规划的等式约束与线性规划的等式约束相同, 因此你应该能想到也可以设计类似于线性规划的解法. 例如, 可以利用等式约束消去一些变量而将二次规划变成无约束规划, 这种方法称为消去法.

3. 解二次规划的有效集方法

对于存在不等式约束的二次规划(32)式, 很自然地想到可以将非有效约束去掉, 将有效约束作为等式约束, 通过解一系列等式约束的二次规划来实现不等式约束的优化. 这种方法称为有效集方法, 基本原理是: 若 x 为(32)式的最优解, 则它也是

$$\begin{aligned} \min f(x) &= \frac{1}{2}x^T Hx + c^T x \\ \text{s. t. } a_j x &= b_j, \quad j \in J_1. \end{aligned} \quad (35)$$

的最优解, 其中 a_j 是 A 的第 j 行 (同时也是对应约束的梯度), J_1 为有效约束的集合 (有效集). 反之, 若 x 为模型 (32) 的可行解, 又是模型 (35) 的 KKT 点, 且相应的乘子 $\lambda_j \geq 0$, 则 x 为模型 (32) 的 KKT 点 (因为对不在有效集 J_1 中的约束, 令其相应的乘子为零即可).

有效集方法通过迭代寻找模型 (32) 的 KKT 点 (对凸二次规划就是最优解), 基本步骤为:

设当前迭代点 (是模型 (32) 的可行解) 为 x_k (初始可行解可以用线性规划中寻找初始可行解的方法得到), 该点的有效集记作 J_k , 为寻求 x_k 点的迭代方向 d , 用乘子法求解

$$\begin{aligned} \min f(x) &= \frac{1}{2}(x_k + d)^T H(x_k + d) + c^T(x_k + d) \\ \text{s. t. } a_j d &= 0, \quad j \in J_k. \end{aligned} \quad (36)$$

得 $d_k, (\lambda_k)_j (j \in J_k)$.

若 $d_k = 0$, 则 x_k 是模型 (35) 的 KKT 点. 此时考察乘子 $(\lambda_k)_j \geq 0 (j \in J_k)$ 是否成立: 若成立, 则 x_k 是模型 (32) 的 KKT 点, 迭代结束; 若存在 $q \in J_k$ 使 $(\lambda_k)_q < 0$, 则 $x^{(k)}$ 不是模型 (32) 的 KKT 点, 有效集应去掉 q , $J_{k+1} = J_k \setminus \{q\}$, 继续求解模型 (36) 进行迭代.

若 $d_k \neq 0$, 则 $x_{k+1} = x_k + d_k$ 可能不是模型 (32) 的可行解. 此时取 $x_{k+1} = x_k + \alpha d_k$, 在 x_{k+1} 为可行点的条件下确定 d_k 方向的步长 $\alpha_k (0 \leq \alpha_k \leq 1)$. 如果 $\alpha_k = 1$, 则令 $J_{k+1} = J_k$, 直接继续求解模型 (36) 进行迭代; 否则若存在 $p \notin J_k$ 使 $a_p x_{k+1} = b_p$, 则 p 应加入有效集, $J_{k+1} = J_k \cup \{p\}$, 继续求解模型 (36) 进行迭代.

4. 用 MATLAB 优化工具箱解二次规划

用 MATLAB 优化工具箱求解二次规划时要求化为如下形式:

$$\begin{aligned} \min z &= \frac{1}{2}x^T Hx + c^T x \\ \text{s. t. } A_1 x &\leq b_1, \\ A_2 x &= b_2, \\ v_1 &\leq x \leq v_2. \end{aligned} \quad (37)$$

求解的程序名为 quadprog, 其最简单和最一般的调用方式分别是:

```
x = quadprog(H, c, A1, b1)
[x, fv, ef, out, lag] = quadprog(H, c, A1, b1, A2, b2, v1, v2, x0, opt)
```

除 H 外, 其余参数与解线性规划的程序 linprog 相同, 不再重述. 在中等规模模式下, 用的是有效集方法; 在大规模模式下 (注意: 只有当约束中仅含有等式约束或仅含有上下

界约束时才能使用),用的是一种置信域方法(trust region method),这里就不再介绍了.

例3 求解

$$\begin{aligned} \min f(x_1, x_2) &= 2x_1^2 - 3x_1x_2 + 3x_2^2 - 3x_1 + x_2 \\ \text{s. t. } x_1 + 2x_2 &= 3, \\ 2x_1 - x_2 &\geq -3, \\ x_1 - 3x_2 &\leq 3, \\ x_1 &\geq 2, x_2 \leq 0. \end{aligned}$$

解 写成形如(37)式标准形式可得

$$H = \begin{pmatrix} 4 & -3 \\ -3 & 6 \end{pmatrix}, \quad c = \begin{pmatrix} -3 \\ 1 \end{pmatrix},$$

$$A_1 = \begin{pmatrix} -2 & 1 \\ 1 & -3 \end{pmatrix}, \quad b_1 = \begin{pmatrix} 3 \\ 3 \end{pmatrix},$$

$$A_2 = (1, 2), \quad b_2 = 3, \quad v_1 = [2, -\text{Inf}], \quad v_2 = [\text{Inf}, 0].$$

输入如下:

```
H=[4 -3;-3 6]; c=[-3 1];
A1=[-2 1;1 -3]; b1=[3 3];
A2=[1 2]; b2=3; v1=[2, -Inf]; v2=[Inf,0];
[x,fv,ef,out,lag] = quadprog(H,c,A1,b1,A2,b2,v1,v2)
```

得到 $x = [3.0000 \quad 0.0000]$, $fv = 9.0000$, $ef = 1$, out (略), 而乘子 lag 为:

```
lag.eqlin = -9, lag.ineqlin = [0,0], lag.upper = [0,26], lag.lower = [0,0]
```

因此, 只有约束 $x_1 + 2x_2 = 3, x_2 \leq 0$ 是有效约束.

8.3.3 带约束非线性规划的解法

非线性规划(NLP)有很多种解法,如可行方向法、罚函数法、梯度投影法等.这里只简单叙述 MATLAB 优化工具箱中用的逐步二次规划法(sequential quadratic programming, SQP),它被认为是解 NLP 较有效的方法.

1. SQP 方法的基本原理

用 SQP 解 NLP(22)的基本原理是:对拉格朗日函数(31),即

$$L(x, \mu, \lambda) = f(x) + \sum_{i=1}^m \mu_i h_i(x) + \sum_{j=1}^l \lambda_j g_j(x)$$

用二次函数近似 $L(x, \mu, \lambda)$ 后化为 QP 问题,然后解一系列如下形式的 QP 子问题:

$$\min \frac{1}{2} d^T G_k d + \nabla f(x_k)^T d$$

$$\begin{aligned} \text{s. t. } \nabla h_i(x_k)^T d + h_i(x_k) &= 0, \quad i = 1, \dots, m, \\ \nabla g_j(x_k)^T d + g_j(x_k) &\leq 0, \quad j = 1, \dots, l. \end{aligned} \quad (38)$$

其中 x_k 是第 k 次迭代的初始点, G_k 是 $L(x_k, \mu, \lambda)$ 的黑塞矩阵 $\nabla^2 L$ 的近似. 由 (38) 式得到的最优解 d_k 取作第 k 次迭代的搜索方向, 新的迭代点为 $x_{k+1} = x_k + \alpha_k d_k$, 其中 α_k 是按一定搜索准则得到的步长. 这样, SQP 包括 3 个主要部分:

- 求解 QP 子问题 (38);
- 用线性搜索计算步长 α_k ;
- 确定矩阵 G_k 的迭代公式.

第 1 个问题已经在前面解决; 第 2 个问题是一维搜索; 解决最后一个问题是设法利用无约束优化中拟牛顿法的 BFGS 公式. 详细内容可参见其他有关书籍.

2. 用 MATLAB 优化工具箱解带约束非线性规划

用 MATLAB 优化工具箱求解非线性规划时要求化为如下形式:

$$\begin{aligned} \min z &= f(x) \\ \text{s. t. } c_1(x) &\leq 0, \\ c_2(x) &= 0, \\ A_1 x &\leq b_1, \\ A_2 x &= b_2, \\ v_1 &\leq x \leq v_2. \end{aligned} \quad (39)$$

求解的程序名为 fmincon, 其最简单和最一般的调用方式分别是:

```
x = fmincon(@f,x0,A1,b1)
[x,fv,ef,out,lag,grad,hess] = fmincon(@f,x0,A1,b1,A2,b2,v1,v2,@c,opt,P1,P2,...)
```

多数参数与前面介绍过的类似, 只是输入中可以有参数 P1, P2 等 (它们是传给函数 M 文件 f.m 或 c.m 的参数), 并且可以输出 x 点的梯度 grad 和黑塞矩阵 hess. 对于中等规模算法, 用的是 SQP 方法; 对于大规模算法 (注意: 只有当约束中仅含有线性等式约束或仅含有上下界约束时才能使用), 用的是置信域方法.

需要注意的是: f.m 文件给出函数 f , 当控制参数 opt.GradObj='on' 时必须给出 f 的梯度, 当 opt.Hessian='on' 时还必须给出其黑塞矩阵, 一般形式为

```
function [f,g,H] = f(x)
f = ... % 目标函数
if nargin > 1
g = ... % 目标函数的梯度
if nargin > 2
H = ... % 目标函数的黑塞矩阵
end
```

c.m 给出非线性约束,当 opt.GradConstr='on'时还给出其梯度,一般形式为

```
function [c1,c2,GC1,GC2] = c(x)
c1 = ...           % 非线性不等式约束
c2 = ...           % 非线性等式约束
if nargin > 2
    GC1 = ...       % c1 的梯度
    GC2 = ...       % c2 的梯度
end
```

请看下面的例子。

例 4 分别取初值为(1,-1)和(-1,1),在约束 $x_1x_2 - x_1 - x_2 + 1.5 \leq 0, x_1x_2 + 10 \geq 0, x_1^2 + x_2 - 1 = 0$ 下求解 $\min e^{x_1} (4x_1^2 + 2x_2^2 + 4x_1x_2 + 2x_2 + 1)$.

解 我们分别用不给出梯度和给出梯度两种方法来计算. 首先编写函数:

```
function [f,g,H]=exam0804fun(x)           % 编写目标函数的 M 文件;
f=exp(x(1))*(4*x(1)^2+2*x(2)^2+4*x(1)*x(2)+2*x(2)+1);
if nargin > 1                             % 梯度;
    g(1)=exp(x(1))*(4*x(1)^2+2*x(2)^2+4*x(1)*x(2)+8*x(1)+6*x(2)+1);
    g(2)=exp(x(1))*(4*x(1)+4*x(2)+2);
end
if nargin > 2                             % 本题不能使用大规模算法,因此以下输入的黑塞矩阵不会被使用
    H=exp(x(1))*[4*x(1)^2+2*x(2)^2+4*x(1)*x(2)+16*x(1)+10*x(2)+9,4*x(1)+4*x(2)+6;4*x(1)+4*x(2)+4,4];
end

function [c,ceq,g,geq]=exam0804con(x)     % 编写非线性约束的 M 文件;
c=[1.5+x(1)*x(2)-x(1)-x(2);-x(1)*x(2)-10]; % 不等式约束;
ceq=x(1)^2+x(2)-1;                       % 等式约束;
if nargin > 2
    g=[x(2)-1,-x(2);x(1)-1,-x(1)];
    geq=[2*x(1);1];
end
```

编写程序:

```
x0=[1,-1]; % [-1,1];           % 初始点;
opt1=optimset('largescale','off','MaxIter',3000,'MaxFun',20000); % 采用中等规模算法模式
(问题有非线性等式和不等式约束,大规模算法不能使用),给出最大迭代次数和函数最大调用次数
[x,fv,ef,out,lag,grad,hess]=fmincon(@exam0804fun,x0,[],[],[],[],[],[],@exam0804con,
```

```

    opt1),
    [c1,c2]=exam0804con(x),
    pause
    opt2=optimset(opt1,'GradObj','on','GradCon','on','DerivativeCheck','on');
    % 采用分析梯度,比较分析梯度与数值梯度的差异(还可以验证分析梯度的输入是否正确)
    [x,fv,ef,out,lag,grad,hess]=fmincon(@exam0804fun,x0,[],[],[],[],[],[],@exam0804con,
    opt2),
    [c1,c2]=exam0804con(x)

```

计算结果如表 8.2 所示.

表 8.2 例 4 的计算结果

初值	梯度	最优解	最优值	迭代次数	目标函数调用次数
(1, -1)	数值	(1.3584, -0.8452)	13.7185	5	26
	分析	(1.3584, -0.8452)	13.7185	5	16
(-1, 1)	数值	(-0.1297, 1.2828)	5.4973	3001	18832
	分析	(-0.1385, 1.2941)	5.4833	3001	12980

可以看出,第一,不同的初值得到不同的结果:对于初值(1, -1),5次迭代就给出了最优解,而对于初值(-1, 1),计算至最大迭代次数后终止,但其结果是不可行解(可验证它不满足问题的等式约束),并且,继续迭代也无收敛的迹象.实际上,如果读者在平面上画出可行域,就可以知道它是第四象限的一段抛物线,而初值(1, -1)正好位于第四象限(虽然不是可行解),距最优解不远,能得到正确的结果是可以理解的.一般来说,应尽量选择靠近最优解的点作为初值.

第二,是否给出分析梯度对结果影响不大(计算过程也显示分析梯度与数值梯度的差异很小),但是这不具有一般性,对于有些问题,是否给出分析梯度对结果(如是否收敛、收敛速度等)影响是很大的.

8.4 实例的求解

8.4.1 生产销售计划(续)

将 8.1.1 节中建立的模型整理后写成

$$\begin{aligned}
 \max z &= 12x_1 + 8x_2 + 22x_3 + 16x_4 - 1.5x_5 - 1.5x_6 \\
 \text{s. t. } &4x_1 + 3x_2 + 4x_5 + 3x_6 \leq 600, \\
 &2x_1 + x_2 + 3x_5 + 2x_6 \leq 240, \\
 &x_1 + x_5 \leq 100,
 \end{aligned}$$

$$\begin{aligned}x_3 - 0.8x_5 &= 0, \\x_4 - 0.75x_6 &= 0, \\x_1, x_2, x_3, x_4, x_5, x_6 &\geq 0.\end{aligned}$$

编程计算如下:

```
c=[12 8 22 16 -1.5 -1.5];
A1=[4 3 0 0 4 3;2 1 0 0 3 2;1 0 0 0 1 0];
b1=[600 240 100];
A2=[0 0 1 0 -0.8 0;0 0 0 1 0 -0.75];
b2=[0 0];
v1=[0 0 0 0 0 0];
[x,z0,ef,out,lag]=linprog(-c,A1,b1,A2,b2,v1)
lag.ineqlin, lag.eqlin
```

得到最优解为 $x=(0, 168, 19.2, 0, 24, 0)$, 最优值为 $z = -z_0 = 1730.4$. 即每天生产销售 168(kg) A_2 和 19.2(kg) B_1 (不出售 A_1, B_2), 可获净利润 1730.4 元. 为此, 需用 8 桶牛奶加工成 24(kg) A_1 , 42 桶加工成 168(kg) A_2 , 并将得到的 24(kg) A_1 全部加工成 19.2(kg) B_1 .

此外, $\text{lag.ineqlin} = (1.58; 3.26; 0.00)$, 因此原料、劳动时间为有效约束, 说明原料和劳动时间得到了充分的利用. 读者自然要问: 拉格朗日乘子非零时, 其具体数值的大小有没有什么意义呢? 让我们假设原约束中的右端项不是 600 而是 601, 即令程序中

```
b1=[601 240 100];
```

重新求解上面的问题, 可以得到新的最大利润为 $z_1 = 1731.98$, 利润增加了 $z_1 - z = 1731.98 - 1730.4 = 1.58$, 正好等于 $\text{lag.ineqlin}(1)$ 的数值! 这不是偶然的, 而是来自拉格朗日乘子的含义: 拉格朗日乘子表示的是对应约束的右端项增加一个单位时 (假设其他条件不变), 目标函数的增加量 (对最大化问题) 或减少量 (对最小化问题). 由此我们继续讨论 8.1.1 小节的几个后续问题:

(1) 若投资 15 元可以增加供应 1 桶牛奶, 应否作这项投资?

上面的原料约束是在原约束 (4) 两边乘以 12 以后的结果, 所以约束 (4) 的右端项增加一个单位时, 利润增加 $\text{lag.ineqlin}(1) \times 12 = 1.58 \times 12 = 18.96$ (元). 显然 $18.96 > 15$, 因此投资增加牛奶的供应量是值得的.

在经济学中, 一般把拉格朗日乘子称为影子价格, 因为在最大化问题中它表示资源 (约束条件右端项的值) 增加一个单位时效益的增加量, 可以看作是资源的潜在价值. 必须提醒读者注意的是: 拉格朗日乘子是一定的适用范围的, 如当投资增加的原料供应量达到一定数量后, 拉格朗日乘子就不再表示正确的影子价格了. 遗憾的是, MATLAB 没

有给出这个适用范围,有些线性规划的软件(如实验 9 中用到的 LINDO 和 LINGO 软件)给出了这个适用范围.

(2) 若可以聘用临时工人以增加劳动时间,付给临时工人的工资最多是每小时多少元?

因为 $\text{lag.ineqlin}(2)=3.26$,而时间约束是在原约束(5)两边除以 2 以后的结果,所以劳动时间的影子价格应为 $3.26/2=1.63$,即单位劳动时间增加的利润是 1.63,因此付给临时工人的工资最多是每小时 1.63(元).同上所述,劳动时间也不能无限制增加.

(3) 如果 B_1, B_2 的获利经常有 10% 的波动,波动后是否需要重新制订新的生产销售计划?

若每公斤 B_1 的获利下降 10%,应将原模型(3)式中 x_3 的系数改为 19.8,重新计算,可以发现最优解和最优值均发生了变化.类似计算可知,若 B_2 的获利向上波动 10% 时,上面得到的生产销售计划也不再是最优的.这就是说,(最优)生产计划对 B_1 或 B_2 获利的波动是很敏感的.实际上,这相当于要求确定最优解不变条件下目标函数系数的允许变化范围是多少.同样, MATLAB 没有给出这种敏感性分析的结果,而 LINDO 和 LINGO 软件给出了这个允许变化范围.

8.4.2 投资组合(续)

对 8.1.2 小节的问题(1)建立的二次规划模型(11)~(14),容易编写如下程序:

```
H0=[8 5 -20;5 72 -30;-20 -30 200];
A=[20 25 30;-5 -8 -10];
b=[5000 -1000];
x=quadprog(H0,[0 0 0],A,b)
```

解得 $x = 1.0e+002 * (1.3111, 0.1529, 0.2221)$,如果一定要整数解,可以四舍五入到(131,15,22).另一种得到整数最优解的方法是用实验 9 中介绍的整数规划,如利用 LINDO(或 LINGO)软件可以得到整数最优解 $x_1=132, x_2=15, x_3=22$,即该投资人应投资股票 A,B,C 的数量分别为 132、15 和 22(手),所用去的资金为 $132 \times 20 + 15 \times 25 + 22 \times 30 = 3675$ (百元),期望收益为 $132 \times 5 + 15 \times 8 + 22 \times 10 = 1000$ (百元),此时的风险(方差)为 68116,标准差(均方差)约为 261(百元).

对 8.1.2 小节的问题(2)建立的模型(12)~(15),我们取不同的 β 值计算出所对应的最优投资方案,从而以表格或图形形式给出对应的期望收益与风险(均方差)之间的关系.可以编写如下程序:

```
H0=[8 5 -20;5 72 -30;-20 -30 200];
c=[-5 -8 -10];
A=[20 25 30];
```

```

b=5000;
opt=optimset('Large','off','Display','off');
for i=1:1000,
    beta=0.0001*i;
    H=beta*H0;
    x=quadprog(H,c,A,b,[],[],[0,0,0],[],[],opt);
    REV(i)=-c*x; % 计算期望收益
    STD(i)=sqrt(x'*H0*x/2); % 计算风险(均方差)
end
plot(REV,STD) % 画预期收益和均方差图形
xlabel('预期收益/百元')
ylabel('均方差/百元')

```

通过试探发现 β 从 0.0001~0.1 以 0.0001 的步长变化就可以得到很好的近似结果了. 运行该程序得到的输出图形为图 8.3.

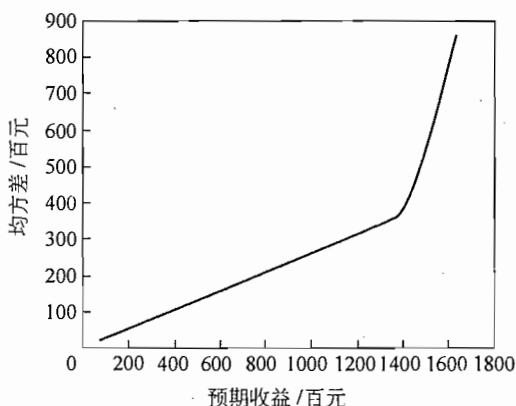


图 8.3 投资组合的输出

从题目给出的数据来看,每 1 元投资于股票 C 的预期收益是最大的,因此 50 万元可能的最大预期收益是 16.6667 万元.从图 8.3 可以看出,当预期收益在 0~14 万元左右增加时,风险(均方差)基本上线性增加;若预期收益超过 14 万元,则风险(均方差)迅速增加.由此可知,对于那些对收益和风险没有特殊偏好的投资者来说,转折点处的投资组合方案是比较理想的,经过对计算结果(数据输出)的检查可得,这个方案大致是投资股票 A,B,C 分别为 153,35,35(手).

8.4.3 供应与选址(续)

对于 8.1.3 小节建立的模型(16)~(18)用表 8.1 的数据进行计算.

(1) 使用两个临时料场 A (5,1), B (2,7). 求从料场 j 向工地 i 的运送量 c_{ij} ($i=$

$1, \dots, 6, j=1, 2$), 在各工地用量必须满足和各料场运送量不超过日储量的条件下, 使目标函数——总吨公里数最小. 这是一个线性规划问题, 计算结果如表 8.3.

表 8.3

i	1	2	3	4	5	6
c_{i1} (料场 A)	3	5	0	7	0	1
c_{i2} (料场 B)	0	0	4	0	6	10

总吨公里数为 136.2.

(2) 改建两个新料场. 要同时确定料场的位置 (x_j, y_j) 和运送量 $c_{ij} (i=1, \dots, 6, j=1, 2)$, 在同样条件下使总吨公里数最小. 这是一个非线性规划问题, 目标函数编程如下:

```
function f=shili083fun(x)
a=[1.25,8.75,0.5,5.75,3,7.25];
b=[1.25,0.75,4.75,5.6,5,7.75];
% x(1:6): quantity from (x(13), x(14)) to (a(i),b(i))
% x(7:12): quantity from (x(15), x(16)) to (a(i),b(i))
f=0;
for i=1:6
    d1=sqrt((x(13)-a(i))^2+(x(14)-b(i))^2);
    d2=sqrt((x(15)-a(i))^2+(x(16)-b(i))^2);
    f=d1*x(i)+d2*x(i+6)+f;
end
```

计算程序如下(请特别注意线性约束的表达方法):

```
format short
% LOCATION 1: (x(13),x(14)), quantity from 1: x(1:6)
% LOCATION 2: (x(15),x(16)), quantity from 2: x(7:12)
a=[1.25 8.75 0.5 5.75 3 7.25];
b=[1.25 0.75 4.75 5.6 5 7.75];
d=[3 5 4 7 6 11]';
e=[20,20]';
% A1=[1 1 1 1 1 1 0 0 0 0 0 0 0 0 0 0]
%      0 0 0 0 0 0 1 1 1 1 1 1 0 0 0 0]
A1=[ones(1,6),zeros(1,10);zeros(1,6),ones(1,6),zeros(1,4)];
B1=e;
% A2=[1 0 0 0 0 0 1 0 0 0 0 0 0 0 0 0]
%      0 1 0 0 0 0 0 1 0 0 0 0 0 0 0 0]
%      0 0 1 0 0 0 0 0 1 0 0 0 0 0 0 0]
```

```

%      0 0 0 1 0 0 0 0 0 1 0 0 0 0 0 0
%      0 0 0 0 1 0 0 0 0 0 1 0 0 0 0 0
%      0 0 0 0 0 1 0 0 0 0 0 1 0 0 0 0]
A2=[eye(6),eye(6),zeros(6,4)];
B2=d;
x0=[zeros(1,12) 5 1 2 7];    % 取原料场位置为新料场位置的初值
v1=zeros(1,16);
v2=[d',d',[10,10,10,10]];
opt=optimset('LargeScale','off','MaxFunEvals',4000,'MaxIter',1000);
[x,f,exitflag,out]=fmincon('shili083fun',x0,A1,B1,A2,B2,v1,v2,[],opt),

```

计算结果见表 8.4.

表 8.4

i	1	2	3	4	5	6	新料场位置(x_j, y_j)
c_{i1}	3	5	4	7	1	0	(5.6959 4.9285)
c_{i2}	0	0	0	0	5	11	(7.2500 7.7500)

总吨公里数为 89.88, 比使用原料场减少了 46.32.

然而, 这并不是惟一的局部极小点, 也不是全局极小点. 如果选择其他初始值, 可能得到另外的局部极小点. 请读者不妨自己试试.

注意到约束(17)是一个等式约束, 即 $\sum_{j=1}^2 c_{ij} = d_i (i = 1, \dots, 6)$, 我们很容易从中消去一些变量, 从而降低问题的维数. 例如, 用 c_i 表示第 i 个工地从第 1 个料场得到的运送量, 则它从第 2 个料场得到的运送量为 $d_i - c_i$. 于是, 可以得到如下等价的规划模型(只有 10 个决策变量):

$$\begin{aligned}
 \min \quad & \sum_{i=1}^6 \{c_i[(x_1 - a_i)^2 + (y_1 - b_i)^2]^{1/2} + (d_i - c_i)[(x_2 - a_i)^2 + (y_2 - b_i)^2]^{1/2}\} \\
 \text{s. t.} \quad & c_i \leq d_i, \quad i = 1, \dots, 6, \\
 & \sum_{i=1}^6 c_i \leq e_1, \quad \sum_{i=1}^6 (d_i - c_i) \leq e_2.
 \end{aligned}$$

目标函数重新编程如下:

```

function f=shili083fun1(x)
a=[1.25,8.75,0.5,5.75,3,7.25];
b=[1.25,0.75,4.75,5.6,5,7.75];
demand=[3 5 4 7 6 11];
% x(1:6): quantity from (x(7), x(8)) to (a(i),b(i))

```

```

% demand-x : quantity from (x(9), x(10)) to (a(i),b(i))
f=0;
for i=1:6
    d1=sqrt((x(7)-a(i))^2+(x(8)-b(i))^2);
    d2=sqrt((x(9)-a(i))^2+(x(10)-b(i))^2);
    f=d1 * x(i) + d2 * (demand(i)-x(i)) + f;
end

```

重新编写计算程序如下:

```

format short
% LOCATION 1 : (x(7),x(8)), quantity from 1 : x(1:6)
% LOCATION 2 : (x(9),x(10)), quantity from 2 : demand-x(1:6)
a=[1.25 8.75 0.5 5.75 3 7.25];
b=[1.25 0.75 4.75 5 6.5 7.75];
d=[3 5 4 7 6 11]';
e=[20,20]';
% A1=[1 0 0 0 0 0 0 0 0 0
%      0 1 0 0 0 0 0 0 0 0
%      0 0 1 0 0 0 0 0 0 0
%      0 0 0 1 0 0 0 0 0 0
%      0 0 0 0 1 0 0 0 0 0
%      0 0 0 0 0 1 0 0 0 0
%      1 1 1 1 1 1 0 0 0 0
%      -1 -1 -1 -1 -1 -1 -1 0 0 0 0]
A10=[eye(6);ones(1,6);-1*ones(1,6)];
A1=[A10,zeros(8,4)];
B1=[d;e(1);e(2)-sum(d)];
x0=[3 * rand(1,6) 5 1 2 7]; % 取原料场位置为新料场位置的初值
v1=zeros(1,10);
v2=[d',[10,10,10,10]];
opt=optimset('LargeScale','off','MaxFunEvals',1000,'MaxIter',100);
[x,f,exitflag,out]=fmincon('shili083fun1',x0,A1,B1,[],[],v1,v2,[],opt),

```

计算结果见表 8.5.

表 8.5

i	1	2	3	4	5	6	新料场位置(x_i, y_i)
c_{i1}	3	0	4	7	6	0	(3.2549 5.6523)
c_{i2}	0	5	0	0	0	11	(7.2500 7.7500)

总吨公里数为 85.266, 比上面的结果 89.88 减少了 4.614, 而且计算时间(迭代次数)也减少了. 这很可能是该问题的全局极小点. 可见, 降低问题的维数对求得一个好的解和减少计算时间来说通常是有利的.

8.5 实验练习

实验目的

1. 掌握用 MATLAB 优化工具箱解线性规划和非线性规划的方法;
2. 练习建立实际问题的线性规划和非线性规划模型.

实验内容

1. (1) 给定 $A = \begin{pmatrix} 2 & 1 & 2 \\ 3 & 3 & 1 \end{pmatrix}$, $b = \begin{pmatrix} 4 \\ 3 \end{pmatrix}$, 求 $Ax = b$ 的所有基(本)解及可行域 $\{x | Ax = b, x \geq 0\}$ 的所有基(本)可行解. 由此回答: 如果在该可行域上考虑线性函数 $c^T x$, 其中 $c = (4, 1, 1)^T$, 那么 $c^T x$ 的最小值和最大值是多少? 相应的最小点和最大点分别是什么? 并指出有效约束.

(2) 对于线性规划(opt 可以是 min 或 max)

$$\begin{aligned} \text{opt } z &= -3x_1 + 2x_2 - x_3 \\ \text{s. t. } 2x_1 + x_2 - x_3 &\leq 5, \\ 4x_1 + 3x_2 + x_3 &\geq 3, \\ -x_1 + x_2 + x_3 &\geq 2, \\ x_1, x_2, x_3 &\geq 0. \end{aligned}$$

考虑与(1)类似的问题.

2. 对于如下线性规划问题(有 $3n$ 个决策变量 (x, r, s) 和 $2n$ 个约束):

$$\begin{aligned} \min & (-x_n) \\ \text{s. t. } 4x_1 - 4r_1 &= 1, \\ x_1 + s_1 &= 1, \\ 4x_j - x_{j-1} - 4r_j &= 0, & j = 2, 3, \dots, n, \\ 4x_j + x_{j-1} + 4s_j &= 4, & j = 2, 3, \dots, n, \\ x_j, r_j, s_j &\geq 0, & j = 1, 2, \dots, n. \end{aligned}$$

请分别对 n 的不同取值(如 $n=2, 10, 50$ 等)求解上述规划, 并观察和比较不同算法的计算效率.

3. 对于如下二次规划问题(只有 x 为决策变量):

$$\begin{aligned} \min z &= -0.5 \sum_{i=1}^{20} \lambda_i (x_i - 2)^2 \\ \text{s. t. } Ax &\leq b, \quad x \geq 0. \end{aligned}$$

已知 $b = (-5, 2, -1, -3, 5, 4, -1, 0, 9, 40)^T$, A 为 10×20 的矩阵, $A^T = (a_{ij})_{20 \times 10}$, 且: $a_{i,10} = 1 (i=1, 2, \dots, 20)$; $a_{i,22-i} = -3 (i=13, 14, \dots, 21)$; $a_{i,23-i} = 7 (i=14, 15, \dots, 22)$; $a_{i,24-i} = 0 (i=15, 16, \dots, 23)$; $a_{i,25-i} = -5 (i=16, 17, \dots, 24)$; $a_{i,26-i} = 1 (i=17, 18, \dots, 25)$; $a_{i,27-i} = 1 (i=18, 19, \dots, 26)$; $a_{i,28-i} = 0 (i=19, 20, \dots, 27)$; $a_{i,29-i} = 2 (i=20, 21, \dots, 28)$; $a_{i,30-i} = -1 (i=21, 22, \dots, 29)$.

注意: 在上面的表达中, 当 a_{ij} 中的下标 i 超过 20 时, 应理解为将该下标减去 20 (即对 20 取模), 如 $a_{21,1} = -3$ 的含义是 $a_{1,1} = -3$, $a_{22,1} = 7$ 的含义是 $a_{2,1} = 7$, 以此类推.

假设还已知 $\lambda_i (i=1, 2, \dots, 20)$ 的取值, 请分别对它的不同取值 (如以下两种取值) 求解上述规划.

$$(1) \lambda_i = 1 (i=1, 2, \dots, 20);$$

$$(2) \lambda_i = i (i=1, 2, \dots, 20).$$

4. 取不同的初值计算下列非线性规划, 尽可能求出所有局部极小点, 进而找出全局极小点:

$$(1) \min z = 0.000089248x - 0.0218343x^2 + 0.998266x^3 - 1.6995x^4 + 0.2x^5$$

$$\text{s. t. } 0 \leq x \leq 10.$$

$$(2) \min z = \cos x_1 \sin x_2 - \frac{x_1}{x_2^2 + 1}$$

$$\text{s. t. } -1 \leq x_1 \leq 2, \quad -1 \leq x_2 \leq 1.$$

$$(3) \min z = -x_1 - x_2$$

$$\text{s. t. } x_2 \leq 2x_1^4 - 8x_1^3 + 8x_1^2 + 2,$$

$$x_2 \leq 4x_1^4 - 32x_1^3 + 88x_1^2 - 96x_1 + 36,$$

$$0 \leq x_1 \leq 3, \quad 0 \leq x_2 \leq 4.$$

$$(4) \min z = (x_1 - 1)^2 + (x_1 - x_2)^2 + (x_2 - x_3)^3 + (x_3 - x_4)^4 + (x_4 - x_5)^4$$

$$\text{s. t. } x_1 + x_2^2 + x_3^3 = 3\sqrt{2} + 2,$$

$$x_2 - x_3^2 + x_4 = 2\sqrt{2} - 2,$$

$$x_1 x_5 = 2,$$

$$-5 \leq x_i \leq 5, \quad i=1, 2, 3, 4, 5.$$

$$(5) \min z = -25(x_1 - 2)^2 - (x_2 - 2)^2 - (x_3 - 1)^2 - (x_4 - 4)^2 - (x_5 - 1)^2 - (x_6 - 4)^2$$

$$\text{s. t. } (x_3 - 3)^2 + x_4 \geq 4,$$

$$(x_5 - 3)^2 + x_6 \geq 4,$$

$$x_1 - 3x_2 \leq 2,$$

$$-x_1 + x_2 \leq 2,$$

$$2 \leq x_1 + x_2 \leq 6,$$

$$0 \leq x_1, x_2,$$

$$1 \leq x_3, x_5 \leq 5,$$

$$0 \leq x_4 \leq 6,$$

$$0 \leq x_6 \leq 10.$$

5. 对问题

$\min \{100(x_2 - x_1^2)^2 + (1 - x_1)^2 + 90(x_4 - x_3^2)^2 + (1 - x_3)^2 + 10.1[(1 - x_2)^2 + (1 - x_4)^2] + 19.8(x_2 - 1)(x_4 - 1)\}$ 增加以下条件, 并分别取初值 $(-3, -1, -3, -1)$ 和 $(3, 1, 3, 1)$, 求解非线性规划:

(1) $-10 \leq x_i \leq 10$;

(2) $-10 \leq x_i \leq 10, x_1 x_2 - x_1 - x_2 + 1.5 \leq 0, x_1 x_2 + 10 \geq 0, -100 \leq x_1 x_2 x_3 x_4 \leq 100$;

(3) $-10 \leq x_i \leq 10, x_1 x_2 - x_1 - x_2 + 1.5 \leq 0, x_1 x_2 + 10 \geq 0, x_1 + x_2 = 0, x_1 x_2 x_3 x_4 = 16$.

再试取不同的初值或用分析梯度计算, 比较计算结果. 你能从中得到什么启示?

6. 某市有甲、乙、丙、丁四个居民区, 自来水由 A, B, C 三个水库供应. 四个区每天必须得到保证的基本生活用水量分别为 30kt, 70kt, 10kt, 10kt, 由于水源紧张, 三个水库每天最多只能分别供应 50kt, 60kt, 50kt 自来水. 由于地理位置的差别, 自来水公司从各水库向各区送水所需付出的引水管理费不同(见表 8.6, 其中 C 水库与丁区间没有输水管道), 其他管理费用都是 450 元/kt. 根据的规定, 各区用户按照统一标准 900 元/kt 收费. 此外, 4 个区都向公司申请了额外用水量, 分别为每天 50kt, 70kt, 20kt, 40kt. 该公司应如何分配供水量, 才能获利最多? 为了增加供水量, 自来水公司正在考虑进行水库改造, 使三个水库每天的最大供水量都提高一倍, 问那时供水方案应如何改变? 公司利润可增加到多少?

表 8.6

引水管理费/元/kt	甲	乙	丙	丁
A	160	130	220	170
B	140	130	190	150
C	190	200	230	/

7. 某银行经理计划用一笔资金进行有价证券的投资, 可供购进的证券及其信用等级、到期年限、收益如表 8.7 所示. 按照规定, 市政证券的收益可以免税, 其他证券的收益需按 50% 的税率纳税. 此外还有以下限制:

(1) 政府及代办机构的证券总共至少要购进 400 万元;

(2) 所购证券的平均信用等级不超过 1.4 (信用等级数字越小, 信用程度越高);

(3) 所购证券的平均到期年限不超过 5 年.

表 8.7

证券名称	证券种类	信用等级	到期年限/年	到期税前收益/%
A	市政	2	9	4.3
B	代办机构	2	15	5.4
C	政府	1	4	5.0
D	政府	1	3	4.4
E	市政	5	2	4.5

① 若该经理有 1000 万元资金,应如何投资.

② 如果能够以 2.75% 的利率借到不超过 100 万元资金,该经理应如何操作.

③ 在 1000 万元资金情况下,若证券 A 的税前收益增加为 4.5%,投资应否改变? 若证券 C 的税前收益减少为 4.8%,投资应否改变.

8. 如图 8.4,有若干工厂的排污口流入某江,各口有污水处理站,处理站对面是居民点. 工厂 1 上游江水流量和污水浓度,国家标准规定的水的污染浓度,以及各个工厂的污水流量和污水浓度均已知. 设污水处理费用与污水处理前后的浓度差和污水流量成正比,使每单位流量的污水下降一个浓度单位需要的处理费用(称处理系数)为已知. 处理后的污水与江水混合,流到下一个排污口之前,自然状态下的江水也会使污水浓度降低一个比例系数(称自净系数),该系数可以估计. 试确定各污水处理站出口的污水浓度,使在符合国家标准规定的条件下总的处理费用最小.

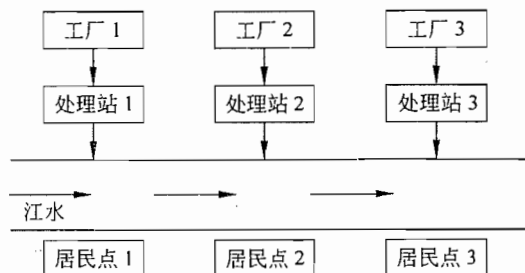


图 8.4

先建立一般情况下的数学模型,再求解以下的具体问题:

设上游江水流量为 $1000(10^{12} \text{ L/min})$, 污水浓度为 $0.8(\text{mg/L})$, 3 个工厂的污水流量均为 $5(10^{12} \text{ L/min})$, 污水浓度(从上游到下游排列)分别为 $100, 60, 50(\text{mg/L})$, 处理系数均为 $1(\text{万元}/((10^{12} \text{ L/min}) \times (\text{mg/L})))$, 3 个工厂之间的两段江面的自净系数(从上游到下游)分别为 0.9 和 0.6 . 国家标准规定水的污染浓度不能超过 $1(\text{mg/L})$.

(1) 为了使江面上所有地段的水污染达到国家标准,最少需要花费多少费用.

(2) 如果只要求 3 个居民点上游的水污染达到国家标准,最少需要花费多少费用.

9. 一家糖果商店出售 3 种不同品牌的果仁糖, 每个品牌含有不同比例的杏仁、核桃仁、腰果仁、胡桃仁. 为了维护商店的质量信誉, 每个品牌中所含有的果仁的最大、最小比例是必须满足的, 如表 8.8 所示:

表 8.8

品牌	含量需求	售价/美元/kg
普通	腰果仁不超过 20%	0.89
	胡桃仁不低于 40%	
	核桃仁不超过 25%	
	杏仁没有限制	
豪华	腰果仁不超过 35%	1.10
	杏仁不低于 40%	
	核桃仁、胡桃仁没有限制	
蓝带	腰果仁含量位于 30%~50%之间	1.80
	杏仁不低于 30%	
	核桃仁、胡桃仁没有限制	

表 8.9 列出了商店从供应商每周能够得到的每类果仁的最大数量和售价.

表 8.9

	售价/美元/kg	每周最大供应量/kg
杏仁	0.45	2000
核桃仁	0.55	4000
腰果仁	0.70	5000
胡桃仁	0.50	3000

商店希望确定每周购进杏仁、核桃仁、腰果仁、胡桃仁的数量, 使周利润最大. 建立数学模型, 帮助该商店管理人员解决果仁混合的问题.

10. 某公司将 3 种不同含硫量的液体原料(分别记为甲、乙、丙)混合生产两种产品(分别记为 A, B). 按照生产工艺的要求, 原料甲、乙必须首先倒入混合池中混合, 混合后的液体再分别与原料丙混合生产 A, B. 已知原料甲、乙、丙的含硫量分别是 3%, 1%, 2%, 进货价格分别为 6 千元/t, 16 千元/t, 10 千元/t; 产品 A, B 的含硫量分别不能超过 2.5%, 1.5%, 售价分别为 9 千元/t, 15 千元/t. 根据市场信息, 原料甲、乙、丙的供应量都不能超过 500t; 产品 A, B 的最大市场需求量分别为 100t, 200t.

(1) 应如何安排生产?

(2) 如果产品 A 的最大市场需求量增长为 600t, 应如何安排生产?

(3) 如果乙的进货价格下降为 13 千元/t, 应如何安排生产? 分别对(1)、(2)两种情

况进行讨论.

11. 在如图 8.5 所示的电网中, 需要从节点 1 传送 710A 的电流到节点 4. 当电流通过电网传送时, 存在功率损失, 而电流在传送时将“自然而然”地使总功率损失达到最小. 请根据这种自然特性, 确定流过各个电阻的电流, 并与按照电路定律列出的代数方程组的解相比较.

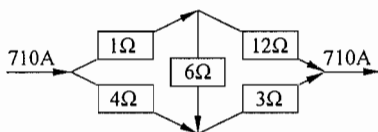


图 8.5

12. 现有一电路由 3 个电阻 R_1, R_2, R_3 并联, 再与电阻 R_4 串联而成. 记 R_k 上电流为 I_k , 电压为 V_k , 在下列情况下确定 R_k 使电路总功率损失最小 ($k=1, 2, 3, 4$):

(1) $I_1=4, I_2=6, I_3=8, 2 \leq V_k \leq 10$;

(2) $V_1=V_2=V_3=6, V_4=4, 2 \leq I_k \leq 6$.

13. 某房地产开发商准备在两片开发区上分别圈出一块长方形土地, 并砌围墙将这两块土地分别围起来. 每块土地的面积不得小于 1000m^2 , 围墙的高度不能低于 2m. 能够用于砌围墙的每块砖是一样的, 每块砖的高度为 10cm, 长度为 30cm, 宽度为 15cm (假设砖的宽度就是围墙的宽度). 该开发商希望用 10 万块砖, 使圈出的两块土地的面积之和最大, 问应如何圈地? 如果两块土地不要求是长方形, 而是三角形, 结果如何?

参考文献

- 姜启源, 何青, 高立. 数学实验. 北京: 高等教育出版社, 1999
- 袁亚湘, 孙文瑜. 最优化理论与方法. 北京: 科学出版社, 1997
- 陈宝林. 最优化理论与算法. 北京: 清华大学出版社, 1989
- Bradley S P, Hax A C, Magnanti T L. Applied Mathematical Programming. Addison-Wesley Publishing Company, 1977 (中译本: 《应用数学规划》, 北京: 机械工业出版社, 1983)
- Wayne L Winston. Introduction to Mathematical Programming, 4th ed). Brooks/Cole—Thomson Learning, Californian, 2003
- Gill P E, Murray M, Wright M H. Practical Optimization, Academic Press, London, 1981
- 普森普拉著, 方述诚译. 线性优化及扩展——理论与算法. 北京: 科学出版社, 1994
- The MathWorks Inc. Optimization Toolbox User's Guide. <http://www.mathworks.com>
- 飞思科技产品研发中心. MATLAB6.5 辅助优化计算与设计. 北京: 电子工业出版社, 2003
- Floudas C A, Pardalos P M, Adjiman C S, et al. Handbook of Test Problems in Local and Global Optimization. Dordrecht: Kluwer Academic Publishers, 1999
- Alevras D, Padberg M W. Linear Optimization and Extensions: Problems and Solutions. Berlin:

Springer, 2001

- 12 谢云荪, 张志让. 数学实验. 北京: 科学出版社, 1999
- 13 胡运权. 运筹学习题集. 修订版. 北京: 清华大学出版社, 1995
- 14 Himmelblau D M. Applied Nonlinear Programming. McGraw-Hill Book Company, 1972. (中译本: 《实用非线性规划》. 北京: 科学出版社, 1981)
- 15 姜启源, 谢金星, 叶俊. 数学模型. 第三版. 北京: 高等教育出版社, 2003

实验 9

整数规划

在实验 7 中我们介绍过数学规划的一般形式:

$$\min (\text{或 } \max) z = f(x) \quad (1)$$

$$\text{s. t. } g_i(x) \leq 0, \quad i = 1, 2, \dots, m. \quad (2)$$

当模型(1),模型(2)中决策变量 x 的分量 $x_i (i=1, 2, \dots, n)$ 中至少有一个只取整数数值时,则该模型称为整数规划(integer programming, IP). 实验 7、实验 8 中我们介绍的都是连续优化,而这个实验介绍的整数规划是组合优化(离散优化).

整数规划有不同的分类方法:当约束函数 $g_i (i=1, 2, \dots, m)$ 和目标函数 f 都是决策变量的线性函数时,称为线性整数规划;否则称为非线性整数规划. 当所有决策变量都只能在整数范围内取值时,称为纯整数规划(pure IP, PIP);若某些决策变量可以在实数范围内取值,而另一些决策变量只能在整数范围内取值时,称为混合整数规划(mixed IP, MIP). 此外,当整数决策变量只能取 0 或 1 时,相应的整数规划称为 0-1 规划.

许多实际生活、生产和管理中的优化问题需要用整数规划来建模. 本实验主要介绍整数规划的一些基本知识: 9.1 节给出几个可归结为整数规划的实际问题及其数学模型, 9.2 节介绍整数规划的基本原理和解法, 9.3 节介绍用优化软件包 LINDO 和 LINGO 求解整数规划, 9.4 节是 9.1 节问题的求解, 9.5 节布置实验练习.

9.1 实例及其数学模型

9.1.1 选课方案

问题与模型 又到了新学期的选课时间,正在上大学三年级的小刚为选什么课拿不定主意. 由于已经到了高年级,小刚在这个学期必须要选修的课程(必修课)只有一门(2 个学分);但可以供他选修的限定选修课程(限选课)有 8 门,任意选修课程(任选课)有 10 门. 由于有些课程之间相互关联,所以可能在选修某门课程时必须同时选修其他某门课程. 小刚已经搜集到了这 18 门课程的学分数和要求同时选修课程的相应信息如表 9.1.

表 9.1

限选课课号	1	2	3	4	5	6	7	8		
学分	5	5	4	4	3	3	3	2		
同时选修要求					1		2			
任选课课号	9	10	11	12	13	14	15	16	17	18
学分	3	3	3	2	2	2	1	1	1	1
同时选修要求	8	6	4	5	7	6				

按照学校规定,学生每个学期选修的总学分数不能少于 20 学分,因此小刚必须在上述 18 门课程中至少选修 18 个学分.学校还规定学生每学期选修任选课的比例不能少于所修总学分数(包括 2 个必修学分)的 $1/6$,也不能超过所修总学分的 $1/3$.

小刚首先问自己:“为了达到学校的要求,我这学期最少应该选几门课?应该选哪几门?”

想到自己刚刚学习过线性规划,小刚马上考虑用线性规划来帮助解决选课问题.他用变量 x_i 表示是否选修课程 i , $x_i=1$ 为选修课程 i , $x_i=0$ 为不选修课程 i ;“选修课程 i 时必须同时选修课程 j ”,则可以用 $x_j \geq x_i$ 表示;又用变量 y_1, y_2 分别表示选修的限选课、任选课的学分数, y 表示总学分数(包括 2 个必修学分).于是很快就建立起如下的数学规划模型:

$$\begin{aligned}
 & \min \sum_{i=1}^{18} x_i \\
 & \text{s. t. } y_1 = 5x_1 + 5x_2 + 4x_3 + 4x_4 + 3x_5 + 3x_6 + 3x_7 + 2x_8, \\
 & \quad y_2 = 3x_9 + 3x_{10} + 3x_{11} + 2x_{12} + 2x_{13} + 2x_{14} + x_{15} + x_{16} + x_{17} + x_{18}, \\
 & \quad y = y_1 + y_2 + 2, \\
 & \quad y \geq 20, \quad y \leq 6y_2, \quad y \geq 3y_2, \\
 & \quad x_1 \geq x_5, \quad x_2 \geq x_7, \quad x_8 \geq x_9, \quad x_6 \geq x_{10}, \\
 & \quad x_4 \geq x_{11}, \quad x_5 \geq x_{12}, \quad x_7 \geq x_{13}, \quad x_6 \geq x_{14}, \\
 & \quad x_i \in \{0, 1\}.
 \end{aligned} \tag{3}$$

但是上面的模型(3)中要求 $x_i \in \{0, 1\}$,这不是线性规划.聪明的小刚想:如果把“ $x_i \in \{0, 1\}$ ”的条件换成“ $0 \leq x_i \leq 1$ ”,就可以用线性规划方法求解.于是他将该模型输入计算机用线性规划软件得到的最优解如下:

$$x_1 = x_2 = x_4 = x_{11} = 1, x_3 = 0.0833, x_6 = x_{10} = 0.1111, \text{ 其他 } x_i \text{ 为 } 0.$$

但是这样得到的 x_3, x_6 和 x_{10} 为小数,显然不符合要求.如果对得到的解进行四舍五入,小刚只需选 4 门课程(课程 1, 2, 4, 11) 17 个学分(不包括 2 个必修学分),这样选修的课程和学分都太少了.如果将所有非零变量对应的课程全选上,他必须选 7 门课程(加上

课程 3,6,10)27 个学分,选修的课程和学分显然太多了.

上面问题中决策变量只允许取整数 0 或 1,称为 0-1 规划,是特殊的整数规划.通过本实验学习后,使用整数规划软件求解,可以得到这个问题的一个最优解是 $x_2 = x_4 = x_6 = x_{10} = x_{11} = 1$,其他 x_i 为 0, $y_1 = 12$, $y_2 = 6$, $y = 20$.

读者可能已经注意到:这个问题的最优解不惟一.那么,在选修最少学分(即 20 学分)的情况下,最多可以选修多少门课?我们将在 9.4 节继续讨论这个问题的解法.

9.1.2 钢管下料

问题 某钢管零售商从钢管厂进货,将钢管按照顾客要求的长度进行切割,称为下料.假定进货时得到的原料钢管长度都是 19m.

(1) 现有一客户需要 50 根长 4m、20 根长 6m 和 15 根长 8m 的钢管.应如何下料最节省?

(2) 零售商如果采用的不同切割模式太多,将会导致生产过程的复杂化,从而增加生产和管理成本,所以该零售商规定采用的不同切割模式不能超过 3 种.此外,该客户除需要(1)中的 3 种钢管外,还要 10 根长 5m 的钢管.应如何下料最节省?

问题分析 对于下料问题首先要确定采用哪些切割模式.所谓一个切割模式,是指按照客户要求的长度在原料钢管上安排切割的一种组合.例如,我们可以将长 19m 的钢管切割成 3 根长 4m 的钢管,余料为 7m;或者将长 19m 的钢管切割成长 4m、6m 和 8m 的钢管各 1 根,余料为 1m.显然,可行的切割模式是很多的.

其次,应当明确哪些切割模式是合理的.合理的切割模式通常还假设余料不应大于或等于客户需要钢管的最小尺寸.例如,将长 19m 的钢管切割成 3 根 4m 的钢管是可行的,但余料为 7m,可以进一步将 7m 的余料切割成 4m 钢管(余料为 3m),或者将 7m 的余料切割成 6m 钢管(余料为 1m).经过简单的计算可知,问题(1)的合理切割模式一共有 7 种,如表 9.2 所示.

表 9.2 钢管下料问题(1)的合理切割模式

模式	4m 钢管根数	6m 钢管根数	8m 钢管根数	余料/m
1	4	0	0	3
2	3	1	0	1
3	2	0	1	3
4	1	2	0	3
5	1	1	1	1
6	0	3	0	1
7	0	0	2	3

于是问题化为在满足客户需要的条件下,按照哪几种合理的模式,每种模式切割多少

根原料钢管最为节省. 而所谓节省, 可以有两种标准, 一是切割后剩余的总余料量最小, 二是切割原料钢管的总根数最少. 下面将对这两个目标分别讨论.

模型

问题(1) 用 x_i 表示按照表 9.2 第 i 种模式 ($i=1, 2, \dots, 7$) 切割的原料钢管的根数, 若以切割后剩余的总余料量最小为目标, 则按照表 9.2 最后一列可得

$$\min z_1 = 3x_1 + x_2 + 3x_3 + 3x_4 + x_5 + x_6 + 3x_7 \quad (4)$$

若以切割原料钢管的总根数最少为目标, 则有

$$\min z_2 = x_1 + x_2 + x_3 + x_4 + x_5 + x_6 + x_7 \quad (5)$$

约束条件为客户的需求, 按照表 9.2 应有

$$4x_1 + 3x_2 + 2x_3 + x_4 + x_5 \geq 50, \quad (6)$$

$$x_2 + 2x_4 + x_5 + 3x_6 \geq 20, \quad (7)$$

$$x_3 + x_5 + 2x_7 \geq 15. \quad (8)$$

最后, 切割的原料钢管的根数 x_i 显然应当是非负整数 (本书中用 \mathbb{Z} 表示整数集合, \mathbb{Z}^+ 表示非负整数集合):

$$x_i \in \mathbb{Z}^+, \quad i = 1, 2, \dots, 7. \quad (9)$$

于是, 问题(1)归结为在约束条件(6)~(9)下, 使目标(4)或目标(5)达到最小. 显然这是线性整数规划模型.

问题(2) 如果按照问题(1)的办法处理, 首先要通过枚举法确定哪些切割模式是合理的, 并从中选出不超过 3 种模式. 而由于需求的钢管规格增加到 4 种, 所以枚举法的工作量较大. 下面介绍一种带有普遍性的方法, 可以同时确定切割模式和切割数量.

同问题(1)一样, 只使用合理的切割模式, 其余料不应该大于 3m (因为客户需要的钢管的最小尺寸为 4m, 而本题中参数都是整数).

由于不同切割模式不能超过 3 种, 可以用 x_i 表示按照第 i 种模式 ($i=1, 2, 3$) 切割的原料钢管的根数. 又设使用第 i 种切割模式下每根原料钢管生产长 4m, 5m, 6m 和 8m 的钢管数量分别为 $r_{1i}, r_{2i}, r_{3i}, r_{4i}$.

我们仅以使用的原料总根数最少为目标, 即

$$\min x_1 + x_2 + x_3 \quad (10)$$

满足客户需求的约束条件为

$$r_{11}x_1 + r_{12}x_2 + r_{13}x_3 \geq 50, \quad (11)$$

$$r_{21}x_1 + r_{22}x_2 + r_{23}x_3 \geq 10, \quad (12)$$

$$r_{31}x_1 + r_{32}x_2 + r_{33}x_3 \geq 20, \quad (13)$$

$$r_{41}x_1 + r_{42}x_2 + r_{43}x_3 \geq 15. \quad (14)$$

每一种切割模式必须可行、合理, 所以每根原料钢管的成品量不能超过 19m, 也不能少于 16m (余量不能大于 3m), 于是

$$16 \leq 4r_{11} + 5r_{21} + 6r_{31} + 8r_{41} \leq 19, \quad (15)$$

$$16 \leq 4r_{12} + 5r_{22} + 6r_{32} + 8r_{42} \leq 19, \quad (16)$$

$$16 \leq 4r_{13} + 5r_{23} + 6r_{33} + 8r_{43} \leq 19. \quad (17)$$

最后,加上非负整数约束:

$$x_i, r_{ji} \in \mathbb{Z}^+, \quad i = 1, 2, 3, \quad j = 1, 2, 3, 4. \quad (18)$$

于是,问题(2)归结为在约束条件(11)~(18)下,求 x_i 和 $r_{1i}, r_{2i}, r_{3i}, r_{4i} (i=1, 2, 3)$ 使目标(10)达到最小. 显然,这是非线性整数规划模型.

9.1.3 生产批量计划

问题 某工厂生产某种产品用以满足市场需求. 通过统计,该产品今后 4 周的外部需求(订货量)分别是 2000 件、3000 件、2000 件和 4000 件. 如果某一周要开工生产,则这一周开工所需的生产准备费为 3000 元(与生产的数量无关),每件产品的生产费为 50 元. 如果在满足需求后周末有产品剩余,每件产品的存储费为 1 元. 假设开始没有库存,且不考虑生产能力限制,问工厂应如何安排生产,在按时满足需求的条件下使总费用最小?

模型 这种生产计划通常称为动态生产批量计划(dynamic lotsizing),下面用符号表示各个已知参数和决策变量,建立一般化的模型.

假设考虑 T 个时段(周),记时段 t 的市场需求为 $d_t (t=1, 2, \dots, T)$,若时段 t 开工生产,则开工所需的生产准备费为 $s_t \geq 0$,单件产品的生产费为 $c_t \geq 0$,某时段 t 末如果有产品剩余,单件产品的存贮费为 $h_t \geq 0$.

假设时段 t 产品的产量为 $x_t (\geq 0)$,期末产品的库存量为 $I_t (\geq 0)$,且知 $I_0 = 0$. 引入 0-1 变量 y_t 表示在时段 t 工厂是否进行生产准备($y_t = 1$ 表示进行准备, $y_t = 0$ 表示不进行准备). 目标函数为包括准备费、生产费和存储费在内的总费用,问题可以表为如下的模型:

$$\min z = \sum_{t=1}^T (s_t y_t + c_t x_t + h_t I_t) \quad (19)$$

$$\text{s. t. } I_{t-1} + x_t - I_t = d_t, \quad t = 1, 2, \dots, T, \quad (20)$$

$$y_t = \begin{cases} 1, & x_t > 0, \\ 0, & x_t = 0, \end{cases} \quad t = 1, 2, \dots, T, \quad (21)$$

$$I_0 = 0, x_t, I_t \geq 0, \quad t = 1, 2, \dots, T. \quad (22)$$

当需求量 d_t 很大时,决策变量 x_t 和 I_t 通常可以作为非负实数处理,只有 y_t 是整数 0-1 变量,所以是一个混合整数规划问题(具体地,是混合 0-1 规划).

初看起来,注意到约束(21)是非线性的,所以这是一个非线性整数规划. 不过很容易把约束(21)转化为线性约束来处理,实际上它可以用下面的约束替代(替代后的模型与原模型有相同的最优解):

$$x_t \leq M y_t, \quad t = 1, 2, \dots, T, \quad (23)$$

$$y_t \in \{0, 1\}, \quad t = 1, 2, \dots, T. \quad (24)$$

其中 M 是一个充分大的正数(如本题中可以取 M 为 4 周需求的总和, 即 11000 就足够了). 这样, (19) 式, (20) 式, (22) 式和 (23) 式, (24) 式表示的是一个线性混合 0-1 规划模型.

9.2 整数规划的基本原理和解法

一般来说, 整数规划(IP)问题, 即使是线性整数规划的求解也是非常困难的. 虽然 IP 的可行解通常只有有限多个, 可以通过枚举比较出最优解, 但是对于规模稍大些的实际问题, 枚举法的计算量难以接受. 我们知道, 线性规划问题存在有效算法, 那么为什么不先去掉整数限制, 求解相应的线性规划问题(一般称为整数规划的线性规划松弛问题, 或简称 LP 松弛), 然后将得到的解四舍五入到最接近的整数呢? 在有些情况下, 尤其当 LP 松弛的解是非常大的实数时, 如果这些解对舍入不太敏感, 那么这一策略可能是可行的. 但在许多实际应用中, 整数变量的取值并不太大, 特别是 0-1 规划问题, 这一方法往往行不通. 此外, 把 LP 松弛的解四舍五入到一个可行的整数解并非易事(见下例).

例 1 求解如下 IP 模型:

$$\begin{aligned} \max z &= 5x_1 + 8x_2 \\ \text{s. t. } x_1 + x_2 &\leq 6, \\ 5x_1 + 9x_2 &\leq 45, \\ x_1, x_2 &\geq 0 \text{ 且为整数.} \end{aligned} \quad (25)$$

解 模型(25)去掉整数限制后记作 LP, 其可行域为图 9.1 中由点 $(0, 0)$, $(6, 0)$, $P(2.25, 3.75)$, $(0, 5)$ 围成的四边形, 过 P 点的等值线(图中虚线)为 $z = z_{\max}$, 最优解在 P 点取得. 图中小圆点为整数点, 四边形中的小圆点才是 IP 的可行解.

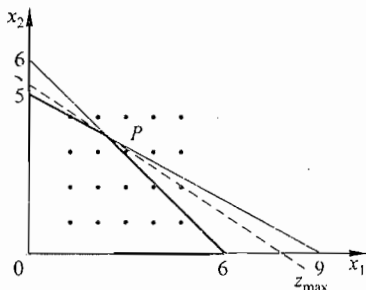


图 9.1 整数规划例题图解

将 P 点舍入成整数或者找最靠近它的整数,都得不到 IP 的最优解. 经在可行解中试探、比较得到表 9.3:

表 9.3

LP 最优解 P	P 的舍入解	最靠近 P 的可行解	IP 最优解
(2.25, 3.75)	(2, 4)	(2, 3)	(0, 5)
$z=41.25$	不可行	$z=34$	$z=40$

可见 IP 最优解不一定能从 LP 最优解经过简单的“移动”得到.

求解整数规划没有统一的有效方法,不同方法的效果与问题的性质有很大关系. 下面只介绍分枝定界法和动态规划法,它们可被看作对枚举法的改进.

9.2.1 分枝定界法

分枝定界法(branch and bound)采用“分而治之”的策略求解整数规划,其基本思想是隐式地枚举一切可行解. 自然,它不是简单的完全枚举,而是以一种比较“聪明”的方式进行的,即逐次对解空间进行划分. 所谓分枝,指的就是这个划分过程;而所谓定界,是指对于每个划分后的解空间(即每个分枝),要计算原问题的最优解的下界(对极小化问题). 这些下界用来在求解过程中判定是否需要对目前的解空间进一步划分,也就是尽可能去掉一些明显的非最优点,从而避免完全枚举.

分枝定界算法的实际效果取决于具体的分枝策略和定界方法. 对于线性整数规划,定界方法中经常采用的是线性规划松弛. 下面介绍这一方法的基本思想.

对应于线性规划的标准形(实验 8 中的式(19)),线性整数规划的标准形记为

$$\begin{aligned}
 & \min \mathbf{c}^T \mathbf{x} \\
 & \text{s. t. } \mathbf{Ax} = \mathbf{b}, \\
 & \quad \mathbf{x} \geq \mathbf{0}, \\
 & \quad \mathbf{x} \in \mathbb{Z}^n
 \end{aligned} \tag{26}$$

其中已知的参数为 $\mathbf{c} \in \mathbb{Z}^n, \mathbf{b} \in \mathbb{Z}^m, \mathbf{A} \in \mathbb{Z}^{m \times n}$ (一般可以假定约束矩阵 \mathbf{A} 是行满秩的,且 $m \leq n, \mathbf{b} \geq \mathbf{0}$; 此外,假设已知参数 $\mathbf{A}, \mathbf{b}, \mathbf{c}$ 的元素是有理数等价于假设它们是整数).

首先求解原问题(26)的 LP 松弛,即

$$\begin{aligned}
 & \min \mathbf{c}^T \mathbf{x} \\
 & \text{s. t. } \mathbf{Ax} = \mathbf{b}, \\
 & \quad \mathbf{x} \geq \mathbf{0}.
 \end{aligned} \tag{27}$$

如果问题(27)的最优解 \mathbf{x}^0 恰好是整数(所有分量都是整数),则求解结束, \mathbf{x}^0 也是式(26)的最优解. 否则,式(27)的最优值只是式(26)的最优值的一个下界(请思考为什么). 假设 \mathbf{x}^0 的某个分量 x_i^0 不是整数,则式(26)可以划分为以下两个子问题(称为“分枝”):

$$\begin{aligned}
 & \min c^T x \\
 & \text{s. t. } Ax = b, \\
 & \quad x \geq 0, \\
 & \quad x_i \geq \lfloor x_i^0 \rfloor + 1, \\
 & \quad x \in \mathbb{Z}^n;
 \end{aligned} \tag{28}$$

$$\begin{aligned}
 & \min c^T x \\
 & \text{s. t. } Ax = b, \\
 & \quad x \geq 0, \\
 & \quad x_i \leq \lfloor x_i^0 \rfloor, \\
 & \quad x \in \mathbb{Z}^n.
 \end{aligned} \tag{29}$$

再对子问题(28)和(29)继续上述分枝定界过程. 若在某一时刻, 得到一个全整数解(即全部分量均为整数的解)的目标值为 z_u , 则 z_u 为式(26)的一个上界(显然, 如果在不同分枝得到了不同的上界, 我们只需要记住其中最好的一个上界, 即最小的一个上界值 U). 此时, 若打算从子问题 k 开始分枝, 而这一子问题的下界为 $z_k \geq U$, 则这一分枝不必再考虑(一般称该分枝“被杀死”或“已探明”), 因为在这一分枝中不会找到费用小于 U 的解. 如果 $z_k < U$, 则分枝过程还要继续下去(一般称该分枝为“活跃的”(active)或该分枝点为“活点”).

根据上面的介绍, 分枝定界算法可以形式地描述如下:

分枝定界算法

步骤 0. 令活跃分枝点集合 $\text{activeset} = \{0\}$; 上界 $U = \infty$; $\text{currentbest} = 0$.

步骤 1. 如果 $\text{activeset} = \emptyset$, 则已经得到原问题的最优解, 结束; 否则从活跃分枝点集合 activeset 中选择一个分枝点 k ; 将 k 从 activeset 中去掉, 继续步骤 2.

步骤 2. 生成 k 的各分枝 $i = 1, 2, \dots, n_k$ 及其对应的下界 z_i .

步骤 3. 对分枝 $i = 1, 2, \dots, n_k$: 如果分枝 i 得到的是全整数解且 $z_i < U$, 则令 $U = z_i$ 且 $\text{currentbest} = i$; 如果分枝 i 得到的不是全整数解且 $z_i < U$, 则把 i 加入 activeset 中.

步骤 4. 转步骤 1.

例 2 用分枝定界法求解:

$$\begin{aligned}
 & \min z = -x_1 - x_2 \\
 & \text{s. t. } 2x_1 - x_2 \geq \frac{1}{2}, \\
 & \quad 2x_1 + x_2 \leq \frac{11}{2},
 \end{aligned} \tag{P0}$$

$$\begin{aligned} x_2 &\geq \frac{1}{2}, \\ x_1, x_2 &\in \mathbb{Z}^+. \end{aligned} \quad (30)$$

解 问题(P0)的 LP 松弛的解为 $x^0 = \left(\frac{3}{2}, \frac{5}{2}\right)^T$, 不是整数解, 最优值为 $z_0 = -4$. $U = \infty$, 于是问题(P0)可以分解为以下两个问题:

(P1): (P0)加上 $x_1 \geq 2$;

(P2): (P0)加上 $x_1 \leq 1$.

问题(P1)的 LP 松弛的解为 $x^1 = \left(2, \frac{3}{2}\right)^T$, 不是整数解, 最优值为 $z_1 = -3.5$. 于是(P1)可以分解为以下两个问题:

(P3): (P1)加上 $x_2 \geq 2$;

(P4): (P1)加上 $x_2 \leq 1$.

问题(P3)的 LP 松弛无可行解. 问题(P4)的 LP 松弛的解为 $x^4 = \left(\frac{9}{4}, 1\right)^T$, 不是整数解, 最优值为 $z_4 = -3.25$. 于是(P4)可以分解为以下两个问题:

(P5): (P4)加上 $x_1 \geq 3$;

(P6): (P4)加上 $x_1 \leq 2$.

问题(P5)的 LP 松弛无可行解. 问题(P6)的 LP 松弛的解为 $x^6 = (2, 1)^T$, 是整数解, 最优值为 $z_6 = -3$. 它是当前找到的原问题的一个上界($U = z_6 = -3$).

再看问题(P2). 问题(P2)的 LP 松弛的解为 $x^2 = \left(1, \frac{3}{2}\right)^T$, 不是整数解, 最优值为 $z_2 = -2.5$. 由于当前上界 $z_6 \leq z_2$, 因此没有必要继续从问题(P2)进行分枝.

于是, 原问题(P0)的最优解为 $x^* = x^6 = (2, 1)^T$, 最优值为 $z^* = z_6 = -3$.

图 9.2 是本例的求解过程示意图, 按照上述步骤把求解过程走一遍, 对理解分枝定界法是有帮助的.

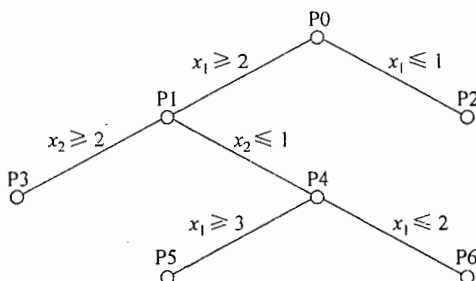


图 9.2 分枝定界法求解过程示意图

在具体求解过程中还有一些更精细的问题需要考虑,如选哪一个非整数解的分量对可行域作进一步的分解(分枝),每次分枝后先检查哪一枝,这些都没有统一的原则.

上面的方法可以很容易地推广到解非线性整数规划.对应的定界方法仍然可以是连续规划松弛,即解对应的非线性(连续)规划.当然,还存在其他的“定界”技术,如拉格朗日松弛方法等,这里就不多介绍了.

分枝定界法希望通过“定界”技术尽量避免完全枚举,但为了保证找到最优解,又必须隐式地枚举一切可行解.在最坏的情况下,分枝到最后的的结果可能等价于完全枚举,因此计算时间可能很长,对大规模问题可能无法在可以接受的计算时间内得到一个比较好的解.

如果准备自己编写一个分枝定界算法求解整数规划,我们提醒大家注意:在没有整数数据结构的语言中,必须解决如何判断一个实数是整数的问题.

9.2.2 动态规划法

为了说明动态规划方法的基本思想,先看下面的例子.

例3 最短路问题

在纵横交错的公路网中(如图9.3所示),货车司机希望找到一条从一个城市到另一个城市的最短路.图中 A_1, A_2, \dots 表示货车可以停靠的城市,路线旁的数字表示两个城市之间的距离(百公里).若货车要从城市 S 出发到达城市 T ,问如何选择行驶路线使所经过的路程最短?

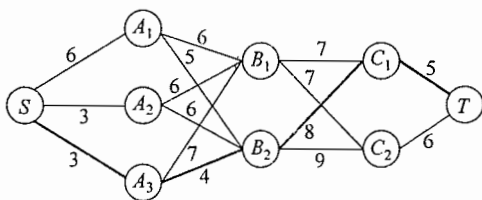


图9.3 最短路问题的例子

解 容易看出,从 S 到 T 的路线共12条,用枚举法当然可以找出最短路,但是当路段很多时计算量太大.用动态规划方法解决这个问题的思想来源于生活中的一个基本常识:如果已经找到从 S 到 T 的最短路是 $L: S \rightarrow A_3 \rightarrow B_2 \rightarrow C_1 \rightarrow T$ (图9.3中粗线),那么,从 L 上任何一点如 B_2 到 T 的最短路一定是 L 的一段子路线 $L_1: B_2 \rightarrow C_1 \rightarrow T$.否则,若 B_2 到 T 的最短路是另一条路线 L_2 ,则把 $S \rightarrow A_3 \rightarrow B_2$ 与 L_2 连起来,就得到不同于 L 的从 S 到 T 的最短路.

由此,为了得到从 S 到 T 的最短路,只需先求出从 $A_i (i=1, 2, 3)$ 到 T 的最短路;为了求出从 $A_i (i=1, 2, 3)$ 到 T 的最短路,只需先求出从 $B_j (j=1, 2)$ 到 T 的最短路;接着,

只需先求出从 $C_l (l=1, 2)$ 到 T 的最短路, 而这可立即得到(例中 $C_l (l=1, 2)$ 到 T 的路线是惟一的).

具体做法是: 把从 S 到 T 的行驶过程分成 $k=1, 2, 3, 4$ 共 4 个阶段, 即 $S \rightarrow A_i (i=1, 2 \text{ 或 } 3), A_i \rightarrow B_j (j=1 \text{ 或 } 2), B_j \rightarrow C_l (l=1 \text{ 或 } 2), C_l \rightarrow T$. 记 $d(X, Y)$ 为城市 X 与 Y 之间的直接距离(若这两个城市之间没有道路直接相连, 则可以认为直接距离为无穷大), 用 $L(X)$ 表示城市 X 到 T 的最短路的长度, 则

$$k=4, L(C_1)=5, L(C_2)=6;$$

$$k=3, L(B_1)=\min\{d(B_1, C_1)+L(C_1), d(B_1, C_2)+L(C_2)\} \\ =\min\{7+5, 7+6\}=12,$$

最短路是 $B_1 \rightarrow C_1 \rightarrow T$,

$$L(B_2)=\min\{d(B_2, C_1)+L(C_1), d(B_2, C_2)+L(C_2)\} \\ =\min\{8+5, 9+6\}=13,$$

最短路是 $B_2 \rightarrow C_1 \rightarrow T$;

$$k=2, L(A_1)=\min\{d(A_1, B_1)+L(B_1), d(A_1, B_2)+L(B_2)\} \\ =\min\{6+12, 5+13\}=18,$$

最短路是 $A_1 \rightarrow B_1 \rightarrow C_1 \rightarrow T$,

$$L(A_2)=\min\{d(A_2, B_1)+L(B_1), d(A_2, B_2)+L(B_2)\}=\min\{6+12, 6+13\}=18,$$

最短路是 $A_2 \rightarrow B_1 \rightarrow C_1 \rightarrow T$,

$$L(A_3)=\min\{d(A_3, B_1)+L(B_1), d(A_3, B_2)+L(B_2)\}=\min\{7+12, 4+13\}=17,$$

最短路是 $A_3 \rightarrow B_2 \rightarrow C_1 \rightarrow T$;

$$k=1, L(S)=\min\{d(S, A_1)+L(A_1), d(S, A_2)+L(A_2), d(S, A_3)+L(A_3)\} \\ =\min\{6+18, 3+18, 3+17\}=20,$$

最短路是 $S \rightarrow A_3 \rightarrow B_2 \rightarrow C_1 \rightarrow T$, 这条最短路的长度为 20.

显然, 这种办法的计算量比枚举法小, 当路段增加时其优势更为显著, 并且, 这种办法得到的不仅是从 S 到 T 的最短路, 而且得到了从任何一点到 T 的最短路.

上面的方法称为动态规划(dynamic programming), 是数学规划的一个分支, 具有广泛的应用领域. 动态规划主要用于处理多阶段决策问题, 所谓多阶段决策(multi-stage decision making), 是将决策问题的全过程恰当地划分为若干个相互联系的子过程(每个子过程为一个阶段), 以便按照一定的次序去求解. 在多阶段决策问题中, 每个阶段 k 开始时所处的自然状况或客观条件称为状态, 一般用状态变量如 x_k 来描述. 当过程处于某个阶段的某个状态时, 从该状态演变为下一个阶段某状态所作的选择称为决策, 一般用决策变量如 u_k 描述. 由所有各阶段的决策组成的决策序列称为策略, 其中能使总体性能(目标函数, 对子过程通常称为准则函数)达到最优的策略称为最优策略.

动态规划解决问题时要求目标函数(准则函数) V 具有某种“可分性”, 即

$$V_{k,n} = v_k(x_k, u_k) \oplus V_{k+1,n}. \quad (31)$$

这里的运算“ \oplus ”可以是通常的加法或乘法等运算, $V_{k,n}$ 表示阶段 k 到最后阶段 n 的准则函数, 而 $v_k(x_k, u_k)$ 是第 k 阶段的准则函数.

在动态规划中, 多阶段决策要求具有无后效性, 即当某阶段的状态一旦确定, 则此后过程的演变不再受此前各状态和决策的影响, 或者说“未来与过去无关”. 因此, 当前状态是此前历史的一个完整总结, 而此前历史只能通过当前状态去影响未来的演变, 即由 x_k 状态出发的后部子过程可以看成是一个以 x_k 为初始状态的独立过程. 此时, 状态转移方程的一般形式为

$$x_{k+1} = T_k(x_k, u_k). \quad (32)$$

建立动态规划模型的基本过程是:

(1) 正确划分阶段, 选择阶段变量 k . (阶段一般是根据时间和空间的自然特征来划分, 便于以问题的求解为目的.)

(2) 对每个阶段, 正确选择状态变量 $x_k \in X_k$ (X_k 表示 k 阶段的状态集合). 选择状态变量时应当注意两点: 一是要能够正确描述过程的演变特性, 二是要满足无后效性.

(3) 对每个阶段, 正确选择决策变量 $u_k \in U_k$ (U_k 表示 k 阶段的允许决策集合).

(4) 列出相邻阶段的状态转移方程: $x_{k+1} = T_k(x_k, u_k)$.

(5) 列出按阶段可分的准则函数 $V_{k,n}$.

假设问题的目标是极小化(极大化也类似), 用 $f_k(x_k)$ 表示第 k 阶段状态为 x_k 时从 k 到最后阶段 n 这一后部子过程的最优准则函数(即准则函数 $V_{k,n}$ 的最优值), 而 $f_{n+1}(x_{n+1})$ 一般可以根据实际意义得到(如 $f_{n+1}(x_{n+1}) = 0$, 称为边界条件), 于是有如下逆序递推公式(图 9.4 是逆序递推过程的图示):

$$\begin{cases} f_k(x_k) = \min_{u_k \in U_k} [v_k(x_k, u_k) + f_{k+1}(x_{k+1})], & x_{k+1} = T_k(x_k, u_k), \\ f_{n+1}(x_{n+1}) = 0, & k = n, n-1, \dots, 1. \end{cases} \quad (33)$$

方程(33)称为动态规划基本方程. 当按式(33)计算至 $f_1(x_1)$ 时即得到最优的目标函数值, 再顺序地查找使 $V_{k,n}$ 达到最优的决策 u_k ($k=1, 2, \dots, n$), 就得到最优策略.

类似地, 有些问题也可以建立顺序递推的动态规划基本方程.

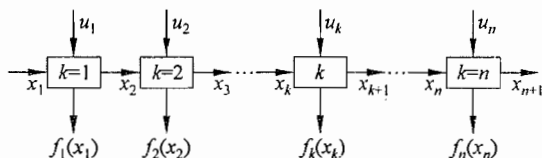


图 9.4 动态规划的逆序递推过程

下面是一个用动态规划方法解整数规划的例子.

例4 资源分配问题

某公司准备将 M 台设备分配给所属的 N 家工厂. 已知当分配 u_k 台设备给工厂 k 时, 工厂 k 利用这些设备为公司创造的利润为 $g_k(u_k)$ ($1 \leq k \leq N$). 一般来说, 所有 $g_k(u_k) \geq 0$ 且为增函数. 应当如何分配设备资源, 使得公司总利润最大?

解 该问题可以用整数规划描述如下:

$$\begin{cases} \max z = \sum_{k=1}^N g_k(u_k), \\ \text{s. t. } \sum_{k=1}^N u_k = M, \quad u_k \text{ 为非负整数.} \end{cases} \quad (34)$$

由于 $g_k(u_k)$ 不一定是线性函数, 因此式 (34) 可能是非线性整数规划. 我们把它转化为多阶段决策过程, 建立动态规划模型.

共有 N 个工厂, 可以把问题分解为 N 个阶段: 在任意阶段 k ($=N, N-1, \dots, 1$), 公司把手中拥有的设备分配给工厂 k .

状态变量 x_k 可以选为: x_k 表示第 k 阶段初公司手中拥有的设备台数. 由题意可知 $x_1 = M, x_{N+1} = 0$.

决策变量 u_k 可以选为: u_k 表示第 k 阶段分配给工厂 k 的设备台数 ($0 \leq u_k \leq x_k$). 因此状态转移方程为 $x_{k+1} = x_k - u_k$.

阶段 k 的准则函数为 $v_k(x_k, u_k) = g_k(u_k)$.

用 $f_k(x_k)$ 表示将手中现有资源 x_k 依次分配给工厂 $k, k+1, \dots, N$ 时的最大利润, 则有如下动态规划基本方程

$$\begin{cases} f_k(x_k) = \max_{0 \leq u_k \leq x_k} [g_k(u_k) + f_{k+1}(x_{k+1})], & x_{k+1} = x_k - u_k, \\ f_{N+1}(x_{N+1}) = 0, & k = N, N-1, \dots, 1. \end{cases} \quad (35)$$

由式 (35) 计算至 $f_1(M)$ 时就得到原问题的结果.

设 $M=4, N=3, g_k(u_k)$ 由表 9.4 给出, 我们按照式 (35) 计算.

表 9.4

工厂 k	1	2	3
设备数 u_k			
0	0	0	0
1	4	2	3
2	6	5	5
3	7	6	7
4	7	8	8

可以看出 $g_k(u_k)$ 是增函数. 显然有 $x_1=4, x_4=0, 0 \leq x_k \leq 4$ ($k=2, 3$). 递推求解如下:

边界条件: $f_4(x_4) = f_4(0) = 0$.

$$k=3, f_3(x_3) = \max_{0 \leq u_3 \leq x_3} [g_3(u_3) + f_4(0)] = g_3(x_3),$$

$$f_3(0) = g_3(0) = 0; f_3(1) = g_3(1) = 3; f_3(2) = g_3(2) = 5;$$

$$f_3(3) = g_3(3) = 7; f_3(4) = g_3(4) = 8.$$

$$k=2, f_2(x_2) = \max_{0 \leq u_2 \leq x_2} [g_2(u_2) + f_3(x_3)] = \max_{0 \leq u_2 \leq x_2} [g_2(u_2) + f_3(x_2 - u_2)],$$

$$f_2(0) = \max_{0 \leq u_2 \leq 0} [g_2(u_2) + f_3(0 - u_2)] = g_2(0) + f_3(0) = 0 + 0 = 0;$$

$$\begin{aligned} f_2(1) &= \max_{0 \leq u_2 \leq 1} [g_2(u_2) + f_3(1 - u_2)] = \max\{g_2(0) + f_3(1), g_2(1) + f_3(0)\} \\ &= \max\{0 + 3, 2 + 0\} = 3; \end{aligned}$$

$$\begin{aligned} f_2(2) &= \max_{0 \leq u_2 \leq 2} [g_2(u_2) + f_3(2 - u_2)] \\ &= \max\{g_2(0) + f_3(2), g_2(1) + f_3(1), g_2(2) + f_3(0)\} \\ &= \max\{0 + 5, 2 + 3, 5 + 0\} = 5; \end{aligned}$$

$$\begin{aligned} f_2(3) &= \max_{0 \leq u_2 \leq 3} [g_2(u_2) + f_3(3 - u_2)] \\ &= \max\{g_2(0) + f_3(3), g_2(1) + f_3(2), g_2(2) + f_3(1), g_2(3) + f_3(0)\} \\ &= \max\{0 + 7, 2 + 5, 5 + 3, 6 + 0\} = 8; \end{aligned}$$

$$\begin{aligned} f_2(4) &= \max_{0 \leq u_2 \leq 4} [g_2(u_2) + f_3(4 - u_2)] \\ &= \max\{g_2(0) + f_3(4), g_2(1) + f_3(3), g_2(2) + f_3(2), \\ &\quad g_2(3) + f_3(1), g_2(4) + f_3(0)\} \\ &= \max\{0 + 8, 2 + 7, 5 + 5, 6 + 3, 8 + 0\} = 10; \end{aligned}$$

$$k=1, f_1(x_1) = \max_{0 \leq u_1 \leq x_1} [g_1(u_1) + f_2(x_2)] = \max_{0 \leq u_1 \leq x_1} [g_1(u_1) + f_2(x_1 - u_1)],$$

$$\begin{aligned} f_1(4) &= \max_{0 \leq u_1 \leq 4} [g_1(u_1) + f_2(4 - u_1)] \\ &= \max\{g_1(0) + f_2(4), g_1(1) + f_2(3), g_1(2) + f_2(2), g_1(3) + f_2(1), \\ &\quad g_1(4) + f_2(0)\} \\ &= \max\{0 + 10, 4 + 8, 6 + 5, 7 + 3, 7 + 0\} = 12. \end{aligned}$$

得到 $f_1(4) = 12$ 为最大利润. 进一步分析计算过程, 可以知道 $f_1(4) = 12$ 在 $u_1 = 1, u_2 = 2, u_3 = 1$ 时成立. 因此最优解为 $u_1^* = 1, u_2^* = 2, u_3^* = 1$.

实际上, 对于以数据形式给出的 $g_k(u_k)$, 整数规划模型(34)只能用上述动态规划方法求解.

上述方法可以推广到有两种(或更多)资源可供分配的二维(或多维)资源分配问题.

9.3 用 LINDO 和 LINGO 解整数规划

LINDO(Linear Interactive and Discrete Optimizer)和 LINGO(Linear Interactive and General Optimizer)是由美国芝加哥大学的 Linus Schrage 于 1986 年开发的优化计算软件包, LINDO 可以用来求解线性规划、线性整数规划、二次规划和整数二次规划, 而 LINGO 除此之外还可以解非线性规划和非线性整数规划. 该软件的最大特点在于其对整数规划的处理能力比较强, 而且模型的输入比较方便, 使用起来比较简单. 从 LINDO 公司的主页(<http://www.lindo.com>)上读者可以了解更多的有关信息, 并可以下载软件的试用版.

先介绍用 LINDO 求解线性规划的方法.

9.3.1 用 LINDO 求解线性规划

用 LINDO 求解线性规划(LP)时, 首先在 LINDO 软件的模型窗口输入一个 LP 模型, 模型以 MAX 或 MIN 开始, 按线性规划问题的自然形式输入(见下面例子所示). 输入结束时只需键入 END.

我们来解前面例 1 中的整数规划模型(25)对应的如下 LP 松弛问题:

$$\begin{aligned} \max z &= 5x_1 + 8x_2, \\ \text{s. t. } x_1 + x_2 &\leq 6, \\ 5x_1 + 9x_2 &\leq 45, \\ x_1, x_2 &\geq 0. \end{aligned} \quad (36)$$

由于 LINDO 中已假设所有的变量都是非负的, 所以非负约束不必输入; LINDO 也不区分变量中的大小写字符(实际上任何小写字符将被转换为大写字符); 约束条件中的“ \leq ”及“ \geq ”可用“ $<$ ”及“ $>$ ”代替. 在 LINDO 模型窗口输入如下:

```
MAX 5X1 + 8X2
ST                                ! 说明: ST 以下为约束条件
X1 + X2 < 6
5X1
    + 9X2 <= 45                  ! 说明: 一个约束分成两行写也没有关系
END
```

用鼠标单击菜单中的求解命令(SOLVE)就可得到解答, 结果窗口显示如下:

```
LP OPTIMUM FOUND AT STEP 2
OBJECTIVE FUNCTION VALUE
1) 41.25000
```

VARIABLE	VALUE	REDUCED COST
X1	2.250000	0.000000
X2	3.750000	0.000000
ROW	SLACK OR SURPLUS	DUAL PRICES
2)	0.000000	1.250000
3)	0.000000	0.750000
NO. ITERATIONS= 2		

一个问题解答之后, LINDO 会询问是否需要做敏感性分析 (DO RANGE (SENSITIVITY) ANALYSIS?) 如果你不需要, 应回答“N”(NO).

计算结果表明:

“LP OPTIMUM FOUND AT STEP2”表示单纯形法在两次迭代(旋转)后得到最优解.

“OBJECTIVE FUNCTION VALUE 1) 41.25000”表示最优目标值为 41.25000 (LINDO 中将目标函数自动看作第 1 行, 从第 2 行开始才是真正的约束行).

“VALUE”给出最优解中各变量(VARIABLE)的值: $X_1=2.250000$, $X_2=3.750000$.

“REDUCED COST”的含义是 (对 max 型问题): 基变量的 reduced cost 值为 0; 对于非基变量, 相应的 reduced cost 值表示当该非基变量增加一个单位时 (其他非基变量保持不变) 目标函数减少的量. 本例中两个变量都是基变量, 此值均为 0. 实际上, 熟悉线性规划的单纯形算法的读者可以发现, “REDUCED COST”给出的是最优单纯形表中决策变量对应的“判别数”(也称为“检验数”). “REDUCED COST”还有另一种等价的解释: 为了使非基变量变成基变量, 该变量在目标函数中对应的系数应该增加的量.

“SLACK OR SURPLUS”给出松弛(或剩余)变量的值, 表示约束是否起作用约束: 第 2、第 3 行松弛变量均为 0, 说明对于最优解而言, 两个约束(第 2、第 3 行)均是起作用约束(取等号).

“DUAL PRICES”给出约束的影子价格(也称为对偶价格)的值: 第 2、第 3 行(约束)对应的影子价格分别为 1.250000, 0.750000.

“NO. ITERATIONS= 2”表示用单纯形法进行了两次迭代(旋转).

如果对上面的“是否需要做敏感性分析”的询问回答“Y”(YES), 则 LINDO 还会输出以下结果:

RANGES IN WHICH THE BASIS IS UNCHANGED:

VARIABLE	OBJ COEFFICIENT RANGES		
	CURRENT COEF	ALLOWABLE INCREASE	ALLOWABLE DECREASE
X1	5.000000	3.000000	0.555556

X2	8.000000	1.000000	3.000000
RIGHTHAND SIDE RANGES			
ROW	CURRENT	ALLOWABLE	ALLOWABLE
	RHS	INCREASE	DECREASE
2	6.000000	3.000000	1.000000
3	45.000000	9.000000	15.000000

以上显示的是当前最优基(矩阵)保持不变的充分条件(RANGES IN WHICH THE BASIS IS UNCHANGED), 包括目标函数中决策变量对应的系数的变化范围(OBJ COEFFICIENT RANGES)和约束的右端项的变化范围(RIGHTHAND SIDE RANGES)两部分.

例如: 前一部分的输出行

X1 5.000000 3.000000 0.555556

表示决策变量 X1 当前在目标函数中对应的系数为 5, 允许增加 3 和减少 0.555556. 也就是说, 当该系数在区间 $[4.444444, 8]$ 上变化时(假设其他条件均不变), 当前最优基矩阵保持不变. 对 X2 对应的输出行也可以类似地解释. 由于此时约束没有任何改变, 所以最优基矩阵保持不变意味着最优解不变(当然, 由于目标函数中的系数发生变化, 最优值还是会变化的).

后一部分的输出行

2 6.000000 3.000000 1.000000

表示约束 2 当前右端项为 6, 允许增加 3 和减少 1. 也就是说, 当该系数在区间 $[5, 9]$ 上变化时(假设其他条件均不变), 当前最优基矩阵保持不变. 对约束 3 对应的输出行也可以类似地解释. 由于此时约束已经改变, 虽然最优基矩阵保持不变, 最优解和最优值还是会变化的. 但是, 由于最优基矩阵保持不变, 所以前面的“DUAL PRICES”给出的约束的影子价格此时仍然是有效的.

用 LINDO 求解 LP 问题时, 应注意以下几个问题:

(1) 模型以 MAX 或 MIN 开始定义目标函数(注意不需要等号); 目标函数及约束条件之间一定要有 ST 或 S. T. 或 SUBJECT TO 或 SUCH THAT 分开; END 语句表示约束条件输入结束.

(2) 约束中 > (或 <) 号与 > = (或 < =) 功能相同.

(3) 变量名不能超过 8 个字符, 并且以字母开头; 变量名(包括 LINDO 中的关键字也不区分大小写).

(4) 变量与其系数间可以有空格(甚至回车), 但不能有任何运算符号(如乘号 * 等).

(5) LINDO 不允许变量出现在一个约束条件的右端.

(6) LINDO 中不能接受括号“()”和逗号“, ”, 例如: $400(X_1 + X_2)$ 需写为 $400X_1 + 400X_2$, 等.

(7) 表达式应当已经经过化简, 如不能出现 $2X_1 + 3X_2 - 4X_1$, 而应写成 $-2X_1 + 3X_2$ 等.

(8) LINDO 中已假定所有变量非负. 可在 END 语句后用 FREE vname 命令将变量 vname 的非负假定取消; 还可以用 SUB, SLB 命令设定变量的上界、下界.

(9) LINDO 将目标函数所在行作为第一行, 从第二行起为约束条件. 行号自动产生, 也可以人为定义行号或行名, 行号或行名放在该行前面, 以“()”结束. 行名和变量名一样, 不能超过 8 个字符.

(10) LINDO 文件中常有注释间杂于各命令之中, 前面注有[!]符号. 例如: ! This is a comment.

(11) 在模型的任何地方都可以用 TITLE 对模型命名或标识(最多 72 个字符), 如:

```
TITLE This Model is only an Example
```

9.3.2 用 LINDO 求解整数规划

LINDO 可用于求解单纯的或混合型的整数规划. LINDO 求解 IP 问题用的是分枝定界法. 但目前 IP 尚无完善的敏感性分析理论, 因此敏感性分析在整数规划中没有意义.

IP 问题的输入与 LP 类似, 但在 END 语句标志后需定义整型变量, 用 GIN 来标识:

```
GIN vname
```

或

```
GIN n
```

前者只将变量 vname 标识为整型, 后者将模型中前 n 个变量标识为整型(变量顺序由输入决定, 该顺序可在输出结果中查证).

0-1 型的变量由 INTEGER(可简写为 INT)来标识:

```
INT vname
```

或

```
INT n
```

前者只将变量 vname 标识为 0-1 型, 后者将模型中前 n 个变量标识为 0-1 型.

例 1 的整数规划模型(25)应输入:

```

MAX 5X1 + 8X2
ST
X1 + X2 < 6
5X1 + 9X2 < 45
END
GIN 2

```

运行后在结果窗口的前半部显示了一些有关分枝定界的计算信息,后半部才是我们有用的结果:

```

LAST INTEGER SOLUTION IS THE BEST FOUND
RE-INSTALLING BEST SOLUTION...
OBJECTIVE FUNCTION VALUE
1)          40.00000
VARIABLE      VALUE          REDUCED COST
X1             0.000000        -5.000000
X2             5.000000        -8.000000
ROW    SLACK OR SURPLUS    DUAL PRICES
2)          1.000000        0.000000
3)          0.000000        0.000000
NO. ITERATIONS= 12
BRANCHES=3  DETERM. = 1.000E 0

```

即最优解为 $X_1=0$, $X_2=5$, 最优值为 40.

9.3.3 用 LINGO 求解整数规划

LINGO 软件可用于求解线性或非线性规划(无论是连续规划还是整数规划),因此包含了 LINDO 的功能. 在 LINGO 中,输入总是以 model: 开始,以 end 结束;中间的语句之间必须以“;”分开;目标函数用 MAX = ...; 或 MIN = ...; 给出(注意有等号“=”). 在 LINGO 中所有的函数均以“@”符号开始,如约束中 @gin(X1) 表示 X_1 为整数,用 @bin(X1) 表示 X_1 为 0-1 整数(注意没有 @int 函数). 在现在的 LINGO 中,默认设置假定所有变量非负.

例如,例 1 中的整数规划模型(25)在 LINGO 中可以如下输入:

```

model:
X1 + X2 < 6;          ! 约束条件和目标函数可以写在 model: 与 end 之间的任何位置
MAX=5 * X1 + 8 * X2;  ! * 号不能省略
5 * X1 <= 45 - 9 * X2;
@gin(X1); @gin(X2);  ! 和 LINDO 不同,不能写在 end 之后

```


end

运行后同样得到最优解为 $X_1=0$, $X_2=5$, 最优值为 40.

值得说明的是,即使是线性模型,在 LINDO 中书写格式非常严格,约束也只能一个输入,因此输入一个大规模的模型是比较困难的.而 LINGO 不仅能解非线性模型,书写格式相当自由,而且有一个非常大的优点,即 LINGO 实际上提供了数学规划模型的一种建模描述语言,输入一个大规模的模型也是很方便的.例如,一个 LINGO 程序除了主体部分(目标和约束)外,还可以有以 SETS: 开始、ENDSETS 结束的集合部分(用于定义集合变量及其属性),以 DATA: 开始、ENDDATA 结束的数据部分(用于输入已知参数),以及以 INIT: 开始、ENDINIT 结束的初值部分(用于给出变量初值).

作为一个例子,我们用 LINGO 来解前面的例 3(最短路问题).用 1,2,...,9 表示城市 $T, C_1, C_2, B_1, B_2, A_1, A_2, A_3, S$, 则可以编写如下 LINGO 程序:

```
model :
SETS :
    CITIES /1..9/ : L;          ! CITIES 表示由 1~9 组成的集合,是一个基本集合
    ROADS(CITIES, CITIES)/      ! 属性 L(i)表示城市 i 到城市 1 的最优行驶路线的路长
    9,6 9,7 9,8                ! ROADS 表示网络中的弧,是由 CITIES 派生的集合
    6,4 6,5 7,4 7,5 8,4 8,5    ! 由于并非所有城市间都有道路直接连接,所以将弧具体列出
    4,2 4,3 5,2 5,3
    2,1 3,1/ : D;              ! 属性 D(i,j)是城市 i 到 j 的直接距离(已知)
ENDSETS

DATA:
    D =                          ! D 赋值的顺序对应于 ROADS 中的弧的顺序
        6 3 3
        6 5 8 6 7 4
        6 7 8 9
        5 6;
ENDDATA

L(1) = 0;                       ! 边界条件;
@FOR(CITIES(i) | i #GT# 1 :    ! 集合循环语句; #GT# 表示逻辑关系“大于”
    L(i) = @MIN(ROADS(i,j) : D(i,j) + L(j)) ! 这就是动态规划基本方程
);
end
```

从以上模型中可以看出:一个 LINGO 程序甚至可以没有目标函数.该程序也没有初值部分,但有集合部分和数据部分.LINGO 中的集合相当于下标集合的意思,集合部分定

义的 CITIES 是一个基本集合(元素通过枚举给出), L 是其对应的属性变量; ROADS 是由 CITIES 派生的一个派生集合(由于并非所有城市间都有道路直接连接, 所以将弧具体列出, 这样的派生集合称为稀疏集合), D 是其对应的属性变量. @FOR 函数用于定义一个循环语句.

运行以上程序后得到:

```
L(1)      0.000000
L(2)      5.000000
L(3)      6.000000
L(4)      11.00000
L(5)      13.00000
L(6)      17.00000
L(7)      19.00000
L(8)      17.00000
L(9)      20.00000
```

所以, 从 S 到 T 的最优行驶路线的路长为 20(进一步分析以上求解过程, 可以得到从 S 到 T 的最优行驶路线为 $S \rightarrow A_3 \rightarrow B_2 \rightarrow C_1 \rightarrow T$).

LINGO 中还包括相当丰富的数学函数和控制语句, 并可以直接利用其他应用系统(如 Microsoft EXCEL 或 ACCESS)提供的数据库. 此外, LINDO 公司还开发了一个称为 LINDO-API 的产品, 提供与其他语言(如 VB, C++, MATLAB 等)的接口. LINDO-API 与 MATLAB 连接后, 就如同在 MATLAB 中安装了一个新的 LINDO(包括 LINGO)工具箱一样. 总之, LINGO 软件的功能比较强大, 使用也比较方便.

9.4 实例的求解

9.4.1 选课问题(续)

9.1.1 节提出的“选课方案”模型(3)可以如下输入 LINDO 软件:

```
MIN X1 + X2 + X3 + X4 + X5 + X6 + X7 + X8 + X9 + X10
    + X11 + X12 + X13 + X14 + X15 + X16 + X17 + X18
SUBJECT TO
    5X1 + 5X2 + 4X3 + 4X4 + 3X5 + 3X6 + 3X7 + 2X8 - y1 = 0
    3X9 + 3X10 + 3X11 + 2X12 + 2X13 + 2X14 + X15 + X16 + X17 + X18 - y2 = 0
    y1 + y2 - y = -2
    y >= 20
    6y2 - y >= 0
    3y2 - y <= 0
```

```

X1 - X5 >= 0
X2 - X7 >= 0
X8 - X9 >= 0
X6 - X10 >= 0
X4 - X11 >= 0
X5 - X12 >= 0
X7 - X13 >= 0
X6 - X14 >= 0
END
INT 18

```

得到最优解为: $x_2 = x_4 = x_6 = x_{10} = x_{11} = 1$, 其他 x_i 为 0, $y_1 = 12$, $y_2 = 6$, $y = 20$, 最少要选修 5 门课, 课号为 2, 4, 6, 10, 11.

不过, 这个问题的最优解不惟一. 例如, 还有最优解: $x_1 = x_2 = x_6 = x_{10} = x_{14} = 1$, 其他 x_i 为 0, $y_1 = 13$, $y_2 = 5$, $y = 20$. 一般来说, 得到一个整数规划问题的所有最优解是很困难的(而且判断一个整数规划问题的最优解的个数也是困难的).

对于在选修最少学分(即 20 学分)的情况下, 最多可以选修多少门课的问题, 只需要在上面的模型中增加约束 $y = 20$, 并将模型中的 MIN 改成 MAX. 求解得到如下结果: $x_1 = x_4 = x_5 = x_8 = x_{15} = x_{16} = x_{17} = x_{18} = 1$, 其他 x_i 为 0, $y_1 = 14$, $y_2 = 4$, $y = 20$, 即最多可以选修 8 门课. 请读者试试是否还可以找到其他的最优解.

9.4.2 钢管下料(续)

问题(1)的求解 将式(4), 式(6)~(9)构成的线性整数规划模型输入 LINDO 如下:

```

MIN 3x1 + x2 + 3x3 + 3x4 + x5 + x6 + 3x7
s. t.
    4x1 + 3x2 + 2x3 + x4 + x5 >= 50
        x2 + 2x4 + x5 + 3x6 >= 20
            x3 + x5 + 2x7 >= 15
END
gin 7

```

求解可以得到最优解如下:

OBJECTIVE FUNCTION VALUE

1) 27.00000

VARIABLE	VALUE	REDUCED COST
x1	0.000000	3.000000
x2	12.000000	1.000000

实验 9 整数规划

x3	0.000000	3.000000
x4	0.000000	3.000000
x5	15.000000	1.000000
x6	0.000000	1.000000
x7	0.000000	3.000000

即按照模式 2 切割 12 根原料钢管,按照模式 5 切割 15 根原料钢管,共 27 根,总余料量为 27m. 显然,在总余料量最小的目标下,最优解将是使用余料尽可能小的切割模式(模式 2 和模式 5 的余料为 1m),这会导致切割原料钢管的总根数较多.

将式(5)~(9)构成的线性整数规划模型输入 LINDO 求解,可以得到最优解如下:

OBJECTIVE FUNCTION VALUE

1) 25.00000

VARIABLE	VALUE	REDUCED COST
x1	0.000000	1.000000
x2	15.000000	1.000000
x3	0.000000	1.000000
x4	0.000000	1.000000
x5	5.000000	1.000000
x6	0.000000	1.000000
x7	5.000000	1.000000

即按照模式 2 切割 15 根原料钢管,按模式 5 切割 5 根,按模式 7 切割 5 根,共 25 根,可算出总余料量为 35m. 与上面得到的结果相比,总余料量增加了 8m,但是所用的原料钢管的总根数减少了 2 根. 在余料没有什么用途的情况下,通常选择总根数最少为目标.

问题(2)的求解 非线性整数规划模型(10)~(18)虽然用 LINGO 软件可以直接求解,但为了减少运行时间,可以增加一些显然的约束条件,从而缩小可行解的搜索范围.

例如,由于 3 种切割模式的排列顺序是无关紧要的,所以不妨增加以下约束:

$$x_1 \geq x_2 \geq x_3. \quad (37)$$

又例如,注意到所需原料钢管的总根数有着明显的上界和下界. 首先,无论如何,原料钢管的总根数不可能少于 $\lceil \frac{4 \times 50 + 5 \times 10 + 6 \times 20 + 8 \times 15}{19} \rceil = 26$ (根). 其次,考虑一种非常特殊的生产计划: 第一种切割模式下只生产 4m 钢管,一根原料钢管切割成 4 根 4m 钢管,为满足 50 根 4m 钢管的需求,需要 13 根原料钢管;第二种切割模式下只生产 5m、6m 钢管,一根原料钢管切割成 1 根 5m 钢管和 2 根 6m 钢管,为满足 10 根 5m 和 20 根 6m 钢管的需求,需要 10 根原料钢管;第三种切割模式下只生产 8m 钢管,一根原料钢管切割成 2 根 8m 钢管,为满足 15 根 8m 钢管的需求,需要 8 根原料钢管. 于是满足要求的这种生产计划共需 $13 + 10 + 8 = 31$ 根原料钢管,这就得到了最优解的一个上界. 所以可增加以下

约束:

$$26 \leq x_1 + x_2 + x_3 \leq 31. \quad (38)$$

将式(10)~(18)、(37)式、(38)式构成的模型输入 LINGO 如下:

```
model:
min=x1+x2+x3;
x1*r11+x2*r12+x3*r13>=50;
x1*r21+x2*r22+x3*r23>=10;
x1*r31+x2*r32+x3*r33>=20;
x1*r41+x2*r42+x3*r43>=15;
4*r11+5*r21+6*r31+8*r41<=19;
4*r12+5*r22+6*r32+8*r42<=19;
4*r13+5*r23+6*r33+8*r43<=19;
4*r11+5*r21+6*r31+8*r41>=16;
4*r12+5*r22+6*r32+8*r42>=16;
4*r13+5*r23+6*r33+8*r43>=16;
x1+x2+x3>=26;
x1+x2+x3<=31;
x1>=x2;
x2>=x3;
@gin(x1);@gin(x2);@gin(x3);
@gin(r11);@gin(r12);@gin(r13);
@gin(r21);@gin(r22);@gin(r23);
@gin(r31);@gin(r32);@gin(r33);
@gin(r41);@gin(r42);@gin(r43);
end
```

得到输出如下:

```
Local optimal solution found at iteration: 15187
Objective value: 28.00000
Variable Value Reduced Cost
x1 10.00000 0.000000
x2 10.00000 2.000000
x3 8.000000 1.000000
r11 3.000000 0.000000
r12 2.000000 0.000000
r13 0.000000 0.000000
r21 0.000000 0.000000
r22 1.000000 0.000000
```

r23	0.000000	0.000000
r31	1.000000	0.000000
r32	1.000000	0.000000
r33	0.000000	0.000000
r41	0.000000	0.000000
r42	0.000000	0.000000
r43	2.000000	0.000000

即按照模式 1,2,3 分别切割 10 根,10 根,8 根原料钢管,使用原料钢管总根数为 28 根. 第一种切割模式下一根原料钢管切割成 3 根 4m 钢管和 1 根 6m 钢管;第二种切割模式下一根原料钢管切割成 2 根 4m 钢管、1 根 5m 钢管和 1 根 6m 钢管;第三种切割模式下一根原料钢管切割成 2 根 8m 钢管.

请读者试试,如果不增加约束(37)和(38),程序运行时间有多大差异.

最后,作为一个例子,说明利用定义集合的方法,上面的模型也可以如下输入:

```
model:
SETS:
    NEEDS/1..4/ : LENGTH,NUM;      ! 定义基本集合 NEEDS 及其属性 LENGTH,NUM;
    CUTS/1..3/ : X;                ! 定义基本集合 CUTS 及其属性 X;
    PATTERNS(NEEDS,CUTS) : R;      ! 定义派生集合 PATTERNS(这是一个稠密集合)及其属性 R;
ENDSETS
DATA:
    LENGTH=4 5 6 8;
    NUM=50 10 20 15;
    CAPACITY=19;
ENDDATA
min= @SUM(CUTS(I) : X(I) );        ! 目标函数;
@FOR(NEEDS(I) : @SUM(CUTS(J) : X(J) * R(I,J) ) > NUM(I) );    ! 满足需求约束;
@FOR(CUTS(J) : @SUM(NEEDS(I) : LENGTH(I) * R(I,J) ) < CAPACITY );    ! 合理切割模式约束;
@FOR(CUTS(J) : @SUM(NEEDS(I) : LENGTH(I) * R(I,J) ) > CAPACITY
    - @MIN(NEEDS(I) : LENGTH(I) );    ! 合理切割模式约束;
@SUM(CUTS(I) : X(I) ) > 26; @SUM(CUTS(I) : X(I) ) < 31; ! 人为增加约束;
@FOR(CUTS(I) | I # LT # @SIZE(CUTS) : X(I) > X(I+1) );    ! 人为增加约束;
@FOR(CUTS(J) : @GIN(X(J) ) );
@FOR(PATTERNS(I,J) : @GIN(R(I,J) ) );
end
```

请读者仔细阅读上面的程序,体会 LINGO 建模语言的强大功能. 显然,对于下料问

题,上面的程序将具体数据完全独立出来,具有较强的通用性.

9.4.3 生产批量计划(续)

对 9.1.2 小节中的生产批量计划问题,我们已经建立了其线性整数规划模型(19),模型(20),模型(22)~(24),自然可以用 LINDO 或 LINGO 直接求解. 例如编写如下 LINGO 程序:

```
Model:
SETS:
PERIODS/1..4/: S,C,H,D,X,I,Y;
ENDSETS
DATA:
S=3 3 3 3;          ! 每次生产准备费用
C=50 50 50 50;      ! 单件生产费用
H=1 1 1 1;          ! 单件生产库存费用
D=2 3 2 4;          ! 产品需求数量
ENDDATA
M=@SUM(PERIODS(J): D(J));
MIN=@SUM(PERIODS(J): S(J)*Y(J)+C(J)*X(J)+H(J)*I(J));
X(1)-D(1)=I(1);
@FOR(PERIODS(J)|J#GT#1: I(J-1)+X(J)-D(J)=I(J));
@FOR(PERIODS(J): X(J)<M*Y(J));
@FOR(PERIODS(J): @BIN(Y(J)));
END
```

求解可得问题的最优解为 $x_1=2$ (千件), $x_2=5$ (千件), $x_3=0$ (千件), $x_4=4$ (千件), 问题的最优值为 561(千元).

由于该问题的最优解具有非常特殊的结构,下面通过设计动态规划算法来求解.

首先,容易看到: 在最优解中 $I_0=I_T=0$, 即 $\sum_{t=1}^T x_t = \sum_{t=1}^T d_t$. 进一步可以证明: 一定存在满足条件 $I_{t-1}x_t=0(1 \leq t \leq T)$ 的最优解. 由于以上两个性质, 只有当上一时段库存 $I_{t-1}=0$ 时, 本时段才考虑进行生产; 且一旦生产, 其生产量一定为某些后续时段的需求量的总和, 即 $x_t \in \{d_t, d_t+d_{t+1}, \dots, d_t+d_{t+1}+\dots+d_T\}$. 这样, 动态规划方程可以简化. 如用 f_t 表示当 t 时段初始库存为 0 时, 从 t 时段到 T 时段的子问题的最优费用值, 则可以建立如下的递推关系:

$$\begin{cases} f_{T+1} = 0, \\ f_t = \begin{cases} f_{t+1}, & d_t = 0, \\ \min_{t+1 \leq r \leq T+1} \left[s_t + c_t \sum_{i=t}^{r-1} d_i + \sum_{i=t+1}^{r-1} d_i \sum_{j=t}^{i-1} h_j + f_r \right], & d_t > 0, 1 \leq t \leq T. \end{cases} \end{cases} \quad (39)$$

通过逆序递推计算,可以得到最优值(费用)为 $z^* = f_1$.

对于 9.1.2 小节中的具体问题,以千件、千元为单位,相当于给定参数的数值如下:
 $T=4, c_t=50$ (千元), $s_t=3$ (千元), $h_t=1$ (千元/千件), $d_1=2$ (千件), $d_2=3$ (千件), $d_3=2$ (千件), $d_4=4$ (千件),具体计算过程如下:

$$f_5 = 0;$$

$$f_4 = 3 + 50 \times 4 + 0 + 0 = 203;$$

$$f_3 = \min\{3 + 50 \times (2+4) + 1 \times 4 + 0, 3 + 50 \times 2 + 0 + 203\} = 306;$$

$$f_2 = \min\{3 + 50 \times (3+2+4) + 1 \times (2+4) + 1 \times 4 + 0, 3 + 50 \times (3+2) + 1 \times 2 + 203, \\ 3 + 50 \times 3 + 0 + 306\} = 458;$$

$$f_1 = \min\{3 + 50 \times (2+3+2+4) + 1 \times (3+2+4) + 1 \times (2+4) + 1 \times 4 + 0, \\ 3 + 50 \times (2+3+2) + 1 \times (3+2) + 1 \times 2 + 203, \\ 3 + 50 \times (2+3) + 1 \times 3 + 306, \\ 3 + 50 \times 2 + 0 + 458\} = 561.$$

可得问题的最优解为 $x_1=2$ (千件), $x_2=5$ (千件), $x_3=0$ (千件), $x_4=4$ (千件),最优值为 561(千元).

由于该问题的特殊性,也可以方便地建立顺序递推的动态规划方程进行求解,即用 f_t 表示当 0 时段初始库存为 0 时,从 0 时段到 t 时段的子问题的最优费用值,建立动态规划方程.请读者试着完成.

需要说明的是:由于在最优解中 $\sum_{t=1}^T x_t = \sum_{t=1}^T d_t = 11$ (千件),因此生产总量是一个常数;而本题中 $c_t=50$ (千元)也是一个常数,所以用于生产的这部分费用是一个常数(550 千元).因此,可以在前面的计算中先不考虑这部分费用,即把 c_t 看成是 0 简化进行计算,最优解不会变化,新的最优值加上 550 千元即为原问题的最优值.

能否用解最短路问题的类似方法,对这个问题编写 LINGO 程序来求解呢?请读者思考.

9.5 实验练习

实验目的

1. 练习建立实际问题的整数规划模型.
2. 掌握用 LINDO 和 LINGO 软件求解整数规划问题.

实验内容

1. 用分枝定界算法求解,并用 LINDO 或 LINGO 验证得到的结果是否正确:

$$\begin{aligned}
 (1) \quad & \min z = 7x_1 + 9x_2, \\
 & \text{s. t. } -x_1 + 3x_2 \geq 6, \\
 & \quad 7x_1 + x_2 \geq 35, \\
 & \quad x_1, x_2 \in \mathbb{Z}^+.
 \end{aligned}$$

$$\begin{aligned}
 (2) \quad & \max z = 40x_1 + 90x_2, \\
 & \text{s. t. } 9x_1 + 7x_2 \leq 56, \\
 & \quad 7x_1 + 20x_2 \leq 70, \\
 & \quad x_1, x_2 \in \mathbb{Z}^+.
 \end{aligned}$$

2. 用动态规划方法求解,并用 LINDO 或 LINGO 验证得到的结果是否正确:

$$\begin{aligned}
 (1) \quad & \min z = x_1^2 + x_2^2 + x_3^2 + x_4^2 - x_1 - 2x_2 - 3x_3 - 4x_4, \\
 & \text{s. t. } x_1 + x_2 + x_3 + x_4 \geq 10, \\
 & \quad x_1, x_2, x_3, x_4 \in \mathbb{Z}^+.
 \end{aligned}$$

$$\begin{aligned}
 (2) \quad & \max z = 5x_1 + 10x_2 + 3x_3 + 6x_4, \\
 & \text{s. t. } x_1 + 4x_2 + 5x_3 + 10x_4 \leq 10, \\
 & \quad x_1, x_2, x_3, x_4 \in \mathbb{Z}^+.
 \end{aligned}$$

3. 用 LINGO 软件求解:

$$\begin{aligned}
 \max z &= \mathbf{c}^T \mathbf{x} + \frac{1}{2} \mathbf{x}^T \mathbf{Q} \mathbf{x}, \\
 \text{s. t. } & -1 \leq x_1 x_2 + x_3 x_4 \leq 1, \\
 & -3 \leq x_1 + x_2 + x_3 + x_4 \leq 2, \\
 & x_1, x_2, x_3, x_4 \in \{-1, 1\}.
 \end{aligned}$$

其中 $\mathbf{c} = (6, 8, 4, -2)^T$, \mathbf{Q} 是三对角矩阵,主对角线上元素全为 -1,两条次对角线上元素全为 2.

4. 某货运公司需要从 9 个货运订单中选定一些订单作为一批用一个集装箱发送,以获得最大利润.该集装箱的最大装载容积(不允许重叠堆放,所以这里以底面积表示)为 1000m^2 ,最大装载重量为 1200kg . 9 个货运订单的相关信息如表 9.5.

5. (指派问题)考虑指定 n 个人完成 n 项任务(每人单独承担一项任务),使所需的总完成时间(成本)尽可能短. 已知某指派问题的有关数据(每人完成各任务所需的时间)如表 9.6 所示,试求解该指派问题.

表 9.5

订单号	1	2	3	4	5	6	7	8	9
利润	7	6	3	6	3	1	1	2	4
空间	6	2	7	5	2	3	7	9	4
重量	7	7	2	4	2	7	8	6	7

表 9.6

任务 工人	1	2	3	4
1	15	18	21	24
2	19	23	22	18
3	26	18	16	19
4	19	21	23	17

6. (二次指派问题)某公司指派 n 个员工到 n 个城市工作(每个城市单独一人), 希望使所花费的总电话费用尽可能少. n 个员工两两之间每个月通话的时间表示在下面的矩阵的上三角部分(因为通话的时间矩阵是对称的, 没有必要写出下三角部分), n 个城市两两之间通话费率表示在下面矩阵的下三角部分(同样道理, 因为通话的费率矩阵是对称的, 没有必要写出上三角部分). 试求解该二次指派问题(如果你的软件解不了这么大规模的问题, 那就只考虑最前面的若干员工和城市).

0	5	3	7	9	3	9	2	9	0
7	0	7	8	3	2	3	3	5	7
4	8	0	9	3	5	3	3	9	3
6	2	10	0	8	4	1	8	0	4
8	6	4	6	0	8	8	7	5	9
8	5	4	6	6	0	4	8	0	3
8	6	7	9	4	3	0	7	9	5
6	8	2	3	8	8	6	0	5	5
6	3	6	2	8	3	7	8	0	5
5	6	7	6	6	2	8	8	9	0

7. 一家出版社准备在某市建立两个销售代理点, 向 7 个区的大学生售书, 每个区的大学生数量(单位: 千人)已经表示在图 9.5 上. 每个销售代理点只能向本区和一个相邻区的大学生售书, 这两个销售代理点应该建在何处, 才能使所能供应的大学生的数量最

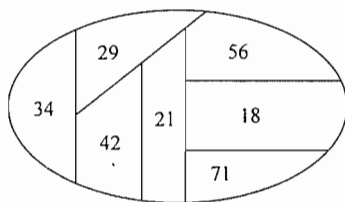


图 9.5

大. 建立该问题的整数线性规划模型并求解.

8. 某储蓄所每天的营业时间是上午 9 时到下午 5 时. 根据经验, 每天不同时间段所需要的服务员数量如表 9.7.

表 9.7

时间段/h	9~10	10~11	11~12	12~1	1~2	2~3	3~4	4~5
服务员数量	4	3	4	6	5	6	8	8

储蓄所可以雇用全时和半时两类服务员. 全时服务员每天报酬 100 元, 从上午 9 时到下午 5 时工作, 但中午 12 时到下午 2 时之间必须安排 1h 的午餐时间. 储蓄所每天可以雇用不超过 3 名的半时服务员, 每个半时服务员必须连续工作 4h, 报酬 40 元. 问该储蓄所应如何雇用全时和半时两类服务员. 如果不能雇用半时服务员, 每天至少增加多少费用. 如果雇用半时服务员的数量没有限制, 每天可以减少多少费用.

9. (原油采购与加工) 某公司用两种原油(A 和 B)混合加工成两种汽油(甲和乙). 甲、乙两种汽油含原油 A 的最低比例分别为 50% 和 60%, 每吨售价分别为 4800 元和 5600 元. 该公司现有原油 A 和 B 的库存量分别为 500t 和 1000t, 还可以从市场上买到不超过 1500t 的原油 A. 原油 A 的市场价为: 购买量不超过 500t 时的单价为 10000 元/t; 购买量超过 500t 但不超过 1000t 时, 超过 500t 的部分 8000 元/t; 购买量超过 1000t 时, 超过 1000t 的部分 6000 元/t. 该公司应如何安排原油的采购和加工? 请分别建立连续规划和整数规划模型来求解这个问题.

10. 生产裸铜线和塑包线的工艺如图 9.6 所示:

某厂现有 I 型拉丝机和塑包机各一台, 生产两种规格的裸铜线和相应达到两种规格的塑包线, 没有拉丝塑包联合机(简称联合机). 由于市场需求扩大和现有塑包机设备陈旧, 计划新增 II 型拉丝机或联合机(由于场地限制, 每种设备最多 1 台), 或改造塑包机, 每种设备选用方案及相关数据如表 9.8:

已知市场对两种规格裸铜线的需求分别为 3000km 和 2000km, 对两种规格塑包线的需求分别为 10000km 和 8000km. 按照规定, 新购及改进设备按每年 5% 提取折旧费, 老

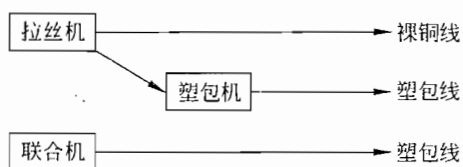


图 9.6

设备不提;每台机器每年最多只能工作 8000h. 为了满足需求,确定使总费用最小的设备选用方案和生产计划.

表 9.8

方 案	拉丝机		塑包机		联合机
	原有 I 型	新购 II 型	原有	改造	新购
方案代号	1	2	3	4	5
所需投资/万元	0	20	0	10	50
运行费用/元/h	5	7	8	8	12
固定费用/万元/年	3	5	8	10	14
规格 1 生产效率/m/h	1000	1500	1200	1600	1600
规格 2 生产效率/m/h	800	1400	1000	1300	1200
废品率/%	2	2	3	3	3
每千米废品损失/元	30	30	50	50	50

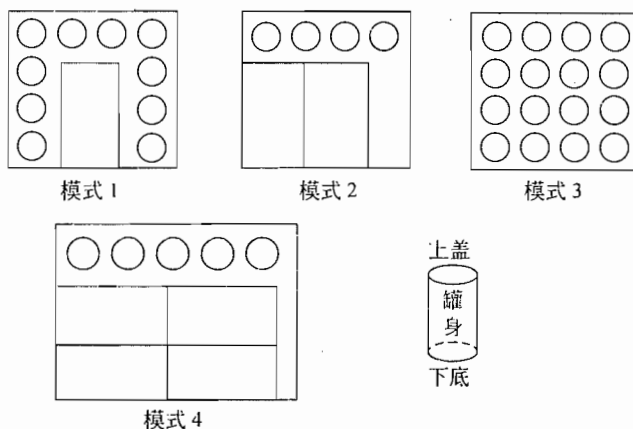


图 9.7

11. (钢管下料)某钢管零售商从钢管厂进货,将钢管按照顾客的要求切割后售出.从钢管厂进货时得到的原料钢管长度都是 1850mm. 现有一客户需要 15 根 290mm、28 根 315mm、21 根 350mm 和 30 根 455mm 的钢管. 为了简化生产过程,规定所使用的切割模式的种类不能超过 4 种,使用频率最高的一种切割模式按照一根原料钢管价值的 $1/10$ 增加费用,使用频率次之的切割模式按照一根原料钢管价值的 $2/10$ 增加费用,以此类推,且每种切割模式下的切割次数不能太多(一根原料钢管最多生产 5 根产品). 此外,为了减少余料浪费,每种切割模式下的余料浪费不能超过 100mm. 为了使总费用最小,应如何下料.

12. (易拉罐的下料)某公司采用一套冲压设备生产一种罐装饮料的易拉罐,这种易拉罐是用镀锡板冲压制成的. 易拉罐为圆柱形,包括罐身、上盖和下底,罐身高 10cm,上盖和下底的直径均为 5cm. 该公司使用两种不同规格的镀锡板原料,规格 1 的镀锡板为正方形,边长 24cm;规格 2 的镀锡板为长方形,长、宽分别为 32cm 和 28cm. 由于生产设备和生产工艺的限制,对于规格 1 的镀锡板原料,只可以按照图 9.7 中的模式 1,2 或 3 进行冲压;对于规格 2 的镀锡板原料只能按照模式 4 进行冲压. 使用模式 1,2,3,4 进行每次冲压所需要的时间分别为 1.5s,2s,1s,3s.

该工厂每周工作 40h,每周可供使用的规格 1,2 的镀锡板原料分别为 5 万张和 2 万张. 目前每只易拉罐的利润为 0.10 元,原料余料损失为 0.001 元 / cm^2 (如果周末有罐身、上盖或下底不能配套组装成易拉罐出售,也看作是原料余料损失). 问工厂应如何安排每周的生产?

参 考 文 献

- 1 姜启源,何青,高立. 数学实验. 北京: 高等教育出版社,1999
- 2 姜启源,谢金星,叶俊. 数学模型. 第三版. 北京: 高等教育出版社,2003
- 3 胡运权. 运筹学习题集. 修订版. 北京: 清华大学出版社,1995
- 4 Wayne L Winston. Introduction to Mathematical Programming, 4th ed. Brooks/Cole — Thomson Learning, Californian, 2003
- 5 C A Floudas, P M Pardalos, C S Adjiman, et al. Handbook of Test Problems in Local and Global Optimization. Dordrecht: Kluwer Academic Publishers, 1999
- 6 LINDO Systems Inc. LINDO / LINGO User's Guide. <http://www.lindo.com>

随着计算机技术的发展和普及,数据信息越来越大量和频繁地进入人们的日常生活:从超市收款台处成千上万顾客的购物记录,到生产车间工艺过程和产品检验的情况报表;从政府机关收集的人口、交通、教育、卫生等方面的统计数字,到经常见诸报刊的关于市民的收入、支出、偏好、见解等的抽样调查结果.杂乱、浩瀚的数据如不及时地加以有效的整理和分析,既不能发挥它们应有的作用,还会给人们造成越来越大的负担.

一般说来,数据的采集与统计处理本质上可分为两类.不妨用以下的例子来说明.

1. 车间用两种办法统计当天产品的次品率:

- (1) 对生产的全部 1000 件产品逐一检验,发现 18 件次品,得到次品率为 1.8%;
- (2) 从全部产品中随机抽取 100 件检验,发现 2 件次品,得到次品率为 2%.

2. 行政区用两种办法统计每位居民的月平均支出:

- (1) 对全区居民逐一调查,得到月平均支出为 828 元;
- (2) 随机调查了 200 位居民,得到月平均支出为 788 元.

容易看出,两个例子的第 1 种办法是一般意义的统计,其结果是完全确定的,而第 2 种办法得到的结果是随机的.怎样用它来估计整体的状况(全部产品的次品率,全体居民的月平均支出)是数理统计(以下简称统计)的任务.

在实际生活中,当研究对象的数量很大时,不可能或者不必要对其全体进行考察(两个例子中的第 1 种办法),部分抽样的结果必定包含着偶然性(两个例子中的第 2 种办法).此外,在诸如气象预报、零件测试、地质勘探、市场预测,以及复杂的生产工艺流程中,无法控制、不可预见的不确定因素的普遍存在,也使所得数据的随机性不可避免.因此统计在现实中有广泛的应用.

概率论是统计的理论基础,这个实验结合统计的基本概念,介绍概率论的一些相关知识.以下 10.1 节提出几个经过简化的包含随机性的实际问题,并做简单分析,10.2 节介绍数据的整理和描述,10.3 节给出随机变量、概率分布、期望、方差等基本概念,并介绍 MATLAB 统计工具箱的使用,10.4 节是随机数的一个应用:用随机模拟计算数值积分,10.5 节讨论 10.1 节中问题的求解,10.6 节布置实验练习.

10.1 实例及其分析

10.1.1 报童的利润

问题 某报童每天从发行商处购进报纸零售,晚上将没有卖掉的报纸退回.如果每份报纸的购进价为 a ,每份报纸的零售价为 b ,每份报纸的退回价(发行商返回报童的钱)为 c ,且满足 $b \geq a \geq c$.每天报纸的需求量是随机的.为了获得最大的利润,该报童每天应购进多少份报纸?

为了掌握需求量的随机规律,可以用收集历史资料或向其他报童调查的办法作市场预测,假设已经得到159天报纸需求量的情况如表10.1.

表 10.1 159 天报纸需求量的分布情况

需求量	100~	120~	140~	160~	180~	200~	220~	240~	260~	280~
天数	3	9	13	22	32	35	20	15	8	2

表中需求量在100~119的有3天,其余类推.

根据这些数据,并假定 $a=0.8$ 元, $b=1$ 元, $c=0.75$ 元,为报童提供最佳决策.

分析 由于每天报纸的需求量是随机的,使得报童每天的利润也是随机的,所以只能以长期售报过程中每天的平均利润最大为目标,确定最佳决策.

对表中提供的数据做进一步的加工(将在10.5节进行),可以得到每天需求量为 r 的概率,记作 $f(r)$, $r=0,1,2,\dots$,虽然 r 存在上限,但 r 很大时 $f(r)$ 将很小,以后会看到考虑 $r \rightarrow \infty$ 将使计算更为方便.

记报童每天购进报纸的份数为 n ,当 $r < n$ 时报童售出 r 份,退回 $n-r$ 份,而每售出1份报童赚 $b-a$,退回1份报童赔 $a-c$,所以报童的利润为 $(b-a)r - (a-c)(n-r)$;当 $r \geq n$ 时报童将购进的 n 份全部售出,利润为 $n(b-a)$.在这两种情况下将利润与需求概率 $f(r)$ 相乘并求和,就得到报童每天的平均利润 $V(n)$,即

$$V(n) = \sum_{r=0}^{n-1} [(b-a)r - (a-c)(n-r)]f(r) + \sum_{r=n}^{\infty} [(b-a)n]f(r). \quad (1)$$

问题化为求 n 使 $V(n)$ 最大.我们将在10.5节继续讨论.

10.1.2 路灯更换策略

问题 某路政部门负责一条街的路灯维护.更换路灯时,需要专用云梯车进行线路检测和更换灯泡,向相应的管理部门提出电力使用和道路管制申请,还要向雇用的各类人员支付报酬等,这些工作需要的费用往往比灯泡本身的费用更高,灯泡坏1个换1个的办法

是不可取的. 根据多年的经验, 他们采取整批更换的策略, 即到一定的时间, 所有灯泡无论好与坏全部更换.

上级管理部门通过监察灯泡是否正常工作对路政部门进行管理, 一旦出现 1 个灯泡不亮, 管理部门就会按照折合计时对他们进行罚款. 路政部门面临的问题是, 多长时间进行一次灯泡的全部更换, 换早了, 很多灯泡还没有坏; 换晚了, 要承受太多的罚款.

分析 全部更换一次灯泡的时间不妨称为更换周期, 应以路政部门支出的总费用最小为目标, 确定最佳的更换周期. 总费用包括更换灯泡的费用和承受的罚款两部分, 前者是确定的, 而后者与灯泡的寿命有关. 根据常识, 灯泡的寿命是随机的, 在平均值附近有较大的波动, 需要通过调查研究确定灯泡寿命的随机规律 (像报童利润问题中报纸需求量的概率一样), 再计算由于寿命小于更换周期导致的 (平均) 罚款. 我们将在 10.5 节继续讨论.

10.2 数据的整理和描述

10.2.1 数据的收集和样本的概念

数据是多种多样的, 我们总是为了某种目的而收集数据, 请看以下的例子.

例 1 某银行为使顾客感到亲切以吸引更多的资金, 计划对柜台的高度进行调整. 银行随机选了 50 名顾客进行调查, 测量每个顾客感觉舒适时的柜台高度, 表 10.2 为得到的数据. 银行怎样依据它确定柜台高度呢?

表 10.2 50 名顾客感到舒适的柜台高度

单位: cm

100	110	136	97	104	100	95	120	119	99
126	113	115	108	93	116	102	122	121	122
118	117	114	106	110	119	127	119	125	119
105	95	117	109	140	121	122	131	108	120
115	112	130	116	119	134	124	128	115	110

例 2 为了比较两个班的学习状况, 同一份试卷的一次考试成绩如表 10.3. 根据这些数据评价两个班的学习状况是否有差距?

例 3 粮食加工厂一台包装机的设计指标为每袋 50kg, 且包装偏差不超过 1%. 为了监测包装机的运行是否正常, 随机抽取 20 袋粮食, 其重量如表 10.4. 如何由此推断机器的运行状况?

表 10.3 两个班的一次考试成绩

序号	1	2	3	4	5	6	7	8	9	10	11	12	13	14	15	16
甲班	92	88	85	92	95	79	84	87	88	65	93	73	88	87	94	80
乙班	84	83	82	85	82	81	82	90	84	78	75	83	78	85	84	79
序号	17	18	19	20	21	22	23	24	25	26	27	28	29	30	31	32
甲班	69	86	88	78	79	68	88	87	55	93	79	85	90	53	99	81
乙班	85	73	90	77	81	82	82	80	86	83	77	78				

表 10.4 20 袋粮食的重量

单位: kg

49.65	48.67	50.10	50.23	49.08	50.95	50.95	49.97	50.26	50.14
49.85	50.58	49.53	51.75	49.89	50.09	50.85	50.05	49.92	49.33

上面几个实例给出的数据有以下的共同特点.

首先,收集到的数据背后都蕴藏着更大量的数据,那是人们的研究对象.例 1 只测试了 50 名顾客,而银行有更大的顾客群体;例 2 只是一次考试的成绩,可以进行任意多次考试;例 3 也可以收集更多的数据.研究对象全体的集合称为总体(或母体),总体的一个基本组成单位,即每一个数据称为一个个体,总体可认为包含无穷多个个体.若干个体的集合,如每个例子给出的一组数据,称为样本.若样本包含 n 个个体,称 n 为样本容量.

第二,收集到的数据是随机的,不确定的.例 1 若选取另外 50 名顾客进行调查,会得到不同的数据;对于例 2,每考一次都可能得到不同的结果.于是,一次试验从总体中得到的样本是一组具体的数据,不同的试验相当于从总体中随机选取样本.

第三,每个数据的选取是相互独立的.例 1 的 50 名顾客对合适柜台高度的要求互不相关;例 2 的各个学生的考试成绩也无联系.于是,样本是由一些相互独立的个体组成的.

按照概率论的观点,总体可以看作一个随机变量,记作 X ,每个个体作为这个随机变量的一个实现,记作 $x_i (i=1, 2, \dots, n)$,看作与总体有相同分布的随机变量(分布的概念将在 10.3 节介绍,这里不妨理解为有相同的统计规律),样本则是一组相互独立的、同分布的随机变量,记作 $x=(x_1, x_2, \dots, x_n)$.

样本是统计研究的主要对象,可以说,统计的基本任务就是从样本推断总体.由于样本的随机性,推断的结果不可能是精确的,应该允许有偏差,或者有错误.当然,统计方法会给出偏差的大小和错误的概率.

10.2.2 数据的整理、频数表和直方图

原始数据虽然包含了总体的信息,但常常是杂乱无章的,像表 10.2 到表 10.4 那样.

报刊上一些公开发表的数据常常是经过整理的,能给人们以比较清晰的认识,例如,2003 年 5 月 6 日公布的北京地区 SARS 患者的按年龄分布数据见表 10.5.

表 10.5 北京地区 SARS 患者的统计数据(截至 2003 年 5 月 5 日)

年龄/岁	10 以下	11~20	21~30	31~40	41~50	51 以上	总数
人数/人	24	145	677	382	332	337	1897
比例/%	1.27	7.64	35.69	20.14	17.50	17.77	100

观察表 10.5 的数据,很容易知道,21~50 岁的中青年患者大约占总发病人数的 $3/4$,提醒民众中青年是易感人群.

频数表 and 直方图是对数据进行初步整理的两种办法.

将数据的取值范围划分为若干个区间,然后统计这组数据在每个区间中出现的次数,称为频数,得到一个频数表.对于例 1,可以这样产生它的频数表:先找出表 10.2 数据中的最小值 93 和最大值 140,将区间 $[93,140]$ 等分成 N (比如 10)个子区间,每个子区间用它的中点表示,然后统计数据在每个子区间中出现的次数,就得到表 10.6.类似地,对于例 3,若分 5 个子区间,得到表 10.7.

表 10.6 柜台高度频数表(例 1)

中点	95.35	100.05	104.75	109.45	114.15	118.85	123.55	128.25	132.95	137.65
频数	4	4	3	6	8	12	5	4	2	2

表 10.7 包装重量频数表(例 3)

中点	48.978	49.594	50.210	50.826	51.442
频数	2	5	8	4	1

用这样初步整理后的数据可以推测出总体的某些简单性质.如表 10.6 表明选择柜台高度在 107.10 至 125.90 的有 31 人,占总人数的 62%,柜台高度设计在这个范围内,会得到大多数顾客的满意.

为了更加直观,可以用图的形式显示频数表.以数据的取值为横坐标,频数为纵坐标,画出一个台阶形的图,称为直方图(histogram),或频数分布图.表 10.6 和表 10.7 的直方图分别为图 10.1 和图 10.2.

若样本容量不大,能够手工做出频数表和直方图,当样本容量较大时,可以借助计算机完成(见 10.2.4 节).

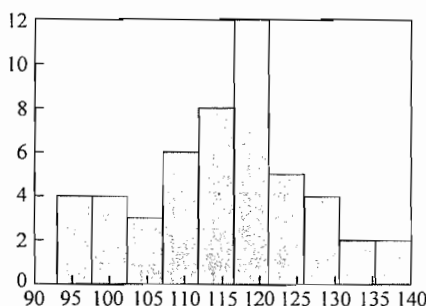


图 10.1 柜台高度直方图

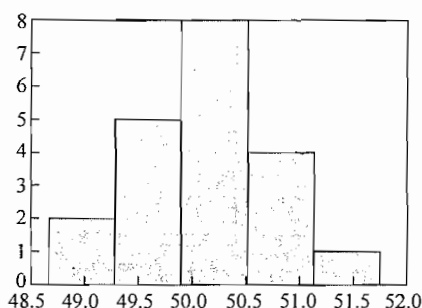


图 10.2 包装重量直方图

10.2.3 统计量

用频数表(表 10.6)和直方图(图 10.1)还无法直接回答例 1 关于确定柜台高度的问题,众所周知,解决这个问题常用的办法是计算表 10.2 中 50 名顾客感到舒适的柜台高度的平均值.

对于一个容量为 n 的样本(即一组数据) $x=(x_1, x_2, \dots, x_n)$,它的平均值(mean,简称样本均值,记作 \bar{x})定义为

$$\bar{x} = \frac{1}{n} \sum_{i=1}^n x_i. \quad (2)$$

通过计算得到表 10.2 数据的平均值为 $\bar{x}=115.26$,可作为设计柜台高度的参考值.

类似地,为了比较例 2 中两个班的学习状况,我们首先分别计算表 10.3 两个班考试成绩的平均值,得到甲班的平均值为 82.75 分,乙班的平均值为 81.75 分,大致表明甲班的平均成绩稍高于乙班.仔细研究数据还会发现,甲班中 90 分以上的有 7 人,但有 2 人不及格,分数比较分散,而乙班全在 73 分到 90 分之间,分数相对集中,两个班考试成绩的这种差别可以从它们的直方图(图 10.3)明显地看出.为了描述数据的这种分散程度(统计上称为变异),统计上引入标准差的概念.

对于样本 $x=(x_1, x_2, \dots, x_n)$,它的标准差(standard deviation,记作 s)定义为^①

$$s = \left[\frac{1}{n-1} \sum_{i=1}^n (x_i - \bar{x})^2 \right]^{1/2} s_1 = \left[\frac{1}{n} \sum_{i=1}^n (x_i - \bar{x})^2 \right]^{1/2}. \quad (3)$$

标准差是 $x_i (i=1, 2, \dots, n)$ 与均值 \bar{x} 偏离程度的度量.分别计算表 10.3 两个班考试成绩的标准差,得到甲班的标准差为 10.98 分,乙班的标准差为 3.98 分,表明甲班成绩的分散程度远大于乙班.

① (3)式中 s 是无偏的(见 11.2.2 节),以下若不特别指明,标准差均指 s ,当 n 较大时 s 与 s_1 实际上差别很小.

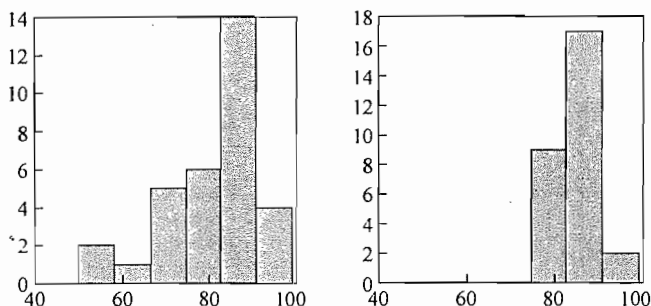


图 10.3 甲乙两个班的成绩分布(左侧为甲班)

样本均值和标准差是两个最常用、最重要的统计量. 所谓统计量就是由样本加工出来的、集中反映样本数量特征的函数, 在总体的参数估计和假设检验中起着重要作用.

统计量大致可分为三类: 表示位置的, 表示变异程度的, 以及表示分布形状的.

表示位置的除了均值以外, 还有中位数. 中位数 (median) 是将数据由小到大排序后处于中间位置的那个数值. 当样本容量 n 为奇数时, 中位数惟一确定; 当 n 为偶数时, 定义为中间两个数的平均值.

表示数据变异程度的除了标准差以外, 还有极差和方差. 极差 (range) 是 x_1, x_2, \dots, x_n 的最大值与最小值之差. 方差 (variance) 是标准差的平方 s^2 .

表示数据分布形状的统计量有偏度和峰度, 当 n 充分大时, 偏度 (skewness, 记作 g_1) 和峰度 (kurtosis, 记作 g_2) 可分别表示为

$$g_1 = \frac{1}{ns_1^3} \sum_{i=1}^n (x_i - \bar{x})^3, \quad g_2 = \frac{1}{ns_1^4} \sum_{i=1}^n (x_i - \bar{x})^4. \quad (4)$$

偏度反映分布的对称性, $g_1 > 0$ 称为右偏态, 此时数据位于均值右边的比左边的多; $g_1 < 0$ 称为左偏态, 情况相反; 而 g_1 接近 0 则可认为分布基本上是对称的.

峰度是分布形状的另一度度量, 常见的正态分布 (将在 10.3 节介绍) 的峰度为 3, 若 g_2 比 3 大得多, 表示分布有沉重的尾巴, 说明样本中含有较多远离均值的数据, 因而峰度可以用作衡量偏离正态分布的尺度之一.

10.2.4 MATLAB 命令

MATLAB 的统计工具箱 (statistics toolbox) 提供了许多统计计算的程序, 用于数据描述的常用命令见表 10.8 (实际上表中一些命令如均值、标准差在 MATLAB 中而不在统计工具箱内).

表 10.8 数据描述的常用命令

命 令	名 称	输 入	输 出	注 意 事 项
$[n, y] = \text{hist}(x, k)$	频数表	x: 原始数据行向量 k: 等分区间数	n: 频数行向量 y: 区间中点行向量	$[n, y] = \text{hist}(x)$ 中 k 取默认值 10
$\text{hist}(x, k)$	直方图	同上	直方图	同上
$\text{mean}(x)$	均值	x: 原始数据行向量	均值 \bar{x}	
$\text{median}(x)$	中位数	同上	中位数	
$\text{range}(x)$	极差	同上	极差	
$\text{std}(x)$	标准差	同上	标准差 s	$\text{std}(x, 1)$: 即 (3) 式中的 s_1
$\text{var}(x)$	方差	同上	方差 s^2	$\text{var}(x, 1)$: 即 s_1^2
$\text{skewness}(x)$	偏度	同上	偏度 g_1	
$\text{kurtosis}(x)$	峰度	同上	峰度 g_2	

用下面的程序求例 1 的频数表、直方图及均值等统计量:

```

X = [100 110 136 97 104 100 95 120 119 99 ...      % 输入表 10.2 数据, ...为续行符号
     126 113 115 108 93 116 102 122 121 122 ...
     118 117 114 106 110 119 127 119 125 119 ...
     105 95 117 109 140 121 122 131 108 120 ...
     115 112 130 116 119 134 124 128 115 110];
[N, Y] = hist(X),          % 频数表
hist(X),                  % 直方图
x1 = mean(X), x2 = median(X) % 各个统计量
x3 = range(X), x4 = std(X)
x5 = skewness(X), x6 = kurtosis(X)

```

输出图 10.1 和下列结果:

```

N = 4 4 3 6 8 12 5 4 2 2
Y = 95.3500 100.0500 104.7500 109.4500 114.1500 118.8500 123.5500 128.2500 132.9500
     137.6500
x1 = 115.2600, x2 = 116.5000
x3 = 47, x4 = 10.9690
x5 = -0.0971, x6 = 2.6216

```

MATLAB 数据输入有直接输入和文件输入两种方式. 直接输入适合数据规模不大及调试程序的情况, 上面就是直接输入. 当数据量较大时, 可以采用文件输入方式, 对于例 1, 先把表 10.2 数据直接写入一个 M 文件中(每个数据之间需有空格), 命名为 bankdata.m

```
100 110 136 97 104 100 95 120 119 99
```

```

126 113 115 108 93 116 102 122 121 122
118 117 114 106 110 119 127 119 125 119
105 95 117 109 140 121 122 131 108 120
115 112 130 116 119 134 124 128 115 110

```

然后在程序中用 `dlmread` 命令读入这个数据文件,再做计算:

```

A=dlmread('bankdata.m'); % A 返回 bankdata.m 文件中的 5×10 矩阵
X=[A(1,:) A(2,:) A(3,:) A(4,:) A(5,:)]; % 得到行向量 X,以下与上面的程序同

```

10.3 随机变量的概率分布及数字特征

10.3.1 频率与概率

在例 1 确定柜台高度的研究中,表 10.6 给出了每个小区间的频数,容易理解,随着测试人数的增加,各个小区间的频数会随之变大,但频数占总人数的比例应该变化不大.如前所述,一个数据可以看作代表总体的随机变量 X 的一系列实现,若定义样本数据在一个确定区间 $(a, b]$ 的频数 k 与样本容量 n 的比值为频率,记作 $f(a < X \leq b)$,则

$$f\{a < X \leq b\} = \frac{k}{n}. \quad (5)$$

实践表明,只要能保证抽取样本的随机性和独立性,当样本容量无限增大时,频率会趋向一个确定值,这个值称为随机变量 X 落入区间 $(a, b]$ 的概率(probability),记作 $P\{a < X \leq b\}$.

如果 X 在实数域一个区间上取值,称 X 是连续随机变量.例 1 的柜台高度可视为连续变量,将图 10.1 的纵坐标由频数换成频率,当测试人数 n 无限增加时,频率的图形将逐渐向连续曲线 $p(x)$ 逼近,如图 10.4 所示.

10.3.2 概率密度与分布函数

从频率与概率的关系看出,可以合理地定义连续随机变量 X 落入区间 $(a, b]$ 的概率为

$$P\{a < X \leq b\} = \int_a^b p(x) dx. \quad (6)$$

称 $p(x)$ 为随机变量 X 的概率密度函数(probability density function,简称概率密度),满足 $p(x) \geq 0, \int_{-\infty}^{\infty} p(x) dx = 1$. 定义

$$F(x) = P\{X \leq x\} = \int_{-\infty}^x p(x) dx \quad (7)$$

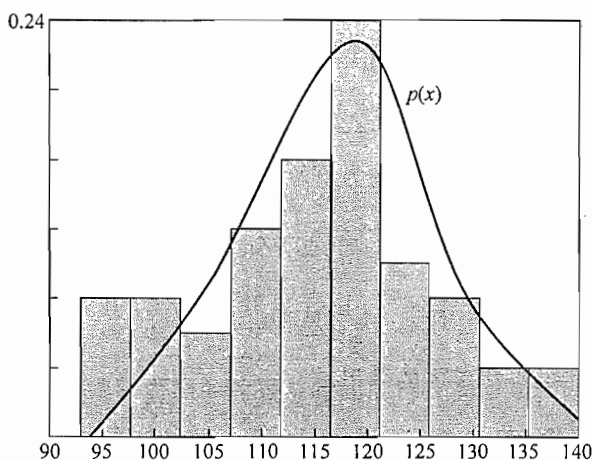


图 10.4 例 1 的频率图形及变化趋势

为随机变量 X 的概率分布函数(cumulative distribution function), 简称分布函数. 显然, F 非降且 $F(-\infty)=0, F(\infty)=1, P\{a < X \leq b\} = F(b) - F(a), p(x) = \frac{dF(x)}{dx}$.

10.3.3 期望和方差

概率密度和分布函数完整地描述了随机变量的(随机)变化规律, 在某些情况下只需要它的最主要的数字特征, 这就是期望(expectation)和方差.

随机变量 X 的期望就是平均值的意思, 记作 EX 或 μ , 用概率密度函数 $p(x)$ 定义为

$$EX = \int_{-\infty}^{\infty} xp(x)dx, \quad (8)$$

方差记作 DX 或 $\text{var}X$, 或 σ^2 , 定义为

$$DX = \int_{-\infty}^{\infty} (x - EX)^2 p(x)dx. \quad (9)$$

方差的平方根 σ 称为均方差(标准差). 由(9)式可以得出方差的简化计算公式

$$DX = E(X - EX)^2 = EX^2 - (EX)^2. \quad (10)$$

当随机变量只取离散值时, 其期望和方差的定义及计算, 只需将上面的积分改为求和即可.

期望和方差的简单性质:

对于两个随机变量 X, Y 和任意常数 c_1, c_2 , 有

$$E(c_1X + c_2Y) = c_1EX + c_2EY. \quad (11)$$

对于两个相互独立的随机变量 X, Y (相互独立的概念在 10.3.6 节中介绍, 这里可理解为彼此无关的意思) 和任意常数 c_1, c_2 , 有

$$D(c_1 X + c_2 Y) = c_1^2 DX + c_2^2 DY. \quad (12)$$

(11)式, (12)式可以推广到任意多个随机变量的情形.

将上述性质用于样本均值 $\bar{x} = \frac{1}{n} \sum_{i=1}^n x_i$, 由于每个个体 x_i 是相互独立的、与总体同分布的随机变量, 若记总体的期望和方差为 EX 和 DX , 则样本均值的期望和方差为

$$E\bar{x} = \frac{1}{n} \sum_{i=1}^n EX_i = EX, \quad (13)$$

$$D\bar{x} = \frac{1}{n^2} \sum_{i=1}^n DX_i = \frac{DX}{n}. \quad (14)$$

(13)式, (14)式是统计中非常重要的结果.

10.3.4 常用的概率分布

(1) 均匀分布

当随机变量 X 在某个有限区间 $[a, b]$ 上等可能性地取值时, X 服从均匀分布 (uniform distribution), 记作 $X \sim U(a, b)$, 其概率密度为

$$p(x) = \begin{cases} \frac{1}{b-a}, & x \in [a, b] \\ 0, & \text{其他.} \end{cases} \quad (15)$$

$U(0, 2)$ 和 $U(1, 5)$ 的概率密度函数图形由图 10.5 所示.

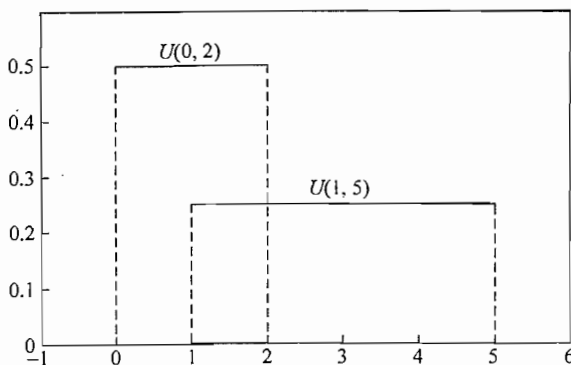


图 10.5 均匀分布概率密度函数

将(15)式代入(8)式和(10)式, 容易算出 $U(a, b)$ 的期望和方差分别为

$$EX = \frac{a+b}{2}, \quad DX = \frac{(b-a)^2}{12}. \quad (16)$$

当计算保留小数点后 4 位数字 (第 5 位四舍五入) 时舍入误差的数值服从 $U(-0.5 \times 10^{-4}, 0.5 \times 10^{-4})$; 若班车每隔 a 分钟发一次, 随意到达的乘客的候车时间服从 $U(0, a)$.

(2) 指数分布

指数分布(exponential distribution)的概率密度函数为

$$p(x) = \begin{cases} \frac{1}{\lambda} e^{-\frac{x}{\lambda}}, & x \geq 0, \\ 0, & \text{其他.} \end{cases} \quad (17)$$

其中 $\lambda(>0)$ 是指数分布的惟一参数, 记 $X \sim \text{Exp}(\lambda)$. $\text{Exp}(2)$ 和 $\text{Exp}(4)$ 的概率密度函数图形如图 10.6.

将(17)式代入(8)式和(10)式, 容易算出 $\text{Exp}(\lambda)$ 的期望和方差分别为

$$EX = \lambda, \quad DX = \lambda^2 \quad (18)$$

一些电器元件的寿命、排队模型中的服务时间等可认为服从指数分布.

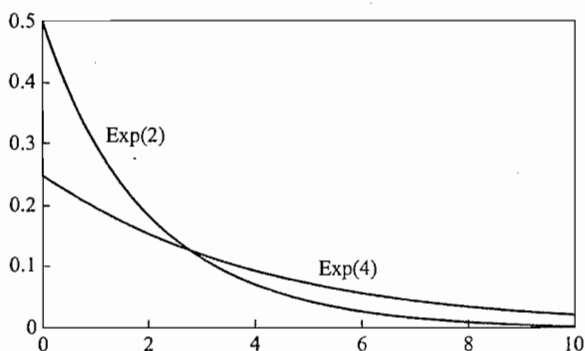


图 10.6 指数分布概率密度函数图形

(3) 正态分布

正态分布(norm distribution)的概率密度函数为

$$p(x) = \frac{1}{\sqrt{2\pi}\sigma} \exp\left(-\frac{(x-\mu)^2}{2\sigma^2}\right), \quad (19)$$

记为 $X \sim N(\mu, \sigma^2)$. 曲线 $p(x)$ 呈中间高两边低、对称的钟形, 如图 10.7. $\mu=0, \sigma=1$ 的正态分布称为标准正态分布. 正态分布又称为高斯分布(Gaussian distribution).

将(19)式代入(8)式和(10)式, 容易算出 $N(\mu, \sigma^2)$ 的期望和方差分别为

$$EX = \mu, \quad DX = \sigma^2. \quad (20)$$

正态分布是最常见的连续型概率分布, 大量生产时零件的尺寸, 射击时弹着点的位置, 仪器反复量测的结果, 人群的身高、体重等, 多数情况下都服从正态分布, 这不仅是观察和经验的总结, 而且有着深刻的理论依据, 即在大量相互独立的、作用差不多大的随机因素影响下形成的随机变量, 其极限分布为正态分布(这一结论的严格叙述见概率论的中心极限定理).

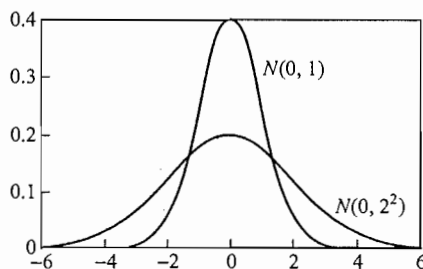
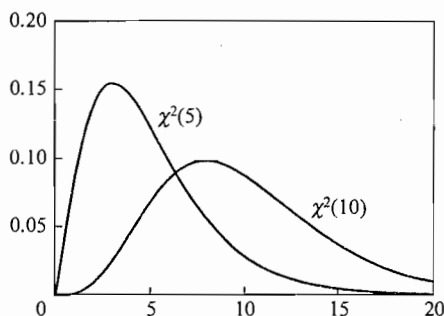


图 10.7 正态分布的概率密度函数图形

(4) χ^2 分布

若 X_1, X_2, \dots, X_n 为相互独立、服从标准正态分布 $N(0, 1)$ 的随机变量, 则它们的平方和 $Y = \sum_{i=1}^n X_i^2$ 服从 χ^2 分布, 记作 $Y \sim \chi^2(n)$, n 称作自由度.

χ^2 分布的密度函数的图形见图 10.8, $\chi^2(n)$ 的期望是 n , 当 n 增加时曲线向右移动, 且变平.

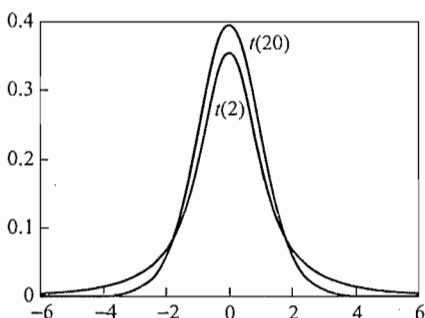
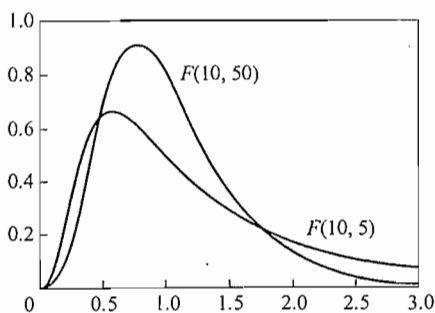
图 10.8 χ^2 分布的概率密度函数图形(5) t 分布

若 $X \sim N(0, 1)$, $Y \sim \chi^2(n)$, 且相互独立, 则 $T = \frac{X}{\sqrt{Y/n}}$ 服从 t 分布, 记作 $T \sim t(n)$, n 称为自由度. t 分布又称学生(student)分布.

t 分布的密度函数曲线见图 10.9, 它和 $N(0, 1)$ 曲线形状相似. 理论上 $n \rightarrow \infty$ 时 $T \sim t(n) \rightarrow N(0, 1)$, 实际上当 $n > 30$ 时它与 $N(0, 1)$ 就相差无几了.

(6) F 分布

若 $X \sim \chi^2(n_1)$, $Y \sim \chi^2(n_2)$, 且相互独立, 则 $F = \frac{X/n_1}{Y/n_2}$ 服从 F 分布, 记作 $F \sim F(n_1, n_2)$, (n_1, n_2) 称为自由度. F 分布的密度函数曲线见图 10.10.

图 10.9 t 分布的概率密度函数图形图 10.10 F 分布的概率密度函数图形

除了以上连续随机变量的概率分布外,还有几个常用的离散随机变量的概率分布.

(7) 二项分布

如果一次实验只有两种结果:成功和失败,记成功的概率为 $p, q=1-p$, n 次独立实验中成功的次数是随机变量 X , X 服从二项分布(binomial distribution),有

$$P\{X=k\} = C_n^k p^k q^{n-k}, \quad k=0,1,\dots,n, \quad (21)$$

记作 $X \sim B(n, p)$.

将(21)式代入(8)式和(10)式(积分改为求和),可以算出 $B(n, p)$ 的期望和方差分别为

$$EX = np, \quad DX = npq. \quad (22)$$

产品检验中的废品个数、独立射击时的命中次数等都服从二项分布.

(8) 泊松分布

当二项分布的 $n \rightarrow \infty, np \rightarrow \lambda$ (常数) 时,随机变量 X 服从泊松分布(Poisson distribution),记作 $\text{Poiss}(\lambda)$,有

$$P\{X=k\} = \frac{\lambda^k}{k!} e^{-\lambda}, \quad k=0,1,2,\dots \quad (23)$$

将(23)式代入(8)式和(10)式(积分改为求和),可以算出 $\text{Poiss}(\lambda)$ 的期望和方差分别为

$$EX = \lambda, \quad DX = \lambda. \quad (24)$$

服务系统在一定时间内接到的呼唤数,放射性物质一定时间内发射的粒子数等服从泊松分布.

10.3.5 MATLAB 命令

MATLAB 统计工具箱中提供约 20 种概率分布,上面介绍的 8 种分布 MATLAB 命令采用下列字符(见表 10.9):

表 10.9

分布	均匀分布	指数分布	正态分布	χ^2 分布	t 分布	F 分布	二项分布	泊松分布
字符	unif	exp	norm	chi2	t	f	bin	poiss

对每一种分布提供 5 类运算功能,采用下列字符(见表 10.10):

表 10.10

功能	概率密度	分布函数	逆概率分布	均值与方差	随机数生成
字符	pdf	cdf	inv	stat	rnd

当需要某一分布的某类运算功能时,将分布字符与功能字符连接起来,就得到所要的命令,我们用例子来说明.

(1) 概率密度

```
y=normpdf(1.5,1,2)      % 正态分布( $\mu=1, \sigma=2$ )  $x=1.5$  处的概率密度(标准正态分布的
                            $\mu, \sigma$  可省略)
y=0.1933
```

```
y=binopdf(5:8,20,0.2)    % 二项分布( $n=20, p=0.2$ )  $k=5, 6, 7, 8$  的概率
y=0.1746 0.1091 0.0545 0.0222
```

(2) 分布函数

```
y=normcdf([-1 0 1.5],0,2) %  $N(0,2^2)$   $x=-1, 0, 1.5$  处的分布函数
y=0.3085 0.5000 0.7734
```

```
y=fcdf(1,10,50)          %  $F$  分布(自由度  $n_1=10, n_2=50$ )  $x=1$  处的分布函数
y=0.5436
```

(3) 逆概率分布

逆概率分布是分布函数 $F(x)$ 的反函数,即给定概率 α ,求满足 $\alpha = F(x_\alpha) = \int_{-\infty}^{x_\alpha} p(x)dx$ 的 x_α . x_α 称为该分布的 α 分位数.

```
y=norminv(0.7734,0,2)    % 概率  $\alpha=0.7734$  的  $N(0,2^2)$   $\alpha$  分位数  $x_\alpha$ 
y=1.5002
```

```
y=tinv([0.3,0.999],10)   % 概率  $\alpha=0.3,0.999$  的  $t$  分布(自由度  $n=10$ )  $\alpha$  分位数  $x_\alpha$ 
y=-0.5415 4.1437
```

(4) 期望和方差

```
[m,v]=normstat(1,4)           % 计算 N(1,4^2)的期望和方差
m=1   v=16
```

```
[m,v]=fstat(3,5)              % 计算 F(3,5)的期望和方差
m=1.6667   v= 11.1111
```

随机数生成的用法与上类似,非常有用的均匀分布随机数的用法将在 10.4 说明.

例 4 从正态分布 $N(\mu, \sigma^2)$ 的总体任意取一个体,求它的取值在 $\mu \pm \sigma, \mu \pm 2\sigma, \mu \pm 3\sigma$ 范围内的概率.

解 由 $X \sim N(\mu, \sigma^2)$ 的概率密度(19) $p(x) = \frac{1}{\sqrt{2\pi}\sigma} \exp\left(-\frac{(x-\mu)^2}{2\sigma^2}\right)$ 可知,若作变换 $Y = \frac{X-\mu}{\sigma}$, 则 Y 服从标准正态分布,即 $Y \sim N(0, 1)$, 分布函数常记作 $\Phi(x)$, 于是

$$P\{\mu - \sigma \leq X \leq \mu + \sigma\} = P\{-1 \leq Y \leq 1\} = \Phi(1) - \Phi(-1) = 1 - 2\Phi(-1)$$

同理, $P\{\mu - 2\sigma \leq X \leq \mu + 2\sigma\} = 1 - 2\Phi(-2)$, $P\{\mu - 3\sigma \leq X \leq \mu + 3\sigma\} = 1 - 2\Phi(-3)$. 用 MATLAB 编程计算这些概率(分别记作 P1, P2, P3)如下:

```
P1=1-2*normcdf(-1),
P2=1-2*normcdf(-2),
P3=1-2*normcdf(-3),
```

得到 $P1 = 0.6827$ $P2 = 0.9545$ $P3 = 0.9973$

这个结果给出了实际中很有用的正态分布的 3σ 准则: 若一个容量较大的样本数据来自正态分布 $N(\mu, \sigma^2)$ 的总体, 则落在 $\mu \pm \sigma, \mu \pm 2\sigma, \mu \pm 3\sigma$ 范围内的数据分别约占 68%、95% 和 99.7%, 可以认为几乎全部都在 $\mu \pm 3\sigma$ 范围内.

例 5 已知机床加工得到的某零件的尺寸服从期望 20cm, 均方差 1.5cm 的正态分布.

(1) 任意抽取一个零件, 求它的尺寸在 $[19, 22]$ 区间内的概率.

(2) 若规定尺寸不小于某一标准值的零件为合格品, 要使合格品的概率为 0.9, 如何确定这个标准值?

(3) 独立地取 25 个组成一个样本, 求样本均值在 $[19, 22]$ 区间内的概率.

解 零件尺寸服从 $N(20, 1.5^2)$, 用 $p(x)$ 和 $F(x)$ 分别表示 $N(20, 1.5^2)$ 的概率密度和分布函数.

(1) 零件尺寸在 $[19, 22]$ 区间内的概率为

$$P = \int_{19}^{22} p(x) dx = F(22) - F(19).$$

(2) 零件为合格品的标准值 x_0 应满足

$$\int_{x_0}^{\infty} p(x) dx = 0.9 \quad \text{或} \quad \int_{-\infty}^{x_0} p(x) dx = F(x_0) = 0.1.$$

(3) 样本均值 $\bar{x} = \frac{1}{n} \sum_{i=1}^n x_i$ 是相互独立的、正态分布 $N(20, 1.5^2)$ 随机变量的线性组合, 仍服从正态分布, 其期望和方差由(13)式, (14)式给出, 即

$$E\bar{x} = 20, D\bar{x} = \frac{1.5^2}{25} = \left(\frac{1.5}{5}\right)^2,$$

样本均值在 $[19, 22]$ 区间内的概率 P_1 可以类似于(1)式求出.

P, x_0 和 P_1 用 MATLAB 编程计算如下:

```
P = normcdf(22, 20, 1.5) - normcdf(19, 20, 1.5)
```

```
X0 = norminv(0.1, 20, 1.5)
```

```
P1 = normcdf(22, 20, 1.5/5) - normcdf(19, 20, 1.5/5)
```

得到

```
P=0.6563 X0=18.0777 P1=0.9996
```

从 P 和 P_1 可以看出, 与一个零件相比, ($n=25$ 的) 样本均值落在总体均值附近的概率要大得多.

10.3.6 二维随机变量的概率密度、协方差和相关系数

实际问题中随机试验的结果有时需要用两个随机变量来描述, 如为了研究儿童的发育状况, 随机抽样测量儿童的身高和体重; 在众多随机因素影响下炮弹弹着点的横坐标和纵坐标. 二维连续随机变量 (X, Y) 的概率密度用 $p(x, y)$ 表示, 满足 $p(x, y) \geq 0$, $\int_{-\infty}^{\infty} \int_{-\infty}^{\infty} p(x, y) dx dy = 1$. (X, Y) 落在 x, y 平面上某区域 Ω 内的概率用二重积分

$$P((X, Y) \in \Omega) = \iint_{\Omega} p(x, y) dx dy \quad (25)$$

计算.

由 (X, Y) 的概率密度 $p(x, y)$ 可以确定两个随机变量 X 和 Y 的概率密度 $p_X(x)$ 和 $p_Y(y)$, 即

$$p_X(x) = \int_{-\infty}^{\infty} p(x, y) dy, \quad p_Y(y) = \int_{-\infty}^{\infty} p(x, y) dx. \quad (26)$$

而随机变量 X 和 Y 相互独立等价于

$$p(x, y) = p_X(x) p_Y(y). \quad (27)$$

在二维随机变量 (X, Y) 的数字特征中, X, Y 的期望和方差仍由(8)~(10)式计算,

而描述 X, Y 之间相互关系的数字特征——协方差 $\text{cov}(\text{covariance})$ 和相关系数 r (correlation coefficient) 定义如下.

$$\begin{aligned}\text{cov}(X, Y) &= \int_{-\infty}^{\infty} \int_{-\infty}^{\infty} (x - EX)(y - EY)p(x, y) dx dy \\ &= E[(X - EX)(Y - EY)] = EXY - (EX)(EY),\end{aligned}\quad (28)$$

$$r_{XY} = \frac{\text{cov}(X, Y)}{\sqrt{DX} \sqrt{DY}}. \quad (29)$$

相关系数 r 度量了 X, Y 的相关程度, 当 X, Y 不相关时 $r=0$ (即 $\text{cov}(X, Y)=0$), 正线性相关时 $r=1$, 负线性相关时 $r=-1$.

有了协方差的概念, 前面的两个相互独立随机变量之和的方差的公式(12)可以推广为

$$D(c_1 X + c_2 Y) = c_1^2 DX + c_2^2 DY + 2c_1 c_2 \text{cov}(X, Y). \quad (30)$$

二维正态分布是最常用的二维概率分布, 其概率密度为

$$\begin{aligned}p(x, y) &= \frac{1}{2\pi\sigma_1\sigma_2\sqrt{1-r^2}} \exp\left\{-\frac{1}{2(1-r^2)}\left[\frac{(x-\mu_1)^2}{\sigma_1^2} - \right.\right. \\ &\quad \left.\left. 2r\frac{(x-\mu_1)(y-\mu_2)}{\sigma_1\sigma_2} + \frac{(y-\mu_2)^2}{\sigma_2^2}\right]\right\}.\end{aligned}\quad (31)$$

按照定义算出数字特征

$$EX = \mu_1, \quad EY = \mu_2, \quad DX = \sigma_1^2, \quad DY = \sigma_2^2, \quad r_{XY} = r. \quad (32)$$

可以看出, 对于二维正态随机变量 (X, Y) , 若 X 与 Y 不相关 ($r=0$), 由(31)式得 $p(x, y) = p_X(x)p_Y(y)$, 即 X 与 Y 独立.

若从二维总体得到的样本数据为 $(x_i, y_i) \ i=1, 2, \dots, n$, 样本均值 \bar{x}, \bar{y} 和样本均方差 s_x, s_y 仍用(2)式和(3)式计算, 而样本协方差和相关系数的计算公式为

$$s_{xy}^2 = \frac{1}{n-1} \sum_{i=1}^n (x_i - \bar{x})(y_i - \bar{y}), \quad r_{xy} = \frac{s_{xy}^2}{s_x s_y}. \quad (33)$$

在 MATLAB 中计算样本协方差的命令是

$$\text{cov}(x, y) \quad \% \ x, y \text{ 是样本数据 (同长度数组), 输出协方差矩阵 } \begin{bmatrix} s_x^2 & s_{xy}^2 \\ s_{xy}^2 & s_y^2 \end{bmatrix}$$

计算相关系数的命令是

$$\text{corrcoef}(x, y) \quad \% \ x, y \text{ 同上, 输出相关系数矩阵 } \begin{bmatrix} 1 & r_{xy} \\ r_{xy} & 1 \end{bmatrix}$$

10.4 用随机模拟计算数值积分

随机模拟是一种随机试验的方法,也称为蒙特卡罗方法(Monte Carlo).这种方法利用随机试验,根据频率与概率、平均值与期望值等之间的关系,推断出预期的结论.用它计算定积分的原理可以从下面的直观例子得出.

图 10.11 中粗线是四分之一单位圆,如果向图中边长为 1 的正方形里随机投 n 块小石头,当 n 很大时小石头会均匀分布在正方形中,数一下落在四分之一圆里的小石头,假定有 k 个,那么 k/n 就能看作四分之一单位圆面积 $\pi/4$ 的近似值,于是有 $\pi \approx 4k/n$,显然这可看作近似计算 π 的一种方法.

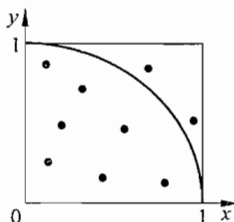


图 10.11 “投石算面积”

可以用概率论中的大数定律来说明这个直观认识的原理.

大数定律(伯努利(Bernoulli)定理) 设 k 是 n 次独立重复试验中事件 A 发生的次数, p 是事件 A 在每次试验中发生的概率,则对任意的正数 ϵ ,有

$$\lim_{n \rightarrow \infty} P\left\{\left|\frac{k}{n} - p\right| < \epsilon\right\} = 1. \quad (34)$$

若规定“向图中正方形随机投一块小石头落在四分之一单位圆里”为事件 A 发生,则 A 发生的概率 p 应该等于四分之一单位圆面积,随机投 n 块石头就是独立重复做 n 次试验,事件 A 发生 k 次.由(34)式, n 无限变大时 k/n 与 p 之差小于任意一个数 ϵ 的概率趋于 1.

计算数值积分是随机试验方法的一种典型的应用.

10.4.1 定积分的计算

通常有两类办法计算定积分.

(1) 随机投点法

在“投石算面积”的例子中,事件 A 在每次试验中发生的概率 p 是四分之一单位圆面积,即

$$p = \int_0^1 \int_0^{\sqrt{1-x^2}} dy dx = \int_0^1 \sqrt{1-x^2} dx \quad (35)$$

n 次试验由计算机完成,采用 $[0,1]$ 区间上的均匀分布产生相互独立的随机数.记这样产生的 n 个点的坐标为 (x_i, y_i) ($i=1, 2, \dots, n$).事件 A 发生等价于 (x_i, y_i) 满足 $y_i \leq \sqrt{1-x_i^2}$, A 发生的次数是满足 $y_i \leq \sqrt{1-x_i^2}$ ($i=1, 2, \dots, n$) 点的个数 k .由伯努利定理, p 可以用 k/n 近似替代.

这种办法可以推广如下.对任意区间 $[a, b]$ 内的连续函数 $f(x)$, 满足 $c \leq f(x) \leq d$ (c ,

$d \geq 0$), 为计算定积分 $\int_a^b f(x) dx$, 先由计算机产生 n 个点的坐标 $(x_i, y_i) (i=1, 2, \dots, n)$, 其中 x_i, y_i 分别为 $[a, b]$ 和 $[c, d]$ 区间上的均匀分布随机数, 然后记录 n 个点中满足 $y_i \leq f(x_i)$ 的数目 k , 则

$$\int_a^b f(x) dx \approx (b-a)(d-c) \frac{k}{n} + (b-a)c \quad (36)$$

(2) 均值估计法

这种方法依据概率论的以下两个定理:

大数定律 (辛钦定理) 设随机变量 Y_1, Y_2, \dots, Y_n 相互独立, 服从同一个分布, 且具有数学期望 $EY_i = \mu (i=1, 2, \dots, n)$, 则对任意的正数 ϵ , 有

$$\lim_{n \rightarrow \infty} P \left\{ \left| \frac{1}{n} \sum_{i=1}^n Y_i - \mu \right| < \epsilon \right\} = 1. \quad (37)$$

随机变量函数的期望 若随机变量 X 的概率分布密度是 $p(x) (a \leq x \leq b)$, 则随机变量的函数 $Y = f(X)$ 的期望为

$$E(f(X)) = \int_a^b f(x) p(x) dx. \quad (38)$$

于是, 当 X 为 $[a, b]$ 区间均匀分布的随机变量时, $p(x) = 1/(b-a) (a \leq x \leq b)$, (38) 式给出

$$\int_a^b f(x) dx = (b-a) E(f(X)). \quad (39)$$

只要产生 $[a, b]$ 区间相互独立、均匀分布的随机数 $x_i (i=1, 2, \dots, n)$, $y_i = f(x_i)$ 就相互独立. 根据辛钦定理, 当 n 很大时期望 $EY = E(f(X))$ 就可以用 $f(x_i)$ 的平均值近似, 所以由 (39) 式得到

$$\int_a^b f(x) dx \approx \frac{b-a}{n} \sum_{i=1}^n f(x_i). \quad (40)$$

与随机投点法相比, 均值估计法没有 $c \leq f(x) \leq d (c, d \geq 0)$ 的限制, 只需计算 $f(x_i)$, 不需要产生随机数 y_i , 也不需要作 $y_i \leq f(x_i)$ 的比较, 显然大为方便.

10.4.2 重积分的计算

用随机模拟作数值积分的优点不仅在于计算简单, 尤其是它可以方便地推广到计算多重积分, 而不少多重积分是其他方法很难或者根本无法计算的. 例如可以用均值估计法计算如下的二重积分

$$\iint_{\Omega} f(x, y) dx dy, \quad \Omega: a \leq x \leq b, \quad c \leq g_1(x) \leq y \leq g_2(x) \leq d. \quad (41)$$

设 $x_i, y_i (i=1, 2, \dots, n)$ 分别为 $[a, b]$ 和 $[c, d]$ 区间上的均匀分布随机数, 判断每个点 $(x_i,$

y_i) 是否落在 Ω 域内, 将落在 Ω 域内的 m 个点记作 $(x_k, y_k) (k=1, 2, \dots, m)$, 则

$$\iint_{\Omega} f(x, y) dx dy \approx \frac{(b-a)(d-c)}{n} \sum_{k=1}^m f(x_k, y_k). \quad (42)$$

注意: (42) 式的分母是 n 而不是 m .

例 6 炮弹射击的目标为一椭圆形区域, 在 X 方向半轴长 120m, Y 方向半轴长 80m. 当瞄准目标的中心发射炮弹时, 在众多随机因素的影响下, 弹着点服从以目标中心为均值的正态分布, 设 X 方向和 Y 方向的均方差分别为 60m 和 40m, 且 X 方向和 Y 方向相互独立. 求每颗炮弹落在椭圆形区域内的概率.

解 设目标中心为 $x=0, y=0$, 记 $a=120, b=80$, 则椭圆形区域可表示为 $\Omega: \frac{x^2}{a^2} + \frac{y^2}{b^2} \leq 1$.

记正态分布的概率密度 $p(x) = \frac{1}{\sqrt{2\pi}\sigma_x} \exp\left(-\frac{x^2}{2\sigma_x^2}\right)$, $p(y) = \frac{1}{\sqrt{2\pi}\sigma_y} \exp\left(-\frac{y^2}{2\sigma_y^2}\right)$, 其中 $\sigma_x=60, \sigma_y=40$, 由 X 方向和 Y 方向相互独立, $p(x, y) = p_x(x)p_y(y)$, 于是炮弹命中椭圆形区域的概率为二重积分

$$P = \iint_{\Omega} p(x, y) dx dy = \iint_{\Omega} \frac{1}{2\pi\sigma_x\sigma_y} \exp\left[-\frac{1}{2}\left(\frac{x^2}{\sigma_x^2} + \frac{y^2}{\sigma_y^2}\right)\right] dx dy. \quad (43)$$

这个积分无法用解析方法求解, 下面借助于 MATLAB 用蒙特卡罗方法计算.

10.4.3 MATLAB 实现

用随机模拟作数值积分主要利用均匀分布产生的随机数及相应的判断、计数和简单运算. MATLAB 提供的命令

`unifrnd(a,b,m,n)`

产生 m 行 n 列 $[a, b]$ 区间上的均匀分布随机数. 当 $a=0, b=1$ 时, 可用 `rand(m,n)`.

例 7 用蒙特卡罗方法计算 π .

解(1) 随机投点法. MATLAB 程序如下:

```
n=10000;
x=rand(2,n);
k=0;
for i=1:n
    if x(1,i)^2+x(2,i)^2<=1
        k=k+1;
    end
end
p=4*k/n
```

重复计算 4 次, 计算结果分别为:

$p=3.1244$ $p=3.1420$ $p=3.1780$ $p=3.1468$

当 n 提高到 50000 时, 重复计算 4 次, 计算结果为:

$p=3.1372$ $p=3.1456$ $p=3.1442$ $p=3.1426$

解(2) 均值估计法. 此时 $f(x) = \sqrt{1-x^2}$, MATLAB 程序如下:

```
n=50000;
x=rand(1,n);
y=0;
for i=1:n
    y=y+sqrt(1-x(i)^2);
end
p=4*y/n
```

请读者计算, 与第 1 种方法比较.

例 6(续) 由(42)式, 以及椭圆的对称性, 炮弹命中椭圆形区域的概率为

$$P = 4 \iint_{\Omega_1} f(x, y) dx dy \approx \frac{4ab}{n} \sum_{k=1}^m f(x_k, y_k), \quad f(x, y) = \frac{1}{2\pi\sigma_x\sigma_y} \exp\left[-\frac{1}{2}\left(\frac{x^2}{\sigma_x^2} + \frac{y^2}{\sigma_y^2}\right)\right],$$

其中 Ω_1 是椭圆 $\frac{x^2}{a^2} + \frac{y^2}{b^2} \leq 1$ 在第 1 象限的部分, (x_k, y_k) 是 n 个点中落在 Ω_1 内的点的坐标,

$a=1.2$, $b=0.8$, $\sigma_x=0.6$, $\sigma_y=0.4$ (均以 100m 为单位), 而随机点 $x_i, y_i (i=1, 2, \dots, n)$ 分别为 $[0, a]$ 和 $[0, b]$ 区间上的均匀分布随机数.

MATLAB 程序如下:

```
a=1.2;b=0.8;
sx=0.6;sy=0.4;
n=100000;m=0;z=0;
x=unifrnd(0,1.2,1,n);
y=unifrnd(0,0.8,1,n);
for i=1:n
    if x(i)^2/a^2+y(i)^2/b^2<=1
        u=exp(-0.5*(x(i)^2/sx^2+y(i)^2/sy^2));
        z=z+u;
        m=m+1;
    end
end
```

$$P=4 * a * b * z/2/\pi/sx/sy/n$$

重复计算 4 次, 计算结果分别为:

$$P=0.8620 \quad P=0.8667 \quad P=0.8649 \quad P=0.8676$$

可以看出, 用随机模拟方法可以计算被积函数非常复杂的定积分、重积分, 并且维数没有限制, 但是它的缺点是计算量大, 结果具有随机性, 精度较低. 一般说来精度为 $n^{-1/2}$ 阶, n 增加时精度提高较慢.

10.5 实例的建模和求解

10.5.1 报童的利润(续)

模型与求解 按照 10.1.1 节的分析首先寻求每天报纸需求量的随机规律, 将表 10.1 看作需求量的频率, 由此可以计算需求量的均值 \bar{r} 和标准差 σ_r . 虽然报纸的需求量 r 是离散的 ($r=0, 1, 2, \dots$), 但由于 r 较大, 可以将它看作连续随机变量 x , 又根据经验和常识, 像报纸这样的商品的需求量 x 大致服从正态分布(实验 11 将介绍正态分布的检验方法). 于是(1)式给出的报童每天的平均利润 $V(n)$ 可以写作

$$V(n) = \int_0^n \{(b-a)x - (a-c)(n-x)\} p(x) dx + \int_n^\infty (b-a)np(x) dx, \quad (44)$$

其中 $p(x)$ 是均值 \bar{r} 、标准差 σ_r 的正态分布的概率密度.

为了求 n 使 $V(n)$ 最大, 对 $V(n)$ 求导数, 得

$$\begin{aligned} V'(n) &= (b-a)np(n) - \int_0^n (a-c)p(x) dx - (b-a)np(n) + \int_n^\infty (b-a)p(x) dx \\ &= -\int_0^n (a-c)p(x) dx + \int_n^\infty (b-a)p(x) dx. \end{aligned}$$

令导数等于零, 得到

$$\frac{\int_0^n p(x) dx}{\int_n^\infty p(x) dx} = \frac{b-a}{a-c}. \quad (45)$$

当均值 \bar{r} 比标准差 σ_r 大得多时, $\int_0^n p(x) dx \approx \int_{-\infty}^n p(x) dx$, 又 $\int_n^\infty p(x) dx = 1 - \int_{-\infty}^n p(x) dx$, (45) 式可化为

$$\int_{-\infty}^n p(x) dx = \frac{b-a}{b-c}. \quad (46)$$

容易证明 $V''(n) < 0$, 所以当 $p(x)$ 和 a, b, c 确定后, 由(45)式或(46)式得到的确是每天平

均利润最大的最佳购进量 n .

结果分析 在一般的条件 $b \geq a \geq c$ 下讨论 a, b, c 的变化对最佳决策 n 的影响.

从(46)式看出,当 $b > a = c$ 时,即购进价与退回价相同且零售价高于购进价,报童不承担任何卖不出去的风险,他将从发行商处购进尽可能多(无穷多)的报纸.这样必然造成发行商的损失.

当 $b = a > c$ 时,即零售价与购进价相同且高于退回价,报童无利润可得,他不从发行商处购进任何报纸($n=0$).这样发行商也无法获得任何利益.

只有 $b > a > c$ 时,发行商和报童才能获得利益,报童将根据需求量的随机规律(用 $p(x)$ 描述)制定自己的应对策略.由(46)式可以看出: $b-a$ 越大,购进量 n 越大; $b-c$ 越大,购进量 n 越小.这些都符合直观的理解.

MATLAB 实现 根据表 10.1 数据和 $a=0.8, b=1, c=0.75$ (元),编写 MATLAB 程序计算:

```
a=0.8;b=1;c=0.75;
q=(b-a)/(b-c);
r=[3 9 13 22 32 35 20 15 8 2];
rr=sum(r);
x=110:20:290;           % 需求量取表 10.1 中小区间的中点
rbar=r*x'/rr             % 计算均值
s=sqrt(r*(x.^2)'/rr-rbar^2) % 计算标准差
n=norminv(q,rbar,s)      % 按照(46)式用逆概率分布计算 n
```

结果为:

```
rbar = 199.4340  s = 38.7095  n = 232.0127
```

即需求量的均值为 199,标准差为 38.7,报童应购进 232 份报纸.

读者可以考虑当需求量服从 $[d_1, d_2]$ 区间上均匀分布时的最佳决策.

10.5.2 路灯更换策略(续)

模型与求解 按照 10.1.2 节的分析,假设每一个灯泡的更换价格为 a ,包括灯泡的成本和安装时分摊到每个灯泡的费用;管理部门对每个不亮灯泡单位时间(h)的罚款为 b .通过调查研究,并根据经验合理地假定灯泡寿命服从正态分布 $N(\mu, \sigma^2)$,记概率密度函数为 $p(x)$ (x 是灯泡寿命).

记更换周期为 T ,灯泡总数为 K ,则更换灯泡的费用为 Ka ,承受的罚款为

$$Kb \int_{-\infty}^T (T-x)p(x)dx,$$

一个更换周期内的总费用是二者之和.而我们的目标函数应该是单位时间内的平均费

用,即

$$F(T) = \frac{Ka + Kb \int_{-\infty}^T (T-x)p(x)dx}{T}. \quad (47)$$

为得到最佳更换周期,求 T 使 $F(T)$ 最小. 令 $\frac{dF}{dT}=0$ 可得

$$\int_{-\infty}^T xp(x)dx = \frac{a}{b}. \quad (48)$$

结果分析 第一,从(48)式可以看出, a/b 越大,即灯泡的更换价格与惩罚费用之比越大,更换周期 T 应越长,这与直观认识是吻合的. 另外,若管理部门希望以灯泡的平均寿命为更换周期(即 $T=\mu$),来制定惩罚费用,则由(48)式可得

$$b = \frac{a}{\int_{-\infty}^{\mu} xp(x)dx}. \quad (49)$$

第二,为了能用 MATLAB 已有的命令计算最佳更换周期,需对(49)式作以下变换.

以 $N(\mu, \sigma^2)$ 的概率密度(19)式代入(48)式左端作积分:

$$\begin{aligned} \int_{-\infty}^T xp(x)dx &= \int_{-\infty}^T x \frac{1}{\sqrt{2\pi}\sigma} \exp\left\{-\frac{(x-\mu)^2}{2\sigma^2}\right\} dx \\ &= \mu \int_{-\infty}^T p(x)dx - \sigma^2 \frac{1}{\sqrt{2\pi}\sigma} \exp\left\{-\frac{(T-\mu)^2}{2\sigma^2}\right\} = \mu F(T) - \sigma^2 p(T). \end{aligned}$$

(48)式化为

$$\mu F(T) - \sigma^2 p(T) = a/b, \quad (50)$$

而当 $T=\mu$ 时,(49)式化为

$$b = \frac{a}{\frac{\mu}{2} - \frac{\sigma}{\sqrt{2\pi}}}. \quad (51)$$

MATLAB 实现 设某品牌灯泡的平均寿命为 4000h,标准差为 100h,即寿命服从 $N(4000, 100^2)$,每个灯泡的安装价格为 80 元,管理部门对每个不亮的灯泡制定的惩罚费用为 0.02 元/h.

为计算最佳更换周期,注意到无法从(50)式直接解出 T ,我们采取比较(50)式左右端的大小,调整 T 增加或减少的办法. 用 MATLAB 编程如下:

```
a=80; b=0.02; aoverb=a/b
mu=4000; s=100;
t=mu; % 设定 T 的初值
step=0.1; % T 增加或减少的步长
var=0.01; % (50)式左右端比较的误差限
vp=mu*normcdf(t,mu,s)-s^2*normpdf(t,mu,s); % 计算(50)式左端
```

```

if vp > aoverb                                % (50)式左端大于右端,T 减少
    while (vp - aoverb) > var
        t = t - step;
        vp = mu * normcdf(t, mu, s) - s^2 * normpdf(t, mu, s);
    end
end
if vp < aoverb                                % (50)式右端大于左端,T 增加
    while (aoverb - vp) > var
        t = t + step;
        vp = mu * normcdf(t, mu, s) - s^2 * normpdf(t, mu, s);
    end
end
vp, t

```

计算结果为

aoverb = 4000 vp = 4.0000e+003 t = 4.4589e+003

最佳更换周期为 4459h.

改变惩罚费用 b 的大小, 得到表 10.11 的结果.

表 10.11 不同惩罚费用对应的更换周期

b	0.05	0.1	0.5	1	10
T	3977	3918	3828	3797	3715

可以看出, 随着惩罚费用的增加, 更换周期变短.

若管理部门希望以灯泡的平均寿命为更换周期, 由 (51) 式计算得到惩罚费用 $b = 0.04082$.

思考 如果在目标函数 (47) 式中, 考虑更换时没有坏的灯泡还有一定的回收价值, 模型和算法有什么变化 (见 10.6 节实验练习第 9 题)?

10.6 实验练习

实验目的

1. 掌握概率统计的基本概念及用 MATLAB 实现的方法;
2. 练习用这些方法解决实际问题.

实验内容

1. 设总体 $X \sim N(40, 5^2)$, 抽取容量为 n 的样本, 样本均值记作 \bar{x} .
 - (1) 设 $n=36$, 求 \bar{x} 在 38 与 43 之间的概率;
 - (2) 设 $n=64$, 求 \bar{x} 与总体均值之差不超过 1 的概率;

(3) 要使 \bar{x} 与总体均值之差不超过 1 的概率达到 0.95, n 应多大;

2. 某厂从一台机床生产的滚珠中随机抽取 20 个, 测得直径(mm)如下:

14.6, 14.7, 15.1, 14.9, 14.8, 15.0, 15.1, 15.2, 14.8, 14.3,

15.1, 14.2, 14.4, 14.0, 14.6, 15.1, 14.9, 14.7, 14.5, 14.7

试给出这些数据的均值、标准差、方差、极差, 并画出直方图.

3. 某校 60 名学生的一次考试成绩如下:

93 75 83 93 91 85 84 82 77 76 77 95 94 89 91

88 86 83 96 81 79 97 78 75 67 69 68 84 83 81

75 66 85 70 94 84 83 82 80 78 74 73 76 70 86

76 90 89 71 66 86 73 80 94 79 78 77 63 53 55

作直方图, 计算均值、标准差、极差、偏度、峰度.

4. 用蒙特卡罗方法计算以下函数在给定区间上的积分, 并改变随机点数目观察对结果的影响.

$$(1) y = \frac{1}{x+1}, 0 \leq x \leq 1;$$

$$(2) y = e^{3x} \sin 2x, 0 \leq x \leq 2;$$

$$(3) y = \sqrt{1+x^2}, 0 \leq x \leq 2;$$

$$(4) y = \frac{1}{\sqrt{2\pi}} e^{-\frac{x^2}{2}}, -2 \leq x \leq 2.$$

5. 与例 6 类似, 但炮弹射击的目标为一半径 100m 的圆形区域, 弹着点以圆心为中心呈二维正态分布, 设在密度函数(31)式中 $\sigma_x = 80\text{m}$ 和 $\sigma_y = 50\text{m}$, 相关系数 $r = 0.4$. 求炮弹命中圆形区域的概率.

6. 冰淇淋的下部为锥体, 上部为半球. 设它由锥面 $z = \sqrt{x^2 + y^2}$ 和球面 $x^2 + y^2 + (z-1)^2 = 1$ 围成, 用蒙特卡罗方法计算它的体积.

7. 对于报童问题, 如果报纸的需求量服从正态分布 $N(\mu, \sigma^2)$, 且批发价为 $a = A\left(1 - \frac{n}{K}\right)$, 其中 n 为购进报纸的数量, K 为一个给定的常数. 建立报童为获得最大利润的数学模型. 当已知 $\mu = 2000$, $\sigma = 50$, $A = 0.5$; $K = 50000$, $b = 0.5$, $c = 0.35$ 时, 为了获得最大的利润, 求解报童每天购进的报纸数量 n .

8. 在路灯更换问题中, 考虑没有坏的灯泡还有一定的回收价值(常数), 建立相应的数学模型并求出更换周期的表达式. 当已知某品牌灯泡的平均寿命为 4000h, 服从 $N(4000, 100^2)$, 每个灯泡的安装价格为 70 元, 管理部门对每个不亮的灯泡制定的惩罚费用为 0.02 元/h, 每个未坏灯泡的回收价格为 5 元, 计算最佳更换周期.

9. 轧钢有两道工序: 粗轧和精轧. 粗轧钢坯时由于各种随机因素的影响, 得到的钢

材的长度呈正态分布,其均值可由轧机调整,而方差是设备精度决定的,不能改变;精轧时将粗轧得到的钢材轧成规定的长度(可以认为没有误差).如果粗轧后的钢材长度大于规定长度,精轧时要把多出的部分轧掉,造成浪费;如果粗轧后的钢材长度已经小于规定长度,则整根报废,浪费更大.问题是已知钢材规定的长度 l 和粗轧后的钢材长度的均方差 σ ,求可以调整的粗轧时钢材长度的均值 m ,使总的浪费最小.试从以下两种目标函数中选择一个,在 $l=2\text{m}, \sigma=20\text{cm}$ 条件下求均值 m :

- (1) 每粗轧一根钢材的浪费最小;
- (2) 每得到一根规定长度钢材的浪费最小.

参 考 文 献

- 1 沈恒范. 概率论与数理统计教程. 第3版. 北京: 高等教育出版社, 1995
- 2 吴翊, 李永乐, 胡庆军. 应用数理统计. 长沙: 国防科技大学出版社, 1995
- 3 姜启源, 何青, 高立. 数学实验. 北京: 高等教育出版社, 1999
- 4 姜启源, 谢金星, 叶俊编. 数学模型. 第三版. 北京: 高等教育出版社, 2003

实验 11

统计推断

统计推断的目的是通过对样本的处理和分析,得出与总体参数相关的结论.统计推断包括参数估计和假设检验两部分内容.事实上,我们每天接触的新闻报道就经常涉及到统计推断问题.

报道 1: 从 20 世纪 80 年代以来,中国 7 至 17 岁青少年男女平均身高分别增长了 6.9cm 和 5.5cm,体重分别增长了 6.6kg 和 4.5kg.有关专家称,这显示出中国青少年的体格发育呈显著增长趋势,……儿童、青少年的生长长期趋势,已经超过了发达国家第二次世界大战后出现的生长加速水平(中新社北京 2002 年 12 月 10 日报道).

报道中关于青少年平均身高和体重的数据是怎么得到的呢?不会是对全国青少年普查的结果,只能是抽样得到的数据(样本),但报道中的结论却是对全国而言(总体),应该怎样评价这种从样本推断总体的结论的可信程度?

报道 2: 日本厚生劳动省的一个研究小组经过多年大规模跟踪调查,证明吸烟是造成死亡率升高的最大日常性因素.这个研究小组从 1980 年开始对 1 万名 30 岁以上健康男女进行了为期 19 年的跟踪调查,分析了血压、胆固醇值、血糖值、肥胖度、吸烟习惯、饮酒习惯等与死亡率的关系.

结果发现,年龄和其他状况相近的男性每天吸烟 1 包,死亡率比不吸烟的人高 34.6%;每天饮酒的男性比不饮酒者死亡率高 1.7%,女性高 4.1%;血压、血糖值在正常值之上每升高 1 个单位,死亡率分别上升 0.5%至 0.8%和 0.3%;高胆固醇和肥胖虽然会造成动脉硬化等而导致死亡率上升,但对死亡率总体影响却不大,而每天吸 1 包烟的人,死亡的风险比血压高出正常值 40 单位以上、血糖值高出正常值 100 单位以上的人还要高(广州日报 2003 年 8 月 5 日报道).

报道明确地说是抽样调查,并给出了样本容量,那么是怎样由样本推断出关于总体的结论的呢?

报道 3: 从 2000 年 7 月 1 日开始,北京、上海、广州三大城市率先实施《车用无铅汽油》的环保标准,日前国家质量技术监督局在这三市进行了新汽油标准实施后的第一次国家监督抽查.这次共抽查了三市的 32 家加油站的车用汽油产品,抽样合格率为 75%,其

中 90 号无铅车用汽油抽查了 15 批次,合格 10 批次,93 号车用无铅汽油抽查了 17 批次,合格 14 批次.……本次抽查中硫含量全部合格,但 3 个城市存在差别,上海的硫含量最低,其次是北京、广州,但与国际上的要求相比,仍有较大差距.本次抽查发现的主要问题是烯烃含量超标,新标准规定,烯烃含量不大于 35%,不合格的样品中有 5 个批次产品的烯烃含量都大于 40%,而且主要出在 90 号汽油上(中央电视台 2001 年 2 月 27 日报道).

报道中提到了抽样合格率,但样本容量很小,能够得到关于总体情况的可靠的结论吗?

通过这个实验你将了解并学会怎样由样本数据估计总体的一些参数,估计的可靠程度如何,以及怎样根据样本数据去肯定或否定一个事先提出的假设.以下 11.1 节提出几个经过简化的问题,11.2 节介绍参数估计的概念及其 MATLAB 实现,11.3 节介绍假设检验的理论和方法及其 MATLAB 实现,11.4 节求解 11.1 节的问题并分析计算结果,11.5 节布置实验练习.

11.1 实例及其分析

结合上面的 3 个报道,本节通过收集到的部分数据提出统计推断中的参数估计和假设检验问题,并作初步分析.

11.1.1 学生身高的变化

问题 中国近 20 多年的经济发展使得人民的生活得到了很大的提高,不少家长都觉得孩子这一代的身高比上一代有了很大变化.下面是近期在一个经济发展比较快的城市中学和一个农村中学收集到的 17 岁龄的学生身高数据:

50 名 17 岁城市男性学生身高(单位:cm):

170.1 179.0 171.5 173.1 174.1 177.2 170.3 176.2 163.7 175.4
163.3 179.0 176.5 178.4 165.1 179.4 176.3 179.0 173.9 173.7
173.2 172.3 169.3 172.8 176.4 163.7 177.0 165.9 166.6 167.4
174.0 174.3 184.5 171.9 181.4 164.6 176.4 172.4 180.3 160.5
166.2 173.5 171.7 167.9 168.7 175.6 179.6 171.6 168.1 172.2

从 100 名同龄农村男性学生的身高(原始数据从略),计算出样本均值和标准差分别为 168.9cm 和 5.4cm.

(1) 怎样对目前 17 岁城市男性学生的平均身高做出估计?

(2) 又查到 20 年前同一所学校同龄男生的平均身高为 168cm,根据上面的数据回答,20 年来 17 岁城市男性学生的身高是否发生了变化?

(3) 由收集的城市和农村中学的数据回答,两地区同龄男生的身高是否有差距?

分析 对于问题(1),一个明显的、人们都能接受的结论是,用 50 名 17 岁城市男性学生的平均身高(样本均值)作为 17 岁城市男性学生的平均身高(总体均值)的估计值,大家也知道这个估计不可能完全可靠.需要进一步解决的问题是,学生的平均身高会在多大的范围内变化,其可靠程度如何.

对于问题(2),不妨先假定学生的身高没有变化,即假设目前仍为 168cm,再根据 50 名学生身高数据检验这个假设的正确性.显然,样本均值一般不会刚好等于 168cm,但若样本均值只比 168cm 高一点,人们将不认为总体均值发生了变化,即承认原来的假设.需要解决的问题是,样本均值比 168cm 高多少,才有理由否认原来的假设.

问题(3)类似于问题(2),要通过样本数据检验的假设是,两地区同龄男生的平均身高没有差距.需要解决的问题是,两个样本均值相差多少,才有理由否认这个假设.

我们将在 11.5 节继续讨论这个问题.

11.1.2 吸烟对血压的影响

问题 为了研究吸烟对血压的影响,对吸烟和不吸烟两组人群进行 24h 动态监测,吸烟组 66 人,不吸烟组 62 人,分别测量 24h 收缩压(24hSBP)和舒张压(24hDBP),白天(6Am-10Pm)收缩压(dSBP)和舒张压(dDBP),夜间(10Pm~6Am)收缩压(nSBP)和舒张压(nDBP).然后分别计算每类的样本均值和标准差,如表 11.1 所示.

表 11.1 吸烟和不吸烟组血压的样本均值与标准差^① 单位: mmHg

	吸烟组均值	吸烟组标准差	不吸烟组均值	不吸烟组标准差
24hSBP	119.35	10.77	114.79	8.28
24hDBP	76.83	8.45	72.87	6.20
dSBP	122.70	11.36	117.60	8.71
dDBP	79.52	8.75	75.44	6.80
nSBP	109.95	10.78	107.10	10.11
nDBP	69.35	8.60	65.84	7.03

吸烟对血压是否有影响?从这些数据中能得到什么样的推断?

分析 吸烟和不吸烟两组人群分别来自两个非常大的总体,这个问题需要从两个样本的参数(均值与标准差)推断总体参数的性质(这里是两个总体的均值是否相等).

11.1.3 汽油供货合同

问题 根据国家制定的标准,加油站加大了成品油的进货监控.某炼油厂(甲方)向加

^① 数据来源:中华心血管病杂志 1998 年第 26 卷第 5 期《高血压研究专栏》.

油站(乙方)成批(车次)供货,双方制定了相关的产品质量监控合同,如加油站考虑硫含量一项指标时,要求含硫量不超过 0.08%.若双方商定每批抽检 10 辆车,试以下面数据为例讨论乙方是否应接受该批汽油.

10 个含硫量数据(%):

0.0864 0.0744 0.0864 0.0752 0.0760 0.0954 0.0936 0.1016 0.0800 0.0880

(1) 只根据这些数据推断乙方是否应接受该批汽油;如果甲方是可靠的供货商,并且对产品的稳定性提供了进一步的信息,乙方对应的策略有什么变化?

(2) 现乙方与一新炼油厂(丙方)谈判,并且风闻丙方有用含硫量 0.086% 的汽油顶替合格品的前科,那么如果乙方沿用与甲方订的合同,会有什么后果.

分析 容量为 10 的样本是小样本,随机误差较大.若乙方认为甲方一向可靠,应相信它提供的信息,尽量接受它的供货.而对尚不能寄予信赖的丙方,则必须尽量杜绝其以次充好的手段得逞.这个问题涉及统计推断中的两类错误:弃真和取伪.由于样本数据的随机性,这两类错误是不可避免的,问题在于怎样从实际出发,在二者之间做出恰当的折中.我们将在 11.5 节继续讨论这个问题.

11.2 参数估计

在统计中参数估计一般指的是,假定总体的概率分布的类型(如正态分布、指数分布)已知,由样本估计分布的参数(如正态分布的 μ 和 σ ,指数分布的 λ).我们知道,实际中最有用的数字特征——期望和方差与分布的参数之间有确定的关系,本节只讨论总体期望和方差的估计,并且由于实际中最常见的分布是正态分布,理论上也只有总体正态分布的前提下,才能得到方便、适用的结果,所以在这个实验中,如不特别说明,都假定总体服从正态分布.

11.2.1 点估计

点估计是在总体分布已知的前提下,用样本统计量确定总体参数的一个数值,估计的方法有矩法、极大似然法等.

样本 (x_1, x_2, \dots, x_n) 的一阶矩就是它的均值,即

$$\bar{x} = \frac{1}{n} \sum_{i=1}^n x_i, \quad (1)$$

二阶中心矩定义为

$$A_2 = \frac{1}{n} \sum_{i=1}^n (x_i - \bar{x})^2. \quad (2)$$

可以用 \bar{x} 和 A_2 对总体均值 μ 和方差 σ^2 作点估计,记作 $\hat{\mu} = \bar{x}, \hat{\sigma}^2 = A_2$. 这种方法称为矩估

计法,是本实验用的方法.

极大似然估计法的基本思想是,对于给定的样本 (x_1, x_2, \dots, x_n) 和总体的概率密度函数 $p(x, \theta)$,待估计的参数 θ 应使得 (x_1, x_2, \dots, x_n) 出现的概率,即概率密度函数的乘积

$L(x_1, x_2, \dots, x_n; \theta) = \prod_{i=1}^n p(x_i; \theta)$ 达到最大,即求 θ 使得

$$L(\theta) = \max_{\theta} L(x_1, x_2, \dots, x_n; \theta) = \max_{\theta} \prod_{i=1}^n p(x_i; \theta). \quad (3)$$

11.2.2 点估计的评价标准

根据同一样本用矩估计和极大似然估计可能对一个总体参数给出不同的点估计,如何评价其优劣呢?当然要看它“接近”所估计的总体参数的程度,而对“接近”则有几种常用的评价标准.

(1) 无偏性

待估的总体参数记作 θ ,从样本 x_1, x_2, \dots, x_n 得到的 θ 的一个估计量记作 $\hat{\theta}$,由于样本的随机性, $\hat{\theta}$ 也是随机的,如果 $\hat{\theta}$ 的期望 $E\hat{\theta} = \theta$,则称 $\hat{\theta}$ 是 θ 的无偏估计量.

对于正态总体 $N(\mu, \sigma^2)$,由(1)式容易计算 $E\bar{x} = \frac{1}{n} \sum_{i=1}^n Ex_i = \frac{n\mu}{n} = \mu$,所以样本均值 \bar{x} 是 μ 的无偏估计.二阶中心矩是否为 σ^2 的无偏估计呢?需要计算一下:由(2)式

$$\begin{aligned} EA_2 &= E\left(\frac{1}{n} \sum_{i=1}^n (x_i - \bar{x})^2\right) = \frac{1}{n} \left(\sum_{i=1}^n Ex_i^2 - nE\bar{x}^2\right) \\ &= \frac{1}{n} \left[n(\sigma^2 + \mu^2) - n\left(\frac{\sigma^2}{n} + \mu^2\right)\right] = \frac{n-1}{n} \sigma^2. \end{aligned}$$

可见二阶中心矩不是 σ^2 的无偏估计,但是显然有 $E\left(\frac{n}{n-1}A_2\right) = \sigma^2$,而 $\frac{n}{n-1}A_2$ 正是样本方

差 $s^2 = \frac{1}{n-1} \sum_{i=1}^n (x_i - \bar{x})^2$,所以用 s^2 作为 σ^2 的估计,即 $\hat{\sigma}^2 = s^2$,它是无偏的.

如果当样本容量 n 趋于无穷大时, $E\hat{\theta}$ 趋于 θ ,则称 $\hat{\theta}$ 是 θ 的渐近无偏估计量.显然,对于 σ^2 ,二阶中心矩 A_2 是渐近无偏的.

无偏是一个平均性的标准,只有当进行多次估计时才能说它平均起来“接近”总体参数,所以无偏性对于只作一两次估计的问题是没有多大实际意义的.

(2) 有效性

$\hat{\theta}$ 作为 θ 的估计量,自然希望它的方差 $D\hat{\theta} = E(\hat{\theta} - \theta)^2$ 越小越好.设 $\hat{\theta}_1, \hat{\theta}_2$ 是从一个样本得到的 θ 的两个无偏估计量,如果 $D\hat{\theta}_1 \leq D\hat{\theta}_2$,则称 $\hat{\theta}_1$ 比 $\hat{\theta}_2$ 有效.如果对固定的 n ,某个 $\hat{\theta}$ 使 $D\hat{\theta}$ 达到最小,则称 $\hat{\theta}$ 为 θ 的有效估计量.

根据一个样本 x_1, x_2, \dots, x_n ,你可以用所有 n 个数据的平均值 \bar{x} 作为总体均值 μ 的估

计,也可以只用其中 k 个 ($k < n$) 的平均值 $\bar{x}^{(k)}$ 作为 μ 的估计,它们都是无偏的,容易推出 $D\bar{x} < D\bar{x}^{(k)}$, 所以 \bar{x} 比 $\bar{x}^{(k)}$ 更有效.

(3) 一致性

由容量为 n 的样本得到的估计量记作 $\hat{\theta}_n$, 自然希望 n 越大估计越准, 如果对任给的 $\epsilon > 0$ 满足

$$\lim_{n \rightarrow \infty} P\{|\hat{\theta}_n - \theta| < \epsilon\} = 1,$$

则称 $\hat{\theta}_n$ 依概率收敛于 θ , 这样的 $\hat{\theta}_n$ 称为 θ 的一致估计量.

可以证明, 不论随机变量 X 总体分布如何, 样本均值 \bar{x} 和方差 s^2 都是 μ 和 σ^2 的一致无偏估计, 所以总体均值和方差(及标准差)的点估计通常取

$$\hat{\mu} = \bar{x}, \quad \hat{\sigma}^2 = s^2, \quad \hat{\sigma} = s. \quad (4)$$

11.2.3 总体均值的区间估计

对于 11.1.1 节学生的身高, 从 50 名学生的数据可以算出 $\bar{x} = 172.7\text{cm}$ 和 $s = 5.37\text{cm}$, 如上所述, 我们有理由用这两个数估计总体的均值和标准差. 但是由于学生选取的随机性, 再测量若干人的身高, 样本平均值和标准差可能就不是上面的两个数了. 那么, 总体的均值和标准差到底是多少? 对于这种不确定性, 一种有说服力的解决办法是: 待估参数如总体的均值和方差是客观存在的, 样本的随机性造成点估计在变化, 待估参数应该就在点估计的附近. 于是可以给出待估参数的一个区间.

一般地, 对于总体的待估参数 θ (如 μ, σ^2), 希望通过样本 x_1, x_2, \dots, x_n 的计算给出一个区间 $[\hat{\theta}_1, \hat{\theta}_2]$, 使 θ 以较大的概率落在这个区间内. 若

$$P(\hat{\theta}_1 \leq \theta \leq \hat{\theta}_2) = 1 - \alpha, \quad 0 < \alpha < 1, \quad (5)$$

则 $[\hat{\theta}_1, \hat{\theta}_2]$ 称为 θ 的置信区间, $\hat{\theta}_1, \hat{\theta}_2$ 分别称为置信下限和置信上限, $1 - \alpha$ 称为置信概率或置信水平, α 称为显著性水平, 一般 α 取一个很小的数, 如 0.05 或 0.01.

置信区间 $[\hat{\theta}_1, \hat{\theta}_2]$ 的大小给出了估计的精度, 置信水平 $1 - \alpha$ 给出了估计的可信程度. 可信程度可以这样理解: 随机选一个容量为 n 的样本, 得到一个置信区间 $[\hat{\theta}_1, \hat{\theta}_2]$, 这样的区间是否包含 θ ? 设 $\alpha = 0.05$, 置信水平是 0.95, 可以粗略地理解为: 重复取 100 个容量为 n 的样本, 得到的 100 个置信区间中约有 95 个包含了 θ . 而实际上我们只取 1 个样本, 得到 1 个置信区间并断言它包含了 θ , 这样做当然可能犯错误, 但是犯错误的概率只有 0.05.

给出了置信区间 $[\hat{\theta}_1, \hat{\theta}_2]$ 和置信水平 $1 - \alpha$ 的估计, 称为 θ 的区间估计. 置信区间越小, 估计的精度越高; 置信水平越大 (即 α 越小), 估计的可信程度越高. 但是这两个指标显然是矛盾的, 通常的做法是在一定的置信水平下选取尽量小的置信区间.

下面在正态总体 $N(\mu, \sigma^2)$ 的假定下, 分总体方差已知和未知两种情况讨论总体均值

μ 的区间估计.

(1) 总体方差 σ^2 已知

区间估计的基本思想是用样本构造一个其分布为已知的统计量. 根据实验 10 的结果 $E\bar{x} = \mu, D\bar{x} = \sigma^2/n$, 及 $\bar{x} \sim N(\mu, (\sigma/\sqrt{n})^2)$, 对 \bar{x} 标准化得到 $N(0, 1)$, 即

$$z = \frac{\bar{x} - \mu}{\sigma/\sqrt{n}} \sim N(0, 1). \quad (6)$$

给定置信水平 $1-\alpha$, 寻找 u_1, u_2 使 $P\left\{u_1 \leq z = \frac{\bar{x} - \mu}{\sigma/\sqrt{n}} \leq u_2\right\} = 1-\alpha$. 由 $N(0, 1)$ 的对称性, z 的对称区间长度最小, 所以 u_2 取 $N(0, 1)$ 的 $1-\alpha/2$ 分位数 $u_{1-\alpha/2}$, $u_1 = -u_2$, 满足 $P\left\{-u_{1-\alpha/2} \leq z = \frac{\bar{x} - \mu}{\sigma/\sqrt{n}} \leq u_{1-\alpha/2}\right\} = 1-\alpha$, 如图 11.1. 对 z 的不等式作变换, 即得

$$P\left\{\bar{x} - u_{1-\alpha/2} \frac{\sigma}{\sqrt{n}} \leq \mu \leq \bar{x} + u_{1-\alpha/2} \frac{\sigma}{\sqrt{n}}\right\} = 1-\alpha. \quad (7)$$

于是在置信水平 $1-\alpha$ 下, μ 的置信区间为 $\left[\bar{x} - u_{1-\alpha/2} \frac{\sigma}{\sqrt{n}}, \bar{x} + u_{1-\alpha/2} \frac{\sigma}{\sqrt{n}}\right]$.

(2) 总体方差 σ^2 未知

这种情况下只好用样本方差 s^2 代替 σ^2 , 但是 $\frac{\bar{x} - \mu}{s/\sqrt{n}}$ 不再服从 $N(0, 1)$. 根据实验 10 中的 χ^2 分布和 t 分布的定义, 可以证明

$$\frac{(n-1)s^2}{\sigma^2} \sim \chi^2(n-1), \quad (8)$$

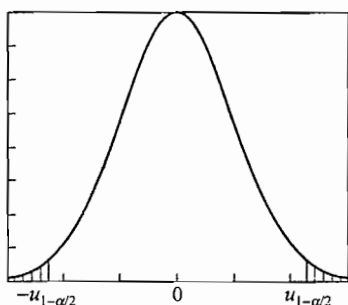
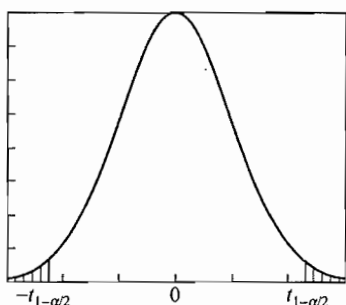
$$t = \frac{\bar{x} - \mu}{s/\sqrt{n}} \sim t(n-1). \quad (9)$$

由于 t 分布也是对称的, 且图形与 $N(0, 1)$ 相似(见图 11.2), 所以可以用 $t(n-1)$ 的 $1-\alpha/2$ 分位数 $t_{1-\alpha/2}$ 代替(7)式的 $u_{1-\alpha/2}$, 有

$$P\left\{\bar{x} - t_{1-\alpha/2} \frac{s}{\sqrt{n}} \leq \mu \leq \bar{x} + t_{1-\alpha/2} \frac{s}{\sqrt{n}}\right\} = 1-\alpha. \quad (10)$$

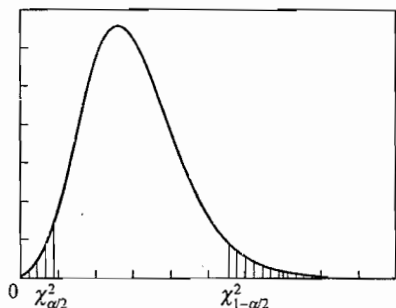
即在置信水平 $1-\alpha$ 下, μ 的置信区间为 $\left[\bar{x} - t_{1-\alpha/2} \frac{s}{\sqrt{n}}, \bar{x} + t_{1-\alpha/2} \frac{s}{\sqrt{n}}\right]$.

从总体均值 μ 的区间估计的结果(7)式和(10)式看出, 对于一定的 α, σ 或 s 越大, 置信区间长度越大, 即估计的精度越低; 样本容量 n 越大, 置信区间越短, 即估计的精度越高. 这显然是合理的.

图 11.1 置信水平 $1-\alpha$ 下 $N(0,1)$ 的分位点图 11.2 置信水平 $1-\alpha$ 下 t 分布的分位点

11.2.4 总体方差的区间估计

根据(8)式用样本方差 s^2 对总体方差 σ^2 做区间估计. 由于 χ^2 分布不对称, 给定置信水平 $1-\alpha$, 严格地寻求长度最短的置信区间是困难的. 统计上, 为了简单起见, 仍然仿照均值区间估计的方法, 选取 χ^2 分布的 $\alpha/2$ 分位数 $\chi^2_{\alpha/2}$ 和 $1-\alpha/2$ 分位数 $\chi^2_{1-\alpha/2}$ (见图 11.3), 满足

图 11.3 置信水平 $1-\alpha$ 下 χ^2 分布的分位点

$$P\left\{\chi^2_{\alpha/2} \leq \frac{(n-1)s^2}{\sigma^2} \leq \chi^2_{1-\alpha/2}\right\} = 1-\alpha. \quad (11)$$

它等价于

$$P\left\{\frac{(n-1)s^2}{\chi^2_{1-\alpha/2}} \leq \sigma^2 \leq \frac{(n-1)s^2}{\chi^2_{\alpha/2}}\right\} = 1-\alpha. \quad (12)$$

即在置信水平 $1-\alpha$ 下, σ^2 的置信区间为 $\left[\frac{(n-1)s^2}{\chi^2_{1-\alpha/2}}, \frac{(n-1)s^2}{\chi^2_{\alpha/2}}\right]$, 或者 σ 的置信区间

$$\text{为 } \left[s \sqrt{\frac{n-1}{\chi^2_{1-\alpha/2}}}, s \sqrt{\frac{n-1}{\chi^2_{\alpha/2}}}\right].$$

11.2.5 参数估计的 MATLAB 实现

MATLAB 统计工具箱中,有专门计算总体均值、标准差的点估计和区间估计的程序.对于正态总体,命令是

```
[mu sigma muci sigmaci]=normfit(x,alpha)
```

其中 x 是样本(数组), α 是显著性水平 α (α 缺省时设定为 0.05),输出 μ 和 σ 是总体均值 μ 和标准差 σ 的点估计, $muci$ 和 $sigmaci$ 是总体均值 μ 和标准差 σ 的区间估计.当 x 是矩阵(列为变量)时输出行向量.

对于 11.1.1 节学生的身高,用 `normfit` 可得总体均值 μ 和标准差 σ 的点估计和区间估计如表 11.2($\alpha=0.05$)

表 11.2 学生的身高均值和标准差的点估计和区间估计

	身高/cm
均值点估计	172.7040
均值区间估计	(171.1777, 174.2303)
标准差点估计	5.3707
标准差区间估计	(4.4863, 6.6926)

需要说明,上面的区间估计是在正态总体的假定下做出的,如果无法保证这个假定成立,有两种处理办法.一是取容量充分大的样本,仍可按照上面给出的区间估计公式计算,因为根据概率论的中心极限定理,只要样本足够大(实用中可取 $n>50$)均值就近似地服从正态分布;二是 MATLAB 统计工具箱中提供了一些具有特定分布总体的区间估计的命令,如 `expfit`, `poissfit`, `gamfit`,分别用于指数分布、泊松分布和 Γ 分布的区间估计,具体用法参见 MATLAB 帮助系统.

11.3 假设检验

假设检验是另一类统计推断问题.11.1.1 节中我们曾提出这样的问题:学校 20 年前作过普查,学生的平均身高为 168cm,要通过这次抽查的 50 个学生身高数据,对学生的平均身高有无明显变化做出结论.如果把 168cm 作为对总体均值的假设,那么问题是要根据样本对这个假设进行检验,回答只有两种:接受或拒绝.这类统计推断问题称为假设检验.

像参数估计一样,如不特别指明,以下的讨论都是在总体服从正态分布的假定下进行的.

11.3.1 总体均值的假设检验

先看一个更简单的例子. 甲方生产一种产品的尺寸服从均值 $\mu=50$ 、标准差 $\sigma=1$ 的正态分布, 按批向乙方供货(每批的数量很大), 双方商定每批抽取 25 件(样本)测量其尺寸, 根据样本均值决定乙方是否接受这批产品. 显然, 必须制定一个数量标准 δ , 若样本均值与 $\mu=50$ 之差不超过 δ , 就应接受这批产品; 否则拒绝. 应该看到, 由于样本的随机性, 不论 δ 多大, 这种检验方法总可能犯错误, 如一批合格品($\mu=50$)中取出的 25 件的均值与 50 之差超过了 δ , 从而被拒绝. 所以在制定标准 δ 时, 双方还必须商定一个水平 α , 使合格品被错误地拒绝的概率不超过 α .

设商定的水平 $\alpha=0.05$, 让我们看看如何确定 δ .

记样本(容量 $n=25$)均值为 \bar{x} . 由(6)式, $\frac{\bar{x}-\mu}{\sigma/\sqrt{n}} \sim N(0,1)$, 得到 $P\left\{\left|\frac{\bar{x}-\mu}{\sigma/\sqrt{n}}\right| \leq 2\right\} = 0.95$, 可知, 令 $\delta=2\sigma/\sqrt{n}=2 \times 1/5=0.4$, 就能满足上面的要求, 即当 $|\bar{x}-\mu| \leq 0.4$ 时应接受该批产品, 否则拒绝. 按照这样的办法, 100 批合格品中只有大约 5 批被错误地拒绝.

设抽取一容量为 n 的样本, 得到均值 \bar{x} 和标准差 s , 根据样本对总体均值 μ 是否等于某给定值 μ_0 进行检验. 记

$$H_0: \mu = \mu_0; \quad H_1: \mu \neq \mu_0. \quad (13)$$

称 H_0 为零假设(null hypothesis)(或原假设), H_1 为备选假设(alternative hypothesis)(或对立假设). 检验的结果是: 接受 H_0 , 或拒绝 H_0 , 即接受 H_1 . 应首先选定一个显著性水平 α , 它是本来 H_0 成立, 但被错误拒绝的概率.

仍分总体方差已知和未知两种情况讨论.

(1) 总体方差 σ^2 已知

若 H_0 成立, 由(6)式, $\frac{\bar{x}-\mu_0}{\sigma/\sqrt{n}} \sim N(0,1)$, 取 $N(0,1)$ 的 $1-\alpha/2$ 分位数 $u_{1-\alpha/2}$, 记 $z = \frac{\bar{x}-\mu_0}{\sigma/\sqrt{n}}$, 满足 $P\{|z| \leq u_{1-\alpha/2}\} = 1-\alpha$ (仍见图 11.1), 于是假设检验的规则(称 z 检验或 u 检验)为:

当 $|z| \leq u_{1-\alpha/2}$ 时接受 H_0 ; 否则拒绝 H_0 (接受 H_1).

(2) 总体方差 σ^2 未知

若 H_0 成立, 由(9)式, $\frac{\bar{x}-\mu_0}{s/\sqrt{n}} \sim t(n-1)$, 取 $t(n-1)$ 的 $1-\alpha/2$ 分位数 $t_{1-\alpha/2}$, 记 $t = \frac{\bar{x}-\mu_0}{s/\sqrt{n}}$, 满足 $P\{|t| \leq t_{1-\alpha/2}\} = 1-\alpha$, 于是假设检验的规则(称 t 检验)为:

当 $|t| \leq t_{1-\alpha/2}$ 时接受 H_0 ; 否则拒绝 H_0 (接受 H_1).

实际上常用的 α 值是 0.05 或 0.01, 它们对应的 $u_{1-\alpha/2}$ 是 1.96 或 2.575, 当 n 较大 ($n > 30$) 时 $t_{1-\alpha/2}$ 与 $u_{1-\alpha/2}$ 相近.

可以看到, 假设检验所依据的原理与参数估计是一样的, 都依据分布已知的统计量 (z 或 t), 但思维方式不同, 参数估计的思路十分自然、简明, 而假设检验的思路可以说是一种“反证法”: 先假设 H_0 成立, 则 z 或 t 应以很大概率 $1-\alpha$ 落在一个区域内 (如 $|z| \leq u_{1-\alpha/2}$), 于是当由一个样本计算出的数值果然落在该区域内时, 就合理地接受 H_0 , 而一旦它不落在该区域内 (如 $|z| > u_{1-\alpha/2}$, 称拒绝域), 可以认为在一次试验中发生了小概率事件, 那么就从反面证明 H_0 不成立.

思考 设从一个样本得到 $z=2.2$, 那么若取 $\alpha=0.05$, 将拒绝 H_0 ; 若取 $\alpha=0.01$, 将接受 H_0 . 你怎样评价这两个不同的结果, 考虑到 α 是错误地拒绝 H_0 的概率, α 不是越小越好吗.

双侧检验与单侧检验

假设检验 (13) 式是对 μ 是否等于某值 μ_0 作检验, 自然应将拒绝域放在两侧 (如 $|z| > u_{1-\alpha/2}$), 这对于如零件尺寸一类问题的检验是合适的. 但有一类实际问题要检验的是形如 $\mu \leq \mu_0$ 或 $\mu \geq \mu_0$ 的假设, 比如 11.1.3 节中的硫含量, 检验“均值 μ 不大于国家标准值 0.08%”比检验“ μ 等于 0.08%”更合适.

记

$$H_0: \mu \leq \mu_0; \quad H_1: \mu > \mu_0. \quad (14)$$

这时应将拒绝域放在大于 μ_0 的一侧. 当总体方差 σ^2 已知且 $\mu = \mu_0$ 时, 根据 $\frac{\bar{x} - \mu_0}{\sigma/\sqrt{n}} \sim N(0, 1)$, 取 $N(0, 1)$ 的 $1-\alpha$ 分位数 $u_{1-\alpha}$ (见图 11.4), 记 $z = \frac{\bar{x} - \mu_0}{\sigma/\sqrt{n}}$, 有 $P(z > u_{1-\alpha}) = \alpha$. 而当 $\mu < \mu_0$ 时, 上述概率小于 α . 于是假设检验的规则 (z 检验) 为:

当 $z \leq u_{1-\alpha}$ 时接受 H_0 ; 否则拒绝 H_0 (接受 H_1).

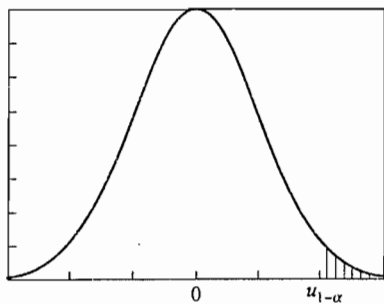


图 11.4 (14) 式的单侧检验

当 σ^2 未知时, 由 $\frac{\bar{x} - \mu_0}{s/\sqrt{n}} \sim t(n-1)$, 类似地用 $1-\alpha$ 分位数 $t_{1-\alpha}$ 作 t 检验.

可以类似地检验

$$H_0: \mu \geq \mu_0; \quad H_1: \mu < \mu_0. \quad (15)$$

由于拒绝域设置的方式不同, (13) 式称为双侧检验, 而 (14) 式和 (15) 式称为单侧检验.

11.3.2 总体方差的假设检验

总体方差是由随机因素影响的大小决定的, 如成品汽油硫含量的方差主要取决于生产装置和生产条件的稳定性, 当怀疑生产的稳定性时, 可对方差进行假设检验. 与均值的假设检验相似, 方差的假设检验也有以下的双侧和单侧检验:

$$H_0: \sigma^2 = \sigma_0^2, \quad H_1: \sigma^2 \neq \sigma_0^2; \quad (16)$$

$$H_0: \sigma^2 \geq \sigma_0^2, \quad H_1: \sigma^2 < \sigma_0^2; \quad (17)$$

$$H_0: \sigma^2 \leq \sigma_0^2, \quad H_1: \sigma^2 > \sigma_0^2. \quad (18)$$

检验依据的原理也与方差区间估计相同, 对于双侧检验 (16) 式, H_0 成立时根据 (8) 式 $\frac{(n-1)s^2}{\sigma_0^2} \sim \chi^2(n-1)$, 取 χ^2 分布的 $\sigma/2$ 分位数 $\chi_{\sigma/2}^2$ 和 $1-\alpha/2$ 分位数 $\chi_{1-\sigma/2}^2$ (仍见图 11.3),

令 $\chi^2 = \frac{(n-1)s^2}{\sigma_0^2}$, 当 $\chi_{\sigma/2}^2 \leq \chi^2 \leq \chi_{1-\sigma/2}^2$ 时接受 H_0 , 否则拒绝.

请读者给出单侧检验 (17) 式和 (18) 式的方法.

11.3.3 两总体的假设检验

以上均值和方差的假设检验是对单一总体而言, 实际生活中还经常会遇到通过比较两组数据对两个总体进行假设检验的问题. 如 11.1.1 节要检验城市和农村地区同龄男生的身高是否有差距, 11.1.2 节要检验吸烟群体与不吸烟群体的血压是否相同; 用原来的材料和新研制的材料各加工一批产品, 要检验新材料的性能有无显著提高. 这类问题都可归结为两总体均值的假设检验.

(1) 两总体均值的假设检验

记两个总体为 $X \sim N(\mu_1, \sigma_1^2)$ 和 $Y \sim N(\mu_2, \sigma_2^2)$, 设有分别来自 X, Y 、容量 n_1, n_2 的两个样本, 得到均值分别为 \bar{x}, \bar{y} 和标准差分别为 s_1, s_2 , 假设检验是

$$H_0: \mu_1 = \mu_2; \quad H_1: \mu_1 \neq \mu_2. \quad (19)$$

当 σ_1, σ_2 已知时, 若 H_0 成立, 可以证明

$$z = \frac{\bar{x} - \bar{y}}{\sqrt{\frac{\sigma_1^2}{n_1} + \frac{\sigma_2^2}{n_2}}} \sim N(0, 1). \quad (20)$$

取 $N(0,1)$ 的 $1-\alpha/2$ 分位数 $u_{1-\alpha/2}$, 假设检验的规则 (z 检验) 为:

当 $|z| \leq u_{1-\alpha/2}$ 时接受 H_0 ; 否则拒绝 H_0 (接受 H_1).

当 σ_1, σ_2 未知, 但可以假定 $\sigma_1 = \sigma_2$ 时, 若 H_0 成立, 可以证明

$$t = \frac{\bar{x} - \bar{y}}{\sqrt{\frac{s^2}{n_1} + \frac{s^2}{n_2}}} \sim t(n_1 + n_2 - 2), \quad s^2 = \frac{(n_1 - 1)s_1^2 + (n_2 - 1)s_2^2}{n_1 + n_2 - 2}. \quad (21)$$

取 $t(n_1 + n_2 - 2)$ 的 $1-\alpha/2$ 分位数 $t_{1-\alpha/2}$, 假设检验的规则 (t 检验) 为:

当 $|t| \leq t_{1-\alpha/2}$ 时接受 H_0 ; 否则拒绝 H_0 (接受 H_1).

(19) 式是双侧检验, 也可以类似于 (14) 式和 (15) 式, 作单侧检验.

值得注意的是, 有一类两组数据进行比较的问题, 看似属于两总体均值的假设检验, 实则不是. 如通过同一批学生两次测验成绩的比较, 检查测验的难度是否相同, 又如对服用某种减肥食品的若干人在服用前后测其体重, 检查这种减肥食品是否有效. 这里虽然得到的是两组数据, 但是不能视为两个独立的样本, 因为两组中的一对数据是同一个体产生的. 请你考虑: 如何根据成对的两组数据建立合适的假设检验, 解决提出的问题, 11.5 节将布置这方面的实验.

(2) 两总体方差的假设检验

记两个总体为 $X \sim N(\mu_1, \sigma_1^2)$ 和 $Y \sim N(\mu_2, \sigma_2^2)$, 设有分别来自 X, Y , 容量 n_1, n_2 的两个样本, 得到标准差分别为 s_1, s_2 , 要做的假设检验是

$$H_0: \sigma_1^2 = \sigma_2^2, \quad H_1: \sigma_1^2 \neq \sigma_2^2. \quad (22)$$

回顾实验 10 中的 χ^2 分布和 F 分布的定义, 可以证明, 当 H_0 成立时

$$\frac{s_1^2}{s_2^2} \sim F(n_1 - 1, n_2 - 1). \quad (23)$$

类似于一个总体方差的假设检验 (16) 式, 可以取 $F(n_1 - 1, n_2 - 1)$ 分布的 $\sigma/2$ 分位数 $F_{\alpha/2}$ 和 $1-\alpha/2$ 分位数 $F_{1-\alpha/2}$, 令 $F = \frac{s_1^2}{s_2^2}$, 当 $F_{\alpha/2} \leq F \leq F_{1-\alpha/2}$ 时接受 H_0 , 否则拒绝. 这是双侧检验. 而实际上为方便起见, 常将其化为如下的单侧检验: 两个样本方差中较大的一个记作 s_1^2 , 即 $s_1^2 \geq s_2^2$, 取 $F(n_1 - 1, n_2 - 1)$ 的 $1-\alpha/2$ 分位数 $F_{1-\alpha/2}$, 假设检验的规则 (称 F 检验) 为:

当 $F \leq F_{1-\alpha/2}$ 时接受 H_0 ; 否则拒绝 H_0 (接受 H_1).

注意: 其置信水平仍为 $1-\alpha$.

11.3.4 0-1 分布总体均值的假设检验

试看这样一个检验问题: 甲方向乙方成批供货, 双方商定废品率不超过 3%. 今从一批中抽取 100 件, 发现有 5 件废品, 问乙方是否应接受这批产品. 设预先约定的显著性水

平 $\alpha=0.05$.

这里的一件产品只有合格品与废品之分,用 $X=0$ 表示合格品, $X=1$ 表示废品,可以说总体 X 服从 0-1 分布. 若废品率为 p , 则容易计算 X 的期望 $\mu=p$, 方差 $\sigma^2=p(1-p)$. 虽然 X 不服从正态分布, 但根据概率论的中心极限定理, 当样本容量 n 充分大时, 对样本均值 \bar{x} 有, $z=\frac{\bar{x}-\mu}{\sigma/\sqrt{n}}$ 近似地服从 $N(0,1)$, 由此可对总体的废品率 p 作如下的假设检验:

$$H_0: p = p_0, \quad H_1: p \neq p_0. \quad (24)$$

利用正态总体均值的 z 检验, 取 $N(0,1)$ 的 $1-\alpha/2$ 分位数 $u_{1-\alpha/2}$, 设样本的废品率为 \bar{x} , 记 $z=\frac{\bar{x}-p_0}{\sqrt{p_0(1-p_0)}/n}$, 满足 $P\{|z| \leq u_{1-\alpha/2}\}=1-\alpha$, 于是假设检验的规则为:

当 $|z| \leq u_{1-\alpha/2}$ 时接受 H_0 ; 否则拒绝 H_0 (接受 H_1).

上面是双侧检验, 而对废品的检查更合适的假设检验为:

$$H_0: p \leq p_0, \quad H_1: p > p_0. \quad (25)$$

这时应作单侧检验, 取 $N(0,1)$ 的 $1-\alpha$ 分位数 $u_{1-\alpha}$, 假设检验的规则为:

当 $z \leq u_{1-\alpha}$ 时接受 H_0 ; 否则拒绝 H_0 (接受 H_1).

用这个规则回答前面乙方是否应接受那批产品的问题. 将 $\bar{x}=5/100$, $p_0=0.03$, $n=100$ 代入得 $z=1.1724$, 用单侧检验, $\alpha=0.05$ 时 $u_{1-\alpha}=1.65$, 显然 $z \leq u_{1-\alpha}$, 乙方应接受 $p \leq p_0$ 的假设, 即接受那批产品.

思考 100 件中有 5 件废品, 却还要接受废品率为 3% 的假设, 如果你是乙方代表, 你愿意接受吗? 问题出在什么地方? 若提高显著性水平 α , 会有什么后果?

11.3.5 总体分布正态性检验

进行参数估计和假设检验时, 通常总是假定总体服从正态分布, 虽然在许多情况下这个假定是合理的, 但是当要以此为前提进行重要的参数估计或假设检验, 或者人们对它有较大怀疑的时候, 就确有必要对这个假设进行检验.

进行总体正态性检验的方法有很多种, 以下针对 MATLAB 统计工具箱中提供的程序, 简单介绍几种方法.

(1) Jarque-Bera 检验

实验 10 中曾介绍过正态分布的偏度 $g_1=0$, 峰度 $g_2=3$, 对于一个样本按照实验 10 的(4)式计算其 g_1 和 g_2 , 若样本来自正态总体, 则 g_1 和 g_2 应分别在 0 和 3 附近. 基于这个思想, 构造一个包含 g_1, g_2 的 χ^2 分布统计量 (自由度 $n=2$), 对于显著性水平 α , 当 χ^2 分布统计量小于 χ^2 分布的 $1-\alpha$ 分位数 $\chi_{1-\alpha}^2$ 时, 接受 H_0 : 总体服从正态分布; 否则拒绝 H_0 , 即总体不服从正态分布.

这个检验适用于大样本, 当样本容量 n 较小时需慎用.

(2) Kolmogorov-Smirnov 检验

通过样本的经验分布函数与给定分布函数的比较,推断该样本是否来自给定分布函数的总体. 容量 n 的样本的经验分布函数记为 $F_n(x)$, 可由样本中小于 x 的数据所占的比例得到, 给定分布函数记为 $G(x)$, 构造的统计量为 $D_n = \max_x (|F_n(x) - G(x)|)$, 即两个分布函数之差的最大值, 对于假设 H_0 : 总体服从给定的分布 $G(x)$, 及给定的 α , 根据 D_n 的极限分布 ($n \rightarrow \infty$ 时的分布) 确定统计量关于是否接受 H_0 的数量界限.

因为这个检验需要给定 $G(x)$, 所以当用于正态性检验时只能做标准正态检验, 即 H_0 : 总体服从标准正态分布 $N(0, 1)$.

(3) Lilliefors 检验

它将 Kolmogorov-Smirnov 检验改进用于一般的正态性检验, 即 H_0 : 总体服从正态分布 $N(\mu, \sigma^2)$, 其中 μ, σ^2 由样本均值和方差估计.

11.3.6 假设检验的 MATLAB 实现

将 11.3.1 节至 11.3.5 节讨论的各种假设检验、相应的统计量和检验规则以及 MATLAB 统计工具箱中提供的命令列入表 11.3 (单侧检验未列入).

表 11.3 假设检验及其 MATLAB 命令

假设检验	统计量	检验规则	MATLAB 命令
单个总体均值 (σ^2 已知) $H_0: \mu = \mu_0$ $H_1: \mu \neq \mu_0$	$z = \frac{\bar{x} - \mu_0}{\sigma/\sqrt{n}} \sim N(0, 1)$	$ z \leq u_{1-\alpha/2}$ 接受 H_0 (z 检验)	$h = ztest(x, \mu, \sigma)$ [h, sig, ci, zval] = ztest(x, mu, sigma, alpha, tail)
单个总体均值 (σ^2 未知) $H_0: \mu = \mu_0$ $H_1: \mu \neq \mu_0$	$t = \frac{\bar{x} - \mu_0}{s/\sqrt{n}} \sim t(n-1)$	$ t \leq t_{1-\alpha/2}$ 接受 H_0 (t 检验)	$h = ttest(x, \mu)$ [h, sig, ci] = ttest(x, mu, alpha, tail)
单个总体方差 $H_0: \sigma^2 = \sigma_0^2$ $H_1: \sigma^2 \neq \sigma_0^2$	$\chi^2 = \frac{(n-1)s^2}{\sigma_0^2} \sim \chi^2(n-1)$	$\chi_{\alpha/2}^2 \leq \chi^2 \leq \chi_{1-\alpha/2}^2$ 接受 H_0	无
两个总体均值 (σ_1^2, σ_2^2 已知) $H_0: \mu_1 = \mu_2$ $H_1: \mu_1 \neq \mu_2$	$z = \frac{\bar{x} - \bar{y}}{\sqrt{\frac{\sigma_1^2}{n_1} + \frac{\sigma_2^2}{n_2}}} \sim N(0, 1)$	$ z \leq u_{1-\alpha/2}$ 接受 H_0	无
两个总体均值 ($\sigma_1^2 = \sigma_2^2$ 未知) $H_0: \mu_1 = \mu_2$ $H_1: \mu_1 \neq \mu_2$	$t = \frac{\bar{x} - \bar{y}}{\sqrt{\frac{s^2}{n_1} + \frac{s^2}{n_2}}} \sim t(n_1 + n_2 - 2)$ $s^2 = \frac{(n_1 - 1)s_1^2 + (n_2 - 1)s_2^2}{n_1 + n_2 - 2}$	$ t \leq t_{1-\alpha/2}$ 接受 H_0	$h = ttest2(x, y)$ [h, sig, ci] = ttest2(x, y, alpha, tail)

续表

假设检验		统计量	检验规则	MATLAB 命令
两个总体方差	$H_0: \sigma_1^2 = \sigma_2^2$ $H_1: \sigma_1^2 \neq \sigma_2^2$	$F = \frac{s_1^2}{s_2^2} \sim F(n_1 - 1, n_2 - 1),$ $s_1^2 \geq s_2^2$	$F \leq F_{1-\alpha/2}$ 接受 H_0	无
0-1 分布总体均值	$H_0: p = p_0$ $H_1: p \neq p_0$	$z = \frac{\bar{x} - p_0}{\sqrt{p_0(1-p_0)/n}}$	$ z \leq u_{1-\alpha/2}$ 接受 H_0	无
总体分布正态性	H_0 : 总体服从 $N(\mu, \sigma^2)$	略	略	$h = \text{jbttest}(x)$ $[h, p, \text{jbststat}, \text{cv}] = \text{jbttest}(x, \alpha)$
	H_0 : 总体服从 $N(0, 1)$	略	略	$h = \text{kstest}(x)$
	H_0 : 总体服从 $N(\mu, \sigma^2)$	略	略	$h = \text{lillietest}(x)$ $[h, p, \text{lstat}, \text{cv}] = \text{lillietest}(x, \alpha)$

表 11.3 最后一列 MATLAB 命令的两格中,上面是最简形式,下面是完全形式. 现以单个总体均值 z 检验的命令为例说明用法.

$[h, \text{sig}, \text{ci}, \text{zval}] = \text{ztest}(x, \mu, \sigma, \alpha, \text{tail})$

输入参数 x 是样本 (n 维数组), μ 是 H_0 中的 μ_0 , σ 是总体标准差 σ , α 是显著性水平 α (默认时设定为 0.05), tail 是对双侧检验和两个单侧检验的标识,用备选假设 H_1 确定: H_1 为 $\mu \neq \mu_0$ 时令 $\text{tail}=0$ (可默认); H_1 为 $\mu > \mu_0$ 时令 $\text{tail}=1$; H_1 为 $\mu < \mu_0$ 时令 $\text{tail}=-1$.

输出参数 $h=0$ 表示接受 H_0 , $h=1$ 表示拒绝 H_0 , sig 是在假设 H_0 下的概率 $P\{|Z| \geq |z|\}$, 其中 $Z \sim N(0, 1)$, $z = \frac{\bar{x} - \mu_0}{\sigma/\sqrt{n}}$ (详见下面例 1 的说明), ci 给出 μ_0 的置信区间, zval 是样本统计量 z 的值.

其他命令的用法类似,只需说明的是,两个总体均值检验命令 ttest2 需要输入两个样本 x 和 y (长度不一定相同).

例 1 用 $N(5, 1^2)$ 随机数产生 $n=100$ 的样本,分别在总体方差已知 ($\sigma^2=1$) 和未知的情况下检验总体均值 $\mu=5$ 与 $\mu=5.25$ ($\alpha=0.05$).

解 假设检验分别为 $H_0: \mu=5; H_1: \mu \neq 5$ 与 $H_0: \mu=5.25; H_1: \mu \neq 5.25$, 总体方差已知时用 z 检验,未知时用 t 检验,编程如下:

$x = \text{normrnd}(5, 1, 100, 1);$

% 产生 $N(5, 1^2)$ 随机数 ($n=100$)

```

m=mean(x), % 样本均值
[h0,sig0,ci0,z0]=ztest(x,5,1) % z 检验
[h1,sig1,ci1,z1]=ztest(x,5.25,1)
[ht,sigt,cit]=ttest(x,5) % t 检验
[ht1,sigt1,cit1]=ttest(x,5.25)

```

得到

```

m = 4.9323
[h0,sig0,ci0,z0]=0 0.4984 4.7363 5.1283 -0.6770
[h1,sig1,ci1,z1]=1 0.0015 4.7363 5.1283 -3.1770
[ht,sigt,cit]= 0 0.4903 4.7383 5.1263
[ht1,sigt1,cit1]= 1 0.0016 4.7383 5.1263

```

从计算结果可知,样本均值 $\bar{x}=4.9323$,且:

(1) 对 z 检验和 t 检验都接受了 $\mu=5$ 的假设,拒绝了 $\mu=5.25$ 的假设;

(2) 对 z 检验,在 $H_0: \mu=5$ 下样本统计量 $z_0 = -0.6770 \left(= \frac{\bar{x}-5}{1/\sqrt{n}} = (4.9323-5) \times 10 \right)$,在 H_0 下的概率 $\text{sig0}=0.4984 (=2 * \text{normcdf}(z_0))$,由样本对总体均值 μ 的区间估计为 $[4.7363 \ 5.1283]$;

(3) 对 z 检验,在 $H_0: \mu=5.25$ 下样本统计量 $z_1 = -3.1770 \left(= \frac{\bar{x}-5.25}{1/\sqrt{n}} \right)$,在 H_0 下的概率 $\text{sig1}=0.0015 (=2 * \text{normcdf}(z_1))$, μ 的区间估计同上;

(4) 对 t 检验,在 $H_0: \mu=5$ 下(t_0 未输出,但可以由(9)式计算)的概率 $\text{sigt}=0.4903 (=2 * \text{tcdf}(t_0, n-1))$,对总体均值 μ 的区间估计为 $[4.7383 \ 5.1263]$;

(5) 对 t 检验,在 $H_0: \mu=5.25$ 下的概率 $\text{sigt1}=0.0016$, μ 的区间估计同上.

特别指出, $ztest$ 中的输出 sig 是 H_0 下的概率 $P\{|Z| \geq |z|\}$,其中 $Z \sim N(0,1)$, $z = \frac{\bar{x}-\mu_0}{\sigma/\sqrt{n}}$, \bar{x} 偏离 μ_0 越大, $|z|$ 越大, $\text{sig}=P\{|Z| \geq |z|\}$ 越小,所以可以认为 sig 给出了接受 H_0 (此时 $\text{sig} > \alpha$) 或拒绝 H_0 (此时 $\text{sig} < \alpha$) 的定量指标. $ttest$ 和 $ttest2$ 中的输出 sig 有类似的含义,只需换成 t 分布和 t 统计量.

例 2 用 $N(5,1^2)$ 随机数产生 $n=100$ 的样本,在总体方差未知的情况下分别取 $\alpha=0.05$ 和 $\alpha=0.01$ 检验总体均值 $\mu \geq 5.2$.

解 作单侧检验 $H_0: \mu \geq 5.2, H_1: \mu < 5.2$,用 t 检验,编程如下(注意 α 和 tail 的取值):

```

x = normrnd(5,1,100,1);

```

```

m = mean(x),
[h1,sig1,ci1] = ttest(x,5.2,0.05,-1)
[h2,sig2,ci2] = ttest(x,5.2,0.01,-1)

```

得到

```

m = 5.0111
[h1,sig1,ci1] = 1 0.0343 -Inf 5.1815
[h2,sig2,ci2] = 0 0.0343 -Inf 5.2537

```

可知在 $\alpha=0.05$ 下拒绝 H_0 (此时 $\text{sig1} < \alpha$), μ 的区间估计 $(-\infty, 5.1815]$ 不包含 5.2; 而在 $\alpha=0.01$ 下接受 H_0 (此时 $\text{sig2} > \alpha$), μ 的区间估计 $(-\infty, 5.2537]$ 包含 5.2.

例 3 分别用 $N(5, 1^2)$ 和 $N(5.2, 0.8^2)$ 随机产生 $n=100$ 的样本, 分别在两个总体标准差已知 ($\sigma_1=1, \sigma_2=0.8$) 和未知的情况下检验两个总体均值 $\mu_1=\mu_2$ ($\alpha=0.05$).

解 两个总体标准差已知的情况需自编程序, 以下是名为 ztest2.m 的函数 M 文件 (包括双侧和单侧检验, 标识 tail 的用法与 ztest 相同, 所有输入参数不可省略):

```

function [h,sig]=ztest2(x,y,sigma1,sigma2,alpha,tail)
n1=length(x);
n2=length(y);
xbar=mean(x);
ybar=mean(y);
z=(xbar-ybar)/sqrt(sigma1^2/n1+sigma2^2/n2);
if tail==0
    u=norminv(1-alpha/2);
    sig=2*(1-normcdf(abs(z)));
    if abs(z)<=u
        h=0;
    else
        h=1;
    end
end
if tail==1
    u=norminv(1-alpha);
    sig=1-normcdf(z);
    if z<=u
        h=0;
    else
        h=1;
    end
end
if tail==-1
    u=norminv(alpha);

```

```

sig=normcdf(z);
if z>=u
    h=0;
else
    h=1;
end
end
end

```

然后按照题目要求作假设检验 $H_0: \mu_1 = \mu_2$, 编程计算:

```

x=normrnd(5,1,100,1);
y=normrnd(5.2,0.8,100,1);
[p,sig]=ztest2(x,y,1,0.8,0.05,0),
[pt,sigt]=ttest2(x,y)

```

得到

```

[p,sig] = 0 0.1048
[pt,sigt]= 0 0.1335

```

我们看到,虽然产生样本的两个总体的均值不同(5 和 5.2),但是仍然接受了 $\mu_1 = \mu_2$ 的假设检验.

11.4 实例的求解

以下 11.4.1 节~11.4.3 节分别是对 11.1.1 节~11.1.3 节所提问题的求解.

11.4.1 学生身高的变化(续)

问题(1) 在参数估计 11.2.5 节中已经由样本(50 名 17 岁城市男性学生身高)得到了总体均值 $\mu=172.7040$,其区间估计为 $[171.1777 \ 174.2303](\alpha=0.05)$.

问题(2) 已知 20 年前同一所学校同龄男生的平均身高为 168cm,为回答学生身高是否发生了变化,作假设检验

$$H_0: \mu = 168; \quad H_1: \mu \neq 168. \quad (26)$$

不妨先对样本作正态性检验,再用 t 检验,编程如下($\alpha=0.05$):

```

x=[170.1 ... 172.2];          % 50 名 17 岁城市男性学生身高数据(从略)
h1 = jbtest(x)
h2 = lillietest(x)
[h,sig,ci]=ttest(x,168)

```

得到

```

h1 = 0,  h2=0,

```

```
[h,sig,ci]= 1 1.1777e-007 171.1777 174.2303.
```

结果显示,通过了正态性检验,拒绝 H_0 ,表明学生身高的确发生了变化.

问题(3) 要求由收集的城市和农村中学的数据回答,两地区同龄男生的身高是否有差距,作假设检验

$$H_0: \mu_1 = \mu_2, \quad H_1: \mu_1 \neq \mu_2, \quad (27)$$

这里 μ_1, μ_2 分别是城市和农村中学同龄男生的身高. 题目中只给出从 100 名同龄农村男性学生身高算出的样本均值 168.9 和标准差 5.4, 没有原始的样本数据, 为了直接用 MATLAB 命令 `ttest2` 计算, 需要索取原始数据. 假定我们得到了这 100 个数据, 并认为服从正态分布, 用如下运算作检验 ($\alpha=0.05$):

```
y=[166.3 ... 167.3];           % 100 名同龄农村男性学生身高数据(从略)
[h, sig, ci]=ttest2(x,y)
```

计算结果为

```
[h,sig,ci]= 1 7.0945e-005 1.9773 5.6767
```

即拒绝 H_0 , 表明城市与农村 17 岁年龄组学生(总体)的身高有显著差异, 差距的置信区间为 $[1.9773 \quad 5.6767]$ ($\alpha=0.05$).

11.4.2 吸烟对血压的影响(续)

为了研究吸烟对血压的影响, 测量了吸烟组(66 人)和不吸烟组(62 人)两组人群的 6 项血压指标, 表 11.1 给出的是经过简单处理后的数据——两组人群 6 项血压指标的样本均值与标准差. 要根据这些数据推断吸烟对血压有无影响, 我们分别对 6 项血压指标作假设检验

$$H_0: \mu_1 = \mu_2, \quad H_1: \mu_1 \neq \mu_2, \quad (28)$$

其中 μ_1, μ_2 分别是吸烟和不吸烟群体(总体)的血压指标.

像 11.1.1 节中没有 100 名同龄农村男性学生身高的原始数据一样, 这里也没有 66 位吸烟者和 62 位不吸烟者的血压指标. 假设无法得到这些原始数据, 不能直接用 MATLAB 命令 `ttest2` 计算, 我们转而在吸烟和不吸烟两个群体的血压指标均服从正态分布, 且两个未知方差相等的假设下, 利用 11.3.3 节(21)式的 t 检验进行计算.

以两个样本的均值(`xbar, ybar`)、标准差(`s1, s2`)和容量(`m, n`)为输入参数, 编写一个名为 `pttest2.m` 的函数 M 文件(包括双侧和单侧检验, 标识 `tail` 的用法与 `ztest` 相同, 所有输入参数不可省略):

```
function [h,sig]=pttest2(xbar,ybar,s1,s2,m,n,alpha,tail)
spower=((m-1)*s1^2+(n-1)*s2^2)/(m+n-2);
t=(xbar-ybar)/sqrt(spower/m+ spower/n);
```

```

if tail==0
    a=tinv(1-alpha/2,m+n-2);
    sig = 2 * (1-tcdf(abs(t),m+n-2));
    if abs(t)<=a
        h=0;
    else
        h=1;
    end
end
if tail==1
    a=tinv(1-alpha,m+n-2);
    sig = 1-tcdf(t,m+n-2);
    if t<=a
        h=0;
    else
        h=1;
    end
end
if tail==-1
    a=tinv(alpha,m+n-2);
    sig = tcdf(t,m+n-2);
    if t>=a
        h=0;
    else
        h=1;
    end
end
end

```

用表 11.1 给出的数据,取 $\alpha=0.05$, $\text{tail}=0$,由 `pttest2` 计算的结果见表 11.4. 可以看出,除夜间(10Pm-6Am)平均收缩压(nSBP)外,其余 5 项指标都拒绝了 H_0 ,于是综合起来可以认为,吸烟对血压的影响显著.

表 11.4 “吸烟对血压的影响”假设检验的计算结果

	h	sig	接受或拒绝 H_0
24hSBP/mmHg	1	8.5097e-003	拒绝
24hDBP/mmHg	1	3.1860e-003	拒绝
dSBP/mmHg	1	5.3064e-003	拒绝
dDBP/mmHg	1	3.9950e-003	拒绝
nSBP/mmHg	0	1.2597e-001	接受
nDBP/mmHg	1	1.3027e-002	拒绝

11.4.3 汽油供货合同(续)

加油站(乙方)以含硫量不超过 0.08% 的标准决定是否接受炼油厂(甲方)提供的一批汽油. 双方商定每批抽检 10 辆车, 现得到了一批 10 个含硫量数据(见 11.1.3 节).

问题(1) 只根据这些数据推断乙方是否应接受该批汽油; 如果甲方是可靠的供货商, 并且对产品的稳定性提供了进一步的信息, 乙方对应的策略有什么变化?

推断乙方是否应接受该批汽油, 等价于根据样本作总体均值 μ 的(单侧)假设检验:

$$H_0: \mu \leq \mu_0 = 0.08, \quad H_1: \mu > \mu_0 = 0.08. \quad (29)$$

分以下几种情况讨论:

1. 如果只根据这些数据作检验, 是在总体方差 σ^2 未知情况下的 t 检验, 编程计算:

```
x=[0.0864 ... 0.0880];           % 10 个含硫量数据(见 11.1.3 节)
xbar=mean(x)                     % 样本均值
[h,sig]=ttest(x,0.08,0.05,1)      % t(单侧)检验(设  $\alpha=0.05$ )
```

得到

```
xbar= 0.0857
[h,sig]= 1  0.0424
```

拒绝 H_0 , 即乙方不接受该批汽油, 但是我们注意到 sig 接近 0.05 (当 $\text{sig} > 0.05$ 时接受 H_0), 所以它已接近于接受 H_0 .

还注意到样本均值 $\bar{x}=0.0857 > \mu_0=0.08$.

2. 如果甲方是可靠的供货商, 不妨请甲方提供总体方差(一般方差比较稳定), 这比上面 t 检验中用小样本($n=10$)计算出样本方差更为可靠.

若甲方提供总体标准差为 $\sigma=0.01$, 则由

```
[h, sig]=ztest(x,0.08,0.01,0.05,1) % z(单侧)检验(设  $\alpha=0.05$ )
```

计算得到

```
[h, sig]= 1  0.0357
```

拒绝 H_0 , 即乙方不接受该批汽油.

若甲方提供总体标准差为 $\sigma=0.015$, 则由

```
[h, sig]=ztest(x,0.08,0.015,0.05,1)
```

计算得到

```
[h, sig]= 0  0.1147
```

接受 H_0 , 即乙方接受该批汽油.

思考 为什么 $\sigma=0.01$ 时拒绝 H_0 , 而 $\sigma=0.015$ 时接受 H_0 ?

如果生产比较稳定,即方差较小,在 H_0 下出现较大的硫含量偏差的可能性应较小,但是该批出现了这样大的样本均值 $\bar{x}=0.0875$,从而说明 H_0 不成立.

当生产不很稳定,即方差较大时,在 H_0 下出现较大的硫含量偏差的可能性加大,于是该批出现这样大的样本均值还是可以接受的.

3. 若对甲方产品的信任度很高,不妨将显著性水平由 $\alpha=0.05$ 改为 $\alpha=0.01$,重新作总体方差 σ^2 未知情况下的 t 检验:

$$[h, sig] = ttest(x, 0.08, 0.01, 1)$$

得到

$$[h, sig] = 0 \quad 0.0424$$

接受 H_0 .

同一个样本用于同样的假设检验,在不同的显著性水平 α 下会得到不同的结论. 这启示我们有必要研究如何恰当地选取 α . 因为 α 是原本成立的 H_0 被错误地拒绝的概率,而在假设检验中原假设 H_0 一般是受保护的,不轻易拒绝它,所以 α 一般取得很小,并且 H_0 越可靠, α 越小. 在上面的问题中甲方一向信誉很好,减小 α 是合适的.

在统计推断中将“原本成立的 H_0 被拒绝”所犯的错误(即“弃真”)称为第一类错误,犯第一类错误的概率为 α . α 是否越小越好呢? 这需从另一个角度看这个问题.

问题(2) 现乙方与一新炼油厂(丙方)谈判,并且风闻丙方有用含硫量 0.086% 的汽油顶替合格品的前科,那么如果乙方沿用与甲方订的合同,会有什么后果.

假设检验仍是(29)式,在总体服从 $N(\mu, \sigma^2)$ 的条件下,由(9)式 $t = \frac{\bar{x} - \mu}{s/\sqrt{n}} \sim t(n-1)$,取显著性水平 α ,若总体均值 $\mu = \mu_0$,根据单侧检验的规则,当 $\frac{\bar{x} - \mu_0}{s/\sqrt{n}} \leq t_{1-\alpha}$ 时,接受 H_0 ,且接受 H_0 的概率为

$$P\left\{t = \frac{\bar{x} - \mu_0}{s/\sqrt{n}} \leq t_{1-\alpha}\right\} = 1 - \alpha. \quad (30)$$

下面分别考察当总体均值 $\mu = \mu_1 < \mu_0$ 和 $\mu = \mu_2 > \mu_0$ 时接受 H_0 的概率:

1. 若 $\mu = \mu_1 < \mu_0$, 则 $t_1 = \frac{\bar{x} - \mu_1}{s/\sqrt{n}} \sim t(n-1)$, 由

$$t_1 = \frac{\bar{x} - \mu_1}{s/\sqrt{n}} = \frac{\bar{x} - \mu_0 + \mu_0 - \mu_1}{s/\sqrt{n}} = t + \frac{\mu_0 - \mu_1}{s/\sqrt{n}},$$

得到

$$P\{t \leq t_{1-\alpha}\} = P\left\{t_1 \leq t_{1-\alpha} + \frac{\mu_0 - \mu_1}{s/\sqrt{n}}\right\} > 1 - \alpha. \quad (31)$$

即接受 H_0 的概率比 $\mu = \mu_0$ 时的概率 $1 - \alpha$ 大. 因为 $\mu_1 < \mu_0$, 这是很自然的, 如图 11.5(a)

中 $t_{1-\alpha}$ 左侧实线下面的面积是 $1-\alpha$, 虚线下面的面积大于 $1-\alpha$.

2. 若 $\mu=\mu_2>\mu_0$, 如一旦丙方提供的汽油含硫量为 $\mu_2=0.086>\mu_0=0.08$, 则 $t_2=\frac{\bar{x}-\mu_2}{s/\sqrt{n}}\sim t(n-1)$, 而根据检验规则仍是 $t=\frac{\bar{x}-\mu_0}{s/\sqrt{n}}\leq t_{1-\alpha}$ 时接受 H_0 . 由

$$t_2 = \frac{\bar{x}-\mu_2}{s/\sqrt{n}} = \frac{\bar{x}-\mu_0+\mu_0-\mu_2}{s/\sqrt{n}} = t - \frac{\mu_2-\mu_0}{s/\sqrt{n}}$$

得到

$$P\{t \leq t_{1-\alpha}\} = P\left\{t_2 \leq t_{1-\alpha} - \frac{\mu_2-\mu_0}{s/\sqrt{n}}\right\}. \quad (32)$$

这是在 H_0 不成立的条件下 ($\mu=\mu_2>\mu_0$), 由于 $t \leq t_{1-\alpha}$ 而仍然接受 H_0 的概率.

在统计推断中将“原本不成立的 H_0 被接受”所犯的误差(即“取伪”)称为第二类错误, 犯第二类错误的概率记作 β , 由(32)式

$$\beta = P\left\{t_2 \leq t_{1-\alpha} - \frac{\mu_2-\mu_0}{s/\sqrt{n}}\right\} = F_{t(n-1)}(t_\beta), \quad t_\beta = t_{1-\alpha} - \frac{\mu_2-\mu_0}{s/\sqrt{n}}, \quad (33)$$

其中 $F_{t(n-1)}$ 是 $t(n-1)$ 分布的分布函数.

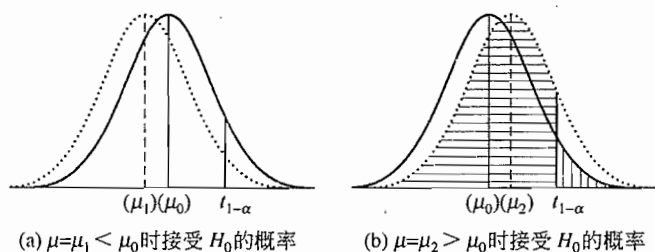


图 11.5

图 11.5(b)中 $t_{1-\alpha}$ 左侧实线下面的面积是 $1-\alpha$, 即“|”线标示的区域面积为 $\mu=\mu_0$ 时犯第一类错误的概率为 α ; 而 $t_{1-\alpha}$ 左侧虚线下面的面积(“—”线标示的区域面积)正是 $\mu=\mu_2>\mu_0$ 时接受 H_0 , 即犯第二类错误的概率 β . 可以看出, 当 α 变小时, $t_{1-\alpha}$ 右移, β 增加.

现在假定乙方与丙方谈判时沿用与甲方订的合同, 并且丙方果然提供了含硫量 0.086% 的汽油, 不妨设测量的 10 个样本数据与题目中甲方提供的相同, 我们看看接受 H_0 , 即犯第二类错误的概率 β 有多大.

按照(33)式编程计算($\alpha=0.05$):

```
x=[0.0864 ... 0.0880];           % 10个含硫量数据(见 11.1.3 节)
mu0=0.08; mu2=0.086; n=10;
alpha=0.05;
talpha=ttinv(1-alpha,n-1);
s=std(x);
```

```
gap=(mu2-mu0)/(s/sqrt(n));
beta=tcdf(talpha-gap,n-1)
```

得到

```
beta = 0.4211
```

改变 α 进行计算,表 11.5 给出了不同显著性水平 α (第一类错误的概率)下第二类错误的概率 β .

表 11.5 不同显著性水平 α 下第二类错误的概率

显著性水平 α	0.01	0.05	0.1	0.2	0.3
第二类错误 β	0.7733	0.4211	0.2644	0.1390	0.0846

可见,为了避免第二类错误的概率太大,应该适当提高显著性水平.当然, β 除了随着 α 的减小而增加外,还与 $\mu_2(>\mu_0)$ 的大小有关.

在统计推断中原假设 H_0 与备选假设 H_1 是不平等的,人们一般将值得信赖的、不宜轻易否定的假设取作原假设,显著性水平 α 一般不超过 0.05,这时犯第二类错误的概率 β 有多大,是乙方(如受货方)关心的问题之一.

11.5 实验练习

实验目的

1. 掌握数据的参数估计、假设检验的基本原理、算法,及用 MATLAB 实现的方法;
2. 练习用这些方法解决实际问题.

实验内容

1. 某厂从一台机床生产的滚珠中随机抽取 9 个,测得直径(mm)如下:

14.6, 14.7, 15.1, 14.9, 14.8, 15.0, 15.1, 15.2, 14.8

设滚珠直径服从正态分布,试自行给出不同的显著性水平,对直径的均值和标准差作区间估计.

2. 据说某地汽油的价格是 115 美分/gal^①,为了验证这种说法,一位司机开车随机选择了一些加油站,得到某年 1 月和 2 月的数据如下:

1 月 119 117 115 116 112 121 115 122 116 118 109 112 119 112 117 113 114 109 109 118

2 月 118 119 115 122 118 121 120 122 128 116 120 123 121 119 117 119 128 126 118 125

- (1) 分别用两个月的数据验证这种说法的可靠性;

^① 加仑,体积单位. 1gal=3.785 412dm³.

- (2) 分别给出 1 月和 2 月汽油价格的置信区间($\alpha=0.05$);
- (3) 如何给出 1 月和 2 月汽油价格差的置信区间($\alpha=0.05$).

3. 某校 60 名学生的一次考试成绩如下:

93 75 83 93 91 85 84 82 77 76 77 95 94 89 91
88 86 83 96 81 79 97 78 75 67 69 68 84 83 81
75 66 85 70 94 84 83 82 80 78 74 73 76 70 86
76 90 89 71 66 86 73 80 94 79 78 77 63 53 55

- (1) 作直方图,计算均值、标准差、极差、偏度、峰度;
- (2) 检验分布的正态性.

4. 设第 1 题的数据是机床甲产生的,另从机床乙生产的滚珠中抽取 10 个,测得直径(单位: mm)如下:

15.2,15.1,15.4,14.9,15.3,15.0,15.2,14.8,15.7,15.0

记两机床生产的滚珠直径分别为 μ_1, μ_2 ,试作 $\mu_1 = \mu_2, \mu_1 \leq \mu_2, \mu_1 \geq \mu_2$ 3 种检验.

表 11.6 100 名学生的身高(cm)和体重(kg)

身高	体重	身高	体重	身高	体重	身高	体重	身高	体重
172	75	169	55	169	64	171	65	167	47
171	62	168	67	165	52	169	62	168	65
166	62	168	65	164	59	170	58	165	64
160	55	175	67	173	74	172	64	168	57
155	57	176	64	172	69	169	58	176	57
173	58	168	50	169	52	167	72	170	57
166	55	161	49	173	57	175	76	158	51
170	63	169	63	173	61	164	59	165	62
167	53	171	61	166	70	166	63	172	53
173	60	178	64	163	57	169	54	169	66
178	60	177	66	170	56	167	54	169	58
173	73	170	58	160	65	179	62	172	50
163	47	173	67	165	58	176	63	162	52
165	66	172	59	177	66	182	69	175	75
170	60	170	62	169	63	186	77	174	66
163	50	172	59	176	60	166	76	167	63
172	57	177	58	177	67	169	72	166	50
182	63	176	68	172	56	173	59	174	64
171	59	175	68	165	56	169	65	168	62
177	64	184	70	166	49	171	71	170	59

5. 甲方向乙方成批供货,甲方承诺合格率为 90%,双方商定置信概率为 95%. 现从一批货中抽取 50 件,43 件为合格品,问乙方应否接受这批货物? 你能为乙方不接受它出谋划策吗?

6. 学校随机抽取 100 名学生,测量他们的身高和体重,所得数据如表 11.6.

(1) 对这些数据给出直观的图形描述,检验分布的正态性;

(2) 根据这些数据对全校学生的平均身高和体重做出估计,并给出估计的误差范围;

(3) 学校 10 年前作过普查,学生的平均身高为 167.5cm,平均体重为 60.2kg,根据这次抽查的数据,对学生的平均身高和体重有无明显变化做出结论.

7. 为研究胃溃疡的病理医院作了两组人胃液成分的试验,患胃溃疡的病人组与无胃溃疡的对照组各取 30 人,胃液中溶菌酶含量如表 11.7(溶菌酶是一种能破坏某些细菌的细胞壁的酶).

(1) 根据这些数据判断患胃溃疡病人的溶菌酶含量与“正常人”有无显著差别;

(2) 若表 11.7 患胃溃疡病人组的最后 5 个数据有误,去掉后再作判断.

表 11.7 胃溃疡病人和正常人(各 30 人)的溶菌酶含量

病人	0.2	10.4	0.3	0.4	10.9	11.3	1.1	2.0	12.4	16.2
	2.1	17.6	18.9	3.3	3.8	20.7	4.5	4.8	24.0	25.4
	4.9	40.0	5.0	42.2	5.3	50.0	60.0	7.5	9.8	45.0
正常人	0.2	5.4	0.3	5.7	0.4	5.8	0.7	7.5	1.2	8.7
	1.5	8.8	1.5	9.1	1.9	10.3	2.0	15.6	2.4	16.1
	2.5	16.5	2.8	16.7	3.6	20.0	4.8	20.7	4.8	33.0

8. 20 名学生参加了某课程进行的、考查同样知识的两次测验,成绩如表 11.8. 根据这些数据判断两次测验的难度是否相同.

表 11.8 20 名学生的两次测验成绩(每列是同一名学生的两次成绩)

第一次	93	85	79	90	78	76	81	85	88	68	92	73	88	84	90	70	69	83	83	85
第二次	88	89	86	85	87	88	75	93	88	78	86	86	80	89	85	79	78	88	88	90

9. 调查了 339 名 50 岁以上吸烟习惯与患慢性气管炎的关系,得表 11.9.

表 11.9 吸烟习惯与患慢性气管炎的人数

是否吸烟 是否患病	吸 烟	不吸烟	总 和
患慢性气管炎/人	43	13	56
未患慢性气管炎/人	162	121	283
总和/人	205	134	339
患病率/%	21.0	9.7	16.5

问吸烟者与不吸烟者的慢性气管炎患病率是否相同.

10. 表 11.10 给出的中国 7~18 岁青少年身高资料来源于 1995 年全国学生体质健康调研, 分层随机整群抽样自除西藏、台湾外的所有省(市、自治区), 年龄 7~22 岁, 共约 20 万各年龄段的数据. 日本 7~18 岁青少年身高资料以 1995 年日本学校保健调查为依据. 表 11.10 中是各个样本的均值和标准差. 设法用这些数据判断中国和日本男女生身高是否有差异.

表 11.10 1995 年中国和日本男女生身高资料

单位: cm

年龄	中国男生样本		日本男生样本		中国女生样本		日本女生样本	
	均值	标准差	均值	标准差	均值	标准差	均值	标准差
7	124.5	5.7	122.5	5.4	123.4	5.4	121.8	5.4
8	129.4	5.6	128.1	5.5	128.4	5.5	127.6	5.7
9	134.6	6.0	133.4	5.4	134.3	6.2	133.5	6.3
10	139.3	6.6	138.9	5.9	140.0	6.9	140.2	6.6
11	145.1	7.2	144.9	6.7	146.7	7.0	146.7	6.7
12	151.2	8.1	152.0	7.8	152.5	6.6	151.9	6.2
13	160.0	8.0	159.6	7.6	156.3	6.0	155.1	5.4
14	165.1	7.0	165.1	6.8	157.7	5.5	156.7	5.2
15	168.3	6.3	168.5	6.2	158.9	5.6	157.4	5.0
16	170.1	6.3	170.0	5.9	159.3	5.4	157.9	5.3
17	171.0	6.0	170.8	6.0	159.3	5.4	158.1	5.0
18	170.8	5.8	171.1	5.9	159.1	5.3	158.2	5.1

参 考 文 献

- 1 沈恒范. 概率论与数理统计教程. 第 3 版. 北京: 高等教育出版社, 1995
- 2 吴翊, 李永乐, 胡庆军. 应用数理统计. 长沙: 国防科技大学出版社, 1995
- 3 姜启源, 何青, 高立. 数学实验. 北京: 高等教育出版社, 1999

人们在日常生活和工作中常会遇到类似于这样的问题：

- 常识告诉我们,人的年龄越大血压越高,那么平均说来,60岁比50岁的人血压高多少呢?
- 在一定的道路、环境条件下,汽车刹车距离主要取决于车速,怎样估计在一定车速下的刹车距离大概在多大的范围之内?
- 一家软件公司雇员的基本薪金既取决于他们的资历和教育程度,也与他们所负责的工作岗位有关,人事总监希望建立一个薪金与这些因素之间的定量关系,从而对于新聘雇员的底薪做到心中有数.

这样一类问题有以下的共同特点:人们关心的那个数量(因变量)受另一个或几个数量(自变量)的影响,这种影响常常只是关联性(而非因果性)的,并且存在着众多随机因素,难以用机理分析方法找出它们之间的关系;人们需要建立这些变量之间的数学模型,使得能够根据自变量的数值预测因变量的大小,或者解释因变量的变化.

通常解决这类问题大致的方法、步骤如下:

- (1) 收集一组包含因变量和自变量的数据;
- (2) 选定因变量与自变量之间的模型,即一个数学式子,利用数据按照最小二乘准则计算模型中的系数;
- (3) 利用统计分析方法对不同的模型进行比较,找出与数据拟合得最好的模型;
- (4) 判断得到的模型是否适合于这组数据;
- (5) 利用模型对因变量作出预测或解释.

以上几点是数理统计中称为“回归分析”的主要内容,这个实验将从应用的角度介绍回归分析的基本原理、方法和软件实现,以下12.1节是简化的实际问题及其模型,12.2节和12.3节分别介绍一元和多元线性回归分析,12.4节是非线性回归分析,12.5节布置实验练习.

12.1 实例及其数学模型

12.1.1 血压与年龄

问题 为了了解血压随着年龄的增长而升高的关系,调查了 30 个成年人的血压(收缩压(mmHg))如表 12.1. 我们希望用这组数据确定血压与年龄(岁)的关系,并且由此从年龄预测血压可能的变化范围,回答上面提出的“平均说来 60 岁比 50 岁的人血压高多少”的问题.

表 12.1 30 个人的血压与年龄

序号	血压	年龄	序号	血压	年龄	序号	血压	年龄
1	144	39	11	162	64	21	136	36
2	215	47	12	150	56	22	142	50
3	138	45	13	140	59	23	120	39
4	145	47	14	110	34	24	120	21
5	162	65	15	128	42	25	160	44
6	142	46	16	130	48	26	158	53
7	170	67	17	135	45	27	144	63
8	124	42	18	114	18	28	130	29
9	158	67	19	116	20	29	125	25
10	154	56	20	124	19	30	175	69

模型 记血压(因变量) y , 年龄(自变量) x , 表 12.1 的数据为 $(x_i, y_i) (i=1, 2, \dots, 30)$, 用 MATLAB 将它们作图, 如图 12.1, 称散点图. 从图形直观地看, y 与 x 大致呈线性关系, 即 $y = \beta_0 + \beta_1 x$, 要由数据确定系数 β_0, β_1 的估计值 $\hat{\beta}_0, \hat{\beta}_1$, 这个问题可以看作实验 5 介绍过的曲线拟合, 即求超定线性方程组的最小二乘解. 但是这个实验将从统计推断的角度讨论 β_0, β_1 的置信区间和假设检验, 进而对任意的年龄 x 给出 y 的预测区间, 属于一元回归分析. 我们在 12.2 节继续讨论这个问题.

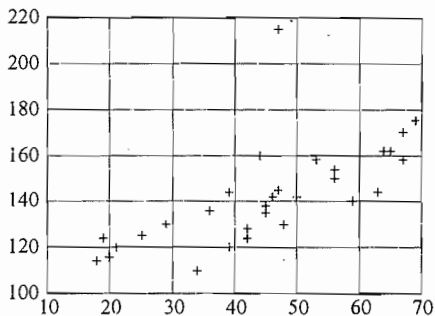


图 12.1 血压与年龄的散点图

12.1.2 血压与年龄、体重指数、吸烟习惯

问题 世界卫生组织颁布的“体重指数”的定义是体重(kg)除以身高(m)的平方,显然它比体重本身更能反映人的胖瘦. 对表 12.1 给出的 30 个人又测量了他(她)们的体重指数,如表 12.2 所示. 试建立血压与年龄(岁)和体重指数之间的模型,作回归分析. 如果还记录了他(她)们的吸烟习惯(表 12.2 中 0 表示不吸烟,1 表示吸烟),怎样在模型中考虑这个因素,吸烟会使血压升高吗? 对 50 岁、体重指数 25 的吸烟者的血压作预测.

表 12.2 30 个人的血压与年龄、体重指数、吸烟习惯

序号	血压	年龄	体重指数	吸烟习惯	序号	血压	年龄	体重指数	吸烟习惯	序号	血压	年龄	体重指数	吸烟习惯
1	144	39	24.2	0	11	162	64	28.0	1	21	136	36	25.0	0
2	215	47	31.1	1	12	150	56	25.8	0	22	142	50	26.2	1
3	138	45	22.6	0	13	140	59	27.3	0	23	120	39	23.5	0
4	145	47	24.0	1	14	110	34	20.1	0	24	120	21	20.3	0
5	162	65	25.9	1	15	128	42	21.7	0	25	160	44	27.1	1
6	142	46	25.1	0	16	130	48	22.2	1	26	158	53	28.6	1
7	170	67	29.5	1	17	135	45	27.4	0	27	144	63	28.3	0
8	124	42	19.7	0	18	114	18	18.8	0	28	130	29	22.0	1
9	158	67	27.2	1	19	116	20	22.6	0	29	125	25	25.3	0
10	154	56	19.3	0	20	124	19	21.5	0	30	175	69	27.4	1

模型 记血压 y , 年龄 x_1 , 体重指数 x_2 , 吸烟习惯 x_3 , 用 MATLAB 将 y 与 x_2 的数据作散点图, 看出大致也呈线性关系, 建立模型 $y = \beta_0 + \beta_1 x_1 + \beta_2 x_2 + \beta_3 x_3$, 由数据估计系数 $\beta_0, \beta_1, \beta_2, \beta_3$ 也可看作曲线(曲面)拟合, 我们将在 12.3 节用多元回归分析继续讨论这个问题.

12.1.3 软件开发人员的薪金

问题 一家高技术公司人事部为研究软件开发人员的薪金与他们的资历、管理水平、教育水平等因素之间的关系, 要建立一个数学模型, 以便分析公司人事策略的合理性, 并作为新聘用人员薪金的参考. 他们认为目前公司人员的薪金总体上是合理的, 可以作为建模的依据, 于是调查了 46 名软件开发人员的档案资料, 如表 12.3, 其中资历一列指从事专业工作的年数, 管理水平一列中 1 表示管理人员, 0 表示非管理人员, 教育水平一列中 1 表示中学水平, 2 表示大学水平, 3 表示研究生水平.

表 12.3 软件开发人员的薪金与他们的资历、管理水平、教育水平

编号	薪金/元	资历/年	管理水平	教育水平	编号	薪金/元	资历/年	管理水平	教育水平
01	13876	1	1	1	24	22884	6	1	2
02	11608	1	0	3	25	16978	7	1	1
03	18701	1	1	3	26	14803	8	0	2
04	11283	1	0	2	27	17404	8	1	1
05	11767	1	0	3	28	22184	8	1	3
06	20872	2	1	2	29	13548	8	0	1
07	11772	2	0	2	30	14467	10	0	1
08	10535	2	0	1	31	15942	10	0	2
09	12195	2	0	3	32	23174	10	1	3
10	12313	3	0	2	33	23780	10	1	2
11	14975	3	1	1	34	25410	11	1	2
12	21371	3	1	2	35	14861	11	0	1
13	19800	3	1	3	36	16882	12	0	2
14	11417	4	0	1	37	24170	12	1	3
15	20263	4	1	3	38	15990	13	0	1
16	13231	4	0	3	39	26330	13	1	2
17	12884	4	0	2	40	17949	14	0	2
18	13245	5	0	2	41	25685	15	1	3
19	13677	5	0	3	42	27837	16	1	2
20	15965	5	1	1	43	18838	16	0	2
21	12366	6	0	1	44	17483	16	0	1
22	21352	6	1	3	45	19207	17	0	2
23	13839	6	0	2	46	19346	20	0	1

模型 按照常识,薪金自然随着资历(年)的增长而增加,管理人员的薪金应高于非管理人员,教育水平越高薪金也越高.用 y 表示薪金;自变量 x_1 表示资历(年); $x_2=1$ 表示管理人员, $x_2=0$ 表示非管理人员;教育有 3 个水平,如何处理这个变量,是建模中的新问题.解决这个问题的一种办法是定义

$$x_3 = \begin{cases} 1, & \text{中学,} \\ 0, & \text{其他;} \end{cases} \quad x_4 = \begin{cases} 1, & \text{大学,} \\ 0, & \text{其他.} \end{cases}$$

于是中学水平表为 $x_3=1, x_4=0$, 大学水平表为 $x_3=0, x_4=1$, 研究生水平则表为 $x_3=0, x_4=0$.

作为基本模型, 假定资历对薪金的作用是线性的, 即资历每加一年薪金的增长是常数; 管理水平、教育水平、资历诸因素之间没有交互作用, 建立多元线性回归模型 $y = \beta_0 + \beta_1 x_1 + \beta_2 x_2 + \beta_3 x_3 + \beta_4 x_4$, 这样做的效果如何, 我们将在 12.3 节加以讨论.

12.1.4 酶促反应

问题 酶是一种高效生物催化剂, 催化条件温和, 经过酶催化的化学反应称为酶促反应. 酶促反应中的反应速度主要取决于反应物(称为底物)的浓度, 浓度较低时反应速度大致与底物浓度成正比(称为一级反应), 浓度较高、渐进饱和时反应速度趋向于常数(称为零级反应), 二者之间有一过渡. 根据酶促反应的这种基本性质, 描述反应速度与底物浓度关系的一类模型是 Michaelis-Menten 模型:

$$y = \frac{\beta_1 x}{\beta_2 + x}, \quad (1)$$

其中 y 是反应速度, x 是底物浓度, β_1, β_2 为待定参数. 容易知道, β_1 是饱和浓度下的速度, 称最终反应速度, 而 β_2 是达到最终反应速度一半时的底物浓度, 称为半速度点.

酶经过嘌呤霉素处理, 可能会对酶促反应中反应速度与底物浓度之间的关系产生影响, 为了研究这种影响设计了两个实验, 一个实验中所使用的酶是未经嘌呤霉素处理的, 另一个实验的酶是经过嘌呤霉素处理的, 所得的实验数据见表 12.4.

表 12.4 酶促反应实验中的反应速度与底物浓度数据

底物浓度		0.02		0.06		0.11		0.22		0.56		1.10	
反应 速度	未经处理	67	51	84	86	98	115	131	124	144	158	160	/
	处理	76	47	97	107	123	139	159	152	191	201	207	200

(1) 对未经嘌呤霉素处理的酶促反应, 利用表 12.4 的数据估计模型(1)中的参数 β_1, β_2 ;

(2) 利用表 12.4 的数据研究嘌呤霉素处理对酶促反应模型中参数 β_1, β_2 的影响.

模型 模型(1)对参数 β_1, β_2 是非线性的, 但是可以通过下面的变量代换化为线性模型

$$\frac{1}{y} = \frac{1}{\beta_1} + \frac{\beta_2}{\beta_1} \frac{1}{x} = \theta_1 + \theta_2 \frac{1}{x}. \quad (2)$$

模型(2)中的因变量 $1/y$ 对新的参数 θ_1, θ_2 是线性的.

对表 12.4 中未经嘌呤霉素处理的实验数据,画出反应速度的倒数 $1/y$ 与底物浓度的倒数 $1/x$ 的散点图,并作直线拟合,得到 θ_1, θ_2 的估计值分别为 $6.972 \times 10^{-3}, 0.215 \times 10^{-3}$,散点和拟合的直线如图 12.2.可以发现 $1/x$ 较小时拟合较好, $1/x$ 较大时出现较大的分散.

根据(2)式得到 $\beta_1 = 1/\theta_1, \beta_2 = \theta_2/\theta_1$,从而算出 β_1, β_2 的估计值分别为 143.43 和 0.0308.将 β_1, β_2 代入原模型(1),得到与原始数据比较的拟合图(图 12.3).可以发现,在 x 较大时 y 的计算值比实际数据小,这是因为在对线性化模型作参数估计时,底物浓度 x 较小($1/x$ 较大)的数据在很大程度上控制了参数的确定,从而使得对底物浓度 x 较大数据的拟合,出现较大的偏差.

为了解决线性化模型中拟合欠佳的问题,需要直接考虑非线性模型(1),这属于非线性回归分析,我们将在 12.4 节继续讨论.

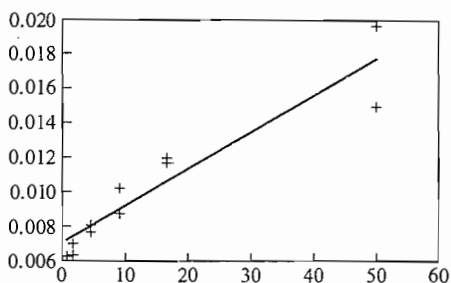


图 12.2 $1/y$ 与 $1/x$ 的散点图和回归直线

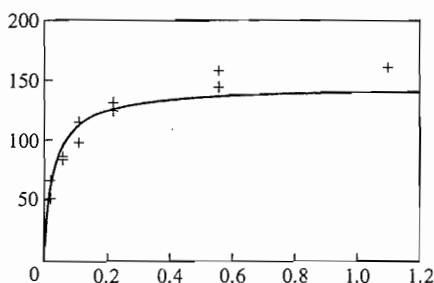


图 12.3 用线性化得到的原始数据拟合图

12.2 一元线性回归分析

已知一组数据 (x_i, y_i) ($i=1, 2, \dots, n$), 即平面上的 n 个点, 用最小二乘准则确定一个线性函数(直线) $y = \beta_0 + \beta_1 x$ 的方法实验 5 介绍过, 为了说明从统计推断的角度有进一步讨论的必要, 我们看两个例子.

例 1 血压与年龄

同 12.1.1 节, 根据表 12.1 的数据用 MATLAB 命令 `polyfit` 得到 $y = 98.4084 + 0.9732x$, 拟合结果如图 12.4 所示.

例 2 合金强度与碳含量

合金的强度 y 与其中的碳含量 x 有比较密切的关系, 今从生产中收集了一批数据如表 12.5, 从散点图看出二者大致呈线性关系, 用 `polyfit` 可以得到 $y = 27.9473 + 131.8396x$, 拟合结果如图 12.5 所示.

表 12.5 合金的强度 y 与其中的碳含量 x

$y/\text{kg}/\text{mm}^2$	41.0	42.5	45.0	45.5	45.0	47.5	49.0	51.0	50.0	55.0	57.5	59.5
$x/\%$	0.10	0.11	0.12	0.13	0.14	0.15	0.16	0.17	0.18	0.20	0.22	0.24

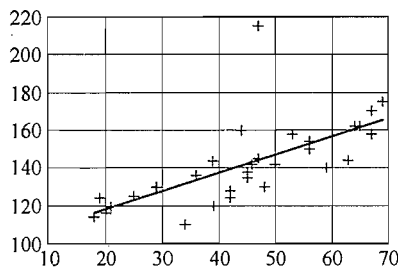


图 12.4 血压与年龄的拟合结果

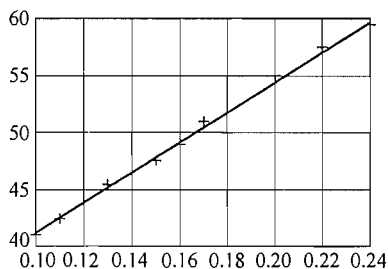


图 12.5 合金强度与碳含量的拟合结果

虽然从上面的计算看,例 1 和例 2 没有什么区别,但是只要观察一下图 12.4 和图 12.5 就可知道,例 2 的拟合效果比例 1 好得多,即按照所给数据得到的合金强度对碳含量的依赖关系比血压对年龄的依赖关系强得多,于是根据例 2 作的预测和解释就比例 1 更为可靠.显然,这是由于例 2 属于物理化学,而例 1 属于不确定性因素更多的生命科学领域的缘故.

怎样衡量根据最小二乘准则拟合得到的模型的可靠程度?怎样给出模型系数的置信区间和因变量的预测区间?回答这些在应用中非常重要的问题,需要从统计分析的角度重新审视我们研究的对象.

12.2.1 一元线性回归模型及其基本假设

如果因变量 y 与自变量 x 之间没有确定性的函数关系,而根据知识、经验或观察它们有一定的关联性,众多的、不可预测的随机因素影响它们之间的关系,比如 12.1.1 节中影响血压的一个主要因素大概是年龄,此外还有体重、遗传、生活习惯、环境等原因,以至于相同岁数的人的血压并不一样.人们研究这类问题的途径常常是收集一组 x, y 的数据,用统计分析方法建立一种经验模型,称为回归模型(12.2.6 节将对回归这一名词作简单介绍).下面用数理统计的语言叙述一元线性回归的假设条件和要解决的问题.

对于自变量 x 的每一个值,因变量是一个随机变量 y (为简单起见,随机变量和它的取值均用 y 表示).如果 x 对 y 的影响是线性的,用 $\beta_0 + \beta_1 x$ 表示,其中 β_0, β_1 待定,称回归系数,除 x 以外,影响 y 的其他随机因素的总和用随机变量 ϵ 表示,于是 y 可以表为一元线性回归模型:

$$y = \beta_0 + \beta_1 x + \epsilon. \quad (3)$$

一元线性回归的基本假设有:

- (1) 独立性 对于不同的 x , y 是相互独立的随机变量;
- (2) 线性性 y 的期望是 x 的线性函数, 即 $Ey = \beta_0 + \beta_1 x$;
- (3) 齐次性 对于不同的 x , y 的方差是常数;
- (4) 正态性 对于给定的 x , y 服从正态分布.

图 12.6 给出这些假设的示意图. 根据(3)式关于 y 的这些假设等价于: ϵ 是相互独立的(对于不同的 x)、期望为 0、方差为常数(记作 σ^2)、正态分布的随机变量, 即 $\epsilon \sim N(0, \sigma^2)$, ϵ 称(随机)误差.

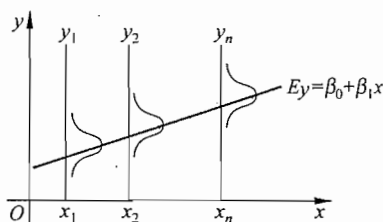


图 12.6 一元线性回归基本假设示意图

对于主要从应用的角度学习回归分析的读者, 应注意这些假设在什么情形下成立, 以及如何检验它们是否成立. 以血压与年龄问题为例,

如果 x 是毫不相关的一些人的年龄, 他们的血压 y 应是相互独立的, 但若 x 是同一人在不同年代的年龄, 血压就不会独立; 线性性是经过对数据(或实际现象)观察后作的假定, 并且可以通过对结果的统计分析进行检验; 当影响 y 的随机因素的大小不随 x 变化时, 齐次性通常成立, 它也可由结果的统计分析作检验(需要很大的数据量); 按照概率论的理论, 只要随机因素众多, 且没有哪个起主要作用, 正态性就大致成立.

12.2.2 回归系数的最小二乘估计

假设对于 x 的 n 个值 x_i , 得到 y 的 n 个相应的值 $y_i (i=1, 2, \dots, n)$, 将它们代入模型(3)式得

$$y_i = \beta_0 + \beta_1 x_i + \epsilon_i, \quad i = 1, 2, \dots, n, \quad (4)$$

其中 ϵ_i 是 ϵ 的取值, 看作相互独立且与 ϵ 同分布的随机变量. 根据最小二乘准则由 x_i, y_i 估计回归系数 β_0, β_1 , (随机)误差平方和记为 $Q(\beta_0, \beta_1)$, 即

$$Q(\beta_0, \beta_1) = \sum_{i=1}^n \epsilon_i^2 = \sum_{i=1}^n [y_i - (\beta_0 + \beta_1 x_i)]^2. \quad (5)$$

利用极值的必要条件 $\frac{\partial Q}{\partial \beta_0} = 0, \frac{\partial Q}{\partial \beta_1} = 0$ 求 β_0, β_1 的估计值, 得到方程组

$$\sum_{i=1}^n [y_i - (\beta_0 + \beta_1 x_i)] = 0, \quad \sum_{i=1}^n x_i [y_i - (\beta_0 + \beta_1 x_i)] = 0. \quad (6)$$

记

$$\bar{x} = \frac{1}{n} \sum_{i=1}^n x_i, \quad \bar{y} = \frac{1}{n} \sum_{i=1}^n y_i, \quad s_{xx} = \sum_{i=1}^n (x_i - \bar{x})^2, \quad s_{xy} = \sum_{i=1}^n (x_i - \bar{x})(y_i - \bar{y}). \quad (7)$$

由(6)式解出 β_0, β_1 的估计值, 记作

$$\hat{\beta}_1 = \frac{s_{xy}}{s_{xx}}, \quad \hat{\beta}_0 = \bar{y} - \hat{\beta}_1 \bar{x}. \quad (8)$$

可以看出, 直线 $y = \hat{\beta}_0 + \hat{\beta}_1 x$ 通过数据 x_i, y_i 的均值点 (\bar{x}, \bar{y}) .

因为样本 $y_i (i=1, 2, \dots, n)$ 视为与 y 同分布的随机变量, 所以由它算出的 $\hat{\beta}_0, \hat{\beta}_1$ 也是随机变量, 我们要估计的是它们的总体均值 β_0, β_1 . $\hat{\beta}_0, \hat{\beta}_1$ 称为 β_0, β_1 的最小二乘估计, 可以证明 $\hat{\beta}_0, \hat{\beta}_1$ 是 β_0, β_1 的线性无偏最小方差估计, 即: $\hat{\beta}_0, \hat{\beta}_1$ 是 y_i 的线性函数 (从(7)式和(8)式看出); $\hat{\beta}_0, \hat{\beta}_1$ 的期望分别等于 β_0, β_1 (由下面的(13)式和(18)式给出); 满足以上两条的称为线性无偏估计, 而在所有线性无偏估计中 $\hat{\beta}_0, \hat{\beta}_1$ 是方差最小的.

12.2.3 一元线性回归的统计分析

(1) 误差方差的估计

在模型(3)中 y 由确定性成分 $\beta_0 + \beta_1 x$ 和随机误差 ϵ 两部分组成, ϵ 的大小由它的方差 $D\epsilon = \sigma^2$ 衡量, σ^2 越小模型越有效. 怎样估计随机误差的方差 σ^2 呢? 在用 x_i, y_i 计算出最小二乘估计 $\hat{\beta}_0, \hat{\beta}_1$ 后, 令

$$\hat{y}_i = \hat{\beta}_0 + \hat{\beta}_1 x_i, \quad i = 1, 2, \dots, n, \quad (9)$$

\hat{y}_i 可以看作对 y_i 的理论值 (期望) 的估计. 再由(4)式和(9)式可得误差 ϵ_i 的估计值

$$\hat{\epsilon}_i = y_i - \hat{y}_i, \quad i = 1, 2, \dots, n. \quad (10)$$

$\hat{\epsilon}_i$ 称为残差, 简记作 e_i . 残差平方和为

$$Q = \sum_{i=1}^n e_i^2 = \sum_{i=1}^n (y_i - \hat{y}_i)^2. \quad (11)$$

能否直接用 Q/n 作为 σ^2 的估计呢? 由于 $e_i (i=1, 2, \dots, n)$ 中包含了 2 个共同参数 $\hat{\beta}_0, \hat{\beta}_1, e_i$ 不再相互独立, 致使 Q/n 不是 σ^2 的无偏估计. 可以证明 σ^2 的无偏估计为 (简记作 s^2)

$$s^2 = \hat{\sigma}^2 = \frac{Q}{n-2}, \quad (12)$$

其中 $n-2$ 是残差平方和 Q 的自由度, 它等于数据容量减去模型中所含参数的个数. 残差的方差 s^2 称剩余方差 (或样本方差), s 称剩余标准差 (或样本标准差).

(2) 回归系数的区间估计和假设检验

为了得到回归系数 β_0, β_1 的区间估计, 需要知道它们的分布. 可以证明在一元线性回归的基本假设下, $\hat{\beta}_1$ 和 Q 具有如下的性质:

$$\hat{\beta}_1 \sim N(\beta_1, \sigma^2/s_{xx}), \quad (13)$$

$$Q/\sigma^2 \sim \chi^2_{(n-2)}, \quad (14)$$

且 $\hat{\beta}_1$ 和 Q 相互独立. 根据 t 分布的定义由(12)~(14)式可得 t 统计量

$$t = \frac{(\hat{\beta}_1 - \beta_1) \sqrt{s_{xx}}/\sigma}{\sqrt{Q/(n-2)\sigma^2}} = \frac{(\hat{\beta}_1 - \beta_1) \sqrt{s_{xx}}}{s} \sim t(n-2). \quad (15)$$

给定显著性水平 α , $t_{(n-2), 1-\alpha/2}$ 的分位数为 $t_{(n-2), 1-\alpha/2}$, β_1 的置信区间是

$$\left[\hat{\beta}_1 - t_{(n-2), 1-\alpha/2} \frac{s}{\sqrt{s_{xx}}}, \hat{\beta}_1 + t_{(n-2), 1-\alpha/2} \frac{s}{\sqrt{s_{xx}}} \right]. \quad (16)$$

思考 由(16)式可知, 当 α , n 一定时, s 越小, s_{xx} 越大, 则 β_1 的置信区间越短, 即估计的精度越高. 请解释.

对于 β_1 可以提出如下假设检验:

$$H_0: \beta_1 = 0, \quad H_1: \beta_1 \neq 0. \quad (17)$$

若 H_0 成立, 表明自变量 x 对 y 没有影响; 而当拒绝 H_0 (接受 H_1) 时, 模型(3)有效.

可以用 t 检验法检验 H_0 : 由(15)式当 $|t| = \left| \frac{\hat{\beta}_1 \sqrt{s_{xx}}}{s} \right| > t_{(n-2), 1-\alpha/2}$ 时拒绝 H_0 . 实际上, 根据置信区间(16)是否包含零点, 也可以检验 H_0 是否成立.

为了得到 β_0 的置信区间需要 $\hat{\beta}_0$ 的如下性质:

$$\hat{\beta}_0 \sim N\left(\beta_0, \sigma^2 \left(\frac{\bar{x}^2}{s_{xx}} + \frac{1}{n} \right)\right). \quad (18)$$

与上面类似地可得, 在显著性水平 α 下 β_0 的置信区间为

$$\left[\hat{\beta}_0 - t_{(n-2), 1-\alpha/2} s \sqrt{\frac{\bar{x}^2}{s_{xx}} + \frac{1}{n}}, \hat{\beta}_0 + t_{(n-2), 1-\alpha/2} s \sqrt{\frac{\bar{x}^2}{s_{xx}} + \frac{1}{n}} \right]. \quad (19)$$

(3) 模型的有效性检验——决定系数和 F 统计量

样本 $y_i (i=1, 2, \dots, n)$ 对样本均值 \bar{y} 的偏差 $y_i - \bar{y}$ 可以分解为

$$y_i - \bar{y} = (y_i - \hat{y}_i) + (\hat{y}_i - \bar{y}). \quad (20)$$

上式右端第一项 $y_i - \hat{y}_i$ 是残差, 表示随机误差引起的因变量的变化, 第二项 $\hat{y}_i - \bar{y}$ 表示自变量 $x = x_i$ 时引起的因变量 (相对于其平均值) 的变化. 将(20)式两边平方并求和, 得到 (可以证明 $\sum_{i=1}^n (y_i - \hat{y}_i)(\hat{y}_i - \bar{y}) = 0$)

$$\sum_{i=1}^n (y_i - \bar{y})^2 = \sum_{i=1}^n (y_i - \hat{y}_i)^2 + \sum_{i=1}^n (\hat{y}_i - \bar{y})^2. \quad (21)$$

记

$$S = s_{yy} = \sum_{i=1}^n (y_i - \bar{y})^2, \quad U = \sum_{i=1}^n (\hat{y}_i - \bar{y})^2, \quad (22)$$

其中 S 刻画因变量总的变化 (对 \bar{y} 而言), 称总偏差平方和, U 刻画自变量引起的因变量总的变化, 称回归平方和. 注意到(11)式残差平方和 Q 的定义, (21)式可表为

$$S = U + Q. \quad (23)$$

即因变量的总变化量 S 可分解为自变量引起的变化 U 和误差引起的变化 Q 两部分, 显然, U 在 S 中占的比重越大, 模型(3)越有效. 定义

$$R^2 = U/S. \quad (24)$$

R^2 称为决定系数, $0 < R^2 < 1$, 它表示在因变量的总变化量中自变量引起的那部分的比例, R^2 越大说明自变量对因变量起的决定作用越大, 但是没有表明模型是否有效的明确的数量界限.

由(8)式和(9)式容易知道(22)式中的 U 可写作

$$U = \hat{\beta}_1^2 s_{xx} = \frac{s_{xy}^2}{s_{xx}}. \quad (25)$$

于是(24)式定义的决定系数又可表为

$$R^2 = \frac{s_{xy}^2}{s_{xx} s_{yy}}. \quad (26)$$

这表明, 如果自变量 x 也视为随机变量, 则决定系数 R^2 正是二维随机变量 (x, y) 的(线性)相关系数 r_{xy} 的平方(见实验 10).

为了得到关于模型有效性的数量界限, 需要构造合适的统计量. 当 H_0 成立时, 由(13)式、(25)式和 χ^2 分布的定义可得

$$\frac{U}{\sigma^2} = \frac{\hat{\beta}_1^2 s_{xx}}{\sigma^2} \sim \chi^2(1), \quad (27)$$

且 U 和 Q 相互独立. 于是根据(14)式和 F 分布的定义可以选择 F 统计量

$$F = \frac{\frac{U}{\sigma^2}}{\frac{Q}{n-2}} \sim F(1, n-2). \quad (28)$$

给定显著性水平 α , $F(1, n-2)$ 的 $1-\alpha$ 分位数记作 $F_{(1, n-2), 1-\alpha}$, 当由(28)式计算的 $F > F_{(1, n-2), 1-\alpha}$ 时拒绝 H_0 , 否则接受 H_0 .

12.2.4 利用一元线性回归模型进行预测

当 H_0 被拒绝, 即判断模型(3)有效后, 就可从自变量 x 的一个给定值 x_0 预测因变量的理论值 y_0 , 预测值实际上是一个(点)估计, 记作 \hat{y}_0 . 显然可取

$$\hat{y}_0 = \hat{\beta}_0 + \hat{\beta}_1 x_0. \quad (29)$$

这里的 \hat{y}_0 有如下的统计意义: \hat{y}_0 是无偏的, 即 $E\hat{y}_0 = y_0$, 并且均方误差 $E(\hat{y}_0 - y_0)^2$ 最小.

类似于回归系数的区间估计, 可以得到给定显著性水平 α 下的预测区间($\alpha=0.05$ 时 y_0 有 95% 的可能落在此区间)为

$$\left[\hat{y}_0 - t_{(n-2), 1-\alpha/2} S \sqrt{\frac{(x_0 - \bar{x})^2}{s_{xx}} + \frac{1}{n}} + 1, \quad \hat{y}_0 + t_{(n-2), 1-\alpha/2} S \sqrt{\frac{(x_0 - \bar{x})^2}{s_{xx}} + \frac{1}{n}} + 1 \right]. \quad (30)$$

虽然这个结果比较复杂, 但是当 n 很大且 x_0 接近 \bar{x} 时, 可以忽略(30)式根号内的前两项, 且 $t_{(n-2), 1-\alpha/2}$ 近似于 $N(0, 1)$ 的 $1-\alpha/2$ 分位数 $u_{1-\alpha/2}$, 上述预测区间简化为

$$[\hat{y}_0 - u_{1-a/2} S, \hat{y}_0 + u_{1-a/2} S]. \quad (31)$$

对于自变量的任意值 x , 因变量 y 的预测值和预测区间为

$$\hat{y} = \hat{\beta}_0 + \hat{\beta}_1 x, \quad [\hat{y} - \delta(x), \hat{y} + \delta(x)], \quad (32)$$

$$\delta(x) = t_{(n-2), 1-a/2} S \sqrt{\frac{(x - \bar{x})^2}{s_{xx}} + \frac{1}{n} + 1} \approx u_{1-a/2} S. \quad (33)$$

y 的预测区间示意图如图 12.7.

最后指出, 如果因 $F < F_{(1, n-2), 1-a}$ 或 β_1 的置信区间包含零点而接受 H_0 , 那也只是说明 y 与 x 之间没有合适的线性模型, 但是二者之间可能存在其他关系, 如对散点图 12.8 的数据去建立线性模型就大概会接受 H_0 , 但它明显地显示了二次函数关系.

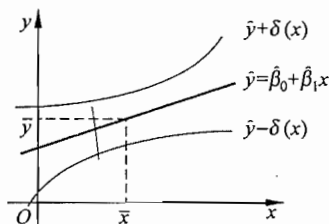


图 12.7 y 的预测区间示意图

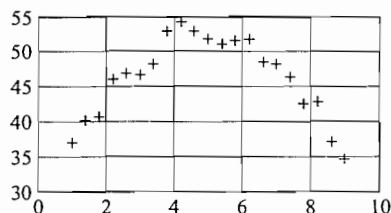


图 12.8 显示二次函数关系的散点图

12.2.5 一元线性回归的 MATLAB 实现

MATLAB 统计工具箱中用命令 regress 实现, 用法是:

```
b=regress(y,X)
```

```
[b,bint,r,rint,s]=regress(y,X,alpha)
```

输入 y (因变量, 列向量)、 X (1 与自变量组成的矩阵, 见下面的程序), α 是显著性水平 α (默认时设定为 0.05).

输出 $b = (\hat{\beta}_0, \hat{\beta}_1)$, 注意: b 中元素顺序与 polyfit 的输出相反, bint 是 β_0, β_1 的置信区间, r 是残差 (列向量), rint 是残差的置信区间, s 包含 4 个统计量: 第 1 个是决定系数 R^2 ((24) 式); 第 2 个是 F 值 ((28) 式); 第 3 个是 $F(1, n-2)$ 分布大于 F 值的概率 p , $p < \alpha$ 时拒绝 H_0 , 回归模型有效; 第 4 个是 s^2 (剩余方差)①

对本节例 1 和例 2 可编制如下程序:

```
y=[...]; % 已知的因变量数组
x=[...]; % 已知的自变量数组
```

① MATLAB 7.0 以前版本没有第 4 个统计量, s^2 可由程序 `sum(r.^2)/(n-2)` 计算.

```

n=...; % 已知的数据容量
X=[ones(n,1),x']; % 1 与自变量组成的输入矩阵
[b,bint,r,rint,s]=regress(y',X); % 回归分析程序( $\alpha=0.05$ )
b,bint,s, % 输出回归系数及其置信区间和统计量
rcoplot(r,rint) % 残差及其置信区间作图

```

例 1 计算得到

```

b = 98.4084 0.9732
bint = 78.7484 118.0683
      0.5601 1.3864
s = 0.4540 23.2834 0.0000 273.7137

```

这个结果可整理如表 12.6.

表 12.6 例 1(血压与年龄)的计算结果

回归系数	回归系数估计值	回归系数置信区间
β_0	98.4084	[78.7484 118.0683]
β_1	0.9732	[0.5601 1.3864]
$R^2=0.4540$ $F=23.2834$ $p<0.0001$ $s^2=273.7137$		

可知 $\hat{\beta}_0, \hat{\beta}_1$ 与 polyfit 计算的结果相同.

从几个方面都可检验模型是有效的: β_1 的置信区间不含零点; $p < \alpha$; 用 MATLAB 命令 finv(0.95,1,n-2) 计算得到 $F_{(1,n-2), 1-\alpha} = 4.1960 < F$. 但是 β_1 的置信区间较长, R^2 较小, 说明模型精度不高.

残差及其置信区间如图 12.9, 图中第 2 个点 (x_2, y_2) 残差的置信区间不包含零点, 可以认为这个数据是异常的(残差应服从均值为 0 的正态分布), 它偏离数据整体的变化趋势, 给模型的有效性和精度带来不利影响, 称异常点或离群点, 应予以剔除.

将原始数据中的第 2 个剔除后重新计算得到表 12.7.

表 12.7 例 1 剔除第 2 个数据后的计算结果

回归系数	回归系数估计值	回归系数置信区间
β_0	96.8665	[85.4771 108.2559]
β_1	0.9533	[0.7140 1.1925]
$R^2=0.7123$ $F=66.8358$ $p<0.0001$ $s^2=91.4305$		

可以看出 $\hat{\beta}_0, \hat{\beta}_1$ 变化不大, 但置信区间变短, R^2 和 F 变大, s^2 减小, 说明模型精度提高. 残差及其置信区间见图 12.10. 从图 12.10 又发现 2 个新的异常点(为什么会出现?), 剔除

它们后模型会有什么改进,请读者试验.

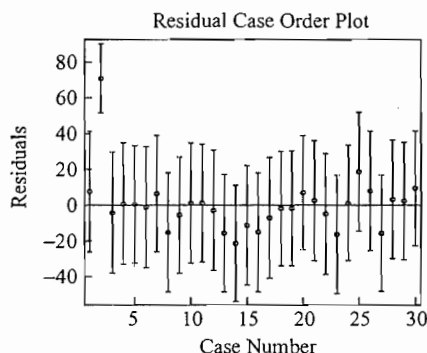


图 12.9 例 1 的残差及其置信区间

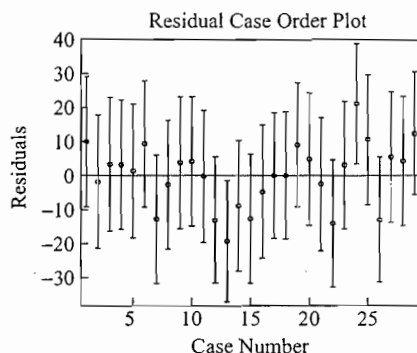


图 12.10 例 1 剔除 (x_2, y_2) 的残差及其置信区间

将上面得到的回归系数的估计值 $\hat{\beta}_0 = 96.8665, \hat{\beta}_1 = 0.9533$ 代入(29)式,对 50 岁 ($x_0 = 50$) 人的血压进行预测,得 $\hat{y}_0 = 144.5298$. 在 $\alpha = 0.05$ 下按照(30)式计算的预测区间为 $[124.5406, 164.5190]$, 按照简化的(31)式计算的预测区间为 $[125.7887, 163.2708]$.

例 2 的计算结果如表 12.8.

表 12.8 例 2(合金强度与碳含量)的计算结果

回归系数	回归系数估计值	回归系数置信区间
β_0	27.9473	[25.7205 30.1741]
β_1	131.8396	[118.3788 145.3005]
$R^2 = 0.9794 \quad F = 476.2462 \quad p < 0.0001 \quad s^2 = 0.7737$		

显然这个结果不仅能通过模型有效性检验,而且可以知道模型的精度比例 1 高. 另外,残差及其置信区间图也显示存在异常点,剔除后模型还会有改进,请读者试验.

12.2.6 “回归”一词的来历

回归(regression)是英国著名遗传学家 Francis Galton (1822—1911) 引入的,他在研究家族成员的相似性时发现:虽然一般说来高个子的父代会有高个子的子代,但是子代的身高比他们的父代更加趋向一致,即若父代身材高大,则他们的子代会趋向矮一些,而若父代身材矮小,则他们的子代会趋向高一些. 他把子代的身高向平均值靠拢的趋势称为“向平庸的回归”. 这种看法可由 Galton 的门徒 Karl Pearson (1857—1936) 的一项统计工作说明.

Pearson 测量了 1078 个父亲和他们的儿子的身高,散点图如图 12.11. 记父亲的身高为 x , 儿子的身高为 y , 单位是 in (1 in = 2.54 cm). 由这些数据得到:

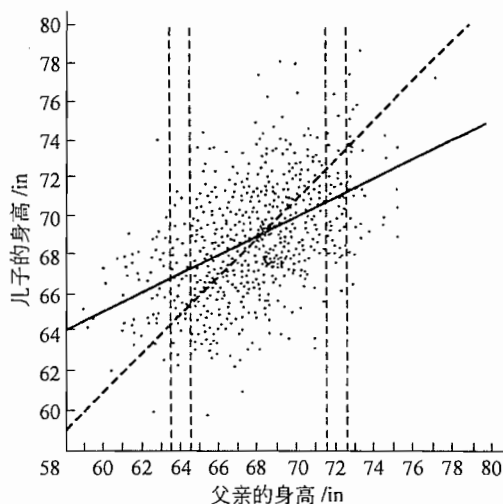


图 12.11 1078 个父亲和儿子身高的散点图

(1) $\bar{x} \approx 68, \bar{y} \approx 69$, 儿子比父亲平均高约 1in, 图中用 45° 角的虚线表示这个关系;

(2) 对于身高 72in 的父亲(图中用 $x=71.5$ 和 72.5 的两条竖直虚线之间的点表示), 儿子的身高多数不到 73in(上述两条虚线间的点, 多数在 45° 虚线之下), 平均身高约 71in;

(3) 对于身高 64in 的父亲(图中用 $x=63.5$ 和 64.5 的两条竖直虚线之间的点表示), 儿子的身高多数超过 65in(上述两条虚线间的点, 多数在 45° 虚线之上), 平均身高约 67in;

(4) x, y 之间的回归直线(图中实线)是 $y=0.516x+33.73$.

12.3 多元线性回归分析

如果人们根据知识、经验或者观察等认为与因变量 y 有关联性的自变量不止一个, 那么就应该用最小二乘准则建立多元线性回归模型.

设影响因变量 y 的主要因素(自变量)有 m 个, 记 $x=(x_1, \dots, x_m)$, 其他随机因素的总和仍用随机变量 ϵ 表示, 假定一元线性回归的 4 条基本假设可以推广到多元, 则多元线性回归模型可记作

$$\begin{cases} y = \beta_0 + \beta_1 x_1 + \dots + \beta_m x_m + \epsilon, \\ \epsilon \sim N(0, \sigma^2). \end{cases} \quad (34)$$

12.3.1 回归系数的最小二乘估计

现得到 n 个独立观测数据 $(y_i, x_{i1}, \dots, x_{im})$ ($i=1, \dots, n, n>m$), 由(34)式得

$$\begin{cases} y_i = \beta_0 + \beta_1 x_{i1} + \dots + \beta_m x_{im} + \epsilon_i, \\ \epsilon_i \sim N(0, \sigma^2), \quad i = 1, \dots, n. \end{cases} \quad (35)$$

记

$$\mathbf{X} = \begin{bmatrix} 1 & x_{11} & \dots & x_{1m} \\ \vdots & \vdots & & \vdots \\ 1 & x_{n1} & \dots & x_{nm} \end{bmatrix}, \quad \mathbf{Y} = \begin{bmatrix} y_1 \\ \vdots \\ y_n \end{bmatrix}, \quad \boldsymbol{\epsilon} = \begin{bmatrix} \epsilon_1 \\ \vdots \\ \epsilon_n \end{bmatrix}, \quad \boldsymbol{\beta} = [\beta_0, \beta_1, \dots, \beta_m]^T. \quad (36)$$

(35)式表示为

$$\begin{cases} \mathbf{Y} = \mathbf{X}\boldsymbol{\beta} + \boldsymbol{\epsilon}, \\ \boldsymbol{\epsilon} \sim N(\mathbf{0}, \sigma^2 \mathbf{I}). \end{cases} \quad (37)$$

为了根据最小二乘准则估计模型(34)中的参数 $\boldsymbol{\beta}$, 由(37)式这组数据的误差平方和为

$$Q(\boldsymbol{\beta}) = \sum_{i=1}^n \epsilon_i^2 = (\mathbf{Y} - \mathbf{X}\boldsymbol{\beta})^T (\mathbf{Y} - \mathbf{X}\boldsymbol{\beta}). \quad (38)$$

利用极值的必要条件 $\frac{\partial Q}{\partial \beta_j} = 0$ ($j=0, 1, \dots, m$), 求 $\boldsymbol{\beta}$ 使 $Q(\boldsymbol{\beta})$ 最小, 得到方程组

$$\mathbf{X}^T (\mathbf{Y} - \mathbf{X}\boldsymbol{\beta}) = \mathbf{0}. \quad (39)$$

该方程组的解

$$\hat{\boldsymbol{\beta}} = (\mathbf{X}^T \mathbf{X})^{-1} \mathbf{X}^T \mathbf{Y} \quad (40)$$

称为 $\boldsymbol{\beta}$ 的最小二乘估计. 与一元线性回归一样, $\hat{\boldsymbol{\beta}}$ 是 $\boldsymbol{\beta}$ 的线性无偏最小方差估计.

思考 说明: $m=1$ 时(40)式的结果与(8)式相同; \mathbf{X} 具有什么性质 $\mathbf{X}^T \mathbf{X}$ 才可逆; 实际问题中怎样保证 \mathbf{X} 具有这种性质; $n>m$ 的要求为什么是必要的.

如果将数据先“中心化”, 即令 $\tilde{x}_{ij} = x_{ij} - \bar{x}_j$, $\tilde{y}_i = y_i - \bar{y}$, 这里 \bar{x}_j 是 x_{1j}, \dots, x_{nj} 的均值 ($j=1, \dots, m$), \bar{y} 是 y_1, \dots, y_n 的均值, 且记

$$\tilde{\mathbf{X}} = \begin{bmatrix} \tilde{x}_{11} & \dots & \tilde{x}_{1m} \\ \vdots & & \vdots \\ \tilde{x}_{n1} & \dots & \tilde{x}_{nm} \end{bmatrix}, \quad \tilde{\mathbf{Y}} = \begin{bmatrix} \tilde{y}_1 \\ \vdots \\ \tilde{y}_n \end{bmatrix}, \quad \tilde{\boldsymbol{\beta}} = [\tilde{\beta}_1, \dots, \tilde{\beta}_m]^T. \quad (41)$$

则与(35)~(40)式等价的结果是

$$\tilde{\boldsymbol{\beta}} = (\tilde{\mathbf{X}}^T \tilde{\mathbf{X}})^{-1} \tilde{\mathbf{X}}^T \tilde{\mathbf{Y}}, \quad \tilde{\beta}_0 = \bar{y} - (\tilde{\beta}_1 \bar{x}_1 + \dots + \tilde{\beta}_m \bar{x}_m). \quad (42)$$

即

$$\hat{\tilde{\beta}}_1 = \hat{\beta}_1, \quad \dots, \quad \hat{\tilde{\beta}}_m = \hat{\beta}_m.$$

12.3.2 多元线性回归的统计分析

一元线性回归统计分析的结果都可推广到多元线性回归.

(1) 误差方差 σ^2 的估计

将 $\hat{\beta}$ 代入模型(34)得到 y 的估计值

$$\hat{y} = \hat{\beta}_0 + \hat{\beta}_1 x_1 + \cdots + \hat{\beta}_m x_m. \quad (43)$$

残差 e_i 及残差平方和 Q 的定义仍为(10)式和(11)式,而剩余方差(σ^2 的无偏估计)为

$$s^2 = \hat{\sigma}^2 = \frac{Q}{n - m - 1}. \quad (44)$$

因为模型中参数的个数为 $m+1$, 所以 Q 的自由度是 $n - (m+1)$.

(2) 回归系数 β 的区间估计和假设检验

可以证明在多元线性回归的基本假设下, $\hat{\beta}$ 和 Q 具有如下的性质:

$$\hat{\beta}_j \sim N(\beta_j, \sigma^2 c_{jj}), \quad j = 1, \cdots, m, \quad (45)$$

$$Q/\sigma^2 \sim \chi^2(n - m - 1), \quad (46)$$

且 $\hat{\beta}$ 和 Q 相互独立, 其中 c_{jj} 是矩阵 $(\tilde{X}^T \tilde{X})^{-1}$ 的第 j 对角元素. 根据 t 分布的定义由(44)~(46)式可得 t 统计量

$$t_j = \frac{(\hat{\beta}_j - \beta_j)/\sigma \sqrt{c_{jj}}}{\sqrt{Q/(n - m - 1)} \sigma^2} = \frac{\hat{\beta}_j - \beta_j}{s \sqrt{c_{jj}}} \sim t(n - 2). \quad (47)$$

给定显著性水平 α , $t(n-2)$ 的 $1-\alpha/2$ 分位数为 $t_{(n-2), 1-\alpha/2}$, β_j 的置信区间 ($j=1, \cdots, m$) 是

$$[\hat{\beta}_j - t_{(n-2), 1-\alpha/2} s \sqrt{c_{jj}}, \quad \hat{\beta}_j + t_{(n-2), 1-\alpha/2} s \sqrt{c_{jj}}]. \quad (48)$$

与一元线性回归类似地提出如下 m 个假设检验 ($j=1, \cdots, m$):

$$H_0^{(j)}: \beta_j = 0, \quad H_1^{(j)}: \beta_j \neq 0. \quad (49)$$

用 t 检验法检验 $H_0^{(j)}$: 由(47)式当

$$|t_j| = \left| \frac{\hat{\beta}_j}{s \sqrt{c_{jj}}} \right| > t_{(n-2), 1-\alpha/2} \quad (50)$$

时拒绝 $H_0^{(j)}$. 根据置信区间(48)是否包含零点, 也可以检验 $H_0^{(j)}$ 是否成立.

β_0 的置信区间为

$$\left[\hat{\beta}_0 - t_{(n-2), 1-\alpha/2} s \sqrt{\bar{x}^T (\tilde{X}^T \tilde{X})^{-1} \bar{x} + \frac{1}{n}}, \quad \hat{\beta}_0 + t_{(n-2), 1-\alpha/2} s \sqrt{\bar{x}^T (\tilde{X}^T \tilde{X})^{-1} \bar{x} + \frac{1}{n}} \right], \quad (51)$$

其中 $\bar{x}^T = (\bar{x}_1, \cdots, \bar{x}_m)$.

(3) 模型的有效性检验——决定系数和 F 统计量

与一元线性回归相同, 总偏差平方和 S 可以分解为回归平方和 U 与残差平方和 Q 之和, 决定系数 R^2 的定义也完全与(22)式~(24)式一样, 它表示在因变量的总变化量中由自变量决定的那部分的比例.

作为模型整体的有效性检验,提出假设检验:

$$H_0: \beta_1 = \beta_2 = \cdots = \beta_m = 0. \quad (52)$$

可以证明当 H_0 成立时

$$U/\sigma^2 \sim \chi^2(m), \quad (53)$$

且 U 和 Q 相互独立. 于是根据(47)式和 F 分布的定义可以选择 F 统计量

$$F = \frac{U/m}{Q/(n-m-1)} \sim F(m, n-m-1). \quad (54)$$

给定显著性水平 α , $F(m, n-m-1)$ 的 $1-\alpha$ 分位数记作 $F_{(m, n-m-1), 1-\alpha}$, 当由(54)式计算的 $F > F_{(m, n-m-1), 1-\alpha}$ 时拒绝 H_0 , 模型(34)整体有效, 但不排除有若干个 $\beta_j = 0$ (可由假设检验(49)解决).

12.3.3 利用多元线性回归模型进行预测

当模型(34)通过有效性检验后, 可由自变量的任一给定值 $x = (x_1, \cdots, x_m)$ 预测因变量的理论值 y , 记作 \hat{y} , 显然

$$\hat{y} = \hat{\beta}_0 + \hat{\beta}_1 x_1 + \cdots + \hat{\beta}_m x_m. \quad (55)$$

与一元线性回归一样, \hat{y} 是无偏的, 并且均方误差 $E(\hat{y} - y)^2$ 最小.

在给定显著性水平 α 下 y 的预测区间为

$$[\hat{y} - \delta(x), \hat{y} + \delta(x)], \quad \delta(x) = t_{(n-2), 1-\alpha/2} S \sqrt{(x - \bar{x})^T (\tilde{X}^T \tilde{X})^{-1} (x - \bar{x}) + \frac{1}{n} + 1}. \quad (56)$$

当 n 很大且 x 接近 \bar{x} 时, 上述预测区间简化为

$$[\hat{y} - u_{1-\alpha/2} S, \hat{y} + u_{1-\alpha/2} S]. \quad (57)$$

12.3.4 多元线性回归的 MATLAB 实现

仍然用命令 `regress(y, X)`, 只需注意输入矩阵 X 的构成恰如(36)式定义的 X , 如对12.1.2节血压与年龄、体重指数、吸烟习惯, 编制如下程序:

```
y=[...]; % 已知的因变量数组(血压)
x1=[...]; % 已知的自变量数组(年龄)
x2=[...]; % 已知的自变量数组(体重指数)
x3=[...]; % 已知的自变量数组(吸烟习惯)
n=30; % 数据容量
m=3; % 自变量个数
X=[ones(n,1), x1', x2', x3']; % 输入矩阵
[b, bint, r, rint, s]=regress(y', X); % 回归分析程序( $\alpha=0.05$ )
b, bint, s; % 输出回归系数及其置信区间和统计量
```

计算得到的结果如表 12.9.

表 12.9 12.1.2 节的计算结果

回归系数	回归系数估计值	回归系数置信区间
β_0	45.3636	[3.5537 87.1736]
β_1	0.3604	[-0.0758 0.7965]
β_2	3.0906	[1.0530 5.1281]
β_3	11.8246	[-0.1482 23.7973]
$R^2 = 0.6855 \quad F = 18.8906 \quad p < 0.0001 \quad s^2 = 169.7917$		

从残差及其置信区间的图发现第 2 和第 10 个点为异常点,剔除它们重新计算得到表 12.10.

表 12.10 12.1.2 节剔除第 2 和第 10 个数据后的计算结果

回归系数	回归系数估计值	回归系数置信区间
β_0	58.5101	[29.9064 87.1138]
β_1	0.4303	[0.1273 0.7332]
β_2	2.3449	[0.8509 3.8389]
β_3	10.3065	[3.3878 17.2253]
$R^2 = 0.8462 \quad F = 44.0087 \quad p < 0.0001 \quad s^2 = 53.6604$		

由它得到的预测模型为 $\hat{y} = 58.5101 + 0.4303x_1 + 2.3449x_2 + 10.3065x_3$.

由这个结果可知,年龄和体重指数相同的人,吸烟者比不吸烟者的血压(平均)高 10.3. 另外,这里 $\hat{\beta}_1 = 0.4303$ (即年龄增加 1 岁血压升高 0.43),而例 1 中 $\hat{\beta}_1 = 0.9533$,你能解释为何有这么大的差别吗?

对 50 岁、体重指数 25 的吸烟者的血压作预测:将 $x_1 = 50, x_2 = 25, x_3 = 1$ 代入上面的预测模型得 $\hat{y} = 148.9525$,在 $\alpha = 0.05$ 下按照(56)式计算的预测区间为 [133.1716, 164.7334],按照简化的(57)式计算的预测区间为 [134.5951, 163.3099].

12.3.5 线性最小二乘拟合与多元线性回归的一般形式

上面关于线性最小二乘拟合及一元和多元线性回归的论述中,因变量 y 都是自变量 x 或 $x = (x_1, \dots, x_m)$ 的线性函数,虽然这里“元”指的是自变量 x ,但是线性最小二乘拟合与线性回归中的“线性”并非指 y 与 x 的关系,而是指 y 是系数 β_0, β_1 或 $\beta = (\beta_0, \beta_1, \dots, \beta_m)$ 的线性函数(见(3)式和(34)式). 当且仅当 y 对系数 β 是线性的,按照最小二乘

准则得到的、求解 β 的方程就一定是线性方程(见(6)式和(39)式)。

拟合如 $y = \beta_0 + \beta_1 x^2$, $y = \beta_0 + \beta_1 e^{x_1} + \beta_2/x_2$ 的函数仍然是线性最小二乘拟合或线性回归;若拟合如 $y = \beta_0 e^{\beta_1 x}$ 的曲线,虽然 y 对系数 β_0, β_1 是非线性的,但是取对数后 $\ln y$ 对系数 β_0, β_1 仍是线性的,属于可化为线性回归的类型。本质上的非线性回归将在 12.4 节介绍。

线性最小二乘拟合与多元线性回归的一般形式可写作

$$\begin{cases} y = \beta_0 + \beta_1 r_1(x) + \cdots + \beta_m r_m(x) + \epsilon, \\ \epsilon \sim N(0, \sigma^2). \end{cases} \quad (58)$$

其中 $x = (x_1, \dots, x_k)$, $r_j(x)$ ($j=1, \dots, m$) 是已知函数。显然,只需用变量代换将 $r_j(x)$ 化为新的变量, (58) 式就与前面讨论的模型(34)完全一样。

12.3.6 多元线性回归中的交互作用

我们通过 12.1.3 节关于软件开发人员的薪金问题说明如何发现交互作用的存在, 和怎样处理交互作用以改进模型。

对于 12.1.3 节的模型

$$y = \beta_0 + \beta_1 x_1 + \beta_2 x_2 + \beta_3 x_3 + \beta_4 x_4 + \epsilon, \quad (59)$$

用 MATLAB 统计工具箱的命令 regress 计算, 得到回归系数及其置信区间、统计量 R^2 , F , p 及 s^2 (σ^2 的无偏估计) 的结果(显著性水平 $\alpha=0.05$), 见表 12.11。

表 12.11 12.1.3 节的计算结果

回归系数	回归系数估计值	回归系数置信区间
β_0	11033	[10258 11807]
β_1	546	[484 608]
β_2	6883	[6248 7517]
β_3	-2994	[-3826 -2162]
β_4	148	[-636 931]
$R^2=0.9567 \quad F=226.4258 \quad p<0.0001 \quad s^2=1.0571 \times 10^6$		

表中各个回归系数的含义可初步解释如下: x_1 的系数说明, 资历增加 1 年薪金增长 546; x_2 的系数说明, 管理人员的薪金比非管理人员多 6883; x_3 的系数说明, 中学程度的薪金比研究生少 2994; x_4 的系数说明, 大学程度的薪金比研究生多 148, 但是应该注意到 β_4 的置信区间包含零点, 所以这个系数的解释是不可靠的。当然这些解释是就平均值而言, 并且某一个自变量改变引起的因变量的变化量, 都是在其他自变量不变的条件下才成立的。

从结果看, $R^2=0.9567$, 即因变量(薪金)总变化量的约 96% 可由自变量确定, p 远小于 α , 因而模型从整体来看是有效的. 但是由于 β_4 的置信区间包含零点, 应接受 $\beta_4=0$ 的假设检验, 这样就要排除教育水平对薪金的影响, 显然不够合理, 需要对模型(59)作改进.

(1) 用残差分析发现交互作用

为寻找改进的方向常用残差分析方法, 这里残差 $e_i = \hat{\epsilon}_i = y_i - \hat{y}_i (i=1, \dots, n)$ 由 MATLAB 输出中的 r (向量)给出. 因为在线性回归的基本假设 $\epsilon \sim N(0, \sigma^2)$ 下, 如果模型(59)合适, 残差 e 应大致服从 $N(0, \sigma^2)$. 所谓残差分析, 就是观察 e 是否服从 $N(0, \sigma^2)$ (当自变量一定时), 若否, 则应设法改进模型.

为了分析残差与诸自变量之间的关系, 将自变量分成资历 x_1 与管理-教育水平组合 $x_2 \sim x_4$ 两类, 2 个管理水平和 3 个教育水平组合成管理-教育的 6 个水平, 其定义如表 12.12. 然后画出 e 与资历 x_1 的散点图(图 12.12), 及 e 与管理-教育组合 $x_2 \sim x_4$ 的散点图(图 12.13).

表 12.12 管理-教育水平组合

管理水平	0	1	0	1	0	1
教育水平	1	1	2	2	3	3
组合水平	1	2	3	4	5	6

从图 12.12 看, 残差虽然大致上均值为 0、方差为常数, 但明显地分布在 3 个区域, 不是正态分布; 从图 12.13 看, 对于管理-教育组合的前 4 个水平, 残差或者全为正, 或者全为负, 均值明显不为 0, 更是远离正态分布. 以上现象表明管理-教育组合在模型中处理不当, 这是由于 6 个水平的管理-教育组合混在一起, 在模型中未被正确反映的结果.

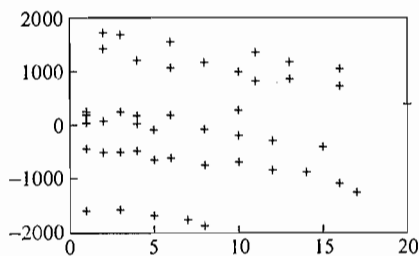


图 12.12 模型(59) e 与 x_1 的散点图

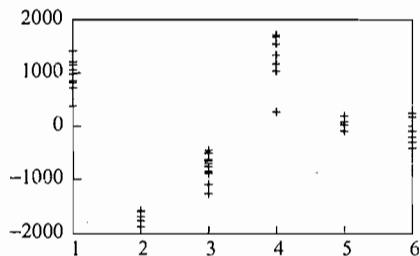


图 12.13 模型(59) e 与组合 $x_2 \sim x_4$ 的散点图

模型(59)中管理水平和教育水平是分别起作用的, 而实际上, 二者可能起着交互作用, 如大学水平的管理人员的薪金的增加(与中学水平的非管理人员相比), 会比大学水平薪金的增加(与中学水平相比)与管理人员薪金的增加(与非管理人员相比)之和高一点.

以上分析提示我们, 应在基本模型(59)中增加管理水平 x_2 与教育水平 x_3, x_4 的交互

项,建立新的回归模型.

(2) 增加交互作用的模型

增加 x_2 与 x_3, x_4 之间最简单的交互项——乘积项,模型可记作

$$y = \beta_0 + \beta_1 x_1 + \beta_2 x_2 + \beta_3 x_3 + \beta_4 x_4 + \beta_5 x_2 x_3 + \beta_6 x_2 x_4 + \varepsilon. \quad (60)$$

这仍是多元线性回归模型. 利用 MATLAB 的统计工具箱计算得到的结果如表 12.13.

表 12.13 模型(60)的计算结果

回归系数	回归系数估计值	回归系数置信区间
β_0	11204	[11044 11363]
β_1	497	[486 508]
β_2	7048	[6841 7255]
β_3	-1727	[-1939 -1514]
β_4	-348	[-545 -152]
β_5	-3071	[-3372 -2769]
β_6	1836	[1571 2101]
$R^2=0.9988 \quad F=554.48 \quad p<0.0001 \quad s^2=3.0047 \times 10^4$		

可知模型(60)的 R^2 , F 值和 s^2 都比模型(59)有所改进,并且所有回归系数的置信区间都不含零点,表明模型(60)是完全有效的.

与模型(59)类似,作模型(60)的两个残差分析图(图 12.14、图 12.15),可以看出,已经消除了图 12.12、图 12.13 中的不正常现象,这也说明了模型(60)的适用性.

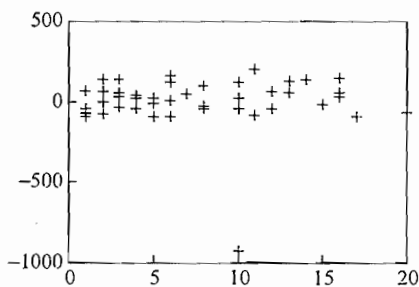


图 12.14 模型(60) e 与 x_1 的散点图

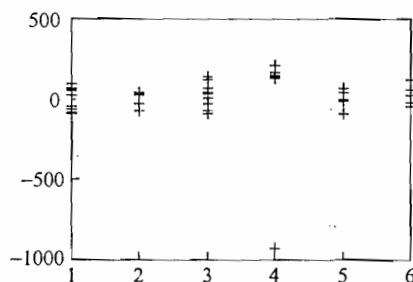


图 12.15 模型(60) e 与组合 $x_2 \sim x_4$ 的散点图

从图 12.14、图 12.15 还可以发现一个异常点:具有 10 年资历、大学程度的那位管理人员的实际薪金明显地低于模型的估计值. 从表 12.3 查出他是 33 号,这可能是由我们未知的原因造成的. 用 MATLAB 命令 `rcoplot(r,rint)` 作图,也可以发现这个异常点.

将这个异常点去掉,对模型(60)重新估计回归系数,得到的结果如表 12.14,残差分析图见图 12.16、图 12.17.可以看出,去掉异常点后结果又有改善.

表 12.14 模型(60)去掉异常点后的计算结果

回归系数	回归系数估计值	回归系数置信区间
β_0	11200	[11139 11261]
β_1	498	[494 503]
β_2	7041	[6962 7120]
β_3	-1737	[-1818 -1656]
β_4	-356	[-431 -281]
β_5	-3056	[-3171 -2942]
β_6	1997	[1894 2100]

$R^2=0.9998$ $F=36701$ $p<0.0001$ $s^2=4.3474\times 10^3$

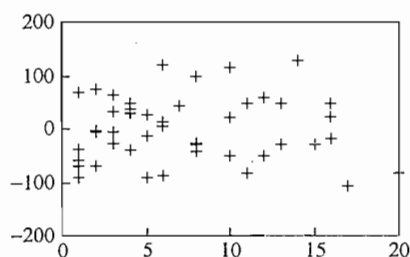


图 12.16 模型(60)去掉异常点后 e 与 x_1 的散点图

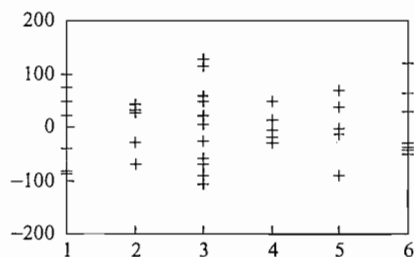


图 12.17 模型(60)去掉异常点后 e 与组合 $x_2 \sim x_4$ 的散点图

作为这个模型的应用之一,不妨用它来“制订”管理-教育组合 6 个水平人员的“基础”薪金(即资历为零的薪金,当然,这也是平均意义上的).利用模型(60)和表 12.14 可以得到表 12.15.

表 12.15 管理-教育组合 6 个水平人员的“基础”薪金

组合水平	管理水平	教育水平	系数	“基础”薪金
1	0	1	$\beta_0 + \beta_3$	9463
2	1	1	$\beta_0 + \beta_2 + \beta_3 + \beta_5$	13448
3	0	2	$\beta_0 + \beta_4$	10844
4	1	2	$\beta_0 + \beta_2 + \beta_4 + \beta_6$	19882
5	0	3	β_0	11200
6	1	3	$\beta_0 + \beta_2$	18241

可以看出,大学水平的管理人员的薪金比研究生水平的管理人员的薪金高,而大学水平的非管理人员的薪金比研究生水平的非管理人员的薪金略低.当然,这是根据这家公司实际数据建立的模型得到的结果,并不具普遍性.

12.3.7 多项式回归

多项式回归仍然属于多元线性回归,我们通过实例说明什么时候会用到多项式回归,以及 MATLAB 软件处理它时有什么特别的地方.

例 3 西红柿的施肥量与产量

为了研究西红柿的施肥量对产量的影响,科研人员对 14 块大小一样的土地施加不同数量的肥料,收获时记录西红柿的产量,并在整个耕作过程中尽量保持其他条件相同,得到的结果如表 12.16. 建立施肥量与产量关系的回归模型,使之能从施肥量对西红柿的产量作出预报.

表 12.16 14 块土地西红柿的施肥量和产量

地块序号	产量/L	施肥量/kg	地块序号	产量/L	施肥量/kg
1	1035	6.0	8	960	11.5
2	624	2.5	9	990	5.5
3	1084	7.5	10	1050	6.5
4	1052	8.5	11	839	4.0
5	1015	10.0	12	1030	9.0
6	1066	7.0	13	985	11.0
7	704	3.0	14	855	12.5

模型的建立和求解

首先以施肥量为自变量 x , 产量为因变量 y , 画出所给数据的散点图, 如图 12.18. 可以看出, 随着施肥量 x 的增加产量 y 先是增加, 但当 x 过多后 y 反而减少, 这符合农业常识, 所以不应拟合线性函数, 可能是二次函数比较合适, 所以建立如下的回归模型:

$$y = \beta_0 + \beta_1 x + \beta_2 x^2 + \epsilon. \quad (61)$$

如记 $x_1 = x, x_2 = x^2$, (61) 式仍属于 (58) 式所示的多元线性回归模型, 可用 MATLAB 命令 regress 求解, 将回归系数的估计值代入 (61) 式得到 y 的预测方程为

$$\hat{y} = 175.62 + 217.87x - 13.15x^2. \quad (62)$$

回归系数置信区间和统计量等输出从略(结果显示可通过模型的有效性检验).

(61) 式又称二项式回归, 一元多项式回归模型的一般形式为

$$y = \beta_0 + \beta_1 x + \cdots + \beta_m x^m + \varepsilon. \quad (63)$$

用 MATLAB 求解一元多项式回归,除了 `polyfit(x,y,m)` 外,还有更方便的命令:

`Polytool(x,y,m,alpha)`

输入 x, y, m 同 `polyfit`, α 是显著性水平 α (默认时设定为 0.05), 输出一个如图 12.19 的交互式画面, 实线(屏幕上显示为绿色)为多项式回归曲线 y , 它两侧的虚线(屏幕上显示为红色)标出 y 的置信区间. x 的数值可以用鼠标移动来改变, 也可以在图下方的窗口内输入, 图左边相应地给出 y 的预测值及其置信区间. 通过图左下方的 Export 下拉式菜单, 还可以输出回归系数估计值及其置信区间、残差等.

你不妨试试看, 用以上 3 种办法是否会得到相同的结果.

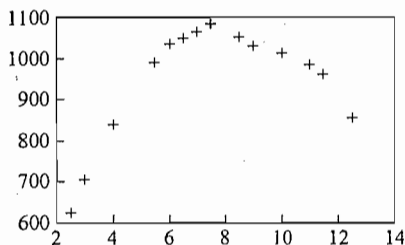


图 12.18 西红柿施肥量与产量的散点

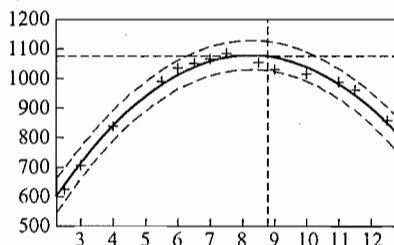


图 12.19 西红柿施肥量与产量回归模型输出的交互式画面

例 4 商品销售量与价格

某厂生产的一种电器的销售量 y 与竞争对手的价格 x_1 和本厂的价格 x_2 有关. 表 12.17 是该商品在 10 个城市的销售记录, 根据这些数据建立 y 与 x_1 和 x_2 的关系. 若某市本厂产品售价 160(元), 竞争对手售价 170(元), 预测该市的销售量.

表 12.17 商品销售量 y 与价格 x_1 和 x_2

x_1 /元	120	140	190	130	155	175	125	145	180	150
x_2 /元	100	110	90	150	210	150	250	270	300	250
y /个	102	100	120	77	46	93	26	69	65	85

模型的建立和求解 作表 12.17 数据 $(x_1, y), (x_2, y)$ 的散点图如图 12.20, 可以看出 y 与 x_2 有较明显的线性关系, 而 y 与 x_1 之间的关系难以确定, 需要试验不同的回归模型, 用统计分析决定优劣.

首先建立最简单的一次函数的回归模型

$$y = \beta_0 + \beta_1 x_1 + \beta_2 x_2 + \varepsilon. \quad (64)$$

用 MATLAB 命令 `regress` 求解, 得到结果如表 12.18.

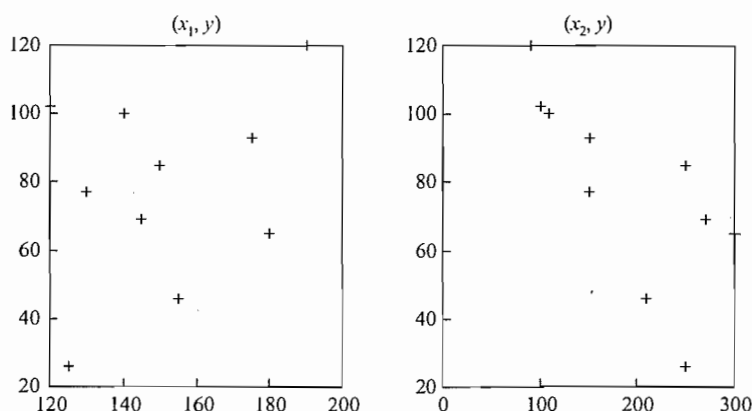
图 12.20 商品销售量 y 与价格 x_1 和 x_2 的散点图

表 12.18 模型(64)的计算结果

回归系数	回归系数估计值	回归系数置信区间
β_0	66.5176	$[-32.5060 \quad 165.5411]$
β_1	0.4139	$[-0.2018 \quad 1.0296]$
β_2	-0.2698	$[-0.4611 \quad -0.0785]$
$R^2 = 0.6527 \quad F = 6.5786 \quad p = 0.0247 \quad s^2 = 351.0445$		

可以看出结果不是太好: $p = 0.0247$, 取 $\alpha = 0.05$ 时回归模型(64)有效, 但取 $\alpha = 0.01$ 则模型不能用; R^2 较小; β_1 的置信区间包含零点。

作为模型(64)的改进, 建立二次函数的回归模型如

$$y = \beta_0 + \beta_1 x_1 + \beta_2 x_2 + \beta_3 x_1^2 + \beta_4 x_2^2 + \epsilon, \quad (65)$$

$$y = \beta_0 + \beta_1 x_1 + \beta_2 x_2 + \beta_3 x_1 x_2 + \beta_4 x_1^2 + \beta_5 x_2^2 + \epsilon. \quad (66)$$

它们仍是多元线性回归模型, 可用 MATLAB 命令 `regress` 求解。

(65)式、(66)式属于二元二项式回归, 更一般的多元二项式回归模型可表为

$$y = \beta_0 + \beta_1 x_1 + \cdots + \beta_m x_m + \sum_{1 \leq j, k \leq m} \beta_{jk} x_j x_k + \epsilon. \quad (67)$$

MATLAB 统计工具箱提供了一个很方便的多元二项式回归的命令:

```
rstool(x,y,'model',alpha)
```

输入 x 为自变量 ($n \times m$ 矩阵, n 是数据容量), y 为因变量 (n 维向量), α 为显著性水平 α (默认时设定为 0.05), `model` 从下列 4 个模型中选择 1 个 (用字符串输入, 默认时设定为线性模型):

linear(只包含线性项);

purequadratic(包含线性项和纯二次项);

interaction(包含线性项和纯交互项);

quadratic(包含线性项和完全二次项,如(67)式).

输出一个交互式画面.

对例 4 如选择模型(65),编程如下:

```
x1=[...];           % 自变量 x1 数组
x2=[...];           % 自变量 x2 数组
y=[...];            % 因变量 y 数组
x=[x1' x2'];        % 自变量矩阵
rstool(x,y,'purequadratic') % 包含线性项和纯二次项的回归
```

得到一个如图 12.21 的交互式画面,左边一幅图形是 x_2 固定时(图中为 188)的曲线 $y(x_1)$ 及其置信区间,右边一幅图形是 x_1 固定时(图中为 151)的曲线 $y(x_2)$ 及其置信区间. 移动鼠标(或在图下方窗口内输入)可改变 x_1, x_2 , 图左边给出 y 的预测值及其置信区间. 为了回答例中“若某市本厂产品售价 160(元),竞争对手售价 170(元),预测该市的销售量”的问题,只需输入 $x_1=170, x_2=160$,即可得到 $\hat{y}=82.0523 \approx 82$, 置信区间为 82.0523 ± 55.8617 , 即大约是 $[26, 138]$, 一个太大的区间.

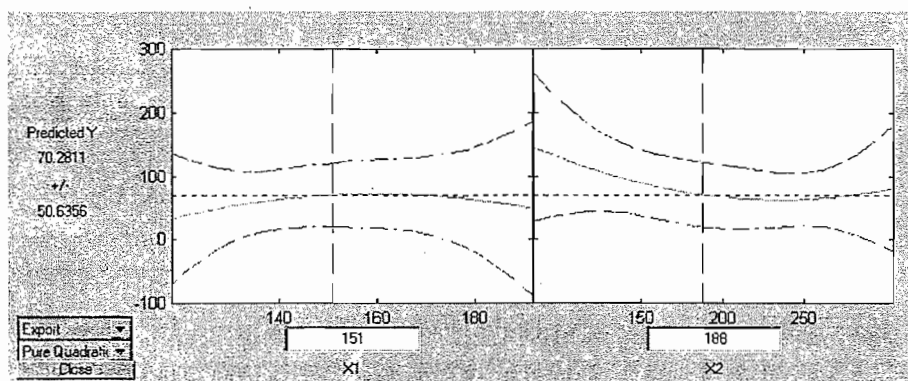


图 12.21 商品销售量与价格模型的一个交互式画面

图的左下方有两个下拉式菜单,上面的菜单 Export 用以向 MATLAB 工作区传送数据,包括回归系数 β (菜单中为 Parameters, 工作区输入 beta), 剩余标准差 s (菜单中为 RMSE, 工作区输入 rmse)等. 下面的菜单用以在上述 4 个模型中变更原来的选择.

对于例 4 我们将 4 个模型输出的回归系数 β 和剩余标准差 s 列入表 12.19, 发现模型 purequadratic(即模型(65))的 s 最小, 可以选作最终模型.

表 12.19 商品销售量与价格的 4 个模型的输出

	β_0	β_1	β_2	β_3	β_4	β_5	s
purequadratic	-312.5871	7.2701	-1.7337	-0.0228	0.0037		16.6436
quadratic	-307.3600	7.2032	-1.7374	0.0001	-0.0226	0.0037	18.6064
interaction	137.5317	-0.0372	-0.7131	0.0028			19.1626
linear	66.5176	0.4139	-0.2698				18.7362

12.3.8 变量选择与逐步回归

实际问题中影响因变量的因素可能很多,除了自变量 x_1, x_2, \dots, x_m 外,还会有它们的简单函数如 $x_i^2, 1/x_i, e^{x_i}, \ln x_i (i \in \{1, 2, \dots, m\})$ 等. 从应用的角度我们既希望将所有对因变量影响显著的因素都纳入回归模型,又希望最终的模型尽量简单,即包含尽量少的因素,这就涉及所谓的“变量选择”问题.

(1) 变量选择的标准

简单地说就是所有对因变量影响显著的变量都应选入模型,而影响不显著的变量都不应选入模型. 最常用的数量标准之一是剩余方差 s^2 ,即以 s^2 最小的模型为最终模型.

若候选的变量集合为 $S = \{x_1, x_2, \dots, x_k\}$,其中包含自变量 x_1, x_2, \dots, x_m 和它们的简单函数(如上述),从 S 中选出一个子集 S_1 ,设 S_1 中有 p 个变量 ($p \leq k$),由 S_1 和因变量 y 构造的线性回归模型的残差平方和为 Q ,由(44)式知模型的剩余方差为 $s^2 = Q/(n-p-1)$, n 为数据容量. 改变子集 S_1 中的变量使 s^2 尽量小,通常线性回归模型中包含的自变量越多,残差平方和 Q 越小,但若模型中增加的是对 y 影响很小的变量,那么 s^2 的分子 Q 由于这些变量的加入只会减少一点,分母却因 p 的增加而有可观的减少(尤其当 n 不太大时),于是可能使 s^2 反而变大,因此将剩余方差 s^2 最小作为衡量变量选择的数量指标,可以达到最终模型中只包含重要变量的目的.

当候选集合 S 中的变量数目不大时,可以用枚举法从所有子集中选出 s^2 最小的最终模型,而逐步回归是一种迭代式的选择重要变量的方法.

(2) 逐步回归

逐步回归的基本思路为,先从候选集合中确定一初始子集,然后每次从子集外(候选集合内)引入一个对 y 影响显著的变量,再对原来子集中的变量一一进行检验,剔除那些影响变得不显著的变量,如此迭代式地进行引入和剔除,直到不能进行为止.

使用逐步回归有两点值得注意,一是选择衡量影响显著程度的统计量,通常用的是偏 F 统计量(由引入或剔除变量后回归平方和的改变量来定义),二是要适当地选取引入变量的显著性水平 α_{in} 和剔除变量的显著性水平 α_{out} ,调整 α_{in} 和 α_{out} 的大小可以控制引入和剔

除的松紧度,以便控制最终模型内的自变量数目.

逐步回归中可能出现这样的现象:在引入新的变量后原来模型内影响显著的变量变得不显著,从而被剔除,这是由于自变量之间存在相关性的缘故.顺便指出,在回归模型中如果某些自变量之间的线性相关性很强,那么数据矩阵 X ((36)式)的相应的列向量就会接近于线性相关,从而使矩阵 $X^T X$ 病态,给回归系数的求解((40)式)带来困难,并且回归系数的置信区间((48)式)会很大,不利于模型的应用.这种现象在回归分析中称多重共线性,应该尽量选取相互独立性强的自变量,避免这种现象.

(3) MATLAB 中的逐步回归

MATLAB 统计工具箱中的逐步回归命令是 `stepwise`,它并没有按照上述步骤自动迭代,而是提供几个交互式画面,让你自由地人工选择变量,进行统计分析,其通常用法是:

`stepwise (x,y,inmodel,penter,remove)`

输入 x 为候选变量集合的 $n \times k$ 数据矩阵(n 是数据容量, k 是变量数目), y 为因变量数据向量(n 维), `inmodel` 是初始模型中包括的候选变量集合的指标(矩阵 x 的列序号,默认时设定为全部候选变量), `penter` 是引入变量的显著性水平(默认时设定为 0.05), `remove` 是剔除变量的显著性水平(默认时设定为 0.10).

通过下面的例子说明这个命令的用法.

例 5 儿童的体重与身高和年龄

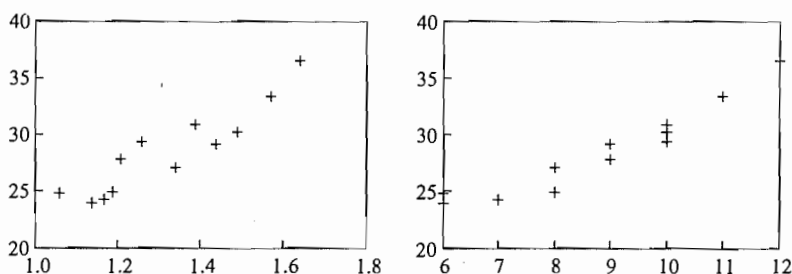
调查了 12 名 6 至 12 岁正常儿童的体重、身高和年龄,如表 12.20,建立回归模型用于从身高和年龄预测儿童的体重.

表 12.20 儿童的体重、身高和年龄

序号	体重/kg	身高/m	年龄/岁	序号	体重/kg	身高/m	年龄/岁
1	27.1	1.34	8	7	30.9	1.39	10
2	30.2	1.49	10	8	27.8	1.21	9
3	24.0	1.14	6	9	29.4	1.26	10
4	33.4	1.57	11	10	24.8	1.06	6
5	24.9	1.19	8	11	36.5	1.64	12
6	24.3	1.17	7	12	29.1	1.44	9

记儿童的体重为因变量 y ,身高和年龄分别为自变量 x_1, x_2 , 分别画出 y 与 x_1 和 y 与 x_2 的散点图,如图 12.22.可以看出,它们之间可能存在着二次函数关系.

将 x_1, x_2 及 $x_3 = x_1^2, x_4 = x_2^2, x_5 = x_1 x_2$ 确定为候选变量集合,选取初始子集为 x_1 ,

图 12.22 儿童的体重 y 与身高 x_1 和年龄 x_2 的散点图

x_2 , 显著性水平 $\alpha=0.05$, 记 $y, x_1, x_2, x_3, x_4, x_5$ 为由表 12.20 得到的各变量的数据向量, 令输入数据矩阵 $x=[x_1, x_2, x_3, x_4, x_5]_{12 \times 5}$, 作逐步回归的 MATLAB 命令为

```
stepwise(x,y,[1,2])
```

运行这个命令将输出一个图形窗口, 如图 12.23^①.

图左上部的窗口用圆点和线段显示 x 中各个候选变量的回归系数估计值及其置信区间, 蓝色和红色分别相应于在和不在模型中的变量, 粗线段和细线段分别表示 90% 和 95% 的置信区间. 图右上部的窗口中列出一个统计表, 包括各个候选变量的回归系数估计值、 t 统计量和一个概率值 (其含义与 `ttest` 中的 `sig` 相同). 当用鼠标单击左上部的圆点或右上部的字段时, 可使之由红变蓝, 于是该变量被引入; 或者由蓝变红, 于是该变量被剔除. 图右上部也有提示: “Next step:” 告诉你下一步应该引入或剔除哪个变量, 按照这个提示只需单击这个按钮即可.

图的中间是相应于当前模型的一些输出, 有模型常数项 β_0 的估计值 (intercept), 决定系数 R^2 , F 统计量, 剩余标准差 s (RMSE), p 值等. 可以用使 s 达到最小作为确定最终模型的标准, 不一定遵照 “Next step: Move no terms” 的提示.

图下部的窗口用圆点记录每次选取模型的剩余标准差 s , 供比较用. 当鼠标指向某个圆点时, 就显示那个模型包含的变量; 若单击圆点, 则重现那个模型的结果.

通过图形右方的 Export 下拉式菜单可以向 MATLAB 工作区传送数据 (用法与 `rstool` 相同).

这些图形界面都有热点, 移到图形的某个热点时, 鼠标的指针会变成一个小圆圈, 单击后会产生交互作用.

从例 5 初始模型的输出 (图 12.23) 出发, 将 x_3, x_4, x_5 一个个地引入或剔除, 比较 s 的大小, 可知包含 3 个变量 x_1, x_2, x_4 时 s 最小, 且输出的 F, p 值可通过模型的有效性检

^① MATLAB 7.0 以前版本输出 3 个图形窗口, 内容与这里的大致相同.

验. 选择图 12.24 为最终结果, 于是我们的最终模型为

$$\hat{y} = 25.8287 + 5.3289x_1 - 2.6849x_2 + 0.2380x_2^2. \quad (68)$$

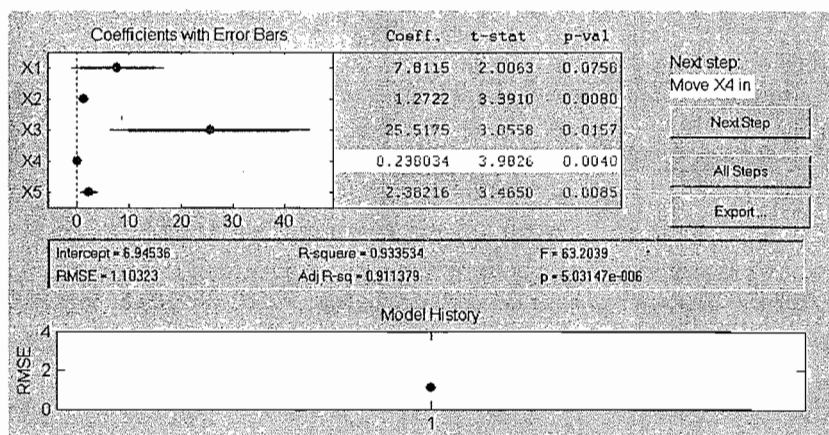


图 12.23 例 5 的初始结果

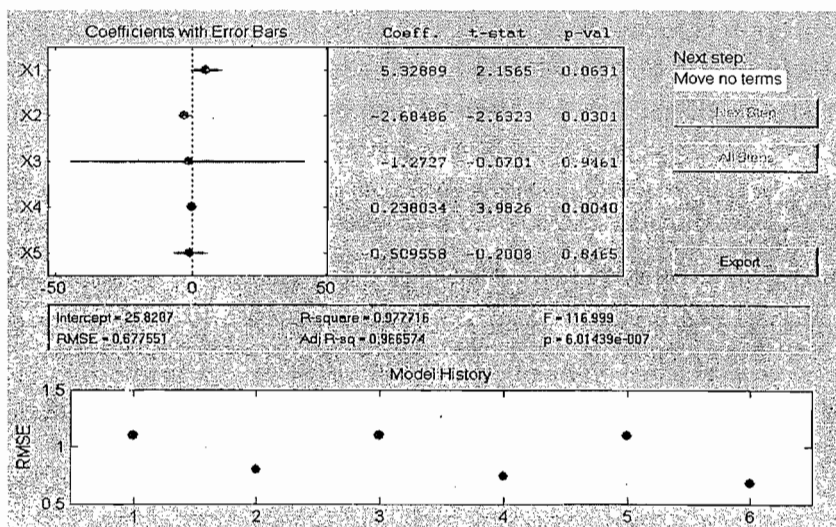


图 12.24 例 5 的最终结果

12.4 非线性回归分析

上面两节讨论的模型对回归系数是线性的, 它们计算简单, 使用方便. 在根据一批观测数据建立模型时, 如果我们对因变量与自变量之间的关系没有多少确定的、先验的认

识,通常都选择线性模型,其中的函数可以是一次的、二次的,或有交互项等,经济、社会、生理、医学等领域往往如此.而在一些工程技术问题中经常根据某些知识或经验,知道变量之间的函数关系,需要的只是根据观测数据确定其中的系数,那么当因变量对待定系数非线性时,如 12.1.4 节酶促反应,就会遇到实验 7 介绍的非线性最小二乘拟合.非线性回归可以对非线性最小二乘拟合的结果给以统计分析.

12.4.1 非线性最小二乘拟合

非线性最小二乘拟合问题的提法是:已知模型

$$y = f(x, \beta), \quad x = (x_1, \dots, x_m), \quad \beta = (\beta_1, \dots, \beta_k), \quad (69)$$

其中 f 对 β 是非线性的,为了估计参数 β ,收集 n 个独立观测数据 (x_i, y_i) , $x_i = (x_{i1}, \dots, x_{im})$ ($i=1, \dots, n, n>m$). 记拟合误差 $\epsilon_i(\beta) = y_i - f(x_i, \beta)$, 求 β 使误差平方和

$$Q(\beta) = \sum_{i=1}^n \epsilon_i^2(\beta) = \sum_{i=1}^n [y_i - f(x_i, \beta)]^2 \quad (70)$$

最小.

在实验 7 中作为无约束非线性规划的特例,我们介绍过非线性最小二乘拟合的解法,以及 MATLAB 优化工具箱中的命令 lsqnonlin 和 lsqcurvefit. 用它对 12.1.4 节酶促反应的模型(1)求解,得到

$$y = \frac{\beta_1 x}{\beta_2 + x} = \frac{160.2795x}{0.0477 + x}. \quad (71)$$

12.4.2 非线性回归分析

像线性回归分析一样,非线性回归模型记作

$$\begin{cases} y = f(x, \beta) + \epsilon, & x = (x_1, \dots, x_m), \beta = (\beta_1, \dots, \beta_k), \\ \epsilon \sim N(0, \sigma^2), \end{cases} \quad (72)$$

其中 f 对回归系数 β 是非线性的,观测数据记号同前,使(随机)误差平方和达到最小,求解得到回归系数 β 的最小二乘估计,记作 $\hat{\beta}$.

MATLAB 统计工具箱中非线性回归的命令是:

`[b, R, J] = nlinfit(x, y, 'model', b0)`

输入 x 是自变量数据矩阵,每列一个变量; y 是因变量数据向量; $model$ 是模型的函数名(M 文件),形式为 $y = f(b, x)$, b 为待估系数 β ; $b0$ 是回归系数 β 的初值. 输出 b 是 β 的估计值, R 是残差, J 是用于估计预测误差的 Jacobi 矩阵. 这个命令是用高斯—牛顿法求解的.

将上面的输出作为命令

```
bi = nlparci(b,R,J)
```

的输入,得到的 bi 是回归系数 β 的置信区间. 用命令

```
nlintool(x,y,'model',b)
```

可以得到一个交互式画面,其内容和用法与多项式回归的 Polytool 类似.

用非线性回归求解 12.1.4 节的非线性模型,编程如下:

```
function y = fun(b,x)           % M 文件,b 是待估参数
y = b(1) * x. / (b(2) + x);     % 模型(1)

x = [...];                     % 已知的自变量数组
y = [...];                     % 已知的因变量数组
b0 = [143 0.03];               % 取线性化模型的结果为  $\beta$  的初值
[b,R,J] = nlinfit(x,y,'fun',b0); % 非线性回归系数  $\beta$  的估计值
bi = nlparci(b,R,J);           % 回归系数  $\beta$  的置信区间
b,bi                            % 输出  $\beta$  的估计值和置信区间

xx = 0 : 0.01 : 1.2;          % 用  $\beta$  的估计值计算  $y$  的预测(拟合)值
yy = b(1) * xx. / (b(2) + xx); % 数据散点图和预测(拟合)曲线
plot(x,y,'+',xx,yy), pause     % 交互式画面
nlintool(x,y,'fun',b)
```

得到

```
b = 160.2781  0.0477
bi = 145.6191  174.9372
    0.0301  0.0653
```

β 的估计值与最小二乘拟合得到的完全相同,不过用非线性回归还可得到 β 的置信区间.

数据散点图和预测(拟合)曲线见图 12.25,可与图 12.3 比较. 交互式画面见图 12.26.

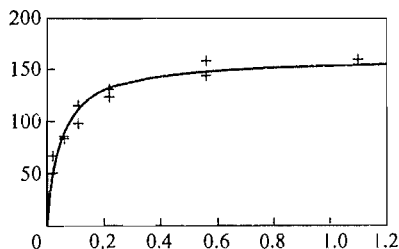


图 12.25 非线性模型的预测(拟合曲线)

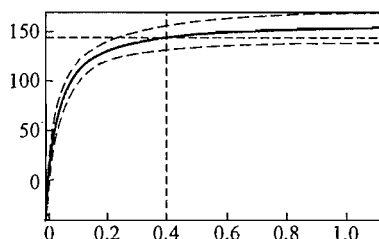


图 12.26 非线性模型的交互式画面

12.4.3 酶促反应的混合反应模型

考虑 12.1.4 节的第 2 个问题——嘌呤霉素处理对酶促反应模型中参数 β_1 , β_2 的影响. 为了在同一个模型中考虑这个影响, 采用在原来的模型中附加增量的方法, 考察如下的混合反应模型:

$$y = \frac{(\beta_1 + \gamma_1 x_2)x_1}{(\beta_2 + \gamma_2 x_2) + x_1}, \quad (73)$$

其中自变量 x_1 为底物浓度((71)式中的 x), x_2 为一示性变量(0-1 变量), $x_2 = 0$ 表示未经嘌呤霉素处理, $x_2 = 1$ 表示经过处理; 参数 β_1, β_2 仍是未经处理的最终反应速度和半速度点, 而 γ_1 是经嘌呤霉素处理后最终反应速度的增长值, γ_2 是经处理后半速度点的增长值.

这个模型的求解作为习题留给读者.

12.5 实验练习

实验目的

1. 了解回归分析的基本原理, 掌握 MATLAB 实现的方法;
2. 练习用回归分析解决实际问题.

实验内容

1. 用切削机床加工时, 为实时地调整机床需测定刀具的磨损速度, 每隔一小时测量刀具的厚度得到以下数据(见表 12.21), 建立刀具厚度对于切削时间的回归模型, 对模型和回归系数进行检验, 并预测 7.5h 和 15h 后的刀具厚度, 用(30)和(31)式两种办法计算预测区间, 解释计算结果.

表 12.21

时间/h	0	1	2	3	4	5	6	7	8	9	10
刀具厚度/cm	30.6	29.1	28.4	28.1	28.0	27.7	27.5	27.2	27.0	26.8	26.5

2. 电影院调查电视广告费用和报纸广告费用对每周收入的影响, 得到下面的数据(见表 12.22), 建立回归模型并进行检验, 诊断异常点的存在并进行处理.

3. 营养学家为研究食物中蛋白质含量对婴儿生长的影响, 按照食物中蛋白质含量的高低, 调查了两组两个月到 3 岁婴儿的身高, 见表 12.23 和表 12.24.

表 12.22

每周收入	96	90	95	92	95	95	94	94
电视广告费用	1.5	2.0	1.5	2.5	3.3	2.3	4.2	2.5
报纸广告费用	5.0	2.0	4.0	2.5	3.0	3.5	2.5	3.0

表 12.23 高蛋白食物组

年龄/岁	0.2	0.5	0.8	1.0	1.0	1.4	1.8	2.0	2.0	2.5	2.5	2.7	3.0
身高/cm	54	55	63	66	69	73	82	83	80	91	93	94	94

表 12.24 低蛋白食物组

年龄/岁	0.2	0.4	0.7	1.0	1.0	1.3	1.5	1.8	2.0	2.0	2.4	2.8	3.0
身高/cm	51	52	55	61	64	65	66	69	68	69	72	76	77

(1) 分别用两组数据拟合食物中蛋白质高、低含量对婴儿身高的回归直线,解释所得结果.

(2) 怎样检验食物中蛋白质含量的高低对婴儿的生长有无显著影响? 检验结果如何?

4. 13 名少年儿童参加了一项睡眠时间与年龄关系的调查,表 12.25 中的(每天)睡眠时间(min)是根据连续 3 天记录的平均值得到的.

表 12.25 13 个人的睡眠时间与年龄

序号	睡眠时间/min	年龄/岁	序号	睡眠时间/min	年龄/岁
1	586	4.4	8	515	8.9
2	462	14.0	9	493	11.1
3	491	10.1	10	528	7.8
4	565	6.7	11	576	5.5
5	462	11.5	12	533	8.6
6	532	9.6	13	531	7.2
7	478	12.4			

(1) 画出散点图,建立回归模型并检验模型的有效性,解释得到的结果.

(2) 给出 10 岁孩子的平均睡眠时间 & 预测区间.

5. 社会学家认为犯罪与收入低、失业及人口规模有关,对 20 个城市的犯罪率 y (每

10 万人中犯罪的人数)与年收入低于 5000 美元家庭的百分比 x_1 、失业率 x_2 和人口总数 x_3 (千人)进行了调查,结果如表 12.26.

表 12.26

序号	y	x_1	x_2	x_3	序号	y	x_1	x_2	x_3
1	11.2	16.5	6.2	587	11	14.5	18.1	6.0	7895
2	13.4	20.5	6.4	643	12	26.9	23.1	7.4	762
3	40.7	26.3	9.3	635	13	15.7	19.1	5.8	2793
4	5.3	16.5	5.3	692	14	36.2	24.7	8.6	741
5	24.8	19.2	7.3	1248	15	18.1	18.6	6.5	625
6	12.7	16.5	5.9	643	16	28.9	24.9	8.3	854
7	20.9	20.2	6.4	1964	17	14.9	17.9	6.7	716
8	35.7	21.3	7.6	1531	18	25.8	22.4	8.6	921
9	8.7	17.2	4.9	713	19	21.7	20.2	8.4	595
10	9.6	14.3	6.4	749	20	25.7	16.9	6.7	3353

(1) 若 $x_1 \sim x_3$ 中至多只许选择 2 个变量,最好的模型是什么?

(2) 包含 3 个自变量的模型比上面的模型好吗? 确定最终模型.

(3) 对最终模型观察残差,有无异常点,若有,剔除后如何.

6. 为得到研磨机速度(转/min)与纤维制品磨损量的关系,在 6 种不同转速下分别对 8 块同样材料的制品进行试验,结果如表 12.27.

表 12.27

转速	磨 损 量							
100	23.0	23.5	24.4	25.2	25.6	26.1	24.9	25.6
120	26.7	26.1	25.8	26.3	27.2	27.9	28.3	27.4
140	28.0	28.4	27.0	28.8	29.8	29.4	28.7	29.3
160	32.7	32.1	31.9	33.0	33.5	33.7	34.0	32.5
180	43.1	41.7	42.4	42.1	43.5	43.8	44.2	43.6
200	54.2	43.7	53.1	53.8	55.6	55.9	54.7	54.5

(1) 假定磨损量与转速之间的关系是线性的,对所给数据采用两种办法建立模型:原始数据;先将每种转速下的 8 个磨损量平均. 比较得到的两个结果的异同,并作解释.

(2) 对模型(1)作改进,如建立二次函数模型(对数据仍用两种办法).

7. 在有氧锻炼中人的耗氧能力 y ($\text{ml}/(\text{min} \cdot \text{kg})$) 是衡量身体状况是重要指标,它可能与以下因素有关:年龄 x_1 , 体重 x_2 (kg), 1500m 跑用的时间 x_3 (min), 静止时心速 x_4 ($\text{次}/\text{min}$), 跑步后心速 x_5 ($\text{次}/\text{min}$). 对 24 名 40 至 57 岁的志愿者进行了测试, 结果如表 12.28. 试建立耗氧能力 y 与诸因素之间的回归模型.

表 12.28

序号	y	x_1	x_2	x_3	x_4	x_5
1	44.6	44	89.5	6.82	62	178
2	45.3	40	75.1	6.04	62	185
3	54.3	44	85.8	5.19	45	156
4	59.6	42	68.2	4.90	40	166
5	49.9	38	89.0	5.53	55	178
6	44.8	47	77.5	6.98	58	176
7	45.7	40	76.0	7.17	70	176
8	49.1	43	81.2	6.51	64	162
9	39.4	44	81.4	7.85	63	174
10	60.1	38	81.9	5.18	48	170
11	50.5	44	73.0	6.08	45	168
12	37.4	45	87.7	8.42	56	186
13	44.8	45	66.5	6.67	51	176
14	47.2	47	79.2	6.36	47	162
15	51.9	54	83.1	6.20	50	166
16	49.2	49	81.4	5.37	44	180
17	40.9	51	69.6	6.57	57	168
18	46.7	51	77.9	6.00	48	162
19	46.8	48	91.6	6.15	48	162
20	50.4	47	73.4	6.05	67	168
21	39.4	57	73.4	7.58	58	174
22	46.1	54	79.4	6.70	62	156
23	45.4	52	76.3	5.78	48	164
24	54.7	50	70.9	5.35	48	146

- (1) 若 $x_1 \sim x_5$ 中只许选择 1 个变量, 最好的模型是什么?
- (2) 若 $x_1 \sim x_5$ 中只许选择 2 个变量, 最好的模型是什么?
- (3) 若不限变量个数, 最好的模型是什么? 你选择哪个作为最终模型, 为什么?
- (4) 对最终模型观察残差, 有无异常点, 若有, 剔除后如何.

8. 汽车销售商认为汽车销售量与汽油价格、贷款利率有关, 两种类型汽车(普通型和豪华型)18 个月的调查资料如表 12.29, 其中 y_1 是普通型汽车售量(千辆), y_2 是豪华型汽车售量(千辆), x_1 是汽油价格(元/gal), x_2 是贷款利率(%).

表 12.29

序号	y_1	y_2	x_1	x_2
1	22.1	7.2	1.89	6.1
2	15.4	5.4	1.94	6.2
3	11.7	7.6	1.95	6.3
4	10.3	2.5	1.82	8.2
5	11.4	2.4	1.85	9.8
6	7.5	1.7	1.78	10.3
7	13.0	4.3	1.76	10.5
8	12.8	3.7	1.76	8.7
9	14.6	3.9	1.75	7.4
10	18.9	7.0	1.74	6.9
11	19.3	6.8	1.70	5.2
12	30.1	10.1	1.70	4.9
13	28.2	9.4	1.68	4.3
14	25.6	7.9	1.60	3.7
15	37.5	14.1	1.61	3.6
16	36.1	14.5	1.64	3.1
17	39.8	14.9	1.67	1.8
18	44.3	15.6	1.68	2.3

- (1) 对普通型和豪华型汽车分别建立如下模型:

$$y_1 = \beta_0^{(1)} + \beta_1^{(1)} x_1 + \beta_2^{(1)} x_2, \quad y_2 = \beta_0^{(2)} + \beta_1^{(2)} x_1 + \beta_2^{(2)} x_2.$$

给出 β 的估计值和置信区间, 决定系数 R^2 , F 值及剩余方差等.

(2) 用 $x_3=0, 1$ 表示汽车类型, 建立统一模型: $y=\beta_0+\beta_1x_1+\beta_2x_2+\beta_3x_3$, 给出 β 的估计值和置信区间, 决定系数 R^2 , F 值及剩余方差等. 以 $x_3=0, 1$ 代入统一模型, 将结果与 (1) 的两个模型的结果比较, 解释二者的区别.

(3) 对统一模型就每种类型汽车分别作 x_1 和 x_2 与残差的散点图, 有什么现象, 说明模型有何缺陷?

(4) 对统一模型增加二次项和交互项, 考察结果有什么改进.

9. 一家洗衣粉制造公司作新产品试验时, 关心洗衣粉泡沫的高度 y 与搅拌程度 x_1 和洗衣粉用量 x_2 之间的关系, 其中搅拌程度从弱到强分为 3 个水平. 试验得到的数据如表 12.30.

表 12.30

x_1	x_2	y	x_1	x_2	y	x_1	x_2	y
1	6	28.1	2	6	65.3	3	6	82.2
1	7	32.3	2	7	67.7	3	7	85.3
1	8	34.8	2	8	69.4	3	8	88.1
1	9	38.2	2	9	72.2	3	9	90.7
1	10	43.5	2	10	76.9	3	10	93.6

(1) 将搅拌程度 x_1 作为普通变量, 建立 y 与 x_1 和 x_2 的回归模型, 从残差图上发现问题.

(2) 将搅拌程度 x_1 视为没有定量关系的 3 个水平, 用 0-1 变量表示, 建立回归模型, 与 (1) 比较. 从残差图上还能发现什么问题.

(3) 加入搅拌程度与洗衣粉用量的交互项, 看看模型有无改进.

10. 表 12.31 列出了某城市 18 位 35~44 岁经理的年平均收入 x_1 (千元), 风险偏好度 x_2 和人寿保险额 y (千元) 的数据, 其中风险偏好度是根据发给每个经理的问卷调查表综合评估得到的, 它的数值越大, 就越偏爱高风险. 研究人员想研究此年龄段中的经理所投保的人寿保险额与年均收入及风险偏好度之间的关系. 研究者预计, 经理的年均收入和人寿保险额之间存在着二次关系, 并有把握地认为风险偏好度对人寿保险额有线性效应, 但对于风险偏好度对人寿保险额是否有二次效应以及两个自变量是否对人寿保险额有交互效应, 心中没底.

通过表 12.31 中的数据来建立一个合适的回归模型, 验证上面的看法, 并给出进一步的分析.

表 12.31

序号	y	x_1	x_2	序号	y	x_1	x_2
1	196	66.290	7	10	49	37.408	5
2	63	40.964	5	11	105	54.376	2
3	252	72.996	10	12	98	46.186	7
4	84	45.010	6	13	77	46.130	4
5	126	57.204	4	14	14	30.366	3
6	14	26.852	5	15	56	39.060	5
7	49	38.122	4	16	245	79.380	1
8	49	35.840	6	17	133	52.766	8
9	266	75.796	9	18	133	55.916	6

11. 一个医药公司的新药研究部门为了掌握一种新止痛剂的疗效,设计了一个药物实验,给 24 名患有同种病痛的病人使用这种新止痛剂的以下 4 个剂量中的某一个:2,5,7,10(g),并记录每个病人病痛明显减轻的时间(min). 为了解新药的疗效与病人性别和血压有什么关系,试验过程中研究人员把病人按性别及血压的低、中、高 3 档平均分配来进行测试. 通过比较每个病人血压的历史数据,从低到高分成 3 组,分别记作 0.25,0.50 和 0.75. 实验结束后,公司的记录结果见表 12.32(性别以 0 表示女,1 表示男).

请你为公司建立一个模型,根据病人用药的剂量、性别和血压组别,预测出服药后病痛明显减轻的时间.

表 12.32

病人序号	病痛减轻时间/min	用药剂量/g	性别	血压组别
1	35	2	0	0.25
2	43	2	0	0.50
3	55	2	0	0.75
4	47	2	1	0.25
5	43	2	1	0.50
6	57	2	1	0.75
7	26	5	0	0.25
8	27	5	0	0.50

续表

病人序号	病痛减轻时间/min	用药剂量/g	性别	血压组别
9	28	5	0	0.75
10	29	5	1	0.25
11	22	5	1	0.50
12	29	5	1	0.75
13	19	7	0	0.25
14	11	7	0	0.50
15	14	7	0	0.75
16	23	7	1	0.25
17	20	7	1	0.50
18	22	7	1	0.75
19	13	10	0	0.25
20	8	10	0	0.50
21	3	10	0	0.75
22	27	10	1	0.25
23	26	10	1	0.50
24	5	10	1	0.75

12. 对于酶促反应中的反应速度与底物浓度的混合反应模型(73), 计算回归系数估计值及其置信区间, 检验回归系数是否为零, 得到你认为最好的模型.

13. Logistic 增长曲线模型和 Gompertz 增长曲线模型是计量经济学等学科中的两个常用模型, 可以用来拟合销售量的增长趋势.

记 Logistic 增长曲线模型为 $y_t = \frac{L}{1+ae^{-kt}}$, 记 Gompertz 增长曲线模型为 $y_t = Le^{-be^{-kt}}$, 这两个模型中 L 的经济学意义都是销售量的上限. 表 12.33 中给出的是某地区高压锅的销售量(单位: 万台), 为给出此两模型的拟合结果, 请考虑如下的问题:

(1) Logistic 增长曲线模型是一个可线性化模型吗? 如果给定 $L=3000$, 是否是一个可线性化模型, 如果是, 试用线性化模型给出参数 a 和 k 的估计值.

(2) 利用(1)所得到的 a 和 k 的估计值和 $L=3000$ 作为 Logistic 模型的拟合初值, 对 Logistic 模型做非线性回归.

(3) 取初值 $L^{(0)}=3000, b^{(0)}=30, k^{(0)}=0.4$, 拟合 Gompertz 模型. 并与 Logistic 模型

的结果进行比较.

表 12.33

年份	t	y	年份	t	y
1981	0	43.65	1988	7	1238.75
1982	1	109.86	1989	8	1560.00
1983	2	187.21	1990	9	1824.29
1984	3	312.67	1991	10	2199.00
1985	4	496.58	1992	11	2438.89
1986	5	707.65	1993	12	2737.71
1987	6	960.25			

参 考 文 献

- 1 沈恒范. 概率论与数理统计教程. 第3版. 北京: 高等教育出版社, 1995.
- 2 吴翊, 李永乐, 胡庆军. 应用数理统计. 长沙: 国防科技大学出版社, 1995.
- 3 姜启源, 何青, 高立. 数学实验. 北京: 高等教育出版社, 1999.
- 4 姜启源, 谢金星, 叶俊. 数学模型. 第三版. 北京: 高等教育出版社, 2003.

神经网络是大脑的一个组成部分。James^[1]在 1890 年的《心理学》一书中这样描述神经网络的基本原理:大脑皮层每一点的活力是由其他点势能释放的综合效能产生的,这些势能同下面的因素有关:(1)相关点的兴奋次数;(2)兴奋的强度;(3)与其不相连的其他点所接受的能量。他的这一原理一直沿用至今。到目前为止,神经网络的研究主要分为两个派别:一派主要包括生物学家、物理学家和心理学家等,他们研究的主要目的是给出大脑活动的描述和精细模型;另一派主要包括工程技术人员等,他们关心的是怎样利用神经网络的基本原理,来构造解决实际问题的算法,使得这些算法具有有效的计算能力。这个实验的内容属于后者,我们称其为神经网络的工程应用研究,或称为人工神经网络(artificial neural network, ANN),简称神经网络。

人工神经网络的早期工作可以追溯到 1943 年 McCulloch 和 Pitts^[2]建立的第一个模型,后被扩展为“认知(perceptron)”模型。认知模型的一个功效是可以用来解决简单的分类问题。但是 1969 年 Minsky 和 Papert^[3]在《认知论》一书中指出:认知模型无法解决最为经典的“异或(exclusive-or, XOR)”问题。这个结论使得有关人工神经网络的研究一度陷入了危机。20 世纪 80 年代, Hopfield 将人工神经网络成功地应用于解决组合优化问题, McClelland 和 Rumelhart^[4]构造的多层反向学习算法成功地解决了单隐含层认知网络的“异或”问题及其他的识别问题。他们的突破使得人工神经网络成为新的研究热点。

人工神经网络可以分为前向型和反馈型两类:前向型神经网络的特点是信息传递由后层神经元向前层神经元传递,同一层内的神经元之间没有信息交流;反馈型神经网络中的神经元之间不但相互作用,而且自身也有信息内耗。进一步,还可以按神经元的学习过程,将神经网络细分为有指导和无指导学习神经网络(无指导学习的形式为自组织和自学习)。

本实验主要以 MATLAB 提供的神经网络工具箱(neural network toolbox)为基础,介绍前向神经网络的模型和算法。13.1 节给出一个经过简化的实际问题,13.2 节给出神经网络的基本概念,重点讨论单层前向神经网络,13.3 节讨论多层前向神经网络,并给出

问题的求解和分析过程,13.4节介绍 MATLAB 神经网络工具箱的图形交互界面,13.5节分析和求解 13.1 节的问题,13.6 节布置实验练习。

13.1 谵妄的诊断

谵妄是由于各种原因引起的急性脑器质性综合症,其特征是急性起病,意识水平变化,病程波动,定向力、注意力、思维、精神运动、行为和情感改变。根据国外 1980 年以后有关谵妄研究文献的报道,谵妄的发病率为 4%~25%。目前对谵妄的发病机制还了解得不多,诊断的方式常采用多个指标综合评价。如对老年谵妄,通常采用检查表的方式确诊,检查表中的 11 个项目包含:

- 急性起病:病人的精神状况有急性变化的证据吗?
- 注意障碍:患者的注意力难以集中吗?
- 思维混乱:患者的思维是凌乱或不连贯的吗?
- 意识水平的改变:总体上看,您如何评估该患者的意识水平?
- 定向障碍:在会面的任何时间患者存在定向障碍吗?
- 记忆力减退:在面谈时患者表现出记忆方面的问题吗?
- 知觉障碍:患者有知觉障碍的证据吗?
- 精神运动性兴奋:面谈时患者的行为活动有不正常的增加吗?
- 精神运动性迟缓:面谈时患者有运动行为水平的异常减少吗?
- 波动性:患者的精神状况(注意力、思维、定向、记忆力)在面谈前或面谈中有波动吗?
- 睡眠-觉醒周期的改变:患者有睡眠-觉醒周期紊乱的证据吗?

针对以上 11 个问题,医生对病人进行观察和提问,每项分 4 个等级打分:不存在——1 分;轻度存在——2 分;中度存在——3 分;严重存在——4 分。

表 13.1 为一位医生对 96 名测试人员的观察和提问,并通过记分方法记录下的直观判断。诊断标准为:22 分以上可诊断为谵妄,在量表诊断一列中记为 Y(否则记为 N)。这样的标准是否合理?实际上已经知道,前 48 个数据来自临床诊断的病人,后 48 个数据来自正常人。可以看出,量表诊断一共出现了 10 个诊断错误的病例,占测试人员的 10.4%,这是一个比较高的错误率。

我们将在 13.5 节继续讨论这个问题。

表 13.1 医生的观察记录

序号	起病	注意	思维	意识	定向	记忆	错觉	兴奋	迟滞	波动	睡眠	22 分标准	量表诊断
1	3	3	2	2	2	1	2	3	1	3	3	25	Y
2	4	4	4	3	3	3	2	4	1	4	4	36	Y
3	3	3	2	2	3	3	2	2	1	3	4	28	Y
4	3	3	3	2	1	3	2	3	1	3	2	26	Y
5	2	2	2	2	3	3	3	2	1	2	3	25	Y
6	2	2	2	3	2	3	2	2	1	3	3	25	Y
7	4	3	2	2	4	3	3	4	1	4	4	34	Y
8	3	3	2	2	3	2	2	1	2	2	1	23	Y
9	4	3	2	2	3	2	4	3	1	3	3	30	Y
10	3	4	2	3	2	2	2	2	4	3	1	28	Y
11	3	2	2	2	3	1	2	3	1	3	3	25	Y
12	2	3	2	2	1	2	2	2	1	3	3	23	Y
13	4	3	2	1	2	2	1	3	1	3	4	26	Y
14	2	2	2	1	2	2	1	1	3	2	1	19	N
15	3	3	2	2	2	3	1	1	3	3	1	24	Y
16	2	3	1	2	2	3	1	1	3	4	1	23	Y
17	3	2	2	2	2	2	1	1	2	3	2	22	Y
18	3	3	2	3	2	2	2	3	1	3	1	25	Y
19	2	3	2	2	2	3	2	3	1	4	1	25	Y
20	2	3	1	2	2	4	1	1	2	2	1	21	N
21	3	3	2	2	2	3	1	1	4	3	3	27	Y
22	3	3	3	3	3	2	3	3	1	3	2	29	Y
23	3	3	2	2	1	3	1	1	3	4	1	24	Y
24	2	1	2	2	2	2	1	1	2	2	1	18	N
25	4	4	3	2	3	3	1	3	1	4	3	31	Y
26	3	4	4	3	4	3	4	3	1	4	4	37	Y
27	2	1	2	2	2	2	1	1	2	2	1	18	N
28	3	3	2	2	2	3	2	3	1	4	1	26	Y
29	2	2	1	1	1	1	1	1	2	2	1	15	N
30	3	3	2	2	2	3	2	3	1	2	2	25	Y
31	3	2	2	2	3	2	3	3	1	3	4	28	Y
32	2	2	2	1	2	2	1	1	3	3	1	20	N

续表

序号	起病	注意	思维	意识	定向	记忆	错觉	兴奋	迟滞	波动	睡眠	22分标准	量表诊断
33	4	3	2	2	3	1	1	3	1	2	3	25	Y
34	3	3	3	3	3	2	4	3	1	4	4	33	Y
35	4	3	2	3	4	3	3	1	4	3	3	33	Y
36	1	2	2	2	2	2	1	2	1	2	1	18	N
37	2	3	2	3	3	4	3	4	1	3	4	32	Y
38	2	3	2	3	3	3	2	3	1	3	4	29	Y
39	3	2	2	2	2	1	3	1	3	2	2	23	Y
40	2	3	2	2	3	4	2	1	2	2	1	24	Y
41	2	2	1	1	2	2	1	1	2	3	3	20	N
42	3	3	3	3	2	3	2	3	1	3	1	27	Y
43	4	4	2	2	1	4	3	3	1	4	3	31	Y
44	3	4	4	3	4	3	4	3	1	4	4	37	Y
45	2	4	2	2	2	4	1	1	4	3	3	28	Y
46	2	3	1	1	1	3	1	1	4	3	3	23	Y
47	4	4	2	2	4	4	3	4	1	3	4	35	Y
48	4	4	3	3	4	3	3	2	1	3	3	33	Y
49	1	1	2	2	1	1	3	1	1	1	4	18	N
50	1	1	3	1	1	2	1	3	1	1	1	16	N
51	1	1	2	1	1	2	2	2	1	1	4	18	N
52	1	1	2	1	2	2	1	1	2	1	2	16	N
53	1	2	3	1	1	1	1	2	1	1	2	16	N
54	1	1	3	2	1	2	3	1	1	1	2	18	N
55	2	1	3	1	1	3	3	1	1	2	2	20	N
56	1	1	2	1	1	2	4	3	1	1	1	18	N
57	1	1	1	1	2	4	1	1	3	1	3	19	N
58	1	2	4	1	1	2	4	1	3	1	2	22	Y
59	1	1	2	1	1	1	2	1	1	1	3	15	N
60	1	1	3	1	1	2	1	3	1	1	1	16	N
61	1	1	2	1	1	1	2	1	1	1	2	14	N
62	1	1	2	1	2	2	1	1	2	1	2	16	N
63	1	2	3	1	1	1	1	2	1	1	2	16	N
64	2	1	2	1	1	2	1	3	1	1	2	18	N

续表

序号	起病	注意	思维	意识	定向	记忆	错觉	兴奋	迟滞	波动	睡眠	22 分 标准	量表 诊断
65	1	1	3	1	1	3	3	1	2	1	3	20	N
66	1	1	2	2	1	2	3	3	1	1	1	18	N
67	1	1	3	1	1	4	1	1	3	1	3	20	N
68	3	2	2	1	1	1	1	3	2	1	1	18	N
69	1	1	3	1	1	1	2	1	1	1	3	16	N
70	1	1	3	1	1	2	1	3	1	1	1	16	N
71	1	1	2	1	1	2	3	2	1	2	2	18	N
72	1	1	2	1	2	2	1	1	2	1	2	16	N
73	1	2	3	1	1	1	1	2	1	1	2	16	N
74	1	1	3	1	1	2	3	1	1	1	2	17	N
75	1	1	3	1	1	3	3	1	1	1	2	18	N
76	1	1	2	1	1	2	3	2	1	1	1	16	N
77	3	1	1	3	1	4	1	1	3	1	3	22	Y
78	1	1	2	1	2	2	1	1	2	1	2	16	N
79	1	1	2	2	1	1	2	1	1	1	3	16	N
80	1	1	3	1	1	2	1	3	1	1	1	16	N
81	1	1	2	1	1	2	3	2	1	1	1	16	N
82	2	1	2	1	2	3	1	1	2	1	2	18	N
83	1	1	3	1	1	1	1	3	1	1	3	17	N
84	1	1	2	1	1	2	2	1	1	1	2	15	N
85	1	1	3	1	1	3	2	1	1	1	2	17	N
86	1	1	2	1	1	2	2	3	1	1	1	16	N
87	1	1	1	2	1	4	1	1	3	1	3	19	N
88	1	1	2	1	1	1	2	1	1	1	3	15	N
89	1	1	2	1	2	2	1	1	2	1	2	16	N
90	1	2	3	1	1	1	3	2	1	1	2	18	N
91	1	1	3	1	1	2	3	1	1	1	2	17	N
92	1	1	3	1	1	3	3	1	1	1	3	19	N
93	1	1	2	2	3	3	1	1	2	1	4	21	N
94	1	2	3	1	1	1	1	2	1	1	2	16	N
95	1	1	3	1	1	3	1	2	1	1	2	17	N
96	1	2	2	2	1	1	1	3	1	1	2	17	N

13.2 单层前向人工神经网络

13.2.1 人工神经网络的基本概念

图 13.1 是生物学中神经网络的简图.

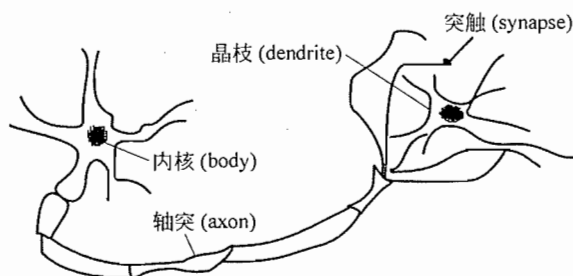


图 13.1 生物学中神经网络简图

神经网络是大脑的重要成分,由相互关联的神经元组成,每一个神经元又由内核、轴突和多个晶枝组成.晶枝形成一个非常精密的“毛刷”环绕在内核周围.轴突可以想象为一根又长又细的管道,其终点分为众多的细小分支,将内核的信息传递给其他内核的晶枝.这些细小分支的头,即那些又长又细管道的终点,称为突触,其主要功能是接触其他内核的晶枝.

一个神经元通过晶枝接收到信息后,对这些信息进行处理,再通过所控制的突触传送给其他神经元.每个神经元可分为“抑制”或“兴奋”两种状态.当一个神经元接收的信息累计超出一个给定值时,神经元被激活并传递出信息给其他神经元,这种传递信息的神经元处于“兴奋”状态.如果神经元接收到其他神经元传递过来的信息,但没有向外传递信息,则这个神经元处于“抑制”状态.

简单模拟上述原理的人工神经网络是 McCulloch-Pitts 认知网络,如图 13.2 表示.

图 13.2 中一个神经元由右侧的晶枝、内核、轴突和突触表示.对其他神经元输入的 x_i ,晶枝以 w_i (关联权)的感应程度接收.神经元接收到的信息为其他神经元的综合信息 $z = \sum_i w_i x_i$ 和对神经元自身的激励 θ .内核完成对信息的集成(圆的左半部)和处理(圆的右半部),并通过轴突向突触输出 y .函数 $f(z + \theta)$ 称为激活函数(activation function)或输出函数.

这个实验的网络中,将按习惯用矩形表示神经元的输入或输出,圆表示一个神经元的内核, w 表示晶枝的感应程度,称为权数.

McCulloch-Pitts 输出函数可以定义为

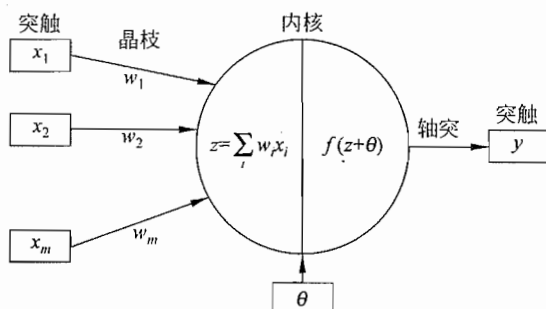


图 13.2 McCulloch-Pitts 网络

$$y = f(z + \theta) = \text{sgn}\left(\sum_{i=1}^m w_i x_i + \theta\right), \quad (1)$$

其中 $\text{sgn}(x) = \begin{cases} 1, & x \geq 0 \\ 0, & \text{其他} \end{cases}$, $\theta > 0$ 时, 可以理解为外部给神经元的额外刺激值; $\theta < 0$ 时, $-\theta$ 可以理解为神经元本身具有的阈值(threshold). θ 统称为激励值.

从(1)式可以看出, 当 w_i 和 θ 给定时, 对一组输入 $(x_1, x_2, \dots, x_m)^T$, 很容易计算输出值. 我们的问题主要是, 对给定的输入, 确定参数 w_i 和 θ , 尽可能使(1)的计算输出同实际输出相吻合.

建立和应用神经网络大致可以归结为 3 个步骤: 网络结构的确定, 权数的确定和工作阶段.

网络结构的确定 主要内容包含: 网络的拓扑结构和每个神经元激活函数的选取.

拓扑结构是一个神经元的基础. 本实验只讨论前向神经网络, 它的拓扑结构为: 信息由下一层的神经元向上一层的神经元传递, 同一层内的神经元之间没有信息传递.

激活函数的类型比较多, 除阶跃函数(1)外, 常用的还有线性函数和 Sigmoid 函数(S 形函数). 线性函数即

$$f(x) = ax + b, \quad (2)$$

其中 a 和 b 是实常数. Sigmoid 函数为(图 13.3):

$$f(x) = \frac{1}{1 + e^{-x}}. \quad (3)$$

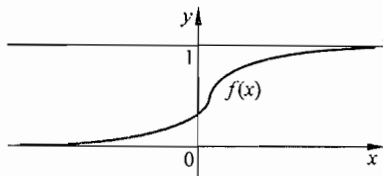


图 13.3 S 形函数

在识别和分类问题中, 如果采用阶跃函数, 当输出值为 1 时, 我们可以肯定地判断输入的类别. 阶跃函数的缺点是数学性质较差, 如在 0 点不光滑等. Sigmoid 函数弥补了这一方面的不足, 使得函数值在 $(0, 1)$ 区间连续、光滑地变化.

为了取得其他区间的函数输出, 需对阶跃函数或 S 形函数进行简单的修改. 如需要 $(-1, +1)$ 的输出, 则阶跃函数为 $2\text{sgn}(x) - 1$, S 形函数为 $2f(x) - 1$.

关联权和激励值的确定 权和激励值是通过学习(或称为训练)得到的,可以分为有指导学习和无指导学习两类.依据已知一组正确的(或称为理想的)输入、输出数据,调整并确定权数 w_i 和激励值 θ ,使得网络输出同理想输出偏差尽量小的方法称为有指导学习.在只有输入数据而不知输出结果的条件下,确定权数的方法称为无指导学习.在学习过程中,采用不同的准则函数将得到不同的学习规则.

工作阶段 用带有确定权数和激励值的神经网络去解决实际问题的过程称为工作或模拟(simulate).

当然,学习和工作并不是绝对地分为两个阶段,可以通过学习、工作、再学习、再工作的循环过程,逐步提高人工神经网络的应用效果.

图 13.4 是前向型人工神经网络的计算流程.第一个阶段如图 13.4(a)描述,它的主要步骤是:在选择网络结构模型和学习规则后,根据已知的输入和理想输出(学习数据),通过学习规则确定神经网络的权和激励值.这正如一个医学院的学生,可以通过教科书中病例的发病症状和诊断结果,来学习诊断.第二个阶段如图 13.4(b)描述,它的主要步骤是:按照第一个阶段确定的模型和得到的权,根据实际问题的输入数据给出一个结论.这正如一个医学院的毕业生,在遇到病人后,根据医学院学到的诊断方法,给出病人的一个诊断结果.

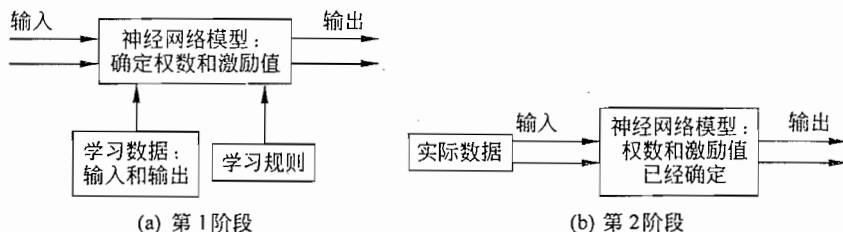


图 13.4 神经网络计算流程

依据神经网络的层数和激活函数的类型,前向型神经网络还可以进一步细分.下面就从简到繁地介绍前向型神经网络.

13.2.2 单层前向神经网络——线性网络

本节只讨论有指导学习的情况.单层前向神经网络(single layer feed-forward neural networks)的模型结构如图 13.5.

在单层前向神经网络中,只有输入层和输出层.输入层中的每一个元素表示轴突,而输出层中的每一个元素代表一个神经元的内核,由此得名为单层神经网络.单层前向神经网络中同一层中的元素无带权的弧相连.

记输入变量为 $X = (x_1, x_2, \dots, x_m)^T$, 输出结果为 $Y = (y_1, y_2, \dots, y_n)^T$, $\theta = (\theta_1, \theta_2, \dots,$

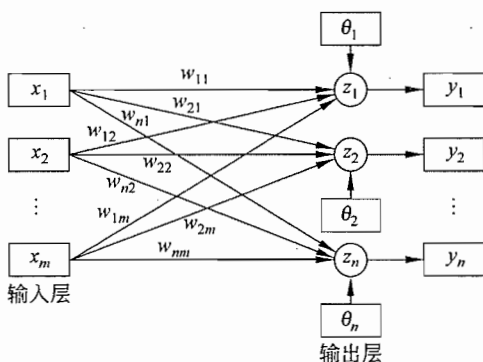


图 13.5 单层前向神经网络

$\theta_n)^T$, w_{ji} 为输入 i 同神经元 j 的权数, 则第 j 个神经元的接收和输出值为

$$z_j = \sum_{i=1}^m w_{ji} x_i, \quad y_j = f_j(z_j + \theta_j), \quad j = 1, 2, \dots, n. \quad (4)$$

用矩阵、向量表示为

$$W = \begin{bmatrix} w_{11} & w_{12} & \cdots & w_{1m} \\ w_{21} & w_{22} & \cdots & w_{2m} \\ \vdots & \vdots & & \vdots \\ w_{n1} & w_{n2} & \cdots & w_{nm} \end{bmatrix}, \quad Y = F(WX + \theta) = (f_1(z_1 + \theta_1), \dots, f_n(z_n + \theta_n))^T. \quad (5)$$

(1) 线性网络

线性网络具有图 13.5 的结构, 是最简单的一类神经网络, 它采用(2)式的激活函数, 令 $a=1, b=0$ 得

$$Y = WX + \theta. \quad (6)$$

为了使得网络输出同理想输出最为接近, 常用的学习规则是最小二乘准则. 设一组学习样本为 $\{(X(1), D(1)), \dots, (X(J), D(J))\}$, 其中 $X(t) = (x_1(t), \dots, x_m(t))^T (t=1, 2, \dots, J)$, $D(t) = (d_1(t), \dots, d_n(t))^T$, 是 $X(t)$ 的理想输出. 目标函数为

$$E(W) = \frac{1}{J} \sum_{t=1}^J (Y(t) - D(t))^T (Y(t) - D(t)), \quad Y(t) = WX(t) + \theta. \quad (7)$$

记 $\bar{X} = (X(1), \dots, X(J))$, $\bar{Y} = (Y(1), \dots, Y(J))$ 和 $\bar{D} = (D(1), \dots, D(J))$, 则 $\bar{Y} = W\bar{X} + \theta(1, \dots, 1)_{1 \times J}$. 计算 $E(W)$ 对 W 的导数, 并令其为零, 得

$$\begin{aligned} \frac{\partial E(W)}{\partial W} &= \frac{1}{J} \frac{\partial}{\partial W} \sum_{t=1}^J (WX(t) + \theta - D(t))^T (WX(t) + \theta - D(t)) \\ &= \frac{2}{J} (Y(1) - D(1), \dots, Y(J) - D(J)) (X(1), \dots, X(J))^T \end{aligned}$$

$$= \frac{2}{J} (\mathbf{W} \overline{\mathbf{X}} \overline{\mathbf{X}}^T + \boldsymbol{\theta} (1, \dots, 1)_{1 \times J} \overline{\mathbf{X}}^T - \overline{\mathbf{D}} \overline{\mathbf{X}}^T) = \mathbf{0}. \quad (8)$$

只要输入 $\mathbf{X}(t)$ 的向量秩为 m , 我们就可以由(8)式得到(7)式的最优解

$$\mathbf{W} = (\overline{\mathbf{D}} - \boldsymbol{\theta} (1, 1, \dots, 1)_{1 \times J}) \overline{\mathbf{X}}^T (\overline{\mathbf{X}} \overline{\mathbf{X}}^T)^{-1}. \quad (9)$$

理论上这是一个非常好的结果, 但是分析人类的学习过程, 是通过一个一个样本的训练来完善大脑神经记忆的. 模仿这样的过程, 让学习样本一个一个地到达, 称为自适应线性(Adaline, adaptive linear)网络, 每到达一个样本, 系统将学习并更新权数.

设 $\mathbf{X} = (x_1, x_2, \dots, x_m)^T$ 和 $\mathbf{D} = (d_1, d_2, \dots, d_n)^T$ 分别是随机选取的一对用于学习的输入、输出向量, $\mathbf{Y} = \mathbf{W}\mathbf{X} + \boldsymbol{\theta}$ 是实际输出向量. 由(7)式

$$E(\mathbf{W}) = \sum_{j=1}^n \left(\sum_{i=1}^m w_{ji} x_i + \theta_j - d_j \right)^2, \quad (10)$$

进而

$$\frac{\partial E(\mathbf{W})}{\partial w_{ji}} = 2x_i \left(\sum_{l=1}^m w_{jl} x_l + \theta_j - d_j \right) = 2(y_j - d_j)x_i.$$

$E(\mathbf{W})$ 下降的方向为

$$\delta w_{ji} = -\frac{\epsilon}{2} \frac{\partial E(\mathbf{W})}{\partial w_{ji}} = \epsilon(d_j - y_j)x_i, \quad i = 1, \dots, m, \quad j = 1, \dots, n, \quad (11)$$

其中 ϵ 为学习效率. 于是权数的变化形式为

$$\mathbf{W}(t+1) = \mathbf{W}(t) + \delta \mathbf{W}(t) = \mathbf{W}(t) + \epsilon_t ((d_j(t) - y_j(t))x_i(t))_{n \times m}. \quad (12)$$

(9)式和(12)式都是由最小二乘准则得到的确定权数的公式, 它们的区别是: (9)式将所有的学习样本看成一个总体, 一次计算出权值, 使得学习数据的计算输出与理想输出偏差平方和最小; (12)式每学习一对输入和输出, 对权数进行一次修改.

最小二乘准则应用于自适应线性网络得到的(12)式称为 Widrow-Hoff 学习规则, 或 Hebb 规则, 它们可以统称为误差修正规则.

实际上, (11)式是函数 $E(\mathbf{W})$ 下降的方向. 在什么样的条件下, 可以保证(12)式迭代收敛且为(7)式的局部最优解 \mathbf{W}^* ? Widrow 和 Stearns^[5]给出了收敛的充分条件为

$$\sum_{i=1}^{\infty} \epsilon_i = \infty, \quad \sum_{i=1}^{\infty} \epsilon_i^2 < \infty. \quad (13)$$

例如, $\epsilon_i = \frac{1}{t}$ 明显地满足条件(13).

当输入 $\mathbf{X} = (x_1, x_2, \dots, x_m)^T$ 后, 线性网络的计算输出 y_j 是 $z_j = \sum_{i=1}^m w_{ji} x_i$ 的一个放大、缩小或位移, 只与其相关的权数和输入值有关, 因而 n 个输出层神经元是相互独立的, 所以可以采用单个输出神经元研究其网络的特性.

(2) 线性网络的 MATLAB 实现

MATLAB 中产生线性网络结构的命令为:

```
net=newlin(A,n);
```

其中 A 为 $m \times 2$ 的矩阵, m 为输入变量的个数, 每一行分别表示对应输入分量的下、上界, n 为输出变量的个数.

学习规则(9)的命令为:

```
net = newlin(P,T);
```

其中 P 为学习的输入数据矩阵 X , T 为学习的理想输出矩阵 D .

计算网络输出的命令为:

```
result=sim(net,Q);
```

其中 Q 为工作(应用)阶段需要计算的输入矩阵.

当所有时段 t 的学习效率 $\varepsilon_t = 1$ 时, 学习规则(12)的命令为:

```
net = train(net,P,T);
```

这个命令的运行方式为: 对 $\{P;T\}$ 学习数据按输入和理想输出一对对地用(11)式学习, 对 $\{P;T\}$ 学习一遍后, 将以(11)式计算的结果求和, 作为权数的改变值, 然后用(12)式求得新的权数. 这样学习一遍, 称为一轮(epoch). 在使用 $\text{net} = \text{train}(\text{net}, P, T)$ 前, 需要给定目标函数(7)的平均(误差)方差的上限和计算的最大轮数(见例 3).

例 1 设网络结构、权数和激励值均已给定(图

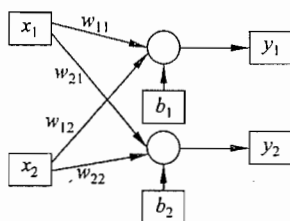


图 13.6 例 1 的网络结构

13.6), 输入变量为 x_1, x_2 , 权数 $W = \begin{bmatrix} w_{11} & w_{12} \\ w_{21} & w_{22} \end{bmatrix} =$

$\begin{bmatrix} 1.5 & 2.5 \\ 1 & 5 \end{bmatrix}$, 激励值 $b_1 = 0.5, b_2 = 0$, 输出 $y = \begin{pmatrix} y_1 \\ y_2 \end{pmatrix} = WX + b$. 当工作阶段的输入为 $(1,1), (1,2), (2,3), (2,1)$ 时, 计算神经网络的输出.

解 用 MATLAB 编程如下:

```

A=[1 2; 1 3];           % 输入变量的下界和上界(根据输入设定)
n=2;                     % 输出变量的个数
net=newlin(A,n);         % 产生线性网络结构
net.IW{1,1} = [1.5 2.5; 1 5]; % 设定权数
net.b{1} = [0.5; 0];     % 设定激励值
P=[1 1 2 2; 1 2 3 1];   % 给定输入
result=sim(net,P)        % 计算输出
  
```

得到的结果为

```
result = 4.5    7.0    11.0    6.0
         6.0    11.0    17.0    7.0
```

这个例子告诉我们:首先要用 `net=newlin(A,n)` 产生单层线性网络结构;当权数和激励值已知时,用 `net.IW{1,1}` 输入权数,`IW{1,1}` 表示从输入层到输出层的权数,用 `net.b{1}` 输入输出层神经元的外部激励值,输入形式为一个 n 维列向量;最后通过 `sim(net,P)` 完成工作阶段的功能.

例 2 设网络结构仍为图 13.6,若学习样本采用例 1 的输入:(1,1),(1,2),(2,3),(2,1),对应的理想输出设为(4,5),(6,10),(10,17),(5,5),采用整体学习方法,即规则(9),计算网络的输出,以及权数和激励值.

解 用 MATLAB 编程如下:

```
A=[1 2; 1 3];
n=2;
net=newlin(A,n);
P=[1 1 2 2; 1 2 3 1];
T=[4 6 10 5; 5 10 17 5];           % 给理想输出
net = newlin(P,T);                 % 实现学习规则(9)
result=sim(net,P)                  % 计算输出
weight=net.IW{1,1}                 % 输出权数
bias=net.b{1}                      % 输出激励值
```

得到的结果为

```
result= 3.8    6.2    9.9    5.1
         4.6    10.4    16.8    5.2
weight = 1.3    2.4
         0.6    5.8
bias = 0.1
       -1.8
```

例 3 如果对例 2 的数据采用自适应地按轮学习,即按{1,1;4,5},{1,2;6,10},{2,3;10,17},{2,1;5,5}的顺序一个个地学习,4 组都学习完后,累加修正权数,从头开始再学习.计算输出结果.

解 用 MATLAB 编程如下:

```
A=[1 2; 1 3];
n=2;
net=newlin(A,n);
```

```

net.IW{1,1} = [1.5 2.5; 1 5]; % 权的初值,若不给定,则自动(随机)生成
net.b{1} = [0.5; 0]; % 激励的初值,若不给定,则自动(随机)生成
P=[1 1 2 2; 1 2 3 1];
T=[4 6 10 5; 5 10 17 5];
net.trainParam.goal = 0.1; % 平均方差的上限不超过 0.1
net.trainParam.epochs = 200; % 学习的轮数不超过 200(默认值为 100)
[net, tr] = train(net,P,T); % 实现学习规则(12)
result=sim(net,P)

```

得到的结果为

```

TRAINB, Epoch 0/200, MSE 1.15625/0.1.
TRAINB, Epoch 25/200, MSE 0.281641/0.1.
TRAINB, Epoch 50/200, MSE 0.199741/0.1.
TRAINB, Epoch 75/200, MSE 0.154344/0.1.
TRAINB, Epoch 100/200, MSE 0.12819/0.1.
TRAINB, Epoch 125/200, MSE 0.11232/0.1.
TRAINB, Epoch 150/200, MSE 0.102065/0.1.
TRAINB, Epoch 157/200, MSE 0.0998318/0.1. % 至 157 轮达到平均方差上限的要求
TRAINB, Performance goal met.
result = 3.864 6.235 9.846 5.104
         4.980 10.588 16.472 5.257

```

如果要查看权数和激励值,可以像例 2 一样做.

例 4 自适应滤波(adaptive filtering)是自适应线性网络的一个应用.对按时序输入、每两个之间有一定时滞的信号,经自适应滤波处理后,按时序输出结果.如图 13.7 的一个具有 4 个信号处理能力的自适应滤波系统,每个信号间的时滞为 $d=1$,系统接收到 4 个信号后的输出为

$$y(t) = w_{11}x(t) + w_{12}x(t-1) + w_{13}x(t-2) + w_{14}x(t-3) + b, \quad t = 1, 2, \dots$$

假设输入信号的范围为 $[1, 20]$, 按时序输入的信号为 $\{1, 2, 3, 4, 5, 6, 7\}$, 理想输出信号为 $\{10, 20, 30, 40, 50, 60, 70\}$, 设初始信号为 $[x(0), x(-1), x(-2)] = [8, 9, 10]$, 用学习规则(12)计算自适应滤波的输出.

解 MATLAB 程序为:

```

net = newlin([1,20],1);
net.inputWeights{1,1}.delays = [0 1 2 3]; % 4 个信号之间的延时顺序
pi = {8 9 10}; % 初始信号
P = {1 2 3 4 5 6 7};
T = {10 20 30 40 50 60 70};
net.adaptParam.passes = 40; % 学习的轮数不超过 40

```

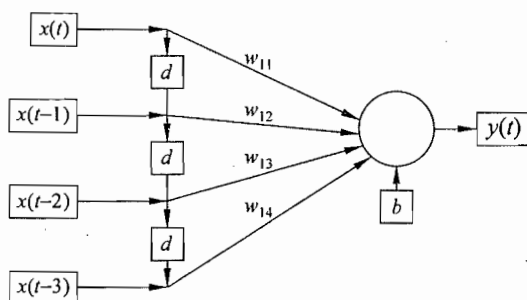


图 13.7 自适应滤波系统

```
net.trainParam.goal=0.1; % 平均方差的上限不超过 0.1
[net,y,pf]=adapt(net,P,T,pi) % 实现学习规则(12)
```

得到的结果为:

```
y = 10.2369 20.2080 29.7509 40.6235 50.0679 59.6587 69.6452
pf = [5] [6] [7] % 将不足 4 个的输入信号不处理地输出
```

13.2.3 阶跃网络

(1) 基本原理

激活函数采用阶跃函数的网络称为阶跃网络,即激活函数为

$$y_j = f(z_j + b_j) = \text{sgn}\left(\sum_{i=1}^m w_{ji}x_i + b_j\right), \quad j = 1, 2, \dots, n.$$

阶跃网络的学习规则来源于最小二乘目标函数得到的(12)式. 给定初始权 $W(1)$ 和阈值 $b(1)$, 假设第 $t(=1, 2, \dots)$ 个学习数据为 $x(t) = (x_1(t), x_2(t), \dots, x_m(t))^T$, 网络输出为 $y(t) = (y_1(t), y_2(t), \dots, y_n(t))^T$, 理想输出为 $d(t) = (d_1(t), d_2(t), \dots, d_n(t))^T$, 学习规则是

$$W(t+1) = W(t) + \delta W(t) = W(t) + ((d_j(t) - y_j(t))x_i(t))_{n \times m}, \quad (14)$$

$$b(t+1) = b(t) + d(t) - y(t). \quad (15)$$

阶跃网络处理的输出是 0-1 变量, 如果给定的分类问题或判定问题是线性可分的, 即如图 13.8 所示, 存在一条直线(或平面) L 将平面(或空间)分为两部分, 使得理想输出为 1(Y 表示)和 0(N 表示)的输入点分别在各自一半的部分中.

从理论上来说, 上面的学习规则可以在有限步内确定权数, 使得阶跃网络得到正确的输出. 需要注意的是, 对非线性可分问题, 无论是线性还是阶跃单层网络都无法得到理想的结果.

(2) 阶跃网络的 MATLAB 实现

MATLAB 中产生阶跃网络结构的命令为:

```
net = newp(A, n);
```

其中 A,n 与线性网络的命令相同. 其他命令如

```
result = sim(net, Q); net = train(net, P, T);
```

的用法也与线性网络相同.

例 5 与例 1 相同的网络结构, 有学习样本输入为 (1,1), (1,2), (2,3), (2,1), 理想输出为 (1,0), (0,1), (0,1), (1,0), 用阶跃网络和规则 (12) 学习, 输出结果.

解 程序为:

```
A=[1 2; 1 3];
n=2;
net=newp(A,n); % 产生阶跃网络结构
P=[1 1 2 2; 1 2 3 1];
T=[1 0 0 1; 0 1 1 0];
[net, tr] = train(net, P, T);
result = sim(net, P)
```

计算结果为

```
TRAINC, Epoch 0/100
TRAINC, Epoch 6/100
TRAINC, Performance goal met.
result = 1    0    0    1
         0    1    1    0
```

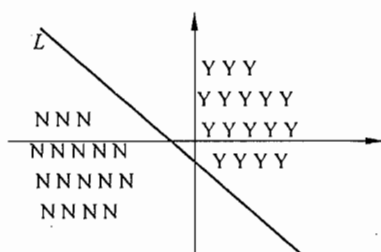


图 13.8 线性可分示意图

13.3 多层前向神经网络

用一个两层的神经网络 (图 13.9) 来讨论多层前向神经网络 (multi-layer feed forward neural networks). 为了方便起见, 各层的元素都称为神经元.

图 13.9 中输入层、隐层、输出层分别有 3 个、2 个和 4 个神经元. 前向网络要求每一层内的神经元无相连关系, 而上一层 (左边) 的输出是下一层 (右边) 的输入.

对于一般的多层前向神经网络, 如果记输入层为第 0 层, 输出层为第 K 层, 称为 K 层网络. 除输入和输出以外的层称为隐层.

从输入层到第 1 层的权数矩阵用 $\mathbf{IW}\{1,1\} = (w_{ij}^1)_{n_1 \times n_0}$ 表示. 记第 $k-1$ 层到第 k 层

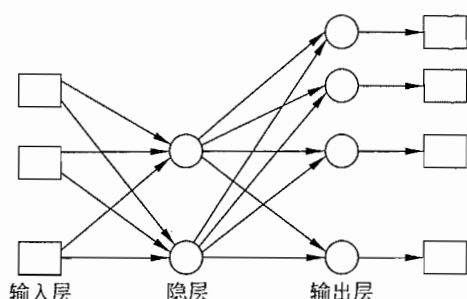


图 13.9 二层前向神经网络结构示意图

的权数矩阵为 $LW\{k, k-1\} = (w_{ij}^k)_{n_k \times n_{k-1}}$ ($k \geq 2$), 其中 n_k 表示第 k 层神经元个数. 输入向量为 $X = (x_1, x_2, \dots, x_{n_0})^T$.

若多层神经网络的每一层都采用线性激活函数输出, 称为多层简单线性前向网络. 第 n 层的输出为 $Z^n = LW\{n, n-1\}LW\{n-1, n-2\} \cdots IW\{1, 1\}X$, 因此, 多层简单线性前向网络等同于单层线性网络, 下面不再讨论.

多层阶跃激活函数的神经网络, 具有非常好的分类功能, 完全可以解决著名的“异或问题”, 但因没有很好的学习方法, 故在实际问题中应用较少. S 形函数有很好的函数特性, 其效果又近似符号函数, 因此下面讨论采用 S 形函数的前向多层神经网络的学习方法.

13.3.1 反推学习规则

给定一个输入 $X = (x_1, x_2, \dots, x_{n_0})^T$ 和理想输出 $D = (d_1, d_2, \dots, d_{n_K})^T$, 记

$$X = \begin{bmatrix} x_1 \\ x_2 \\ \vdots \\ x_{n_0} \end{bmatrix}, \quad Z_1 = \begin{bmatrix} z_1^1 \\ z_2^1 \\ \vdots \\ z_{n_1}^1 \end{bmatrix} = IW\{1, 1\}X, \quad Y_1 = \begin{bmatrix} y_1^1 \\ y_2^1 \\ \vdots \\ y_{n_1}^1 \end{bmatrix} = \begin{bmatrix} f_1(z_1^1 + \theta_1^1) \\ f_1(z_2^1 + \theta_2^1) \\ \vdots \\ f_1(z_{n_1}^1 + \theta_{n_1}^1) \end{bmatrix}, \quad (16)$$

第 $k-1$ ($k \geq 2$) 层到第 k 层的权矩阵、接收值向量和输出向量之间的关系为

$$Z_k = \begin{bmatrix} z_1^k \\ z_2^k \\ \vdots \\ z_{n_k}^k \end{bmatrix} = LW\{k, k-1\}Y_{k-1}, \quad Y_k = \begin{bmatrix} y_1^k \\ y_2^k \\ \vdots \\ y_{n_k}^k \end{bmatrix}, \quad (17)$$

其中 $y_i^k = f_i(z_i^k + \theta_i^k)$, f_i 为 S 形或线性函数. 要确定 $IW\{1, 1\}$, $LW\{k, k-1\}$ ($k = 2, \dots, K$), 使得

$$E(W) = (D - Y_K)^T (D - Y_K) \quad (18)$$

最小. 由于 $E(W)$ 是一个二次函数且 S 形或线性函数可微, 因此, 网络学习规则为梯度下降方向. 按 $E(W)$ 下降的方向确定权数的学习规则为

$$LW\{k+1, k\}(t+1) = LW\{k+1, k\}(t) + \delta W_{k+1}(t), \quad k = K-1, \dots, 1, \quad (19)$$

$$IW\{1, 1\}(t+1) = IW\{1, 1\}(t) + \delta W_1(t), \quad (20)$$

$$\delta W_k(t) = -\frac{1}{2} \epsilon_t \left(\frac{\partial E(W(t))}{\partial w_{ji}^k} \right)_{n_k \times n_{k-1}}, \quad (21)$$

ϵ_t 为第 t 步的学习效率.

由具体的梯度计算可以看到(参看文献[10]): 权数的修正就是从最后一层神经元的权数 $LW\{K, K-1\}$ 开始, 反向递推修正 $K-1$ 层的 $LW\{K-1, K-2\}, \dots$, 一直修正到第 1 层的权数 $IW\{1, 1\}$, 因此称为反推学习规则 (back-propagation, BP).

多层前向网络的学习分为成批和逐一两种方式. 逐一学习的规则是: 对给定的一批学习数据, 每学习一个输入和理想输出, 按照(19)~(21)式修正权数. 成批学习将数据看成一批, 每学完一批数据后, 修正权数, 目标函数为

$$E(W) = \frac{1}{J} \sum_{t=1}^J (D(t) - Y_K(t))^T (D(t) - Y_K(t)) = \frac{1}{J} \sum_{t=1}^J E_t(W),$$

$$E_t(W) = (D(t) - Y_K(t))^T (D(t) - Y_K(t)). \quad (22)$$

反推(BP)学习算法

步骤 1 给定学习数组 $\{X(t), D(t)\}$ ($t=1, 2, \dots, J$), 随机确定初始权矩阵 $W(0)$; 给定最小二乘目标函数的偏差上界和迭代次数上限;

步骤 2 用逐一或成批学习规则修正权数, 直到达到偏差要求或迭代次数上限.

BP 算法弥补了符号函数在实际应用中难以确定权数的不足, 这使得具有很强识别功能的前向多层网络得以应用. 应用 BP 算法时需要注意以下问题:

第一, 激活函数为 S 形函数, 只能趋近 0 或 1. 于是, 在神经网络的工作阶段, 输出值只能接近 1 或 0. 判定一个数组的归类问题就需要给出一个分界值, 而不是绝对的 1 或 0.

第二, $W(0)$ 和激励初始值的选取最好是随机的. 如果 $W(0)$ 的所有权数相等, 每个神经元的激励值相等, 且每个神经元有相同的 S 形函数时, 由(16)式和(17)式可以推出: 无论什么样的输入 X, Z_1 中的全部分量相同. 当第一层的激活函数取同一个函数时, Y_1 的全部分量相同; 当每一层的激活函数取同一个函数时, 由于 Z_k 的各分量相同, 所以 $\frac{dy_1^k}{dz_1^k} = \dots = \frac{dy_{n_k}^k}{dz_{n_k}^k}$, 再由(21)式的运算得 $\left(\frac{\partial E(W(t))}{\partial w_{ji}^k} \right)_{n_k \times n_{k-1}}$ 中的所有元素相等. 由此得到的修正权对很多问题无法识别.

第三, 算法的全局最优性. 存在的理论问题之一是选取不同的目标函数是否有惟一

的极值点? 算法能否收敛到局部最优(参看文献[6])? 为了避免局部最优解的一个改进方法是(21)式的学习规则修正为

$$\delta W_k(t) = -\frac{1}{2} \epsilon_i \left(\frac{\partial E(W(t))}{\partial w_{ij}^k} \right)_{n_k \times n_{k-1}} + \alpha_i \delta W_k(t-1). \quad (23)$$

(23)式右端的第二项相当于一个势能“惯性”, 式中的 α_i 决定于权数两次变化的相互关系.

第四, 当学习数据给定后, (18)式或(22)式是一个非线性二次函数, 因此, BP 算法主要采用与梯度下降有关的学习方法. 非线性函数优化有很多的方向下降方法, 这些方法都可以应用在 BP 学习算法中, 下面将讨论不同方法的应用.

13.3.2 MATLAB 的实现

MATLAB 中产生前向多层网络结构的命令为:

```
net=newff(A,B,{C},'trainfun');
```

其中 A 是一个 $n_0 \times 2$ 的矩阵, n_0 为输入层变量的个数, 每一行分别表示对应输入分量的下、上界; B 是一个 K 维的行向量, 其分量为对应层神经元的个数; C 是一个 K 维的字符串向量, 每一个字符串分量为对应层神经元的激活函数; trainfun 为学习规则采用的训练函数.

MATLAB 中激活函数为

$$\text{logsig}(x) = \frac{1}{1 + e^{-x}}, \quad (24)$$

$$\text{tansig}(x) = \frac{e^x - e^{-x}}{e^x + e^{-x}}, \quad (25)$$

$$\text{purelin}(x) = x. \quad (26)$$

其字符串分别为 “logsig”, “tansig”, “purelin”.

训练函数 trainfun 见表 13.2.

表 13.2 MATLAB 中的学习函数及其简单描述

MATLAB 函数名	功 能
traingd	基本的梯度下降方法: 利用(21)式进行修正, 收敛慢, 可以用在批量或逐一学习规则.
traingdm	势能修正 (gradient descent with momentum) 法: 利用(23)式进行修正, 一般比 traingd 收敛快, 可以用在批量或逐一学习规则.
traingdx	自调整学习效率 (adaptive learning rate) 法: 比 traingd 收敛速度快, 仅限批量学习规则.

续表

MATLAB 函数名	功 能
trainrp	恢复 BP 法(resilient backpropagation):依据(22)式的变化情况,选择权数修正,权数变化的大小与(22)式没有直接关系;收敛速度快并用最小的内存需求;仅限批量学习规则。
traincgf	Fletcher-Reeves 共轭梯度法:在共轭梯度法中内存需求最小,仅限批量学习规则。
traincgp	Polak-Ribière 共轭梯度法:比 traincgf 的内存需求稍大,对一些问题的收敛速度较快,仅限批量学习规则。
traincgb	Powell-Beale 共轭梯度法:比 traincgp 的内存需求稍大,一般有较快的收敛速度,仅限批量学习规则。
trainscg	标量(scaled)共轭梯度法:仅有的不需线性搜索的共轭梯度法,仅限批量学习规则。
trainbfg	BFGS 拟牛顿法:每一步迭代需要较大的计算量,但迭代次数较少,仅限批量学习规则。
trainoss	一步共轭和拟牛顿组合法:由共轭梯度法和拟牛顿法组合,仅限批量学习规则。
trainlm	Levenberg-Marquardt 法:中等规模网络的最快学习算法,仅限批量学习规则。
trainbr	Bayesian 规范法:Levenberg-Marquardt 法的修正算法,仅限批量学习规则。

使用 `newff(A,B,{C},'trainfun')`,除了需要输入 `A,B,{C},'trainfun'`外,在训练的过程中,MATLAB 中已经默认了一些过程参数,如果需要修改,可以根据需要给出不同的参数。常用的参数见表 13.3。

表 13.3 常用参数

MATLAB 参数名	功 能	缺省(默认)值
net.trainParam.goal	最小二乘目标(22)式设定值	0
net.trainParam.epochs	整批学习的迭代次数上限	100
net.trainParam.show	显示中间结果的周期	25
net.trainParam.lr	整批学习中的学习效率 ϵ_t	0.01
net.trainParam.mc	采用势能学习规则 <code>traingdm</code> 的势能率,即(23)式中的 α_t	0.9

例 6 给定 4 组学习数据为输入 $[-1 \ -1 \ 2 \ 2; 0 \ 5 \ 0 \ 5]$,理想输出 $[-1 \ -1 \ 1 \ 1]$,试建立一个 2 层前向神经网络,第 1 层(隐层)由 3 个神经元组成且用 `tansig` 函数,第 2 层用 `purelin` 函数。学习规则为 `traingd`。

解 从输入数据可以设定 $A = [-1 \ 2; 0 \ 5]$, 隐层和输出层分别有 3 个和 1 个神经元, 因此 $B = [3 \ 1]$, 如果采用默认的参数, 命名 li61.m 的 MATLAB 程序为:

```
A = [-1 2; 0 5];
B = [3 1];
net = newff(A, B, {'tansig', 'purelin'}, 'traingd');
p = [-1 -1 2 2; 0 5 0 5];
t = [-1 -1 1 1];
[net, tr] = train(net, p, t);
a = sim(net, p)
```

计算结果为:

```
TRAINGD, Epoch 0/100, MSE 2.38926/0, Gradient 3.66676/1e-010
TRAINGD, Epoch 25/100, MSE 0.913783/0, Gradient 1.48203/1e-010
TRAINGD, Epoch 50/100, MSE 0.62024/0, Gradient 0.737598/1e-010
TRAINGD, Epoch 75/100, MSE 0.539988/0, Gradient 0.413475/1e-010
TRAINGD, Epoch 100/100, MSE 0.513057/0, Gradient 0.249464/1e-010
TRAINGD, Maximum epoch reached, performance goal was not met.
a = -3.7994e-002    -9.1354e-001    -3.8625e-002    7.9861e-001
```

可以看出, 计算在迭代到 100 次后停止, 平均最小二乘误差 $MSE = 0.513057$, 距默认值 0 尚远. 如果连续运行程序, 权数逐步迭代, 会发现计算结果越来越好.

为了比较一个算法的计算效率, 需要对权数初始化, 可以采用 MATLAB 提供的命令

```
net = init(net);
```

它保证每次计算开始时, 随机产生权数. 若将这个命令加到上面的程序, 重复运行几次, 会发现计算结果不是越来越好.

现设定一些参数, 命名 li62.m 的程序为:

```
A = [-1 2; 0 5];
B = [3 1];
net = newff(A, B, {'tansig', 'purelin'}, 'traingd');
net = init(net);
net.trainParam.show = 10;
net.trainParam.lr = 0.2;
net.trainParam.mc = 0.8;
net.trainParam.epochs = 50;
net.trainParam.goal = 0.01;
p = [-1 -1 2 2; 0 5 0 5];
t = [-1 -1 1 1];
```

```
[net,tr]=train(net,p,t);
a=sim(net,p)
```

计算结果为:

TRAINGD, Epoch 0/50, MSE 2.27506/0.01, Gradient 3.27134/1e-010

TRAINGD, Epoch 10/50, MSE 0.00769866/0.01, Gradient 0.113776/1e-010

TRAINGD, Performance goal met.

a = -1.1112e+000 -9.28376e-001 1.0385e+000 8.91281e-001

10 次迭代达到预期效果. 重复运行上面的程序, 你会发现计算结果可能不同, 这与权数的随机选取有关.

13.3.3 BP 算法的综合应用示例

例 7 用图 13.10 的两层前向神经网络产生图 13.11 的理想输出.

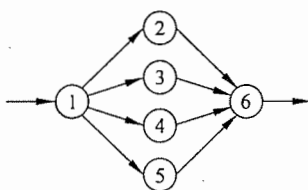


图 13.10 6 个神经元的两层网络

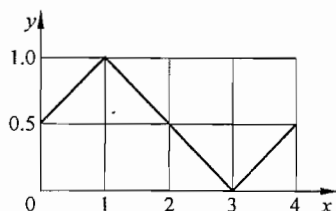


图 13.11 理想输出

学习数据如表 13.4, 共有 81 个点. 每个神经元的激活函数都采用(24)式. 对不同的学习算法比较计算的效率, 程序中的 trainfun 由表 13.2 中的函数逐一替代. 除设定迭代次数上限、显示迭代轮数和最小二乘目标值上限外, 其他参数均采用默认值. 初始权数的选取具有随机性, 每一个训练方法重复计算 5 次, 取输出的平均值.

表 13.4 学习数据

输入值	输出值	输入值	输出值	输入值	输出值
0.000	0.500	1.800	0.600	2.900	0.050
0.050	0.525	1.850	0.575	2.950	0.025
0.100	0.550	1.900	0.550	3.000	0.000
0.150	0.575	1.950	0.525	3.050	0.025
0.200	0.600	2.000	0.500	3.100	0.050
...	...	2.050	0.475
0.900	0.950	2.100	0.450	3.800	0.400

续表

输入值	输出值	输入值	输出值	输入值	输出值
0.950	0.975	2.150	0.425	3.850	0.425
1.000	1.000	2.200	0.400	3.900	0.450
1.050	0.975	2.250	0.375	3.950	0.475
1.100	0.950	4.000	0.500
...		

命名为 li71.m 程序如下：

```

atime=0;           % 时间计时名称
aepoch=0;          % 迭代次数名称
amse=0;            % 最小二乘目标值名称
for l=1:5           % 迭代 5 次
tic;               % 计时开始
net=newff([0 4],[4 1],{'logsig','logsig'},'trainfun'); % 用表 1 的函数名替代 trainfun
net=init(net);
P=[0:0.05:4];
for i=1:1:81
    if 0.05*(i-1)>=0&0.05*(i-1)<=1
        T(i)=0.5+0.5*0.05*(i-1);
    elseif 0.05*(i-1)>1&0.05*(i-1)<=3
        T(i)=1/2*(-0.05*(i-1)+3);
    elseif 0.05*(i-1)>3&0.05*(i-1)<=4
        T(i)=1/2*(0.05*(i-1)-3);
    end
end
net.trainParam.show=1000;
net.trainParam.epochs=3000;
net.trainParam.goal=0.005;
[net,tr]=train(net,P,T); % 计算的中间结果参数用 tr 表示
time=time+toc;           % 计时累加
[n1,n2]=size(tr.epoch); % tr.epoch 表示迭代的轮数
aepoch=aepoch+tr.epoch(1,n2);
[n3,n4]=size(tr.perf); % tr.perf 表示迭代的每一轮最小二乘目标函数的值
epomse=tr.perf(1,n4);
amse=amse+epomse;
end

```

```
time = time/5
aepoch = aepoch/5
amse = amse/5
```

计算结果见表 13.5。在表 13.5 和下面的表 13.6 中,结果 1 表示达到不超过最小二乘目标设定值的要求;结果 2 表示达到设定的最大迭代轮数上限 3000;结果 3 表示达到了步长的最小设定值而提前终止;结果 4 表示达到设定最小梯度值而提前终止;结果 5 表示达到设定最大均值(结果 2 到结果 5 都没有达到不超过最小二乘目标设定值的要求);“*”前的数字表示达到该结果的次数。

从表 13.5 可以看出,对于本示例,trainrp,traincgf,traincgb,trainscg,trainlm 是比较好的学习方法。

实际上,每一个学习方法中还有一些参数可以人为调整,这需要大量的模拟计算。以本例的 traingdm 学习方法为例,可以调整的参数有势能率 net.trainParam.mc 和学习效率 net.trainParam.lr。用表 13.4 数据计算 10 次的平均值,以比较这两个参数的不同组合对结果的影响。可将 li71.m 简单修改得到这两个参数的模拟计算程序,修改的内容包括:迭代次数改成 10 次;trainfun 以 traingdm 代入;设定 net.trainParam.mc=0.9 和 net.trainParam.lr=0.01(0.9,0.01 可调节),并加入在 net.trainParam.goal=0.005 之后。计算结果见表 13.6。

表 13.5 各种训练方法的 5 次平均计算结果

MATLAB 函数名	平均计算时间 (time)/s	平均迭代轮数 (aepoch)	平均目标值 (amse)	计算终止的原因
traingd	17.49	3000.0	0.135495	5* 结果 2
traingdm	16.76	3000.0	0.154739	5* 结果 2
traingdx	7.31	826.8	0.005462	4* 结果 1,1* 结果 2
trainrp	2.46	97.4	0.004966	5* 结果 1
traincgf	3.31	188.4	0.004797	5* 结果 1
traincgp	9.91	649.8	0.007782	3* 结果 1,1* 结果 2,1* 结果 3
traincgb	2.87	28.2	0.004659	5* 结果 1
trainscg	2.03	104.6	0.004683	5* 结果 1
trainbfg	2.15	92	0.006793	4* 结果 1,1* 结果 4
trainoss	25.85	1611.4	0.006259	3* 结果 1,2* 结果 2
trainlm	5.92	28	0.004251	5* 结果 1
trainbr	2.49	116.4	0.033352	5* 结果 5

表 13.6 不同参数 10 次计算结果

参数组合 (mc,lr)	平均计算时间 (time)/s	平均迭代轮数 (aepoch)	平均目标值 (amse)	计算终止的原因
0.9,0.01	14.68	3000	0.125525	10* 结果 2
0.9,0.1	13.61	2777.8	0.010079	4* 结果 1,6* 结果 2
0.9,0.5	10.90	2055.4	0.008512	4* 结果 1,6* 结果 2
0.9,1	8.91	1725.5	0.007911	5* 结果 1,5* 结果 2
0.5,0.1	14.38	2900.9	0.010935	2* 结果 1,8* 结果 2
0.5,0.5	10.20	1916.8	0.006574	6* 结果 1,4* 结果 2
0.5,1	13.11	2721.8	0.008474	2* 结果 1,8* 结果 2
0.1,0.1	13.82	2807.8	0.012222	2* 结果 1,8* 结果 2
0.1,0.5	12.16	2397.9	0.008541	3* 结果 1,7* 结果 2
0.1,1	8.94	1667.3	0.007138	4* 结果 1,6* 结果 2

可以看出,两个参数的选取对结果影响很大.学习效率低时,收敛慢,造成迭代轮数的增加;势能系数高收敛并不一定快.结果显示,势能系数和学习效率都是 0.5 时,效果最好.若采用 `traincgb` 学习方法,默认系数,最小二乘目标函数值上限取 0.001,经过学习后,再重新将表 13.4 的数据输入,其计算结果如图 13.12 所示.其中实线图形为理想输出,“+”图形为计算结果.

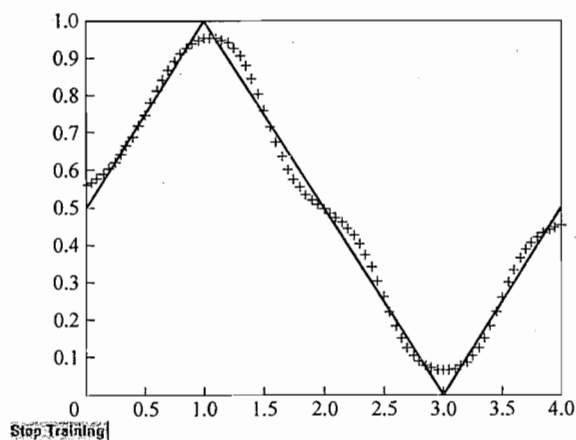


图 13.12 例 7 的计算输出与理想输出

前向多层神经网络的实际应用包括很多方面,如手写体的识别、语音识别、文本语音转换、图像识别、生物和医学信号处理等.

13.4 MATLAB 的图形交互界面

MATLAB 神经网络工具箱提供了图形交互界面,省去了编写程序的繁琐,提高了程序运行的效率.调用图形交互界面的命令为 `nntool`,运行后,出现界面如图 13.13.

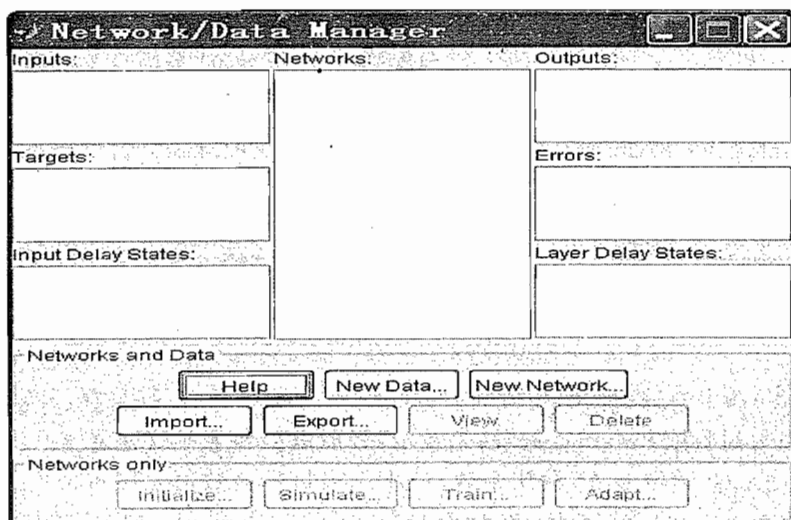


图 13.13 神经网络交互主界面

计算一个新算例时,单击 `New Data` 按钮,建立相应的输入(Inputs)、理想输出(Targets)等数据.以例 6 为例,当输入 $[-1 \ -1 \ 2 \ 2; 0 \ 5 \ 0 \ 5]$ 后,单击 `Create` 按钮,则数据存储在临时数据文件 `data1` 中.同样,理想输出的输入完毕后,单击 `Create` 按钮,则数据存储在临时数据文件 `data2` 中.单击 `New Networks` 按钮,完成网络结构的输入,如图 13.14 所示.

可以通过光标的选择,建立一个两层的 BP 算法神经网络,第 1 层(隐层)由 3 个神经元组成,且用 `tansig` 函数,第 2 层用 `purelin` 函数.学习规则为 `traingd`.单击 `Create` 按钮,则网络结构保存在 `network1` 数据文件中.当光标在 `network1` 的位置时,可以通过选择 `Initialize`、`Train` 和 `Simulate` 等键完成网络的初始化、训练和模拟工作.训练后的神经元输出和与理想输出的偏差计算结果分别保存在 `network1_outputs` 和 `network1_errors` 数据文件中.在训练开始,可以通过 `Training Parameters` 选择参数.单击 `Train Network` 后,可以得到网络的权数、计算出结果、计算出结果与理想输出的偏差等.可以通过单击相应的图标得到需要的数据.

将光标选中相应的栏目后,单击 `View` 可以直接观察或修改数据,也可以通过 `Export`

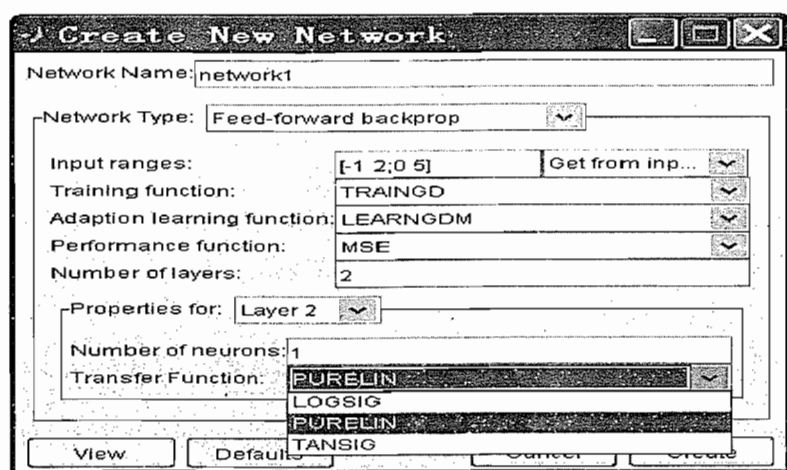


图 13.14 神经网络的网络结构的交互界面

将数据传到 MATLAB 工作区。

如果学习数据庞大,通过界面逐一输入非常不方便,可以将输入数据和理想输出数据按要求格式分别存储在自定义的数据文件中,通过交互界面的 Import 完成输入数据和理想输出数据的输入。

13.5 神经网络在谵妄诊断中的应用

利用神经网络方法求解这个问题效果怎样?我们将表 13.1 中的 1~40 号数据和 59~96 号数据作为学习数据,41~58 号数据作为检验数据. 18 个检验数据中有一例漏诊和一例误诊,因此可以比较好地检验神经网络的功效。

选用极为简单的 2 层且隐层有 4 个神经元的 BP 算法神经网络,程序 zhanwang. m 如下:

```
M=dlmread('data1.m','t');           % 从 data1.m 文件中读取数据
A=zeros(78,11);                       % 由于表 13.6 第一列序号存在数据文件中,因此通
                                       % 过程序剔除. A 矩阵中存储学习数据
C=zeros(18,11);                       % C 矩阵存储检验数据
for i=1:40
    for j=2:12
        A(i,j-1)=M(i,j);
    end
end
end
```

```

for i=41:78
    for j=2:12
        A(i,j-1)=M(18+i,j);
    end
end
for i=1:18
    for j=2:12
        C(i,j-1)=M(40+i,j);
    end
end
A=A'; % 按神经网络要求格式书写数据矩阵
C=C';
B=[4 1]; % 隐层、输出层分别有 4 个和 1 个神经元
T1=[ones(1,40),zeros(1,38)]; % 学习数据的理想输出
net=newff(minmax(A),B,{'tansig','tansig'},'traingdx'); % 建立网络结构,选取学习规则
net=init(net);
net.trainParam.show=1000; % 设定一些控制参数
net.trainParam.epochs=4000;
net.trainParam.goal=0.005;
[net,tr]=train(net,A,T1); % 开始训练
a=sim(net,C); % 对检验数据开始工作
T2=[ones(1,8),zeros(1,10)]; % 检验数据的理想输出
output1=sum(round(a-T2)) % 以 0.5 作为诊断的分界值,计算诊断错误数
b=sim(net,A); % 对学习数据重新开始工作
output2=sum(round(b-T1)) % 以 0.5 作为诊断的分界值,计算诊断错误数

```

其中 data1.m 文件中存储表 13.1 中的后 96 行、前 12 列的数据。

重复计算 5 次,共 18×5 检验样本的诊断错误数 output1 累加为 2,即检验数据中出现两例诊断错误,诊断错误率为 $2/90 = 2.2\%$,这已经大大降低了量表诊断法的错误率。很明显,只要算法达到预置的 `net.trainParam.goal = 0.005`,学习样本的诊断错误数 output2 一定为 0。将两种诊断错误累加,则合计 96×5 样本的总体诊断错误率为 $2/480 = 0.004 = 0.4\%$ 。如果将所有的数据都作为学习样本,只需如 example2.m 一样简单地设置过程参数,则 2 层且隐层有 4 个神经元的 BP 算法神经网络可以保证无诊断错误。

神经网络所涵盖的内容很广泛。除本实验介绍的内容外,还有竞争学习、自组织学习^[7]等无指导学习的前向神经网络。前向神经网络非常适合应用在识别、归类和建立因果关系等问题。特别是那些机理尚不清楚的领域,更体现出神经网络的优越性。

20 世纪 80 年代,Hopfield^[8,9]通过模拟电路实现了反馈型人工神经网络的功能,并成功地应用到组合优化问题,这一突破使得人工神经网络成为新的研究热点。对人工神经

网络的总体评价可以归为以下几个方面^[10]。

第一,提供信息处理的一种新的手段.主要归功于人工神经网络的自适应性、学习能力和大规模的平行计算能力.第二,发展已较为成熟.成熟的3个方面是:模型的建立和数学理论的支持,计算工具的发展,神经生物学的发展和对大脑的认识.第三,人工神经网络发展仍然受到限制.尽管计算机技术发展迅速,但是在储存、速度和用户柔性方面的非适应能力,限制了人工神经网络的发展.第四,有成功应用的案例.人工神经网络在视觉、语言、信号处理和机器人等方面有成功应用的示例.虽说应用的范围有限,但其应用的领域及效果给人们以深刻的印象.

人工神经网络的模型要求发展神经网络型计算系统来替代传统的计算机.这种计算系统不再是传统计算机顺序执行命令的运行过程,而是希望对输入进行平行处理;不再是只包含一个或几个复杂的计算设备,而是由众多简单设备有机组成在一起;处理信息时,不再是将信息存储在一个精确的位置上,而是通过神经元的内部相连关系达到信息储存的功能.在目前的条件下,还只能依赖传统的计算机来模拟人工神经网络的这些功能.数值计算和分析是模拟中的一个重要部分.只有当人工神经网络硬件系统得到发展,才能使目前的人工神经网络更快、更有效地解决规模更大的实际问题.

13.6 实验练习

实验目的

1. 掌握前向神经网络的基本概念与原理,及用 MATLAB 实现的方法;
2. 练习用这些方法解决实际问题.

实验内容

1. “异或问题(XOR)”是最简单的逻辑运算之一,两个逻辑变量 x_1, x_2 及结果 y 的运算满足

x_1	x_2	y
0	0	0
0	1	1
1	0	1
1	1	0

试用单层线性网络(图 13.15)计算,分析计算结果.证明单层线性网络无法实现 XOR 的计算功能.

2. 证明无论单层阶跃网络(图 13.15)中的权数和阈值如何选取,都无法正确模拟

XOR 问题的输入输出关系.

3. 两层前向神经网络如图 13.16, 若它的所有神经元的激活函数采用阶跃函数, 权数如图标定, 每个神经元的阈值为 0. 证明: 该神经网络可以正确模拟 XOR 问题的输入输出关系.

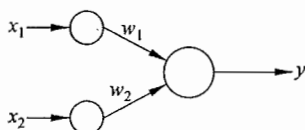


图 13.15 异或问题网络

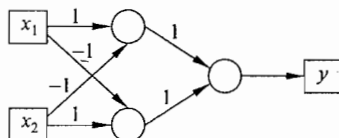


图 13.16 模拟 XOR 问题的神经网络

4. 试用单层 Sigmoid 前向神经网络(图 13.15)计算求解 XOR 问题, 并分析计算结果.

5. 一个自适应滤波系统可以同时处理 6 个信号, 每个输入信号的范围为 $[1, 30]$, 若依次收到时滞为 1 的信号 $\{1, 5, 10, 15, 20, 25, 30, 25, 20, 15\}$, 其的理想输出为 $\{10, 20, 30, 40, 50, 60, 70, 70, 70, 70\}$, 假设初始系统信号为 $[x(0), x(-1), x(-2), x(-3), x(-4)] = [5, 4, 3, 2, 1]$, 试用神经网络模拟这个系统.

6. 试用一个两层的 BP 神经网络系统模拟 $\sin(x)$ ($0 \leq x \leq 2\pi$). 分析比较隐层神经元不同的个数, 不同的学习方法, 不同的控制参数组合对计算结果的影响.

7. 对 13.5 节谰妄诊断问题, 讨论隐层神经元的个数对计算结果的影响.

8. 寻找一些实际问题的数据, 应用神经网络方法, 解决和分析这些问题.

参考文献

- 1 James W. Psychology (Briefer Course). New York: Holt, 1890
- 2 McCulloch W, Pitts W. A logical calculus of the ideas imminent in nervous activity. Bulletin of Mathematical Biophysics, 1943, 5: 115~133
- 3 Minsky M, Papert S. Perceptrons. Cambridge, MA: MIT Press, 1969
- 4 McClelland J, Rumelhart D. Explorations in Parallel Distributed Processing. Cambridge, MA: MIT Press, 1988
- 5 Widrow B, Stearns S. Adaptive Signal Processing. Englewood: Prentice Hall, 1985
- 6 Rumelhart D, Hinton G E, Williams R J. Parallel Distributed Processing: Explorations in the Microstructure of Cognition, Cambridge: MIT Press, 1986
- 7 Kohonen T. Self-Organization and Assocoative Memory. Springer, 1984
- 8 Hopfield J, Tank D. "Neural" computation of decisions in optimization problems. Biological Cybernetics, 1985, 52:141~152
- 9 Hopfield J, Tank D. Computing with neural circuits: a model. Science, 1986, 233:625~633
- 10 邢文训, 谢金星. 现代优化计算方法. 北京: 清华大学出版社, 1999

在前面的每个实验中我们都是首先提出几个简化的实际问题,建立它们的数学模型,然后介绍求解这一类模型的某种数学方法和相应的软件,最后给出这些问题的数学结果并给以适当的解释.作为数学建模与数学实验的综合应用,这个实验将给出几个稍微复杂一点的实际问题及其数学模型,它们的求解要用到前面不止一个实验中介绍的内容.

14.1 投篮的出手速度和角度

14.1.1 问题的提出

在激烈的篮球比赛中,提高投篮命中率对于获胜无疑起着决定作用,而出手角度和出手速度是决定投篮能否命中的两个关键因素.这里讨论比赛中最简单、但对于胜负也常常是很重要的一种投篮方式——罚球,并且球出手后不考虑自身的旋转,不考虑碰篮板或篮筐.

图 14.1 为过罚球点 P 和篮筐中心 Q 且垂直于地面的平面示意图,按照标准尺寸, P 和 Q 点的水平距离 $L = 4.60\text{m}$, Q 点的高度 $H = 3.05\text{m}$,篮球直径 $d = 24.6\text{cm}$,篮筐直径 $D = 45.0\text{cm}$.不妨假定篮球运动员的出手高度 h 为 $1.8 \sim 2.1\text{m}$,出手速度 v 为 $8.0 \sim 9.0\text{m/s}$.试建立数学模型研究以下问题:

(1) 先不考虑篮球和篮筐的大小,讨论球心命中筐心的条件.对不同的出手高度 h 和出手速度 v ,确定出手角度 α 和球入篮筐处的入射角度 β .

(2) 考虑篮球和篮筐的大小,讨论球心命中筐心且球入筐的条件.检查上面得到的出手角度 α 和入射角度 β 是否符合这个条件.

(3) 为了使球入筐,球心不一定要命中筐心,可以偏前或偏后(球心命中图 14.1 中的 Q_1 或 Q_2 点).讨论保证球入筐的条件下,出手角度允许的最大偏差,和出手速度允许的最大偏差.

(4) 考虑空气阻力的影响.由于投篮基本上是水平方向且速度不大的室内运动,可以只计水平方向的阻力,设阻力与速度成正比,比例系数 k 不超过 $0.05(1/\text{s})$.

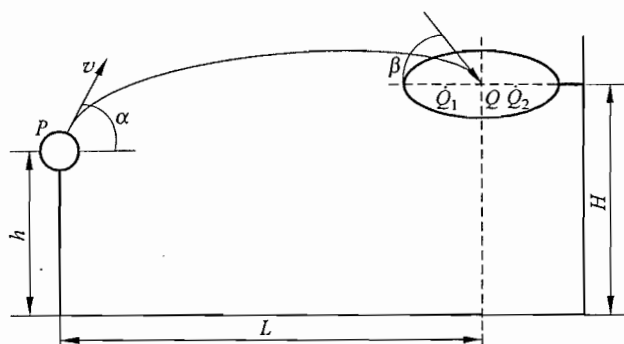


图 14.1 从罚球点投篮示意图

14.1.2 问题的分析

(1) 不考虑篮球和篮筐大小的简单情况, 相当于将球视为质点(球心)的斜抛运动. 将坐标原点定在球心 P , 列出 x (水平) 方向和 y (竖直) 方向的运动方程, 就可以得到球心的运动轨迹. 于是球心命中筐心的条件可以表示为出手角度与出手速度、出手高度之间的关系, 以及球入篮筐处的入射角度与出手角度的关系, 由此可对不同的出手速度和出手高度, 计算出出手角度和入射角度.

(2) 考虑篮球和篮筐的大小时, 如图 14.2, 篮球直径为 d , 篮筐直径为 D . 显然, 即使球心命中筐心, 若入射角 β 太小, 球会碰到筐的近侧 A , 不能入筐. 由图 14.2 不难得出 β 应满足的、球心命中筐心且球入筐的条件. 前面计算结果中不满足这个条件的, 当然应该去掉.

(3) 球入筐时球心可以偏离筐心, 偏前(图 14.1 的 Q_1 点)的最大距离为图 14.3 中的 Δx , Δx 可以从入射角 β 算出. 根据 Δx 和球心轨迹中 x 与 α 的关系, 能够得到出手角度 α 允许的最大偏差 $\Delta\alpha$. 出手速度 v 允许的最大偏差 Δv 可以类似地处理.

(4) 考虑水平方向的空气阻力时, 应该用微分方程求解球心的运动轨迹, 由于阻力很小, 可作适当简化. 然后与前面类似地作各种计算.

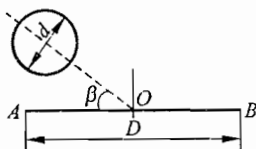


图 14.2 篮球入筐

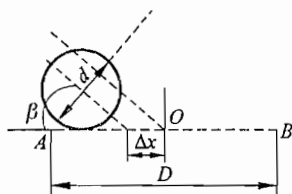


图 14.3 球心偏前

14.1.3 基本模型

(1) 不考虑篮球和篮筐大小, 不考虑空气阻力的影响, 以未出手时的球心 P 为坐标原点, x 轴为水平方向, y 轴为竖直方向, 篮球在 $t=0$ 时以出手速度 v 和出手角度 α 投出, 可视为质点(球心)的斜抛运动, 其运动方程为

$$x(t) = vt \cos \alpha, \quad y(t) = vt \sin \alpha - gt^2/2, \quad (1)$$

其中 g 是重力加速度. 由此可得球心运动轨迹为如下抛物线

$$y = x \tan \alpha - x^2 g / (2v^2 \cos^2 \alpha). \quad (2)$$

以 $x=L, y=H-h$ 代入(2)式, 就得到球心命中筐心的条件

$$\tan \alpha = \frac{v^2}{gL} \left[1 \pm \sqrt{1 - \frac{2g}{v^2} \left(H - h + \frac{gL^2}{2v^2} \right)} \right]. \quad (3)$$

可以看出, 给定出手速度 v 和出手高度 h , 有两个出手角度 α 满足这个条件. 而(3)式有解的前提为

$$1 - \frac{2g}{v^2} \left(H - h + \frac{gL^2}{2v^2} \right) \geq 0. \quad (4)$$

可解得

$$v^2 \geq g \left[H - h + \sqrt{L^2 + (H - h)^2} \right]. \quad (5)$$

于是对于一定的出手高度 h , 使(5)式等号成立的 v 为最小出手速度 v_{\min} , 它是 h 的减函数.

由(3)式计算出的两个出手角度记作 α_1, α_2 , 且设 $\alpha_1 > \alpha_2$, 可以看出, α_1 是 h 和 v 的增函数.

思考 v_{\min} 是 h 的减函数, α_1 是 h 和 v 的增函数, 能作出实际解释吗? α_2 与 h 和 v 的关系又怎样呢?

(2) 球入篮筐处的入射角度 β 可从下式得到

$$\tan \beta = - \left. \frac{dy}{dx} \right|_{x=L}. \quad (6)$$

这里的导数由(2)式计算代入后可得

$$\tan \beta = \tan \alpha - \frac{2(H-h)}{L}. \quad (7)$$

于是对应于 α_1, α_2 , 有 β_1, β_2 , 设 $\beta_1 > \beta_2$.

思考 α_1, α_2 会小于零吗? β_1, β_2 会小于零吗? 如果小于零, 作何解释?

(3) 考虑篮球和篮筐的大小, 如图 14.2, 若入射角度 β 太小, 则球无法入筐. 由图不难看出, 球心命中筐心且球入筐的条件为

$$\sin \beta > d/D. \quad (8)$$

将 $d=24.6\text{cm}$, $D=45.0\text{cm}$ 代入得 $\beta>33.1^\circ$.

14.1.4 出手角度和出手速度最大偏差估计

由图 14.3 看出,球入筐时球心可以偏前(偏后与偏前一样)的最大距离 Δx 为

$$\Delta x = \frac{D}{2} - \frac{d}{2\sin\beta}. \quad (9)$$

为了得到出手角度允许的最大偏差 $\Delta\alpha$,可以在(3)式中以 $L\pm\Delta x$ 代替 L 重新计算,但是由于 Δx 中包含 β ,从而也包含 α ,所以这种方法不能解析地求出 $\Delta\alpha$.

如果从(2)式出发并将 $y=H-h$ 代入,可得

$$x^2 g / (2v^2 \cos^2 \alpha) - x \tan \alpha + H - h = 0. \quad (10)$$

对 α 求导并令 $x=L$,就有

$$\left. \frac{dx}{d\alpha} \right|_{x=L} = \frac{L(v^2 - gL \tan \alpha)}{gL - v^2 \sin \alpha \cos \alpha}. \quad (11)$$

用 $\Delta x / \Delta \alpha$ 近似代替左边的导数,即可得到出手角度的偏差 $\Delta \alpha$ 与 Δx 的如下关系

$$\Delta \alpha = \frac{gL - v^2 \sin \alpha \cos \alpha}{L(v^2 - gL \tan \alpha)} \Delta x. \quad (12)$$

由 $\Delta \alpha$ 和已经得到的 α 也容易计算相对偏差 $|\Delta \alpha / \alpha|$.

类似地,(10)式对 v 求导并令 $x=L$,可得出手速度允许的最大偏差

$$\Delta v = \frac{gL - v^2 \sin \alpha \cos \alpha}{gL^2} v \Delta x. \quad (13)$$

由(12)式和(13)式 v 的相对偏差为

$$\left| \frac{\Delta v}{v} \right| = \left| \Delta \alpha \left(\frac{v^2}{gL} - \tan \alpha \right) \right|. \quad (14)$$

14.1.5 空气阻力的影响

按照篮球运动的特点可以只考虑水平方向的阻力,且阻力与速度成正比,比例系数为 k . 这时水平方向的运动由微分方程

$$\begin{cases} \ddot{x} + k\dot{x} = 0, \\ x(0) = 0, \\ \dot{x}(0) = v \cos \alpha \end{cases} \quad (15)$$

描述,其解为

$$x(t) = v \cos \alpha (1 - e^{-kt}) / k. \quad (16)$$

因为阻力不大($k \leq 0.05(1/s)$),时间 t 也很小(约 $1s$),所以将(16)式中的 e^{-kt} 作泰勒展开后忽略二阶以上项得到(不考虑竖直方向的阻力,故 $y(t)$ 仍与(1)式相同)

$$x(t) = vt \cos \alpha - vk t^2 \cos \alpha / 2, \quad y(t) = vt \sin \alpha - gt^2 / 2. \quad (17)$$

在不考虑篮球和篮筐大小时,球心命中筐心的条件由方程组

$$vt \cos \alpha - vkt^2 \cos \alpha / 2 - L = 0, \quad vt \sin \alpha - gt^2 / 2 - (H - h) = 0 \quad (18)$$

确定.

14.1.6 算法实现和计算结果

(1) 对不同出手高度的最小出手速度和相应的出手角度

使(5)式等号成立的 v 为最小出手速度 v_{\min} , 在这个速度下由(3)式可得相应的出手角度 α_0 为

$$\tan \alpha_0 = v^2 / gL. \quad (19)$$

取出手高度 $h=1.8\text{m}\sim 2.1\text{m}$, 计算结果见表 14.1.

表 14.1 对不同出手高度的最小出手速度和相应的出手角度

h/m	$v_{\min}/\text{m/s}$	$\alpha_0/(\circ)$
1.8	7.6789	52.6012
1.9	7.5985	52.0181
2.0	7.5186	51.4290
2.1	7.4392	50.8344

(2) 对不同出手速度和出手高度的出手角度和入射角度

对出手速度 $v=8.0\text{m/s}\sim 9.0\text{m/s}$ 和出手高度 $h=1.8\text{m}\sim 2.1\text{m}$, 由(3)式计算出射角度 α_1, α_2 , 由(7)式计算入射角度 β_1, β_2 , 结果见表 14.2.

表 14.2 对不同出手速度和出手高度的出手角度和入射角度

$v/\text{m/s}$	h/m	$\alpha_1/(\circ)$	$\alpha_2/(\circ)$	$\beta_1/(\circ)$	$\beta_2/(\circ)$
8.0	1.8	62.4099	42.7925	53.8763	20.9213
	1.9	63.1174	40.9188	55.8206	20.1431
	2.0	63.7281	39.1300	57.4941	19.6478
	2.1	64.2670	37.4017	58.9615	19.3698
8.5	1.8	67.6975	37.5049	62.1726	12.6250
	1.9	68.0288	36.0075	63.1884	12.7753
	2.0	68.3367	34.5214	64.1179	13.0240
	2.1	68.6244	33.0444	64.9729	13.3583

续表

$v/\text{m/s}$	h/m	$\alpha_1/(\circ)$	$\alpha_2/(\circ)$	$\beta_1/(\circ)$	$\beta_2/(\circ)$
9.0	1.8	71.0697	34.1327	67.1426	7.6550
	1.9	71.2749	32.7614	67.7974	8.1663
	2.0	71.4700	31.3881	68.4098	8.7321
	2.1	71.6561	30.0127	68.9840	9.3472

可以看出, β_2 均小于 33.1° , 不满足(8)式的条件, 所以在考虑篮球和篮筐大小的实际情况下, 出手角度只能是 α_1 .

(3) 出手角度和出手速度的最大偏差

利用(12)式和上面的 α_1 , 计算出手角度最大偏差 $\Delta\alpha$ 和 $\Delta\alpha/\alpha$, 再用(13)式和(14)式计算出手速度的最大偏差 Δv 和 $\Delta v/v$, 只将 $h=1.8\text{m}$, 2.0m 的结果列入表 14.3.

表 14.3 出手角度和出手速度最大偏差

h/m	$\alpha/(\circ)$	$v/\text{m/s}$	$\Delta\alpha$	Δv	$ \Delta\alpha/\alpha $	$ \Delta v/v $
1.8	62.4099	8.0	-0.7562	0.0528	1.2261	0.6597
	67.6975	8.5	-0.5603	0.0694	0.8276	0.8167
	71.0697	9.0	-0.4570	0.0803	0.6431	0.8925
2.0	63.7281	8.0	-0.7100	0.0601	1.1140	0.7511
	68.3367	8.5	-0.5411	0.0734	0.7918	0.8640
	71.4700	9.0	-0.4463	0.0832	0.6244	0.9243

(4) 空气阻力的影响

设空气阻力系数 $k=0.05(1/\text{s})$, 对出手速度 $v=8.0\text{m/s}\sim 9.0\text{m/s}$ 和出手高度 $h=1.8\text{m}\sim 2.1\text{m}$, 由(18)式计算出手角度. (18)式是非线性方程组, 可用 MATLAB 的 `fsolve` 求解:

```
function f=qu(x,v,g,k,H,h,l)
f(1)=v*x(1)*x(2)-k*v*x(1)*x(2)^2/2-l; % x(1)=cosα, x(2)=t
f(2)=v*sqrt(1-x(1)^2)*x(2)-g*x(2)^2/2-(H-h);

g=9.8;k=0.05;H=3.05;l=4.6;
x0=[0.4 1]; % 根据不考虑阻力的结果选取 x 的初值
for i=1:3
    v(i)=8+(i-1)*0.5;
```

```

for j=1:4
    h(j)=1.8+(j-1)*0.1;
    x=fsolve(@qiu,x0,[],v(i),g,k,H,h(j),l);
    a1(i,j)=acos(x(1))*180/pi;
end
end
a1

```

a_1 即为出手角度 α_1 。如取初值 $x_0=[0.7,1]$, 得到 a_2 。计算结果见表 14.4 (将不考虑阻力的结果重写在最后两列, 以作比较)。

表 14.4 考虑空气阻力时的出手角度

$v/\text{m/s}$	h/m	考虑空气阻力		不考虑空气阻力	
		$\alpha_1/(\circ)$	$\alpha_2/(\circ)$	$\alpha_1/(\circ)$	$\alpha_2/(\circ)$
8.0	1.8	60.7869	43.5424	62.4099	42.7925
	1.9	61.6100	41.5693	63.1174	40.9188
	2.0	62.3017	39.7156	63.7281	39.1300
	2.1	62.9012	37.9433	64.2670	37.4017
8.5	1.8	66.5719	37.7905	67.6975	37.5049
	1.9	66.9244	36.2870	68.0288	36.0075
	2.0	67.2505	34.7982	68.3367	34.5214
	2.1	67.5541	33.3209	68.6244	33.0444
9.0	1.8	70.1198	34.2736	71.0697	34.1327
	1.9	70.3328	32.9087	71.2749	32.7614
	2.0	70.5352	31.5428	71.4700	31.3881
	2.1	70.7279	30.1756	71.6561	30.0127

思考 如何计算入射角 β , 并由此判断出手角度 α_2 是否应该舍去。

14.1.7 结果分析

(1) 最小出手速度和出手角度(表 14.1)

对应于最小出手速度是最小出手角度, 它们均随着出手高度的增加而略有减少; 出手速度一般不要小于 8m/s 。

(2) 出手速度和出手高度对出手角度的影响(表 14.2)

速度一定时,出手高度越大,出手角度应越大,但是随着速度的增加,高度对角度的影响变小,这种影响在 1° 左右;出手高度一定时,速度越大,出手角度也应越大,速度的影响在 $7^\circ \sim 9^\circ$.

(3) 出手角度和出手速度的允许偏差(表 14.3)

总的看来,允许偏差都相当小.进一步分析可知,出手高度一定,速度越大,角度的允许偏差越小,而速度的允许偏差越大,且对角度的要求比对速度的要求严格;出手速度一定,高度越大,虽然也是角度的允许偏差越小,速度的允许偏差越大,但这时对角度和速度的要求都相对较低.

(4) 空气阻力的影响

对同样的出手速度和高度,考虑阻力影响时出手角度要大一些($1^\circ \sim 2^\circ$).

还可将空气阻力的影响与前面讨论的命中偏前(后)的允许偏差作一对比.由(17)式可知,阻力对 $x(t)$ 的影响为因子 $(1 - kt/2)$,因为 $k = 0.05(1/s)$, $t \approx 1s$ (t 可由 fsolve 的 $x(2)$ 得到),所以阻力对命中偏前(后)的影响不超过 3%;而由(9)式允许偏差 Δx 约为 $0.09m$ (β 以 65° 计),与 $L = 4.6m$ 的相对偏差约 2%,二者是相当的.

思考 若出手高度和角度固定,考察阻力对出手速度的影响.

14.2 降落伞的选择

14.2.1 问题的提出

为向灾区空投救灾物资共 2000kg,需选购一些降落伞.已知空投高度为 500m,要求降落伞落地时的速度不能超过 20m/s.降落伞面可视为半径 r 的半球面,用每根长 l 共 16 根绳索连接着载重 m ,示意图如图 14.4.

每个降落伞的价格由 3 部分组成.伞面价格由伞半径 r 决定(表 14.5);绳索每米 4 元;其他费用 200 元.

降落伞在降落过程中受到空气的阻力,为了确定阻力的大小,用半径 3m、载重 300kg 的降落伞从 500m 高度作降落试验,测得各时刻的高度(表 14.6).

试确定降落伞的选购方案,即共需多少个,每个伞的半径多大(在表 14.5 中选择),在满足空投要求的条件下,使费用最低.

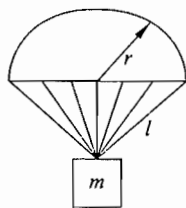


图 14.4 降落伞示意图

表 14.5 降落伞伞面价格

半径 r/m	2	2.5	3	3.5	4
费用/元	65	170	350	660	1000

表 14.6 降落试验的时刻 t 和高度 x

t/s	0	3	6	9	12	15	18	21	24	27	30
x/m	500	470	425	372	317	264	215	160	108	55	1

14.2.2 问题的分析

这是一个有约束的优化问题. 目标函数是降落伞的总费用, 为了实用上的方便, 不妨只选一种规格(伞半径)的降落伞, 于是总费用是降落伞的个数与每个降落伞价格的乘积, 而决策变量是降落伞数量(记作 n)和每个伞的半径 r . 虽然 n 和 r 都只能取有限多个离散值, 但是, 对 n 和 r 的各种组合进行枚举计算, 逐个验证是否满足约束条件、比较费用, 是相当繁琐的, 并且缺乏一般性. 我们宁可先将 n 和 r 看作连续变量, 建立优化模型, 求得最优解后, 再按题目要求作适当调整.

约束条件主要是伞的落地速度不能超过 20m/s , 为表述这一条件需要建立并求解降落伞速度满足的微分方程, 而方程中的重要参数——空气阻力系数——又要通过测量数据(表 14.6)作拟合得到. 显然, 由于测量数据是时间与高度, 所以需要找出速度与高度之间的关系.

确定费用函数的关键是找出伞面价格与伞半径的关系, 它可以根据所给数据(表 14.5)用适当的函数来拟合, 观察这些数据的散点图, 用幂函数拟合比较合适.

建立降落伞下落的微分方程时, 关键是对所受阻力的分析, 显然, 阻力随着降落速度和伞面积的增加而变大.

14.2.3 模型假设

(1) 伞面价格 c_1 与伞半径 r 的关系, 用幂函数 $c_1 = ar^b$ (a, b 为待定参数)按照表 14.5 数据来拟合; 载重 m 位于球心正下方球面处, 每根绳索的长度 $l = \sqrt{2}r$.

(2) 降落伞在空中只受到向下的重力和向上的空气阻力的作用, 阻力与降落速度和伞面积的乘积成正比, 阻力系数用表 14.6 数据作拟合; 降落伞初速为零.

14.2.4 模型建立

(1) 目标函数 n 个降落伞的总费用, 记作 C . 每个降落伞的费用由伞面价格 $c_1 = ar^b$, 绳索价格 $c_2 = 4 \times 16 \times \sqrt{2}r = 90.5r$ 和其他费用 $c_3 = 200$ 组成, 于是

$$C = n(c_1 + c_2 + c_3) = n(ar^b + 90.5r + 200). \quad (20)$$

(2) 伞的速度和高度 记时刻 t 伞的速度为 $v(t)$, 高度为 $x(t)$, 空气阻力为 kr^2v , k 是待定参数. 按照牛顿第二定律, $v(t)$ 满足

$$\begin{cases} m \frac{dv}{dt} = mg - kr^2 v, \\ v(0) = 0, \end{cases} \quad (21)$$

其中 $m=2000/n$ (一个降落伞的载重), $g=9.8\text{m/s}^2$. 方程(21)的解为

$$v = \frac{2000g}{kr^2n} \left(1 - \exp\left(-\frac{kr^2n}{2000}t\right) \right). \quad (22)$$

对速度函数积分, 并注意到 $t=0$ 时 $x=500$, 得到伞的高度 $x(t)$ 为

$$x = 500 - \frac{2000g}{kr^2n}t + \frac{2000^2g}{k^2r^4n^2} \left(1 - \exp\left(-\frac{kr^2n}{2000}t\right) \right). \quad (23)$$

(3) 约束条件 降落伞落地速度不超过 20m/s , 即当(23)式的 $x=0$ 时解得的根 t , 代入(22)式后满足 $v(t) \leq 20$. 此外还有 $n \geq 1, 2 \leq r \leq 4$ 的附加条件.

整个优化模型可记作

$$\begin{aligned} \min C &= n(ar^b + 90.5r + 200) \\ \text{s. t. } &500 - \frac{2000g}{kr^2n}t + \frac{2000^2g}{k^2r^4n^2} \left(1 - \exp\left(-\frac{kr^2n}{2000}t\right) \right) = 0, \\ &\frac{2000g}{kr^2n} \left(1 - \exp\left(-\frac{kr^2n}{2000}t\right) \right) \leq 20, \\ &n \geq 1, \quad 2 \leq r \leq 4. \end{aligned} \quad (24)$$

当参数 a, b, k 用所给数据拟合确定后, 即可求解模型(24)得到 n, r (实数值), 然后再作适当调整.

14.2.5 模型求解

(1) 参数估计

a, b 的估计: 先将 $c_1 = ar^b$ 转化为 $\ln c_1 = \ln a + b \ln r$, 然后对于表 14.5 数据用线性最小二乘法和 MATLAB 软件编程:

```
r=[2 2.5 3 3.5 4];
c1=[65 170 350 660 1000];
lgr=log(c1);lgr=log(r);
A=polyfit(lgr,lgr,1);
b=A(1);a=exp(A(2));
rr=2:0.01:4;cc1=a*rr.^b;
plot(r,c1,'+',rr,cc1),grid
```

得到 $a=4.3039 \quad b=3.9779$

与数据的拟合效果见图 14.5. 下面取 $a=4.3, b=4$.

k 的估计: 用表 14.6 数据估计 k , 注意到作降落试验时 $n=1, m=300, r=3$, 于是

(23)式应改为

$$x = 500 - \frac{100g}{3k}t + \frac{10^4 g}{9k^2} \left(1 - \exp\left(-\frac{3k}{100}t\right) \right). \quad (25)$$

由表 14.6 数据利用 MATLAB 软件作非线性最小二乘拟合,编程:

```
function f=sanf(k,t)
f=500-980*t/3/k+98000*(1-exp(-3*k*t/100))/9/k^2;

t=[0    3    6    9    12    15    18    21    24    27    30];
x=[500  470  425  372  317  264  215  160  108  55  1];
k0=10;
k=lsqcurvefit(@sanf,k0,t,x),
tt=0:0.1:30;
f=500-980*tt/3/k+98000*(1-exp(-3*k*tt/100))/9/k^2;
plot(t,x,'+',tt,f),grid
```

得到

$$k = 18.4583$$

与数据的拟合效果见图 14.6. 下面取 $k=18.5$.

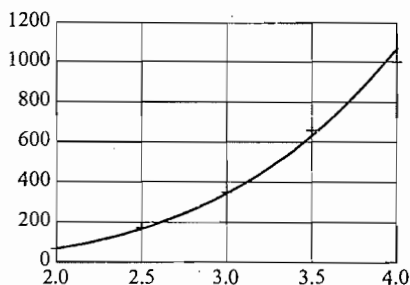


图 14.5 由表 14.5 数据拟合参数 a, b

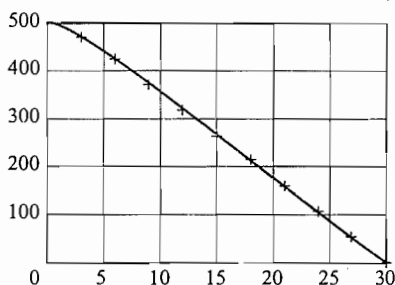


图 14.6 由表 14.6 数据拟合参数 k

(2) 优化模型求解

将参数估计得到的 $a=4.3$, $b=4$, $k=18.5$ 代入优化模型(24),用 MATLAB 的优化工具箱求解:

```
function c=sanc(x) % 目标函数, x(1)=n, x(2)=r
c=x(1)*(4.3*x(2)^4+90.5*x(2)+200);

function [cc, cceq]=sancc(x) % 约束条件, x(3)=t
k=18.5;
p=19600/k/x(1)/x(2)^2;
q=1-exp(-k*x(1)*x(2)^2*x(3)/2000);
```

```

cc=p*q-20; % 不等式约束
cceq=500-p*x(3)+p^2*q/9.8; % 等式约束

x0=[3,4,30]; % x 的初值
v=[1,2,0]; % x 的下界
u=[10,4,50]; % x 的上界
[x,c]=fmincon(@sanc,x0,[],[],[],[],v,u,@sanc)

```

得到

```

x = 6.0072 2.9695 27.0408
c = 4.8245e+003

```

根据题目要求,将结果调整为 $n=6, r=3$, 即选购 6 个降落伞, 每个半径为 3m.

(3) 结果验证

对于调整后的结果 $n=6, r=3$, 验证落地速度是否不超过 20m/s. 为此, 先由(23)式求解非线性方程:

$$0 = 500 - \frac{2000g}{kr^2n}t + \frac{2000^2g}{k^2r^4n^2} \left(1 - \exp\left(-\frac{kr^2n}{2000}t\right) \right), \quad (26)$$

再将得到的 t 代入(22)式计算出落地速度, 编程:

```

function ff=sany(t,k,n,r)
p=19600/k/n/r^2;
q=1-exp(-k*n*r^2*t/2000);
ff=500-p*t+p^2*q/9.8;

k=18.5;n=6;r=3;
t0=30;
t=fzero(@sany,t0,[],k,n,r)
p=19600/k/n/r^2;
q=1-exp(-k*n*r^2*t/2000);
v=p*q

```

得到

```
t = 27.4867 v = 19.6196
```

落地速度符合要求.

最后, 按照(20)式计算总费用(其中 c_1 用实际价格 350 元), 得到

$$C = 6 \times (350 + 90.5 \times 3 + 200) = 4920(\text{元}).$$

14.3 航空公司的预订票策略

14.3.1 问题的提出

在激烈的市场竞争中,航空公司为争取更多的客源而开展的一个优质服务项目是预订票业务.公司承诺,预先订购机票的乘客如果未能按时前来登机,可以乘坐下一班机或退票,无需附加任何费用.当然也可以订票时只订座,登机时才付款,这两种办法对于下面的讨论是等价的.

开展预订票业务时,对于一次航班,若公司限制预订票的数量恰好等于飞机的容量,那么由于可能会有一些订了机票的乘客不按时前来登机,致使飞机因不满员飞行而利润降低,甚至亏本.而如果不限制预订票数量,那么当持票按时前来登机的乘客超过飞机容量时,必然会引起那些不能飞走的乘客的抱怨,公司不管以什么方式补偿,也会导致声誉受损和一定的经济损失,如客源减少,挤掉以后班机的乘客,公司无偿供应食宿,付给一定的赔偿金等.所以航空公司需要综合考虑经济利益和社会声誉,确定预订票数量的最佳限额.

假设能够得到一些诸如飞机容量、机票价格、飞行费用、对被挤掉者的赔偿金等数据,以及由统计资料估计的乘客不按时前来登机的概率,请建立一个数学模型,给出衡量公司经济利益和社会声誉的指标,对预订票业务确定最佳的预订票数量.

考虑不同客源的实际需要,如商业界、文艺界人士喜欢上述这种无约束的预订票业务,他们宁愿接受较高的票价,而不按时前来登机的可能性较大;游客及准时上下班的雇员,会愿意以不能按时前来登机则机票失效为代价,换取较低额的票价.航空公司为降低风险,可以把后一类乘客作为基本客源,对他们降低票价,但购票时即付款,不按时前来登机则机票作废.根据这种实际情况,制订更好的预订票策略.

14.3.2 问题的分析

把持预订票按时前来登机,但因满员不能飞走的乘客称为被挤掉者,公司要付给他们一定的赔偿金,并且被挤掉者数量的增加将导致公司声誉降低.

公司的经济利益可以用机票收入扣除飞行费用和赔偿金后的利润来衡量,社会声誉可以以被挤掉者的人数限制在一定数量为标准,这是个两目标的优化问题,需要合理地将它转化为单目标优化.问题的决策变量是预订票数量的限额.

这个问题的关键因素在于预订票的乘客中有多少人按时前来登机,显然这是随机的,所以经济利益和社会声誉两个指标都应该在平均意义下衡量.

14.3.3 模型假设

(1) 飞机容量为常数 n , 机票价格为常数 g , 飞行费用为常数 r , r 与乘客数量无关 (实际上关系很小), 机票价格按照 $g = r/(\lambda n)$ 来制订, 其中 $\lambda (< 1)$ 是利润调节因子, 如 $\lambda = 0.6$ 表示飞机 60% 满员率就不亏本.

(2) 预订票数量的限额为常数 $m (> n)$, 且 m 张票已经订出; 每位乘客不按时前来登机的概率为 p , 各位乘客是否按时前来登机是相互独立的, 这适合于单独行动的商人、游客等.

(3) 公司付给每位被挤掉者的赔偿金为常数 b .

14.3.4 模型建立

(1) 公司的经济利益用同一航线多次航班的平均利润 S 来衡量, S 等于每次航班利润的期望. 每次航班的利润 s 是机票收入中扣除飞行费用和可能发生的赔偿金. 当 m 位乘客中有 k 位不按时前来登机时

$$s = \begin{cases} (m-k)g - r, & m-k \leq n, \\ ng - r - (m-k-n)b, & m-k > n. \end{cases} \quad (27)$$

由假设(2), 不按时前来登机的乘客数 K 服从二项分布, 于是概率

$$p_k = P\{K = k\} = C_m^k p^k q^{m-k}, \quad k = 0, 1, \dots, m, \quad q = 1 - p. \quad (28)$$

平均利润 S 为

$$S(m) = \sum_{k=0}^{m-n-1} [(ng - r) - (m-k-n)b] p_k + \sum_{k=m-n}^m [(m-k)g - r] p_k. \quad (29)$$

化简(29)式, 并注意到 $\sum_{k=0}^m k p_k = mp$, 可得

$$S(m) = qmg - r - (g+b) \sum_{k=0}^{m-n-1} (m-k-n) p_k. \quad (30)$$

当 n, g, r, p 给定后可以求 m 使 $S(m)$ 最大.

(2) 公司从维护社会声誉考虑, 应该要求被挤掉的乘客不要太多, 而由于被挤掉者的数量是随机的, 可以用被挤掉的乘客数超过若干人的概率作为度量指标. 记被挤掉的乘客数超过 j 人的概率为 $P_j(m)$, 因为被挤掉的乘客数超过 j 人, 等价于 m 位预订票的乘客中不按时前来登机的不超过 $m-n-j-1$ 人, 所以

$$P_j(m) = \sum_{k=0}^{m-n-j-1} p_k. \quad (31)$$

对于给定的 n, j , 显然当 $m = n+j$ 时不会有被挤掉的乘客, 即 $P_j(m) = 0$. 而当 m 变大时 $P_j(m)$ 单调增加.

综上, $S(m)$ 和 $P_j(m)$ 虽然是这个优化问题的两个目标, 但是可以将 $P_j(m)$ 不超过某个给定值作为约束条件, 以 $S(m)$ 为单目标函数来求解.

14.3.5 模型求解

为了减少 $S(m)$ 中的参数, 取 $S(m)$ 除以飞行费用 r 为新的目标函数 $J(m)$, 其含义是单位费用获得的平均利润, 注意到假设 1 中有 $g=r/(\lambda n)$, 由 (30) 式可得

$$J(m) = \frac{S(m)}{r} = \frac{1}{\lambda n} \left[qm - \left(1 + \frac{b}{g} \right) \sum_{k=0}^{m-n-1} (m-k-n) p_k \right] - 1, \quad (32)$$

其中 b/g 是赔偿金占机票价格的比例. 问题化为给定 $\lambda, n, p, b/g$, 求 m 使 $J(m)$ 最大, 而约束条件为

$$P_j(m) = \sum_{k=0}^{m-n-j-1} p_k \leq \alpha, \quad (33)$$

其中 α 是小于 1 的正数.

模型 (32), (33) 无法解析地求解, 我们设定几组数据, 用 MATLAB 软件作数值计算, 结果如下.

设 $n=300, \lambda=0.6, p=0.05, 0.1, b/g=0.2, 0.4$, 计算 $J(m), P_5(m), P_{10}(m)$, 得表 14.7.

表 14.7 $n=300, p=0.05$ 和 $0.1, \lambda=0.6, b/g=0.2$ 和 0.4 的计算结果

m	$p=0.05$				$p=0.1$			
	J		P_5	P_{10}	J		P_5	P_{10}
	$b/g=0.2$	$b/g=0.4$			$b/g=0.2$	$b/g=0.4$		
300	0.5833	0.5833	0	0	0.5000	0.5000	0	0
302	0.5939	0.5939	0	0	0.5100	0.5100	0	0
304	0.6044	0.6044	0	0	0.5200	0.5200	0	0
306	0.6150	0.6150	0.0000	0	0.5300	0.5300	0.0000	0
308	0.6254	0.6254	0.0000	0	0.5400	0.5400	0.0000	0
310	0.6353	0.6351	0.0007	0	0.5500	0.5500	0.0000	0
312	0.6439	0.6434	0.0066	0.0000	0.5600	0.5600	0.0000	0.0000
314	0.6503	0.6492	0.0341	0.0002	0.5700	0.5700	0.0000	0.0000
316	0.6540	0.6517	0.1123	0.0023	0.5800	0.5800	0.0000	0.0000
318	0.6551	0.6512	0.2612	0.0160	0.5899	0.5899	0.0001	0.0000

续表

m	$p=0.05$				$p=0.1$			
	J		P_5	P_{10}	J		P_5	P_{10}
	$b/g=0.2$	$b/g=0.4$			$b/g=0.2$	$b/g=0.4$		
320	0.6543	0.6485	0.4630	0.0650	0.5998	0.5997	0.0006	0.0000
322	0.6523	0.6445	0.6666	0.1780	0.6093	0.6091	0.0027	0.0000
324	0.6499	0.6398	0.8250	0.3583	0.6181	0.6178	0.0097	0.0002
326	0.6472	0.6350	0.9224	0.5681	0.6258	0.6252	0.0287	0.0013
328	0.6444	0.6300	0.9708	0.7533	0.6320	0.6307	0.0699	0.0052
330	0.6417	0.6250	0.9907	0.8810	0.6362	0.6339	0.1439	0.0171
332					0.6384	0.6348	0.2548	0.0458
334					0.6388	0.6336	0.3956	0.1024
336					0.6377	0.6306	0.5484	0.1949
338					0.6356	0.6265	0.6917	0.3224
340					0.6329	0.6217	0.8086	0.4719
342					0.6298	0.6165	0.8923	0.6225
344					0.6266	0.6110	0.9451	0.7542

14.3.6 结果分析

(1) 对于所取的各个 $n, p, b/g$, 平均利润 $J(m)$ 随着 m 的变大都是先增加再减少, 但是在最大值附近变化很小, 而被挤掉的乘客数超过 5 人和 10 人的概率 $P_5(m)$ 和 $P_{10}(m)$ 增加得相当快, 所以应该参考 $J(m)$ 的最大值, 给定约束条件(33)式中可以接受的 α , 确定合适的 m .

(2) 对于一定的 n, p , 当 b/g 由 0.2 增加到 0.4 时, $J(m)$ 的减少不超过 2%, 所以不妨付给被挤掉的乘客以较多的赔偿金, 赢得社会声誉.

(3) 综合考虑经济效益和社会声誉, 可给定 $P_5(m) < 0.2, P_{10}(m) < 0.05$, 由表 14.7, 若估计 $p=0.05$, 取 $m=316$; 若估计 $p=0.1$, 取 $m=330$ (表中黑体字的行).

14.3.7 预订票策略的改进

把乘客分成两类, 对第一类实施上述的预订票业务; 对第二类降低票价, 购票时付款,

不按时前来登机则机票作废。

设预订票数量 m 中有 t 张是专门预售给第二类乘客的, 其折扣票价为 βg ($\beta < 1$), 当 $m-t$ 位第一类乘客中有 k 位不按时前来登机时, 每次航班的利润 s 为

$$s = \begin{cases} t\beta g + (m-t-k)g - r, & m-k \leq n, \\ t\beta g + (n-t)g - r - (m-k-n)b, & m-k > n. \end{cases} \quad (34)$$

k 位乘客不按时前来登机的概率为

$$p_k = C_{m-t}^k p^k q^{m-t-k}, \quad k = 0, 1, \dots, m-t, \quad q = 1-p. \quad (35)$$

平均利润 S 为

$$\begin{aligned} S(m) &= \sum_{k=0}^{m-n-1} [t\beta g + (n-t)g - r - (m-k-n)b] p_k \\ &\quad + \sum_{k=m-n}^{m-t} [t\beta g + (m-t-k)g - r] p_k \\ &= qmg - r - (g+b) \sum_{k=1}^{m-n-1} (m-k-n)p_k - (1-\beta-p)tg. \end{aligned} \quad (36)$$

正常票价 g , 折扣票价 βg , 利润调节因子 λ 与飞行费用 r 间的关系为

$$\lambda[t\beta g + (n-t)g] = r. \quad (37)$$

于是, 单位费用获得的平均利润为

$$J(m) = \frac{1}{\lambda[n-(1-\beta)t]} [qm - (1-\beta-p)t - (1+b/g) \sum_{k=0}^{m-n-1} (m-k-n)p_k] - 1. \quad (38)$$

约束条件——被挤掉的乘客数超过 j 人的概率 $P_j(m)$ 不变((31)式)。

取 $\beta=0.75, t=50, 100, 150$, 其他参数同上, 计算结果表明, 当 t 增加时, $J(m)$ 和 $P_j(m)$ 均有所减少。

14.4 实验练习

实验目的

综合利用学过的数学知识, 分析、解决几个简化的实际问题, 锻炼和检验数学建模的能力。

实验内容

1. 影院座位设计

图 14.7 为影院的剖面示意图, 座位的满意程度主要取决于视角 α 和仰角 β . 视角 α 是观众眼睛到屏幕上、下边缘视线的夹角, α 越大越好; 仰角 β 是观众眼睛到屏幕上边缘视线与水平线的夹角, β 太大使人的头部过分上仰, 引起不舒适感, 一般要求 β 不超过 30° .

记影院屏幕高 h , 上边缘距地面高 H , 地板线倾角 θ , 第一排和最后一排座位与屏幕水平距离分别为 d 和 D , 观众平均坐高为 c (指眼睛到地面的距离). 已知参数 $h=1.8$, $H=5$, $d=4.5$, $D=19$, $c=1.1$ (单位: m).

- (1) 设地板线倾角 $\theta=10^\circ$, 问最佳座位在什么地方.
- (2) 求地板线倾角 θ (一般不超过 20°), 使所有观众的平均满意程度最大.
- (3) 地板线设计成什么形状可以进一步提高观众的满意程度.

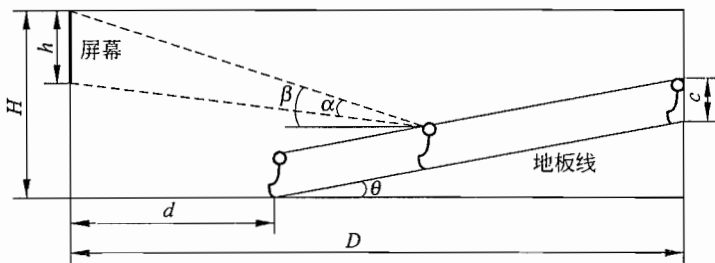


图 14.7 影院剖面示意图

2. 铅球掷远

铅球掷远比赛的场地是直径 2.135m 的圆, 要求运动员从场地中将 7.257kg (男子) 重的铅球投掷在 45° 的扇形区域内, 如图 14.8. 观察运动员比赛的录像发现, 他们的投掷角度变化较大, 一般在 $38^\circ \sim 45^\circ$, 有的高达 55° , 试建立模型讨论以下问题:

(1) 以出手速度、出手角度、出手高度为参数, 建立铅球掷远的数学模型.

(2) 给定出手高度, 对于不同的出手速度, 确定最佳出手角度. 比较掷远结果对出手速度和出手角度的灵敏性.

(3) 考虑运动员推铅球时用力展臂的动作, 改进上面的模型.

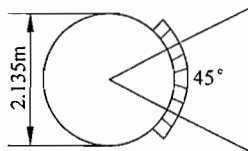


图 14.8 第 2 题图

3. 血样的分组检验

在一个很大的人群中通过血样检验普查某种疾病, 假定血样为阳性的先验概率为 p (通常 p 很小). 为减少检验次数, 将人群分组, 一组人的血样混合在一起化验. 当某组的混合血样呈阴性时, 即可不经检验就判定该组每个人的血样都为阴性; 而当某组的混合血样呈阳性时, 则可判定该组至少有一人血样为阳性, 于是需要对这组的每个人再作检验.

(1) 当 p 固定时 (如 0.01% , \dots , 0.1% , \dots , 1% , \dots) 如何分组, 即多少人一组, 可使平均总检验次数最少, 与不分组的情况比较.

(2) 当 p 多大时不应分组检验.

(3) 当 p 固定时如何进行二次分组 (即把混合血样呈阳性的组再分成小组检验, 重复一次分组时的程序).

(4) 讨论其他分组方式,如二分法(人群一分为二,阳性组再一分为二,继续下去)、三分法等.

4. 飞行管理(1995 年全国大学生数学建模竞赛 A 题)

在约 10000m 高空的某边长为 160km 的正方形区域内,经常有若干架飞机作水平飞行.区域内每架飞机的位置和速度向量均由计算机记录其数据,以便进行飞行管理.当一架欲进入该区域的飞机到达区域边缘时,记录其数据后,要立即计算并判断是否会与区域内的飞机发生碰撞.如果会碰撞,则应计算如何调整各架(包括新进入的)飞机飞行的方向角,以避免碰撞.现假定条件如下:

- 不碰撞的标准为任意两架飞机的距离大于 8km;
- 飞机飞行方向角调整的幅度不应超过 30° ;
- 所有飞机飞行速度均为每小时 800km;
- 进入该区域的飞机在到达该区域边缘时,与区域内飞机的距离应在 60km 以上;
- 不必考虑飞机离开此区域后的状况.

请你对这个避免碰撞的飞行管理问题建立数学模型,列出计算步骤,对表 14.8 数据进行计算(方向角误差不超过 0.01°),要求飞机飞行方向角调整的幅度尽量小.

设该区域 4 个顶点的坐标为: $(0,0)$, $(160,0)$, $(160,160)$, $(0,160)$.

表 14.8 记录数据

飞机编号	横坐标 X	纵坐标 Y	方向角/ $^\circ$
1	150	140	243
2	85	85	236
3	150	155	220.5
4	145	50	159
5	130	150	230
新进入	0	0	52

注:方向角指飞行方向与 X 轴正向的夹角.

5. 水塔流量估计(1991 年美国大学生数学建模竞赛 A 题)

某居民区有一个供居民日常用水的水塔,它是一个高 12.2m、直径 17.4m 的正圆柱.按照设计,当水塔水位下降到设定的最低水位(约 8.2m)时,水泵自动启动向水塔供水;当水位上升到设定的最高水位(约 10.8m)时水泵停止供水.在水泵工作的这段时间内无法测量水塔的水位和水泵的供水量.通常水泵每天供水一两次,每次约两小时.

表 14.9 是某一天水塔的水位测量记录(符号 // 表示水泵启动),试由此估计任何时刻(包括水泵正在供水时)从水塔流出的水流量,及一天的总用水量.

表 14.9

时刻/h	0	0.92	1.84	2.95	3.87	4.93	5.90	7.01	7.93	8.97
水位/cm	968	948	931	913	898	881	869	852	839	822
时刻/h	9.98	10.92	10.95	12.03	12.95	13.88	14.98	15.90	16.83	17.93
水位/cm	//	//	1082	1050	1021	994	965	941	918	892
时刻/h	19.04	19.96	20.84	22.01	22.96	23.88	24.99	25.91		
水位/cm	866	843	822	//	//	1059	1035	1018		

6. 彩票中的数学(2002年全国大学生数学建模竞赛B题)

近年来“彩票飓风”席卷中华大地,巨额诱惑使越来越多的人加入到“彩民”的行列,目前流行的彩票主要有“传统型”和“乐透型”两种类型.

“传统型”采用“10选6+1”方案:先从6组0~9号球中摇出6个基本号码,每组摇出一个,然后从0~4号球中摇出一个特别号码,构成中奖号码.投注者从0~9这10个号码中任选6个基本号码(可重复),从0~4中选一个特别号码,构成一注,根据单注号码与中奖号码相符的个数多少及顺序确定中奖等级.以中奖号码“abcdef+g”为例说明中奖等级,如表14.10(×表示未选中的号码).

表 14.10

中奖等级	10 选 6+1(6+1/10)					说 明				
	基 本 号 码			特 别 号 码						
一等奖	abcdef			g		选 7 中(6+1)				
二等奖	abcdef					选 7 中(6)				
三等奖	abcde×	×bcdef				选 7 中(5)				
四等奖	abcd×	×	×bcde×	×	×cdef	选 7 中(4)				
五等奖	abc×	×	×bcd×	×	×cde×	×	×××def	选 7 中(3)		
六等奖	ab×	×	×bc×	×	×cd×	×	×××de×	×	××××cf	选 7 中(2)

“乐透型”有多种不同的形式,比如“33选7”的方案:先从01~33个号码球中一个一个地摇出7个基本号,再从剩余的26个号码球中摇出一个特别号码.投注者从01~33个号码中任选7个组成一注(不可重复),根据单注号码与中奖号码相符的个数多少确定相应的中奖等级,不考虑号码顺序.又如“36选6+1”的方案,先从01~36个号码球中一个一个地摇出6个基本号,再从剩下的30个号码球中摇出一个特别号码.从01~36个号码中任选7个组成一注(不可重复),根据单注号码与中奖号码相符的个数多少确定相应的

中奖等级,不考虑号码顺序.这两种方案的中奖等级如表 14.11.

表 14.11

中奖等级	33 选 7(7/33)			36 选 6+1(6+1/36)		
	基本号码	特别号码	说明	基本号码	特别号码	说明
一等奖	●●●●●●●		选 7 中(7)	●●●●●●●★		选 7 中(6+1)
二等奖	●●●●●●○	★	选 7 中(6+1)	●●●●●●●		选 7 中(6)
三等奖	●●●●●●○		选 7 中(6)	●●●●●●○★		选 7 中(5+1)
四等奖	●●●●●○○	★	选 7 中(5+1)	●●●●●●○		选 7 中(5)
五等奖	●●●●●○○		选 7 中(5)	●●●●○○○	★	选 7 中(4+1)
六等奖	●●●●○○○	★	选 7 中(4+1)	●●●●○○○		选 7 中(4)
七等奖	●●●●○○○		选 7 中(4)	●●●○○○○	★	选 7 中(3+1)

注:●为选中的基本号码;★为选中的特别号码;○为未选中的号码.

以上两种类型的总奖金比例一般为销售总额的 50%,投注者单注金额为 2 元,单注若已得到高级别的奖就不再兼得低级别的奖.现在常见的销售规则及相应的奖金设置方案如表 14.12,其中一、二、三等奖为高项奖,后面的为低项奖.低项奖数额固定,高项奖按比例分配,但一等奖单注保底金额 60 万元,封顶金额 500 万元,各高项奖额的计算方法为:

$[(\text{当期销售总额} \times \text{总奖金比例}) - \text{低项奖总额}] \times \text{单项奖比例}$

(1) 根据这些方案的具体情况,综合分析各种奖项出现的可能性、奖项和奖金额的设置以及对彩民的吸引力等因素评价各方案的合理性.

(2) 设计一种“更好”的方案及相应的算法,并据此给彩票管理部门提出建议.

(3) 给报纸写一篇短文,供彩民参考.

表 14.12

序号	奖项 方案	一等奖 比例/%	二等奖 比例/%	三等奖 比例/%	四等奖 金额/元	五等奖 金额/元	六等奖 金额/元	七等奖 金额/元	备注
1	6+1/10	50	20	30	50				按序
2	6+1/10	60	20	20	300	20	5		按序
3	6+1/10	65	15	20	300	20	5		按序
4	6+1/10	70	15	15	300	20	5		按序
5	7/29	60	20	20	300	30	5		

续表

序号	奖项 方案	一等奖 比例/%	二等奖 比例/%	三等奖 比例/%	四等奖 金额/元	五等奖 金额/元	六等奖 金额/元	七等奖 金额/元	备 注
6	6+1/29	60	25	15	200	20	5		
7	7/30	65	15	20	500	50	15	5	
8	7/30	70	10	20	200	50	10	5	
9	7/30	75	10	15	200	30	10	5	
10	7/31	60	15	25	500	50	20	10	
11	7/31	75	10	15	320	30	5		
12	7/32	65	15	20	500	50	10		
13	7/32	70	10	20	500	50	10		
14	7/32	75	10	15	500	50	10		
15	7/33	70	10	20	600	60	6		
16	7/33	75	10	15	500	50	10	5	
17	7/34	65	15	20	500	30	6		
18	7/34	68	12	20	500	50	10	2	
19	7/35	70	15	15	300	50	5		
20	7/35	70	10	20	500	100	30	5	
21	7/35	75	10	15	1000	100	50	5	
22	7/35	80	10	10	200	50	20	5	
23	7/35	100	2000	20	4	2			无特别号
24	6+1/36	75	10	15	500	100	10	5	
25	6+1/36	80	10	10	500	100	10		
26	7/36	70	10	20	500	50	10	5	
27	7/37	70	15	15	1500	100	50		
28	6/40	82	10	8	200	10	1		
29	5/60	60	20	20	300	30			

参 考 文 献

- 1 姜启源,何青,高立. 数学实验. 北京: 高等教育出版社,1999
- 2 姜启源,谢金星,叶俊. 数学模型. 第三版. 北京: 高等教育出版社,2003
- 3 Huntley I D, James D J G, Mathematical Modelling: A Source Book of Case Studies. London: Oxford University Press, 1990

部分实验练习的参考答案

实验 1

2. (1) 商品的价格 $c = \alpha w + \beta w^{2/3} + \gamma$ (α, β, γ 为大于 0 的常数).

(2) 单位重量价格 $c = \alpha + \beta w^{-1/3} + \gamma w^{-1}$, c 是 w 的减函数, 且曲线是下凸的, 实际意义从略.

3. (1) 将时间分为 3 段: 1790—1880 年平均增长率为 2.83%/年; 1890—1960 年平均增长率为 1.53%/年; 1970—2000 年平均增长率为 1.12%/年. 3 段模型为 (1790 年为 $t = 0$, 1800 年为 $t = 1, 2, \dots$): $x_1(t) = 3.9e^{0.283t}$ ($t = 0, 1, 2, \dots, 10$), $x_2(t) = x_1(10)e^{0.153(t-10)}$ ($t = 11, 12, \dots, 18$), $x_3(t) = x_2(18)e^{0.112(t-18)}$ ($t = 19, 20, 21$).

(2) 可以用实际增长率数据中前 5 个的平均值作为固有增长率 r , 取某些专家的估计 400(百万)为最大容量 x_m , 以 1790 年的实际人口为 x_0 , 模型为 (24) 式.

4. 注意到 $t = t_0$ 时 $x = x_m/2$ 即得, 且 $t_0 = \frac{1}{r} \ln \frac{x_m - x_0}{x_0}$.

5. $\frac{dx}{dt} = r(x_m - x)$, r 为比例系数, $x(0) = x_0$, 解为 $x(t) = x_m - (x_m - x_0)e^{-rt}$ (图略).

6. 鱼的重量 $w = k_1 l^3$, 其中 l 为身长, k_1 为比例系数; 或者 $w = k_2 d^2 l$, 其中 d 为胸围, k_2 为比例系数. 利用数据估计系数可得 $k_1 = 0.0146$, $k_2 = 0.0322$.

7. 淋雨量

$$Q(v) = \frac{\lambda}{v} (|u_x - v| + a|u_y| + b|u_z|) = \begin{cases} \lambda \left(\frac{q + u_x}{v} - 1 \right), & v \leq u_x, \\ \lambda \left(\frac{q - u_x}{v} + 1 \right), & v > u_x. \end{cases}$$

其中 $q = a|u_y| + b|u_z|$, 图从略.

8. (1) $f(t)$ 的图形以 $\left(\frac{1}{2}, \frac{1}{2}\right)$ 为中心对称. 图从略.

(2) 甲公司利润为 $p(x) = \alpha f\left(\frac{x}{x+y}\right) - x$, α 是常数. 求 $p(x)$ 最大值点有多种图解法.

实验 2

1. 要用 11 年 7 个月才能还清. 如果 10 年还清, 每月还 1111 元.
2. 70 岁零 8 个月时将钱用完. 如果想用到 80 岁, 60 岁时应存 15.4 万元.
3. 要用 441 天即 14 个月 21 天才能达到环保要求. 若要 1 年内达到环保要求, 河水中污物浓度应降低到 $0.008\text{g}/\text{m}^3$.
4. 凶杀案发生在凌晨 2 时.
5. (2) 在 3 种环境下捕获 3 只的情况下, 最终会灭绝. 捕获 1 只, 较好的情况下会逐步上升, 其他情况下灭绝. (3) 2.7 只.
6. (1) 设 x_k 为加州第 k 年人口数, $x_{k+1} = (1 + r_1 - d_1)x_k + Q$, 其中出生率 r_1 用 $1708/12988$ 估计, 死亡率 d_1 用 $614/12988$ 估计, 迁移 Q 用 1124 估计, 或 $Q = qx_k$, 或 $Q = qx_k y_k$ (q 用 $1124/12988 \times 152082$ 估计). 类似地考虑其他各州第 k 年人口数 y_k .
- (2) 设 z_k 为加州第 k 年人口比例, $z_{k+1} = az_k$, a 直接用 $15206/178246 \div 12988/165070$ 估计.
7. (1) 商品数量和价格不稳定. (2) 当 a, b 为正数时, 特征根的模大于 1.
8. 设 x_k, y_k 分别为田鼠和猫头鹰第 k 年数量, 则 $x_{k+1} = (1 + r_1 - a_1 y_k)x_k$, $y_{k+1} = (1 - r_2 + a_2 x_k)y_k$. 平衡点 $(150, 200)$ 不稳定.
9. 设 x_k, y_k 分别为草和鹿第 k 年数量, 则 $x_{k+1} = x_k + r(1 - x_k/N)x_k - ay_k x_k/N$, $y_{k+1} = (1 - d + bx_k/N)y_k$. 平衡点 $(1800, 600)$ 稳定.
10. 用三点公式做数值微分.

实验 3

2. 总体比较选 4, 9, 16 三点.
3. 梯形公式结果为 1.37298000000000; 辛普森公式结果为 1.37426666666667; 精确值为 1.37486642915263.
5. 提示: 计算单位圆的面积, $\int_0^\infty e^{-x^2} dx, \int_0^1 \frac{1}{1+x^2} dx$ 等.
6. 平均值为 0.0285.
8. $N=3$ 即可, 结果为 0.1097.
9. 取 0.01, 结果为 1.4081, 精度满足要求.
10. 面积为 11.34.
11. 42415.632km^2 (分段线性插值, 辛普森积分公式); 42468.331km^2 (三次样条插值, 辛普森积分公式).
12. 12671 (三次样条插值); 12992 (分段线性插值).

实验 4

2. 引擎关闭瞬间(前)火箭的高度为 12.2km,速度为 267.2m/s,加速度为 0.91m/s^2 ;火箭到达最高点时的高度为 13.1km,加速度为 -9.8m/s^2 .

3. (1) 约 274s, 2min 时的高度为 0.9434m.

4. (1) 圆桶只受重力 G 、浮力 F 及阻力 f 的作用,设其下降速度为 v ,阻力与下沉速度比系数为 b , m 为桶质量,则 $\frac{dv}{dt} = \frac{G-F-f}{m} = \frac{G-F-bv}{m}$,其中, $G=mg$, g 为重力加速度.

(2) 解析求解: $v = \frac{1}{b}(G-F-e^{-b(t/m+c)})$,其中 c 由初始条件确定.工程师们赢得了这场官司.

$$5. (1) \begin{bmatrix} \frac{dy}{dt} \\ \frac{dx}{dt} \end{bmatrix} = \begin{bmatrix} \frac{-v_2 y}{\sqrt{y^2+x^2}} \\ v_1 - \frac{v_2 x}{\sqrt{y^2+x^2}} \end{bmatrix}.$$

(2) 第 67s 小船到达 B 点.

(3) 当 $v_1=0\text{m/s}$ 时,小船用 50s 到达 B 点;当 $v_1=0.5\text{m/s}$ 时,小船用 53.5s 到达 B 点;当 $v_1=1.5\text{m/s}$ 时,小船用 114.5s 到达 B 点;当 $v_1=2\text{m/s}$ 时,小船不能到达 B 点.

8. (1) 当 t 充分大时, x 与 y 数量悬殊变大,最终竞争的结果是一方灭绝,一方繁荣.

(3) 说明当 s_1, s_2 均处于同一水平段时(小于 1),两物种竞争激烈程度加剧,没有一方有绝对的优势; s_1, s_2 都大于 1 时,竞争中有一方具有绝对优势.

实验 5

1. (1) $x=(1,1,\dots,1)^T$.

(2) 随 n 和 ϵ 的增大,希尔伯特矩阵逐渐显出明显的病态性质,而对范德蒙矩阵, A 和 b 的微小扰动对解的影响相对较小.

(3) 计算得到的误差明显小于用条件数估计的误差.

2. (1) 两种方法都不收敛.

(2) 都收敛于 $(-0.0984, -1.1639, 0.5574)$.

(3) 雅可比迭代法不收敛,高斯-赛德尔迭代法收敛于 $(-0.3658, -0.5132, 0.9421)$.

3. (1) 高斯-赛德尔迭代向量收敛的速度快于雅可比迭代.

(2) 收敛性与初始向量和 b 无关,都收敛.对角线的数越大,收敛越快.

4. $x = (61.5030, 64.0030, 67.0782, \dots, 521.6898, 546.5862, 572.6707)$.

5. $(I_1, I_2, \dots, I_{10}) = (2.0005, 1.3344, 0.8907, 0.5955, 0.3995, 0.2702, 0.1858, 0.1324, 0.1011, 0.0867)$, $I_0 = 5.9970$.

6. 各反应器的浓度: $(11.5094, 11.5094, 19.0566, 16.9983, 11.5094)$.

7.
$$F_1 \sin \frac{\pi}{6} + F_3 \sin \frac{\pi}{3} = 100,$$

$$F_1 \cos \frac{\pi}{6} - F_3 \cos \frac{\pi}{3} = 0,$$

$$-F_1 \sin \frac{\pi}{6} + V_2 = 0,$$

$$-F_1 \cos \frac{\pi}{6} - F_2 + H_2 = 0,$$

$$-F_3 \sin \frac{\pi}{3} + V_3 = 0,$$

$$F_2 + F_3 \cos \frac{\pi}{3} = 0,$$

$$(F_1, F_2, F_3, H_2, V_2, V_3) = (50.0000, -43.3013, 86.6025, 0, 25.0000, 75.0000),$$

其中, F_2 与 H_2 反方向.

8. (2) $(8481.0, 2892.4, 1335.4, 601.3, 140.5)$.

(3) $(10981.0, 3892.4, 1835.4, 601.3, -259.5)$.

9. $w = 1.25$ 时, SOR 迭代法收敛的最快.

实验 6

1. 有两个解, 分别位于 0 和 1.4044 附近.

2. 提示: 一个三阶矩阵可以用 9 个决策变量确定. 其实, MATLAB 中可以直接将矩阵作为决策变量求解.

3. (1) 月利率为 0.22%.

(2) 第一方案年利率 $x = 0.0731$, 第二方案年利率 $x = 0.0639$, 故第二种方式较优惠.

4. $V = 10$ 时, $x = 1.7166$; $V = 50$ 时, $x = 1.1447$; $V = 100$ 时, $x = 0.5955$.

5. $\alpha = 0.4329$ (即 24.80°).

6. 可能的情况:

(1) 0.0% 58.6% 41.4% 0.00% 71.951° ;

(2) 0.0% 78.0% 0.00% 22.0% 76.946° .

7. 分叉点: 7.3890, 12.5117, 14.2442, 14.6528; 符合 Feigenbaum 常数规律.

8. 考虑期望价格非负分叉点: 1.0769, 0.9065, 0.8968, 0.8685; 非负部分符合 Feigenbaum 常数规律.

实验 7

1. (1) (3, 2); (3.5844, -1.8481).

(2) (0.2858, 0.2794); (-21.0267, -36.7601).

(3) (0, 0, 0, 0).

(4) (1, 0, 0).

2. (1) $x_1=0$ 或 $x_2=0$ 或 $x_1=1$.

(2) (0, 0).

(3) (1.7954, 1.3779).

(4) (2.6071, 3.8143); (3.9060, 3.9875).

3. 提示: 一个电阻 R 消耗的功率为 $I^2 R$, 其中 I 为电阻 R 上的电流.

4. (3.5833, 1.8417).

5. 提示: 设第一个点为 (0, 0), 然后设对应的点为 x_i, y_i , 求

$$\sum_{i,j} [(x_i - x_j)^2 + (y_i - y_j)^2 - d_{ij}^2]^2$$

达到最小的解即可.

6. $x = (3.6984e-001, 1.4909e+000, -1.0165e+000, 1.1693e-002, 2.4890e-002)$.

7. $a=0.9902, \alpha=0.7824, \beta=0.6391$.

8. $b=46.8, k=3.62, k_1=0.28$.

实验 8

1. (1) 基解是 (0, 0.4, 1.8), (0.5, 0, 1.5) 和 (3, -2, 0); 基本可行解是 (0, 0.4, 1.8), (0.5, 0, 1.5); 最大值是 3.5, 相应的最大点是 (0.5, 0, 1.5); 两个约束为有效约束; 最小值是 2.2, 相应的最小点是 (0, 0.4, 1.8); 两个约束为有效约束.

(2) 基解为: (-1.5000, 4.2500, -3.7500), (-0.4286, 1.5714, 0), (1, 3, 0), (6, -7, 0), (0.2, 0, 2.2), (7, 0, 9), (1.3333, 0, -2.3333), (-2, 0, 0), (0, 0, -5), (0.75, 0, 0), (2.5, 0, 0), (0, 0.5, 1.5), (0, 3.5, -1.5), (0, 2, -3), (0, 2, 0), (0, 5, 0), (0, 1, 0), (0, 0, 2), (0, 0, 3), (0, 0, 0).

基本可行解为: (1, 3, 0), (0.2, 0, 2.2), (7, 0, 9), (0, 0.5, 1.5), (0, 2, 0), (0, 5, 0), (0, 0, 3).

最大点和最大值为 $(0, 5, 0), 10$.

最小点和最小值为 $(7, 0, 9), -30$.

2. $n=2$ 时最小值为 -0.5 ; $n=10$ 时, 最小值为 -1.00 ; $n=50$ 时, 最小值为 -1.00 .

3. (1) 最优值为 -394.7506 ;

(2) 最优值为 -4150.4101 .

4. (1) 至少有 4 个局部极小点, 全局极小点为 $x=6.3257, z=-443.6717$.

(2) 至少有 3 个局部极小点, 全局极小点为 $x=(2.0000, 0.1058), z=-2.0218$.

(3) 可行域由两个不连通的区域组成(因此每个区域至少有 1 个局部极小点), 全局极小点为 $x=(2.3295, 3.1785), z=-5.5080$.

(4) 至少有 5 个局部极小点, 全局极小点为 $x=(1.1166, 1.2204, 1.5378, 1.9728, 1.7911), z=0.0293$.

(5) 至少有 18 个局部极小点, 全局极小点为 $x=(5, 1, 5, 0, 5, 10), z=-310$.

5. 初值为 $(-3, -1, -3, -1)$ 时,

(1) $x=(-10.0000, -10.0000, 1.0123, 1.0248), f=-1.2087e+006$.

(2) $x=(-9.5474, 1.0474, 0.9998, 0.9997), f=-8.1179e+005$.

(3) $x=(-3.1623, 3.1623, -1.1677, 1.3703), f=-4.6062e+003$.

初值为 $(3, 1, 3, 1)$ 时,

(1) $x=(10.0000, -10.0000, 0.9967, 0.9933), f=-1.2087e+006$.

(2) $x=(10.0000, -1.0000, 1.0000, 1.0001), f=-1.0200e+006$.

(3) $x=(3.1623, -3.1623, -1.1677, 1.3703), f=-1.7140e+004$.

6. 原有能力配水:

A 水库为乙区送水 50kt;

B 水库为乙区送水 50kt, 为丁区送水 10kt;

C 水库为甲区送水 40kt, 为丙区送水 10kt.

获利 47600 元.

增加能力后配水:

A 水库为乙区送水 100kt;

B 水库为甲区送水 30kt, 为乙区送水 40kt, 为丁区送水 50kt;

C 水库为甲区送水 50kt, 为丙区送水 30kt.

获利 88700 元.

7. (1) 用于购买 A, B, C, D, E 的资金分别为 218.1818, 0.736.3636, 0.45.4545(万元). 利润为 29.8364 万元.

(2) 用于购买 A, B, C, D, E 的资金分别为 240, 0.810, 0.50(万元). 借资金 100 万元, 利润为 30.0700 万元.

(3) 若证券 A 的税前收益增加为 4.5%, 投资不改变, 利润为 30.2727 万元. 若证券 C 的税前收益减少为 4.8%, 购买 A, B, C, D, E 的资金分别为 336, 0, 0, 648, 16 (万元), 利润为 29.4240 万元, 投资变化.

8. (1) 最小总费用为 500 万元.

(2) 最小总费用为 189 万元.

9. 每周普通品牌生产 5454.54kg, 豪华品牌生产 0kg, 蓝带品牌生产 6666.66kg; 每周购入杏仁 2000kg, 核桃仁 4000kg, 腰果仁 3121.21kg, 胡桃仁 3000kg. 设普通品牌中使用杏仁 0kg, 核桃仁 1363.63kg, 腰果仁 1090.90kg, 胡桃仁 3000kg; 蓝带品牌中使用杏仁 2000kg, 核桃仁 2636.36kg, 腰果仁 2030.30kg, 胡桃仁 4132.96kg.

10. (1) 最大利润为 40 万元;

(2) 最大利润为 60 万元;

(3) 最大利润为 75 万元 (针对产品 A 的最大市场需求量增长为 600t 的情况).

11. 按 $1\Omega, 4\Omega, 6\Omega, 12\Omega, 3\Omega$ 的顺序流过的电流是:

371.3846, 338.6154, 163.8462, 207.5385, 502.4615.

总功率: $1.0160e+006$.

12. (1) R_1, R_2, R_3, R_4 分别为 0.5, 0.3333, 0.25, 0.1111 时, 总功率最小, 为 72;

(2) R_1, R_2, R_3, R_4 分别为 3.000, 3.000, 3.000, 0.667 时, 有最小总功率 60;

13. 两个均是高为 2m 的正方形围墙, 边长分别为 343.38m 和 31.62m.

三角形时: 两个均是高为 2m 的正三角形围墙, 边长分别为 48.6m 和 451.94m.

实验 9

1. (1) 解为 (5, 4), 目标值为 71.

(2) 解为 (4, 2), 目标值为 340.

2. (1) 解为 (2, 2, 3, 3), 目标值为 -1.

(2) 解为 (10, 0, 0, 0), 目标值为 50.

3. 解为 (1, 1, 1, -1), 目标值为 20.

4. 最大利润为 1620 元, 此时选择了 40 个订单 2, 460 个订单 5, 其余订单均不选择.

5. 所用时间最短为 70 (单位). 第 1 人完成第 2 项工作, 第 2 人完成第 1 项工作, 第 3 人完成第 3 项工作, 第 4 人完成第 4 项工作.

6. 10 城市:

工人 2 指派给城市 1, 工人 7 指派给城市 2, 工人 4 指派给城市 3, 工人 9 指派给城市 4, 工人 8 指派给城市 5, 工人 5 指派给城市 6, 工人 6 指派给城市 7, 工人 3 指派给城市 8, 工人 1 指派给城市 9, 工人 10 指派给城市 10 时, 可取得最小费用: 每月 1142.00 元.

5 城市:

第1人被派往城市4,第2人被派往城市1,第3人被派往城市3,第4人被派往城市5,第5人被派往城市2.最小通话费用为341元.

7. 选定大学生量为29和21的城市,向相邻的大学生量为56和71的城市供货,目标值为177.

8. (1) 可雇佣半时服务员3个.

雇佣7个全时服务员,其中2个在12:00~13:00用午餐,5个在13:00~14:00用午餐.雇佣半时服务员3个,分别在10:00时,11:00时,下午1:00时开始上班.每天所付费用最少为820元.

(2) 不能雇佣半时服务员.

至少11名全员雇员,费用至少1100元.

(3) 雇佣半时服务员无限制.

共雇佣半时服务员14个,9:00时开始工作的4个,12:00时开始工作的2个,1:00时开始工作的3个,2:00时开始工作的5个.一共花费560元.

9. 购买A原油1000t,全部用于生产乙种汽油,可获得最大利润500万元.

10. 应该新购II型拉丝机和联合机,而不改造原有塑包机.具体计划:用原有I型拉丝机生产规格1时间为3061.2h;用原有I型拉丝机生产规格2时间为2551h;用联合机生产规格1时间为6443h,生产规格2时间为6872h,不用任何塑包机.总费用57.4万元.

11. 只使用3种切割模式(分别使用9,7,3次);每根原料钢管用第1种模式生产4种产品各1,2,0,2根,用第2种模式生产4种产品各0,1,3,1根,用第3种模式生产4种产品各2,1,0,2根;目标函数值为19.6.

12. 第2种模型冲压次数为4.0125万次,第3种模型冲压次数为0.375万次,第4种模型冲压次数为2.000万次.净利润4298元.

实验10

1. (1) 0.9916; (2) 0.8904; (3) 97.

2. 14.7350(均值),0.3329(标准差),0.1108(方差),1.2000(极差).

3. 均值、标准差、极差、偏度、峰度分别为:80.1000,9.7106,44,-0.4682,3.1529.

4. 由于有随机波动,小数点后取两位数字:

(1) 0.69; (2) -29.74; (3) 2.96; (4) 0.95.

5. 近似0.7.

6. 体积约为3.14.

7. 报童每天购进1968份报纸可获得最大利润.

8. 提示:假设 c 为每个灯泡的回收费用,则目标函数为

$$F(T) = \frac{Ka + Kb \int_{-\infty}^T (T-x)p(x)dx - Kc \int_T^{\infty} p(x)dx}{T}.$$

9. (1) $m=2.33\text{m}$; (2) $m=2.35\text{m}$.

实验 11

2. (2) 假设检验 $\alpha=0.05$.

1 月份汽油的价格可以说是 115 美分/gal, 置信区间是 $[113.3388, 116.9612]$;

2 月份的汽油价格不是 115 美分/gal, 置信区间是 $[119.0129, 122.4871]$.

(3) 提示: 如果将 1 月、2 月对应数据看成同一个加油的数据, 则价格差为 5.6 美分, 置信区间为 $[3.0393, 8.1607]$; 如果认为 1 月、2 月的数据完全随机, 不能简单采用 1 月、2 月对应数据的差作为新的数据. 用两总体的 t 分布检验.

3. (2) 服从正态分布.

4. 假设检验 $\alpha=0.05$.

检验 $\mu_1 = \mu_2$, 均值不相等;

检验 $\mu_1 \leq \mu_2$, 接受假设;

检验 $\mu_1 \geq \mu_2$, 拒绝假设.

5. 乙方应该接受. 为了不接受这批产品, 可以通过将置信概率修改为 0.8271 以下, 或将合格率升高至 92.23% 或以上, 或将抽检数提高到 155 件或以上.

6. (1) 符合正态分布.

(2)

项 目	身高/cm	体重/kg
均值点估计	170.2500	61.2700
均值区间估计	$[169.1728, 171.3272]$	$[59.8954, 62.6446]$
标准差估计	5.4018	6.8929
标准差区间估计	$[4.7428, 6.2751]$	$[6.0520, 8.0073]$

(3) 身高有较明显的变化, 体重没有明显变化.

7. 从全部数据来看, 胃溃疡病人和正常人的溶菌酶含量有显著差别, 若去掉错误数据后, 二者无显著差别.

8. 两次测验难度不相同.

提示: 本题两组数据不能视为两个独立的样本.

9. 不相同.

10. 提示:因为中国的样本容量非常大(20 万),平均分配到每个年龄组也有 1 万以上,日本的数据没有具体给出样本量.所以,本题的关键是样本容量的设定.样本的容量越大,数据的均值和方差越接近真实母体的均值和方差.当每一组数据设定样本容量为 5000 时,用两个母体的 t 检验的结果为(显著水平 0.05):

年龄 结果	7	8	9	10	11	12	13	14	15	16	17	18
男性	有	有	有	有	无	有	有	无	无	无	无	有
女性	有	有	有	无	无	有	有	有	有	有	有	有

不同的容量会得到不同的结果.

实验 12

1. 模型为 $x = 29.5455 - 0.3291t$ (x 为刀具厚度, t 为时间), 检验通过. $x(7.5) = 27.0773$, 两种办法计算的预测区间分别为 $[25.9974, 28.1571]$ 和 $[26.2039, 27.9506]$; $x(15) = 24.6091$, 预测区间分别为 $[23.1836, 26.0346]$ 和 $[23.7358, 25.4824]$.

2. 模型为 $y = 83.2116 + 1.2985x_1 + 2.3372x_2$ (y 为收入, x_1 为电视广告费, x_2 为报纸广告费), 检验通过. 有一个异常点, 去掉后 $y = 81.4881 + 1.2877x_1 + 2.9766x_2$, 检验效果更好.

3. (1) 记 y 为身高, x 为年龄, 高蛋白食物组 $y = 50.5224 + 15.8976x$, 低蛋白食物组 $y = 50.7934 + 9.1884x$.

(2) 根据计算结果(15.897 和 9.1884), 利用 $\hat{\beta}_1$ 的性质检验, 有显著影响.

4. 记 y 为睡眠时间, x 为年龄, $y = 646.6229 - 14.0416x$, 检验通过. $y(10) = 506.2071$, 预测区间为 $[480.4448, 531.9695]$.

5. 模型是 $y = -34.0725 + 1.2239x_1 + 4.3989x_2$; 两个异常点去掉后为 $y = -35.7095 + 1.6023x_1 + 3.3926x_2$.

6. (1) 记 y 为磨损量, x 为转速, 两种办法得到的模型均为 $y = -6.7500 + 0.2779x$, 但是用原始数据的模型系数的置信区间小得多.

(2) 二次函数模型为 $y = 63.2143 - 0.7060x + 0.0033x^2$, 情况与(1)相同.

7. (1) $y = 83.4438 - 5.6682x_3$.

(2) $y = 90.8529 - 0.1870x_1 - 5.4671x_3$.

(3) $y = 118.0135 - 0.3254x_1 - 4.5694x_3 - 0.1561x_5$.

(4) 有两个异常点.

8. (1) $y_1 = 90.1814 - 27.6588x_1 - 3.2283x_2$, $y_2 = 24.5471 - 4.6285x_1 - 1.4360x_2$.

(2) 普通型: $x_3 = 0$; 豪华型: $x_3 = 1$, $y = 64.5753 - 16.1436x_1 - 2.3322x_2 - 14.4222x_3$.

(3) 两种类型残差散点图的趋势不同, 表明 x_1, x_2 与 x_3 有交互作用.

(4) 模型为 $y = 84.9940 - 19.0370x_1 - 6.8094x_2 - 65.6343x_3 + 0.2706x_2^2 + 23.0304x_1x_3 + 1.7923x_2x_3$.

9. (1) 模型为 $y = -12.7400 + 26.3000x_1 + 3.0867x_2$, 中等搅拌程度的残差与其他的不同.

(2) 搅拌程度表示为: 弱—— $(x_1, x_2) = (0, 0)$, 中—— $(x_1, x_2) = (0, 1)$, 强—— $(x_1, x_2) = (1, 0)$, 洗衣粉用量为 x_3 , 模型为 $y = 10.6867 + 52.6000x_1 + 34.9200x_2 + 3.0867x_3$.

(3) 有一点改进.

10. 模型为

$$y = -62.3489 + 0.8396x_1 + 0.0371x_1^2 + 5.6846x_2,$$

或

$$y = -65.3856 + 1.0172x_1 + 0.0358x_1^2 + 5.2171x_2 + 0.1662x_2^2 - 0.0196x_1x_2.$$

11. 记 y, x_1, x_2, x_3 依次为病痛减轻的时间、用药的剂量、性别和血压组别, 模型为 $y = 43.3742 - 6.9834x_1 + 43.6765x_3 + 0.5111x_1^2 + 0.9551x_1x_2 - 7.5294x_1x_3$.

12. $\beta_1 = 160.2802, \beta_2 = 0.0477, \gamma_1 = 52.4035, \gamma_2 = 0.0164$, γ_2 的置信区间含零点, 令 $\gamma_2 = 0$ 后得 $\beta_1 = 166.6025, \beta_2 = 0.0580, \gamma_1 = 4200252$.

13. (1) $a = 7.9781, k = 0.3016$.

(2) $L = 3260.42, a = 30.5350, k = 0.4148$.

(3) $L = 4810.076, b = 4.592, k = 0.17478$.

附录

MATLAB 使用入门

MATLAB 是 MATrix LABoratory(矩阵实验室)的缩写,是由美国 MathWorks 公司 20 世纪 80 年代初开发的一套以矩阵计算为基础的科学和工程计算软件. 它将数值计算、可视化和编程功能集成在非常便于使用的环境中,并具有方便的绘图功能和为解决各种特殊的科学和工程计算问题提供的许多工具箱(toolbox),具有计算功能强、编程效率高、使用简便、易于扩充等特点,目前已经发展成为国际上最优秀的高性能科学和工程计算软件之一. 本附录给出 MATLAB 简要的使用说明,要了解更多的内容请使用 MATLAB 在线帮助系统或参考有关书籍.

先大致介绍一下 MATLAB 的工作界面和经常使用的各种窗口. 假定在您的计算机

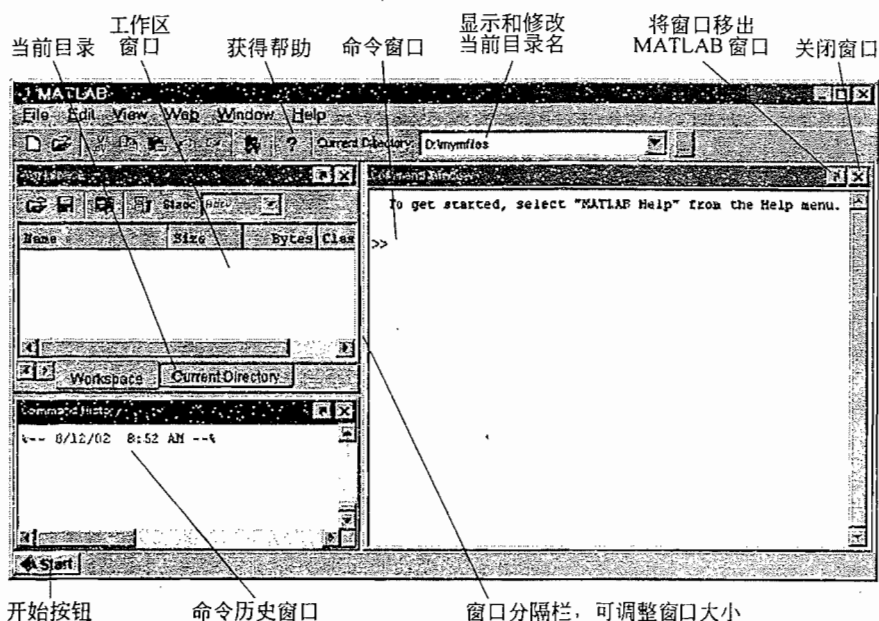


图 1 MATLAB 的初始界面

里已经安装了 MATLAB 6.5.1 或以上版本的软件,则在 WINDOWS 系统下启动 MATLAB 软件将在屏幕上看到如图 1 所示的 MATLAB 的主窗口(桌面).在该主窗口中,除了 WINDOWS 应用程序一般应该具有的菜单和工具栏外,还包括了右边的命令窗口和左边的工作区/当前目录窗口、命令历史窗口,以及工具栏后边的显示和修改当前目录名的小窗口等.命令窗口下的提示符为“>”,表示 MATLAB 已经准备好,可以接受用户在此输入行命令,命令和程序执行的结果也显示在这个窗口;过去执行过的命令名则依次显示在命令历史窗口中,可以备查.工作区窗口内用于显示当前内存中变量的信息(包括变量名、维数、具体取值等),初始时这部分信息为空;当在该窗口中选择“当前目录”(Current Directory)选项卡时,该窗口可以切换成当前目录窗口,显示当前目录下的文件信息.此外,在 MATLAB 中经常会使用到的还有另外两个窗口:一个是显示和编辑 MATLAB 源程序文件的编辑窗口,另一个是打开在线帮助系统时的帮助文件显示窗口.

1 矩阵及其运算

MATLAB 的主要数据对象是矩阵,标量、行向量(数组)、列向量都是它的特例,最基本的功能是进行矩阵运算,但 MATLAB 对于矩阵有一些特殊规定的操作、运算方式.

1.1 矩阵的直接输入

矩阵输入有多种办法,如直接输入每个元素;由语句或函数生成;在 M 文件(以后介绍)中生成等.

MATLAB 中直接输入矩阵时不用描述矩阵的类型和维数,它们由输入的格式和内容决定.小规模矩阵可以用排列各个元素的方法输入,元素放在方括号中,同一行元素用逗号或空格分开,不同行的元素用分号或回车分开.如在命令窗口中键入

```
>A=[1,2,3;4,5,6] (表示在命令窗口中的提示符下键入,表示回车,下同)
```

或

```
>A=[1 2 3;4 5 6]
```

或

```
>A=[1 2 3  
4 5 6]
```

都输入了一个 2×3 矩阵 A,屏幕上显示的输出为

```
A=  
1 2 3  
4 5 6
```

矩阵中的元素可以用它的行、列数(放在圆括号中)进行访问,例如(以下在回车符□后直接给出屏幕上显示的输出)

```
»a=A(2,1)□ (MATLAB 区分大小写字母,a 和 A 是不同的变量)
a=
    4
```

或者不指定输出变量,MATLAB 将回应 ans(answer 的缩写),如

```
»A(2,3)□
ans=
    6
```

矩阵中的元素也可以仅用一个下标来访问,此时元素是按列优先排序的,例如

```
»b=A(3)□
b=
    2
»A(4)□
ans=
    5
```

A 输入后一直保存在内存工作区(工作空间,Workspace)中,也会显示在工作区窗口内(包括变量名、维数、具体取值等).工作区内的变量可随时直接调用,除非被清除或替代.

可以直接修改矩阵的元素,如

```
»A(2,1)=7□
A=
    1    2    3
    7    5    6
»A(3,4)=1□
A=
    1    2    3    0
    7    5    6    0
    0    0    0    1
```

原来的 A 没有 3 行 4 列,MATLAB 自动增加行列数,对未输入的元素赋值 0.

1.2 矩阵的函数生成

MATLAB 提供了一些函数来构造特殊矩阵,如

```
»w=zeros(2,3)□ (2×3 零矩阵)
```



```

w=
    0    0    0
    0    0    0
»u=ones(3)□ (3×3 全 1 矩阵,方阵只需输入行数,这几个矩阵生成函数均如此)
u=
    1    1    1
    1    1    1
    1    1    1
»v=eye(3,4)□ (对角线为 1 的 3×4 矩阵)
v=
    1    0    0    0
    0    1    0    0
    0    0    1    0
»x=rand(1,3)□ (1×3 的(0,1)均匀分布随机矩阵)
x=
    0.2311    0.8913    0.0185

```

矩阵生成函数还有 $m \times n$ 的标准正态分布矩阵生成函数 `randn(m,n)`; n 阶 Hilbert 矩阵 `hilb(n)`; n 阶幻方矩阵 `magic(n)`; n 阶 pascal 矩阵 `pascal(n)` 等,请读者不妨试试.

1.3 矩阵的裁剪与拼接

从一个矩阵中取出若干行(列)构成新矩阵称为裁剪,MATLAB 中“:”是非常重要的裁剪工具,如

```

»A(3,:)□ (A 的第 3 行)
ans=
    0    0    0    1
»A(:,2)□ (A 的第 2 列)
ans=
     2
     5
     0
»B=A(1:2,:)□ (A 的第 1~2 行)
B=
     1     2     3     0
     7     5     6     0
»C=B(:,2:4)□ (B 的第 2~4 列)
C=
     2     3     0
     5     6     0

```

»D=A(2:end,[2,4]) (A 的第 2 行至最后行,第 2,4 列; end 表示最后可能的下标值)
 (等价于 A(2:3,[2,4])或 A([2,3],[2,4]))

D=
 5 0
 0 1

»D(:,1)=[] (删除 D 的第 1 列,[]为空集符号)

D=
 0
 1

将几个矩阵接在一起称为拼接,左右拼接时行数要相同,上下拼接时列数要相同,如

»E=[C,ones(2,3)]

E=
 2 3 0 1 1 1
 5 6 0 1 1 1

»F=[A(1:2,:);eye(1,4)]

F=
 1 2 3 0
 7 5 6 0
 1 0 0 0

»G=[C,zeros(2);9,F(2,:)]

G=
 2 3 0 0 0
 5 6 0 0 0
 9 7 5 6 0

»H=C(:) (C 按列拼接成一系列向量)

H=
 2
 5
 3
 6
 0
 0

1.4 矩阵的基本运算

MATLAB 中提供了下列矩阵运算符:

+ 加法; - 减法; ' 转置; * 乘法; ^ 乘幂; \ 左除; / 右除.

它们要符合矩阵运算的规律,如果矩阵的行列数不符合运算符的要求,将产生错误信息.这里只将左除和右除的用法叙述如下:

设 A 是可逆矩阵, $AX=B$ 的解是 A 左除 B , 即 $X=A \setminus B$ (当 B 为列向量时, 得到方程组的解); $XA=B$ 的解是 A 右除 B , 即 $X=B/A$.

还应注意标量与矩阵进行上述运算的含义, 请看

»E=E+3□ (E 的每个元素加 3, 即标量 3 相当于元素全为 3 的与 E 同维数的矩阵)

E=

5 6 3 4 4 4

8 9 3 4 4 4

»CC=C(:,1:2)*(1+i)□ (C 的 1,2 列的每个元素乘以复数(1+i))

CC =

2.0000 + 2.0000i 3.0000 + 3.0000i

5.0000 + 5.0000i 6.0000 + 6.0000i

»C1=CC' (对复数矩阵, 矩阵的转置是共轭转置)

C1 =

2.0000 - 2.0000i 5.0000 - 5.0000i

3.0000 - 3.0000i 6.0000 - 6.0000i

1.5 矩阵的特殊运算

MATLAB 为矩阵提供了下面的特殊“点”运算:

“点”转置; .* “点”乘法; .^ “点”乘幂; .\ “点”左除; ./ “点”右除.

“点”转置是复数矩阵的非共轭转置. 如

»C2=CC.'□ (矩阵的非共轭转置, 请与上面 C1 的结果比较)

C2 =

2.0000 + 2.0000i 5.0000 + 5.0000i

3.0000 + 3.0000i 6.0000 + 6.0000i

后四个“点”运算实际上是对相同维数的矩阵的对应元素进行相应的运算. 如

»A=[1,0,2;3,4,0]□ (对 A 重新赋值)

A=

1 0 2

3 4 0

»B=E(:,1:3)□ (对 B 重新赋值)

B=

5 6 3

8 9 3

»A.*B□

```

ans =
     5     0     6
    24    36     0
»B.*A
ans =
         5         1         9
       512       6561         1
»A.\B           (与 B./A 的结果相同)
ans =
     5.0000     Inf     1.5000      (Inf 表示正无穷)
     2.6667     2.2500     Inf
»B.\A           (与 A./B 的结果相同)
ans =
     0.2000         0     0.6667
     0.3750     0.4444         0

```

应注意上述运算中两个矩阵的维数应该相同. 至于标量与矩阵进行上述运算的含义, 请看

```

»2.*A           (标量 2 相当于元素全为 2 的与 A 同维数的矩阵)
ans =
     2     1     4
     8    16     1
»A.^2
ans =
     1     0     4
     9    16     0

```

1.6 行向量的特殊输入方式

行向量与一维数组是一样的数据对象, 除了作为矩阵的特例像 $1 \times n$ 矩阵一样地输入外, 常采用“:”和函数 `linspace`, `logspace` 两种输入方式, 它们的用法可以从下面的例子知道.

```

»a=1:5          (从 1 到 5 公差为 1(可缺省)的等差数组)
a=
     1     2     3     4     5
»b=1:2:7         (从 1 到 7 公差为 2 的等差数组, 如果输入 b=1:2:8, 得到同样结果)
b=
     1     3     5     7
»c=6:-3:-6       (从 6 到 -6 公差为 -3 的等差数组)
c=
     6     3     0    -3    -6

```

```

6 3 0 -3 -6
»b=[0:2:8,ones(1,3)]□ (等差数组和行向量拼接)
b=
0 2 4 6 8 1 1 1
»linspace(0,1,9)□ (从0到1共9个数值的等差数组)
ans=
0 0.1250 0.2500 0.3750 0.5000 0.6250 0.7500 0.8750 1.0000

```

即

```
linspace(a,b,n)
```

生成从 a 到 b 共 n 个数值的等差数组,公差不必给出.与它相仿的是

```
logspace(a,b,n)
```

生成从 10^a 到 10^b 共 n 个数值的等比数组.

4 等分 π (MATLAB 中 π 的符号是 pi) 的数组可以用这两种方式输入:

```

»x=0:pi/4:pi□
x=
0 0.7854 1.5708 2.3562 3.1416
»x=linspace(0,pi,5)□

```

输出同上.

请特别注意“:”的用法,其实矩阵的裁剪中用到的“:”的含义与此是完全相同的.如

```

»G(1:2:end,4:-1:2)□ (与 G([1 3],[4 3 2])等价)
ans =
0 0 3
6 5 7

```

2 语句和函数以及其他数据类型

2.1 语句

MATLAB 语句的一般形式为:

变量=表达式

如果你在命令窗口中输入一个语句并以回车结束,则在命令窗口中显示计算的结果;如果语句以分号“;”结束,MATLAB 只进行计算,不显示计算的结果.如果一个表达式太长,可以用续行号“...”将其延续到下一行.正如上节所述,当前内存中变量的信息显示在工作区窗口(包括变量名、维数、具体取值等);一个语句中可以只有表达式(即“变量=”省

略),此时名为 ans 的变量自动建立.

此外,一行中可以写几个语句,它们之间要用逗号或分号分开.如

```

>a=[1 2 3 4 5];b=[1 3 5 7 9];...
c=a.*b, d=a*b', e=a'*b
c=
    1    6   15   28   45
d=
    95
e=
    1    3    5    7    9
    2    6   10   14   18
    3    9   15   21   27
    4   12   20   28   36
    5   15   25   35   45

```

MATLAB 的变量由字母、数字和下划线组成,最多 31 个字符,区分大小写字母,第一个字符必须是字母.对于变量,MATLAB 不需要任何类型的说明或维数语句.当输入一个新变量名时 MATLAB 自动建立变量并为其分配内存空间.

MATLAB 有几个特殊的常量:

pi 圆周率 π ; eps 最小浮点数; Inf 正无穷大,特指 $1/0$;
NaN 非数(Not A Number),特指 $0/0$; i, j 都是虚数单位.

请看

```

>a=[0.1 0],b=[1 0 0],c=a./b
a =
    0    1    0
b =
    1    0    0
Warning: Divide by zero.
c =
    0   Inf   NaN

```

变量也可以用于记录字符串.字符串是用单引号括起来的字符集合,可以像向量一样进行拼接和裁剪,如

```

>s1='Hello';s2='every';s3='body';s=[s1','s2','s3],ss=s(1:5)
s=
    Hello,every body
ss=
    Hello

```

2.2 标量函数

MATLAB 提供了大量的数学函数,按照其用法分为标量函数、向量函数和矩阵函数 3 种类型。

常用的标量函数列出如下,只作必要的注释:

三角函数: `sin cos tan cot sec csc asin acos atan acot asec acsc`
`sinh cosh tanh asinh acosh atanh`

其他基本函数: `sqrt`(正的平方根) `pow2`(2 的指数) `exp`(e 的指数) `log`(自然对数) `log10`(常用对数) `log2`(以 2 为底的对数) `abs`(绝对值或复数模) `round`(四舍五入取整) `floor`(向 $-\infty$ 方向取整) `ceil`(向 $+\infty$ 方向取整) `fix`(向 0 方向取整) `sign`(符号函数) `real`(取实部) `imag`(取虚部) `angle`(取辐角) `rats`(有理逼近)

这些函数本质上是作用于标量的,当它们作用于矩阵(或数组)时,是作用于矩阵(或数组)的每一个元素。请看下面的例子:

```

>x=(0:0.2:1)*pi; y=sin(x)
y=
    0    0.5878    0.9511    0.9511    0.5878    0.0000
>a=[-3.5 4.6];...
b=round(a), c=floor(a), d=ceil(a), e=fix(a), f=rats(a)
b =
   -4     5
c =
   -4     4
d =
   -3     5
e =
   -3     4
f =
  -7/2 23/5

```

另一个计算函数值的常用命令是 `feval(F,x)`, `F` 是表示函数名的字符串(也可以是函数句柄,即在函数名前加符号 `@`;建议当函数名出现在其他函数的自变量列表中时,均采用函数句柄形式),如

```

>x=(0:0.2:1)*pi; y=feval('sin',x) 或
>x=(0:0.2:1)*pi; y=feval(@sin,x) (函数句柄形式)

```

均得到与上面同样的结果:

```
y =
    0    0.5878    0.9511    0.9511    0.5878    0.0000
```

简单的函数可以采用 inline 函数形式输入(该函数返回的是函数句柄),如

```
»x=(0:0.2:1)*pi; y= feval(inline('sin(x)+2'),x) □
```

```
y =
    2.0000    2.5878    2.9511    2.9511    2.5878    2.0000
```

此外,还有一些多于一个自变量的函数,如基本的二元函数:atan2(四象限取值的反正切函数);rem(同余函数)等.

2.3 向量函数

有些函数只有当它们作用于(行或列)向量时才有意义,称为向量函数,这些函数也可以作用于矩阵,此时它产生一个行向量,行向量的每个元素是函数作用于矩阵相应列向量的结果.常用的有:

max(最大值) min(最小值) sum(和) length(长度) mean(平均值)

median(中位数) prod(乘积) sort(从小到大排列)

请看下例:

```
»a=[4 3.1 -1.2 0 6];...
b=min(a), c=sum(a), d=median(a), e=sort(a) □
b =
    -1.2000
c =
    11.9000
d =
     3.1000
e =
    -1.2000     0     3.1000     4.0000     6.0000
»f=[1:3;4:6;7:9]; f1= prod(f), f2=prod(f1) □
f1 =
    28     80    162
f2 =
   362880
```

2.4 矩阵函数

MATLAB 有大量的处理矩阵的函数,从其作用来看可分为两类:构造矩阵的函数;进行矩阵计算的函数.对于前者,我们已经介绍的主要有

zeros(0 阵) ones(1 阵) eye(单位阵) rand(均匀随机阵) randn(正态随机阵)
 还有
 diag(生成或提取对角阵) triu(生成或提取上三角阵) tril(生成或提取下三角阵)
 等,在实验 5 中给出介绍.

对于后者,常见的有

size(大小) det(行列式) rank(秩) inv(逆矩阵) eig(特征值) trace(迹)
 expm(矩阵指数) poly(特征多项式)等.
 norm(范数) cond(条件数) lu(LU 分解) gr(正交分解) svd(奇异值分解)等,
 其中一些在实验 5 中给出介绍.

MATLAB 有对矩阵维数重新整理的函数 reshape,如

```
»a=[1 2 3;4 5 6;7 8 9;10 11 12]; b=reshape(a,2,6)□
b =
     1     7     2     8     3     9
     4    10     5    11     6    12
```

即对 a 按列优先整理成 2×6 的矩阵.

```
»sa=size(a), sb=size(b)□
sa =
     4     3
sb =
     2     6
»c=reshape(1:9,3,3)□
c =
     1     4     7
     2     5     8
     3     6     9
```

2.5 高维矩阵

除了基本的二维矩阵(及其特例——向量、标量)外,高维矩阵是二维矩阵的一种自然而然的扩展,MATLAB 中也支持高维矩阵.例如,下面的语句输入了一个 $3 \times 3 \times 2$ 的三维矩阵:

```
»A(:,:,1)=reshape(1:9,3,3); A(:,:,2)=reshape(-1:-1:-9,3,3)□
A(:,:,1) =
     1     4     7
     2     5     8
     3     6     9
```

```

A(:, :, 2) =
    -1    -4    -7
    -2    -5    -8
    -3    -6    -9
>a=A(3,2), b=A(3,2,1), c=A(3,2,2), d=A(4), e=A(13)
a =
     6
b =
     6          (a,b 相同,说明在三维矩阵中,第三维的下标为 1 时可以缺省)
c =
    -6
d =
     4          (采用单一下标访问时,先访问第三维的下标为 1 者,然后以此类推)
e =
    -4
>A(:, 2, 2)=0:2
A(:, :, 2) =          (也会显示 A(:, :, 1),不过 A(:, :, 1)结果同上,这里略去)
    -1     0    -7
    -2     1    -8
    -3     2    -9

```

更高维的矩阵的处理也类似。此外,元素为字符串的高维矩阵也可以类似定义和处理。

2.6 结构变量

除了基本的数值矩阵和字符串矩阵外,MATLAB 中还提供了一些其他较为复杂的数据类型,主要是结构(structure)和元胞矩阵(cell array)。

结构变量是由“域”组成的变量;通过“.”操作符可以访问结构变量的“域”。如下面是由 name,fee 和 credit 三个域组成的一个结构变量的例子:

```

>student.name='abc ABC'; student.fee=5000.00; student.credit=[4,3,2,3;85,60,90,70]
student =
    name: 'abc ABC'
    fee: 5000
    credit: [2x4 double]
>student.credit
ans =
     4     3     2     3
    85    60    90    70

```

结构变量是可以嵌套的,即结构中还可以有结构,如:

```

»student.name.firstname='abc', student.name.lastname='ABC'
student =
    name : [1x1 struct]
    fee : 5000
    credit : [2x4 double]
»student.name
ans =
    firstname : 'abc'
    lastname : 'ABC'

```

此外,除了上面这种直接赋值的方式外,结构变量也可以通过 struct 函数生成,如

```

»student(5)=struct('name','abc ABC','fee',5000,'credit',[4,3,2,3;85,60,90,70])
student =
1x5 struct array with fields:
    name
    fee
    credit

```

这样,student(5)的结果同上;由于没有给出 student(1)至 student(4)的取值,系统还会自动对结构变量 student(1)至 student(4)的三个“域”赋值为空。

其他有关结构变量的操作函数的用法请读者查阅 MATLAB 帮助文件或其他书籍。

* 2.7 元胞矩阵

元胞矩阵可以看成是数值(或字符串)矩阵的一种自然而然的扩展。在数值矩阵中,要求所有元素都是一个数;在字符矩阵中,要求所有元素都是一个字符。而在元胞矩阵中,不同的元素可以有完全不同的数据类型。如上面结构变量的例子也可以用如下的方式定义成元胞矩阵:

```

»student(1,1)={ 'abc ABC' }; student(1,2)={ 5000.00 }; ...
student(2,1)={ [4,3,2,3;85,60,90,70] }
student =
    'abc ABC'      [5000]
    [2x4 double]   []

```

你可能已经注意到元胞矩阵中赋值时采用的是花括号,而不再是方括号。此外,上面的元胞变量定义过程也可以用下面的方式:

```

»student{1,2}='abc ABC'; student{1,2}=5000.00;

```

```
student{2,1}=[4,3,2,3;85,60,90,70]□
```

输出同上. 元素的访问方法和规则与数值矩阵类似, 如:

```
»student{1,2}□
ans =
    5000
»student{2,1}(1,:)□
ans =
     4     3     2     3
»student{2,1}(2,:)□
ans =
    85    60    90    70
»student{2,1}(4)□
ans =
    60
```

与结构变量类似, 除了上面这种直接赋值的方式外, 元胞矩阵变量也可以通过 `cell` 函数生成, 如

```
»c=cell(2,3)□
c =
    []    []    []
    []    []    []
»c{2,1}='abc'; c{2,3}=5000□
c =
    []    []    []
    'abc' []    [5000]
```

元胞变量也是可以嵌套的, 而且元胞变量也可以与结构变量相互嵌套, 从而可以用于构造出非常复杂的数据类型. 此外, 与普通数值矩阵一样, 也可以定义高维(三维或以上)的结构变量和元胞变量.

其他有关元胞变量的函数的用法请读者查阅 MATLAB 帮助文件或其他书籍.

2.8 数据类型的判断和转换

目前, 高版本的 MATLAB 遵循的是面向对象编程(OOP)的规范, 数据类型是以“类”(class)的形式实现的. MATLAB 内部已经包括了比较丰富的适合于科学计算的数据类型, 在此基础上也允许用户建立新的数据类型. MATLAB 中最一般的类是 `array` 类(可以译为阵列, 不过我们这里还是将它称为矩阵), `array` 可以是列出全部元素的稠密(full)矩阵形式或是稀疏(sparse)矩阵形式. 内部的具体数据类型可以归纳成表 1:

表 1

numeric (数值型)	double (双精度), single (单精度) int8 (8 位整数), uint8 (无符号 8 位整数) int16 (16 位整数), uint16 (无符号 16 位整数) int32 (32 位整数), uint32 (无符号 32 位整数) int64 (64 位整数), uint64 (无符号 64 位整数)
char (字符型)	
logical (逻辑型)	
struct (结构)	(用户自定义的类)
cell (元胞)	
function_handle (函数句柄)	(' @ + 函数名')
java (Java 类)	

对于一个变量,有时候希望判定它是属于哪个类的对象,这时可以有几种不同的判断方法.首先,可以使用 class 函数直接返回变量类型.例如,对于上节定义的元胞变量 c:

```
»t=[class(c),' ',class(c{2,1})',' ,class(c{2,2})',' ,class(c{2,3})]]□
t =
    cell char double double      (缺省时,空矩阵 c{2,2}也被认为是双精度数值型)
```

其次,可以使用 isa 函数,一般用法是:

```
isa(obj,'class_name')
```

这个函数判断对象 obj 是否属于 class_name 类(结果中 1 表示“是”,0 表示“否”),其中 class_name 是类名,可以是表 1 中的 17 种(英文)类名之一.例如,对于上节定义的元胞变量 c:

```
»t=[isa(c,'cell'), isa(c,'struct'), isa(c{2,1},'char'), isa(c{2,3},'double')]]□
t =
     1     0     1     1
```

此外,numeric,char,logical,struct,cell,java 类也可以用对应于每类的具体函数直接判断,这个函数名是“is + (英文)类名”.例如,isa(c,'cell')命令等价于 iscell(c);而 isa(c{2,1},'char')命令等价于 ischar(c{2,1}),以此类推.

以上许多数据类型之间可以相互转换,所以转换类型的函数很多.下面仅以数值型和字符型相关的转换举几例简单演示如下:

```
»clear all; A = magic(4); B = single(A); whos□ (显示当前工作区中的所有变量)
```

Name	Size	Bytes	Class
A	4x4	128	double array
B	4x4	64	single array

Grand total is 32 elements using 192 bytes

```

>a = -2 : 0.8 : 2, b = int8(a), c = uint8(a)
a =
    -2.0000    -1.2000    -0.4000     0.4000     1.2000     2.0000
b =
    -2     -1      0      0      1      2
c =
      0      0      0      0      1      2
>d = '3.14159e0'; str2num(d)
ans =
      3.1416
>str2num(['1 2'; '3 4'])
ans =
      1      2
      3      4
>A = reshape(1 : 9, 3, 3); B = logical(eye(3)); A(B)'
ans =
      1      5      9
>e = @sin; func2str(e)
ans =
sin
>f = 'cos'; str2func(f)
ans =
@cos

```

3 命令和窗口环境

本节将介绍 MATLAB 的在线帮助系统、一些特殊命令及窗口环境。

3.1 在线帮助系统

MATLAB 提供了非常方便的在线帮助,如果你知道某个程序(或主题)的名字,就可
用命令

```
help 程序(主题)名
```

得到帮助,例如

```
»help sqrt
```

SQRT Square root.

SQRT(X) is the square root of the elements of X. Complex results are produced if X is not positive.

See also SQRTM.

Overloaded functions or methods (ones with the same name in other directoros)

help sym/sqrt.m

Reference Page in Help browser

doc sqrt

单独使用 help 命令, MATLAB 将列出所有的主题. MATLAB 还提供了一个命令 lookfor, 它可以搜索包含某个关键词的帮助主题, 这个关键词并不一定要求是 MATLAB 的命令或函数.

不过在 WINDOWS 系统下, 一般来说, 使用窗口中的 help 菜单获得帮助信息是更完整、更方便的.

3.2 数据显示格式

MATLAB 显示数据结果时, 一般遵循下列原则: 如果数据是整数, 则显示整数; 如果数据是实数, 在缺省情况下显示小数点后 4 位数字.

可以打开菜单 File 下的子菜单 Preferences, 来选择、改变数据显示的方式(修改 Numeric format 下拉框), 以 π 的显示为例将常用的方式列如表 2:

表 2

MATLAB 命令	显 示	说 明
format short	3.1416	小数点后 4 位(缺省显示)
format long	3.14159265358979	15 位数字
format bank	3.14	小数点后 2 位
format +	+	显示+, - 或 0
format short e	3.1416e+000	5 位科学计数法
format long e	3.141592653589793e+000	15 位科学计数法
format rat 或 rational	355/113	最接近的有理数
format hex	400921+654442d18	十六进制数(IEEE 标准)

也可以直接键入表 2 中第 1 列的 MATLAB 命令选择显示的方式. `format` 只影响结果的显示, 不影响计算和存储. MATLAB 总是以双精度执行所有的运算.

3.3 命令行编辑

键盘上的各种箭头和控制键为我们提供了命令的重调、编辑、重用功能, 具体用法如下:

↑	ctrl-p	重调前一行 (用于调出前面的命令进行修改, 重新计算)
↓	ctrl-n	重调下一行
→	ctrl-b	向前移一个字符
←	ctrl-f	向后移一个字符
	ctrl-r	右移一个字
	ctrl-l	左移一个字
home	ctrl-a	移动到行首
end	ctrl-e	移动到行尾
esc	ctrl-u	清除一行
del	ctrl-d	删除光标处字符
backspace	ctrl-h	删除光标前的一个字符
	ctrl-k	删除到行尾

3.4 MATLAB 命令窗口

MATLAB 命令窗口是用来接受 MATLAB 命令的窗口, 可以在窗口中用命令实现以下功能.

- 显示

»who□

或

»whos□

可以显示在当前工作区中的所有变量名, 其区别是前者只显示变量名, 后者还显示变量的大小、字节数和类型.

»disp(x)□

显示 x 的内容, 它可以是矩阵或字符串.

- 清除

»clear□

清除当前工作区的所有变量,如果只要清除一个变量,可以用

»clear (变量名)□

- 储存

»save (文件名)□

把工作区中的变量储存在当前 MATLAB 目录下产生的一个扩展名为 mat 的 MAT 文件中,也可以用 File 菜单中的 Save Workspace as ...完成同样的工作.

- 调出

»load (文件名)□

可以调出 MAT 文件中的数据.load 命令也可以调出文本文件,但是文本文件只能是由数字组成的矩阵形式,例如,你可以在 MATLAB 外建立一个形如

```
16.0    3.0    2.0    11.0
4.0     10.0   23.0    9.0
9.0     6.5    7.4    12.0
```

的文本文件,文件名为 magik.dat,那么命令

»load magik.dat□

把文件读入并建立一个名为 magik 的变量,它的值为上述矩阵.

当用文本形式保存工作区时,应当每次仅保存一个变量.如果多于一个, MATLAB 也可产生文本文件,但是你无法用 load 命令把它调回 MATLAB.

- 记录

MATLAB 还提供了一个 diary 命令,它可以建立一个文本文件记录下你在 MATLAB 中输入的所有命令和它们的输出,但是不能包括图形.使用 diary 命令可以建立一个名为 diary 的文件,如果想把你的输入存入一个特定的文件中,可使用

»diary filename□

建立文件.使用

»diary off□

命令可以停止记录.

- 搜索

MATLAB 用一系列目录作为搜索路径,以此来决定如何执行你调用的函数,命令

»path□

显示目前的搜索路径,你可以用 File 菜单中的 Set Path 观察和修改路径.

- 管理

MATLAB 还提供了一系列管理文件的命令：

What	返回当前目录下 M, MAT, MEX 文件的列表
dir, ls	列出当前目录下的所有文件
cd, path	改变当前目录为 path(与改变桌面上“Current Directory”功能相同)
cd, pwd	显示目前的工作目录
type test	在命令窗口下显示 test.m 的内容
delete test	删除 M 文件 test.m
which test	显示 M 文件 test.m 的目录

- 退出

退出工作区可以用

»quit□

也可选择 File 菜单中的 Exit 命令(快捷键 Ctrl+Q)或直接点击窗口上的“X”按钮。

4 图形功能

MATLAB 系统提供了丰富的图形功能,下面着重介绍二维图形的画法,对三维图形只作简单叙述。

从本节起在不致引起混淆的情况下输入命令的前后不再写出“»”和“□”符号。

4.1 二维图形

- 基本形式

MATLAB 最常用的画二维图形的命令是 plot,看两个简单的例子:

```
y=[0 0.58 0.70 0.95 0.83 0.25]; plot(y)
```

生成的图形见图 2,是以序号 1,2,...,6 为横坐标、数组 y 的数值为纵坐标画出的折线。

```
x=linspace(0,2*pi,30); y=sin(x); plot(x,y)
```

生成的图形见图 3,是 $[0, 2\pi]$ 上 30 个点连成的正弦曲线。

- 多重线

在同一个画面上可以画许多条曲线,只需多给出几个数组,例如

```
x=0:pi/15:2*pi; y1=sin(x); y2=cos(x); plot(x,y1,x,y2)
```

或者给出矩阵,如

```
x=0:pi/15:2*pi; y=[sin(x);cos(x)]; plot(x,y)
```

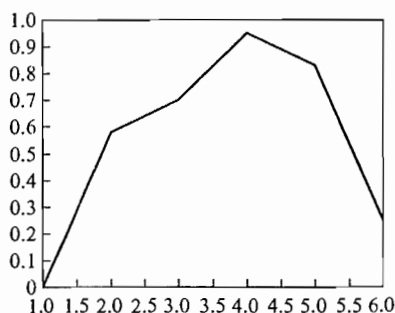


图 2

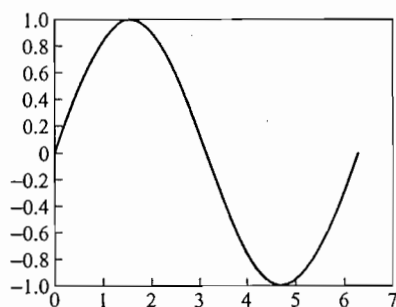


图 3

都可以画出图 4.

多重线的另一种画法是利用 hold 命令. 在已经画好的图形上, 若设置 hold on, MATLAB 将把新的 plot 命令产生的图形画在原来的图形上. 而命令 hold off 将结束这个过程. 例如:

```
x=linspace(0,2*pi,30); y=sin(x); plot(x,y)
```

先画好图 3, 然后用

```
hold on; z=0*x; plot(x,z), hold off
```

命令增加一条横线的图形, 得到图 5.

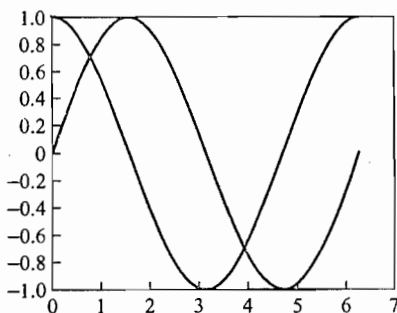


图 4

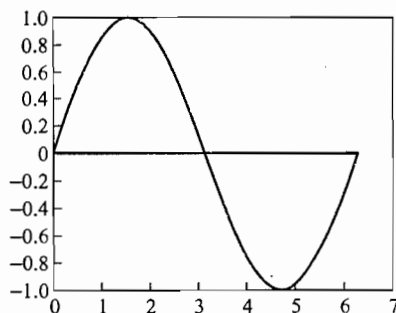


图 5

• 线型和颜色

MATLAB 对曲线的线型和颜色有许多选择, 标注的方法是在每一对数组后加一个字符串参数, 说明如下.

线型 线方式: — 实线; : 点线; -. 虚点线; -- 波折线.

线型 点方式: . 圆点; + 加号; * 星号; × 叉号; o 小圆圈; d 钻石; s 方形; p 五角星; h 六角星; v 下三角; ^ 上三角; < 左三角; > 右三角.

颜色: y 黄; r 红; g 绿; b 蓝; w 白; k 黑; m 紫; c 青.

以下面的例子说明用法:

```
x=0:pi/15:2*pi; y1=sin(x); y2=cos(x); plot(x,y1,'b:',x,y2,'g-')
```

得到图 4(线型和颜色不同). 如果将 plot 的内容写成

```
plot(x,y1,'b:',x,y2,'g-','x,y1','+',x,y2,'*')
```

可得图 6.

• 网格和标记

在一个图形上可以加网格、标题、X 轴标记、Y 轴标记,用下列命令完成这些工作.

```
x=linspace(0,2*pi,30); y=sin(x); z=cos(x);
plot(x,y,x,z)
grid
xlabel('Independent Variable X')
ylabel('Dependent Variables Y and Z')
title('Sine and Cosine Curves')
```

它们产生图 7.

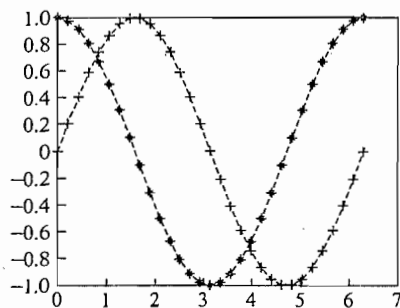


图 6

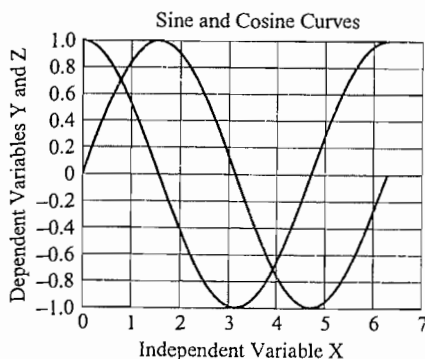


图 7

可以在图形的任何位置加上一个字符串,如用

```
text(2.5,0.7,'sinx')
```

表示在坐标 $x=2.5, y=0.7$ 处加上字符串 $\sin x$.

更方便的是用鼠标来确定字符串的位置,方法是输入命令:

```
gtext('sinx'),gtext('cosx')
```

在图形窗口十字线的交点是字符串的位置,用鼠标点一下就可以将字符串放在那里,如图 8.

当需要标记的字符串是希腊字母、特殊符号、上下标及设定字体式样时,可参见表 3 (要知道得更多请参看文献[4]):

表 3

指令	效果	指令	效果	指令	效果	指令	效果
<code>\alpha</code>	α	<code>\lambda</code>	λ	<code>\geq</code>	\geq	<code>\it{-t}sint</code>	$e^{-t}\sin t$
<code>\beta</code>	β	<code>\mu</code>	μ	<code>\leq</code>	\leq	<code>\it{x_1}(t)</code>	$x_1(t)$
<code>\delta</code>	δ	<code>\rho</code>	ρ	<code>\pm</code>	\pm	<code>\bf Example</code>	Example
<code>\Delta</code>	Δ	<code>\sigma</code>	σ	<code>\propto</code>	\propto	<code>\it Example</code>	<i>Example</i>
<code>\theta</code>	θ	<code>\phi</code>	ϕ	<code>\times</code>	\times	<code>\fontsize{14}</code>	Example
<code>\Theta</code>	Θ	<code>\omega</code>	ω	<code>\partial</code>	∂	Example	

• 坐标系的控制

在缺省情况下 MATLAB 自动选择图形的横、纵坐标的比例,如果你对这个比例不满意,可以用 `axis` 命令控制,常用的有:

`axis([xmin xmax ymin ymax])` `[]`中分别给出 x 轴和 y 轴的最小、最大值

`axis equal` 或 `axis('equal')` x 轴和 y 轴的单位长度相同

`axis square` 或 `axis('square')` 图框呈方形

`axis off` 或 `axis('off')` 清除坐标刻度

还有 `axis auto` `axis image` `axis xy` `axis ij` `axis normal` `axis on` `axis (axis)`

用法可参考在线帮助系统.

请看下例:

```
x=0:pi/15:2*pi;plot(sin(x),cos(x)),axis equal,axis([-1 1 0 1])
```

画出的图形如图 9.

• 多幅图形

可以在同一个画面上建立几个坐标系,用 `subplot(m,n,p)` 命令把一个画面分成 $m \times n$ 个图形区域, p 代表当前的区域号,在每个区域中分别画一个图,如

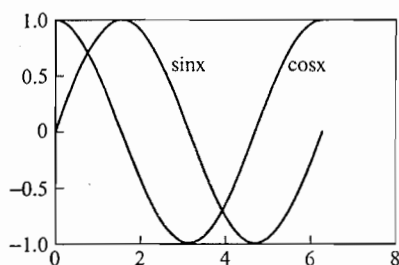


图 8

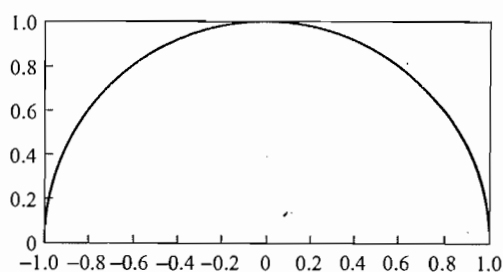


图 9

```

x=linspace(0,2*pi,30); y=sin(x); z=cos(x);
u=2*sin(x).*cos(x); v=sin(x)./cos(x);
subplot(2,2,1), plot(x,y), axis([0 2*pi -1 1]), title('sin(x)')
subplot(2,2,2), plot(x,z), axis([0 2*pi -1 1]), title('cos(x)')
subplot(2,2,3), plot(x,u), axis([0 2*pi -1 1]), title('2sin(x)cos(x)')
subplot(2,2,4), plot(x,v), axis([0 2*pi -20 20]), title('sin(x)/cos(x)')

```

得到 2×2 共 4 幅图形, 见图 10.

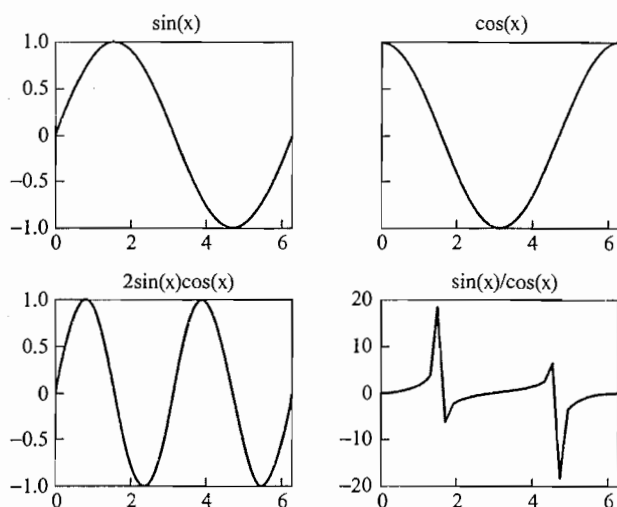


图 10

• 极坐标图形

用 polar 函数可以画出极坐标图形, 如对于 $\rho = 0.5 |\sin 4t|$ 在一个周期内的曲线, 用以下程序实现:

```
t=0:0.01:2*pi;
```

```
polar(t,0.5 * abs(sin(4 * t)))
```

画出的图形如图 11.

• 其他

还有一些画二维图形的命令,如

<code>fplot(@fun,[xmin xmax ymin ymax])</code>	在[xmin xmax]内画出以字符串 fun 表示的函数的图形, [ymin ymax]给出了 y 的限制
<code>semilogx(x,y)</code>	半对数坐标,x 轴为常用对数坐标
<code>semilogy(x,y)</code>	半对数坐标,y 轴为常用对数坐标
<code>loglog(x,y)</code>	全对数坐标

其他一些画特殊二维图形(极坐标图、条形图等)的命令请查阅在线帮助系统.

图 12 是用命令 `fplot` 按以下程序画出的图形,可以看出它的方便之处.

```
fplot('sin(x)./x',[-20 20 -0.4 1.2]), gtext('sinx/x')
```

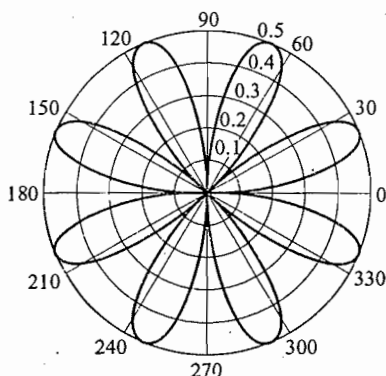


图 11

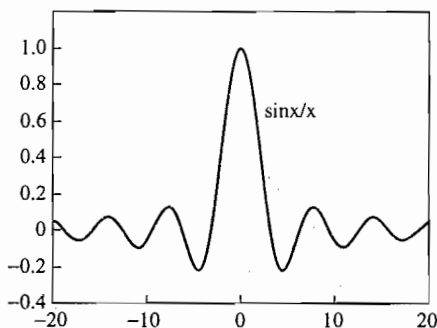


图 12

最后,如果你在一段程序中画了几个图形,需要逐个观察,那么应该在每两个 `plot` 命令之间加一个 `pause` 命令,它暂停命令的执行,直到你击下任何一个键.

4.2 三维图形

只对几种常用的命令通过例子作简单介绍.

• 带网格的曲面

例 作曲面 $z=f(x,y)$ 的图形.

$$z = \frac{\sin \sqrt{x^2 + y^2}}{\sqrt{x^2 + y^2}}, \quad -7.5 \leq x \leq 7.5, \quad -7.5 \leq y \leq 7.5.$$

用以下程序实现:

```
x = -7.5 : 0.5 : 7.5; y = x;
[X,Y]=meshgrid(x,y);    (三维图形的 X,Y 数组)
R=sqrt(X.^2+Y.^2)+eps;  Z=sin(R)./R;    (加 eps 是防止出现 0/0)
mesh(X,Y,Z)             (三维网格表面)
```

画出的图形如图 13. mesh 命令可以改为 surf, 图形效果有所不同.

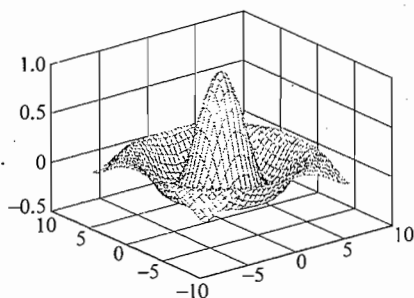


图 13

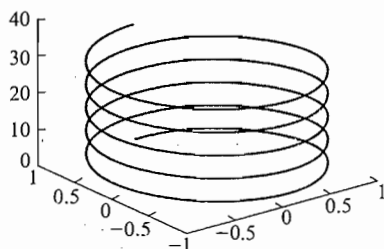


图 14

- 空间曲线

例 作螺旋线 $x = \sin t, y = \cos t, z = t$.

用以下程序实现:

```
t=0 : pi/50 : 10 * pi;
plot3(sin(t),cos(t),t)    (空间曲线,用法类似于 plot)
```

画出的图形如图 14.

- 等高线

用 contour 或 contour3 画曲面的等高线, quiver 画出速度场. 如对图 13 的曲面, 在上面的程序后接

```
contour(X,Y,Z,10)
quiver(X,Y)
```

即可得到 10 条等高线如图 15, 速度场如图 16.

- 其他

较有用的是给三维图形指定观察点的命令 view(azi,ele), azi 是方位角, ele 是仰角. 缺省时 $\text{azi} = -37.5^\circ, \text{ele} = 30^\circ$.

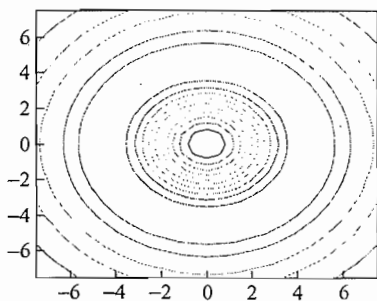


图 15

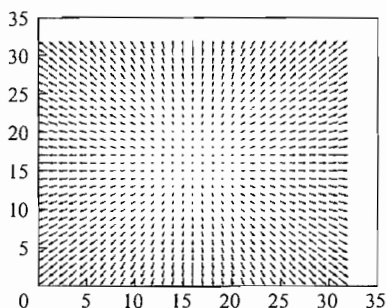


图 16

5 程序设计

MATLAB 提供了一个完善的程序设计语言环境,使我们能方便地编制复杂的程序,完成各种计算.本节先简要介绍关系运算、逻辑运算,以及条件和循环语句等许多高级语言都具备的、编程的重要手段,再着重介绍 MATLAB 所特有的 M 文件.

5.1 关系运算

MATLAB 的关系运算符有:

< 小于; > 大于; <= 小于或等于; >= 大于或等于; == 等于; ~= 不等于.

关系运算比较两个数值,当指出的关系成立时结果为 1(表示真),否则为 0(表示假).

关系运算可以作用于两个同样大小的矩阵或数组,结果是一个 0-1 矩阵或数组,每个分量代表相应的矩阵或数组分量的关系运算结果,例如

```

>>A=1:5, B=5:-1:1
A =
     1     2     3     4     5
B =
     5     4     3     2     1
>>C=A>=4
C =
     0     0     0     1     1
>>B(C)    (逻辑变量作用于矩阵或数组)
ans =
     2     1
    
```

```
»D=A==B□
```

```
D =
```

```
0    0    1    0    0
```

需要注意的是:对空矩阵的判别需要用函数 isempty, 如:

```
»E=[]; F=isempty(E)□
```

(如果用 F=E==[], 不能得到正确的答案)

```
F =
```

```
1
```

下面再介绍一个很有用的函数 find, 见例子:

```
»A = magic(4) □
```

```
A =
```

```
16    2    3   13
```

```
5    11   10    8
```

```
9     7    6   12
```

```
4    14   15    1
```

```
»i = find(A>12) □
```

(按列找出 A 中大于 12 的元素的位置)

```
i =
```

```
1
```

```
8
```

```
12
```

```
13
```

```
»A(i) = 100□
```

(与直接使用 A(A>12)=100 的效果相同)

```
A =
```

```
100    2    3   100
```

```
5    11   10    8
```

```
9     7    6   12
```

```
4   100  100    1
```

```
»[row, col] = find(A>12); row', col'□
```

```
row =
```

```
1     4     4     1
```

```
col =
```

```
1     2     3     4
```

find(A) 相当于 find(A>0).

下面举一个例子说明如何将关系运算和数值运算结合起来.

```
»x=(-3:3)/3□
```

```
x =
```

```
-1.0000 -0.6667 -0.3333 0 0.3333 0.6667 1.0000
```

```

»sin(x)./x
Warning: Divide by zero.
ans =
    0.8415    0.9276    0.9816   NaN    0.9816    0.9276    0.8415

```

在计算 $\sin x/x$ 时给出了警告信息,是因为第 4 个数据 $\sin 0/0$ 没有定义, MATLAB 返回 NaN. 为了避免这种情况出现可以用最小浮点数 eps 来代替 0,即

```

»x=(-3:3)/3;x=x+(x==0)*eps; sin(x)./x
ans = 0.8415    0.9276    0.9816    1.0000    0.9816    0.9276    0.8415

```

给出了 $\sin x/x$ 在 $x=0$ 时正确的极限值.

5.2 逻辑运算

MATLAB 的逻辑运算符有:

& 与运算; | 或运算; ~ 非运算; xor 异或运算.

上述运算本质上是标量运算,当作用于两个同样大小的矩阵或数组时,结果是一个 0-1 矩阵或数组,每个分量代表相应的矩阵或数组分量的关系运算结果. 它们满足熟知的运算规则(见表 4):

表 4

a	b	a & b 或 and(a,b)	a b 或 or(a,b)	~a 或 not(a)	xor(a,b)
0	0	0	0	1	0
1	0	0	1	0	1
0	1	0	1	1	1
1	1	1	1	0	0

逻辑运算将任何非零元素视为 1(真). 逻辑运算可以作用于矩阵或数组,请看下例:

```

»a=1:9, b=9-a, c=~(a>4), d=(a>=3)&(b<6), e=xor(c,d), f=a(d), a(d)=10
a = 1     2     3     4     5     6     7     8     9
b = 8     7     6     5     4     3     2     1     0
c = 1     1     1     1     0     0     0     0     0
d = 0     0     0     1     1     1     1     1     1
e = 1     1     1     0     1     1     1     1     1
f = 4     5     6     7     8     9
a = 1     2     3    10    10    10    10    10    10

```

与运算(&)和或运算(|)均有所谓的“短路”版本,运算符分别为“&&”和“||”. 程序

在执行“ $a \& \& b$ ”时,如果 $a=0$,则直接得到计算结果为 0;程序在执行“ $a \parallel b$ ”时,如果 $a=1$,则直接得到计算结果为 1.也就是说,在这两种情况下,不再考虑 b 是否有意义,更不关心 b 的取值,这在有时候是很有好处的.如:

```
z = (x ~= 0) && (y/x > 15) □
```

可以避免 $x=0$ 时系统给出除数为 0 的警告信息.

MATLAB 还提供了一些逻辑函数,常见的有 all 和 any,用法是:

$y = \text{all}(x)$ 若 x 为向量,当所有元素非零时 $y=1$,否则 $y=0$;若 x 为矩阵,all 作用于列元素, y 为行向量.
 $y = \text{any}(x)$ 若 x 为向量,当有一元素非零时 $y=1$,否则 $y=0$;若 x 为矩阵,all 作用于列元素, y 为行向量.

例如:

```
»a=[1 0 -5 0;-3 0 8 2], b=all(a), c=any(a), d=all(b), e=any(c)□
```

```
a = 1    0   -5    0
     -3    0    8    2
b = 1    0    1    0
c = 1    0    1    1
d = 0
e = 1
```

MATLAB 还提供了按二进制位进行计算的位运算函数,主要有 4 种:

bitand 按位与运算; bitor 按位或运算; bitcmp 按位补运算; bitxor 按位异或运算.

用法举例如下:

```
»A = 28; B = 21; □                      (分别相当于二进制 11100;10101)
»[bitand(A,B), bitor(A,B), bitcmp(A,5),bitxor(A,B)] □
ans =
    20    29     3   920                (分别相当于二进制 10100;11101;00011;01001)
```

5.3 条件和循环语句

条件和循环语句属于流控制语句,MATLAB 的流控制语句主要有 4 个: if, switch, while, for,它们都用 end 结束.

• if 语句

条件语句 if 最简单的用法是:

```
if <关系表达式>
```

```

    <语句 1>
end

```

如果关系表达式的值为 1, 则语句 1 执行; 否则, 执行 end 的后续命令.

if 语句的另外一种用法是:

```

if    <关系表达式>
    <语句 1>
else
    <语句 2>
end

```

如果关系表达式的值为 1, 则语句 1 执行; 否则(关系表达式的值为 0), 语句 2 执行, 然后执行 end 的后续命令.

当我们有多个选择时还可以用下列结构:

```

if    <关系表达式 1>
    <语句 1>
elseif <关系表达式 2>
    <语句 2>
...
elseif <关系表达式 n>
    <语句 n>
else
    <语句 n+1>
end

```

如果关系表达式 $j(j=1, 2, \dots, n)$ 的值为 1, 则语句 j 执行, 然后执行 end 的后续命令; 否则, 语句 $n+1$ 执行, 然后执行 end 的后续命令. 例如, 可用以下程序得到图 17 的分段函数.

```

if    x <= 0
    y = 0;
elseif x <= 1
    y = x;
else
    y = 1;
end

```

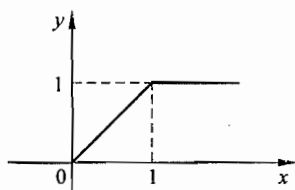


图 17

• switch 语句

switch 语句根据表达式的值来执行相应的语句, 用法如下:

```

switch    <表达式>
case      value1
    <语句 1>
case      value2
    <语句 2>
...
otherwise
    <语句 n>
end

```

- for 语句

循环语句 for 的一般形式为

```

for    <循环参数> = <初值> : <步长> : <终值>
    <语句>
end

```

步长为 1 时可以省略. 对于每一参数值, 语句都重复执行.

当作多重循环时 for 语句可以嵌套使用, 如用以下程序可以生成希尔伯特矩阵.

```

»for i = 1 : 3
    for j = 1 : 4
        a(i,j) = 1/(i+j-1);
    end
end
format rat
a
a=

```

1	1/2	1/3	1/4
1/2	1/3	1/4	1/5
1/3	1/4	1/5	1/6

for 语句的循环参数可以是任意的数组或矩阵, 循环参数依次取数组元素的值, 或按矩阵的列依次取值.

- while 语句

for 循环主要应用于已知循环次数的情况, 如果不知道循环次数, 可以使用 while 循环来完成, 其表达方式为

```

while    <关系表达式>
    <语句>
end

```

当关系表达式的值为 1(真)时,语句被反复执行,直至关系表达式为 0(假)时终止,如

```

»n=0;EPS=1;
while (1+EPS)>1
    EPS=EPS/2;
    n=n+1;
end
EPS=2 * EPS;
n,format short e,EPS
n=
    53
EPS =
    2.2204e-016

```

这个例子给出了计算 MATLAB 中特殊常量 eps 的过程(我们用大写 EPS 以便与 eps 相区别). EPS 不断地被 2 除直到 $(1+EPS) > 1$ 为假时终止. 这里需要注意的是, MATLAB 用 16 位数来表示数据,因此当 EPS 接近 10^{-16} 时,它会认为 $(1+EPS) > 1$ 不成立.

MATLAB 还提供了跳出循环的 break 语句,遇到此语句立即执行此循环 end 的后续语句,如上面计算 eps 的程序可以改为:

```

»EPS=1;
for n=1 : 100
    EPS=EPS/2;
    if (1+EPS)<=1
        EPS=2 * EPS;
        break
    end
end
n,format short e,EPS

```

得到同样的结果.

MATLAB 还提供了跳出循环中当前迭代的 continue 语句,遇到此语句立即执行此循环的下一次迭代.

- try 语句

该语句的表达方式为

```

try
    <语句 1>
catch

```

<语句 2>

end

正常情况下,只有语句 1 被执行;当执行语句 1 时如果出现错误,则将错误信息写入字符数组 `lasterr`,并转向执行语句 2(通常是对错误的处理)。

5.4 脚本 M 文件

到现在为止我们都是 MATLAB 命令窗口中输入数据和命令进行计算的,这种方法在处理比较复杂的问题和大量的数据时相当困难。MATLAB 提供的解决办法是,先在一个以 `m` 为扩展名的 M 文件中输入数据和命令,然后再让 MATLAB 执行这些命令。M 文件有两种类型:脚本 M 文件和函数 M 文件。

脚本 M 文件实际上是一系列命令的集合(也可能会输出结果或图形),建立的变量保存在内存中,可以在命令窗口中察看和使用(除非用清除命令清除)。一个比较复杂的程序常常要作反复的调试,这时你不妨建立一个文本文件并把它储存起来,可以随时调用进行计算。建立脚本文件可以在 File 菜单中选择 New,再选择 M-file,这时 MATLAB 将打开一个文本编辑和调试窗口,在这里输入命令和数据。储存时文件名遵循 MATLAB 变量命名的原则(请特别注意不能以数字开头),但必须以 `m` 为扩展名,其一般形式为

<M 文件名>.m

如 `hilb1.m`, `pp.m` 等。

值得注意的是,脚本 M 文件中的变量都是全局变量,在执行过程中,脚本 M 文件中的命令可以使用目前工作区中的变量,它所产生的变量也将成为工作区的一部分。比如生成希尔伯特矩阵的程序可以写成如下的脚本 M 文件:

```
for i=1:m
    for j=1:n
        a(i,j)=1/(i+j-1);
    end
end
a=rats(a);
```

命名为 `hilb1.m` 储存起来,那么当需要一个 2×3 希尔伯特矩阵时,可以在 MATLAB 命令窗口中进行:

```
»m=2,n=3,hilb1,a
a =
    1    1/2    1/3
    1/2    1/3    1/4
```


5.5 函数 M 文件

函数 M 文件是另一类 M 文件,我们可以根据自己需要建立自己的函数文件,它们能够像库函数一样方便地调用,从而极大地扩展 MATLAB 的能力. 如果对于一类特殊的问题,建立起许多函数 M 文件,就能最终形成独立的工具箱.

- 函数 M 文件的基本用法

函数 M 文件的第一行有特殊的要求,其形式必须为

```
function <因变量> = <函数名>(<自变量>)
```

其他各行均为从自变量计算因变量的语句,并最终将结果赋予因变量. 这个 M 文件的文件名必须是<函数名>.m (MATLAB6.5.1 对此已经有所放松,即当函数名与文件名不同时,忽略文件中定义的函数名;但建议还是保持两者名称一致为好). 下面给出函数文件的一个简单例子.

如果我们经常要调用这样的随机矩阵,其每个元素等概率地取从 0 到 9 的整数值,就不妨建立如下的函数 M 文件.

```
function a=randint(m,n)
% RANDINT Randomly generated integral matrix.
% randint(m,n) returns an m-by-n such matrix with entries between 0 and 9.
a = floor(10 * rand(m,n));
```

当需要一个这样的 2×3 随机矩阵时,只需

```
>>x=randint(2,3)
x =
     9     6     8
     2     4     7
```

MATLAB 的 M 文件中 % 后面是注释部分, MATLAB 执行时忽略这些内容. 函数 M 文件中紧跟在函数名后的注释语句给出了这个函数的在线帮助内容,实际上 MATLAB 的所有库函数都有这样一段注释.

函数 M 文件有多个因变量时,要用 [] 将它们括起来,请看下例:

```
function [mean, stdev] = stat(x)
% STAT Mean and standard deviation
% For a vector x, stat(x) returns the mean and standard deviation of x.
% For a matrix x, stat(x) returns two row vectors containing, respectively,
% the mean and standard deviation of each column.
[m n] = size(x);
if m == 1
```

```

        m = n;      % handle case of a row vector
    end
    mean = sum(x)/m;
    stdev = sqrt(sum(x.^2)/m - mean.^2);

```

其用途不难从注释行知道. 当求一个数组 x 的平均值和均方差时, 只需:

```

>x=[2 4 -7 0 5 -1];[xm,xd]=stat(x) □
xm =
    0.5000
xd =
    3.9476

```

函数 M 文件中的变量一般是局部变量, 它们的变量名独立于目前的工作区和其他的函数. 对于 MATLAB5.0 以上的版本, 在工作区和函数的定义中可以用 `global` 命令把某些变量说明为全局变量.

- 函数参数的个数和可变的参数个数

在 MATLAB 中允许在不同目录下的文件名是相同的, 当 MATLAB 执行到 M 文件名的语句时, 它首先搜索当前工作区中的变量和内建的命令, 然后搜索有无内部函数以此命名, 最后在搜索路径的目录中寻找第一个以此命名的 M 文件. 函数也可以重载, 即对于同名的函数根据调用的参数确定使用那个函数.

函数 M 文件中可以用 `nargin` 和 `nargout` 检查输入和输出参数的个数. 如:

```

function [c,d] = testarg1(a,b)
if (nargin == 1)
    c = a.^2;          % 只有一个输入参数时, 计算其平方
elseif (nargin == 2)
    c = a.^2 + b.^2;   % 有两个输入参数时, 计算其平方和
end
if (nargout == 2)     % 有两个输出参数时执行下面命令
    d = 'This is an example for testing two output variables';
end

```

实际上, `nargin` 和 `nargout` 是库函数, 可以检查任何函数 M 文件的输入和输出参数的个数, 如

```

nargin('polyval')
ans =
    4

```

给出的是 `polyval.m` 函数(计算多项式的值的函数)的输入参数的个数(最多可能的参数

个数)。

函数 M 文件中还可以用 `varargin` 和 `varargout` 实现可变长度的输入和输出参数的个数,增加函数调用的灵活性。如:

```
function [msg,varargout]=testvar(x0,y0,varargin)
for k = 1 : length(varargin)
    x(k) = varargin{k}(1);          % varargin 是元胞阵列
    y(k) = varargin{k}(2);
end
xmin = min(x0,min(x));
ymin = min(y0,min(y));
axis([xmin fix(max(x))+3 ymin fix(max(y))+3])
plot(x,y)
for k = 1 : min(length(varargout), length(varargin))
    varargout(k) = varargin{k};    % 将输入拷贝到输出
    varargout(k) = varargin{k};
end
msg='successful'
```

这时,诸如下面的几种调用方式都是合法的:

```
str=testvar(0,0,[2 3],[1 5],[4 8],[6 5],[4 2],[2 3])
[str,a,b,c]=testvar(-5,-10,[-1 0],[3 -5],[4 2],[1 1])
```

• 子函数和私有函数

在 M 文件中还可以引用其他 M 文件,包括递归地引用自己。此外,一个函数 M 文件中还可以定义子函数(仅供该函数 M 文件自己调用)。例如前面的 `testarg1` 函数可以先编两个子函数:

```
function x=sub1(y)          % 子函数
x=y.^2;
end
function x=sub2(y,z)        % 子函数
x=sub1(y)+sub1(z);
end
```

再编写以下函数:

```
function [c,d] = testsubfun(a,b)
if (nargin == 1)
    c = sub1(a);          % 只有一个输入参数时,计算其平方
elseif (nargin == 2)
```

```
c = sub2(a,b);    % 有两个输入参数时,计算其平方和
end
if (nargout == 2) % 有两个输出参数时执行下面命令
    d = 'This is an example for testing sub-function';
end
```

在 MATLAB 中还可以定义私有函数. 在当前目录下建立一个子目录 `private`, 那么该子目录下的任何函数 M 文件都是当前目录的私有函数, 只能供当前目录下的 M 文件调用. 请读者不妨试试.

一般情况下 MATLAB 执行时不显示 M 文件中的内容, 不过命令 `echo on` 可以让 MATLAB 显示 M 文件中的命令, 并且用命令 `echo off` 关闭显示.

5.6 数据文件的读写

在 MATLAB 编程中可能要读写其他数据文件(如读写其他包含数据的文件). 前面介绍的 `save` 和 `load` 函数可以完成一部分这样的工作, 这里再介绍几个文件处理函数.

可以用 `dlmread` 读入带分隔符的文本文件中的数据, 用法是:

```
M = dlmread(filename, delimiter)
```

这里 `filename` 是文件名, `delimiter` 是文件中的分隔符名称(缺省为逗号, “\t”为 TAB 键), 读入数据存放于矩阵 `M` 中. 类似地, 可以用下面的形式将矩阵 `M` 写入文件:

```
dlmwrite(filename, M, delimiter)
```

类似的文件处理函数还有 `textread`, `csvread`, `csvwrite`(这里的后两个函数只允许分隔符为逗号)等.

对于二进制数据, 可以用与 C 语言类似的用法读写数据. 这时在读写文件之前, 需要用

```
fid = fopen('filename', 'permission')
```

语句打开文件, 其中 `filename` 是文件名, 而 `permission` 可以是“r”(只读), “w”(只写), “a”(追加), “r+”(读写)等选项. 读文件可以用 `fread` 函数, 写文件可以用 `fwrite` 函数, 操作完成后用 `fclose` 关闭文件. 如下面的语句将 5 阶幻方阵写入二进制文件 `magic5.bin`:

```
fwriteid = fopen('magic5.bin', 'w');
count = fwrite(fwriteid, magic(5), 'int32');
status = fclose(fwriteid);
```

对于格式化的文本数据, 也可以用与 C 语言类似的 `fscanf` 和 `fprintf` 函数进行读写, 这里就不详细介绍了. 值得说明的是, MATLAB 文件菜单中的“Import Data”命令可以帮助

从外部文件中读入数据。

6 符号工具箱使用简介

MATLAB 系统本来只能做数值计算,并没有符号运算的功能,符号运算工具箱(symbolic math toolbox)则扩充了 MATLAB 这方面的功能,它是购买 Maple 软件的核心模块后完成的。

这个工具箱在 MATLAB 中的目录是 Toolbox/Symbolic,这里只对它的常用功能作一简单介绍,详细用法请参阅帮助系统。

6.1 符号变量与符号表达式

符号运算工具箱处理的主要对象是符号和符号表达式,为此要使用一种新的数据类型——符号变量,工具箱用 sym 来定义一个符号或符号表达式,如

```
»sym('x')  
ans =  
x  
»r=sym('(1 + sqrt(x))/2')  
r =  
(1 + sqrt(x))/2
```

而 syms 可定义多个符号,如

```
»syms a b c k t y  
f=a*(2*x-t)^3+b*sin(4*y)  
f =  
a*(2*x-t)^3+b*sin(4*y)
```

可以在上面定义的最后指明符号变量的类型,如指明为实数:

```
»syms a b c k t y real
```

上面定义的各个符号和表达式 r,f 可以进行计算,如

```
»g=f+a*(2*r-1)^3  
g =  
a*(2*x-t)^3+b*sin(4*y)+a*x^(3/2)
```

用 findsym 来确认符号表达式中的符号,如

```
»findsym(g)  
ans =
```

a, b, t, x, y

6.2 微积分运算

设 a, b, t, x, y 是已输入的符号变量.

(1) 导数

diff(f) 函数 f 对符号变量 x 或(字母表上)最接近字母 x 的符号变量求导数

diff(f,t) 函数 f 对符号变量 t 求导数

```
»f=sin(a*x);g=diff(f)□
```

g=

cos(a*x)*a

```
»f=sin(a*t);g=diff(f)□
```

g=

cos(a*t)*a

```
»f=sin(y*t);g=diff(f)□
```

g=

cos(y*t)*t

```
»f=sin(y*t);g=diff(f,t)□ (这可以看作二元函数求偏导数)
```

g=

cos(y*t)*y

对于上面的函数 f 还可以用 diff(f,2)求二阶导数:

```
»f=sin(a*x);diff(f,2)□
```

ans =

-sin(a*x)*a^2

```
»diff(f,a,2)□
```

ans =

-sin(a*x)*x^2

当微分运算作用于符号矩阵时,是作用于矩阵的每个元素,如:

```
»A=[sin(a*x),cos(a*x);-cos(a*x),-sin(a*x)],dy=diff(A) □
```

A =

[sin(a*x), cos(a*x)]

[-cos(a*x), -sin(a*x)]

dy =

[cos(a*x)*a, -sin(a*x)*a]

[sin(a*x)*a, -cos(a*x)*a]

(2) 积分

int(f) 函数 f 对符号变量 x 或最接近字母 x 的符号变量求不定积分

int(f,t) 函数 f 对符号变量 t 求不定积分

```
»f=sin(a*x);g=int(f)□
```

```
g =
```

```
    -cos(a*x)/a
```

```
»f=sin(a*x);g=int(f,a) □
```

```
g =
```

```
    -cos(a*x)/x
```

```
»f=exp(-x^2);g=int(f)□
```

```
g =
```

```
    1/2 * pi^(1/2) * erf(x)
```

最后一个积分无简单的解析表达式,是用函数 erf 表达的,erf(x)的定义是

$$\int_0^x \frac{2}{\sqrt{\pi}} e^{-t^2/2} dt.$$

int(f,a,b) 函数 f 对符号变量 x 或最接近字母 x 的符号变量求从 a 到 b 的定积分

int(f,t,a,b) 函数 f 对符号变量 t 求从 a 到 b 的定积分

```
»f=sin(a*x);g=int(f,0,pi)□
```

```
g =
```

```
    -cos(pi*a)/a + 1/a
```

```
»syms a x real;f=exp(-a*x^2);g=int(f,x,-inf,inf)
```

```
g =
```

```
PIECEWISE([1/a^(1/2) * pi^(1/2), signum(a) == 1],[Inf, otherwise])
```

```
»pretty(g) % 以更容易阅读的形式显示结果
```

```

{ 1/2
{ pi
{ ----      signum(a~) = 1
{ 1/2
{ a~
{
{ Inf      otherwise
```

上面表达式中 a 后面的~表示 a 是实数, signum(a~) = 1 表示 a>0.

当不定积分无解析表达式时,可用 double 计算其定积分数值,如

```
»f=exp(-x^2);g=int(f,0,1)□
```

```
g =
```

```

1/2 * erf(1) * pi^(1/2)
»a=double(g)
a=
    0.7468

```

(3) 极限

limit(f) 当符号变量 x(或最接近字母 x 的符号变量)→0 时函数 f 的极限

limit(f,t,a) 当符号变量 t→a 时函数 f 的极限

```
»f=sin(x)/x;g=limit(f)
```

```

g=
    1
»limit((cos(x+a)-cos(x))/a,a,0)
ans=
    -sin(x)
»limit((1+x/t)^t,t,inf)
ans=
    exp(x)

```

下面的例子说明求左极限和右极限的方法：

```

»limit(1/x)
ans=
    NaN
»limit(1/x,x,0,'left')
ans=
    -inf
»limit(1/x,x,0,'right')
ans=
    inf

```

(4) 级数和

symsum(s,t,a,b) 表达式 s 中的符号变量 t 从 a 到 b 的级数和(t 缺省时设定为 x 或最接近 x 的字母)

```

»symsum(1/x,1,3)
ans=
    11/6
»s1=symsum(1/x^2,1,inf),s2=symsum(x^k,k,0,inf)
s1=
    1/6 * pi^2
s2=
    -1/(x-1)

```


(5) 泰勒多项式

`taylor(f,n,a)` 函数 f 对符号变量 x (或最接近字母 x 的符号变量) = a 点的 $n-1$ 阶泰勒多项式
(n 缺省时设定为 $n=6$, a 缺省时设定为 $a=0$)

```

»taylor(sin(x))
ans =
      x - 1/6 * x^3 + 1/120 * x^5
»f=log(x);s=taylor(f,4,2)
s =
log(2) + 1/2 * x - 1/8 * (x-2)^2 + 1/24 * (x-2)^3

```

6.3 解方程

(1) 非线性方程(组)

`solve(f,t)` 对 f 中的符号变量 t 解方程 $f=0$ (t 缺省时设定为 x 或最接近 x 的字母)

```

»f=a*x^2+b*x+c;s=solve(f)
s =
      [1/2/a * (-b + (b^2 - 4 * a * c)^(1/2))]
      [1/2/a * (-b - (b^2 - 4 * a * c)^(1/2))]
»f=a*x^2+b*x+c;solve(f,b)
ans =
      -(a * x^2 + c)/x

```

如果要解形如 $f(x)=q(x)$ 形式的方程,则需要用单引号把方程括起来,如

```

»s=solve('cos(2 * x) + sin(x) = 1')
s =
      [ 0 ]
      [ pi ]
      [ 1/6 * pi ]
      [ 5/6 * pi ]

```

`solve` 也可以解方程组,如

```

»[x,y]=solve('x^2+x*y+y=3','x^2-4*x+3=0')
x =
      [ 1 ]
      [ 3 ]
y =
      [ 1 ]
      [ -3/2 ]

```

即方程组的解为 $(1, 1)$ 和 $(3, -\frac{3}{2})$.

(2) 微分方程

```
dsolve('S','s1','s2',...,'x')
```

其中 S 为方程, $s1, s2, \dots$ 为初始条件, x 为自变量. 方程 S 中用 D 表示求导数, $D2, D3, \dots$ 表示二阶、三阶等高阶导数; 初始条件缺省时给出带任意常数 $C1, C2, \dots$ 的通解; 自变量缺省时设定为 t . 举例如下:

```
>> dsolve('Dy=1+y^2')  
ans =  
    tan(t-C1)  
>> y=dsolve('Dy=1+y^2','y(0)=1','x')  
y =  
    tan(x+1/4*pi)  
>> x=dsolve('D2x+2*D1x+2*x=exp(t)','x(0)=1','Dx(0)=0')  
x =  
    1/5*(exp(t)^2+3*sin(t)+4*cos(t))/exp(t)
```

dsolve 也可用来解微分方程组, 如

```
>> S=dsolve('Df=3*f+4*g','Dg=-4*f+3*g')  
S =  
    f : [1x1 sym]  
    g : [1x1 sym]
```

计算的结果返回在一个结构 S 中, 为了看到其中 f, g 的值, 可以

```
>> f=S.f,g=S.g  
f =  
    exp(3*t)*cos(4*t)*C1+exp(3*t)*sin(4*t)*C2  
g =  
    -exp(3*t)*sin(4*t)*C1+exp(3*t)*cos(4*t)*C2
```

6.4 线性代数

MATLAB 中大多数用于数值线性代数计算的命令, 都可以用于符号变量线性代数的运算, 如

```
>> A=[a b c;b c a;c a b];B=[1 1 1]';x=A\B
```

```

x =
    [ 1/(a+c+b)]
    [ 1/(a+c+b)]
    [ 1/(a+c+b)]
»A1=triu(A),L=eig(A)
A1=
    [ a, b, c]
    [ 0, c, a]
    [ 0, 0, b]
L=
    [                                a+c+b]
    [ (b^2-b*a-c*b-c*a+a^2+c^2)^(1/2)]
    [ -(b^2-b*a-c*b-c*a+a^2+c^2)^(1/2)]

```

6.5 化简和代换

工具箱中提供了许多化简符号表达式的函数，具有专门用途的函数及其功能是：

collect 合并同类项
 expand 将乘积展开为和式
 horner 把多项式转换为嵌套表示形式
 factor 把多项式转换为乘积形式
 simplify 利用各种恒等式化简代数式

请看下例：

```

»collect(x^3+2*x^2-5*x^2+4*x-3*x+12-3)
ans =
    x^3-3*x^2+x+9
»g=collect((1+x)*t+t*x)
g =
    2*t*x+t
»expand((x-1)*(x-2)*(x-3))
ans =
    x^3-6*x^2+11*x-6
»g=expand(cos(x+y))
g =
    cos(x)*cos(y)-sin(x)*sin(y)
»expand(cos(3*acos(x)))
ans =
    4*x^3-3*x

```

```

>horner(x^3-6*x^2+11*x-6)□
ans =
      x * (x * (x-6)+11)-6
>g=horner(1.1+2.2*x+3.3*x^2)□
g=
      11/10+(11/5+33/10*x)*x
>factor(x^3-6*x^2+11*x-6)□
ans =
      (x-1)*(x-2)*(x-3)
>n = 1:5;x = x(ones(size(n)));
p = x.^n + 1,f = factor(p)□
p=
      [ x+1, x^2+1, x^3+1, x^4+1, x^5+1]
f =
      [ x+1, x^2+1, (x+1)*(x^2-x+1), x^4+1, (x+1)*(x^4-x^3+x^2-x+1)]
>simplify((1-x^2)/(1-x))□
ans =
      x+1
>s=simplify(sin(x)^2+cos(x)^2)□
s=
      1
>q=simplify((1/a^3+6/a^2+12/a+8)^(1/3))□
q =
      ((2*a+1)^3/a^3)^(1/3)

```

工具箱还为我们提供了一个强有力的函数 `simple`, 它综合运用上面的函数进行化简, 并找出长度最短的表达式, 其命令形式有以下几种:

```

f=simple(S) 对表达式 S 进行化简, 输出长度最短的表达式 f
simple(S) 对表达式 S 进行化简, 输出用各种函数化简的结果, 及长度最短的表达式
[f,how]=simple(S) 对表达式 S 进行化简, 输出长度最短的表达式 f, 及 f 是哪一个函数作用的结果 how
>f=simple(sin(x)^2+cos(x)^2)□
f=
      1
>simple(1/a^3+6/a^2+12/a+8)^(1/3)□
simplify :
      ((2*a+1)^3/a^3)^(1/3)
radsimp :
      (2*a+1)/a

```

```

combine(trig) :
      
$$((1+6*a+12*a^2+8*a^3)/a^3)^{(1/3)}$$

factor :
      
$$((2*a+1)^3/a^3)^{(1/3)}$$

expand :
      
$$(1/a^3+6/a^2+12/a+8)^{(1/3)}$$

convert(exp) :
      
$$(1/a^3+6/a^2+12/a+8)^{(1/3)}$$

convert(sincos) :
      
$$(1/a^3+6/a^2+12/a+8)^{(1/3)}$$

convert(tan) :
      
$$(1/a^3+6/a^2+12/a+8)^{(1/3)}$$

collect(a) :
      
$$(1/a^3+6/a^2+12/a+8)^{(1/3)}$$

ans =
      
$$(2*a+1)/a$$

»[f,how]=simple(1/a^3+6/a^2+12/a+8)^(1/3)□
f =
      
$$(2*a+1)/a$$

how =
      radsimp

```

工具箱中提供了两种代换命令：

```

subs(S,old,new) 用符号 new 代替表达式 S 中的符号 old
subexpr(S) 将表达式 S 中的公共部分用 sigma 表示
»subs(a+b,a,4)□
ans =
      4+b
»f=subs(cos(a)+sin(b),[a,b],[sym('alpha'),2])□
ans =
      cos(alpha)+sin(2)
subexpr 用法请参阅帮助系统

```

6.6 其他

工具箱中提供了 50 多个特殊函数,如贝塞尔(Bessel)函数、椭圆积分、误差函数及切比雪夫(Chebyshev)正交多项式、拉格朗日正交多项式等. 用 mfunlist 命令可以看到这些函数的列表,用

```
mhhelp <函数名>
```

可以了解那个函数的细节.

工具箱对于数值计算提供了有理数计算方式和可变位数的浮点计算方式,用法可从下例看出:

```

>a=1/2+1/3,a1=sym(a),a2=vpa(a,10)
a =
    0.8333
a1 =
    5/6
a2 =
    .8333333333

```

工具箱还提供了一个非常简便的画图命令:设表达式 f 中只有一个符号变量,比如 x ,则 `ezplot(f,xmin,xmax)` 画出以 x 为横坐标的曲线 f , x 在 $[xmin,xmax]$ 内,当 $xmin$, $xmax$ 缺省时 $xmin=-2 * pi, xmax=2 * pi$. 请看:

```
>ezplot(sin(2 * x))
```

得到图 18.

```
>ezplot(sin(2 * t), -pi/2,pi/2)
```

得到图 19.

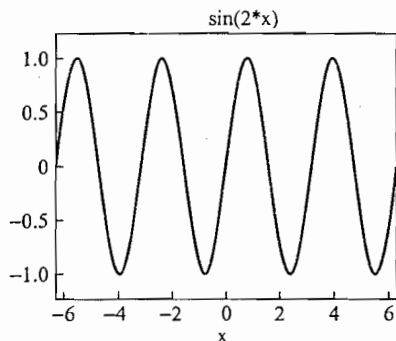


图 18

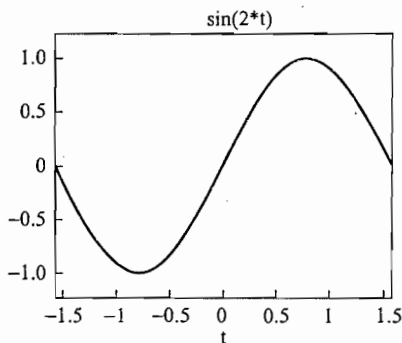


图 19

练习题

1. 设有分块矩阵 $A = \begin{bmatrix} E_{3 \times 3} & R_{3 \times 2} \\ 0_{2 \times 3} & S_{2 \times 2} \end{bmatrix}$, 其中 $E, R, 0, S$ 分别为单位矩阵、随机矩阵、零

矩阵和对角矩阵,试通过数值计算验证 $A^2 = \begin{bmatrix} E & R+RS \\ 0 & S^2 \end{bmatrix}$.

2. 用命令 `magic(n)` 生成幻方矩阵,通过计算研究它的性质,如行和、列和、两条对角线和等(可以利用命令 `fliplr`, `flipud`, 其用法可以查阅 MATLAB 帮助系统).

3. 设 $y_1 = 1/(1+x^2)$, $y_2 = \exp(-x^2/2)$, $y_3 = \sin 2x$, $y_4 = \sqrt{4-x^2}$, x 在 $[-2, 2]$ 内适当离散化,计算 $y_1 + y_2$, $y_1 y_2$, y_3/y_1 , $(5y_4 - y_1)/y_2^2$.

4. 自己选择一非负单调递减序列 $a_1, a_2, \dots, a_n, a_n \approx 0, a_1$ 远大于 a_n , 用从 1 到 n 和从 n 到 1 两种顺序计算 $\sum_{k=1}^n a_k$, 观察哪个更准确些, 分析原因.

5. 对 $I_n = \int_0^1 x^n e^{x-1} dx$ ($n = 0, 1, 2, \dots$) 证明如下递推公式:

$$I_0 = 1 - e^{-1}, \quad I_n = 1 - nI_{n-1}, \quad n = 1, 2, \dots$$

用递推公式计算 I_1, I_2, \dots, I_n , 观察 n 多大时结果就不对了(考虑一个简单的判断结果错误的标准), 为什么会出现这种情况. 如果将递推公式反过来, 即

$$I_{n-1} = (1 - I_n)/n.$$

从 I_n 倒过来计算 I_{n-1}, \dots, I_1, I_0 , 而 I_n 由下式估计

$$\left(\min_{0 \leq x \leq 1} e^{x-1} \right) \frac{1}{n+1} = I_n^{(1)} < I_n < I_n^{(2)} = \left(\max_{0 \leq x \leq 1} e^{x-1} \right) \frac{1}{n+1}.$$

不妨取 $I_n = (I_n^{(1)} + I_n^{(2)})/2$, 将计算结果与前面的进行比较, 得到什么启发.

6. 用几种方法作 x^2, x^3, x^4, x^5 的图形, 如一个图上画几条曲线, 用 `subplot` 作多幅图形等, 考虑如何画上 x 轴, y 轴, 并在图上加各种标注.

7. 用作图法求 $x^2 = 8 \ln x$ 和 $4 \sin x - x - 2 = 0$ 的根的近似值.

8. 作曲面 $z = x^2 - y^2$ 的三维图形.

9. 图 20 中电阻 $R (= R_1 + R_2)$ 为分压器, R_L 为负载电阻, 试将分压比 $y = U_L/U$ 表示为 $x = R_2/R$ 和 $a = R_L/R$ 的函数, 并以 a 为参数 ($a = 10, 1, 0.1$), 作函数 $y(x, a)$ 的图形, 对结果作出解释.

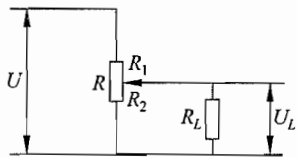


图 20

10. 建立 M 文件作以下计算:

(1) 自然数 n 的阶乘;

- (2) n 中取 m 的组合;
- (3) 已知任意两个多项式(不一定同阶)的系数,求它们的和.

参 考 文 献

- 1 姜启源,何青,高立.数学实验.北京:高等教育出版社,1999
- 2 叶其孝主编.大学生数学建模竞赛辅导教材(三).长沙:湖南教育出版社,1998
- 3 MathWorks Inc., MATLAB 6.5.1 在线帮助文档
- 4 张志涌,徐彦琴等. MATLAB 教程.北京:北京航空航天大学出版社,2001

